

АКАДЕМИЯ НАУК СОЮЗА ССР

# ЖУРНАЛ ФИЗИЧЕСКОЙ ХИМИИ

*Р.Т.2*

ТОМ  
XXX

7

ВЫПУСК

ИЮЛЬ  
1956

---

---

ИЗДАТЕЛЬСТВО АКАДЕМИИ НАУК СССР  
МОСКВА

# ЖУРНАЛ ФИЗИЧЕСКОЙ ХИМИИ

*Редакционная коллегия:*

В. Я. АНОСОВ, К. В. АСТАХОВ, А. И. БРОДСКИЙ, Г. К. БОРЕСКОВ,  
Я. И. ГЕРАСИМОВ, С. В. ГОРБАЧЕВ, Г. С. ЖДАНОВ, Л. А. НИКОЛАЕВ,  
Н. Н. СЕМЕНОВ, А. Н. ТЕРЕНИН, А. Н. ФРУМКИН,  
К. В. ЧМУТОВ

*Главный редактор* Я. И. ГЕРАСИМОВ

*Заместители главного редактора* С. В. ГОРБАЧЕВ, К. В. ЧМУТОВ

*Отв. секретарь* Л. А. НИКОЛАЕВ



Vol 30  
PT 2ЭЛЕКТРОХИМИЧЕСКОЕ ИССЛЕДОВАНИЕ СВОЙСТВ  
ПОВЕРХНОСТНЫХ СОЕДИНЕНИЙ КИСЛОРОДА НА СЕРЕБРЕ

И. Н. Поспелова, А. А. Раков и С. Я. Пшежецкий

Для выяснения механизма каталитических реакций существенное значение имеет изучение поверхностных соединений реагирующих веществ с катализатором. Большой интерес представляют поверхностные соединения кислорода с серебром, которое является весьма специфическим окислительным катализатором, дающим, в частности, возможность осуществления неполного, «мягкого» окисления органических соединений.

Работа Чэпмана и Холла [1] и электрохимические исследования В. И. Веселовского [2] и А. А. Ракова [3] показали, что, в зависимости от условий, на серебре образуются кислородные поверхностные соединения, обладающие различными свойствами. Наряду с относительно непрочными соединениями, энергия связи которых с поверхностью не превышает нескольких  $\text{kcal/моль}$ , при высокой температуре образуются также сравнительно прочные поверхностные кислородные соединения, диссоциация которых требует нескольких десятков  $\text{kcal/моль}$ . С. Я. Пшежецким и С. А. Каменецкой было установлено [4], что эти прочные поверхностные соединения не участвуют в окислительном катализе; так, например, на таких соединениях не идет окисление спиртов, в то же время на них спирты дегидрируются, чего не происходит на металлическом серебре. Таким образом, в этом отношении эти прочные поверхностные окислы сходны с окисными дегидрирующими катализаторами.

Свойства серебра как окислительного катализатора, повидимому, в основном, определяются его способностью к образованию непрочных поверхностных кислородных соединений.

Протекание каталитических реакций окисления тесно связано со свойствами этих поверхностных соединений. В частности, ими определяются кинетика и механизм окислительных каталитических реакций на серебре. Как было установлено [3—7], эти реакции, как правило, происходят в результате соударения молекул окисляющихся веществ с кислородными поверхностными соединениями.

Мы исследовали электрохимическим методом кислородные соединения серебра, образующиеся на его поверхности при воздействии кислорода при нагревании, а также в процессе каталитической реакции окисления этилена. Для этой цели был применен метод снятия кривых заряжения серебряного электрода, служившего в качестве катализатора при газовой окислительной реакции.

Исследованию подвергалось массивное серебро в форме цилиндрических рулонов из серебряной жести. Видимая поверхность каждого рулона составляла  $63 \text{ см}^2$ . Для увеличения размеров поверхности серебро предварительно подвергалось попеременному электрохимическому окислению и восстановлению. При этом происходило увеличение поверхности приблизительно в 10 раз\*. Окислительная реакция и обработка кислородом проводились при  $250^\circ \text{C}$  в проточной и циркуляционной установках обычного типа. После этого рулон серебра помещался в электрохимическую ячейку и проводились измерения.

\* Оценено по данным, относящимся к измерению емкости двойного слоя на серебре методом переменного тока [8].

m 12087  
12) 8796  
7 mm

Потенциал серебряного электрода определялся против обратимого водородного электрода в 0,1 *N* растворе КОН. Измерения проводились по общепринятой и неоднократно описанной методике.

Применявшийся кислород получался электролизом воды и тщательно очищался от примеси водорода и других веществ.

Характеристика поверхностных кислородных соединений, образующихся при комнатной температуре на свежеразработанной поверхности серебра, представлена кривой 1 на рис. 1. Эта зависимость указывает на энергетическую неоднородность образовавшихся кислородных поверхностных соединений.

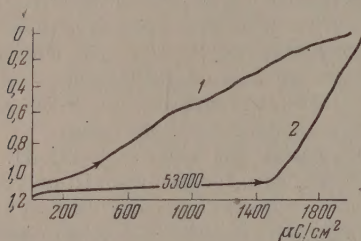


Рис. 1. Кривая 1 снята при катодной поляризации серебряного электрода, поверхность которого предварительно была электрохимически окислена; кривая 2 характеризует кислородное соединение, образующееся на серебре при реакции окисления этилена

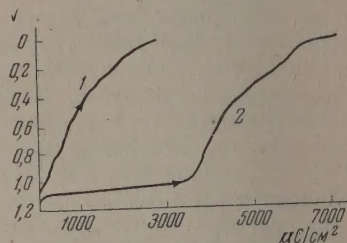


Рис. 2. Кривая 1 снята при последующей поляризации серебряного электрода при комнатной температуре; кривая 2 снята при катодной поляризации серебряного электрода, окисленного газообразным кислородом при 250° С

Характер неоднородности соответствует приблизительно линейной зависимости потенциала от степени заполнения поверхности, как это и было установлено ранее [2,3].

Если серебро с такой поверхностью применить в качестве катализатора в реакции окисления этилена в определенных условиях или же подвергнуть обработке чистым кислородом в течение нескольких часов при 250° С, то при электрохимической поляризации такого образца обнаруживается образование кислородного соединения другого типа. Процесс электрохимического восстановления такого кислородного соединения характеризуется кривой 2 рис. 1. Эта кривая была снята в опытах с рулоном серебряной жести, на котором при 250° С велась реакция окисления этилена в течение нескольких десятков часов при малой концентрации окисляющихся компонентов реакции. Такое же соединение образуется на серебре при воздействии чистого кислорода при 250° С. Кривая 2 на рис. 2 характеризует окисел серебра, образовавшийся в таких же условиях. Сравнение показывает, что горизонтальный участок этой кривой совпадает по потенциалу с аналогичным участком кривой 2 на рис. 1. Постоянное значение потенциала и относительно большое количество электричества, пропущенного в процессе восстановления этого соединения, указывает на то, что здесь имеется сравнительно значительное количество одного и того же окисла. Как известно [3, 9] при потенциале около 1,1 В происходит восстановление окиси серебра. Действительно, проверка показала, что после глубокого электрохимического окисления серебряного электрода образуется окисел, кривая восстановления которого практически совпадает с кривыми 2 на рис. 1 и 2.

Количество кислорода, заключающегося в образующемся окисле может быть приближенно оценено следующим образом. Если предположить, что это соединение имеет состав, соответствующий формуле  $\text{Ag}_2\text{O}$  то на снятие моно слоя кислорода с 1  $\text{см}^2$  поверхности потребовалось бы около 190  $\mu\text{C}$ . Так как действительная поверхность приблизительно в 10



раз больше видимой, то, предполагая сплошное покрытие поверхности этим соединением, в слое, соответствующем кривой 2 рис. 1, должно содержаться  $\frac{3000}{0.190} \approx 27$  монослоев кислорода. Это показывает, что мы здесь имеем дело уже не с поверхностным, а с объемным окислом серебра. В щелочном растворе серебро, на котором образовался такой окисел, приобретает коричневый оттенок.

Поскольку по термодинамическим условиям выше  $200^\circ\text{C}$  образование окиси серебра невозможно, то при воздействии кислорода при  $250^\circ\text{C}$ , по видимому, происходит образование нестехиометрического окисла или раствора этого окисла в поверхностных слоях серебра.

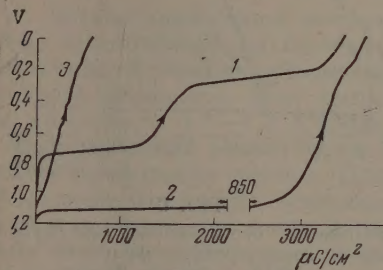


Рис. 3

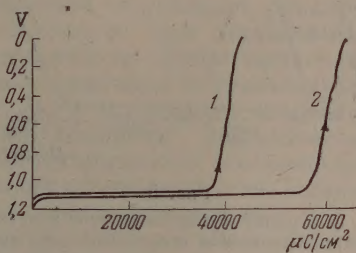


Рис. 4

Рис. 3. 1 снята при катодной поляризации серебра, прокаленного при  $800^\circ\text{C}$  после того, как было разрушено поверхностное соединение, образующееся в этих условиях; кривая 2 — восстановление окисла, образовавшегося в процессе реакции окисления этилена; кривая 3 характеризует свойства поверхности после электрохимического восстановления окисла, соответствующего кривой 2

Рис. 4. 1 — образец окислен при  $250^\circ\text{C}$  газообразным кислородом и затем прогрет в атмосфере азота при  $300^\circ\text{C}$  в течение 10 час.; 2 — образец окислен в таких же условиях, как и 1, но не прогрет в атмосфере азота

В условиях электрохимической поляризации в щелочном растворе возможны изменения, которые и приводят к тому, что первоначально образовавшийся окисел электрохимически восстанавливается как окись серебра. Таким образом свойства образовавшегося при воздействии газообразного кислорода при  $250^\circ\text{C}$  окисла серебра могут и не совпадать полностью со свойствами окисла, образованного посредством глубокого электрохимического окисления.

Образование этого окисла на поверхности серебра происходит независимо от того, какова была до этого поверхность. Кривая 2 на рис. 1 характеризует образование окисла на поверхности, которая была первоначально неоднородна. Образование этого окисла идет также и на однородной поверхности. На рис. 3 кривая 2 характеризует такой окисел, образовавшийся на поверхности серебра, которая имела до этого однородную структуру, соответствующую кривой 1 на том же рисунке\*. Электрохимическое восстановление окисла приводит к образованию неоднородной поверхности независимо от того, какая поверхность существовала до этого. Это иллюстрируется кривой 1 рис. 2 и кривой 3 рис. 3. В первом случае исходная поверхность была неоднородной, во втором — однородной. Таким образом образование и восстановление этого окисла существенно изменяют свойства поверхности серебра.

\* Такая поверхность образуется при прогреве серебра в атмосфере кислорода при  $300^\circ\text{C}$ . После восстановления образовавшегося при этом прочного кислородного соединения (на 1 В крепче связанного, чем обычная окись серебра) посадка и снятие кислорода при комнатной температуре характеризуются зависимостями кривой 1. Вопрос о причинах существования двух горизонтальных участков на кривой 1 рис. 3, характеризующих два типа кислородных поверхностных соединений, рассмотрен в [3].

Прогревание в атмосфере азота приводит к диссоциации этого окисла. На рис. 4 приведены две кривые, снятые в опытах с одинаковыми рулонами серебра, обработывавшихся в аналогичных условиях при  $250^{\circ}\text{C}$  с кислородом. Как видно из сопоставления этих кривых, количество окисла в результате термического разложения уменьшилось примерно на 30%.

Окисел, образованный на рулонах серебра в результате глубокого электрохимического окисления, термически менее устойчив.

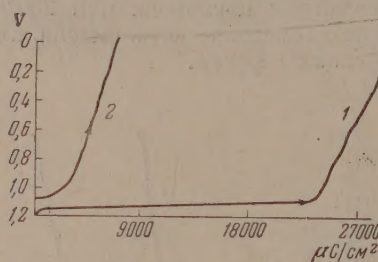


Рис. 5

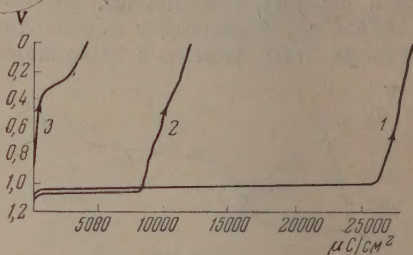


Рис. 6

Рис. 5. Кривая 1 характеризует восстановление окисла, образованного при глубоком электрохимическом окислении серебра; кривая 2 характеризует состояние такого окисла после прогрева в атмосфере азота при  $300^{\circ}\text{C}$  в течение 30 мин.

Рис. 6. Кривые зарядки, снятые с рулонов серебра, обработанных в одинаковых условиях кислородом. Кривая 1 характеризует первоначальный окисел, кривая 2 снята с рулона, который был погружен первоначально на  $\frac{1}{5}$  в щелочь, а затем промыт дистиллированной водой; кривая 3 снята с образца, целиком промытого водой перед снятием кривой зарядки

На рис. 5 сопоставлены кривые зарядки, снятые в опытах с двумя одинаковыми рулонами серебра, которые были предварительно подвергнуты в одинаковых условиях глубокому электрохимическому окислению. Сопоставление кривых показывает, что в результате этого окисел разложился почти нацело.

Таким образом окислы, полученные электрохимически и газовой термической обработкой, электрохимически восстанавливаются при одном и том же потенциале, но термически значительно более устойчив окисел, образующийся при термической кислородной обработке серебра.

Это также указывает на различие в свойствах этих окислов.

Прибавление к азоту восстановителей приводит к усилению разрушения окисла, образующегося при термической кислородной обработке. Такое восстанавливающее действие имеют водород, окись этилена и другие восстановители.

Окисел, образованный термической обработкой серебра газообразным кислородом при  $250^{\circ}\text{C}$ , не растворяется в растворе щелочи, но хорошо растворим в дистиллированной воде. Однако, если серебряный рулон предварительно частично погрузить в 0,1 N раствор КОН, то в воде этот окисел уже целиком не растворяется. Это указывает на то, что в растворе щелочи происходили изменения свойств этого окисла, сказывающиеся, в частности, на его растворимости в воде.

На рис. 6 приведены поляризационные кривые, снятые с рулонов серебра, обработанных в одинаковых условиях кислородом, а затем обработанных дистиллированной водой. Видно, что на поверхности рулона (см. кривую 2) сохранилось некоторое количество окисла. Кривая 3, снятая с рулона после того, как он был целиком промыт дистиллированной водой; на нем совершенно исчез окисел.

В дистиллированной воде, которой обрабатывались эти рулоны, установлено, наличие ионов серебра. Таким образом в отношении растворимости этот окисел сходен с окисью серебра.



Как было нами установлено, образование окисла на поверхности серебра при воздействии кислорода при  $250^{\circ}\text{C}$  заметно сказывается на свойствах серебра как катализатора реакций окисления. В большинстве случаев образование этого окисла сопровождалось пассивацией катализатора. Вероятно, что в условиях окислительного катализа происходит попеременное его образование и восстановление компонентами реакции. Детальное изучение этого процесса должно способствовать выяснению специфики окислительного катализа на серебре.

### ВЫВОДЫ

1. Электрохимическим методом исследовано образование окисла серебра, происходящее на серебряном катализаторе при каталитической окислительной реакции, а также при воздействии на серебро чистого газообразного кислорода. Этот окисел электрохимически восстанавливается при потенциале  $1,1-1,2\text{ V}$  против обратимого водородного потенциала.
2. Образование окисла происходит независимо от первоначальных свойств поверхности серебра. После электрохимического восстановления образовавшегося окисла поверхность становится неоднородной, независимо от того, какой она имела характер до образования окисла.
3. Образовавшийся окисел термически диссоциирует в атмосфере азота и восстанавливается водородом и другими восстановителями. Термически он более устойчив, чем окисел, образованный на серебре глубоким электрохимическим окислением. Его образование сопровождается изменением каталитической активности серебра.

Физико-химический институт  
им. Л. Я. Карпова  
Москва

Поступила  
24. XII. 1954

### ЛИТЕРАТУРА

1. D. L. Chapman a. W. K. Hall, Proc. Roy. Soc. A124, 478, 1929.
2. В. И. Веселовский, Журн. физ. химии, 13, 1543, 1939.
3. А. А. Раков, Диссертация, Физико-химический институт им. Л. Я. Карпова, 1947.
4. С. Я. Пшежецкий и С. А. Каменецкая, Журн. физ. химии, 23, 136, 1949; С. А. Каменецкая, Диссертация, Физико-химический институт им. Л. Я. Карпова, 1949.
5. И. Н. Влодавец и С. Я. Пшежецкий, Журн. физ. химии, 25, 613, 1951.
6. С. Я. Пшежецкий и М. Л. Влодавец, Журн. физ. химии, 24, 353, 1950.
7. С. М. Файнштейн, Журн. физ. химии, 21, 37, 1947.
8. Т. И. Борисова и В. И. Веселовский, Журн. физ. химии, 27, 8, 1953.
9. R. Luther a. F. Rokonyi, Zs. anorg. Chem., 57, 290, 1908.

## ПРИМЕНЕНИЕ ОБОБЩЕННОГО ПРАВИЛА ЦЕНТРА ТЯЖЕСТИ К ИССЛЕДОВАНИЮ МНОГОКОМПОНЕНТНЫХ ЭВТЕКТИЧЕСКИХ СПЛАВОВ

Л. С. Палатник

В предыдущих работах [1, 2] нами было сформулировано обобщенное правило центра тяжести и даны его приложения к исследованию конгруэнтных и инконгруэнтных превращений, а также последовательности процессов кристаллизации в многокомпонентных гетерогенных системах.

В настоящей работе предлагается применение обобщенного правила центра тяжести к исследованию многокомпонентных сплавов, содержащих двойные, тройные и более сложные эвтектики из чистых компонентов. В связи с общностью этого правила его можно применять для определения соотношений между массами не только сосуществующих фаз, но и сложных структур, состоящих из кристаллов нескольких фаз, какими, например, являются двойные, тройные и более сложные эвтектики.

Рассмотрим  $n$ -компонентную систему, образующую из чистых компонентов целый ряд эвтектик — двойных, тройных и т. д. Найдем соотношение между массами первичных кристаллов и всевозможных эвтектик, образовавшихся в процессе кристаллизации из жидкого расплава состава  $L$  ( $z_1 z_2 \dots z_i \dots z_n$ ), где  $z_i$  — концентрация в нем  $i$ -го компонента системы ( $i = 1, 2, \dots, n$ ). В дальнейшем предполагается, что процессы кристаллизации происходили обратимо.

Обозначим состав высшей эвтектики  $e_{123\dots n}$  через  $E(x_1 x_2 \dots x_n)$ , где  $x_i$  концентрация  $i$ -го компонента в этой эвтектике. Выберем состав жидкого расплава  $L$  (или же выберем систему обозначений) так, чтобы в общем случае имела место следующая последовательность кристаллизации первичных кристаллов и эвтектических структур:  $A_1, e_{12}, e_{123}, \dots, e_{12\dots n-1}, e_{12\dots n}$ , где индексы 1, 2, 3 и т. д. указывают номера компонентов, а число этих индексов указывает на характер кристаллизации — первичной, вторичной, третичной и т. д. (на число фаз-компонентов в данной эвтектике).

В зависимости от положения в концентрационном симплексе  $n$ -компонентной системы фигуративной точки  $L$ , изображающей состав жидкого расплава  $L$ , индексы при  $A$  и  $e$  будут различными (совместимыми с исходным составом  $L$ ).

В процессе кристаллизации из жидкой фазы  $L$  будут выделяться в указанной последовательности структуры, состав которых можно выразить матрицей концентраций [1,2]:

$$\begin{pmatrix} x_{11} & x_{12} & x_{13} & \dots & x_{1n} \\ 0 & x_{22} & x_{23} & \dots & x_{2n} \\ 0 & 0 & x_{33} & \dots & x_{3n} \\ \dots & \dots & \dots & \dots & \dots \\ 0 & 0 & 0 & \dots & x_{nn} \end{pmatrix}, \quad (1)$$

где первый индекс при  $x_{ij}$  указывает номер  $i$ -го компонента и совпадает с номером строки матрицы, второй индекс — номер  $j$ -й структуры (эвтектики) и совпадает с номером столбца матрицы. Нули означают отсутствие компонентов — начиная с номера  $i = j + 1$  до  $n$  включительно;  $x_{11} = 1$  соответствует чистому (первому) компоненту.



Заметим, что в ходе обратимого процесса кристаллизации составы первоначально образовавшихся низших эвтектик в общем случае изменяются так, что соотношения между концентрациями компонентов в низших эвтектиках постепенно приближаются к соотношениям этих же компонентов в соответствующих высших эвтектиках. В результате в конце кристаллизации соотношения между концентрациями компонентов во всех низших эвтектиках должны стать такими же, как и в наивысшей эвтектике. Все это, разумеется, связано с изменением условий равновесия сосуществующих фаз при изменении температуры.

Таким образом, какими бы ни были кривые, поверхности и гиперповерхности кристаллизации эвтектик низшего порядка, окончательный результат обратимого процесса кристаллизации должен оказаться таким же, как если бы указанные кривые, поверхности и гиперповерхности оказались бы прямыми, плоскостями и гиперплоскостями. Последние представляют собой продолжения: прямой, проходящей через точки  $E$  и  $A_1$ ; плоскости, проходящей через точку  $E$  и ребро  $A_1A_2$  симплекса; гиперплоскостей, проходящих через точку  $E$  и грань  $A_1A_2A_3$  или гиперграни  $A_1A_2A_3A_4, \dots, A_1A_2 \dots A_i$  ( $i \leq n-2$ ) и т. д. Вышесказанное следует из того, что такие прямые, плоскости и гиперплоскости являются геометрическим местом точек симплекса, где соотношения между концентрациями соответствующих компонентов являются постоянными, причем такими же, как это имеет место для наивысшей эвтектики  $E$ .

Матрицу (1) заменим расширенной матрицей, в которой, исходя из вышеизложенного, выразим концентрации всех низших эвтектик через концентрации высшей эвтектики:

$$\begin{pmatrix} \frac{x_1}{x_1} & \frac{x_1}{x_1+x_2} & \frac{x_1}{x_1+x_2+x_3} & \dots & \frac{x_1}{x_1+x_2+\dots+x_n} \\ 0 & \frac{x_2}{x_1+x_2} & \frac{x_2}{x_1+x_2+x_3} & \dots & \frac{x_2}{x_1+x_2+\dots+x_n} \\ 0 & 0 & \frac{x_3}{x_1+x_2+x_3} & \dots & \frac{x_3}{x_1+x_2+\dots+x_n} \\ \dots & \dots & \dots & \dots & \dots \\ 0 & 0 & 0 & \dots & \frac{x_n}{x_1+x_2+\dots+x_n} \end{pmatrix} \begin{pmatrix} z_1 \\ z_2 \\ z_3 \\ \dots \\ z_n \end{pmatrix} \quad (2)$$

На основании обобщенного правила центра тяжести [4] запишем соотношения между массами первичной ( $m_1$ ) и эвтектических ( $m_{12}, m_{123}, \dots, m_{123\dots i}, \dots, m_{12\dots n}$ ) структур:

$$m_1 : m_{12} : m_{123} : \dots : m_{123\dots i} : \dots : m_{12\dots n} = \frac{\Delta_1}{\Delta} : \frac{\Delta_2}{\Delta} : \frac{\Delta_3}{\Delta} : \dots : \frac{\Delta_i}{\Delta} : \dots : \frac{\Delta_n}{\Delta}, \quad (3)$$

Детерминанты в соотношениях (3) имеют следующие значения:

$$\Delta = \begin{vmatrix} \frac{x_1}{x_1} & \frac{x_1}{x_1+x_2} & \dots & \frac{x_1}{x_1+x_2+\dots+x_n} \\ 0 & \frac{x_2}{x_1+x_2} & \dots & \frac{x_2}{x_1+x_2+\dots+x_n} \\ \dots & \dots & \dots & \dots \\ 0 & 0 & \dots & \frac{x_n}{x_1+x_2+\dots+x_n} \end{vmatrix} = \frac{x_1 x_2 \dots x_n}{x_1 (x_1+x_2) \dots (x_1+x_2+\dots+x_n)}; \quad (4)$$

$$\Delta_1 = \begin{vmatrix} z_1 & \frac{x_1}{x_1+x_2} & \dots & \frac{x_1}{x_1+x_2+\dots+x_n} \\ z_2 & \frac{x_2}{x_1+x_2} & \dots & \frac{x_2}{x_1+x_2+\dots+x_n} \\ \dots & \dots & \dots & \dots \\ z_n & 0 & \dots & \frac{x_n}{x_1+x_2+\dots+x_n} \end{vmatrix} = \frac{(z_1x_2 - z_2x_1)x_3 \dots x_n}{(x_1+x_2)(x_1+x_2+x_3) \dots (x_1+x_2+\dots+x_n)} \quad (4.1)$$

$$\Delta_2 = \frac{x_1(x_3x_2 - x_2x_3)x_4 \dots x_n}{x_1(x_1+x_2+x_3) \dots (x_1+x_2+x_3 \dots x_n)}; \quad (4.2)$$

$$\Delta_i = \frac{x_1x_2 \dots x_{i-1}(z_ix_{i+1} - z_{i+1}x_i)x_{i+2} \dots x_n}{x_1(x_1+x_2) \dots (x_1+x_2+\dots+x_{i-1})(x_1+x_2+\dots+x_{i+1}) \dots (x_1+x_2+\dots+x_n)}; \quad (4.3)$$

$$\Delta_n = \frac{x_1x_2 \dots x_{n-1}z_n}{x_1(x_1+x_2) \dots (x_1+x_2+\dots+x_{n-1})}. \quad (4.4)$$

Отсюда находим

$$\begin{aligned} m_1 : m_{12} : \dots : m_{12 \dots i} : \dots : m_{12 \dots n} = \\ = \left( \frac{z_1}{x_1} - \frac{z_2}{x_2} \right) x_1 : \left( \frac{z_2}{x_2} - \frac{z_3}{x_3} \right) (x_1 + x_2) : \dots \\ \dots : \left( \frac{z_i}{x_i} - \frac{z_{i+1}}{x_{i+1}} \right) (x_1 + x_2 + \dots + x_i) : \dots : \frac{z_n}{x_n} (x_1 + x_2 + \dots + x_n). \end{aligned} \quad (5)$$

Легко убедиться, что сумма величин, стоящих в правой части выражения (5), равна единице (так как  $\sum_{i=1}^n \frac{\Delta_i}{\Delta} = 1$ ), что может служить проверкой правильности вычислений.

Для фигуративных точек  $L$ , лежащих в других полях кристаллизации, легко получить формулы, аналогичные формуле (5).

Из формулы (5) легко вычислить искомые соотношения между массами первичных и эвтектических структур при заданных составах исходного жидкого расплава  $L$  (системы) и высшей эвтектики  $E$ .

Из формулы (5) можно найти соотношения, соответствующие некоторым частным случаям эвтектической кристаллизации.

1) При отсутствии первичной кристаллизации (фигуративная точка  $L$  лежит на гиперповерхности двойных эвтектик):

$$m_1 = \left( \frac{z_1}{x_1} - \frac{z_2}{x_2} \right) x_1 = 0, \text{ откуда } \frac{z_1}{z_2} = \frac{x_1}{x_2}. \quad (6.1)$$

2) Отсутствует вторичная кристаллизация:

$$m_{12} = \left( \frac{z_2}{x_2} - \frac{z_3}{x_3} \right) (x_1 + x_2) = 0, \text{ откуда } \frac{z_2}{z_3} = \frac{x_2}{x_3}. \quad (6.2)$$

3) Отсутствует  $i$ -я кристаллизация:

$$m_{12 \dots i} = \left( \frac{z_i}{x_i} - \frac{z_{i+1}}{x_{i+1}} \right) (x_1 + x_2 + \dots + x_i) = 0, \text{ откуда } \frac{z_i}{z_{i+1}} = \frac{x_i}{x_{i+1}}. \quad (6.3)$$

4) Для расплава  $L$  эвтектического состава  $E$  находим:  $m_1 = m_{12} \dots = m_{12 \dots n-1} = 0$ , откуда следует тривиальный результат:

$$z_1 = x_1, z_2 = x_2, \dots, z_i = x_i, \dots, z_n = x_n. \quad (6.4)$$





$$z_i = m_n x_i + m_{n-1} \frac{x_i}{1-x_n} + \dots + m_l \frac{x_i}{1-x_n-x_{n-1}-\dots-x_{i+1}}, \quad (9)$$

$$z_2 = m_n x_2 + m_{n-1} \frac{x_2}{1-x_n} + m_{n-2} \frac{x_2}{1-x_n-x_{n-1}} + \dots + m_2 \frac{x_2}{1-x_n-\dots-x_3},$$

$$z_1 = m_n x_1 + m_{n-1} \frac{x_1}{1-x_n} + m_{n-2} \frac{x_1}{1-x_n-x_{n-1}} + \dots + m_2 \frac{x_1}{1-x_n-\dots-x_3} + m_1.$$

Откуда находим искомые концентрации эвтектики  $E(e_{123\dots n})$

$$x_n = \frac{z_n}{m_n}; \quad (10.1)$$

$$x_{n-1} = \frac{z_{n-1}}{m_n + \frac{m_{n-1}}{1-x_n}}; \quad (10.2)$$

$$x_{n-2} = \frac{z_{n-2}}{m_n + \frac{m_{n-1}}{1-x_n} + \frac{m_{n-2}}{1-x_n-x_{n-1}}}; \quad (10.3)$$

$$x_i = \frac{z_i}{m_n + \frac{m_{n-1}}{1-x_n} + \frac{m_{n-2}}{1-x_n-x_{n-1}} + \dots + \frac{m_i}{1-x_n-x_{n-1}-\dots-x_{i+1}}}; \quad (10.i)$$

$$x_2 = \frac{z_2}{m_n + \frac{m_{n-1}}{1-x_n} + \dots + \frac{m_2}{1-x_n-x_{n-1}-\dots-x_3}}; \quad (10. n-1)$$

$$x_1 = \frac{z_1 - m_1}{m_n + \frac{m_{n-1}}{1-x_n} + \dots + \frac{m_2}{1-x_n-x_{n-1}-\dots-x_3}}. \quad (10. n)$$

При этом решение (10.1) подставляется в уравнение (10.2); решения (10.1) и (10.2) — в (10.3); решения (10.1), (10.2), ..., (10.i) подставляются в (10.i+1) и т. д. до уравнения (10.n) включительно.

Например, в случае системы с тройной эвтектикой выражения (10) принимают вид:

$$x_3 = \frac{z_3}{m_3}; \quad (11.1)$$

$$x_2 = \frac{z_2}{m_3 + \frac{m_2}{1-x_3}} = \frac{z_2}{m_3 + \frac{m_2}{1-\frac{z_3}{m_3}}}; \quad (11.2)$$

$$x_1 = \frac{z_1 - m_1}{m_3 + \frac{m_2}{1-x_3}} = \frac{z_1 - m_1}{m_3 + \frac{m_2}{1-\frac{z_3}{m_3}}}. \quad (11.3)$$

При помощи матрицы (2) и соотношений (10) или (11) легко вычислить концентрации компонентов во всех остальных эвтектиках низшего порядка.

Вследствие криволинейности эвтектических линий, поверхностей или гиперповерхностей и близости к ним фигуративных точек концентрационного симплекса иногда возможны «псевдоконгруэнтные» или «псевдоинконгруэнтные» обратимые процессы, при которых «выделяются» или «исчезают» первичные кристаллы в эвтектиках (или низших эвтектик в высших).



Следует отметить, что в реальных системах (сплавах) процесс кристаллизации обычно отклоняется от обратимого процесса. При этом соотношения концентраций фаз (компонентов) в  $i$ -й эвтектике испытывают колебания на протяжении процесса  $i$ -й кристаллизации, и остается зафиксированным непрерывный набор этих концентраций и после охлаждения, хотя и в довольно узких пределах (вытекающих из формы вышеупомянутых эвтектических линий, поверхностей и гиперповерхностей). По указанной причине составы низших эвтектик могут и не достигать вышеуказанных (равновесных) соотношений концентраций фаз (компонентов), соответствующих высшей эвтектике. В таком случае соотношения (5) и (10) окажутся не точными, а приближенными. Нетрудно видеть, что эти соотношения будут, вообще говоря, тем точнее, чем далее отстоит от указанных эвтектических кривых линий, поверхностей и гиперповерхностей фигуративная точка  $L$ .

В заключение укажем, что обобщенное правило центра тяжести можно применить также к исследованию эвтектик, состоящих не из чистых компонентов, а из ограниченных твердых растворов, составы которых должны быть известны (заданы).

### ВЫВОДЫ

1. «Обобщенное правило центра тяжести» [1, 2] применено для определения соотношений между массами первичных фаз, двойных, тройных и более сложных эвтектик в многокомпонентных эвтектических сплавах, при заданном составе наивысшей эвтектики.

2. То же правило применено для определения составов низших и высших эвтектик по экспериментально найденным массам первичных фаз и эвтектик в многокомпонентных эвтектических сплавах.

3. Рассмотрены общие и частные случаи эвтектической кристаллизации многокомпонентных сплавов.

4. Предсказана возможность «псевдоконгруентных» и «псевдоинконгруентных» обратимых процессов, при которых «выделяются» или «исчезают» первичные кристаллы в эвтектиках и низшие эвтектики в высших при кристаллизации и плавлении многокомпонентных эвтектических сплавов.

Государственный университет  
им. А. М. Горького  
Политехнический институт  
им. В. И. Ленина  
Харьков

Поступила  
17.V. 1955

### ЛИТЕРАТУРА

1. Л. С. Палатник, ДАН, 95, 1227, 1954.
2. Л. С. Палатник и В. М. Конторович, Журн. физ. химии, 28, 1599, 1954.
3. В. И. Смирнов, Курс высшей математики, т. III, ч. 1, Гостехтеоретиздат, стр. 47, 1953.

## ГОРЕНИЕ СМЕСЕЙ ОКИСИ АЗОТА С ВОДОРОДОМ

## II. МЕХАНИЗМ РЕАКЦИИ В ПЛАМЕНИ

А. И. Розловский

## О ВОЗМОЖНОСТИ РАСПАДА ОКИСИ АЗОТА В ПЛАМЕНИ

Уже после окончания первой части настоящего исследования [1], выполненной в 1948—1949 гг., Адамс, Паркер и Вулфгард [2] опубликовали краткое сообщение о результатах своих опытов по сжиганию смесей окислов азота. Не приводя подробного описания экспериментов, они в основном дают лишь свои общие заключения о кинетике и предполагаемом механизме реакции в пламени.

Авторы [2] считают определяющей стадией реакции бимолекулярный распад окиси азота с последующим быстрым догоранием образующейся при этом водородо-кислородной смеси. В качестве одного из доказательств они приводят сходство спектров пламен распада NO и взаимодействия  $\text{NO} + \text{H}_2$ . Далее, по их мнению, предварительные данные изучения зависимости скорости пламени от давления, с учетом сдвига равновесия в продуктах сгорания, указывают на бимолекулярный характер реакции. Однако, как видно из наших результатов, у смесей, бедных NO, зависимость  $u_n(p)$  может отвечать даже первому порядку реакции, и в то же время абсолютные скорости реакции в пламени будут соответствовать тримолекулярному механизму.

Другим доказательством предлагаемого механизма авторы [2] считают совпадение максимумов  $u_n$  и  $T_b$  при стехиометрическом составе, в то время как у смесей  $\text{H}_2 + \text{O}_2$  максимум  $u_n$  сдвинут в сторону избытка  $\text{H}_2$ . Этот довод также представляется малоубедительным. Из наших измерений следует, что  $u_n$  имеет очень пологий максимум, точность определения положения которого невелика. Сравнение же в деталях горения двух смесей, совершенно различного по механизму, возможно только после его подробного изучения. Неясно, какие причины могут вызывать сдвиг максимума, если его положение определять на базе подробных сведений о кинетике обеих реакций и совершенной, еще не созданной теории нормального горения, учитывающей диффузию нескольких активных центров, сильно отличающихся по молекулярному весу, и частично диссоциированных продуктов реакции.

Предварительные измерения температурного коэффициента скорости пламени по [2] указывают на то, что энергия активации реакции в пламени больше 50 ккал/моль, однако точного значения авторы не приводят. Единственное указываемое ими численное значение  $u_n = 30$  см/сек для стехиометрической смеси при  $p = 1$  атм не очень отличается от наблюдаемого в наших опытах для  $\alpha = 0,55$  при  $p < 4$  атм значения  $u_n = 22$  см/сек. Напомним, что в этой области  $u_n$  практически не зависит от давления.

Авторы считают, что в условиях пламени скорость тримолекулярной реакции, протекающей по механизму Гиншельвуда и сотрудников, будет меньше скорости бимолекулярного распада. Наконец, отсутствие полос радикала NH в спектре пламени авторы также связывают с доказательством бимолекулярного механизма, поскольку эти полосы всегда появляются при добавлении к горящей смеси закиси азота. Однако отсутствие  $\text{N}_2\text{O}$  в реагирующих газах еще не является доказательством невозможности тримолекулярного механизма.

Если исчерпывающее объяснение наблюдаемых нами значений температурного и барического коэффициентов скорости пламени не может быть дано при помощи имеющихся данных, то обоснованный альтернативный выбор между двумя механизмами реакции:  $2\text{NO} + \text{H}_2$  или  $\text{NO} + \text{NO}$ , вполне возможен. На примере горения смеси  $\text{NO} + \text{H}_2$  с  $\alpha = 0,300$  при  $p = 10$  *атм* мы убедились, что предположение о тримолекулярном механизме реакции приводит к хорошему согласию значений энергии активации, вычисленных из температурного коэффициента предпламенной реакции, абсолютного значения ее скорости и абсолютного значения скорости реакции в пламени. В настоящее время мы располагаем достаточно подробными сведениями о кинетике медленного распада окиси азота для аналогичной проверки второго возможного механизма.

#### СОПОСТАВЛЕНИЕ БИ- И ТРИМОЛЕКУЛЯРНОГО МЕХАНИЗМА ДЛЯ РЕАКЦИИ В ПЛАМЕНИ

На основании анализа сведений о кинетике распада окиси азота установлено [3], что реакция протекает по двум параллельным механизмам — бимолекулярному и цепному. Цепная реакция возможна только в присутствии катализирующего ее кислорода. В смесях с избытком  $\text{NO}$  ее скорость много меньше, чем у бимолекулярной; эти скорости становятся соизмеримыми только при концентрациях кислорода, значительно больших концентрации окиси азота. Константа скорости бимолекулярной реакции  $k_a = 2,2 \cdot 10^{14} e^{-78200/RT}$   $\text{см}^3/\text{моль} \cdot \text{сек}$ .

Если использовать значение предэкспоненциального множителя  $k_a$  для расчета скорости рассматривавшегося ранее горения смеси с  $\alpha = 0,300$  при 10 *атм*, то окажется, что наблюдаемая скорость пламени отвечает значению энергии активации около 61—63  $\text{ккал}/\text{моль}$ , много меньшему экспериментального (для распада). Соответственно, принимая би- и тримолекулярные механизмы реакции, найдем, что в первом случае вычисленная скорость пламени в 5—6 раз ниже экспериментальной, в то время как предположение о тримолекулярном механизме дает значение скорости, большее истинного всего на 25—50%. Следовательно, в пламени скорость тримолекулярной реакции много больше, чем бимолекулярной, а потому протекание первой должно определять суммарную скорость взаимодействия  $\text{NO}$  с  $\text{H}_2$ .

Такое соотношение естественно, если учесть, что в рассматриваемых условиях число двойных соударений  $\text{NO} + \text{NO}$  всего в 12,7 раза больше числа тройных соударений  $2\text{NO} + \text{H}_2$ , энергия же активации тримолекулярной реакции гораздо ниже, чем у бимолекулярной. В связи с этим существенно выяснить, не изменится ли соотношение би- и тримолекулярных механизмов при более низких давлениях.

Термодинамический расчет дает следующий состав продуктов сгорания стехиометрической смеси при 1 *атм* (в молярных процентах):  $\text{H}_2\text{O}$ —35,10;  $\text{N}_2$ —27,69;  $\text{OH}$ —12,15;  $\text{H}_2$ —11,96;  $\text{H}$ —6,65;  $\text{O}_2$ —2,88;  $\text{O}$ —2,29;  $\text{N}$ —0,12. Принимаем  $T_b = 3073^\circ\text{K}$  в удовлетворительном согласии со значениями, вычисленными ( $3100^\circ\text{K}$ ) и измеренными экспериментально ( $3090^\circ\text{K}$ ) [2]. Принимаем также, что  $u_n$  рассматриваемой смеси мало отличается от наблюдаемого нами для  $\alpha = 0,550$  при давлениях от 1,8 до 4 *атм* постоянного значения 22  $\text{см}/\text{сек}$ . У такой смеси  $C_m = 0,550$   $\text{кал}/\text{г} \cdot \text{град}$ ,  $\bar{K}_m = 6,05 \cdot 10^{-4}$   $\text{кал}/\text{см} \cdot \text{сек} \cdot \text{град}$ ,  $\vartheta = 0,953$ . В сделанных предположениях тримолекулярный механизм ( $s_1 = 3$ ;  $s_2 = 0$ ;  $a_{01} = 1$ ) дает значение  $u_n$ , в 25 раз меньшее экспериментального, а бимолекулярный ( $s_1 = 2$ ;  $s_2 = 0$ ;  $a_{01} < 1$ ) — значение  $u_n$ , меньшее еще на 20%.

Такое сопоставление показывает, что при переходе к горению при  $p = 1$  *атм* смеси, имеющей сильно диссоциированные продукты сгорания, мы сталкиваемся с теми же трудностями, с которыми встречались при попытках определить температурный и барический коэффициенты скорости пламени. При этом экспериментальное значение скорости реакции в пламе-



ни оказывается много большим, чем при взаимодействии по простому три-молекулярному механизму, повидимому, за счет возникновения реакционных цепей в присутствии больших концентраций высокоактивных радикалов. Однако бимолекулярный механизм совершенно недостаточен для объяснения горения и при атмосферном давлении. Трудно сказать, можно ли подобрать такие смеси  $\text{NO}$  с  $\text{H}_2$ , у которых при слабой диссоциации продуктов сгорания скорость бимолекулярной реакции была бы выше скорости конкурирующей с ней тримолекулярной, однако если это и возможно, то сомнительно, чтобы для таких смесей удавалось получить стационарное пламя.

За последние годы в литературе по горению обсуждался вопрос о возможности существования стационарного пламени распада окиси азота в связи с ее эндотермической природой [4]. В работе Гиршфельдера, Кэртисса и Кэмпбелл [5] приводятся значения нормальной скорости гипотетического пламени для этой реакции, предсказанные авторами на основании разработанной ими теории.

Авторы [2] сообщают предварительные результаты своих опытов по изучению распада окиси азота в пламени бунзеновской горелки.  $\text{NO}$  с трудом поджигается, требуя при этом предварительного подогрева до  $1300^\circ\text{K}$ . Для этого состояния (при 1 *атм*) по  $[2]T_b = 3020^\circ\text{K}$ , что совпадает с результатами и наших вычислений. Пламя трудно стабилизировать, его скорость авторы [2] не смогли точно измерить и оценивают в несколько *см/сек* по отношению к несгоревшему газу при комнатной температуре.

При указанных условиях мы нашли для продуктов сгорания:  $\text{N}_2$ —45,13;  $\text{O}_2$ —41,29;  $\text{O}$ —7,92;  $\text{NO}$ —5,49;  $\text{N}$ —0,96;  $C_m = 0,308$  *кал/г·град*,  $K_m = 2,85 \cdot 10^{-4}$  *кал/см·сек·град*. Принимая  $\vartheta = 1$ , получаем  $u_n = 6$  *см/сек*. в качественном согласии с результатами опытов [2]. В то же время по расчетам [5] при предварительном подогреве до  $1292^\circ\text{K}$  температура горения составляет  $3400^\circ\text{K}$ ,  $u_n = 34$  *см/сек*. Следует оговорить, что вычисленное нами значение  $u_n$  несколько занижено, поскольку мы не учитывали цепной реакции распада  $\text{NO}$ , в то время как в зоне реакции концентрация кислорода будет значительной. Однако нужно учесть, что в работе Гиршфельдера и сотрудников этот эффект также не учтен. Напомним далее, что скорость цепной реакции становится соизмеримой со скоростью бимолекулярной только при  $\text{O}_2/\text{NO} \approx 4$ , и это соотношение мало зависит от температуры [3].

### ПРОДУКТЫ РЕАКЦИИ И ЗАКОНОМЕРНОСТИ НОРМАЛЬНОГО ГОРЕНИЯ

Изложенные факты подтверждают возможность изучения кинетики взаимодействия в пламени для смесей, не образующих сильно диссоциированных продуктов реакции, методами теории нормального горения Я. Б. Зельдовича и Д. А. Франк-Каменецкого. Эта теория дает правильное описание комплекса процессов теплопередачи, диффузии и химического превращения, осуществляющихся в пламени. Допускаемые при этом приближения и упрощения не являются слишком грубыми и не вносят принципиальных искажений в описание процесса нормального горения.

Однако существенной слабостью этой теории, равно как и всякой другой современной теории нормального горения, является невозможность даже приближенной оценки влияния диссоциации продуктов сгорания на закономерности горения. Это осложнение, на наш взгляд, носит принципиальный характер и не может быть преодолено на базе исправления и уточнения существующих теорий, а требует гораздо более детальных сведений о кинетике реакций радикалов и атомов при высоких температурах в сложных многокомпонентных системах.

В своем развитии теория нормального горения прошла большой путь: от первоначальных наивных попыток предсказывать нормальную скорость пламени горючей смеси на базе представлений о существовании постоянной

температуры воспламенения до ее современного состояния — метода изучения кинетики высокотемпературных процессов, не доступных исследованию другими средствами. Сейчас мы начинаем убеждаться, что решение таких задач в общем случае не может быть выполнено при помощи имеющихся сведений о кинетике высокотемпературных процессов, поскольку при горении смесей с сильно диссоциированными продуктами реакции мы перестаем понимать, к какой определяющей реакции и к каким условиям относятся наши измерения скорости химического превращения.

В то же время вычисление абсолютного значения величины  $\Phi_m$  в пламени попрежнему дает правильные, по крайней мере, по порядку величины результаты, однако никакие закономерности для влияния температуры, исходного состава и давления на скорость реакции уже не могут быть установлены. Изменение каждого из этих факторов может сопровождаться изменением состава в зоне максимальной скорости реакции, содержащей продукты диссоциации, которое не может быть учтено при помощи имеющихся недостаточных сведений об этих процессах. Мы попадаем в своеобразный тупик: главным препятствием в разработке кинетики высокотемпературных реакций в пламени как-раз оказывается сама недостаточность сведений по этому вопросу. И таково положение с большинством наиболее интересных горючих смесей, имеющих высокие температуры горения.

Необычно высокий эффективный температурный коэффициент скорости реакции в пламени у смесей  $\text{NO} + \text{H}_2$ , близких к стехиометрическим, на самом деле, характеризует не только (а возможно, и не столько) истинную энергию активации определяющей реакции, но и значительный рост концентрации активных продуктов диссоциации. Это влияние может искажать закономерности простейшего тримолекулярного механизма неосложненной реакции в чистых смесях  $\text{NO} + \text{H}_2$  и даже становится доминирующим по отношению к исходному процессу. Аналогичным образом эффективный барический коэффициент характеризует также и влияние давления на изменение концентрации активных продуктов в зоне максимальной скорости реакции.

Абсолютные значения скорости реакции в пламени соответствуют тримолекулярному механизму  $2\text{NO} + \text{H}_2$  только для смесей со слабо диссоциированными продуктами сгорания (высокое давление, низкая  $T_b$ ). Понижение давления и приближение к стехиометрическому составу, увеличивая диссоциацию, приводят к увеличению скорости реакции в пламени в десятки и сотни раз по сравнению с вычисляемой из механизма Гиншельвуда в связи с протеканием реакции по иному, вероятно, цепному механизму.

Изложенные соображения не дают никаких оснований для пессимистических выводов о судьбах теории нормального горения. Заключение об ограниченности ее возможностей на данном этапе развития предостерегает нас только от скороспелых необоснованных заключений о кинетике реакции в пламени, имеющей сложный неизученный механизм, и от далеких экстраполяций кинетических закономерностей в высокотемпературную область. В то же время и в современном несовершенном состоянии теории горения позволяет делать правильные, по порядку величины, определения абсолютных значений скорости реакции в пламени, вне зависимости от истинной кинетики, необходимые для практически важных оценок теплонапряженности. Не следует также недооценивать и возможность изучения кинетики в области умеренных температур горения для смесей со слабо диссоциированными продуктами сгорания.

В связи с изложенным нам представляется сомнительным выбор задач целого направления исследований процессов горения, развивающегося за последние годы рядом выдающихся исследователей [4]. Ставя основной целью по возможности точное решение уравнений теплопроводности и диффузии в пламени (с широким применением численных методов и электронных вычислительных машин), эти исследования упускают из виду несовер-

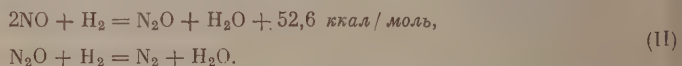
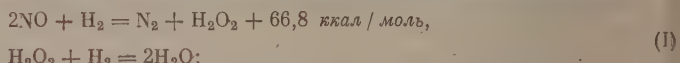


шенство наших сведений о кинетике высокотемпературных реакций, играющей главную роль в определении закономерностей горения.

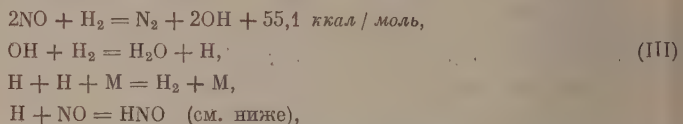
Мы полагаем, что при нынешнем состоянии теории горения такие уточнения имеют второстепенную ценность. В тех случаях, когда кинетика реакции не осложнена протеканием неизученных или вообще неизвестных реакций, простая теория Я. Б. Зельдовича и Д. А. Франк-Каменецкого дает результаты, хорошо согласующиеся с опытными. Поэтому внимание исследователей целесообразно направить не столько на уточнение приближенных решений дифференциальных уравнений горения, сколько на глубокое изучение химизма реальных процессов в пламенах, кинетики элементарных реакций, а также определение истинной структуры и состава зоны пламени, определяющей величину нормальной скорости.

### ЭЛЕМЕНТАРНЫЕ РЕАКЦИИ В ПЛАМЕНИ $\text{NO} + \text{H}_2$

Возвращаясь к вопросу о механизме реакции в пламени  $\text{NO} + \text{H}_2$ , необходимо обратить внимание на то, что если тримолекулярный механизм достаточно обоснован работами Гиншельвуда и сотрудников, то вопрос о продуктах этой реакции оставался до настоящего времени открытым. Гиншельвуд и Грин считали возможным один из двух механизмов:



Шумахер [6] отдает предпочтение первому механизму, с чем, как нам кажется, можно согласиться уже на основании указаний [2] о появлении полос  $\text{NH}$  в спектре пламени в присутствии  $\text{N}_2\text{O}$ . Нельзя, однако, безоговорочно исключить и третий механизм, включающий образование гидроксила:



с последующей рекомбинацией радикалов  $\text{HNO}$  (возможно, гетерогенной).

Вопрос об образовании гидроксила было бы интересно решить на основании изучения спектров поглощения для смеси, реагирующей в предпламенной области. Так обстоит дело при умеренных температурах, при которых радикалы  $\text{OH}$  и  $\text{HNO}$  либо не образуются в значительных количествах, либо имеют низкую реакционную способность.

Радикал  $\text{HNO}$  давно фигурирует в теории гетерогенно-каталитического окисления аммиака в качестве возможного промежуточного продукта. Его образование при взаимодействии атомарного водорода с окисью азота было продемонстрировано Гартеком [7]. Тэйлор и Тэнфорд [8] считают  $\text{HNO}$  одним из промежуточных продуктов взаимодействия  $\text{NO}$  и  $\text{H}_2$ , фотосенсибилизированного ртутью, осуществляющегося при низких температурах за счет образования атомарного водорода. Поэтому можно ожидать, что любые добавки, способствующие образованию атомарного водорода, например кислород при умеренных температурах, будут ускорять и реакцию расщепления окиси азота водородом.

В схеме (см. [8]) радикалы  $\text{HNO}$  разлагаются, не образуя реакционных цепей, что, вероятно, справедливо для низких температур. Авторы [2] исключают присутствие радикалов  $\text{HNO}$  в пламени ввиду возможности при этом реакции

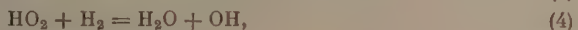


которую они отвергают из-за указанного отсутствия в пламени  $N_2O$ . Мы полагаем, что радикалы  $HNO$  все же образуются в пламени у смесей с сильно диссоциированными продуктами сгорания и обеспечивают возможность цепного механизма реакции при высоких температурах.

При наличии внешнего источника активных центров, каким является диффузия из зоны диссоциированных продуктов сгорания, возможно образование цепи реакций без участия закиси азота:



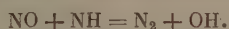
либо



Реакции (1), (2), (4) и (5) являются основными звеньями цепи, три из них (кроме (2)) установлены прямыми опытами при изучении окисления водорода окисью азота и кислородом. Участие малоактивного радикала  $HO_2$  в окислении водорода становится возможным при высоких температурах [9]. Обрыв цепей осуществляется при реакции (3) и рекомбинации атомарного водорода.

Реакция (4) имеет довольно высокую энергию активации — 24 ккал/моль. Повидимому, энергия активации реакции (2) еще больше, и она осуществляется только при температурах пламени. Реакция обрыва цепи (3) конкурирует с реакцией ее продолжения (2). Образование  $N_2O$  при горении представляется маловероятным, если учесть известные факты о сравнительной легкости распада этого окисла. Дальнейшее изучение свойств радикала  $HNO$  при высоких температурах позволит дать оценку обоснованности предлагаемой схемы.

Косвенное подтверждение участия радикала  $HNO$  в цепной реакции между окисью азота и водородом дают результаты опытов [2] по изучению горения смесей  $NO$  с  $NH_3$ . Несмотря на более низкие температуры горения, эти смеси легче поджигаются и имеют значительно большие  $u_n$ . Предлагаемый вторыми механизм включает легко осуществляющуюся реакцию



Можно полагать, что элементарная реакция раскисления окиси азота приводит к образованию молекулы  $N_2$ , в связи с чем устраняется необходимость преодолевать энергетический барьер, обусловленный высокой энергией диссоциации азота. Поэтому следует ожидать, что молекула  $NO$  будет легче всего взаимодействовать с радикалами, содержащими атом азота.

## О КРИТИЧЕСКИХ УСЛОВИЯХ ВОСПЛАМЕНЕНИЯ СМЕСЕЙ ОКИСИ АЗОТА

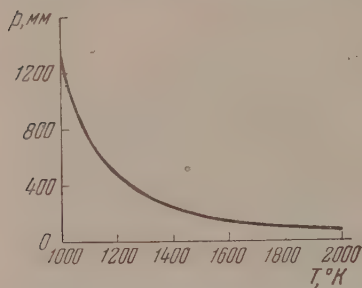
В области умеренных температур, при которых тримолекулярный механизм реакции  $NO + H_2$  вряд ли вызывает сомнения, можно предсказать возможность самовоспламенения этих смесей и вычислить о критические условия по методу Д. А. Франк-Каменецкого [10], считая энергию активации равной 47,8 ккал/моль. Результаты этих вычислений представлены на рисунке (стр. 1450) для условий опытов Иншельвуда и сотрудников, проводившихся в сферической колбе с объемом 300 см<sup>3</sup> для смеси с  $\alpha = 0,667$ . Поскольку в этих опытах температура не превышала 1100°K, а давление — 600 мм, авторы не обнаружили самовоспламенения смесей окиси азота, хотя, не зная о этой возможности, они вплотную подошли к критической области.

Любопытно сопоставить критические условия самовоспламенения смесей  $NO + H_2$  с данными Я. Б. Зельдовича и Ю. Х. Шаулова о горении па-



ров метилнитрата [11]. Продукты реакции при постоянном давлении, равном атмосферному, содержат около 70% азота в виде NO. Напротив, сжигание в жестком сосуде приводит к полному раскислению связанного азота. При этом реакция протекает в две стадии с последовательным распространением двух пламен.

После прохождения первого пламени продукты реакции нагреваются за счет адиабатического сжатия, приводящего, как известно, к возникновению значительного градиента температуры [12]. При этом горючие продукты неполного сгорания воспламеняются в центре колбы, и распространение второго пламени приводит к окончательному раскислению всего связанного азота. Изменение методики опыта, устраняющее адиабатическое сжатие продуктов сгорания, приводило к исчезновению второго пламени.



Критические условия воспламенения смеси  $2\text{NO} + \text{H}_2$  в сферическом сосуде диаметром 8,3 см

Выше было показано [1], что горение смесей окиси азота, содержащих добавки метана, происходит со скоростями того же порядка, что и для чисто водородных. Можно полагать, что и критические условия воспламенения таких смесей будут сходны. Как показали Я. Б. Зельдович и Ю. Х. Шаулов, в первом пламени метилнитрата развивается температура порядка  $1300^\circ\text{K}$ . Из рисунка видно, что при 50 мм — начальном давлении этих опытов — самовоспламенение смесей окиси азота еще невозможно.

К концу распространения первого пламени давление растет примерно в 20 раз, при этом адиабатическое сжатие повышает температуру в центре сосуда до  $2500^\circ\text{K}$ . Критическое давление воспламенения продуктов реакции первого пламени для рассматриваемых опытов в сделанных предположениях должно составлять 70–100 мм. Надо полагать, что, разбавляя пары метилнитрата инертным газом и понижая тем самым температуру продуктов горения, можно предотвратить возникновение второго пламени. Варьируя начальное давление смеси и содержание инертного разбавителя, можно определить критические условия воспламенения в продуктах реакции первого пламени.

Было бы интересно провести также прямое определение критических условий воспламенения смесей  $\text{NO} + \text{H}_2$ . Учитывая флегматичность этих смесей, было бы целесообразно проводить такое исследование методом адиабатического сжатия горючей смеси быстрым газовым потоком, в принципе сходным с описанным в работе Я. Т. Гершаника, Я. Б. Зельдовича и А. И. Розловского [13], или в аналогичной металлической установке, допускающей изучение процесса при высоких давлениях и температурах.

## ВЫВОДЫ

1. Показано, что предположение об определяющей роли реакции распада NO в пламени смесей  $\text{NO} + \text{H}_2$  не может быть достаточно обосновано наблюдаемыми закономерностями распространения пламени.

2. Абсолютные значения скорости реакции в пламени смеси со слабо диссоциированными продуктами реакции находятся в хорошем согласии с вычисленными из тримолекулярного механизма, в то время как скорость бимолекулярного распада NO в этих условиях еще недостаточна для объяснения наблюдаемых скоростей горения. У смесей с сильно диссоциированными продуктами сгорания скорость реакции в пламени значительно больше вычисляемой из тримолекулярного механизма, но скорость бимолекулярной реакции при этом еще меньше. Отсюда следует, что реакция

в пламени при высоких  $T_b$  и низких  $p$  протекает по цепному механизму, а бимолекулярный распад не реализуется в пламени ни при каких условиях.

3. Вычислена скорость пламени распада NO, качественно согласующаяся с экспериментальной; расчеты [5] дают сильно завышенные  $u_n$  для этой реакции.

4. Дана оценка перспектив развития теории нормального горения для реальных процессов, осложненных диссоциацией продуктов сгорания.

5. Предложено цепной механизм реакции для горения смесей NO + H<sub>2</sub> в условиях сильной диссоциации продуктов реакции.

6. Вычислены критические условия воспламенения для смесей NO + H<sub>2</sub>. Результаты расчетов качественно подтверждают трактовку двухстадийного механизма горения метилнитрата.

Академия наук Азерб.ССР  
Институт физики и математики  
Баку

Поступила  
24. V. 1955

#### ЛИТЕРАТУРА

1. А. И. Розловский, Журн. физ. химии, **30**, 912, 1956.
2. G. K. Adams, W. G. Parker a. H. G. Wolfhard, Discuss. Farad. Soc., № 14, 97, 1953.
3. А. И. Розловский, Журн. физ. химии, **30**, 1349, 1956.
4. M. Evans, Chem. Rev., **51**, 363, 1952.
5. J. O. Hirschfelder, C. F. Curtiss a. D. E. Campbell, Journ. Phys. Chem., **57**, 403, 1953.
6. H. J. Schumacher, Chemische Gasreaktionen, Dresden — Leipzig, 1938.
7. P. Harteck, Ber., **66**, 423, 1933.
8. H. A. Taylor a. C. Tanford, Journ. Chem. Phys. **12**, 47, 1944.
9. А. Б. Налбандян и В. В. Воеводский, Механизм окисления и горения водорода, Изд-во АН СССР, 1949.
10. Д. А. Франк-Каменецкий, Журн. физ. химии, **13**, 738, 1939.
11. Я. Б. Зельдович и Ю. X. Шаулов, Журн. физ. химии, **20**, 1359, 1946.
12. H. Mache, Die Physik der Verbrennungerscheinungen, Leipzig, 1918.
13. Я. Т. Гершаник, Я. Б. Зельдович и А. И. Розловский, Журн. физ. химии, **24**, 85, 1950.
14. F. Kaufman a. J. K. Kels<sup>o</sup>, Journ. Chem. Phys., **23**, 1702, 1955.

*Примечание при корректуре.* Согласно последнему сообщению Кауфмана и Келсо [14], распад NO в широком интервале изменения условий опыта протекает по второму порядку с энергией активации 64 ккал/моль, причем ее скорость не зависит от концентрации кислорода. Эти кинетические закономерности, с неопределенным физическим смыслом, представляются сомнительными как в свете данных предшествующих исследований, так и ввиду несоответствия механизму реакции. Заниженное значение  $A$  при предэкспоненциальном множителе, меньшем на 2 порядка величины, чем в работе Байза и Фреча (см. [3]), тем менее убедительно, что в координатах  $\lg k - 1/T$  данные [14] укладываются на ту же прямую, что и для всех предшествующих исследований.

Следует иметь в виду, что при использовании новых (сомнительных) данных [14] вычисленное значение  $u_n$  пламени распада NO окажется еще меньше и станет неправдоподобно малым, а вычисляемая скорость взаимодействия NO + H<sub>2</sub> по гипотетическому бимолекулярному механизму [2] будет еще меньше экспериментального значения.



О ДИФФЕРЕНЦИАЛЬНОЙ ЕМКОСТИ МЕДНЫХ АНОДОВ В  $\text{H}_3\text{PO}_4$ 

С. И. Кричмар, Л. А. Шапунов и В. П. Галушко

В ряде работ, посвященных вопросам электрохимической полировки меди и медных сплавов, обсуждаются причины возникновения предельного тока на вольтамперных кривых. Большинство авторов склонно полагать, что причиной появления предельного тока является образование у поверхности металла слоя насыщенного раствора продуктов реакции [1]. А. В. Фортунатов и А. В. Финкельштейн считают возможным образование в этих условиях окисных слоев [2]. Во многих работах упоминается также о своеобразной пассивности анода [3].

Для выяснения причины появления предельного тока в случае электрополировки меди и медных сплавов в растворах  $\text{H}_3\text{PO}_4$  мы изучали изменение дифференциальной емкости электрода с потенциалом при одновременном снятии вольтамперной кривой. Как известно, этот метод широко использован в ряде работ для обнаружения адсорбционных и пассивирующих слоев [4, 5].

Емкость двойного слоя измерялась нами по методу сравнения. Частота переменного тока в опытах равнялась 3,5 кГц. Потенциал анода измерялся по отношению к насыщенному каломельному электроду при помощи электронного потенциометра. В качестве анодов применялись вертикально расположенные стерженьки из электролитической меди,  $\alpha + \beta$ -латуни и алюминиевой бронзы. Рабочая поверхность равнялась 0,3—0,4 см<sup>2</sup>. Для очистки поверхности анода электрод подвергался 30-минутной полировке в 10 М растворе  $\text{H}_3\text{PO}_4$ . Катодом служила медная пластинка с рабочей поверхностью примерно в 40 см<sup>2</sup>.

Результаты экспериментов представлены на рис. 1—4. Как видно из приведенных данных, для всех рассматриваемых случаев кривая  $c-\varphi$  имеет резкий максимум, отвечающий началу площадки предельного тока (0,15—0,20 В по нормальному каломельному электроду) сф. Для высоких концентраций ортофосфорной кислоты (5—15 моль/л) (рис. 1), при которых протекает процесс полировки, величина емкости в области потенциалов, соответствующих предельному току, значительно ниже, чем первоначальная ( $\varphi = +0,04$  В по нормальному каломельному электроду). Далее, в области потенциалов 1,3—1,5 В наблюдается второй максимум емкости.

Отмеченные особенности кривых дают основание предполагать образование пленок твердой фазы на поверхности анода в области предельного тока. Образование площадки предельного тока на  $i-\varphi$ -кривой может быть объяснено тогда следующим образом.

По мере роста плотности тока и повышения потенциала анода непосредственно у его поверхности возрастает концентрация продуктов реакции и при некотором потенциале, наконец, достигает насыщения. Дальнейшее незначительное повышение потенциала вызывает образование твердой фазы на аноде, на что указывает первый максимум на кривой емкость — потенциал. Теперь повышение потенциала не может вызвать возрастания силы тока, так как процесс лимитируется скоростью отвода продуктов реакции от анода. Скорость отвода зависит от концентрации продуктов непосредственно у анода, последняя же постоянна и соответствует насыщению. Поэтому в области предельного тока концентрационная поляризация не может изменяться по мере повышения потенци-

ала; рост потенциала обусловлен падением напряжения на твердой пленке. Таким образом независимость плотности тока от потенциала в этих условиях может быть объяснена либо уменьшением числа и диаметра пор в пленке, либо ее утолщением, либо и тем и другим одновременно. Во всех

$C, \mu\text{F}/\text{cm}^2 \quad i \cdot 10^{-2} \text{A}/\text{cm}^2$

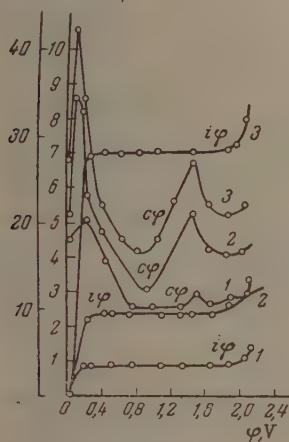


Рис. 1

Рис. 1. Кривые  $i-\varphi$  и  $C-\varphi$  для случая растворения меди в ортофосфорной кислоте различных концентраций: 1 — 15 моль/л; 2 — 10 моль/л; 3 — 5 моль/л

$i \text{ A}/\text{cm}^2 \quad C, \mu\text{F}/\text{cm}^2$

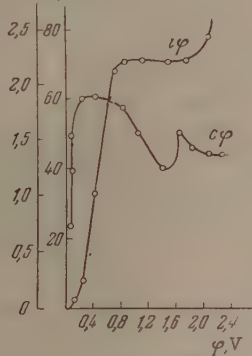


Рис. 2

Рис. 2. Кривые растворения меди в 1M  $\text{H}_3\text{PO}_4$

$C, \mu\text{F}/\text{cm}^2 \quad i \cdot 10^{-2} \text{A}/\text{cm}^2$

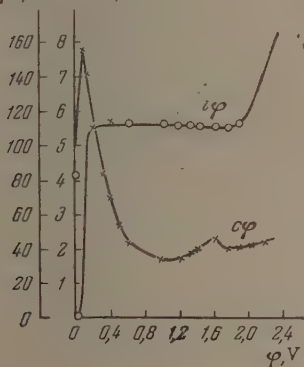


Рис. 3

Рис. 3. Кривые растворения  $\alpha+\beta$ -латуни в 10 M  $\text{H}_3\text{PO}_4$

$C, \frac{\mu\text{F}}{\text{cm}^2} \quad i \cdot 10^{-2} \text{A}/\text{cm}^2$

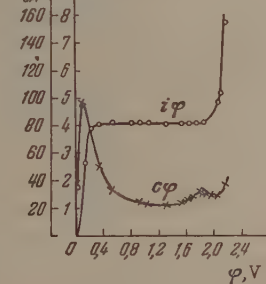


Рис. 4

Рис. 4. Кривые растворения алюминиевой бронзы в 10 M  $\text{H}_3\text{PO}_4$

случаях должно иметь место падение емкости вдоль площадки предельного тока, что в действительности и наблюдается на опыте.

При снятии вольтамперных кривых в области предельного тока очередное повышение напряжения на ячейке вызывает кратковременное возрастание тока выше предельного. Однако в дальнейшем ток быстро достигает первоначального значения.

Так как скорости перехода металла в раствор и отвода продуктов реакции равны, добавочное количество вещества, вызывающее возрастание со-



противления пленки при изменении напряжения, может быть введено в слой только за счет временного превышения скорости растворения над скоростью отвода продуктов. Это обстоятельство также подтверждает вышеизложенные соображения.

Второй максимум, наблюдаемый при 1,4—1,6 В, предшествует области выделения кислорода и, возможно, указывает на образование окисного слоя на поверхности металла.

Что касается толщины образующихся пленок, то, учитывая, что в области предельного тока емкость падает примерно в два раза по сравнению с первоначальной, и, полагая порядок диэлектрической постоянной равным 10, будем иметь  $l \sim 10^{-7}$  см. Окисные слои, наблюдаемые при более высоких потенциалах, вероятно, несколько тоньше.

Следует отметить, что в отличие от картины, наблюдаемой при высоких концентрациях, максимум на кривой  $c - \varphi$  для 1 моль/л  $H_3PO_4$  выражен слабее, а величина дифференциальной емкости в области предельного тока остается выше, чем при равновесном потенциале (40 мВ по нормальному каломельному электроду). Образующаяся в этих условиях пленка имеет другую природу, чем, вероятно, объясняется отсутствие полировки при низких концентрациях  $H_3PO_4$ .

### ВЫВОДЫ

На основании измерений дифференциальной емкости электрода при различных значениях анодного потенциала высказано предположение о существовании тонкой пленки продуктов реакции в области площадки предельного тока для случаев электрохимической полировки меди и ее сплавов в растворах ортофосфорной кислоты.

Днепропетровский  
государственный университет

Поступила  
30. V. 1955

### ЛИТЕРАТУРА

1. В. И. Лайнер, Электрохимическая полировка и травление металлов, Машгиз, М., 1948; Л. Я. Богорад, С. Я. Грилихес, Р. С. Арсон, Электрохимическое полирование сталей, Ленгиз, Л., 1951.
2. А. В. Фортунатов и А. В. Финкельштейн, ДАН, 90, 823, 1953.
3. П. В. Щиголев, Н. Д. Томашев, ДАН, 100, 327, 1955.
4. А. Н. Фрумкин, В. С. Багоцкий, З. А. Иофа, Б. Н. Кабанов, Кинетика электродных процессов, Изд-во МГУ, 1952.
5. Т. И. Борисова и В. И. Веселовский, Журн. физ. химии, 27, 1195, 1953.

## К ВОПРОСУ О РАЗНОСТИ ПОТЕНЦИАЛОВ НА ГРАНИЦЕ ВОДА — ГАЗ

*А. Н. Фрумкин, Э. А. Иофа и М. А. Герович*

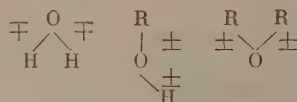
### ВЫВОДЫ, ОСНОВАННЫЕ НА ИССЛЕДОВАНИИ ПОВЕРХНОСТНЫХ СВОЙСТВ ВОДНЫХ РАСТВОРОВ

Существенное значение для решения ряда электрохимических задач имеет определение разности потенциалов на границе между водными растворами электролитов и газовой фазой\*, часто обозначаемой через  $\chi$ . Эта величина, как и всякая другая отдельная разность потенциалов (гальвани-потенциал), не может быть найдена непосредственно из опыта, который дает только величины  $\Delta\chi = \chi_2 - \chi_1$ , характеризующие изменение величины  $\chi$  при изменении состава поверхностного слоя. Систематические исследования растворов неорганических электролитов, проведенные А. Н. Фрумкиным [1], показали, что величина  $\chi$  в случае разбавленных растворов мало изменяется с природой электролита. Однако в случае растворов, содержащих слабо гидратированные анионы большого радиуса, как, например,  $\text{J}^-$  в не слишком малых концентрациях, наблюдается сдвиг  $\chi$  в положительную сторону по сравнению с разбавленными растворами таких электролитов, как  $\text{H}_2\text{SO}_4$  или  $\text{KCl}$ , указывающих на преимущественное проникновение аниона в поверхностный слой раствора. Наличие последнего подтверждается также измерениями поверхностного натяжения. В качестве примера укажем, что величина изменения  $\chi$  при переходе от 0,01 *N*  $\text{KCl}$  к 2 *N*  $\text{KJ}$  составляет около 0,05 В\*\*. Аналогичного эффекта в случае катионов наблюдать не удается; так,  $\chi$ -потенциалы растворов солей  $\text{Cs}$  и  $\text{Na}$  практически совпадают. Положительные (если относить их к 0,01 *N*  $\text{KCl}$ ) и притом несколько большие по своей абсолютной величине значения  $\Delta\chi$  наблюдаются в случае растворов неорганических кислот, как, например,  $\text{HClO}_4$  или  $\text{HBr}$ . В этом случае необходимо принять для адсорбированной ионной пары  $\text{H}^+$ ,  $\text{A}^-$ , где  $\text{A}^-$  — анион кислоты, преимущественную ориентацию отрицательно заряженного компонента в сторону газовой фазы. Эти опытные данные послужили основанием для предположительного утверждения об аналогичной ориентации молекулы воды [2]. Если допустить, что кислородные атомы в воде в среднем находятся ближе к газовой фазе, чем водородные, то  $\chi_{\text{H}_2\text{O}}$ , т. е.  $\chi$ -потенциал достаточно разбавленных растворов поверхностно-неактивных электролитов, например  $\text{KCl}$ , должен быть положительным. Это допущение позволяет истолковать изменения  $\chi$ , наблюдаемые при введении в водные растворы поверхностно-активных органических тел. Так, при переходе от воды к растворам спиртов  $\chi$ -потенциал сдвигается в отрицательную сторону; переход от спиртов к простым эфирам приводит к дальнейшему сдвигу  $\chi$  в отрицательную сторону, доходящему в сумме до  $-0,5 \div -0,6$  В. Расположение молекул воды, спиртов и эфиров в поверхностном слое

\* Под «газовой фазой» здесь и в дальнейшем подразумевается водяной пар, возмущений или любой другой газ, присутствие которого не вызывает появления посторонних молекул в поверхностном слое воды в концентрации, которая могла бы повлиять на величину  $\chi$ -потенциала.

\*\* В цитированной работе приведены значения потенциалов газ — раствор, поэтому здесь стоят знаки, обратные указанным в [1].

можно себе представить схематически следующим образом, в соответствии с тем, что хорошо известно об ориентации молекул с полярной группой и углеводородной цепью из данных по поверхностному натяжению:



Таким образом замена связи О—Н, ориентированной отрицательным концом в сторону газовой фазы, на связь О—R, ориентированную в ту же сторону положительным концом, приводит к изменению  $\chi$ -потенциала на величину порядка  $-0,3$  В. Так как, с другой стороны, степень ориентации во втором случае, вероятно, больше, чем в первом, то составляющая  $\chi$ -потенциала, определяемая каждой О—Н связью воды, вряд ли превышает  $0,1$  В. Отсюда следует, что  $\chi$ -потенциал воды должен иметь небольшое положительное значение порядка  $0,1-0,2$  В.

В дальнейших теоретических и экспериментальных работах были получены данные, заставившие заново вернуться к вопросу о знаке и величине  $\chi_{\text{H}_2\text{O}}$ . Данные эти основываются на двух принципиально различных способах рассмотрения этого вопроса, в соответствии с чем мы разобьем их на две группы. Остановимся сначала на тех работах, в которых были использованы результаты исследования поверхностных свойств водных растворов.

**Электрокапиллярные измерения.** Существенное значение для определения знака  $\chi_{\text{H}_2\text{O}}$  имеет сопоставление значений  $\Delta\chi$  на границе раствор — воздух со значениями смещения максимума электрокапиллярной кривой при переходе от разбавленных водных растворов неорганических электролитов к растворам, содержащим адсорбирующиеся органические вещества [3].

Если мы обозначим потенциал максимума электрокапиллярной кривой (потенциал нулевой точки), измеренный относительно каломельного или водородного электродов, в случае воды, не содержащей посторонних адсорбируемых веществ, — через  $E_1$ , ту же величину в случае раствора органического вещества, например, амилового спирта или тиомочевины, — через  $E_2$ , то величина  $E_2 - E_1$  выразит, очевидно, изменение разности потенциалов ртуть — раствор, а величина  $E_1 - E_2$  изменение разности потенциалов раствор — ртуть, вызванное заменой молекул воды на молекулы органического вещества в отсутствие ионных двойных слоев. Величина  $E_1 - E_2$  вполне сравнима со значениями  $\Delta\chi$ , рассмотренными выше. Действительно, разность потенциалов раствор — ртуть в максимуме электрокапиллярной кривой можно разложить на две составляющие, из которых одна зависит от распределения плотности электронного облака у поверхности металла, другая же — от ориентации диполей молекул растворителя или адсорбированных растворенных веществ. Если считать в первом приближении первую из этих величин не зависящей от природы раствора, вторую же обозначить через  $\chi^{\text{Hg}}$  то, очевидно,

$$\Delta\chi^{\text{Hg}} = \chi_{\text{раств}}^{\text{Hg}} - \chi_{\text{H}_2\text{O}}^{\text{Hg}} = E_1 - E_2. \quad (1)$$

Сопоставление величин  $\Delta\chi^{\text{Hg}}$  и  $\Delta\chi$  представляет интерес \*, так как позволяет привести дополнительные аргументы в пользу выводов об ориентации молекул, полученных ранее, используя особенности адсорбционных про-

\* В цитированных работах адсорбционные потенциалы, наблюдаемые на границе со ртутью, характеризованы величиной  $\epsilon_{\text{Hg}}$ . В использованных здесь обозначениях величина  $\epsilon_{\text{Hg}} = E_2 - E_1$ , т. е. имеет знак, обратный величине  $\Delta\chi^{\text{Hg}}$ . Мы выбрали здесь иной знак интересующей нас величины, чтобы сделать возможным сопоставление со значениями  $\chi$  для границы раствор — воздух, сохраняя для  $\chi$  истолкование знака, принятое в настоящее время в литературе.



цессов, протекающих на границе раствора со ртутью [4]. В случае границы раствор — газ у нас имеются вполне определенные представления о значении  $\chi$ , обусловленном ориентацией молекул, для случая органических тел, содержащих полярные связи C—O или C=O (простые и сложные эфиры, кетоны). Адсорбционное поведение алифатических спиртов, кетонов, эфиров на границе раствор — ртуть настолько сходно с их поведением на границе раствор — газ, что выводы эти могут быть несомненно перенесены и на границу раствор—ртуть\*. Отсюда вытекает, что величина  $\chi_{\text{Hg}}$  для случая растворов, например ацетона, этилового эфира или этилацетата, имеет отрицательное значение.

С другой стороны, можно с большой уверенностью утверждать, что на границе со ртутью молекулы соединений, содержащих двувалентную серу или галогены, особенно бром и иод, ориентируются этими отрицательно заряженными атомами по направлению к металлической фазе. Это следует, в частности, из большого возрастания энергии адсорбции такого рода соединений при переходе от границы раствор — газ к границе раствор — ртуть, необъяснимого, если не предположить тесного взаимодействия между атомами S, Br, J и поверхностью ртути. Отсюда вытекает, что величина  $\chi_{\text{раств}}^{\text{Hg}}$  в случае растворов, содержащих тиосоединения и галогениды в концентрациях, достаточных для того, чтобы процесс адсорбции обеспечил заполнение поверхности раздела молекулами указанных соединений, положительна.

Из электрокапиллярных измерений следует, что величина  $\chi_{\text{H}_2\text{O}}^{\text{Hg}}$  лежит между значениями  $\chi_{\text{раств}}^{\text{Hg}}$ , характеризующими растворы галогенидов, с одной стороны, и алифатических и кислородсодержащих соединений — с другой, что позволяет фиксировать на основании вышеизложенных рассуждений верхний и нижний пределы этой величины. Поясним это на конкретных примерах. Обозначим через  $\chi_{\text{C}_4\text{H}_{10}\text{O}}^{\text{Hg}}$  и через  $\chi_{\text{C}_2\text{H}_5\text{J}}^{\text{Hg}}$  величины  $\chi_{\text{раств}}^{\text{Hg}}$  соответственно для растворов, насыщенных этиловым эфиром и иодистым этилом. Согласно опытным данным [7],

$$\chi_{\text{C}_2\text{H}_5\text{J}}^{\text{Hg}} - \chi_{\text{H}_2\text{O}}^{\text{Hg}} = 0,35 \text{ и } \chi_{\text{C}_4\text{H}_{10}\text{O}}^{\text{Hg}} - \chi_{\text{H}_2\text{O}}^{\text{Hg}} \approx -0,38.$$

Далее, так как на основании вышеизложенного  $\chi_{\text{C}_2\text{H}_5\text{J}}^{\text{Hg}} > 0$  и  $\chi_{\text{C}_4\text{H}_{10}\text{O}}^{\text{Hg}} < 0$ , то отсюда следует, что  $0,38 > \chi_{\text{H}_2\text{O}}^{\text{Hg}} > -0,35$ . Эти пределы можно было бы еще несколько сузить, используя значения  $\chi_{\text{раств}}^{\text{Hg}}$  для других поверхностно-активных веществ. Абсолютная величина  $\chi_{\text{H}_2\text{O}}^{\text{Hg}}$ , таким образом, вероятно, не превышает 0,2—0,3 В, что подкрепляет правильность аналогичного вывода, к которому мы пришли при рассмотрении возможного значения  $\chi_{\text{H}_2\text{O}}^*$ .

\* Макор [5] предполагает, что не только вода, но и содержащие кислород алифатические соединения, например ацетон, ориентируются кислородным атомом к ртути. Однако, поскольку ориентация кислородсодержащих полярных алифатических соединений на границе раствор — газ углеводородной цепью в сторону газовой фазы не вызывает сомнений [6], то схема Макара делает параллелизм в поведении этих соединений на обеих границах раздела совершенно непонятным и должна быть отвергнута.

\*\* Согласно Олю и Стрелову [8] помимо нулевой точки ртути, в которой согласно определению обращается в нуль плотность заряда поверхности металла и сохраняется разность потенциалов металл—раствор, обусловленная ориентацией молекул воды (по терминологии Оля и Стрелова «потенциал Липмана»), существует еще «потенциал Биллитера», при котором скачок потенциала в растворе исчезает полностью. По Олю и Стрелову «потенциал Биллитера», измеренный против нормального водородного электрода, лежит при +0,475, откуда, учитывая, что нулевая точка ртути («потенциал Липмана») в этой шкале лежит при -0,192 [7], для величины  $\chi_{\text{H}_2\text{O}}^{\text{Hg}}$  получается невозможно большое значение 0,67. Мы здесь не будем останавливаться на разборе представлений Оля и Стрелова, поскольку неправомерность их теории и предложенных ими методов определения «потенциала Биллитера» показана в другом месте [9].

В заключение этого раздела следует еще остановиться на соотношении между величинами  $\chi_{\text{H}_2\text{O}}$  и  $\chi_{\text{H}_2\text{O}}^{\text{Hg}}$ , которое с некоторым приближением доступно опытной проверке [10]. Указанная возможность открывается благодаря тому, что разность  $\chi_{\text{H}_2\text{O}}^{\text{Hg}} - \chi_{\text{H}_2\text{O}}$  определенным образом связана с вольта-потенциалом ртуть — раствор при потенциале нулевого заряда ртути, который мы обозначим через  $V_{\text{Hg-раств}}$ . Обозначим через  $\varphi_e$  разность потенциалов на границе ртуть — газ, через  $\varphi_0$  разность потенциалов между ртутью и раствором (гальвани-потенциал) в отсутствие ионных двойных слоев. Величина  $\varphi_e$  определяется распределением плотности электронного облака у поверхности металла. Что касается величины  $\varphi_0$ , то ее можно, как это уже было указано выше, разложить на две составляющие, из коих одна, подобно  $\varphi_e$ , зависит от распределения электронного облака металла, вторая же — от ориентации диполей воды. Обозначим первую величину через  $\varphi'_e$ ; вторая, очевидно, равна  $\chi_{\text{H}_2\text{O}}^{\text{Hg}}$  с обратным знаком. Таким образом

$$\varphi_0 = \varphi'_e - \chi_{\text{H}_2\text{O}}^{\text{Hg}}. \quad (2)$$

При истолковании физического смысла величин, входящих в (2), нужно еще иметь в виду, что заряды электронного облака металла могут индуцировать электрическое изображение в поверхностном слое молекул воды; вызванную этим эффектом разность потенциалов мы будем условно считать включенной в величину  $\varphi'_e$ . Между вольта-потенциалом  $V_{\text{Hg-раств}}$  и величинами  $\chi_{\text{H}_2\text{O}}$ ,  $\varphi_0$  и  $\varphi_e$  существует очевидное соотношение

$$V_{\text{Hg-раств}} - \chi_{\text{H}_2\text{O}} - \varphi_0 + \varphi_e = 0, \quad (3)$$

откуда, согласно (2)

$$\chi_{\text{H}_2\text{O}}^{\text{Hg}} - \chi_{\text{H}_2\text{O}} = \varphi'_e - \varphi_e - V_{\text{Hg-раств}}. \quad (4)$$

Величины вольта-потенциалов ртуть — раствор доступны измерению [11]; согласно Клейну и Ланге, величина  $V_{\text{Hg-раств}}$  для раствора, в котором активность ионов ртути равна единице, составляет 0,69. Отсюда, принимая по Грэму [7] потенциал нулевого заряда ртути равным  $-0,47$  относительно нормального каломельного электрода, и, следовательно,  $-0,99$  относительно нормального ртутного электрода, находим для интересующей нас величины  $V_{\text{Hg-раств}}$  значение  $-0,30^*$ . Таким образом

$$\chi_{\text{H}_2\text{O}}^{\text{Hg}} - \chi_{\text{H}_2\text{O}} = \varphi'_e - \varphi_e + 0,30. \quad (5)$$

Если принять  $\varphi'_e = \varphi_e$ , то из (5) следует, что  $\chi_{\text{H}_2\text{O}}^{\text{Hg}} - \chi_{\text{H}_2\text{O}} = 0,30$ . Это соотношение соответствовало бы более сильной ориентации отрицательных концов диполей воды в сторону металлической фазы по сравнению с аналогичной их ориентацией на свободной поверхности раствора. Такого рода эффект кажется возможным, если принять во внимание адсорбционное поведение на границе ртуть — раствор других молекул, содержащих отрицательно заряженные атомы. Величина его, однако, вероятно, существенно меньше и, как это можно предположить на основании выводов о значениях  $\chi_{\text{H}_2\text{O}}$  и  $\chi_{\text{H}_2\text{O}}^{\text{Hg}}$ , к которым мы пришли выше, вряд ли превышает  $0,1\text{V}$ . К сожалению, использование уравнения (5) для количественного сопоставления величин  $\chi_{\text{H}_2\text{O}}$  и  $\chi_{\text{H}_2\text{O}}^{\text{Hg}}$  в настоящее время затрудняется как отсутствием данных о величине  $\varphi'_e - \varphi_e$ , возмож-

\* В цитированной работе [10] было приведено значение  $-0,33$ , так как при расчете потенциал нулевого заряда принимался равным  $-0,50$  против нормального каломельного электрода.

составляющей десятки вольт<sup>\*</sup>, так и недостаточной точностью опытных значений  $V_{\text{Hg-раств}}$  Клейна и Ланге. Особенно вызывает сомнения состояние поверхности ртути, с которой производились измерения volta-потенциалов этими авторами. Так, очистка газа (азот, аргон), который проходил над поверхностью ртути, производилась пропусканием через щелочной раствор пирогаллола, концентрированную серную кислоту и стеклянный фильтр, что, конечно, нельзя считать удовлетворительным методом. Повторение измерений volta-потенциалов ртуть — раствор с более совершенной методикой было бы желательным.

Температурный коэффициент  $\chi$ . Если считать, что величина  $\chi$  обусловлена ориентацией молекул в поверхностном слое жидкости, то повышение температуры, уменьшая степень ориентации, должно приводить к уменьшению абсолютного значения  $\chi$ . Иначе говоря, как температурного коэффициента  $\chi$  должен быть обратным знаком  $\chi$ . Таким образом измерение температурного коэффициента  $\chi$  позволило бы делать определенные выводы о знаке  $\chi$ . К сожалению, величина  $d\chi/dt$  как и всякий температурный коэффициент отдельного скачка потенциала, недоступна прямому измерению. На опыте можно измерить э. д. с.,  $E$ , например, такой цепи ( $t_1$  — постоянное,  $t_2$  — переменное):

Hg, Hg <sub>2</sub> Cl <sub>2</sub> , N KCl	0,01 N KCl в H <sub>2</sub> O	0,01 N KCl в H <sub>2</sub> O	Воздух	0,01 N KCl в H <sub>2</sub> O	Hg, Hg <sub>2</sub> Cl <sub>2</sub> , N KCl
при $t_1$	при $t_1$	при $t_2$		при $t_1$	при $t_1$
1	2	3	4	5	6

Вместо водного раствора KCl в 2,3 и 5 можно, очевидно, использовать любой другой раствор в воде или другом растворителе. Подобным же образом каломельные электроды 1 и 6 можно заменить на другие электроды равнения. В величину  $E$  наряду с температурным коэффициентом  $\chi$ , помноженным на  $(t_2 - t_1)$ , входит еще разность потенциалов на границе между двумя растворами 2 и 3 одинакового состава, но находящимся при различных температурах. Величина эта не может быть вычислена из температурного коэффициента подвижности ионов или найдена независимым путем из опыта [12], поэтому истолкование результатов, полученных с цепями указанного типа, всегда оставляет сомнения. Укажем все же на некоторые данные. З. А. Иофа измерил по методу Кенрика [1] величину  $dE/dt$  для 0,01 N KCl в воде; 0,01 N NH<sub>4</sub>NO<sub>3</sub> в этиловом спирте; 0,1 N LiNO<sub>3</sub> и 0,01 N LiCl в изоамиловом спирте; 0,015 N N(C<sub>2</sub>H<sub>5</sub>)<sub>4</sub>Cl в хлороформе и 0,01 N LiCl в ацетоне. Оказалось, что в случае спиртов, т. е. растворителей, для которых мы предполагаем отрицательное значение  $\chi$ , величина  $dE/dt$  положительна, в то время как в случае растворов в воде и хлороформе, для которых вероятно положительное значение  $\chi$ ,  $dE/dt$  отрицательно. Эти результаты находятся в согласии с вышеизложенными выводами теории, если пренебречь термо-э. д. с. на границе 2—3 и считать таким образом, что  $dE/dt$  можно приравнять  $d\chi/dt$ <sup>\*\*</sup>. Такой вывод получает некоторое подкрепление при рассмотрении характера зависимости  $E$  от  $T$  ( $T$  — абсолютная температура, соответствующая температуре  $t_2$ ). В случае растворов 0,01 N KCl в воде в интервале температур от 3 до 90° C;

\* Если, следуя Я. И. Френкелю, считать, что  $\Phi_e$  положительно, то приближение к поверхности металла слоя поляризующихся молекул воды должно уменьшать величину  $\Phi_e$ , и, следовательно, разность  $\Phi'_e - \Phi_e$  должна быть отрицательной.

\*\* Допущение о малости величины разности потенциалов между двумя водными растворами KCl различной температуры, которое, повидимому, находит подтверждение в результатах приводимого ниже расчета, не может быть распространено на водные растворы любого состава. Это следует, в частности, из измерений, проведенных с цепью, аналогичной изображенной выше, в которых KCl был заменен на H<sub>2</sub>SO<sub>4</sub>.



0,01  $N$   $\text{NH}_4\text{NO}_3$  в  $\text{C}_2\text{H}_5\text{OH}$  в интервале температур от  $-23$  до  $72^\circ\text{C}$  и солей  $\text{Li}$  в  $\text{C}_5\text{H}_{11}\text{OH}$  в интервале температур от  $-20$  до  $100^\circ\text{C}$  величина  $E$  может быть выражена соотношением

$$E = \text{const} + \frac{a}{T}, \quad (6)$$

где  $a$  равно соответственно  $+24$ ,  $-89$  и  $-67\text{V/град.}$ , а  $\text{const}$  обозначает значение  $-a/T$  при  $T = t_1 + 273^\circ$ . Такого рода зависимость потенциала от температуры следует ожидать, как указал М. И. Темкин при обсуждении этих результатов, если  $\chi$ -потенциал определяется ориентацией диполей и степень ориентации мала. Если принять это толкование, то величина  $a/T$  выражает, очевидно, абсолютное значение  $\chi$  при температуре  $T$ . Для величин  $\chi_{\text{H}_2\text{O}}$  и  $\chi_{\text{C}_2\text{H}_5\text{OH}}$  при  $18^\circ\text{C}$ , где  $\chi_{\text{C}_2\text{H}_5\text{OH}}$  — потенциал этилового спирта — газ, мы получаем таким путем из вышеприведенных данных соответственно  $0,082$  и  $-0,306$ . Отсюда находим  $\chi_{\text{H}_2\text{O}} - \chi_{\text{C}_2\text{H}_5\text{OH}} = 0,388\text{ V}$ , что практически совпадает со значением  $0,378\text{ V}$ , найденным совершенно иным путем, а именно: из прямых измерений с системами типа

Hg, $\text{Hg}_2\text{Cl}_2$ , $N\text{KCl}$ в воде	Водный раствор 0,01 $N\text{HCl}$	Воздух	Спиртовый раствор 0,01 $N\text{HCl}$	Hg, $\text{Hg}_2\text{Cl}_2$ , $N\text{KCl}$ в воде
1	2	3	4	5

в предположении, что можно пренебречь разностью потенциалов на границе между спиртовым и водным растворами 4—5 [2].

Несмотря на это хорошее согласие, было бы преждевременным придавать выводам, основанным на измерении температурного коэффициента цепей, содержащих границу раздела растворов — газ, окончательное значение. Помимо уже указанных сомнений, вызванных неучетом термо-э. д. с., необходимо еще, в частности, отметить, что в случае  $0,01\text{ }N\text{ LiCl}$  в ацетоне наблюдается противоречие между наблюдаемым и ожидаемым на основании вышеизложенных соображений знаком величины  $dE/dt$ . Для растворов в ацетоне, так же как и для спиртовых растворов, величина  $\chi$  должна быть отрицательна, и, следовательно,  $d\chi/dt$  положительно. На опыте было, однако, найдено небольшое отрицательное значение  $dE/dt$ . Нам кажется, что продолжение измерений э. д. с. цепей с границами раздела жидкость — газ, находящимися при различных температурах, может представить значительный интерес.

Влияние малых концентраций электролитов на электрические свойства границы растворов — газ. Выше уже было указано, что изменения  $\chi$ -потенциалов, наблюдаемые при введении в раствор неорганических электролитов, указывают на преимущественное (по сравнению с катионами) проникновение анионов в поверхностный слой. Эти эффекты очень четко выражены в области значительных концентраций. Однако и в области низких концентраций растворов электролитов наблюдаются определенные изменения электрических свойств поверхностного слоя растворов. Так как на основании этих явлений делались выводы о знаке и даже о величине  $\chi$ , необходимо остановиться на них несколько подробнее.

Первые соображения по этому поводу были высказаны Ленардом [13] на основании исследования электричества разбрызгивания или, по терминологии Христиансена [14], баллоэлектрического эффекта. Ленард показал, что суммарный электрический заряд, который несут мельчайшие капельки, образующиеся при разрыве поверхности воды, в случае очень разбавленных водных растворов электролитов отрицателен. При повышении концентрации электролитов до  $10^{-3}$ — $10^{-2}\text{ }N$  знак заряда меняется на положительный. Необходимо отметить, что различные авторы при иссле-

вании электричества разбрызгивания не всегда мерили те же величины. Так, нужно различать между зарядом мельчайших капелек, уносимых струей газа, применяемой для распыления раствора, и зарядом более крупных капелек, оседающих на поверхности металлического препятствия (электрод), расположенного по пути этой струи. В дальнейшем под зарядом капелек мы будем подразумевать заряд капелек с наименьшим радиусом, уносимых струей. Заряд капелек в случае наиболее разбавленных растворов объясним, если предположить, что внешняя обкладка диффузионного двойного слоя на поверхности раствора образована анионами, избыток которых определяет отрицательный знак заряда малых капелек. Для объяснения обращения знака заряда при повышении концентрации электролита Ленард предположил существование на границе вода—газ разности потенциалов, обусловленной диэлектрическим смещением в молекулах воды, обращенных отрицательным концом в сторону газовой фазы. При увеличении концентрации электролита этот дипольный слой нейтрализуется ионами электролита, что приводит к накоплению катионов вблизи границы раздела раствор — газ. А. Н. Фрумкин и А. Д. Обручева [15] на основании сопоставления опытного материала по разностям потенциалов на границе раствор — газ со значениями баллоэлектрических эффектов по Христиансену показали, что между этими двумя величинами существует ясно выраженное соответствие. В случае растворов, содержащих поверхностно-активные нейтральные молекулы в присутствии неорганических электролитов, наблюдается положительное зарядение отрывающихся капелек, если величина  $\Delta\chi$  положительна (например, растворы палиодозамещенных), и отрицательное зарядение в случае отрицательного  $\Delta\chi$ . Иначе говоря, отрывающиеся капельки несут заряд, обратный заряду обращенного к газовой фазе конца дипольных молекул. Чисто водные растворы ведут себя так, как будто бы величина  $\chi_{\text{H}_2\text{O}}$  имела небольшое положительное значение. А. Н. Фрумкин и А. Д. Обручева высказали с некоторыми оговорками предположение, согласно которому наблюдаемое соотношение объясняется преимущественным приближением к границе раздела раствор — газ ионов, знак которых обратен знаку ориентированных в сторону газовой фазы концов молекулярных диполей. На основе этого предположения, зная величину  $\Delta\chi$ , при которой баллоэлектрический эффект практически обращается в нуль, можно оценить и  $\chi$ -потенциал чистой воды, что приводит к значению  $\chi_{\text{H}_2\text{O}} \sim 0,02\text{V}$ . Однако изложенное представление вызвало сомнения у самих авторов в связи с необходимостью допущения о значительном проникновении электрического поля ориентированных диполей вглубь раствора, и с трудностями, возникавшими при истолковании баллоэлектрических свойств растворов органических электролитов. Как показал Г. Л. Натансон [16], установленное А. Н. Фрумкиным и А. Д. Обручевой соотношение между значениями  $\Delta\chi$  и величинами баллоэлектрических эффектов может быть объяснено и не прибегая к специальным представлениям о распределении ионов в поверхностном слое в присутствии адсорбированных диполей. Действительно, растяжение поверхности, предшествующее отрыву капелек, должно приводить к уменьшению величины  $\Delta\chi$ , так как процесс возникновения ориентированного адсорбционного слоя требует времени. Поэтому в случае достаточно хорошей проводимости раствора, обеспечивающей постоянство потенциала внутри жидкой фазы, потенциал в газовой фазе вблизи свежedefормированной поверхности должен отличаться от потенциала вблизи поверхности, находящейся в равновесном состоянии, на величину  $\Delta\chi - \Delta\chi'$ , где  $\Delta\chi'$  обозначает «неустановившееся» значение  $\Delta\chi$ . В воздушном пространстве должны, следовательно, возникать вольта-потенциалы и на поверхности жидкости появляться свободные заряды. Знак последних в случае растянутой поверхности тождествен со знаком  $\Delta\chi - \Delta\chi'$ , т. е. со знаком  $\Delta\chi'$ , поскольку в первые моменты после образования поверхности должно выполняться соотношение  $|\Delta\chi'| < |\Delta\chi|$ . Этим и объясняется по Натансону наблю-

даемое на опыте соответствие между знаком заряда маленьких капелек величины  $\Delta\chi$ . В случае воды аналогичную «инверсию» знака заряда капелек по сравнению со знаком заряда внешней обкладки двойного электрического слоя можно ожидать, если адсорбция анионов требует некоторого времени. Что касается поля, обусловленного ориентацией молекул самого растворителя, то соответствующее ему значение  $\chi$  должно устанавливаться в очень короткий промежуток времени, так что при полном отсутствии адсорбированных слоев баллоэлектрический эффект вообще не должен был бы проявляться. Таким образом из данных по баллоэлектрическому эффекту можно сделать выводы лишь о величинах  $\Delta\chi$ , но не о величине  $\chi_{\text{H}_2\text{O}}$ .

Заметим еще, что в посвященной вопросу о баллоэффекте работе Малецкого [17], как это следует из анализа полученных им данных и примененного метода измерения, наблюдаемая при распылении жидкости электризация зависела в основном от явлений на границе раствор — стекло, а не на границе раствор — газ. В таких случаях из баллоэлектрических измерений, очевидно, вообще нельзя делать выводов об электрических свойствах границы раствор — газ.

Остановимся теперь на данных по зависимости  $\chi$  от концентрации электролита в области разбавленных растворов, полученных непосредственно из опыта. Как уже было указано, А. Н. Фрумкин [1] нашел, что природа неорганических катионов не оказывает заметного влияния на величину  $\chi$ -потенциала. Однако более детальное исследование поведения разбавленных растворов, проведенное М. А. Геровичем\*, привело к нескольким иным выводам. А именно: если выбрать в качестве «электросравнения» поверхность дважды перегнанной воды, то при переходе к растворам электролитов наблюдаются хотя и небольшие, но вполне измеримые сдвиги  $\chi$ -потенциала в отрицательную сторону. В табл. 1 приведены средние данные, полученные для растворов хлоридов и нитратов большого числа опытов (в милливольтках).

Таблица 1

с.	KCl	HCl	BaCl <sub>2</sub>	La(NO <sub>3</sub> ) <sub>3</sub>	Th(NO <sub>3</sub> ) <sub>4</sub>
10 <sup>-6</sup> N	—	—	—	—	—17
10 <sup>-5</sup> N	— 5	—12	— 8	—15	—20
10 <sup>-4</sup> N	—15	—20	—14	—19	—22
10 <sup>-3</sup> N	—21	—22	—20	—22	—24
10 <sup>-2</sup> N	—24	—24	—24	—24	—24

KJ ведет себя сходно с KCl. Измерения производились при помощи полониевого зонда или горизонтального струйчатого электрода [1] расположенных над покоящейся поверхностью исследуемой жидкости, соединенных с изолированным бинантом бинантного электрометра. Исследуемая жидкость отводилась к земле при помощи нормального капельного электрода. Значения, приведенные в табл. 1, являются разностью между измеренными разностями потенциалов на концах цепей Hg, Hg<sub>2</sub>Cl<sub>2</sub> | 10<sup>-6</sup>N KCl | раствор | воздух | зонд и Hg, Hg<sub>2</sub>Cl<sub>2</sub> | 10<sup>-6</sup>N KCl | вода | воздух | зонд.

В приведенные значения, кроме изменения  $\chi$ -потенциала, входят также изменения диффузионного потенциала на границе 10<sup>-6</sup>N KCl | раствор в зависимости от состава раствора. Так, наблюдаемое изменение  $\chi$ -потенциала при переходе от 10<sup>-5</sup>N KCl к 10<sup>-2</sup>N, составляющее —19 mV, следовало бы исправить на разность диффузионных потенциалов на границе

\* Указанное исследование было выполнено на кафедре электрохимии МГУ 1933 г. В этих измерениях принимал участие студент А. И. Панкратов. В литературе имелось до сих пор лишь совсем краткое упоминание о полученных результатах [1].



$V \text{ KCl} | 10^{-2} N \text{ KCl}$  и  $N \text{ KCl} | 10^{-5} N \text{ KCl}$ , т. е. на диффузионный потенциал  $0^{-5} N \text{ KCl} | 10^{-2} N \text{ KCl}$ , равный  $\sim -3 \text{ mV}$ . Введение этого исправления уменьшило бы значения, приведенные в последней строчке табл. 1, на  $2-4 \text{ mV}$  по абсолютной величине. Однако ввиду затруднительности точного расчета диффузионных потенциалов для некоторых из примененных систем, в табл. 1 приводятся опытные данные без введения указанной поправки. Таким образом из измерений М. А. Геровича следует, что  $\chi$ -потенциал чистой воды примерно на  $0,02 \text{ V}$  положительнее  $\chi$ -потенциала  $0,01 N \text{ KCl}$ \*. Наблюдаемые значения изменения  $\chi$ -потенциала относятся к покоящейся поверхности жидкости; непрерывное обновление поверхности, обусловленное перетеканием через края воронки, приводит к уменьшению наблюдаемых эффектов.

Этот положительный  $\chi$ -потенциал «чистой» воды исчезает при повышении концентрации электролита; исчезновение его происходит при тем более низких концентрациях, чем выше зарядность катиона (ион  $\text{H}^+$  ведет себя как многозарядные катионы). Тот факт, что действие многозарядных и, следовательно, сильно гидратированных катионов проявляется при значительно более низких концентрациях, чем действие однозарядных, указывает на наличие некоторого электрического поля в поверхностном слое «чистой» воды, под влиянием которого в присутствии растворенного электролита происходит перераспределение ионов, приводящее к уменьшению исходной разности потенциалов. Последняя могла бы быть обусловлена преимущественной ориентацией диполей воды отрицательным концом в сторону газовой фазы, распространяющейся на некоторую глубину в объем жидкости. Для установления указанной ориентации требуется, повидимому, некоторое не слишком малое время. Нужно, однако, признать, что указанное объяснение, находящееся в согласии с ранее приведенными

\* Здесь необходимо указать на расхождение между выводами М. А. Геровича и результатами, полученными Клейном и Ланге [11] и Бюлем [20]. Клейн и Ланге проводили измерения, которые позволяли определять зависимость суммы скачков потенциала металл — раствор и раствор — воздух от концентрации раствора, применяя электроды как 1-го, так и 2-го рода (например,  $\text{Ag}$ ,  $\text{AgNO}_3$  или  $\text{Ag}_2\text{KCl}_{\text{нас.}}$ ,  $\text{AgCl}$ ). Сопоставляя полученные данные с результатами измерений с обычными концентрационными цепями, можно сделать заключения о концентрационной зависимости скачка потенциала раствор — воздух. Клейн и Ланге находят, что величина  $\chi_{\text{раств}}$  не зависит от концентрации электролита, если последняя меньше  $0,1N$ . Измерения Клейна и Ланге были доведены до концентрации  $3-7 \cdot 10^{-6}$ . Причина расхождений этих данных с результатами М. А. Геровича остается неясной. Для ее выяснения было проведено некоторое число измерений с цепями такого же типа, как применявшиеся Клейном и Ланге, однако в пределах концентраций, в которых применявшиеся электроды давали устойчивые значения потенциала, определенные таким путем изменения величины  $\chi_{\text{H}_2\text{O}}$  были близки к значениям, приведенным в табл. 1. Зависимость величины  $\chi_{\text{раств}}$  от концентрации электролита в области концентраций от  $0,1N$  до  $0,0001N$ , была исследована Бюлем [20]. Разности значений  $\chi_{\text{раств}}$ , возникающих на границе раствор — газ, для растворов различной концентрации Бюль определял по методу вертикальной струи (Кенрика) с внесением поправок на диффузионный потенциал и на потенциал течения, возникающий при прохождении струи раствора через капилляр. При повышении концентрации наблюдался некоторый сдвиг величины  $\chi_{\text{раств}}$  в сторону более отрицательных значений. Отсюда на основании расчетов, на которых здесь невозможно подробнее останавливаться, Бюль приходит к выводу, что  $\chi_{\text{H}_2\text{O}}$  равно  $5,5 \text{ mV}$ . Это значение по знаку и по порядку величины приближается к величине эффекта, обнаруженного М. А. Геровичем, хотя и значительно меньше последнего. Различия связано, вероятно, с тем, что данные Бюля относятся к поверхности жидкости, текущей по стенке, а обновление поверхности, как было наблюденно нами, значительно снижает величину указанного эффекта. Вызывает, кроме того, сомнения способ введения поправки на потенциал течения, применявшийся Бюлем, основанный на допущении о сохранении неизменным значения потенциала течения, независимо от того, вытекает ли струя из капилляра в воздух или в раствор. По нашим наблюдениям, изменение давления внутри струи и, следовательно, скорости течения, происходящее, когда на пути струи возникает препятствие в виде жидкой поверхности, достаточно, чтобы заметно повлиять на потенциал течения.

Значение  $0,02 \text{ V}$ , полученное в нашей работе, возможно, несколько занижено под влиянием уголекислоты воздуха, присутствие которой не было исключено.

выводами о знаке величины  $\chi_{H_2O}$ , не является единственно возможным. Можно было бы представить также, что и в «чистой» воде происходит некоторая небольшая адсорбция анионов и объяснить влияние повышения концентрации электролита уменьшением диффузности возникающего в результате этой адсорбции скачка потенциала. При этом, для того чтобы истолковать наблюдаемую зависимость от концентрации и природы раствора, нужно было бы еще допустить, что число адсорбированных анионов не меняется при переходе от  $Cl^-$  к  $J^-$  (и не возрастает существенно при изменении концентрации электролита в пределах от  $10^{-6}$  к  $10^{-2} N$ , так как в противном случае влияние уменьшения диффузности двойного слоя на изменение скачка потенциала перекрывалось бы влиянием увеличения абсолютной величины заряда). Природа предполагаемого адсорбционного эффекта должна была бы, следовательно, существенным образом отличаться от природы адсорбционных эффектов, наблюдаемых при более высоких концентрациях. Если бы речь шла об адсорбции на твердой поверхности, адсорбционный эффект, наблюдаемый при малых концентрациях, можно было бы отнести к присутствующим в малом числе на поверхности особым активным точкам, адсорбцию же, наблюдаемую при более высокой концентрации, — к участкам поверхности со средним значением энергии адсорбции. Однако неясно, какой физический смысл можно вложить в эти представления в случае жидкой поверхности, и мы бы отбросили этот второй вариант объяснения, если бы не данные по катафорезу пузырьков газа и по баллоэлектрическому эффекту. Наиболее надежные измерения катафореза пузырьков в воде [18] при возможно низком содержании растворенных электролитов приводят к выводу об отрицательном заряде обращенной к газовой фазе обкладки двойного слоя\*. Электрокинетически активной может быть, однако, только ионная составляющая двойного слоя; таким образом во внешней части поверхностного слоя разбавленных растворов электролитов, судя по катафоретическим данным, должен содержаться избыток анионов. Наличие свободных отрицательных зарядов во внешней части обкладки двойного слоя необходимо также допустить, чтобы объяснить знак баллоэффекта, наблюдаемого, как уже было указано выше, в случае чистой воды и разбавленных растворов. Это как будто говорит в пользу второго, казалось бы менее вероятного, объяснения обнаруженного М. А. Геровичем эффекта.

Мы остановились на важнейших опытных данных, которые можно использовать для суждения о величине  $\chi_{H_2O}$ . Было еще несколько попыток рассчитать или непосредственно измерить эту величину. Вейль [22], рассматривая возможную ориентацию молекул воды в поверхностном слое, приходит к выводу, что наружная часть поверхностного слоя должна быть образована отрицательно заряженными атомами; иначе говоря,  $\chi_{H_2O}$  — положительно. Пассот [23] приходит к аналогичному выводу, рассматривая влияние сил изображения на ориентацию молекул воды, переходящей из газовой фазы в жидкость. Напротив, по Фервею [24], исходящему из представления о ледоподобной структуре воды, более вероятно, что молекулы воды обращены в сторону газовой фазы своими протонами, и, следовательно,  $\chi_{H_2O}$  — отрицательно. Чальмерс и Паскилл [25] предполагали дезориентацию молекул воды, находящихся на поверхности пористого тела, например фильтровальной бумаги или  $BaSO_4$ , приводящую к исчезновению  $\chi$ -потенциала. Определение величины  $\Delta\chi$  при переходе от свободной поверхности воды к воде, впитанной в пористое тело, должно позволить таким образом найти величину  $\chi_{H_2O}$ , согласно данным этих авторов, равную — 0,26. Вывод

\* Согласно Германсу [21], измерявшему движение свободной поверхности водных растворов между двумя электродами, направление движения воды соответствует не отрицательному, а положительному заряду внешней части двойного слоя. При рассмотрении описания его опытов, создается, однако, впечатление, что движения, которые он наблюдал, определялись не электрокинетическими явлениями, а какими-то другими факторами (например, градиентом поверхностного натяжения, вызванным эффектом Пельтье на границах электрод — жидкость).

дезориентации адсорбированных молекул воды является, однако, совершенно необоснованным.

Таким образом, несмотря на большое число работ, посвященных обсуждаемой задаче, определение не только величины, но даже знака  $\chi_{\text{H}_2\text{O}}$  до сих пор не дало однозначных результатов. Наиболее надежными представляются выводы, основанные на рассмотрении влияния на величину  $\chi$  замены молекул воды в поверхностном слое на молекулы органических соединений, характере ориентации которых имеются более определенные данные, а также на измерениях температурной зависимости потенциала цепей, содержащих границу раздела жидкость — газ. Эти данные делают вероятным небольшое положительное значение  $\chi_{\text{H}_2\text{O}}$  (порядка 0,1—0,2V).

#### ВЫЧИСЛЕНИЕ $\chi$ -ПОТЕНЦИАЛОВ ИЗ СОПОСТАВЛЕНИЯ ХИМИЧЕСКИХ И РЕАЛЬНЫХ СВОБОДНЫХ ЭНЕРГИЙ ГИДРАТАЦИИ

Наряду с исследованием свойств границы раздела раствор — газ существует принципиально отличный способ определения величины  $\chi_{\text{H}_2\text{O}}$ , основанный на сопоставлении реальных и так называемых «химических» энергий гидратации ионов. Под реальными (свободными или полными) энергиями мы подразумеваем, следуя терминологии Е. Ланге и К. П. Мищенко [26], затрату энергии при прохождении ионов через границу раствор — газ. Эту величину, которую мы будем обозначать через  $A_p$  с положительным знаком, можно разложить на два слагаемых, а именно на химическую энергию гидратации  $A_x$ , происходящую вследствие взаимодействия иона с окружающими его молекулами воды, и на изменение электрической энергии, равное  $-Fz\chi_{\text{H}_2\text{O}}$ , где  $z$  — число положительных зарядов иона. Таким образом

$$A_p = A_x - Fz\chi_{\text{H}_2\text{O}} \quad (7)$$

Как указали в 1930 г. А. Н. Фрумкин [27] и Е. Ланге и К. П. Мищенко [26], величины реальных энергий гидратации могут быть выражены через доступные измерению энергетические данные и вольта-потенциалы металл — раствор. В первых посвященных этому вопросу работах не делалось строгого разграничения между полными и свободными энергиями. Точное выражение для реальной свободной энергии гидратации катиона может быть представлено в следующем виде:

$$A_p = A_c + A_{\text{и}} - \varphi_e z - V_{12} z, \quad (8)$$

где  $A_c$  — свободная энергия сублимации металла (перехода в атомы),  $A_{\text{и}}$  — свободная энергия ионизации атома металла,  $\varphi_e$  — работа выхода электрона из металла и  $V_{12}$  — вольта-потенциал металл — раствор при равновесном потенциале металла, соответствующем активности ионов в растворе, равной единице. Аналогичные выражения могут быть написаны и для полных реальных энергий гидратации. При помощи такого рода соотношений Клейн и Ланге [11] впервые определили величины реальных энергий сольватации. Среди более поздних работ необходимо отметить работу К. П. Мищенко и Э. И. Квят [28], подтвердивших тщательному, критическому отбору необходимые термодинамические данные. К сожалению, во всех этих расчетах могли быть использованы только значения вольта-потенциалов Клейна и Ланге, которые, как уже было указано выше, возможно, не точны. Величина  $A_x$  может быть непосредственно измерена, однако значительное число авторов делали попытки вычислить ее, исходя из тех или других представлений о структуре воды и строении ее молекулы. Сумма величин  $A_x$  для катионов и анионов, взятых в таких соотношениях, чтобы соблюдалось условие электронейтральности (иначе говоря, химическая свободная энергия гидратации соли, равная ее реальной свободной энергии гидра-



тации), может быть найдена из опыта. Поэтому значения  $A_x$  для отдельных ионов можно также получить, вводя некоторое дополнительное предположение о соотношении энергий для каких-нибудь катиона и аниона. Так К. П. Мищенко [29] предполагает, что энергии сольватации катиона цезия и аниона иода равны. Однако, так как сравнение энергий гидратации для катиона и аниона невозможно без каких-либо модельных представлений строения и расположения гидратирующих молекул воды, то второй путь принципиально не отличается от первого. Зная величины  $A_p$  и  $A_x$ , можно, очевидно, найти величину  $\chi_{H_2O}$ . Такого рода расчеты были впервые выполнены Фервеем [30], а затем рядом авторов, использовавших различные способы вычисления химических энергий сольватации. Полученные значения  $\chi_{H_2O}$  сопоставлены в табл. 2.

Таблица 2

Литературные данные	$\chi_{H_2O}$
[30]*	-0,48
[31]	-0,36
[32]	-0,30
[28]	-0,3
[23]	$-0,3 \pm 0,1$ 0,29

Как видно, расхождения между вычисленными различными авторами по уравнению (7) величинами  $\chi_{H_2O}$  велики. Расхождения эти связаны, очевидно, с ненадежностью вычисленных значений  $A_x$ . В задачу настоящей статьи не входит критическое рассмотрение различных способов вычисления  $A_x$ . Отметим только, что использование в этих расчетах модели распределения зарядов в молекуле воды основывалось на сильно упрощенных схемах. Некоторые квантово-механические соображения [33] приводят к выводу, согласно которому молекула воды представляет собой подобие тетраэдрической системы с парами электронов на двух орбитах, связывающих атом О с атомами Н, и на двух других орбитах, обращенных в противоположную атомам Н сторону\*\*. Существование последних орбит должно сказываться на энергии гидратации катионов, увеличивая последнюю. Необходимо иметь в виду, что определение  $\chi_{H_2O}$  по уравнению (7) предполагает значительную точность вычисления  $A_p$  и  $A_x$ , поскольку член  $Fz \chi_{H_2O}$ , величина которого составляет несколько б. калорий, находится по разности величин, приближающихся к 100 ккал. Ошибка при определении этих величин порядка 10 или даже 5% может изменить знак вычисленного значения  $\chi_{H_2O}$ . Поэтому даже самым приближенным способом оценки или расчета, если они непосредственно дают величину  $\chi_{H_2O}$ , как нам кажется, следует оказывать предпочтение по сравнению с расчетами, использующими величины  $A_p$  и  $A_x$ . Заметим, что в случае правильности значения  $\chi_{H_2O} = -0,48$ , предлагаемого Фервеем, величина  $\chi_{\text{раств}}$  должна была бы иметь отрицательное значение и в случае таких систем, как растворы трибромуксусной кислоты [2], несмотря на наличие на поверхности этих растворов отрицательно заряженных атомов галоида. Такой результат кажется нам совершенно неправдоподобным.

\* Стрелов пользуется исправленными значениями энергий гидратации Латимера, Пипера и Сланского [34]. Последние полагали, что при помощи вычисленных энергий гидратации можно найти величину отдельного скачка потенциала металл — раствор (гальвани-потенциала). Вывод Латимера, Пипера и Сланского был подвергнут критике А. Н. Фрумкиным [10], указавшим, что примененный этими авторами цикл дает не гальвани-потенциал, а вольт-потенциал металл — раствор; при этом, однако, как указал А. Н. Фрумкин, необходимо пользоваться реальными, а не химическими энергиями гидратации, как это делали американские авторы. Это указание в статье А. Н. Фрумкина, повидимому, ускользнуло от внимания Стрелова, который возражает против критики расчета Латимера, Пипера и Сланского. По Стрелову, А. Н. Фрумкин якобы не учел того обстоятельства, что в работе Латимера, Пипера и Сланского речь идет не о реальных, а о химических энергиях гидратации. Возражение Стрелова основано на недоразумении, а вывод Фрумкина о несовместимости значений химических энергий гидратации Латимера, Пипера и Сланского со значениями реальных энергий гидратации, найденными Клейном и Ланге из измерений вольт-потенциалов, при положительном  $\chi_{H_2O}$  совпадает с выводом самого Стрелова, поскольку последний, сопоставляя эти две группы данных, приходит к отрицательному значению  $\chi_{H_2O}$ . На правильность критики Фрумкиным работы Латимера, Пипера и Сланского указывает Фервей [24].

\*\* Фервей указывает на это обстоятельство, но не учитывает его в своих расчетах.

Представляет некоторый интерес провести расчет в обратной последовательности, т. е. исходя из некоторого значения  $\chi_{\text{H}_2\text{O}}$ .

Как было показано выше, исследование поверхностных свойств делает вероятным небольшое положительное значение  $\chi_{\text{H}_2\text{O}}$ . Примем  $\chi_{\text{H}_2\text{O}} = 0,1 \text{ В}$  и, следовательно,  $F\chi_{\text{H}_2\text{O}} = 2,3 \text{ ккал}$ . Используя значения реальных свободных энергий сольватации, вычисленные Мищенко и Квят по опытным данным Лейна и Танге, мы получаем отсюда для химических свободных энергий величину 71 в случае  $\text{Cs}^+$  и 68 в случае  $\text{Cl}^-$ . Меньшее значение величины  $\chi_{\text{H}_2\text{O}}$  по сравнению с  $(A_x)_{\text{Cl}^-}$  находилось бы в согласии с фактом меньшей сорбируемости на границе раздела вода — воздух иона  $\text{Cl}^-$  по сравнению с ионом  $\text{Cs}^+$  [1]. Указанные величины близки к вычисленным Пассотом, который расходится с данными других авторов. Дальнейшее исследование сорбционных явлений на границе вода — воздух при одновременном уточнении измерений величин реальных свободных энергий гидратации может способствовать более точному разделению химических энергий гидратации солей между катионами и анионами.

### ВЫВОДЫ

1. Приведены опытные данные по зависимости разности потенциалов на границе вода — воздух  $\chi_{\text{H}_2\text{O}}$  от концентрации разбавленных растворов электролитов и данные по температурному коэффициенту разности потенциалов на концах цепей, содержащих границы раздела вода — воздух спирты — воздух.
2. Критически рассмотрены различные попытки определения величины  $\chi_{\text{H}_2\text{O}}$ . Показано, что наиболее вероятно положительное значение  $\chi_{\text{H}_2\text{O}}$  порядка  $1-0,2 \text{ В}$ .

Московский государственный университет  
им. М. В. Ломоносова

Поступила  
24. VI. 1955

### ЛИТЕРАТУРА

1. А. Н. Фрумкин, Сборник работ Физико-химического института им. Л. Я. Карпова, вып. 2, 106, 1924; Zs. phys. Chem., 109, 34, 1924.
2. А. Н. Фрумкин, Сборник работ физико-химического института им. Л. Я. Карпова, вып. 3, 3, 1924; Zs. phys. Chem., 111, 190, 1924.
3. A. N. Frumkin, Ergebn. d. exakt. Naturwiss., 7, 235, 1928; Colloid Symposium Annual, 7, 89, 1930.
4. А. Н. Фрумкин, В. С. Багоцкий, З. А. Иофа, Б. Н. Кабанов, Кинетика электродных процессов, Изд-во МГУ, Москва, 1952, стр. 37.
5. Е. Маскор, Rec. trav. chim. Pays-Bas., 70, 747, 1951.
6. C. Addison, D. Litherland, Journ. Chem. Soc., 1159, 1953.
7. D. Grahame, E. Coffin, J. Cummings, M. Poth, Journ. Amer. Chem. Soc., 74, 1207, 1952.
8. H. Oel, H. Strehlow, Zs. Elektrochem., 58, 665, 1954; Zs. phys. Chem., N. F., 1, 241, 1954. K. Bonhoeffer, Angew. Chem., 67, 81, 1955.
9. A. N. Frumkin, Zs. Electrochem., 59, 807, 819, 821, 1955.
10. A. N. Frumkin, Journ. Chem. Phys., 7, 552, 1939.
11. O. Klein, E. Lange, Zs. Elektrochem., 43, 570, 1937.
12. М. И. Темкин, Труды Совещания по электрохимии, Изд-во АН СССР, М., 1953, стр. 181.
13. P. Lenard, Ann. Phys., 47, 463, 1915.
14. C. Christiansen, Ann. Phys., 40, 122, 233, 1913; 51, 530, 1916; 59, 95, 1919.
15. A. N. Frumkin u. A. D. Obrucheva, Koll. Zeitschr., 54, 2, 1931.
16. Г. Л. Натансон, ДАН, 73, 975, 1950; Электризация при распылении жидкостей, Докторская диссертация, НИФХИ, им. Л. Я. Карпова, 1955.
17. T. Malarski, Acta physica polonica, III, 3, 43, 1934.
18. N. Bach, A. Gilman, Acta phys. chim. URSS, 9, 1, 1938.
19. M. Gerovich, A. N. Frumkin, Acta phys. Chim. URSS, 2, 1, 1935.
20. A. Bühl, Ann. Phys., (4), 84, 211, 1927.
21. J. Hermans, Rec. trav. chim. Pays-Bas, 60, 747, 1941.
22. Weyl, Journ. Coll. Sci., 6, 389, 1951.
23. G. Passoth, Zs. phys. Chem., 203, 275, 1954.
24. E. Verwey, Rec. trav. chim. Pays-Bas., 61, 564, 1942.

25. J. Chalmers, F. Pasquill, Phil. Mag., 23, 88, 1937.
  26. E. Lange, K. Miscenko, Zs. phys. Chem. (A), 149, 1, 1930.
  27. Цит. по И. А. Казарновскому, Свойства растворов электролитов. Пятая физико-химическая конференция, Л., 1930, стр. 187.
  28. К. П. Мищенко, Э. П. Квят, Журн. физ. химии, 28, 1451, 1954.
  29. К. П. Мищенко, Журн. физ. химии, 26, 1736, 1952; К. П. Мищенко, А. М. Сухотин, Журн. физ. химии, 27, 26, 1953.
  30. E. Verwey, Rec. trav. chim. Pays-Bas., 61, 127, 1942.
  31. M. Strehlow, Zs. Elektrochem., 56, 119, 1952.
  32. N. S. Hush, Austr. Journ. Sci. Res., 1, 480, 1948.
  33. J. Pople, Proc. Roy. Soc. (A), 202, 323, 1950; P. Leonard — Jones, J. Pople, Farad. Soc., Disc., 10, 9, 1951.
  34. W. Latimer, K. Pitzer, C. Slansky, Journ. Chem. Phys., 7, 10, 1939.
-



## ЭЛЕКТРОПРОВОДНОСТЬ ОКИСЛОВ МЕТАЛЛОВ II ГРУППЫ ПЕРИОДИЧЕСКОЙ СИСТЕМЫ Д. И. МЕНДЕЛЕЕВА

*А. П. Находнова*

В ряде работ [1—3] показано, что электрические свойства щелочно-земельных соединений определяются положением элементов, образующих соединение, в таблице Д. И. Менделеева и внешними условиями. Уменьшение энергии связи в соединениях металлов I группы сопровождается увеличением их электропроводности, диэлектрических потерь понижением электрической прочности.

В соединениях щелочно-земельных металлов при переходе от Be к Ba и далее наблюдается закономерное изменение энергии решетки для окислов, сульфидов и галогенидов.

Представляет интерес проследить закономерности изменения электрических свойств для соединений элементов II группы таблицы Д. И. Менделеева, кристаллизующихся в кубической решетке.

Известны исследования [4—9] температурной зависимости электропроводности окислов металлов II группы при нарушении стехиометрического состава, наличии примесей других атомов. По опубликованным данным (табл. 1) величина энергии активации монокристаллов MgO значительно больше, чем у BaO, что находится в соответствии с общим представлением о изменении свойств химических элементов [10]. Энергия активации CaO и BaO, SrO в зависимости от условий колеблется в довольно широких пределах (табл. 1).

Таблица 1\*

Окислы	MgO [5]	CaO [6]	(Ba, Sr)O [7]	BaO [8]	ZnO [4—9]
Энергия активации $\Phi$ , eV	4,4—4,6 (1000— 1500°K) и 0,3—0,5 (ниже 1000°K)	0,95—1,5 (900—500°C)	1,9—0,7 (900— 400°C)	2,2—2,6 (560— 130°C)	$\approx 0,6$ (700— 200°C)
Температурная зависимость электропроводности, $\Omega^{-1} \text{ см}^{-1}$	$10^{-7}$ — $10^{-11}$	$10^{-2}$ — $10^{-7}$	$10^{-2}$ — $10^{-9}$	$10^{-5}$ — $10^{-7}$	$1$ — $10^{-6}$

\* Вычисления проводились по формуле  $\sigma = \sigma_0 e^{-\Phi_2/kT}$ .

Отсутствие систематических измерений в одинаковых условиях не позволяет сделать выводов о зависимости удельной электропроводности от энергии освобождения ионов в решетке. В связи с этим нами были произведены измерения температурной зависимости удельной электропроводности окислов Be, Ag, Ca, Sr, Ba и Zn, а результаты сопоставлены с энергией кристаллической решетки.

## ЭКСПЕРИМЕНТАЛЬНАЯ ЧАСТЬ

Изучение удельной электропроводности окислов металлов II группы проводилось на спеченных поликристаллических образцах из химических чистых материалов.

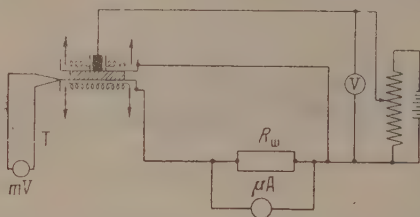


Рис. 1. Электрическая схема для измерения электропроводности

Образцы имели форму дисков диаметром 10 мм и толщиной 0,8—0,35 мм. Прокаливание образцов проводилось в силиковой печи в течение 2 час. при одинаковой относительной температуре спекания ( $^{\circ}\text{C}$ )

$$t_{\text{спек}} / t_{\text{пл}} = 0,46.$$

Барий, образующий на воздухе, устойчивое перекисное соединение, прокаливался в вакууме.

Образец помещался между двумя плоскопараллельными электродами, снабженными нагревательными элементами и охранным кольцом (рис. 1). На образцы распылением наносились платиновые электроды. Температура измерялась Mo—Ni термопарой, приваренной к одному из электродов. В области 800—900 $^{\circ}\text{C}$  температура дополнительно измерялась оптическим пирометром. Измерения электропроводности проводились при давлении  $10^{-6}$  мм. рт.ст. на постоянном токе по схеме, приведенной на рис. 1. Напряжение на электродах изменялось от 0,2 до 6 В. Измеряемый ток определялся микроамперметром, чувствительность которого составляла  $6 \cdot 10^{-8}$  А/мм.

При прохождении тока через образец во всех случаях наблюдалось спадание тока со временем. Электро-

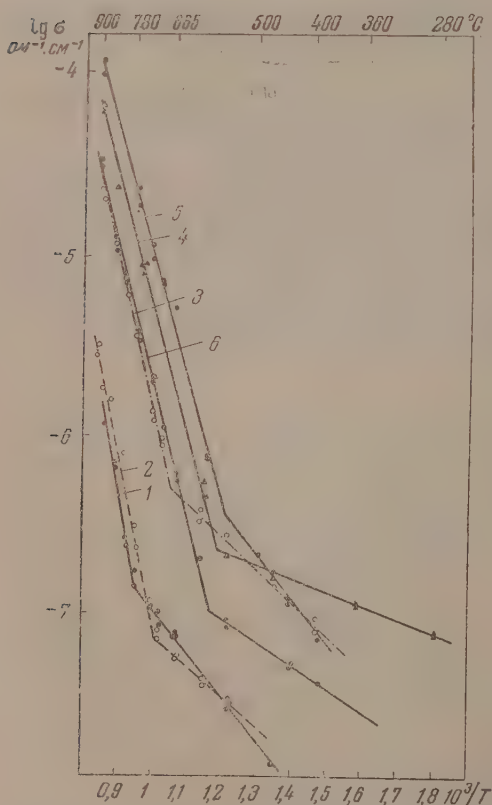


Рис. 2. Зависимость логарифма электропроводности от обратной температуры для окислов элементов II группы: 1 — BeO; 2 — MgO; 3 — CaO; 4 — SrO; 5 — BaO; 6 — ZnO

проводность измерялась по установившемуся току через 6—7 мин. после наложения напряжения.

Результаты измерения температурной зависимости электропроводности окислов металлов II группы приведены на рис. 2.

У всех окислов наблюдается обычное для ионной проводимости увеличение электропроводности с температурой. Для данной температуры электропроводность возрастает при переходе от BeO к BaO, что наиболее резко выражено при температурах выше 600° С. Удельная электропроводность окислов возрастает с увеличением напряжения (рис. 3).

Линейная зависимость логарифма электропроводности от величины обратной температуры для всех окислов имеет излом, который наступает примерно при температурах: BeO — 30, MgO — 710, CaO — 680, SrO — 574, BaO — 543, ZnO — 590° С. Следовательно, электропроводность обусловливается двумя типами носителей тока, один из которых преобладает при более высокой температуре, другой — при более низкой.

Величина энергии активации носителей тока вычислялась по уравнению

$$\sigma = \sigma_1 e^{-\Phi_1/kT} + \sigma_2 e^{-\Phi_2/kT}.$$

Полученные значения энергии активации приведены в табл. 2.

Наибольшее значение энергии активации в области высоких температур имеет BeO и наименьшее — BaO, что соответствует изменению энергии

Таблица 2

Зависимость энергии активации от энергии кристаллической решетки

Окислы	Энергия решетки, $\frac{\text{ккал}}{\text{г-моль}}$ по Борну	Энергия активации в eV	
		$\Phi_1$	$\Phi_2$
BeO	—	2,443	0,480
MgO	983	1,954	0,235
CaO	831	1,724	0,356
SrO	766	1,502	0,146
BaO	727	1,379	0,460
ZnO	977	1,597	0,297

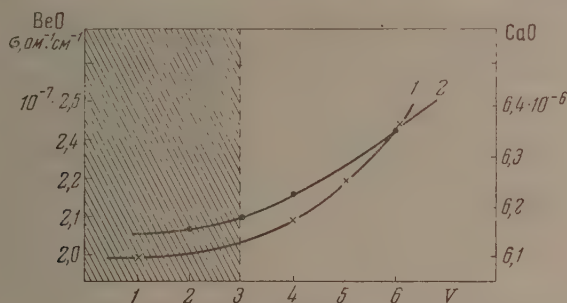


Рис. 3. Зависимость электропроводности BeO и CaO от напряжения при 820° С: 1—BeO; 2 — CaO

кристаллической решетки данных окислов. Энергия активации  $\Phi_2$ , соответствующая более низкому значению температур, колеблется в пределах 480—0,146 eV.

В заключение считаю своим долгом выразить благодарность А. А. Воббеу за предложенную тему, консультации и внимание к настоящей работе и зав. лабораторией Г. В. Кривошекову за помощь в проведении эксперимента.

## ВЫВОДЫ

1. Температурная зависимость проводимости окислов Be, Mg, Ca, Sr, Ba и Zn в интервале температур 280—930° С возрастает по экспоненциальному закону, характерному для ионной проводимости.



2. Электропроводность возрастает с уменьшением энергии кристаллической решетки окислов.

3. Значение энергии активации носителей тока закономерно снижается с уменьшением энергии кристаллической решетки.

4. В низкотемпературной области электропроводность, как и у все диэлектриков и полупроводников, зависит, повидимому, от наличия примесей в исследуемом образце.

Западно-Сибирский филиал  
Академии наук СССР  
Новосибирск

Поступила  
25. VI. 1955

#### ЛИТЕРАТУРА

1. А. А. Воробьев и Е. К. Завадовская, Изв. Томск. политехн. ин-та, **71**, 3, 1952.
2. Е. К. Завадовская, Изв. Томск. политехн. ин-та, **73**, 15, 1952.
3. В. Флексич, Электропроводность неметаллических кристаллов, ОНТИ, 193.
4. T. Stöckmann, Zs. f. Phys., **127**, 563, 1950.
5. A. Lempiński, Proc. Phys. Soc., **66**, 1281, 1950.
6. K. Nauffe, L. Tränckler, Zs. f. Phys., **136**, 166, 1953.
7. J. Young, Journ. Appl. Phys., **23**, 129, 1952.
8. E. Pell, Phys. Rev., **87**, 457, 1952.
9. C. M. Brentano, а. C. Goldberg, Phys. Rev., **94**, 56, 1951.
10. С. А. Щукарев, Вестн. ЛГУ, № 11, 127, 1954.

## К ТЕОРИИ СОВМЕСТНОГО ДЕЙСТВИЯ КАТАЛИЗАТОРОВ В РАСТВОРЕ

### III. КИНЕТИКА КАТАЛИТИЧЕСКОГО РАЗЛОЖЕНИЯ ПЕРЕКИСИ ВОДОРОДА ПРИ СОВМЕСТНОМ ДЕЙСТВИИ СУЛЬФАТА МЕДИ И ХРОМАТА КАЛЬЦИЯ

*Г. А. Богданов и Б. Е. Рубинштейн*

Выявление природы промотирования в жидкой фазе имеет большое технологическое и теоретическое значение. Исследован ряд систем катализаторов, в том числе активирующее влияние ионов различных металлов при совместном их присутствии.

В нейтральной среде соли меди и хроматы щелочных металлов обладают сравнительно небольшой каталитической активностью. При добавлении ионов водорода их каталитическая активность изменяется. Соли меди не катализируют распад перекиси водорода в кислой среде, тогда как соединения шестивалентного хрома приобретают в этих условиях высокую каталитическую деятельность.

Из этого можно сделать вывод, что образующиеся в кислом растворе перекиси водорода надхромовые кислоты более неустойчивы, чем их соли.

Гомогенный катализ перекиси водорода хроматами калия в нейтральной и в кислой среде подробно изучен в работах Е. И. Шпитальского и Н. И. Кобозева [1]. Г. А. Богдановым исследована кинетика распада перхромата калия и выделены новые перхроматы калия [2]. Г. А. Богдановым и Г. Л. Петровой изучен катализ перекиси водорода хроматом натрия и выделены промежуточные продукты катализа — перхроматы натрия [3]. Состав и свойства перхроматов натрия оказались отличными от состава и свойств перхроматов калия, что может определять различие в кинетической картине катализа хроматами калия и хроматами натрия [1,3].

Влияние солей меди на распад перекиси водорода исследовано Е. И. Шпитальским, Н. Н. Петиним и Б. А. Коноваловой [4]. В щелочной среде катализ является гетерогенным, и соединения меди оказывают значительное каталитическое действие. Характер каталитического разложения перекиси водорода в присутствии солей меди зависит от начальной концентрации субстрата, от повторного действия катализатора. Эти же факторы не влияют на катализ перекиси водорода хроматами калия и натрия. Кинетические кривые, выражающие механизм указанных процессов, резко различаются между собой.

Представлялось весьма интересным исследовать эти несходные противоположно действующие катализаторы при их совместном присутствии.

Опыты проводились с отечественными препаратами марки «х. ч.», в случае  $K_2CrO_4$  и  $H_2O_2$  и марки «ч. д. а.» в случае  $CuSO_4$ .

Сульфат меди дважды перекристаллизовывался. Содержание меди и хрома в солях определялось иодометрическим титрованием. Растворы катализаторов вводились в реакционную смесь последовательно: сначала  $CuSO_4$ , затем, после установления температурного равновесия,  $K_2CrO_4$ . Объем реакционной смеси равнялся во всех случаях 24 мл, из которых 20 мл раствора перекиси водорода и по 2 мл каждого из растворов катализаторов.

Опыты проводились в термостате с терморегулятором. Реакционная смесь перемешивалась встряхиванием со скоростью около 300 полуоборотов в минуту.

Скорость реакции определялась газометрическим методом по объему выделившегося кислорода.

Визуальные наблюдения, проделанные предварительно, дают некоторое представление о качественной картине взаимодействия перекиси водорода с катализаторами.

В нейтральной среде, в случае малых концентраций катализаторов, при смешивании их с раствором субстрата образуется гомогенная система темнубурого цвета. В дальнейшем интенсивность окраски ослабевает и начинается выделение пузырьков кислорода. По окончании процесса раствор приобретает зеленовато-желтую окраску; такую же окраску имеет система, составленная из смеси катализаторов указанных концентраций и разбавленных 20 мл воды.

С повышением концентрации сульфата меди изменение окраски системы происходит в той же последовательности, что и в случае малых концентраций катализатора. В окраске раствора, образовавшегося после разложения  $\text{H}_2\text{O}_2$ , преобладает, естественно, зеленый цвет.

С повышением концентрации хромата калия раствор приобретает в начале процесса темнофиолетовую окраску, переходящую в бурую и в зеленовато-желтую в конце опыта.

При одновременном увеличении концентраций катализаторов система перестает быть гомогенной; появляется опалесценция и, при еще больших концентрациях катализаторов, — осадок. В начале опыта раствор и осадок темнубурого, почти черного цвета; по мере выделения кислорода раствор и осадок светлеют, в конце опыта осадок становится желтого цвета. Выделение кислорода начинается сразу же после смешения катализаторов с субстратом.

В кислой среде окраска системы при смешении катализаторов с субстратом имеет фиолетовый цвет, переходящий в сине-фиолетовый при увеличении концентрации  $\text{CuSO}_4$  и в фиолетовый при увеличении концентрации  $\text{K}_2\text{CrO}_4$ . Затем окраска становится бурой, светлеет и переходит в зеленовато-желтую.

При достаточно больших концентрациях катализаторов выпадает осадок темнубурого, почти черного цвета. К концу опыта осадок светлеет и становится желтым.

Минимальное значение концентраций катализаторов, при которых появляется осадок и система становится гетерогенной, зависит от кислотности. В системах с большей концентрацией ионов водорода осадок выпадает при соответственно больших концентрациях катализаторов.

В гомогенных системах выделение кислорода происходит через некоторый промежуток времени после смешения катализаторов с субстратом. В гетерогенных системах кислород выделяется сразу после смешивания.

Цвет осадка в конце опыта такой же, как цвет хромата меди, полученного при смешивании водных растворов  $\text{CuSO}_4$  и  $\text{K}_2\text{CrO}_4$ .

В настоящей работе исследовано влияние начальной концентрации субстрата, температуры, концентраций катализаторов и ионов водорода на скорость распада перекиси водорода.

Влияние начальной концентрации субстрата. Опыты проводились с перекисью водорода, начальная концентрация которой изменялась в диапазоне от 0,1 до 0,72 моль/л. Проведены три серии опытов при 25°C с различными концентрациями катализаторов. В двух сериях опытов катализаторы брались в эквимольных концентрациях, равных  $c_{\text{CuSO}_4} = c_{\text{K}_2\text{CrO}_4} = 0,00834$  моль/л в первой серии и  $c_{\text{CuSO}_4} = c_{\text{K}_2\text{CrO}_4} = 0,001$  моль/л во второй. В третьей серии опытов концентрация хромата калия была большей, чем концентрация сульфата меди:  $c_{\text{K}_2\text{CrO}_4} = 0,00834$  моль/л и  $c_{\text{CuSO}_4} = 0,001$  моль/л.

Установлено, что скорость реакции и характер кинетических кривых зависят от начальной концентрации субстрата.

Кинетические кривые, соответствующие меньшим начальным концентрациям субстрата, располагаются выше, чем кинетические кривые, полученные в опытах с большими начальными концентрациями перекиси водорода.

На рис. 1 представлены данные второй серии опытов при  $c_{\text{CuSO}_4} = c_{\text{K}_2\text{CrO}_4} = 0,001$  моль/л. Кривая 2 получена при  $c_0 = 0,715$  моль/л, а кривая 2' — при  $c_0 = 0,175$  моль/л. Опыты проводились в нейтральной среде.  $v$  —



скорость катализа в *моль/л мин*,  $c$  — концентрация субстрата в *моль/л*. Кривая 1 имеет в начале процесса характерный резкий перегиб.

Кинетические кривые, полученные в третьей серии опытов при  $c_{K_2CrO_4} > c_{CuSO_4}$ , имеют максимумы в начале опыта, а затем скорость реакции линейно изменяется с концентрацией. Здесь сказывается, очевидно, индивидуальная особенность действия катализатора, взятого с большей концентрацией.

Проведенные опыты, по выяснению влияния начальной концентрации субстрата на скорость и порядок реакции, указывают на образование в те-

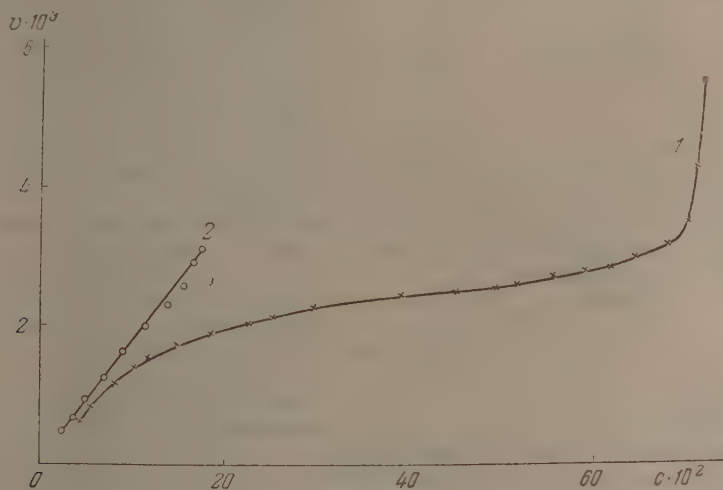


Рис. 1

чение процесса нескольких промежуточных продуктов, причем некоторые из них образуются не мгновенно, а для их формирования требуется известный индукционный период. Существенным является то обстоятельство, что у некоторых промежуточных продуктов происходят в растворе необратимые изменения. Все это вместе определяет необратимость изучаемого катализа.

**Влияние концентраций катализаторов.** Проведено 5 опытов с семью различными концентрациями  $CuSO_4$  и таким же числом концентраций  $K_2CrO_4$ . Концентрации катализаторов изменялись в интервале от 0,0005 до 0,0417 *моль/л*. Экспериментальные данные мы приведем только те, которые касаются активирующего влияния катализаторов при их совместном присутствии и где изменяется характер наблюдаемых кинетических кривых.

Как уже указывалось, сульфат меди практически совершенно недействителен в кислой среде и обладает малой каталитической активностью в нейтральной среде. В щелочной среде катализ перекиси водорода осуществляется осадком гидрата окиси меди, катализ является гетерогенным и происходит со значительной скоростью. Таким образом по мере увеличения pH скорость катализа вполне определенно увеличивается.

Каталитическое действие хромата калия имеет прямо противоположный характер. В нейтральной среде оно не является значительным, хотя и превышает каталитическое действие сульфата меди. При добавлении щелочи скорость распада уменьшается и увеличивается в кислой среде с возрастанием концентрации водородных ионов. Во всех случаях изменения pH среды, катализ перекиси водорода хроматом калия остается гомогенным.

Рассмотрим наши исследования в нейтральной среде при 25 и 35°C. На рис. 2 представлены результаты опытов по исследованию активирующего

Таблица 1  
Скорость катализа  $\text{H}_2\text{O}_2$   
в моль/л мин  $\cdot 10^3$

№ опыта	1	2	3
$c \cdot 10^2$			
80	0,25	0,8	36
100	0,35	1,1	45
120	0,45	1,5	54
140	0,57	2,0	63
160	0,85	2,6	72

действия сульфата меди на процесс катализа. Приведенные кривые 1—3 отвечают соответственно следующим концентрациям  $\text{CuSO}_4$ : 0; 0,001; 0,002 моль/л. Концентрация хромата калия во всех опытах одинакова и равна 0,00208 моль/л. Опыты проводились при 35°C.

Скорости реакций, соответствующие кривой 3, примерно вдвое больше скоростей, соответствующих кривой 2. Указанный рост скорости реакции в данном случае пропорционален концентрации сульфата меди.

При тех же условиях сульфат меди катализирует процесс распада перекиси водорода значительно менее активно, чем только один хромат калия. При совместном действии обоих катализаторов скорость реакции возрастает во много раз.

В табл. 1 приведены данные, иллюстрирующие вышесказанное. Данные табл. 1 получены из трех опытов, проведенных при 35° с концентрациями катализаторов:

1-й опыт  $c_{\text{CuSO}_4} = 0,00834$  моль/л,  $c_{\text{K}_2\text{CrO}_4} = 0$ ;

2-й опыт  $c_{\text{CuSO}_4} = 0$ ,  $c_{\text{K}_2\text{CrO}_4} = 0,00834$  моль/л;

3-й опыт  $c_{\text{CuSO}_4} = 0,00834$  моль/л.  $c_{\text{K}_2\text{CrO}_4} = 0,00834$  моль/л.

В таблице даны значения скорости реакции распада перекиси водорода, вычисленные для различных концентраций субстрата.

Характерным является изменение кинетического хода катализа при изменении концентраций катализаторов.

На рис. 3 кинетические кривые 1—4 соответствуют различным концентрациям хромата калия: 0,0005; 0,001; 0,008; 0,0417 моль/л.

Все опыты выполнены при 25° при постоянном значении концентрации сульфата меди  $c_{\text{CuSO}_4} = 0,001$  моль/л.

Кривая 1, полученная при  $c_{\text{K}_2\text{CrO}_4} < c_{\text{CuSO}_4}$ , сильно вогнута; кривая 2, отвечающая  $c_{\text{K}_2\text{CrO}_4} = c_{\text{CuSO}_4}$ , следует реакции первого порядка.

При концентрациях хромата калия, превышающих концентрации сульфата меди, на кинетических кривых 3, 4 появляется максимум в начале процесса.

В большинстве случаев скорость реакции возрастает медленнее, чем изменяется концентрация одного из катализаторов в присутствии постоянной концентрации второго катализатора.

На рис. 4 и 5 кинетические кривые отвечают различным концентрациям сульфата меди и одинаковой концентрации хромата калия.

В серии опытов, изображенных на рис. 4, концентрация хромата калия равнялась 0,0417 моль/л, а концентрации сульфата меди во всех случаях были меньшими, равными для кривых 1, 2, 3 соответственно: 0,002; 0,004; 0,00834 моль/л.

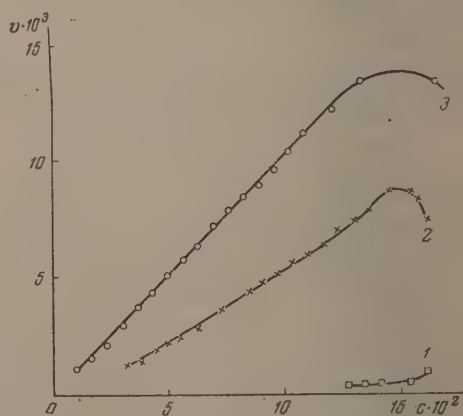


Рис. 2

Кривые 1—3 рис. 5 представляют серию опытов, для которых концентрация сульфата меди последовательно увеличивалась: 0; 0,001; 0,008; 0,0208 моль/л. Концентрация хромата калия во всех опытах равнялась 0,001 моль/л. Опыты проводились при 25° в нейтральной среде.

Анализ кривых рис. 4 и 5 позволяет сделать следующие выводы о влиянии сульфата меди на катализ перекиси водорода хроматом калия.

1. При концентрациях сульфата меди, меньших, чем концентрация хромата калия, активирующее действие первого пропорционально его концентрации. Кинетические кривые в начале процесса имеют максимум, а затем скорость реакции изменяется примерно по уравнению первого порядка.

2. В условиях  $c_{\text{CuSO}_4} > c_{\text{K}_2\text{CrO}_4}$  дальнейшее повышение концентрации сульфата меди сравнительно меньше сказывается на скорости реакции, но вызывает изменение самого характера кинетических кривых. В данных условиях, при концентрациях сульфата меди, превышающих концентрацию хромата калия, скорость реакции изменяется приблизительно по уравнению второго порядка. Самым характерным для этой серии опытов является факт изменения, и притом иногда скачком, кинетического хода катализа в узком интервале соотношений концентраций сульфата меди и хромата калия.

Изменение порядка реакции с изменением нескольких промежуточных катализаторов указывает на образование нескольких промежуточных продуктов с различным относительным содержанием хрома, меди и перекисного кислорода.

Влияние температуры. В работах по исследованию кинетики каталитических реакций в растворах связь энергии активации с концентрацией катализаторов не устанавливалась.

Для установления зависимости энергии активации от концентрации катализаторов проведена серия опытов с различными концентрациями катализаторов при трех температурах: 15, 25 и 35°. В этом интервале температур порядок реакции не изменялся.

Энергия активации вычислялась по уравнению Аррениуса. Результаты вычислений приведены в табл. 2.

Данные таблицы показывают, что изменение концентраций сульфата меди и хромата калия противоположно влияют на величину энергии активации. Энергия активации увеличивается с повышением концентрации  $\text{CuSO}_4$  и уменьшается с увеличением концентрации  $\text{K}_2\text{CrO}_4$ .

Если зависимость энергии активации  $E$  и концентраций катализаторов изобразить графически в координатах  $E$  и  $\lg c$ , то экспериментальные точки

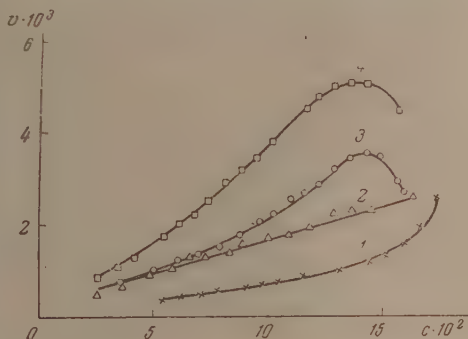


Рис. 3

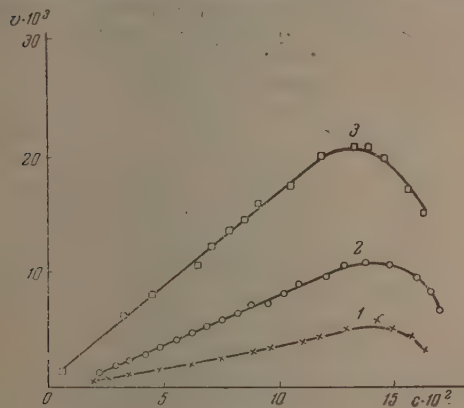


Рис. 4



Таблица 2

Влияние концентрации катализаторов  $c$  (мо.л/л) на энергию активации реакции  $E$  (ккал/мо.л)

Серия опытов 1	$c_{\text{CuSO}_4}$	0,00834					
	$c_{\text{K}_2\text{CrO}_4}$ $E$	0,001 32,8	0,00834 15,2			0,0208 11,9	
2	$c_{\text{CuSO}_4}$	0,001					
	$c_{\text{K}_2\text{CrO}_4}$ $E$	0,0005 23	0,001 19,5	0,002 12,6	0,00834 6,5	0,0208 6,1	0,0417 3,4
3	$c_{\text{K}_2\text{CrO}_4}$	0,001					
	$c_{\text{CuSO}_4}$ $E$	0,001 19,6	0,00417 27			0,00834 32,8	
4	$c_{\text{K}_2\text{CrO}_4}$	0,00834					
	$c_{\text{CuSO}_4}$ $E$	0,001 6,5				0,00834 15,2	

располагаются приблизительно по прямой линии. Следовательно, зависимость  $E$  от  $c$  соответствует аналитическому выражению

$$E = a + b \lg c. \quad (1)$$

Коэффициент  $b$  имеет отрицательные значения для хромата калия и положительное — для сульфата меди.

Установление зависимости энергии активации от концентраций катализаторов является одним

из интересных результатов настоящей работы и подтверждает мысль о непрерывном изменении состава и свойств промежуточных продуктов, связанном с их образованием и дальнейшими последовательными превращениями.

Интересны также закономерности изменения энергии активации с температурой, которые установлены в данной серии опытов.

1. Если концентрации катализаторов эквимолярны или близки к эквимолярным, то энергия активации почти

не изменяется с температурой и, следовательно,  $dE/dT = 0$ .

2. При значительных расхождениях в концентрациях катализаторов  $dE/dT > 0$ , если

$c_{\text{CuSO}_4} \gg c_{\text{K}_2\text{CrO}_4}$ , то  $dE/dT < 0$ , если  $c_{\text{CuSO}_4} \ll c_{\text{K}_2\text{CrO}_4}$ , то  $dE/dT > 0$ .

3. Чем больше различаются концентрации катализаторов, тем значительней изменяется энергия активации с температурой, т. е. тем больше абсолютное значение  $dE/dT$ .

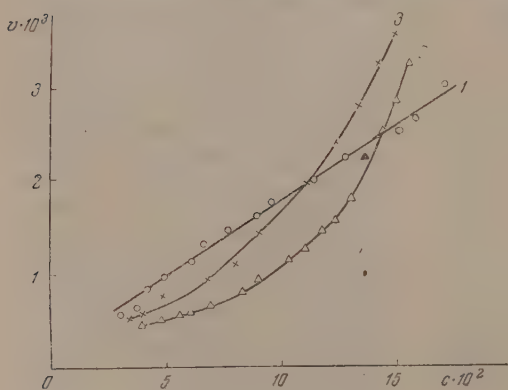
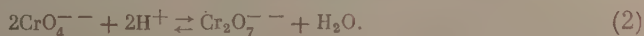


Рис. 5.

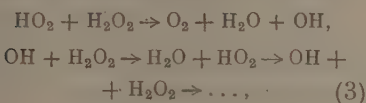
Влияние концентрации ионов водорода. Как уже указывалось, ионы водорода ускоряют процесс катализа перекиси водорода хроматом калия.

Необходимо учитывать тот общеизвестный факт, что монохроматы в кислой среде переходят в бихроматы по реакции

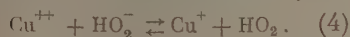


Каталитическое же влияние бихромата калия значительно превышает активность монохромата в катализе перекиси водорода.

В отношении уменьшения скорости катализа по мере увеличения концентрации ионов водорода и отсутствия катализа перекиси водорода солями меди в кислой среде существует при этом следующее мнение. Если принять цепной характер реакции распада перекиси водорода



то для возникновения цепей и их последующего развития необходим радикал  $\text{HO}_2$ , который образуется по реакции



Кислота обрывает цепи путем давления диссоциации перекиси водорода на ионы и смещения равновесия в сторо-

ну, противоположную образования радикала  $\text{HO}_2$  [5]. Для создания кислой среды применялась химически чистая серная кислота.

Проведена серия опытов с концентрациями водородных ионов: 0,001; 0,0025; 0,005 и 0,01 г-экв/л, на основании которых можно сделать следующие выводы о катализе перекиси водорода системой катализаторов  $\text{CuSO}_4 + \text{K}_2\text{CrO}_4$  в кислой среде.

Сульфат меди, не обладающий каталитической активностью в кислой среде, увеличивает каталитическую активность хромата калия тем больше, чем больше концентрация сульфата меди.

На рис. 6 представлены кинетические кривые, полученные при  $25^\circ$  и  $c_{\text{H}^+} = 0,001$  г-экв/л и отвечающие все увеличивающимся концентрациям сульфата меди: 0; 0,001; 0,002; 0,00834;

0,0208 моль/л соответствующим кривым 1—5. Концентрация  $\text{K}_2\text{CrO}_4$  во всех опытах одинакова и равнялась 0,00834 моль/л.

Большим концентрациям соли меди соответствуют большие скорости реакции. Для опытов с эквимоллярными концентрациями катализаторов

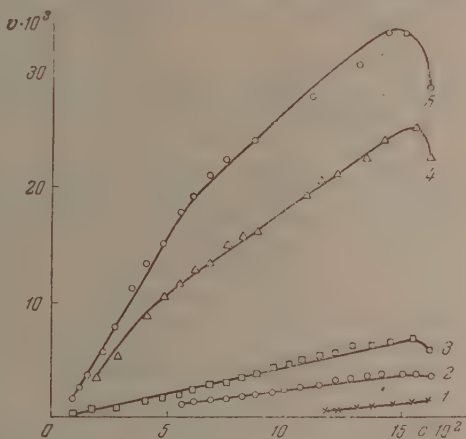


Рис. 6

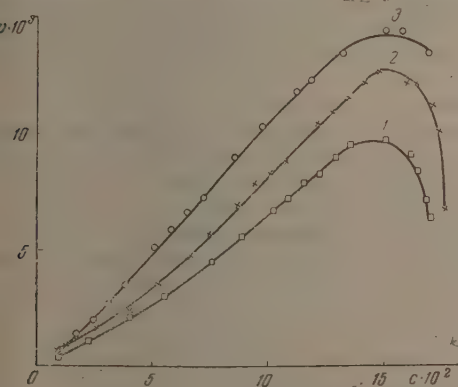


Рис. 7

$c_{\text{CuSO}_4} = c_{\text{K}_2\text{CrO}_2} = 0,00834$  моль/л скорости реакции приблизительно в 25 раз больше, чем скорость распада перекиси водорода, катализируемая одним хроматом калия. Отмеченные закономерности сохраняются и в среде с большими концентрациями  $\text{H}^+$ .

В зависимости от соотношения концентраций катализаторов, ускоряющее влияние водородных ионов на скорость реакции может быть значительным, если концентрация хромата калия превосходит концентрацию

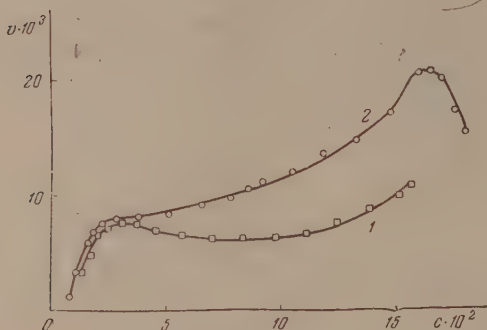


Рис. 8

сульфата меди. Однако, если концентрация сульфата меди значительно превосходит концентрацию хромата калия, то скорость реакции уменьшается с повышением концентрации водородных ионов.

Кривые 1, 2, 3 на рис. 7 соответствуют возрастающим концентрациям водородных ионов: 0,001; 0,0025; 0,005 г-эке/л. Опыты выполнены при 25° с концентрациями катализаторов:

$$c_{\text{CuSO}_4} = 0,002 \text{ моль/л}$$

II

$$c_{\text{K}_2\text{CrO}_4} = 0,00834 \text{ моль/л.}$$

Большим концентрациям ионов водорода отвечает большая скорость реакции.

При больших концентрациях ионов водорода на кинетических кривых появляется максимум в конце реакции, подобно тому как это происходит при катализе  $\text{H}_2\text{O}_2$  хромовой кислотой и бихроматом калия в кислой среде. Кривые 1, 2 рис. 8 соответствуют опытам, проведенным при 25° с концентрациями катализаторов:

$$c_{\text{CuSO}_4} = 0,0208 \text{ моль/л и } c_{\text{K}_2\text{CrO}_4} = 0,00417 \text{ моль/л.}$$

Из этого видно, что, когда концентрация сульфата меди значительно больше концентрации хромата калия, — скорость катализа уменьшается с возрастанием концентрации водородных ионов. Кривая 1 отвечает концентрации серной кислоты, равной 0,01 N, а кривая 2 получена при  $c_{\text{H}_2\text{SO}_4} = 0,005$  N. Скорость реакции, как это следует из рис. 8, на большей части течения процесса изменилась почти обратно пропорционально изменению концентрации серной кислоты. Лишь в последней четверти реакции кинетические кривые почти сходятся, и их ординаты — скорости реакции — мало отличаются друг от друга.

Таким образом при совместном присутствии сульфата меди и хромата калия имеет место совершенно новая качественная и количественная картина каталитического действия при одновременном сохранении, в определенных условиях, некоторых особенностей индивидуального каталитического поведения.

### ОБСУЖДЕНИЕ РЕЗУЛЬТАТОВ

Особенности совместного действия сульфата меди и хромата калия, при одновременном сохранении индивидуальностей каждого катализатора, заставляют принять во внимание катализ под влиянием хромата калия и сульфата меди в отдельности.

В нейтральной среде, при малых эквимольных концентрациях, индивидуальность отдельных катализаторов проявляется в небольшой степени.



При увеличении концентрации ионов водорода равным образом, как при увеличении концентрации хромата калия, повышается влияние катализ индивидуальных особенностей хромового катализатора и снижается влияние индивидуальных особенностей сульфата меди. Наоборот, с уменьшением концентрации ионов водорода либо с относительным увеличением концентрации сульфата меди проявляются особенности, характерные для катализа одними солями меди.

Катализ перекиси водорода под влиянием каждого катализатора в отдельности в различных условиях рН сам по себе является достаточно сложным. При совместном действии обоих катализаторов кинетика катализа, определяемая разнообразным характером кинетических кривых, является весьма сложной. Изменение энергии активации также свидетельствует о сложности и своеобразии кинетической картины катализа при совместном действии  $\text{CuSO}_4$  и  $\text{K}_2\text{CrO}_4$ .

Обобщая теоретические стороны изученного катализа, опирающиеся на экспериментальную основу предлагаемого исследования и прежних исследований одного из нас, можно указать на два важнейших момента.

Разнообразие кривых и их сложность обуславливаются большим числом промежуточных продуктов. Прямыми опытами доказано, что хромат калия в кислой среде образует с перекисью водорода не менее трех промежуточных продуктов: двух активных и одного малоактивного. При взаимодействии соединений меди с перекисью водорода образуются, по крайней мере, два перекисных продукта: один неактивный и другой активный.

С повышением концентрации субстрата увеличивается количество активного, наиболее богатого кислородом, перхромата при катализе хроматом калия, а также увеличивается количество каталитически неактивного пероксида меди при катализе солями меди. Уже одно это обстоятельство сильно усложняет кинетику катализа при совместном действии обоих катализаторов. В частности, оно одно может определить зависимость скорости реакции от начальной концентрации субстрата, от повторного действия катализаторов, а также различие кинетических кривых в различных условиях.

Соприженное действие сульфата меди и хромата калия, наглядно представленное в табл. 1, и характер кинетических кривых убеждают нас том, что, наряду с перекисями отдельных катализаторов, образуются промежуточные продукты, содержащие в своем составе медь, хром и перекисный кислород, обладающие значительной каталитической активностью.

Изменение порядка реакции при изменении соотношения концентраций катализаторов указывает на то, что изменяется состав и концентрация перхроматов меди [2,6].

Энергия активации изменяется определенным образом с изменением температуры и с изменением концентрации катализаторов. Это положение является одним из самых главных доказательств существования многих промежуточных продуктов. Скачкообразное изменение энергии активации указывает на возникновение в системе каждый раз нового соединения.

В исследованном случае катализа сульфатом меди и хроматом калия энергия активации непрерывно изменялась при изменении концентрации катализаторов, в результате чего установлена количественная связь, представленная в аналитической форме уравнением (1).

Последовательное и закономерное изменение энергии активации при изменении условий катализа, в том числе при изменении соотношений концентраций катализаторов, указывает не только на образование многих промежуточных продуктов, но и свидетельствует также о том, что с промежуточными веществами в растворе происходят непрерывные изменения, отражающиеся в изменении их концентрации состава и свойства.

С целью проверки одного из наших предположений об образовании комплексных промежуточных продуктов были проделаны опыты по прямому доказательству их существования.

Переходим к изложению опытов по синтезу и выделению допускаемого перхромата меди.

**Перхромат меди.** Перхромат меди получался следующим методом. К 10 мл 30%-ного раствора перекиси водорода, охлажденной почти до температуры плавления при помощи сухого льда, прибавлялись приблизительно эквимольные количества насыщенных растворов  $\text{CuSO}_4$  и  $\text{K}_2\text{CrO}_4$  при непрерывном перемешивании и охлаждении.

Через 5—10 мин. после смешивания растворов выпадает продукт темного бурого, почти черного цвета. Для более полного осаждения добавлялось

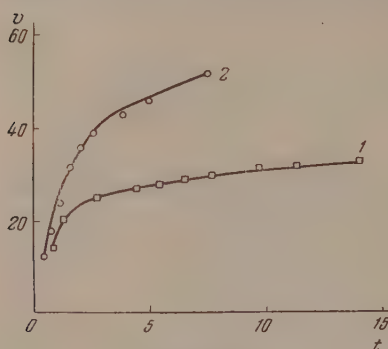


Рис. 9

50—80 мл охлажденного до температуры сухого льда 96%-ного этилового спирта или абсолютного ацетона.

Продукт отфильтровывался на стеклянном фильтре при разрежении, создаваемом водоструйным насосом и при охлаждении сухим льдом. Темнобурая окраска фильтрата указывает на некоторую растворимость продукта в воде, и, в противоположность этому, фильтраты, полученные после промывания продукта ацетоном или спиртом, бесцветны. Это доказывает на практическую нерастворимость его в спирте и в ацетоне.

При повторных получениях продукта изменялись следующие условия

- 1) количество субстрата изменялось от 7 до 15 мл при постоянных количествах растворов сульфата меди, равной 3 мл с концентрацией 2,73 моль/л, и хромата калия — 7,5 мл с концентрацией 1,11 моль/л;
- 2) порядок смешивания катализаторов с субстратом;
- 3) существенным изменением условий является использование ацетона вместо обычно применяемого спирта.

Во всех указанных условиях продукт получался одинаковым по внешнему виду и по составу. В табл. 3 приведены результаты анализа продукта. Медь и хром определялись иодометрически, а перекисный кислород — газометрическим методом.

Таблица 3

Серия опытов	Порядок прибавления катализаторов	Количество мл 30 %-ного раствора и осадитель	Число атомов выделившегося кислорода на 1 моль	Среднее
1	$\text{K}_2\text{CrO}_4$ , затем $\text{CuSO}_4$	7 мл, спирт	1,96; 2,06;	2,01
2	$\text{CuSO}_4$ , затем $\text{K}_2\text{CrO}_4$	10 мл, спирт	1,98; 2,15; 2,17; 2,23; 2,19; 1,99; 2,1	2,13
3	$\text{CuSO}_4$ , затем $\text{K}_2\text{CrO}_4$	15 мл, ацетон	2,08; 1,96; 1,98	2,0
Среднее из всех серий опытов				2,05

Результаты анализа приводят к формуле перхромата  $\text{CuCrO}_6$  или  $\text{CuCrO}_4 \cdot 2\text{H}_2\text{O}_2$ .

При температуре сухого льда полученный перхромат меди разлагается очень медленно. Анализ продукта, проведенный после хранения его на сухом льду в течение нескольких часов, не обнаружил существенного уменьшения кислорода в его составе.

При некотором повышении температуры продукт расплывается и одновременно начинается выделение кислорода. При  $0^\circ$  он обладает высокой лабильностью. На рис. 9 даны кривые 1, 2 распада перхромата меди при  $0^\circ$  и при  $10^\circ$  (в координатах,  $V$  — объем выделившегося кислорода в миллилитрах и  $t$  — время в минутах). Наблюдаемое вначале быстрое выделение кислорода замедляется примерно через 2 мин. Время полураспада вынялось около 1 мин. при обеих температурах.

Остаток после удаления перекисного кислорода был желтого цвета, легко растворим в разбавленной серной кислоте и представлял собой перхромат меди. Опыты по выделению и исследованию перхромата меди являются одним из подтверждений наших положений относительно механизма изученной кинетики катализа.

### ВЫВОДЫ

1. Скорость каталитического разложения перекиси водорода под влиянием совместного действия хромата калия и сульфата меди зависит от начальной концентрации субстрата.

Сульфат меди весьма значительно увеличивает каталитическую активность хромата калия в нейтральной и кислой средах. При изменении отношения концентраций катализаторов и ионов водорода изменяется скорость катализа, порядок реакции и энергия активации.

2. Энергия активации реакции возрастает с увеличением концентрации сульфата меди и с уменьшением концентрации хромата калия. При  $c_{\text{CuSO}_4} > c_{\text{K}_2\text{CrO}_4}$  энергия активации увеличивается с повышением температуры,  $dE/dT > 0$ . При  $c_{\text{CuSO}_4} < c_{\text{K}_2\text{CrO}_4}$  имеет место обратная закономерность  $dE/dT < 0$ .

Установление закономерностей в изменении энергии активации является наиболее интересным результатом настоящего исследования.

3. Непрерывное изменение энергии активации, а также разнообразие кинетических кривых в различных условиях опыта, являются доказательством возникновения в изученной системе большого числа промежуточных единений, образуемых как отдельными катализаторами, так и общих, «комплексных» состояний.

В подтверждение наших взглядов выделен, до сих пор не исследованный перхромат меди.

Поступила  
29. VI. 1955

### ЛИТЕРАТУРА

- Е. И. Шпитальский, ЖРФ-ХО, часть хим., 42, 1085, 1940; Н. И. Кобозев и Э. Е. Гольбрайх, Журн. физ. химии, 14, 1550, 1940.  
Г. А. Богданов, Журн. физ. химии, 25, 323, 1951.  
Г. А. Богданов и Г. Л. Петрова, Журн. физ. химии, 29, 84, 1955.  
Е. И. Шпитальский, Н. Н. Петин и Б. А. Коновалова, ЖРФ-ХО, часть хим., 60, 1238, 1928.  
Uri, Journ. Phys. Coll. Chem., 53, 1070, 1949.  
Г. А. Богданов, Журн. физ. химии, 25, 332, 1951.



## РАСЧЕТ КОНЦЕНТРАЦИОННОЙ ПОЛЯРИЗАЦИИ ПРИ НЕСТАЦИОНАРНОМ РЕЖИМЕ ЭЛЕКТРОЛИЗА

С. В. Горбачев

В современных курсах электрохимии концентрационная поляризация при нестационарном режиме электролиза обычно не рассматривается [1—3]. Однако решение ряда задач требовало разработки теории этих процессов. Поскольку в теории диффузии можно использовать математический аппарат теории теплопередачи, а последний разработан с большим совершенством, могло казаться, что решение данной задачи не встретит затруднений.

Первые работы в этом направлении были сделаны еще Гельмгольцем [4]. Более основательно эта задача была рассмотрена А. П. Соколовым [5], который рассчитал поляризацию при нестационарном электролизе, считая главной причиной поляризации выделение на электродах молекулярных продуктов электролиза и их диффузию в объем раствора.

Развитие метода полярографии Гейровским [6] вызвало появление работы Д. Ильковича [7], в которой задача расчета концентрационной поляризации была прекрасно решена для случая поляризации каплюющей трубки в растворе с избытком индифферентного электролита. Решение этой задачи Д. Ильковичем подверглось проверке в работах Мак-Жилеври и Э. К. Райдила [8]. Авторы подтвердили решение Д. Ильковича и попутно рассмотрели более общую задачу расчета концентрационной поляризации. Следует заметить, что первой работой, учитывавшей особенности задачи концентрационной поляризации, была работа Сэнда [9]. Возможно, что частотность изложения оставляла ряд неясностей, которые потребовали нового рассмотрения вопроса. Это новое рассмотрение было предпринято Коттреллем [10], который перенес математический аппарат теории теплопередачи и диффузии на процессы электролиза. Если в работе А. П. Соколова [5] такой перенос был мотивирован представлением автора о лимитирующем значении диффузии молекулярных продуктов электролиза, то в работе Коттрелля такой мотивировки уже не содержится. Работа Коттрелля получила широкую известность, чему способствовало глубокое сочувственное отношение при изложении ее в авторитетной монографии Ферстера [11] и ряде других монографий. Коттрелль использовал превосходные работы Стефана и Винера по общей теории диффузии и несколько упрощенно перенес полученные ими результаты на явления концентрационной поляризации. При этом он показал на примере электролиза  $0,01\text{ }N\text{ }ZnSO_4$  в насыщенном растворе  $K_2SO_4$ , что  $IVt = \text{const}$ , где  $I$  — плотность тока и  $t$  — время. В результате им было получено постоянство  $IVt$  с точностью  $\pm 5\%$ . Понятно, что удовлетворительное постоянство этого произведения получено было потому, что подвергаемое электролизу вещество было взято в растворе, в котором имелся подавляющий избыток индифферентного электролита. Это сближало электролиз с чисто диффузионным процессом. Применяя правильное общее уравнение диффузии, полученное Стефаном, Коттрелль ввел дополнительное условие  $I = K(\partial c/\partial x)$  при  $x = 0$ . Это условие сильно облегчало расчеты, но Коттрелль не заметил, что им вводится элемент внутреннего противоречия, так как в решение задачи о нестационарном процессе в скрытой форме вводится условие стационарности.

Работа Коттрелля, к сожалению, не была подвергнута своевременной критике, и содержащиеся в ней ошибки проникли в многочисленные следующие работы. Особенно важное значение имело то, что выводы Коттрелля и введенные им условия были подробно изложены в книге Гельтгофа и Лингейна [12], которая получила широкую известность. Далее эта постановка задачи проникла в работы В. Г. Левича [13, 14] и учебник А. Н. Фрумкина [15]. О некоторых неудачных выводах, к которым приводит указанная постановка задачи, нами было сказано в другом месте [16]. При наличии прекрасно разработанного математического аппарата теории теплопередачи, а затем и диффузии, решение задачи о расчете концентрационной поляризации натолкнулось на трудности. Развитие математической теории уравнений параболического типа происходило под влиянием запросов теории теплопередачи. Теплотехника вполне удовлетворяет такое решение, которое исходит из заданных начальных условий и включает в себя известный и задаваемый тепловой режим на поверхности рассматриваемого тела (краевые условия). Если уравнения теории теплопроводности перенести на явления электролиза, тогда потребуются введение тех же условий, т. е. исходного распределения электролита в растворе и краевого условия. Но введение краевого условия означает, что нужно заранее предварительно установить концентрацию у поверхности электрода или градиент концентрации у самой поверхности электрода. Обычный опыт электрохимии не позволяет с уверенностью сказать, какова будет концентрация электролита у поверхности электрода в ходе всего процесса электролиза. Столь же неясен и вопрос о градиенте концентрации  $dc/dx$  у поверхности электрода. Задаться этими значениями в качестве предварительного условия для электрохимии невозможно. Конечно, можно проделать предварительную разведку, задавшись каким-либо произвольным, более или менее правдоподобным условием для краевого режима, и посмотреть на результаты, к которым придет применение существующих уравнений теории теплопроводности. Можно считать, что в упомянутых работах [8, 10, 13] такая разведка была проделана. Она показала, что получаемый при этом результат, электрохимической точки зрения, не является вполне удовлетворительным. Получающиеся при этом нарушения закона Фарадея, неправдоподобное распределение электролита в растворе заставляют считать [16] задачу не решенной, требующей дальнейшего рассмотрения.

В работе [17] мы сделали попытку выйти из затруднительного положения, отказавшись от введения краевого условия. Для решения дифференциального уравнения диффузии необходимо введение двух условий. В принципе совершенно не обязательно, чтобы такими условиями были непременно начальное и краевое условия. Так как концентрация у поверхности электрода во всех стадиях электролиза не может считаться очевидной и известной, мы предпочли ввести интегральное условие [17, 18], сводящееся к утверждению, что в процессах электролиза соблюдается закон Фарадея. Нам казалось, что такое условие является гораздо более надежным основанием для последующих расчетов, чем произвольные предположения, приводящие к ошибочным результатам условия  $c(x=0)=0$ , или  $dc/dx = \text{const}$  [13, 16]. Мы не могли, конечно, создать новый раздел теории функций параболического типа. Это могут сделать математики, если их заинтересуют запросы электрохимии. Новая и непривычная постановка задачи вызвала не продолжение работы над ее решением, а полемические выступления [19, 20, 14], которые защищали прежнюю постановку вопроса, восходящую к указанной работе Коттрелля и ставшую для многих привычной.

В настоящей работе ставится задача о расчете концентрационной поляризации в русле привычных методов теории функций параболического типа. Но, в отличие от предшествующих работ, краевые условия в этом решении не постулируются, а выводятся в результате анализа соответ-

пующей задачи. В общей постановке решения мы широко использовали превосходную монографию А. Н. Тихонова и А. А. Самарского [21], к которой и просим обращаться за разъяснением вопросов, возникающих в связи с естественной конспективностью изложения этой части настоящей статьи.

### ОБЩЕЕ РЕШЕНИЕ ЗАДАЧИ

Требуется рассчитать распределение электролита в любой момент времени, протекшего от начала электролиза в любой точке раствора. Предполагается, что начальная концентрация  $c(x, \tau=0)$  во всех частях раствора одинакова и равна  $c_0$ . Предполагается, что плотность тока в ходе электролиза поддерживается постоянной, и конвекция отсутствует, что имеет место при горизонтальном расположении электродов у дна сосуда и у поверхности электролита.

Рассмотрение вопроса начнем с решения предварительной задачи, которую можно записать следующим образом:

$$\frac{\partial c}{\partial \tau} = D \frac{\partial^2 c}{\partial x^2}, \quad (1)$$

с начальным условием

$$c(x, \tau=0) = \varphi(x) \quad (2)$$

и краевым условием

$$c(x=0, \tau) = \mu(\tau). \quad (3)$$

Будем искать решение в виде двух слагаемых, из которых первое  $U_1(x, \tau)$  выражает влияние только начальных условий, а второе  $U_2(x, \tau)$  — влияние только краевых условий:

$$c(x, \tau) = U_1(x, \tau) + U_2(x, \tau). \quad (4)$$

Условия (2) и (3) при введении слагаемых  $U_1$  и  $U_2$  получают следующий вид:

$$U_1(x, 0) = \varphi(x); \quad U_1(0, \tau) = 0;$$

$$U_2(x, 0) = 0; \quad U_2(0, \tau) = \mu(\tau).$$

Известно, что одним из решений уравнения Фика (1) является уравнение Пуассона

$$c(x, \tau) = \frac{1}{2V\pi} \int_{-\infty}^{\infty} \frac{1}{V D \tau} e^{-[(x-\varepsilon)^2/4D\tau]} \Psi(\varepsilon) d\varepsilon. \quad (5)$$

Дифференцированием (5) легко показать, что при условии четности функции  $\Psi(\varepsilon)$  при всех  $\tau > 0$

$$\left( \frac{\partial c}{\partial x} \right)_{x=0} = 0. \quad (6)$$

Это свойство функции Пуассона может создать затруднения в согласовании с опытными данными. Его можно устранить путем введения вспомогательной функции, позволяющей представить решение в следующем виде:

$$U_1(x, \tau) = \frac{1}{2V\pi} \int_0^{\infty} \frac{1}{V\pi} (e^{-[(x-\varepsilon)^2/4D\tau]} - e^{-[(x+\varepsilon)^2/4D\tau]}) \varphi(\varepsilon) d\varepsilon. \quad (7)$$

Этим дастся вид первого слагаемого в уравнении (4). Эта функция отвечает принятым для нее начальному и краевому условиям.



Обратимся к нахождению второго слагаемого (4), выражающего влияние краевого условия  $U_2(0, \tau) = \mu(\tau)$ . Предварительно рассмотрим простейший случай, отвечающий постоянству краевого режима:

$$U_2(0, \tau) = \mu(\tau) = \mu_0; \quad U_2(x, 0) = 0. \quad (8)$$

Эти условия вполне соответствуют задаче расчета кинетики растворения. Поэтому мы можем привести соответствующее решение

$$c_0 - c = c_0 \Phi\left(\frac{x}{2\sqrt{D\tau}}\right) = \frac{2c_0}{\sqrt{\pi}} \int_0^{x/2\sqrt{D\tau}} e^{-\alpha^2} d\alpha. \quad (9)$$

Если же упрощающие условия (8) заменить общим условием (3), решение получит следующий вид:

$$U_2(x, \tau) = \int_0^\tau \frac{x}{2\sqrt{\pi D(\tau-\theta)^3}} e^{-x^2/4D(\tau-\theta)} \mu(\theta) d\theta. \quad (10)$$

Уравнения (7) и (10) дают вид обоих слагаемых в уравнении (4). Теперь обратимся к дальнейшему обобщению решения. Для этого нужно рассмотреть задачу на диффузию с источником

$$\frac{\partial c}{\partial \tau} = D \frac{\partial^2 c}{\partial x^2} + f(x, \tau). \quad (11)$$

Задаваясь нулевыми граничными условиями, можно получить решение, выраженное либо через интеграл ошибок, что удобно для частных вычислений, либо через интеграл Пуассона, что удобнее для последующего обсуждения. Последнее решение имеет вид

$$U_3(x, \tau) = \frac{1}{2\sqrt{D\pi}} \int_0^\tau \int_0^\infty \frac{1}{\sqrt{D(\tau-\theta)}} [e^{-[(x-\varepsilon)^2/4D(\tau-\theta)]} - e^{-[(x+\varepsilon)^2/4D(\tau-\theta)]}] \times \\ \times f(\theta, \varepsilon) d\varepsilon d\theta. \quad (12)$$

В теории дифференциальных уравнений параболического типа показывается, что уравнение (1) имеет бесконечное число решений, причем сумма решений также является решением. Искомая функция

$$c(x, \tau) = U_1(x, \tau) + U_2(x, \tau) + U_3(x, \tau). \quad (13)$$

Значения слагаемых этого уравнения даются уравнениями (7), (10) (12). Поэтому общее решение задачи будет иметь вид

$$c(x, \tau) = \frac{1}{2\sqrt{D\pi}} \int_0^\infty \frac{1}{\sqrt{D\tau}} (e^{-[(x-\varepsilon)^2/4D\tau]} - e^{-[(x+\varepsilon)^2/4D\tau]}) \varphi(\varepsilon) d\varepsilon + \\ + \int_0^\tau \frac{x}{2\sqrt{\pi D(\tau-\theta)^3}} e^{-x^2/4D(\tau-\theta)} \mu(\theta) d\theta + \\ + \frac{1}{2\sqrt{D\pi}} \int_0^\tau \int_0^\infty \frac{1}{\sqrt{D(\tau-\theta)}} (e^{-[(x-\varepsilon)^2/4D(\tau-\theta)]} - e^{-[(x+\varepsilon)^2/4D(\tau-\theta)]}) f(\varepsilon, \theta) d\varepsilon d\theta. \quad (14)$$

В этом решении начальные условия выражены функцией  $\varphi(\varepsilon)$ , краевые условия функций  $\mu(\theta)$  и деятельность источника  $f(\varepsilon, \theta)$ .

# ПРИМЕНЕНИЕ ОБЩЕГО РЕШЕНИЯ К СЛУЧАЮ КОНЦЕНТРАЦИОННОЙ ПОЛЯРИЗАЦИИ

Общее решение (14) сохраняет силу для произвольного вида функций  $\varphi(\varepsilon)$ ,  $\mu(\theta)$  и  $f(\varepsilon, \theta)$ . Применение общего решения к данной задаче требует конкретизации вида этих функций в соответствии с природой рассматриваемых явлений.

Начнем с рассмотрения первого слагаемого, даваемого уравнением (7). Воспользуемся основным свойством интеграла Пуассона, заключающимся в том, что при  $\tau \rightarrow 0$  он обращается в  $\varphi(\varepsilon)$  ([21], стр. 230). Едва ли в настоящее время заслуживают рассмотрения иные начальные условия электролиза, кроме условия равномерного распределения электролита во всем объеме раствора. Поэтому

$$\varphi(\varepsilon) = c_0. \quad (15)$$

Введем вспомогательную переменную  $\alpha$

$$\alpha = \frac{x - \varepsilon}{2\sqrt{D\tau}}; \quad d\varepsilon = -2\sqrt{D\tau} d\alpha, \quad (16)$$

$$\text{при } \varepsilon = 0, \quad \alpha = \frac{x}{2\sqrt{D\tau}}; \quad \text{при } \varepsilon = \infty, \quad \alpha = -\infty.$$

В таком случае

$$\begin{aligned} U_{11}(x, \tau) &= \frac{1}{2V\pi} \int_0^\infty \frac{1}{\sqrt{D\tau}} e^{-[(x-\varepsilon)^2/4D\tau]} c_0 d\varepsilon = \frac{c_0}{V\pi} \int_{x/2\sqrt{D\tau}}^{-\infty} e^{-\alpha^2} d\alpha = \\ &= -\frac{c_0}{V\pi} \int_{x/2\sqrt{D\tau}}^0 e^{-\alpha^2} d\alpha - \frac{c_0}{V\pi} \int_0^\infty e^{-\alpha^2} d\alpha. \end{aligned} \quad (17)$$

Решение выражено через функцию ошибок. Но последняя является четной функцией  $\Psi(\varepsilon) = \Psi(-\varepsilon)$ . Поэтому

$$U_{11}(x, \tau) = \frac{c_0}{V\pi} \int_0^{x/2\sqrt{D\tau}} e^{-\alpha^2} d\alpha - \frac{c_0}{2}. \quad (18)$$

Для решения второго интеграла уравнения (7) также введем вспомогательную переменную:

$$\alpha = \frac{x + \varepsilon}{2\sqrt{D\tau}}; \quad d\varepsilon = 2\sqrt{D\tau} d\alpha \quad \text{при } \varepsilon = 0,$$

$$\alpha = \frac{x}{2\sqrt{D\tau}} \quad \text{при } \varepsilon = \infty, \quad \alpha = \infty.$$

В таком случае

$$\begin{aligned} U_{12}(x, \tau) &= -\frac{c_0}{2V\pi D\tau} \int_0^\infty e^{-[(x+\varepsilon)^2/4D\tau]} d\varepsilon = \\ &= -\frac{c_0}{2V\pi D\tau} \int_{x/2\sqrt{D\tau}}^\infty 2\sqrt{D\tau} e^{-\alpha^2} d\alpha = \\ &= -\frac{c_0}{2V\pi} \int_{x/2\sqrt{D\tau}}^0 e^{-\alpha^2} d\alpha - \frac{c_0}{V\pi} \int_0^\infty e^{-\alpha^2} d\alpha = \frac{c_0}{V\pi} \int_0^{x/2\sqrt{D\tau}} e^{-\alpha^2} d\alpha - \frac{c_0}{2}. \end{aligned} \quad (19)$$

Таким образом первое слагаемое общего решения (14) найдено:

$$U_1(x, \tau) = U_{11}(\tau, x) + U_{12}(x, \tau) = \frac{2c_0}{V\pi} \int_0^{x/2\sqrt{D\tau}} e^{-\alpha^2} d\alpha. \quad (20)$$

Для выполнения подсчетов это решение не нуждается в дальнейших преобразованиях, так как для интеграла ошибок имеются удобные таблицы.

Обращаясь к обсуждению решения второго слагаемого уравнения (14), это слагаемое вошла функция  $\mu(\eta)$ , выражающая краевые условия. Выше отмечалось, что при расчете явлений концентрационной поляризации некоторые авторы пытались [10, 12, 13, 15] задаваться краевыми условиями так, как это делается обычно при решении теплотехнических задач. Но опыт электрохимии не дает оснований для предварительного выражения концентрации у самой поверхности электрода во всех стадиях электролиза. Произвольное постулирование краевых условий приводит к следствиям, противоречащим опытным данным [16, 22]. Поэтому крайний режим при электролизе нельзя постулировать. Его нужно исследовать и определить.

Решение этой задачи рассмотрим на примере прикатодного слоя при электролизе раствора сильного электролита с выделением металла.

Мысленно выделим тонкий прикатодный слой раствора с малой толщиной  $\delta$ . За малый промежуток времени  $\Delta\tau$  при постоянной плотности тока  $I$  из слоя  $\delta$  в результате электролиза удаляется количество вещества

$$\Delta m_1 = -\frac{I}{nF} (1 - U_k) \Delta\tau = -\frac{IU_a}{nF} \Delta\tau, \quad (21)$$

где  $U_a$  и  $U_k$  — числа переноса анионов и катионов. За это же время  $\Delta\tau$  в слое  $\delta$  будет частично освоен диффузией электролита из толщи раствора в количестве

$$\Delta m_2 = D \left( \frac{\partial c}{\partial x} \right)_\delta \Delta\tau. \quad (22)$$

Эти два процесса: изъятие вещества электролизом и частичное пополнение диффузией, приведут в итоге к некоторому понижению содержания вещества в слое  $\delta$

$$\Delta m = \Delta m_1 + \Delta m_2.$$

Понижение количества вещества в слое  $\delta$  означает понижение его концентрации

$$\frac{\Delta m}{V} = \Delta c = \frac{\Delta m}{\delta}; \quad \Delta m = \delta \Delta c.$$

При этом подсчет относится к единице поверхности электрода или, точнее, к единице сечения раствора. Переходя от малых  $\Delta\tau$  к дифференциалам, получим

$$\delta \frac{\partial c}{\partial \tau} = -\frac{IU_a}{nF} + D \left( \frac{\partial c}{\partial x} \right)_\delta. \quad (23)$$

Учитывая, что  $\partial c / \partial \tau < 0$ ;  $\partial c / \partial x > 0$ , уравнение (23) полезно представить в следующем виде

$$\frac{IU_a}{nF} = D \frac{\partial c}{\partial x} - \delta \frac{\partial c}{\partial \tau}. \quad (24)$$



Это выражение \*показывает, что общая убыль вещества, выражаемая левой частью уравнения (24), частично происходит за счет изъятия имеющегося в растворе вещества, т. е. за счет понижения его концентрации ( $-\delta \partial c / \partial \tau$ ), а частично за счет вещества, приносимого диффузией из толщи раствора ( $D \partial c / \partial x$ ): чем больше поток диффузии, тем меньше понижение концентрации в приэлектродном слое, т. е. тем меньше  $\delta \partial c / \partial \tau$ .

\* Для случая, когда раствор электролита состоит из ионов различной валентности полезно вывод уравнения приэлектродного слоя проследить в более общей форме.

Итак рассмотрим тонкий приэлектродный слой, имеющий объем  $V = l^2 \delta$ , прилегающий к поверхности электрода в  $1 \text{ см}^2$ . Через границу электрод — раствор при катодном выделении металла с силой тока  $I$  разрядится катионов за время  $d\tau$

$$-\frac{I}{n_k F} d\tau,$$

через границу слоя  $\delta$  из толщи раствора за то же время придет

$$\frac{I}{n_k F} \frac{U_k}{U_k + U_a} d\tau + D_k \frac{\partial c_k}{\partial x} d\tau.$$

Здесь  $U_k, U_a$  — подвижности катионов и анионов.

Через ту же внешнюю границу слоя  $\delta$  анионы будут приноситься диффузией из толщи раствора и уноситься током из слоя в объем.

$$-\frac{I}{n_a F} \frac{U_a}{U_k + U_a} d\tau + D_a \frac{\partial c_a}{\partial x} d\tau.$$

Сумма этих процессов поведет к изменению количества вещества в слое  $\delta$ , причем изменятся количества и анионов и катионов:

$$\frac{dm_a}{V} = dc_a; \quad \frac{dm_k}{V} = dc_k; \quad dm_a + dm_k = \delta d(c_a + c_k),$$

$$\begin{aligned} \delta d(c_a + c_k) = & -\frac{I}{n_k F} d\tau + \frac{I}{n_k F} \frac{U_k}{U_k + U_a} d\tau + D_k \frac{\partial c_k}{\partial x} d\tau - \\ & - \frac{I}{n_a F} \frac{U_a}{U_k + U_a} d\tau + D_a \frac{\partial c_a}{\partial x} d\tau. \end{aligned}$$

От значений концентраций отдельных ионов, соблюдая условие электро-нейтральности  $c_k n_k = c_a n_a$ , перейдем к общей молярной концентрации электролита

$$c = \frac{c_k}{n_a} = \frac{c_a}{n_k}.$$

В таком случае будем иметь

$$\begin{aligned} \delta (n_k + n_a) \frac{\partial c}{\partial \tau} = & -\frac{I}{n_k F} + \frac{I}{n_k F} \frac{U_k}{U_k + U_a} - \frac{I}{n_a F} \frac{U_a}{U_k + U_a} + \\ & + D_k n_k \frac{\partial c}{\partial x} + D_a n_k \frac{\partial c}{\partial x} = -\frac{I}{n_k F} \frac{U_a}{U_k + U_a} \frac{n_a + n_k}{n_a} + (D_k n_a + D_a n_k) \frac{\partial c}{\partial x}. \\ \delta \frac{\partial c}{\partial \tau} = & -\frac{I}{n_k F} \frac{U_a}{U_k + U_a} \frac{1}{n_a} + \frac{D_k n_a + D_a n_k}{n_k + n_a} \frac{\partial c}{\partial x}. \end{aligned}$$

Легко заметить, что полученное уравнение при обозначении постоянных сов-

$$\frac{U_a}{U_k + U_a} \frac{1}{n_a} = U_A; \quad \frac{D_k n_a + D_a n_k}{n_k + n_a} = D$$

падает с уравнением (24).

Заметим, что решение дифференциального уравнения в частных производных (24) потребовало бы введения граничных условий. Между тем именно недостаток надежно обоснованных граничных условий и вызвал необходимость рассмотрения режима приэлектродного слоя. Без введения произвольных граничных условий невозможно получить только тривиальное решение, в котором искомые переменные, вопреки физическому смыслу задачи, вырождаются в постоянные. Мы считаем более строгим и безупречным применение метода Коши.

Обозначим долю участия диффузионного потока в общей убыли вещества, вызываемой электролизом, через  $e^{-\psi(\tau)}$ . Это обозначение выражает у нас мысль, что доля участия диффузионного потока, вероятно, окажется функцией времени. Действительно, в самой начальной стадии электролиза концентрация раствора во всех точках одинакова, участие диффузии незначительно. В этой начальной стадии электролиз протекает преимущественно за счет обеднения приэлектродного слоя. Возникающая при этом неоднородность в распределении растворенного вещества порождает поток диффузии. С течением времени поток диффузии получает возрастающее значение и, при стремлении процесса к стационарности, концентрация у электрода в той или иной степени стабилизируется  $\partial c / \partial \tau \rightarrow 0$ . В таком случае  $D \frac{\partial c}{\partial x} \rightarrow \frac{IU_a}{nF}$ , т. е. поток диффузии стремится полностью компенсировать обеднение приэлектродного слоя растворенным электролитом:

$$D \frac{\partial c}{\partial x} = \frac{IU_a}{nF} e^{-\psi(\tau)}; \quad (25)$$

$$-\delta \frac{\partial c}{\partial \tau} = \frac{IU_a}{nF} (1 - e^{-\psi(\tau)}). \quad (26)$$

Для упрощения последующего решения целесообразно экспоненциальный множитель разложить в ряд

$$e^{-\psi(\tau)} \approx 1 - \psi(\tau) = 1 - \alpha; \quad (27)$$

$$D \frac{\partial c}{\partial x} = \frac{IU_a}{nF} (1 - \alpha), \quad (28)$$

$$-\delta \frac{\partial c}{\partial \tau} = \frac{IU_a}{nF} \alpha.$$

Тем самым  $\alpha = \psi(\tau)$  есть доля участия обеднения приэлектродного раствора в общем изъятии вещества электролизом.

При включении тока в первое мгновение произойдет обеднение раствора в тончайшем приэлектродном слое раствора. Но затем, в результате диффузии, зона обеднения будет расширяться, охватывая прилегающие зоны раствора. Средняя скорость продвижения границы этой зоны обеднения можно рассчитать методами теории броуновского движения [23]\*. Это позволяет дать независимое определение доли  $\alpha$ . Она определяется тем, что  $\delta$  составляет часть от общей величины зоны обеднения  $\Delta$ .

На рисунке схематически показано распределение концентрации  $c$  электролита в прианодной зоне через малый промежуток времени электролиза  $\Delta\tau$ . Если бы не было процессов диффузии, все избыточное вещество, образовавшееся в результате растворения электрода и миграции ионов, осталось бы в тончайшем приэлектродном слое  $\delta$ . Количество этого избыточного вещества равнялось бы

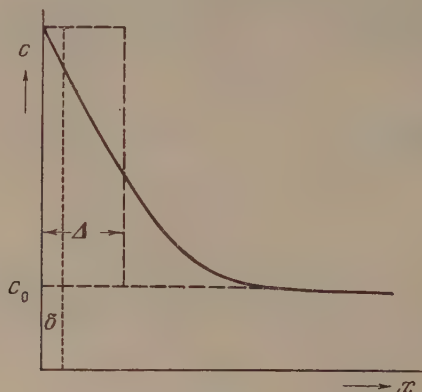
$$\frac{I}{F} \frac{U_a}{U_k + U_a} \frac{n_k + n_a}{n_k n_a}.$$

Но диффузия, являющаяся следствием теплового движения частиц, унесет часть вещества из слоя  $\delta$  в сторону толщи раствора. Это и показано кривой на рисунке. Теория броуновского движения позволяет рассчитать среднее перемещение частиц, диффундирующих за время  $\tau$ . На рисунке это среднее перемещение фронта диффузии обозначено  $\Delta$ . Так как реальное статистическое перемещение здесь заменяется средним перемещением, то

\* Более точное решение дано Ю. А. Крутковым [24].

и на рисунке изображен пунктирный прямоугольник с основанием  $\Delta$ . Избыточное вещество, двигаясь со средней для всех частиц скоростью, как бы распределится в пунктирном прямоугольнике  $\Delta$ . В этом случае количество избыточного вещества в слое  $\delta$  составит такую долю от общего его количества, какую  $\delta$  составляет от  $\Delta$ , т. е.

$$\delta (n_k + n_a) \frac{\Delta c}{\Delta \tau} = \frac{I}{F} \frac{U_a}{U_k + U_a} \frac{n_k + n_a}{n_k n_a} \frac{\delta}{\Delta}.$$



Согласно формуле Эйнштейна [23]

$$\Delta = \sqrt{2D\tau}.$$

Подставляя в предыдущее уравнение, получим для анодного процесса с ионами разной валентности

$$\delta \frac{\partial c}{\partial \tau} = \frac{I}{F} \frac{U_a}{U_k + U_a} \frac{1}{n_k + n_a} \frac{\delta}{\sqrt{2D\tau}}.$$

Чтобы не усложнять вида уравнений, возвратимся к случаю одновалентных ионов  $n_k = n_a = 1$  и к рассмотрению катодного процесса. Тогда

$$-\delta \frac{\partial c}{\partial \tau} = \frac{IU_a}{nF} \frac{\delta}{\Delta} = \frac{IU_a}{nF} \frac{\delta}{\sqrt{2D\tau}}. \quad (29)$$

Отсюда

$$-\frac{\partial c}{\partial \tau} = \frac{IU_a}{nF} \frac{1}{\sqrt{2D\tau}}. \quad (30)$$

Интегрируя это выражение, получим

$$c_0 - c = \frac{2IU_a}{nF\sqrt{2D}} \sqrt{\tau}. \quad (31)$$

Это решение является приближенным, полученным с разложением в ряд экспоненциальной функции (27). Более точное решение может быть получено, если учесть уравнения (27) и (28). Тогда, вместо уравнения (30), будем иметь

$$-\frac{\partial c}{\partial \tau} = \frac{IU_a}{nF} (1 - e^{-\delta/\sqrt{2D\tau}}). \quad (32)$$



Соответственно для градиента концентрации по уравнению (24) получим

$$D \frac{\partial c}{\partial x} = \frac{IU_a}{nF} e^{-s/\sqrt{2D\tau}}. \quad (33)$$

Соотношение между градиентом концентрации и изменением концентрации во времени  $\partial c/\partial \tau$ , а также характер их хода во времени показаны на рисунке. Как и следовало ожидать, градиент концентрации плавно растет с течением времени, а производная  $\delta(\partial c/\partial \tau)$ , постепенно понижаясь, стремится к относительной стабилизации.

Интегрирование уравнения (32) связано с известными трудностями. Если прибегнуть к разложению в ряд и ограничиться первым приближением, мы вернемся к приближенному уравнению (31). При выполнении прямого интегрирования получается ряд, неудобство которого особенно выступает при переходе к определенному интегралу с пределами от нуля до  $\tau$ . Обращает на себя внимание то, что в уравнение (32) вошла толщина обменного приэлектродного слоя  $\delta$ , которую нельзя считать известной. Может показаться, что уравнение (32) дает возможность определить эту интересную величину. Однако подсчеты показывают крайне малую чувствительность функции (32) к численному значению  $\delta$ . Изменяя эти значения от  $10^{-8}$  до  $10^{-5}$  см, мы получаем реально совпадающие значения. В широком диапазоне продолжительностей электролиза (от  $10^6$  сек. до 4 недель) логарифм этой функции оказывается практически линейной функцией от  $\lg(D\tau)$ . Поэтому почти без понижения точности результатов эту функцию можно заменить простым выражением:

$$-\frac{\partial c}{\partial \tau} = -\frac{IU_0}{nF} 0,71 (D\tau)^{1/2}. \quad (34)$$

После интегрирования получим

$$c_0 - c = \frac{IU_0}{nF} \frac{1,42}{\sqrt{D}} \sqrt{\tau}. \quad (35)$$

Таким образом попытка уточнения, связанная с приближенным интегрированием уравнения (32), вновь привела к результату, реально не отличающемуся от уравнения (31). Итак решение поставленной задачи, хотя и несколько приближенное, получено. Уравнение (31) или (35) позволяет дать выражение для функции:

$$\mu(\theta) = c(x=0, \tau) = c_0 - \frac{1,414 IU_a}{n_a n_k F \sqrt{D}} \theta^{1/2}. \quad (36)$$

Подставляя это выражение во второе слагаемое общего решения (14), получим

$$U_2(x, \tau) = \frac{x}{2\sqrt{\pi D}} \int_0^\tau \left( c_0 - \frac{1,414 IU_a}{n_a n_k F \sqrt{D}} \theta^{1/2} \right) (\tau - \theta)^{-3/2} e^{-x^2/4D(\tau-\theta)} d\theta. \quad (37)$$

Этим дается выражение для второго слагаемого общего решения (14). Теперь можно обратиться к третьему слагаемому. Третье слагаемое  $U_3(x, \tau)$  вводит в общее решение учет деятельности источника. При электролизе деятельность источника заключается в том, что прохождение электричества, согласно законам Фарадея, вызывает либо выделение на электроде эквивалентных количеств вещества, либо исчезновение одних и появление других веществ в эквивалентных количествах. Для суждения об изменениях концентраций веществ в растворе необходимо также учесть явления переноса по Гитторфу.

На примере катодного процесса с выделением металла, общая убыль вещества при электролизе с постоянной плотностью тока для любого момента времени  $\tau$  выразится как  $\frac{IU_a}{nF} \tau$ .

Отсюда мощность источника или, как принято называть в математической литературе, плотность источника выразится следующим образом

$$f(\varepsilon, \theta) = \frac{IU_a}{nF} \quad (38)$$

Пользуясь этим выражением, можно найти значение третьего слагаемого в общем решении (14):

$$U_3(x, \tau) = \frac{IU_a}{2nF V \pi} \int_0^\tau \int_0^\infty \frac{1}{V D (\tau - \theta)} [e^{-(x-\varepsilon)^2/4D(\tau-\theta)} - e^{-(x+\varepsilon)^2/4D(\tau-\theta)}] d\varepsilon d\theta. \quad (39)$$

Теперь имеется возможность представить решение задачи о концентрационной поляризации. Используя уравнения (20), (37) и (39), получим

$$\begin{aligned} c = & \frac{2c_0}{V\pi} \int_0^{x/2\sqrt{D\tau}} e^{-\alpha^2} d\alpha + \\ & + \frac{x}{2V\pi D} \int_0^\tau \left( c_0 - \frac{1,414 IU_a}{n_a n_k F V D} \theta^{1/2} \right) (\tau - \theta)^{-3/2} e^{-x^2/4D(\tau-\theta)} d\theta + \\ & + \frac{IU_a}{2nF V \pi} \int_0^\tau \int_0^\infty \frac{1}{V D (\tau - \theta)} [e^{-(x-\varepsilon)^2/4D(\tau-\theta)} - e^{-(x+\varepsilon)^2/4D(\tau-\theta)}] d\varepsilon d\theta. \end{aligned} \quad (40)$$

Уравнение (40) является решением поставленной задачи.

#### ПРИБЛИЖЕННОЕ ИНТЕГРИРОВАНИЕ УРАВНЕНИЯ КОНЦЕНТРАЦИОННОЙ ПОЛЯРИЗАЦИИ

Хотя поставленная задача принципиально решена, однако большим неудобством для применения этого решения является то, что в уравнение концентрационной поляризации вошли интегралы. Хотя в первое слагаемое вошла неинтегрируемая функция, но это не мешает расчетам, так как численные значения этого интеграла, под названием интеграла ошибок, приводятся во многих справочниках.

Обратимся ко второму слагаемому. Конечно, было бы желательно найти точное решение этого интеграла. Нам пришлось ограничиться приближенным решением. Подынтегральная функция выражается несимметричной кривой с максимумом, которая со стороны малых значений  $(\tau - \theta)$  весьма круто ограничивается экспоненциальным множителем, а со стороны больших значений  $(\tau - \theta)$  почти полностью определяется предэкспоненциальным множителем. Этим и указывается предлагаемый способ приближенного решения второго интеграла в уравнении (40). Дифференцируя подынтегральную функцию по  $\theta$  и приравнявая производную нулю, находим положение максимума кривой  $\theta_{\text{макс}}$ :

$$\theta_{\text{макс}} = f(c_0, x\tau I, U_a, D).$$

В каждом конкретном случае для заданных условий электролиза значение  $\theta_{\text{макс}}$  может быть найдено графическим методом. Определив

положение максимума, будем иметь\*

$$\begin{aligned}
 U_2(x, \tau) &\approx \frac{x}{2\sqrt{\pi D}} \int_{\theta_{\max}}^{\tau} \left( c_0 - \frac{1,414 IU_a}{nF} \theta^{1/2} \right) (\tau - \theta)^{3/2} d(\tau - \theta) = \\
 &= 2 \frac{c_0}{\sqrt{\theta_{\max}}} - 2 \frac{c_0}{\sqrt{\tau}} - \frac{2,828 IU_a}{nF} \sqrt{\frac{\tau - \theta_{\max}}{\theta_{\max}}} - \\
 &\quad - \frac{1,414 IU_a}{nF} \arcsin \left( 1 - 2 \frac{\theta_{\max}}{\tau} \right) - \frac{0,707 IU_a \pi}{nF}. \quad (41)
 \end{aligned}$$

Обращаемся к третьему слагаемому уравнения (40). Рассмотрим сначала вопрос об интегрировании по  $\varepsilon$ . К сожалению, нет возможности получить точное решение этого интеграла или свести его к интегралу Либки. Невозможно использовать и разложение в ряд, так как при пределах интегрирования от нуля до бесконечности ряд превратится в разность бесконечностей, т. е. неопределенность. Поэтому используем следующий прием:

$$\begin{aligned}
 \int_0^{\infty} e^{-(x-\varepsilon)^2/4D} (\tau - \theta) d\varepsilon &= - \int_x^{-\infty} e^{-(x-\varepsilon)^2/4D} (\tau - \theta) d(x - \varepsilon) = \\
 &= - \int_x^0 e^{-(x-\varepsilon)^2/4D} (\tau - \theta) d(x - \varepsilon) - \int_0^{\infty} e^{-(x-\varepsilon)^2/4D} (\tau - \theta) d(x - \varepsilon) = \\
 &= \int_0^x e^{-(x-\varepsilon)^2/4D} (\tau - \theta) d(x - \varepsilon) - \sqrt{\pi D} (\tau - \theta). \quad (42)
 \end{aligned}$$

Изменение пределов интегрирования позволяет теперь использовать разложение функции в ряд. Разлагая в ряд и интегрируя, получим

$$\begin{aligned}
 \int_0^{\infty} e^{-(x-\varepsilon)^2/4D} (\tau - \theta) d\varepsilon &= -\sqrt{\pi D} (\tau - \theta) + x - \frac{1}{3} \frac{x^3}{4D (\tau - \theta)} + \\
 &+ \frac{1}{10} \frac{x^5}{16D^2 (\tau - \theta)^2} - \frac{1}{42} \frac{x^7}{64D^3 (\tau - \theta)^3} + \dots \quad (43)
 \end{aligned}$$

Легко показать, что этот ряд является сходящимся быстрее, чем ряд для экспоненты.

Сходным способом удастся получить решение и второго интеграла

$$\begin{aligned}
 \int_0^{\infty} e^{-(x-\varepsilon)^2/4D} (\tau - \theta) d\varepsilon &= \sqrt{\pi D} (\tau - \theta) - x + \frac{1}{3} \frac{x^3}{4D (\tau - \theta)} - \\
 &- \frac{1}{10} \frac{x^5}{16D^2 (\tau - \theta)^2} + \frac{1}{42} \frac{x^7}{64D^3 (\tau - \theta)^3} - \dots \quad (44)
 \end{aligned}$$

Выполнив таким образом интегрирование по  $\varepsilon$  третьего слагаемого в уравнении (40), подставим выражения (43) и (44) и обозначим получающееся при этом подинтегральное выражение буквой  $\gamma$ . Тогда получим

$$U_3(c, \tau) = \frac{1}{2\sqrt{\pi}} \frac{IU_a}{nF} \int_0^{\tau} \gamma d\theta.$$

\* См. в конце статьи примечание при корректуре.



Выполняем интегрирование ряда и, отбрасывая мнимые слагаемые получим

$$U_3(x, \tau) = -\frac{IU_a}{nF} + \frac{2}{\sqrt{\pi D}} \frac{IU_a}{nF} x \sqrt{\tau} \times \\ \times \left(1 + \frac{1}{3} \frac{x^2}{4D\tau} - \frac{1}{30} \frac{x^4}{16D^2\tau^2} + \frac{1}{210} \frac{x^6}{64D^3\tau^3} - \frac{1}{1512} \frac{x^8}{256D^4\tau^4} + \dots\right). \quad (45)$$

Рассмотрение полученного ряда и сопоставление его с рядом, на который разлагается интеграл ошибок, показывает, что они являются взаимозаменяемыми для случаев медленной сходимости, т. е. для случаев когда  $x/2\sqrt{D\tau} > 1$ . Эта взаимозаменяемость пропадает при быстрой сходимости, т. е. для  $x/2\sqrt{D\tau} \ll 1$ . Но при быстрой сходимости можно пользоваться и самим выражением (45). Используя это свойство ряда (45), обратим также внимание на то, что с большой степенью точности можно получить

$$\frac{2}{\sqrt{\pi}} \int_0^y \int_0^y e^{-v^2} dy dy = \frac{0,96 y^2}{y+1}. \quad (46)$$

В нашем случае  $y = x/2\sqrt{D\tau}$ .

Используя уравнения (45) и (46), получим

$$U_3(x, \tau) = -\frac{IU_a}{nF} \tau + \frac{3}{\sqrt{\pi D}} \frac{IU_a}{nF} x \sqrt{\tau} - 1,92 \sqrt{D} \frac{IU_a}{nF} \frac{\tau x}{x + 2\sqrt{D\tau}}. \quad (47)$$

Используя полученные приближенные решения интегралов, мы можем уравнению концентрационной поляризации придать следующий вид:

$$c = \frac{2c_0}{\sqrt{\pi}} \int_0^{x/2\sqrt{D\tau}} e^{-\alpha^2} d\alpha + 2 \frac{c_0}{\sqrt{\theta_{\max}}} - 2 \frac{c_0}{\sqrt{\tau}} - \\ - \frac{2,828 IU_a}{nF} \sqrt{\frac{\tau - \theta_{\max}}{\theta_{\max}}} - \frac{1,414 IU_a}{nF} \arcsin\left(1 - 2 \frac{\theta_{\max}}{\tau}\right) - \\ - \frac{0,707 IU_a \pi}{nF} - \frac{IU_a}{nF} \tau + \frac{3}{\sqrt{\pi D}} x \sqrt{\tau} - 1,92 \sqrt{D} \frac{IU_a}{nF} \frac{\tau x}{x + 2\sqrt{D\tau}}. \quad (48)$$

Полученное выражение не отличается простотой и математическим изяществом. Но устранить эту сложность можно или искажением физического смысла задачи или развитием самой математической теории параболических функций в направлении приближения ее к запросам не только теплотехники и геофизики, но также и электрохимии.

## ВЫВОДЫ

1. Дан вывод краевого условия для случая концентрационной поляризации при электролизе с постоянной плотностью тока.
2. Общее уравнение для диффузии с источником решено с применением полученного краевого условия.
3. Предложены способы приближенного интегрирования уравнения для концентрационной поляризации.

## ЛИТЕРАТУРА

1. G. Kortüm, J. O. M. Bockris, Textbook of Electrochemistry. Elsevier P. S. Amsterdam, 1951.
2. S. Glasstone, An Introduction to Electrochemistry, N. Y., 1949.
3. Н. А. Изгарышев, С. В. Горбачев, Курс теоретической электрохимии, Госхимиздат, 1951.
4. H. Helmholtz, Wissenschaftliche Abhandlungen, Barth, Leipzig, 1882.
5. А. П. Соколов, Труды Общ. любит. естеств., 3, 22, 1890.
6. J. Neugeborsky, Chem. listy, 16, 256, 1922; Phil. Mag., 45, 303, 1923.
7. D. Ilkovic, Coll. Czechosl. chem. comm., 8, 13, 1936.
8. D. McGillavry, E. K. Rideal, Rec. trav. chim. Pays-Bas., 56, 1013, 1937; 57, 33, 1938.
9. M. Sand, Phil. Mag., 1, 48, 1901.
0. F. G. Cottrell, Zs. phys. Chem., 42, 385, 1903.
1. F. Foerster, Elektrochemie wässriger Lösungen, Leipzig, Barth, 1905, 1915, 1921, 1923.
2. I. M. Kolthoff, J. J. Lingane, Polarography, N. Y., 1941.
3. В. Г. Левич, Физико-химическая гидродинамика, Изд-во АН СССР, М., 1952.
4. В. Г. Левич, Журн. физ. химии, 29, 734, 1955.
5. А. Н. Фрумкин, В. С. Багоцкий, З. А. Иофа, Б. Н. Кабанов, Кинетика электродных процессов, Изд-во МГУ, 1952.
6. С. В. Горбачев, Журн. физ. химии, 30, 1151, 1956.
7. С. В. Горбачев, Журн. физ. химии, 24, 888, 1950.
8. С. В. Горбачев, Журн. физ. химии, 25, 1133, 1951.
9. Н. Н. Туницкий, Журн. физ. химии, 24, 1515, 1950; 25, 1132, 1951.
0. M. Smutek, Chem. listy, 47, 963, 1953.
1. А. Н. Тихонов, А. А. Самарский, Уравнения математической физики, Гостехтеоретиздат, М., 1953.
2. С. В. Горбачев, Журн. физ. химии, 28, 1684, 1954.
3. M. Smoluchowski, Bull. Acad. science Cracovie, 202, 1906. A. Einstein, Ann. Phys., 17, 549, 1905.
4. Ю. А. Крютков, Броуновское движение, ОНТИ, М., 1936, стр. 497.

*Примечание при корректуре.* Точное решение интеграла  $U_2$  можно получить следующим способом:

$$\begin{aligned}
 U_2(x, \tau) &= \frac{x}{2V\pi D} \int_0^\tau \left( c_0 - \frac{1,414 IU_a}{nFVD} \theta^{1/2} \right) (\tau - \theta)^{-3/2} \exp\left(-\frac{x^2}{4D(\tau - \theta)}\right) d\theta = \\
 &= \frac{xc_0}{2V\pi D} \int_0^\tau (\tau - \theta)^{-3/2} \exp\left(-\frac{x^2}{4D(\tau - \theta)}\right) d\theta - \\
 &- \frac{0,707 IU_a x}{DnFV\pi} \int_0^\tau \theta^{1/2} (\tau - \theta)^{-3/2} \exp\left(-\frac{x^2}{4D(\tau - \theta)}\right) d\theta.
 \end{aligned}$$

Рассмотрим первый интеграл

$$U_{21} = \frac{xc_0}{2V\pi D} \int_0^\tau (\tau - \theta)^{-3/2} \exp\left(-\frac{x^2}{4D(\tau - \theta)}\right) d\theta.$$

Для удобства подсчетов введем сокращенные обозначения

$$\begin{aligned}
 \frac{2V\pi D}{xc_0} U_{21} &= U_{21}^*; \quad \frac{x^2}{4D} = A \\
 U_{21}^* &= \int_0^\tau (\tau - \theta)^{-3/2} \exp\left(-\frac{A}{\tau - \theta}\right) d\theta.
 \end{aligned}$$

Введем вспомогательную переменную

$$y = \frac{1}{V\tau - \theta};$$

$$U_{21}^* = \int_{\tau^{-1/2}}^{\infty} y^3 \exp(-Ay^2) \frac{2}{y^3} dy = 2 \int_{\frac{1}{V\tau}}^{\infty} \exp(-Ay^2) dy.$$

Если

$$Ay^2 = \alpha^2; \quad dy = \frac{1}{V A} d\alpha, \quad \text{то}$$

$$U_{21}^* = \frac{2}{V A} \int_{\frac{1}{V\tau}}^{\infty} e^{-\alpha^2} d\alpha = -\frac{2}{V A} \int_0^{\sqrt{\frac{A}{\tau}}} e^{-\alpha^2} d\alpha + \frac{2}{V A} \int_0^{\infty} e^{-\alpha^2} d\alpha$$

$$U_{21}^* = \sqrt{\frac{\pi}{A}} - \sqrt{\frac{\pi}{A}} \operatorname{erf}\left(\sqrt{\frac{A}{\tau}}\right) = \sqrt{\frac{\pi}{A}} \left[1 - \operatorname{erf}\left(\sqrt{\frac{A}{\tau}}\right)\right].$$

Подставляя принятые выше обозначения, получим

$$U_{21} = c_0 \left[1 - \operatorname{erf}\left(\sqrt{\frac{x^2}{4D\tau}}\right)\right].$$

Обращаемся к решению второго интеграла

$$U_{22} = -\frac{0,707 IU_A x}{DnF V \pi} \int_0^{\tau} \theta^{1/2} (\tau - \theta)^{-3/2} \exp\left(-\frac{x^2}{4D(\tau - \theta)}\right) d\theta.$$

Введем обозначения

$$-\frac{DnF V \pi}{0,707 IU_A x} U_{22} = U_{22}^*; \quad \frac{x^2}{4D} = A,$$

$$U_{22}^* = \int_0^{\tau} \theta^{1/2} (\tau - \theta)^{-3/2} \exp\left(-\frac{A}{\tau - \theta}\right) d\theta.$$

Используем вспомогательную переменную

$$y = \sqrt{\frac{\theta}{\tau - \theta}},$$

тогда

$$\begin{aligned} U_{22}^* &= \int_0^{\infty} y \frac{1+y^2}{\tau} \exp\left(-A \frac{1+y^2}{\tau}\right) \frac{2\tau y}{(1+y^2)^2} dy = \\ &= 2 \int_0^{\infty} \frac{y^2}{1+y^2} \exp\left[-\frac{A}{\tau} (1+y^2)\right] dy = \\ &= 2 \int_0^{\infty} \exp\left[-\frac{A}{\tau} (1+y^2)\right] dy - 2 \int_0^{\infty} \frac{\exp\left[-\frac{A}{\tau} (1+y^2)\right]}{1+y^2} dy. \end{aligned}$$

Первый из этих интегралов решается просто

$$2 \int_0^{\infty} \exp\left[-\frac{A}{\tau} (1+y^2)\right] dy = \sqrt{\frac{\pi\tau}{A}} \exp\left(-\frac{A}{\tau}\right).$$

Второй интеграл удастся решить следующим способом:

$$2 \int_0^{\infty} \frac{\exp\left[-\frac{A}{\tau} (1+y^2)\right]}{1+y^2} dy = 2 \int_0^{\infty} \frac{\exp[-\alpha (1+y^2)]}{1+y^2} dy = S$$



$$\begin{aligned} \frac{dS}{d\alpha} &= 2 \int_0^{\infty} -\frac{(1+y^2) \exp[-\alpha(1+y^2)]}{1+y^2} dy = -2 \int_0^{\infty} \exp[-\alpha(1+y^2)] dy = \\ &= -2 \exp(-\alpha) \int_0^{\infty} \exp(-\alpha y^2) dy = -\frac{\sqrt{\pi} \exp(-\alpha)}{\sqrt{\alpha}}. \end{aligned}$$

юда

$$S = -\sqrt{\pi} \int \frac{e^{-\alpha}}{\sqrt{\alpha}} d\alpha.$$

и помощи переменной  $\beta^2 = \alpha$ ;  $d\alpha = 2\beta d\beta$ ; получим

$$\begin{aligned} S &= -\sqrt{\pi} \int \frac{e^{-\beta^2}}{\beta} 2\beta d\beta = -2\sqrt{\pi} \int e^{-\beta^2} d\beta = -2\sqrt{\pi} \int_0^{\beta} e^{-\beta^2} d\beta + L = \\ &= \pi [1 - \operatorname{erf} \sqrt{\alpha}] = \pi \left[ 1 - \operatorname{erf} \sqrt{\frac{A}{\tau}} \right]. \end{aligned}$$

им образом

$$U_{22}^* = \sqrt{\frac{\pi\tau}{A}} \exp\left(-\frac{A}{\tau}\right) - \pi \left[ 1 - \operatorname{erf} \sqrt{\frac{A}{\tau}} \right].$$

используя принятые обозначения, получим

$$\begin{aligned} U_{22} &= -\frac{1,414 IU_a}{nF} \sqrt{\frac{\tau}{D}} \exp\left(-\frac{x^2}{4D\tau}\right) + \\ &+ \frac{0,707 IU_a \sqrt{\pi}}{DnF} x \left[ 1 - \operatorname{erf} \sqrt{\frac{x^2}{4D\tau}} \right]. \end{aligned}$$

и самым получаем строгое решение интеграла  $U_2$  для катодного процесса

$$\begin{aligned} U_2(x, \tau) &= U_{21} + U_{22} = \\ &= c_0 \left[ 1 - \operatorname{erf} \left( \sqrt{\frac{x^2}{4D\tau}} \right) \right] - \frac{1,414 IU_a}{n_a n_k F} \sqrt{\frac{\tau}{D}} \exp\left(-\frac{x^2}{4D\tau}\right) + \\ &+ \frac{0,707 IU_a x \sqrt{\pi}}{Dn_a n_k F} \left[ 1 - \operatorname{erf} \left( \sqrt{\frac{x^2}{4D\tau}} \right) \right]. \end{aligned}$$

Аналогично для анодного процесса будем иметь

$$\begin{aligned} U_2(x, \tau) &= c_0 \left[ 1 - \operatorname{erf} \left( \sqrt{\frac{x^2}{4D\tau}} \right) \right] + \frac{1,414 IU_k}{n_a n_k F} \sqrt{\frac{\tau}{D}} \exp\left(-\frac{x^2}{4D\tau}\right) - \\ &- \frac{0,707 IU_k x \sqrt{\pi}}{Dn_a n_k F} \left[ 1 - \operatorname{erf} \left( \sqrt{\frac{x^2}{4D\tau}} \right) \right], \end{aligned}$$

$$\begin{aligned} U_1(x, \tau) + U_2(x, \tau) &= c_0 + \frac{1,414 IU_k}{n_a n_k F} \sqrt{\frac{\tau}{D}} \exp\left(-\frac{x^2}{4D\tau}\right) + \\ &+ \left[ 1 - \operatorname{erf} \left( \sqrt{\frac{x^2}{4D\tau}} \right) \right] \left( 2c_0 - \frac{0,707 IU_k x \sqrt{\pi}}{Dn_a n_k F} \right). \end{aligned}$$

Для катодного процесса

$$\begin{aligned} U_1 + U_2 &= c_0 \operatorname{erf} \left( \sqrt{\frac{x^2}{4D\tau}} \right) + c_0 - c_0 \operatorname{erf} \left( \sqrt{\frac{x^2}{4D\tau}} \right) - \\ &- \frac{1,414 IU_a}{n_a n_k F} \sqrt{\frac{\tau}{D}} \exp\left(-\frac{x^2}{4D\tau}\right) + \frac{0,707 IU_a x \sqrt{\pi}}{Dn_a n_k F} \left[ 1 - \operatorname{erf} \left( \sqrt{\frac{x^2}{4D\tau}} \right) \right] = \\ &= c_0 - \frac{1,414 IU_a}{n_a n_k F} \sqrt{\frac{\tau}{D}} \exp\left(-\frac{x^2}{4D\tau}\right) + \\ &+ \frac{0,707 IU_a x \sqrt{\pi}}{Dn_a n_k F} \left[ 1 - \operatorname{erf} \left( \sqrt{\frac{x^2}{4D\tau}} \right) \right]. \end{aligned}$$

При получении точного решения ценная помощь была оказана проф. В. К. Тур-ным, которому считаю своим долгом выразить благодарность.

## ИССЛЕДОВАНИЕ СТЕКЛЯННОГО ЭЛЕКТРОДА МЕТОДОМ РАДИОАКТИВНЫХ ИНДИКАТОРОВ

### П. ПОВЕДЕНИЕ СТЕКЛЯННОГО ЭЛЕКТРОДА В ЩЕЛОЧНОЙ ОБЛАСТИ

*Н. А. Измайлов и А. Г. Васильев*

Теории стеклянного электрода основываются на определенных представлениях о характере взаимодействия поверхности стеклянного электрода с ионами и молекулами растворителя. Критерием правильности таких теорий служили до недавнего времени лишь факты соответствия действительных электрохимических свойств стеклянного электрода теоретическим, выведенным на основании тех или иных представлений о механизме взаимодействия электродного стекла с растворами.

Работы, посвященные непосредственному исследованию взаимодействия стеклянного электрода с ионами из растворов немногочисленны. Трудность их постановки заключается, главным образом, в том, что взаимодействие стекла с растворами ограничивается тонким поверхностным слоем стекла (порядка  $10^{-5}$  см). Поэтому измерения в составе стекла и раствора крайне невелики и не поддаются надежному определению при помощи обычных аналитических методов. Хотя попытки таких определений имели место [1], основанные на них выводы, в силу указанных обстоятельств нельзя признать убедительными. Первый путь преодоления аналитических трудностей заключается в очень сильном увеличении поверхности стекла, взаимодействующей с данным объемом раствора. В этом случае изменения в составе стекла и раствора поддаются надежному определению. Б. П. Никольский и Е. А. Матерова [2] исследовали таким образом адсорбцию катионов на стеклянных порошках, однако эти результаты получены при взаимодействии стекла с растворами в течение 5 суток, в то время как измерения со стеклянным электродом производится в течение нескольких минут.

Второй путь преодоления указанных выше трудностей заключается в резком повышении чувствительности аналитических методов. В этом отношении непосредственным является метод радиоактивных индикаторов, при помощи которого, как показывает опыт, можно количественно измерять сорбционные эффекты непосредственно в поверхности стеклянного электрода, уже при времени взаимодействия с растворами, соответствующем времени измерения рН стеклянным электродом.

Хенсли, Лонг и Виллард [3—5] указанным методом исследовали адсорбцию радиоактивных ионов из растворов на стеклянных пластинках. Однако они не ставили своей целью исследование свойств стеклянного электрода. Кроме того, исследование ограничивалось областью слабощелочных растворов (до  $\text{pH} = 11$ ), в то время как наиболее интересные для теории стеклянного электрода эффекты должны наблюдаться\* в области значений  $\text{pH} = 11-14$ .

В предыдущей нашей работе [6] изложены результаты исследования адсорбции радиоактивных ионов на стекле в кислой области. Там же изложена методика измерений и расчетов.

В настоящей статье излагаются результаты исследования стеклянного электрода методом радиоактивных индикаторов в щелочной области.

### РЕЗУЛЬТАТЫ ЭКСПЕРИМЕНТА

В работе применялись радиоактивные изотопы  $\text{Na}^{24}$  (период полураспада  $T = 15,1$  часа),  $\text{K}^{42}$  ( $T = 12,8$  часа),  $\text{Cs}^{134}$  ( $T = 2,3$  года),  $\text{Sr}^{90}$  ( $T = 152$  дня) и  $\text{Br}^{82}$  ( $T = 34$  часа).

В опытах с шарообразными стеклянными электродами проведение количественных измерений адсорбции на поверхности электродов наталкивается на трудность измерения эффективности счета  $\eta$ , входящей в основную расчетную формулу [6]:

$$N = \frac{c N_A I_0}{\eta I_0^* S},$$

\* Для стекол обычного электродного состава.

е  $N$  — число меченых ионов, адсорбированных на  $1 \text{ см}^2$  видимой поверхности;  $c$  — концентрация меченых ионов в растворе в  $г\text{-атом}/л$ ,  $N_A$  — число Авогадро;  $I_0$  — интенсивность излучения поверхности, зарегистрированная счетчиком;  $I_0^*$  — полная интенсивность излучения  $1 л$  раствора; — поверхность погружаемой в раствор части стекла.

Для определения величины  $\eta = I_2/I_1$  радиоактивный препарат с известной интенсивностью излучения  $I_1$  (стандарт) необходимо нанести тонким равномерным слоем на всю погружаемую поверхность стеклянного электрода и произвести измерение интенсивности излучения  $I_2$  при строго фиксированном расположении стеклянного электрода по отношению к счетчику. Однако при испарении несенного на поверхность электрода стандартного раствора оставшиеся радиоактивные соли скопляются на отдельных участках. В связи с этим наших опытах наблюдались большие расхождения в значении определенных величин  $\eta$  для одного и того же электрода. Вместе с тем при изменении адсорбции из растворов, меченных определенным изотопом,  $\eta$  и  $S$  данного электрода остаются постоянными, поскольку стандартизуется уровень погружения в раствор и положение электрода в свинцовом домике. Если в различные растворы одной серии измерений введены одинаковые количества радиоактивного вещества ( $I_0^* = \text{const}$ ), то выражение (1) можно записать так:

$$N = cI_0 \frac{N_A}{I_0^* \eta S} = cI_0 K', \quad (2)$$

где  $K'$  — постоянная величина.

На рис. 1 приведены значения произведений  $cI_0$ , прямо пропорциональные адсорбции ионов натрия на стеклянном электроде из стекла Мак-Иннеса и Дола, а также на модели стеклянного электрода, изготовленной из стекла «Дружная горка» № 23 и применявшейся для сравнения.

Электроды погружались в буферные растворы, меченные радиоактивной солью  $^{24}\text{NaCl}$ . Буферный раствор 1 готовился по Мак-Ильвену, буферные растворы 2, 3 и 4 — по Зеревсену, 5, 6 — по Рингеру (см. [7]); 7 и 8 — растворы  $\text{NaOH}$ . Для всех растворов  $I_0^* = \text{const}$ .

В верхней части рис. 1 показаны концентрации ионов натрия в растворах. Электроды погружались в растворы (до метки на шейке электрода) на 10 мин., промывались  $мл$  проточной дистиллированной воды, сушились фильтровальной бумагой и размещались в свинцовом домике для измерения интенсивности излучения их поверхности. Как видно из рис. 1,  $60 мл$  промывной воды достаточно для удаления радиоактивного раствора с поверхности (точка 1 для электрода из стекла № 23).

Перед погружением в каждый последующий раствор стеклянные электроды вымывались в  $0,1 N \text{ HCl}$  до полного удаления адсорбированных радиоактивных катионов.

Рассмотрение рис. 1 показывает, что качественно адсорбционные кривые для обоих электродов совершенно подобны. Адсорбция на стекле возрастает с ростом  $pH$  и ростом концентрации ионов натрия. В растворах 3, 5 и 7, где концентрация ионов натрия постоянна ( $c_{\text{Na}^+} = 0,16 \text{ г-экв}/л$ ), адсорбция возрастает с ростом  $pH$ .

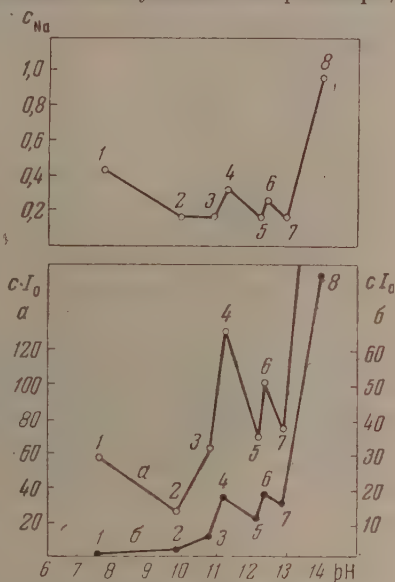


Рис. 1. Адсорбция ионов натрия. «а» — на стекле Мак-Иннеса и Дола, «б» — на стекле «Дружная горка» № 23



На рис. 2 приведены результаты исследования адсорбции на стеклянном электроде из стекла Юза в серии тех же буферных растворов, но с постоянной концентрацией ионов натрия, составлявшей 0,382 г-экв/л. Электрод промывался 280 мл проточной воды. Из рис. 2 следует, что в серии растворов с постоянной концентрацией ионов натрия адсорбция возрастает вплоть до  $pH = 12$ , а затем остается постоянной или даже не сколько падает.

К таким же результатам привели опыты с другими электродами, опыты в серии растворов с  $pH \approx const$  и переменной концентрацией катионов, а также опыты в серии спирто-водных буферных растворов. Во всех случаях наблюдался рост адсорбции как за счет возрастания  $pH$ , так и за счет возрастания концентрации катионов. Обращает на себя внимание тот факт, что в наших опытах адсорбция наблюдается уже в нейтральных растворах.

Отдельные опыты показали, что десорбция адсорбированных катионов является медленным процессом.

Исследование адсорбции катионов на пластинках из стекла Юза позволяет вычислять величины  $M$  так как в этом случае эффективность счета  $\eta$  легко определяется [6].

Результаты исследования адсорбции ионов натрия представлены в табл. 1. Растворы первой и второй серий готовились по Бриттону — Робинсону [8] нейтрализацией смеси кислот при помощи NaOH, после чего навесками NaCl концентрация натрия в растворах доводилась до 0,1 г-экв/л. Раствор с  $pH = 13,53$  в первой серии состоял из NaOH.

Таблица 1

Адсорбция ионов натрия на стекле Юза при 4100 мл промывной воды

Серия	pH	cNa <sup>+</sup>	Время погружения	$I_0$ цмп. мин.	cK'	$N = cK' I_0$ , атом. см <sup>2</sup>
Первая	6,45	0,382	15 м.	25	$2,30 \cdot 10^{13}$	$5,7 \cdot 10^{14}$
	7,02	0,382	15 »	98	$2,30 \cdot 10^{13}$	$2,25 \cdot 10^{15}$
	11,62	0,382	15 »	501	$2,30 \cdot 10^{13}$	$1,15 \cdot 10^{16}$
	12,75	0,382	15 »	912	$2,30 \cdot 10^{13}$	$2,10 \cdot 10^{16}$
	13,53	1,737	15 »	204	$1,11 \cdot 10^{14}$	$2,26 \cdot 10^{16}$
Вторая	8,39	0,327	1 ч. 53 м.	37	$1,185 \cdot 10^{14}$	$4,4 \cdot 10^{15}$
	8,39	0,327	8 ч. 26 м.	30	$1,185 \cdot 10^{14}$	$3,6 \cdot 10^{15}$
	8,39	0,327	12 ч. 12 м.	26	$1,185 \cdot 10^{14}$	$3,1 \cdot 10^{15}$
	9,83	0,327	1 ч. 38 м.	85	$1,185 \cdot 10^{14}$	$1,04 \cdot 10^{16}$
	9,83	0,327	8 ч. 03 м.	144	$1,185 \cdot 10^{14}$	$1,71 \cdot 10^{16}$
	9,83	0,327	11 ч. 53 м.	137	$1,185 \cdot 10^{14}$	$1,62 \cdot 10^{16}$
	10,41	0,327	1 ч. 33 м.	123	$1,185 \cdot 10^{14}$	$1,46 \cdot 10^{16}$
	12,58	0,327	1 ч. 23 м.	290	$1,185 \cdot 10^{14}$	$3,44 \cdot 10^{16}$
	12,58	0,327	7 ч. 44 м.	410	$1,185 \cdot 10^{14}$	$4,86 \cdot 10^{16}$
Третья	12,64	0,141	10 м.	236	$5,32 \cdot 10^{13}$	$1,26 \cdot 10^{16}$
	12,64	0,141	1 ч. 04 м.	661	$5,32 \cdot 10^{13}$	$3,52 \cdot 10^{16}$
	12,64	0,141	7 ч. 32 м.	1240	$5,32 \cdot 10^{13}$	$6,59 \cdot 10^{16}$
	12,64	0,141	11 ч. 26 м.	1445	$5,32 \cdot 10^{13}$	$7,69 \cdot 10^{16}$
	13,17	0,566	10 м.	288	$5,32 \cdot 10^{13}$	$1,52 \cdot 10^{16}$
	13,17	0,566	55 м.	813	$5,32 \cdot 10^{13}$	$4,32 \cdot 10^{16}$
	13,17	0,566	7 ч. 27 м.	1736	$5,32 \cdot 10^{13}$	$9,24 \cdot 10^{16}$
	13,17	0,566	11 ч. 32 м.	2037	$5,32 \cdot 10^{13}$	$1,08 \cdot 10^{17}$
	13,38	0,987	10 м.	375	$5,32 \cdot 10^{13}$	$1,99 \cdot 10^{16}$
	13,38	0,987	40 м.	889	$5,32 \cdot 10^{13}$	$4,73 \cdot 10^{16}$
	13,38	0,987	6 ч. 34 м.	1914	$5,32 \cdot 10^{13}$	$1,02 \cdot 10^{17}$
	13,38	0,987	10 ч. 55 м.	2330	$5,32 \cdot 10^{13}$	$1,24 \cdot 10^{17}$
	13,51	1,41	10 м.	286	$5,32 \cdot 10^{13}$	$1,52 \cdot 10^{16}$
	13,51	1,41	40 м.	630	$5,32 \cdot 10^{13}$	$3,36 \cdot 10^{16}$
	13,51	1,41	6 ч. 31 м.	1468	$5,32 \cdot 10^{13}$	$7,82 \cdot 10^{16}$
	13,51	1,41	10 ч. 05 м.	1825	$5,32 \cdot 10^{13}$	$9,71 \cdot 10^{16}$

и радиоактивного хлористого натрия. Во все растворы в пределах каждой серии добавлялись равные количества концентрированных радиоактивных растворов.

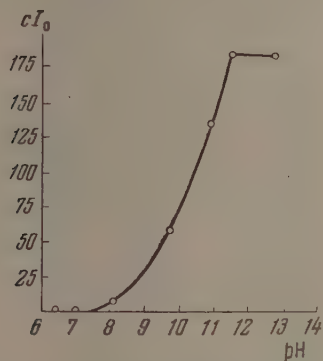


Рис. 2. АДСОРБЦИЯ ИОНОВ НАТРИЯ НА ЭЛЕКТРОДЕ ИЗ СТЕКЛА ЮЗА

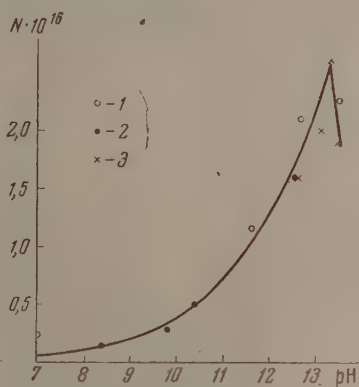


Рис. 3. АДСОРБЦИЯ ИОНОВ НАТРИЯ ПРИ 15 МИН. ПОГРУЖЕНИЯ: 1 — первая серия; 2 — вторая серия; 3 — третья серия

Раствор с  $pH = 13,51$  в третьей серии готовился растворением радиоактивного хлористого натрия в  $NaOH$ . Остальные растворы третьей серии готовились путем разбавления водой исходного раствора.

Таблица 2

АДСОРБЦИЯ ИОНОВ КАЛИЯ НА СТЕКЛЕ ЮЗА ПРИ 4100 м.л. ПРОМЫВНОЙ ВОДЫ

Серия	pH	$c_{K^+}$	Время погружения	$I_0 \frac{\text{имп}}{\text{мин}}$	$cK' \cdot 10^{13}$	$N = cK'I_0, \frac{\text{атом}}{\text{см}^2}$
Первая	8,25	0,698	1 ч. 36 м.	63	3,84	$2,42 \cdot 10^{15}$
	8,25	0,698	9 ч. 49 м.	168	3,84	$6,45 \cdot 10^{15}$
	8,25	0,698	15 ч. 50 м.	249	3,84	$9,56 \cdot 10^{15}$
	9,07	0,698	1 ч. 55 м.	99	3,84	$3,80 \cdot 10^{15}$
	9,07	0,698	9 ч. 50 м.	226	3,84	$8,68 \cdot 10^{15}$
	9,07	0,698	15 ч. 35 м.	330	3,84	$1,27 \cdot 10^{16}$
	9,68	0,698	1 ч. 59 м.	146	3,84	$5,61 \cdot 10^{15}$
	9,68	0,698	9 ч. 41 м.	331	3,84	$1,27 \cdot 10^{16}$
	9,68	0,698	15 ч. 14 м.	441	3,84	$1,69 \cdot 10^{16}$
Вторая	12,62	0,368	1 ч. 30 м.	469	3,66	$1,72 \cdot 10^{16}$
	12,62	0,368	5 ч. 30 м.	807	3,66	$2,95 \cdot 10^{16}$
	12,62	0,368	10 ч. 30 м.	1164	3,66	$4,26 \cdot 10^{16}$
	12,62	0,368	12 ч. 00 м.	1235	3,66	$4,52 \cdot 10^{16}$
	13,19	1,47	1 ч. 30 м.	745	3,66	$2,73 \cdot 10^{16}$
	13,19	1,47	5 ч. 30 м.	1226	3,66	$4,49 \cdot 10^{16}$
	13,19	1,47	10 ч. 30 м.	1532	3,66	$5,61 \cdot 10^{16}$
	13,19	1,47	12 ч. 00 м.	1574	3,66	$5,76 \cdot 10^{16}$
	13,50	2,57	1 ч. 30 м.	619	3,66	$2,27 \cdot 10^{16}$
	13,50	2,57	5 ч. 30 м.	1068	3,66	$3,91 \cdot 10^{16}$
	13,50	2,57	10 ч. 30 м.	1365	3,66	$5,00 \cdot 10^{16}$
	13,50	2,57	12 ч. 00 м.	1421	3,66	$5,20 \cdot 10^{16}$
	13,78	3,68	1 ч. 30 м.	452	3,66	$1,65 \cdot 10^{16}$
	13,78	3,68	5 ч. 30 м.	995	3,66	$3,64 \cdot 10^{16}$
	13,78	3,68	10 ч. 30 м.	1257	3,66	$4,60 \cdot 10^{16}$
	13,78	3,68	12 ч. 00 м.	1344	3,66	$4,92 \cdot 10^{16}$

В последнем столбце табл. 1 приведены значения величин  $N$ , рассчитанные по уравнению (2).

Ввиду очень короткой продолжительности жизни изотопа  $\text{Na}^{24}$  ( $T = 15,1$  часа) десорбция после каждого погружения не исследовалась. Отдельные опыты показали, что десорбция адсорбированных на пластинках ионов натрия протекает весьма медленно.

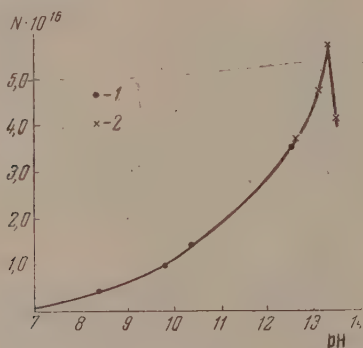


Рис. 4. Адсорбция ионов натрия при 90 мин. погружения; 1 — вторая серия, 2 — третья серия

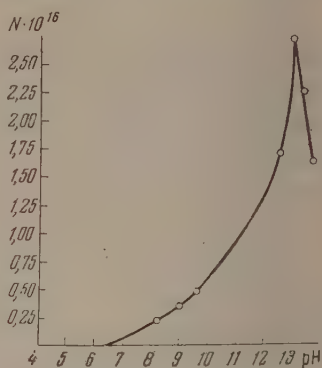


Рис. 5. Адсорбция ионов калия при 90 мин. погружения

Рассмотрение представленных в табл. 1 данных показывает, что адсорбция ионов натрия возрастает во времени и стремится к некоторому пределу. Однако этот предел (адсорбционное насыщение) в щелочных растворах не удавалось наблюдать даже при 10—12 час. взаимодействия раствора со стеклом.

На рис. 3 представлена зависимость адсорбции от pH. Значения адсорбции отнесены к 15 мин. погружения. Значения  $N$  для второй и третьей серии получены графической интерполяцией. На рис. 4 представлена зависимость адсорбции от pH при 90 мин. погружения. Сравнение рис. 3 и 4 показывает одинаковый характер адсорбционных зависимостей при 15 и 90 мин. погружения.

Как и в опытах со стеклянными электродами, обращает на себя внимание тот факт, что поглощение стеклом ионов натрия наблюдается уже в нейтральных растворах. При переходе к щелочным растворам адсорбция возрастает.

К аналогичным результатам приводит исследование адсорбции ионов калия, результаты которого приведены в табл. 2. На рис. 5 приведены значения адсорбции, отнесенные к 90 мин. погружения. Приготовлении растворов и все операции осуществлялись так же, как и в опытах с натрием.

Адсорбция ионов цезия на стекле исследовалась особенно тщательно, так как период полураспада  $\text{Cs}^{134}$  (2,3 года) позволял проводить длительные эксперименты. Исследование проводилось в двух сериях растворов, которые готовились смешением радиоактивных растворов  $\text{Cs}^{134}\text{OH}$  с смесью кислот [8]. Концентрация ионов цезия и удельная радиоактивность во всех растворах второй серии растворов постоянны.

Результаты исследования в первой серии приведены в табл. 3. Для первой серии  $N = 1,43 \cdot 10^{12} \text{ атом/см}^2$ . Стеклянные пластинки погружались в растворы на 10 мин.; после каждого погружения исследовалась десорбция ионов цезия при промывке проточной водой, вытекающей с постоянной скоростью.

На рис. 6 представлена зависимость адсорбции ионов цезия от pH при 2000 мл промывной воды. Из рис. 6 следует, что адсорбция ионов цезия



Таблица 3

адсорбция ионов цезия на стеклянных пластинках из стекла Юза в буферных растворах цезия за 10 мин. Первая серия

рН	$c_{Cs^+}$	$I_0$ при промывке в миллилитрах:							
		200	400	600	800	1000	1600	1800	2000
5,12	0,060	40	—	—	—	19	—	20	20
6,93	0,089	144	—	43	—	—	—	—	21
0,34	0,100	292	—	—	126	—	—	97	95
0,75	0,111	—	310	—	—	178	—	—	147
1,03	0,115	—	350	—	—	198	—	—	162
1,19	0,120	593	—	—	—	290	—	—	200
1,72	0,125	931	—	522	—	—	—	311	302
2,12	0,089	943	551	—	—	396	—	—	322
2,68	0,200	793	517	—	383	—	302	—	296

же возрастает с ростом рН. Так как во второй серии, в отличие от первой, опыты проведены при одинаковой концентрации ионов цезия, результаты опытов показывают влияние на адсорбцию лишь одного фактора — рН раствора. Эти результаты представлены в табл. 4. Во второй серии

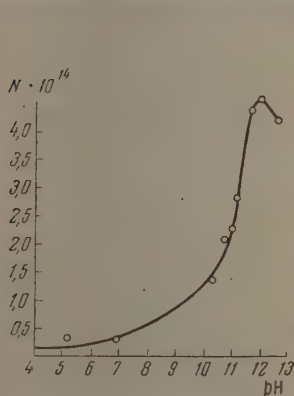


Рис. 6. Адсорбция ионов цезия при 10 мин. погружения

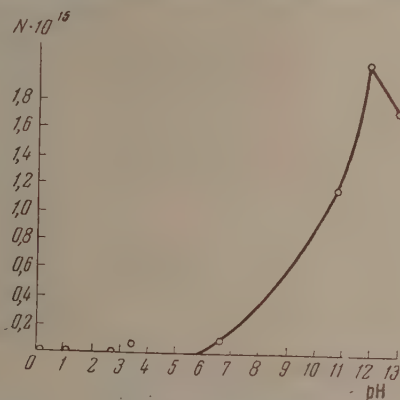


Рис. 7. Адсорбция ионов цезия при 90 мин. погружения

проводилось весьма подробное исследование десорбции катионов при промывке. Промывка производилась последовательно — 2, 3 и 5 мл из бюетки, затем проточной водой, вытекающей со скоростью 820 мл/мин.

Данные табл. 4 показывают, что число адсорбированных в каждом растворе катионов зависит от времени погружения и времени промывки. Поэтому при сравнении между собой зависимостей  $N = f(\text{рН})$  для различных изотопов необходимо относить соответствующие данные к определенному значению времени погружения и к идентичным условиям промывки. На рис. 7 представлены данные для 90 мин. погружения и 4100 мл промывочной воды. Для второй серии  $N = 4,47 \cdot 10^{12} I_0 \text{ атом/см}^2$ .

На основании ионообменной теории стеклянного электрода можно было ожидать адсорбционного насыщения на кривых  $N = f(\text{рН})$  в сильнощелочной области. Приведенные данные показывают, что в действительности наблюдается не только насыщение, но даже падение адсорбции в сильнощелочных растворах. Этот эффект следует, по всей вероятности, отнести

Таблица 4

Адсорбция ионов цезия на стеклянных пластинках из стекла Юа в буферных растворах цезия. Вторая серия

Время погр.	10 мин.						30 мин.						1 ч. 30 м.						5 час.												
	V мл			рН			V мл			рН			V мл			рН			V мл			рН			V мл			рН			
	2	5	10	830	4410	8240	2	5	10	830	4410	8240	2	5	10	830	4410	8240	2	5	10	830	4410	8240	2	5	10	830	4410	8210	
0,40	5	2	1	4	0	—	10	7	2	1	0	—	21	0	—	—	—	—	—	—	—	—	—	—	—	—	—	—	—	—	—
1,06	4	0	1	0	—	—	9	5	0	0	—	—	1	0	0	—	—	—	—	—	—	—	—	—	—	—	—	—	—	—	—
2,71	203	90	8	10	1	0	41	14	4	4	—	—	29	40	22	15	16	11	—	—	—	—	—	—	—	—	—	—	—	—	—
3,45	44	19	12	0	—	—	111	68	17	9	9	8	44	27	48	35	23	48	—	—	—	—	—	—	—	—	—	—	—	—	—
6,62	71	11	4	—	—	—	85	40	28	19	16	15	117	80	42	23	23	—	—	—	—	—	—	—	—	—	—	—	—	—	—
10,74	353	176	105	65	50	—	586	402	219	452	138	123	697	465	375	314	267	241	—	—	—	—	—	—	—	—	—	—	—	—	—
11,90	457	278	163	89	91	72	853	573	359	249	206	180	906	766	670	569	466	432	1454	1125	894	792	754	717	—	—	—	—	—	—	—
12,89	629	295	197	113	93	86	4135	758	527	398	267	237	988	791	604	537	389	376	1421	1421	858	786	682	631	—	—	—	—	—	—	—

за счет повышенной растворимости поверхностной пленки стекла в щелочных растворах.

При опытах с  $\text{Ca}^{45}$  из исходного радиоактивного препарата —  $\text{Ca}^{45}\text{CO}_3$  готовилась соль  $\text{Ca}^{45}\text{Cl}_2$  и насыщенный раствор  $\text{Ca}^{45}(\text{OH})_2$ . Кислый 0,2N раствор ионов кальция готовился растворением  $\text{Ca}^{45}\text{CO}_3$  в азотной кислоте, остальные растворы готовились из  $\text{Ca}^{45}\text{Cl}_2$  и  $\text{Ca}^{45}(\text{OH})_2$  таким образом, что концентрация ионов кальция в них составляла 0,2 г-эке/л. В растворах исследовалась зависимость адсорбции от pH, времени погружения и времени промывки. Десорбция ионов кальция протекала так же медленно, как и десорбция других катионов.

В табл. 5 приведены значения адсорбции при 4100 мл промывной воды. Для растворов ионов кальция  $N = 8,5 \cdot 10^{13} \text{ I}_0 \text{ атом/см}^2$ . Как следует из табл. 5, характер зависимости адсорбции ионов кальция от времени такой же, как и для других катионов. В отличие от натрия, калия и цезия адсорбция ионов кальция не наблюдалась в кислых и слабощелочных растворах. Заметная адсорбция наблюдалась лишь при  $\text{pH} > 10$ .

Ионообменная теория стеклянного электрода Б. П. Никольского [9,10] основана на том предположении, что анионы в щелочных растворах со стеклом не взаимодействуют. С целью проверки этого предположения нами исследовалась адсорбция ионов брома в широком интервале значений pH (табл. 6). Как следует из табл. 6, адсорбция ионов брома в щелочных растворах, в отличие от кислых растворов, практически не наблюдается. (Значение  $N = 6,5 \cdot 10^{14} \text{ атом/см}^2$  следует отнести, повидимому, за счет случайных причин. Во всяком случае даже это значение не превышает 1% от адсорбции ионов натрия в аналогичных условиях.)

## ОБСУЖДЕНИЕ РЕЗУЛЬТАТОВ

Отметим прежде всего, что наблюдаемая на стекле радиоактивность не может быть отнесена за счет реакций изотопного обмена натрия между стеклом и раствором, так как стекло предварительно длительное время вымачивалось в кислоте, в результате чего все способные к обмену ионы натрия из поверхностного слоя стекла замещались ионами водорода.

Таблица 5

Зависимость адсорбции ионов кальция от рН и времени погружения (при 4100 м. промывной воды)

рН	Время погружения	$I_0$ имп. мин.	$N=8,5 \cdot 10^{12} I_0 \frac{\text{атом}}{\text{см}^2}$	рН	Время погружения	$I_0$ имп. мин.	$N=8,5 \cdot 10^{12} I_0 \frac{\text{атом}}{\text{см}^2}$
-0,5	1 сек.	0	0	11,0	2 ч. 00 м.	44	$3,7 \cdot 10^{15}$
-0,5	1 ч. 40 м.	0	0	12,3	~1 сек.	0	0
6,5	15 м.	0	0	12,3	10 м.	5	$4,2 \cdot 10^{14}$
6,5	1 ч. 30 м.	0	0	12,3	20 м.	13	$1,1 \cdot 10^{15}$
10,3	10 м.	0	0	12,3	40 м.	20	$1,7 \cdot 10^{15}$
10,3	40 м.	1	$8,5 \cdot 10^{13}$	12,3	1 ч. 00 м.	34	$2,9 \cdot 10^{15}$
10,3	2 ч. 00 м.	2	$1,7 \cdot 10^{14}$	12,3	1 ч. 30 м.	47	$4,0 \cdot 10^{15}$
11,0	10 м.	0	0	12,3	3 ч. 00 м.	73	$6,2 \cdot 10^{15}$
11,0	40 м.	16	$1,4 \cdot 10^{15}$				

Таблица 6

Зависимость адсорбции ионов брома от рН (при 4100 м. промывной воды)

рН	$c_{Br^-}$	Время погружения	$I_0$ имп. мин.	$c_{K'}$	$N=c_{K'} I_0 \frac{\text{атом}}{\text{см}^2}$
-0,37	3,0	1 ч. 30 м.	24	$6,9 \cdot 10^{14}$	$1,6 \cdot 10^{16}$
-0,37	3,0	7 ч. 15 м.	48	$6,9 \cdot 10^{14}$	$3,3 \cdot 10^{16}$
-0,37	3,0	13 ч. 18 м.	58	$6,9 \cdot 10^{14}$	$4,0 \cdot 10^{16}$
7	0,12	1 ч. 30 м.	0	$1,0 \cdot 10^{13}$	0
7	0,12	8 ч. 10 м.	0	$1,0 \cdot 10^{13}$	0
12,5	0,003	7 ч. 05 м.	0	$3,3 \cdot 10^{12}$	0
13,1	0,013	7 ч. 05 м.	0	$3,3 \cdot 10^{12}$	0
13,4	0,038	5 ч. 44 м.	0	$3,3 \cdot 10^{12}$	0
13,7	0,067	5 ч. 44 м.	0	$3,3 \cdot 10^{12}$	0
14,0	0,134	5 ч. 44 м.	196	$3,3 \cdot 10^{12}$	$6,5 \cdot 10^{14}$

онстанта ионного обмена составляет величину порядка  $10^{-12}$ ). Кроме того, такой изотопный обмен приводил бы к наличию радиоактивности после погружения в кислые растворы, чего в действительности не наблюдалось.

Целесообразно отдельно рассмотреть наблюдавшиеся в работе зависимости адсорбции от рН и концентрации соответствующих катионов, от природы катионов, времени погружения в растворы и времени промывки.

Рассмотрим, какие выводы в отношении зависимости адсорбции катионов на стекле от рН и концентрации катионов можно сделать на основании электрохимических данных о поведении стеклянного электрода в растворе. Согласно теории Б. П. Никольского [9], равновесие между ионами водорода и катионами в стекле и растворе характеризуется константой ионного обмена  $K$ , равной

$$K = \frac{N_{K^+} + a_{H^+}}{N_{H^+} a_{K^+}}, \quad (3)$$

где  $N_{K^+}$  и  $N_{H^+}$  — концентрации катионов и ионов водорода в поверхностном слое стеклянного электрода,  $a_{K^+}$  и  $a_{H^+}$  — активности ионов в растворе.

Теория Б. П. Никольского предполагает постоянство «суммы мест» катионов и ионов водорода в стекле

$$N_{K^+} + N_{H^+} = \text{const} = N_0. \quad (4)$$



Решая совместно (3) и (4), находим

$$\frac{N_{K^+}}{N_0} = \frac{1}{1 + (a_{H^+} / K a_{K^+})}. \quad (5)$$

Величина  $N/N_0$  представляет собой степень заполнения поверхности ионами натрия или другими катионами. Уравнение (5) показывает, как должно происходить заполнение поверхности стеклянного электрода катионами при изменении рН раствора и концентрации катионов.

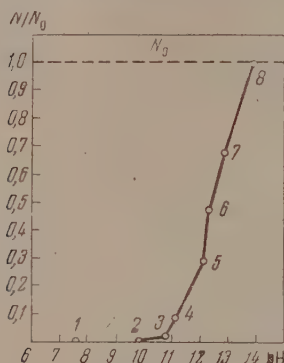


Рис. 8

Рис. 8. Рассчитанные значения адсорбции ионов натрия на стеклянных электродах

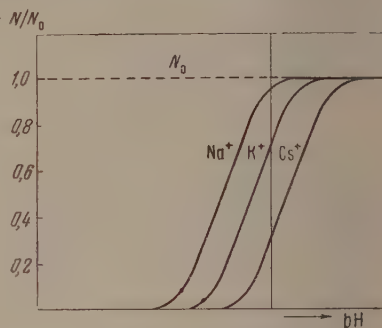


Рис. 9

Рис. 9. Теоретический характер зависимости адсорбции от рН

Величина  $K$ , определяемая по максимуму калибровочных кривых [11], в нашем случае для электрода из стекла Мак-Иннеса и Дола составляет  $2,0 \cdot 10^{-12}$ .

На рис. 8\* приведены результаты расчета величин  $N/N_0$  для одного из двух электродов, на которых исследовалась адсорбция (рис. 1). Сравнение рис. 1 и 8 показывает, что экспериментальные адсорбционные кривые не подчиняются уравнению (5). К такому же выводу приводит сравнение экспериментальных и теоретических кривых во всех других случаях: экспериментальные кривые сильно смещены в кислую область по сравнению с теоретическими.

Наблюдаемое несоответствие указывает на непостоянство «константы» ионного обмена на стекле. Наблюдаемые экспериментальные зависимости указывают на возрастание величин  $K$  при переходе к кислым растворам. Возможные причины непостоянства «констант» подробно обсуждались в нашей работе [12].

Поведение стеклянных электродов в растворах, содержащих ионы натрия, калия и цезия, подробно исследовались С. И. Соколовым и А. Г. Пасынским [13]. В их работе установлено, что для данного стекла, например натриевого, ошибки в растворах NaOH наступают раньше, чем в растворах KOH, а в растворах KOH раньше, чем в CsOH. При постоянном значении рН щелочного раствора справедливо неравенство:

$$\Delta E_{Na^+} > \Delta E_{K^+} > \Delta E_{Cs^+}. \quad (6)$$

В таком же ряду располагаются значения констант ионного обмена. На основании уравнения (5) можно ожидать, что адсорбционные кривые будут

\* Номера точек на рис. 8 соответствуют номерам точек рис. 1.

меть вид, схематически показанный на рис. 9, где вертикальная черта ограничивает исследованную нами область рН.

Из рис. 9 следует, что при равенстве всех остальных условий по адсорбционной способности исследованные одновалентные катионы должны располагаться в ряд:

$$N_{\text{Na}^+} > N_{\text{K}^+} > N_{\text{Cs}^+} \quad (7)$$

полученные нами данные находятся в соответствии с неравенством (7). Так, например, максимальное значение адсорбции при 1 ч. 30 м. погружения и 4100 мл промывной воды, наблюдавшееся при рН ~ 13, составляло  $7 \cdot 10^{16}$  для натрия,  $2,7 \cdot 10^{16}$  для калия и  $0,17 \cdot 10^{16}$  для цезия.

Несомненно, что порядок расположения катионов по их адсорбционной способности находится в прямой зависимости от их ионных радиусов, которые увеличиваются при переходе от натрия к цезию (по Гольдшмидту  $r_{\text{Na}^+} = 0,98 \text{ \AA}$ ;  $r_{\text{K}^+} = 1,33 \text{ \AA}$ ;  $r_{\text{Cs}^+} = 1,65 \text{ \AA}$ ).

Как видно из приведенных данных, в ряду (7) кальций занимает место между калием и цезием. Поведение стеклянного электрода в растворах  $\text{Ca}(\text{OH})_2$  мало изучено.

Данные по исследованию адсорбции на электродах (рис. 1 и 2) наглядно показывают, что в соответствии с теорией при данном значении рН адсорбция пропорциональна концентрации ионов щелочных металлов.

Тот факт, что адсорбция анионов в щелочных растворах не наблюдается, также находится в соответствии с основной теоретической предпосылкой ионообменной теории.

Исследование адсорбции катионов показало, что в щелочных растворах число адсорбированных ионов щелочного металла продолжает возрастать течение многих часов, стремясь при этом к некоторому пределу. Так, например, за 10 час. погружения в раствор  $\text{NaOH}$  с рН = 13,38 число ионов, адсорбированных на 1 см<sup>2</sup> видимой поверхности, достигало  $9,7 \cdot 10^{16}$ . Для того чтобы оценить, хотя бы и весьма приблизительно, глубину проникновения ионов в стекло, примем, как это делают Б. П. Никольский и Е. А. Матерова [2], величину 5—10 Å в качестве среднего расстояния между ионами натрия в стекле. Тогда значение  $N = 9,7 \cdot 10^{16}$  атом/см<sup>2</sup> будет соответствовать глубине проникания в 1200—9700 Å. Глубина особого поверхностного слоя больше, так как за 10 час. погружения процесс проникания ионов в стекло еще не заканчивался.

По данным [2] при адсорбции ионов лития на стеклянных порошках из стекла Мак-Иннесса и Дола за 5 суток взаимодействия глубина проникания составляет 250—500 Å. По данным И. В. Гребенщикова с сотрудниками [14] глубина особого поверхностного слоя у вымоченных в кислотах оптических стекол составляет 500—1000 Å. Очевидно, глубина особого поверхностного слоя зависит от способа обработки и от сорта стекла и может колебаться в известных пределах.

Со значительной глубиной особого поверхностного слоя (Н — катионит) непосредственно связана медленность процесса десорбции катионов: скорость десорбции, так же как и скорость адсорбции, определяется медленным процессом диффузии ионов в стеклянной фазе.

Интересно сопоставить кинетику адсорбции — десорбции в щелочных растворах с кинетикой установления потенциала стеклянного электрода в таких же растворах.

Многие исследователи наблюдали гистерезис потенциала стеклянного электрода: в щелочных растворах значения потенциала стеклянного электрода претерпевают непрерывный сдвиг в сторону увеличения, а при обратном перемещении в нейтральные или слабокислые растворы потенциал очень медленно восстанавливает свое первоначальное значение. Однако при этом, как отмечает М. М. Шульд [15], в процессе быстрой ка-

либровки стеклянного электрода, выдержанного в щелочи, получается новая калибровочная кривая, параллельная первоначальной\*.

Скорость изменения потенциала стеклянного электрода в щелочных растворах, повидимому, сильно зависит от сорта стекла. М. М. Шульц [15] для стекла специального состава отмечал изменение потенциала в щелочных растворах до 6 мВ в сутки. С. И. Соколов и А. Г. Пасынский [13] для стеклянного электрода из стекла Мак-Иннесса и Дола в растворе с  $pH = 11,4$  отмечали значительно большие изменения. На рис. 10 представлены кривые, построенные нами по данным С. И. Соколова и

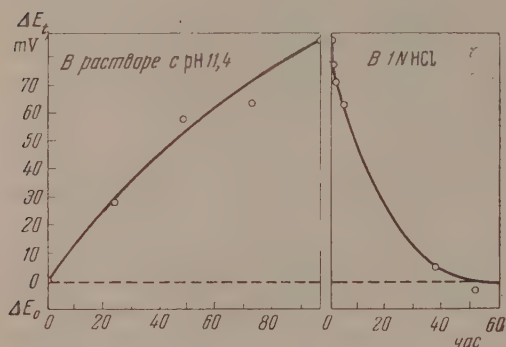


Рис. 10

Рис. 10. Щелочной гистерезис потенциала стеклянного электрода

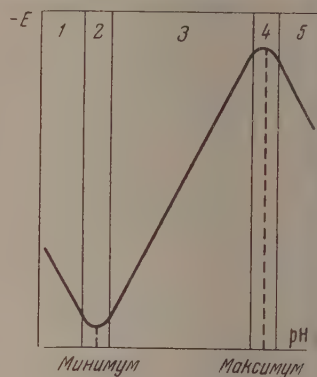


Рис. 11

Рис. 11. Зависимость потенциала стеклянного электрода от  $pH$ . 1 — область анионной функции стеклянного электрода; 2 — переходная область от функции анионного электрода к функции водородного электрода; 3 — область водородной функции; 4 — переходная область от функции водородного к функции металлического электрода и 5 — область металлической функции.

А. Г. Пасынского. Рис. 10 наглядно иллюстрирует явление щелочного гистерезиса потенциала стеклянного электрода. Сопоставление электрохимических и адсорбционных данных показывает подобие кривых  $\Delta E$  — время и  $N$  — время как при адсорбции, так и при промывке. Такое подобие указывает, повидимому, на то, что к скачку потенциала на границе раздела поверхность стеклянного электрода — раствор добавляется скачок потенциала на границе особый поверхностный слой — стекло. Первый скачок потенциала определяется степенью заполнения катионами поверхности раздела стекло — раствор. Он не зависит от глубины проникновения ионов щелочных металлов в поверхностную пленку стекла и, следовательно, от времени. Второй скачок потенциала играет роль дополнительного потенциала асимметрии, обусловленного различным состоянием внутреннего и наружного особого поверхностного слоя стеклянного электрода. Этот скачок изменяется в процессе проникновения катионов из раствора во внутренние слои поверхностной пленки или при обратном процессе. Медленность процессов диффузии катионов в стеклянной фазе определяет медленность изменения второго скачка потенциала во времени. Он должен учитываться при точных работах со стеклянным электродом в щелочных растворах.

Зависимость потенциала стеклянного электрода от  $pH$  в широком интервале значений  $pH$  может быть схематически представлена кривой, приведенной на рис. 11.

\* Совершенно аналогичное явление наблюдалось нами [6] со стороны кислых растворов.

Из приведенных в предыдущей статье [6] и в настоящей работе данных следует, что ошибки стеклянного электрода в кислотах вызываются прониканием анионов из раствора в поверхностный слой стекла, а ошибки в щелочных растворах — вызываются прониканием в поверхность стеклянного электрода катионов. Начало поглощения анионов совпадает с началом отступления стеклянного электрода от водородной функции в кислых растворах, а в переходной области 2 наблюдается наиболее интенсивный рост адсорбции анионов.

Хотя адсорбция катионов наблюдается уже в области 3, она не оказывает существенного влияния на потенциал стеклянного электрода, и он практически функционирует в качестве водородного электрода. В переходной области 4 адсорбция катионов сильно возрастает.

Симметричный вид калибровочной кривой (рис. 11) и однотипность процессов, вызывающих ошибки в кислотах и щелочах, указывают, помимо прочего, на общность механизма возникновения этих ошибок. Предположение о том, что ошибки стеклянного электрода в щелочных растворах вызываются реакциями ионного обмена водорода из стекла на ионы щелочных металлов из раствора позволило Б. П. Никольскому [9] вывести уравнение

$$E = E_0 + \frac{RT}{F} \lg (a_{H^+} + K a_{K^+}) \quad (8)$$

где  $K$  — константа катионного обмена), правильно описывающее поведение стеклянного электрода в областях 3, 4 и 5.

Предположение о том, что вследствие амфотерности соединений кремния в поверхности стеклянного электрода в сильно кислых растворах могут протекать реакции обмена ионов  $OH^-$  из стекла на анионы из раствора позволило нам [16] вывести аналогичное уравнение для кислой области:

$$E = E_0^* - \frac{RT}{F} \lg (a_{OH^-} + K_A a_{A^-}) \quad (9)$$

где  $K_A$  — константа анионного обмена), правильно описывающее поведение стеклянного электрода в области 1, 2 и 3.

Введение специальных коэффициентов позволяет объединить уравнения (8) и (9) в единое уравнение [16]:

$$E = \frac{10^{-pH_{из}}}{a_{H^+} + 10^{-pH_{из}}} [E_0 + \frac{RT}{F} \lg (a_{H^+} + K a_{K^+})] + \frac{a_{H^+}}{a_{H^+} + 10^{-pH_{из}}} [E_0^* - \frac{RT}{F} \lg (a_{OH^-} + K_A a_{A^-})], \quad (10)$$

где  $pH_{из}$  — изоэлектрическая точка стеклянного электрода, определяемая по формуле [17]:

$$pH_{из} = -\lg \sqrt{K_w \frac{K}{K_A}}, \quad (11)$$

где  $K_w$  — ионное произведение воды (11). Уравнение (10) характеризует зависимость потенциала стеклянного электрода от  $pH$  для любого его значения.

## ВЫВОДЫ

1. Методом радиоактивных индикаторов исследована адсорбция ионов  $Na^+$ ,  $K^+$ ,  $Cs^+$ ,  $Ca^{++}$  и  $Br^-$  на стеклянных электродах и пластинках из электрода стекла в щелочной области.

2. Установлено, что в нейтральных и щелочных растворах наблюдается адсорбция катионов, возрастающая с увеличением  $pH$  раствора и концентрации соответствующих катионов. Характер зависимости адсорбции от



pH указывает на непостоянство значений «константы» ионного обмена на стекле. Величина «константы» возрастает при переходе из щелочной области в кислую.

3. Адсорбция ионов Br в нейтральных и щелочных растворах практически не наблюдалась, что доказывает ионообменный механизм адсорбции.

4. Установлено, что адсорбционная способность одновалентных катионов может быть представлена рядом:

$$N_{\text{Na}^+} > N_{\text{K}^+} > N_{\text{Cs}^+},$$

в котором катионы располагаются в порядке увеличения ионных радиусов.

5. Число адсорбированных стеклом ионов возрастает во времени и очень медленно приближается к адсорбционному насыщению. Расчеты показывают, что глубина особого поверхностного слоя стекла, принимавшего участие в реакциях ионного обмена, в нашем случае составляла величину порядка тысяч ангстрем.

6. Десорбция катионов, проникших в глубинные слои поверхностной пленки стекла, является весьма медленным процессом.

7. Проведено сопоставление адсорбции катионов в определенных условиях со значениями потенциала стеклянного электрода при этих же условиях. Такое сопоставление показало, что ошибки стеклянного электрода в щелочных растворах пропорциональны степени заполнения поверхности стеклянного электрода катионами. Проникновение катионов во внутренние слои стеклянного электрода обуславливает неустойчивость потенциала стеклянного электрода в щелочных растворах и щелочной гистерезис потенциала стеклянного электрода.

8. Дано уравнение, характеризующее зависимость потенциала стеклянного электрода от pH для любого его значения.

Харьковский государственный  
университет им. А. М. Горького

Поступил  
1. VII. 1955

#### ЛИТЕРАТУРА

1. G. Naugaard, Journ. Phys., Chem., 45, 148, 1941.
2. Б. П. Никольский и Е. А. Матерова, Журн. физ. химии, 25, 13, 1951.
3. J. W. Hensley, A. A. Long a. J. E. Willard, Journ. Amer. Chem. Soc., 70, 3146, 1948.
4. J. W. Hensley, A. A. Long a. J. E. Willard, Ind. Eng. Chem., 41, 14, 1949.
5. A. A. Long a. J. E. Willard, Ind. Eng. Chem., 44, 916, 1952.
6. Н. А. Измайлов и А. Г. Васильев, Журн. физ. химии, 29, 1867, 1955.
7. Н. А. Мисловицер, Определение концентрации водородных ионов, ОНТИ, М., 1932.
8. Х. Т. С. Бриттон, Водородные ионы, Л., ОНТИ, 1936.
9. Б. П. Никольский, Журн. физ. химии, 10, 495, 1937.
10. Б. П. Никольский, Журн. физ. химии, 27, 724, 1953.
11. Б. П. Никольский и Т. А. Толмачева, Журн. физ. химии, 10, 1937.
12. Н. А. Измайлов и А. Г. Васильев, Журн. физ. химии, 29, 2145, 1955.
13. С. И. Соколов и А. Г. Пасынский, Журн. физ. химии, 3, 131, 1937.
14. И. В. Гребенщиков, А. Г. Власов и Б. С. Пепорент, Просветл. оптики, Гостехиздат, М.—Л., 1946.
15. М. М. Шульц, Уч. зап. ЛГУ, № 169, сер. хим. наук, вып. 13, 80, 1953.
16. Н. А. Измайлов и А. Г. Васильев, ДАН, 95, 579, 1954.
17. Н. П. Песков и Е. М. Александрова-Прейс, Курс коллоидной химии, Госхимиздат, М.—Л., 1948.

## КИНЕТИКА И МЕХАНИЗМ ПРОЦЕССОВ ПОЛИМЕРИЗАЦИИ, ИНИЦИИРОВАННЫХ ОКИСЛИТЕЛЬНО-ВОССТАНОВИТЕЛЬНЫМИ СИСТЕМАМИ

### ПОЛИМЕРИЗАЦИЯ МЕТАКРИЛОВОЙ КИСЛОТЫ И НИТРИЛА АКРИЛОВОЙ КИСЛОТЫ В ВОДНЫХ РАСТВОРАХ В ПРИСУТСТВИИ НЕКОТОРЫХ ОКИСЛИТЕЛЬНО-ВОССТАНОВИТЕЛЬНЫХ СИСТЕМ

*Т. М. Гриценко и С. С. Медведев*

В качестве инициаторов процессов полимеризации за последние годы наряду с перекисными соединениями получили широкое распространение окислительно-восстановительные системы. Благодаря тому что окислительно-восстановительные реакции во многих случаях дают возможность сравнительно легко получить в реакционной среде значительные концентрации свободных радикалов — возбудителей процесса полимеризации, — использование окислительно-восстановительных систем приводит к значительному увеличению скорости процесса за счет увеличения скорости иницирования.

Особенно эффективным оказалось применение окислительно-восстановительных систем в процессах эмульсионной полимеризации, протекающей, как известно, при наличии водной фазы, которая оказывает ряд существенных, специфических, но пока еще мало исследованных влияний на процесс.

Настоящая работа была поставлена в направлении изучения влияния водной среды, как вода, на процессы окислительно-восстановительного иницирования полимеризации в истинных водных растворах, где отсутствует специфика эмульсионной полимеризации, связанная с ее гетерогенностью.

### ИСХОДНЫЕ ПРОДУКТЫ И МЕТОДИКА ИССЛЕДОВАНИЯ

Мономеры, гидроперекись кумола и растворители готовились таким образом, как и в первой части работы [1].

Была принята методика [1], в которую были внесены изменения, связанные с необходимостью введения в реакционную среду восстановителя. Так, например, в случае акриловой кислоты навеска восстановителя помещалась в реакционный сосуд перед плавлением его к капилляру; в случае же нитрила акриловой кислоты раствор восстановителя, приготовленный в атмосфере азота, вводился в реакционный сосуд через капилляр при помощи пипетки с длинным тонко оттянутым кончиком (опыт показал, что такой способ введения вещества обеспечивает получение воспроизводимых результатов).

### РЕЗУЛЬТАТЫ ОПЫТОВ

В части, касающейся полимеризации метакриловой кислоты, гидроперекись кумола использовалась в комбинации с рядом восстановителей: сульфатом двувалентного железа и его комплексными солями (ферроцианидом калия, пирофосфатный и фенантролиновый комплексы), сульфитом бисульфитом натрия, глюкозой, диоксиацетоном и гидрохиноном. Кроме того, в качестве добавки было применено и азотнокислое серебро. Железо-пирофосфатный и фенантролиновый комплексы готовились растворением сульфата двувалентного железа в воде в токе азота и добавлением к нему эквимолекулярного количества пирофосфата натрия или,

соответственно, стехиометрического количества фенантролина (на 1  $\text{г-ион Fe}^{++}$  3  $\text{г-моля C}_{12}\text{H}_8\text{N}_2$ ).

Опыты производились при температурах 40 и 20° С, концентрации мономера 0,63  $\text{моль/л}$  и концентрации гидроперекиси 0,02  $\text{моль/л}$ . Соотношение концентраций гидроперекиси кумола и восстановителя было близким к эквимолекулярному.

Что касается нитрила акриловой кислоты, то полимеризация этого мономера проводилась в присутствии лишь одной окислительно-восстановительной системы гидроперекиси кумола — гидрохинон. Здесь изучалось

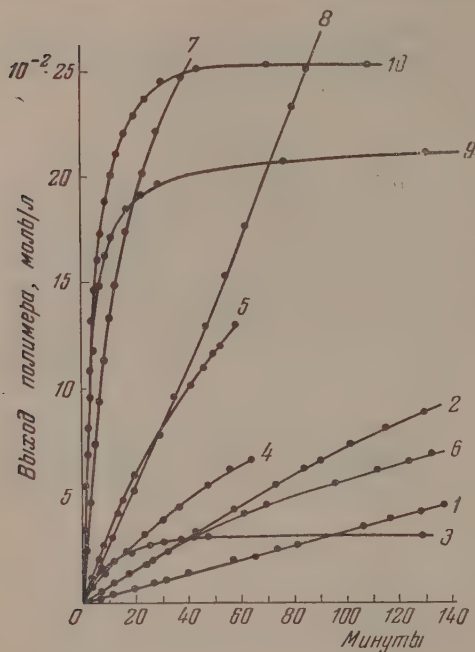


Рис. 1. Кинетические кривые полимеризации метакриловой кислоты в присутствии гидроперекиси кумола и некоторых восстановителей при эквимолекулярном соотношении между ними: 1 — без восстановителя; 2 — глюкоза; 3 — ферроцианид калия; 4 — сульфит натрия; 5 — бисульфит натрия; 6 — азотнокислое серебро; 7 — гидрохинон; 8 — диоксиацетон; 9 — железо-пирофосфатный комплекс; 10 — железо-фенантролиновый комплекс

около 45%. В случае применения окислительно-восстановительных систем глубина полимеризации по экспериментальным полученным кинетическим кривым определяется не полностью, так как, в зависимости условий, большее или меньшее количество мономера успевает заполимеризоваться до установления температуры в реакционном сосуде после помещения его в термостат.

Было также найдено, что в опытах с применением железо-пирофосфатного комплекса, часть которого находилась в осадке, перемешивание реакционной смеси ведет к ускорению процесса полимеризации и более быстрому его завершению с полным исчерпыванием мономера.

Полимеризация с участием железо-фенантролинового комплекса привела к гелеобразованию в самом начале процесса, что исключило возможность перемешивания реакционной смеси.

влияние на скорость полимеризации таких факторов, как температура, pH среды, соотношение компонентов окислительно-восстановительной системы, концентрация мономера, природа растворителя.

На рис. 1 приведены кинетические кривые полимеризации метакриловой кислоты в присутствии ряда окислительно-восстановительных систем при 40° С. Во всех случаях применения восстановителей наблюдаются значительно большие скорости полимеризации, чем в присутствии одной лишь гидроперекиси кумола. При применении сульфата железа реакция протекает настолько быстро, что вести наблюдение за ее скоростью становится невозможным. После вскрытия реакционного сосуда анализом было установлено, что заполимеризовалось около 22% исходного количества метакриловой кислоты. Прямые определения выхода полимера показывают, что в случае применения железо-пирофосфатного комплекса реакция останавливается при практически полном исчерпывании мономера, а в присутствии ферроцианида калия остановка соответствует глубине полимеризации

В случаях применения гидрохинона, комплексных солей железа, сульфата и бисульфита натрия были проведены также опыты по полимеризации метакриловой кислоты и при 20°C. По полученным температурным коэффициентам была произведена оценка суммарной энергии активации полимеризации. Эта величина оказалась весьма малой. Таким образом доказано, что восстановители способствуют значительному снижению суммарной энергии активации процесса (табл. 1).

Таблица 1

Результаты опытов по изучению влияния температуры на скорость полимеризации метакриловой кислоты в присутствии некоторых окислительно-восстановительных систем: Концентрация мономера—0,63 моль/л, гидроперекиси—0,02 моль/л, отношение молярных концентраций гидроперекиси и восстановителя~1

Восстановитель	$\frac{w_{40^\circ}}{w_{30^\circ}}$	$E_{\text{сумм}}$ , ккал/моль
Нет	7—8 раз*	19,6
$\text{FeSO}_4 \cdot 7\text{H}_2\text{O} + \text{Na}_4\text{P}_2\text{O}_7 \cdot 3\text{H}_2\text{O}$	1,35 »	2,7**
$\text{K}_4\text{Fe}(\text{CN})_6 \cdot 3\text{H}_2\text{O}$	1,45 »	3,4**
$\text{NaHSO}_3$	2,01 »	6,4
$\text{Na}_2\text{SO}_3 \cdot 7\text{H}_2\text{O}$	2,04 »	6,5
Гидрохинон	2,22 »	7,2

\* Отношение скоростей взято для 50 и 30°C.

\*\* Величины занижены из-за невозможности точного определения отношения скоростей в начальный момент реакции.

Опыты по полимеризации нитрила акриловой кислоты в присутствии окислительно-восстановительной системы гидроперекиси кумола — гидрохинон, проведенные в нейтральной среде, показали, что при всех исследованных соотношениях между концентрациями компонентов окислительно-восстановительной системы не было повышения скорости полимеризации сравнению со скоростью, полученной без восстановителя. Помимо этого, опыты отличались плохой воспроизводимостью.

Таблица 2

Результаты опытов по полимеризации нитрила акриловой кислоты

Концентрация гидроперекиси кумола, моль/л	Концентрация мономера, моль/л	Отношение числа молей гидрохинона к числу молей гидроперекиси	pH	Температура, °C	Начальная скорость полимеризации, моль/л мин·10 <sup>4</sup>
0,0098	0,800	0,50	2,28	60	23,9
0,0092	0,744	2,13	2,30	60	39,2
0,0094	0,783	1,04	2,31	60	34,0
0,0093	0,785	1,05	3,00	60	30,8
0,0096	0,796	1,03	3,54	60	26,0
0,0096	0,796	1,03	1,70	60	23,4
0,0100	0,772	1,03	5,76	60	8,1
0,0096	0,799	1,03	2,32	60	34,0
0,0093	0,790	1,03	2,28	40	17,7
0,0095	0,795	1,03	2,30	50	23,4
0,0096	0,784	1,03	2,28	75	48,6
0,0094	0,206	1,03	2,26	60	6,3
0,0097	0,402	1,03	2,28	60	9,95
0,0096	1,019	1,03	2,30	60	47,0



В дальнейших опытах рН среды был снижен до значений, близких к тем, которые существовали при полимеризации метакриловой кислоты, при помощи уксусной кислоты. В этих условиях были получены заметные кинетические эффекты, оказавшиеся, однако, меньшими, чем при полимеризации метакриловой кислоты. Этого и следовало ожидать, принимая во внимание величины суммарной энергии активации при полимеризации этих двух мономеров с одной только гидроперекисью кумола.

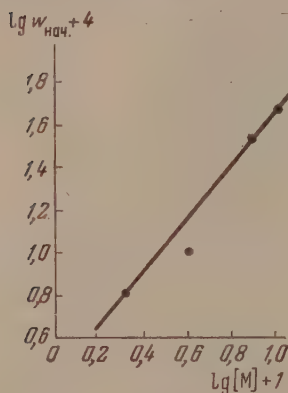


Рис. 2. Порядок реакции по мономеру при полимеризации нитрила акриловой кислоты в присутствии гидроперекиси кумола и гидрохинона

уменьшении рН скорость полимеризации уменьшается. Величина суммарной энергии активации процесса, рассчитанная по уравнению Аррениуса, оказалась равной 6,9 ккал/моль. Эта величина лишь немно-

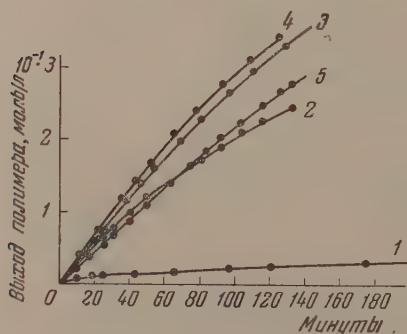


Рис. 3. Кинетические кривые полимеризации нитрила акриловой кислоты в присутствии гидроперекиси кумола и гидрохинона при различных рН: 1—5,76; 2—3,54; 3—3,00; 4—2,31; 5—1,70

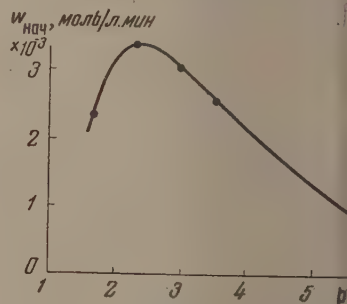


Рис. 4. Зависимость начальной скорости полимеризации нитрила акриловой кислоты от рН среды в присутствии окислительно-восстановительной системы гидроперекись кумола — гидрохинон

отличается от той, которая была получена при оценке температурных коэффициентов в опытах по полимеризации метакриловой кислоты в присутствии той же самой окислительно-восстановительной системы (72 ккал/моль), что позволяет сделать вывод об одинаковом механизме инициирования полимеризации этих двух мономеров в случае применения одинаковых окислительно-восстановительных систем.

Нами были предприняты попытки провести полимеризацию нитрила олеиновой кислоты с системой гидроперекись кумола — гидрохинон органических растворителях — бензоле, ацетоне и диметилформамиде. В этих случаях реакцию кинетически наблюдать не удалось. Лишь слабая опалесценция реакционного раствора свидетельствовала о том, что значительные количества полимера все же образуются.

### ОБСУЖДЕНИЕ РЕЗУЛЬТАТОВ

Полимеризация в присутствии окислительно-восстановительных систем отличается от полимеризации, инициированной перекисными соединениями, лишь природой первичного акта образования в системе свободных радикалов, дающих начало полимеризационным цепям. Соответственно этому здесь можно представить следующий ряд реакций:

1.  $O + B \xrightarrow{k_{O.B}} R^{\cdot} + \text{другие продукты реакции}$  — окислительно-восстановительная реакция — источник бирадикалов.
2.  $R^{\cdot} + M \xrightarrow{k_i} M_1^{\cdot}$  — инициирование.
3.  $M_{n-1}^{\cdot} + M \xrightarrow{k_p} M_n^{\cdot}$  — рост.
4.  $M_p^{\cdot} + M_q^{\cdot} \xrightarrow{k_0} P \text{ или } 2P$  — обрыв.

Для простоты не будем рассматривать ни возможностей так называемой «первичной рекомбинации», ни обрыва цепей на продуктах распада гидроперекиси. Это существенным образом не изменит качественного описания процесса и даст возможность получить простые математические выражения, удобные для анализа.

Пользуясь условиями стационарности, из вышеприведенного механизма можно вывести следующее уравнение зависимости скорости полимеризации от концентраций реагирующих веществ:

$$-\frac{d[M]}{dt} = k_{O.B}^{1/2} \frac{k_p}{k_0^{1/2}} [O]^{1/2} [B]^{1/2} [M]. \quad (1)$$

Рассмотрим частный случай, когда исходные концентрации окислителя и восстановителя равны ( $[O]_0 = [B]_0$ ). Тогда уравнение (1) можно привести к следующему виду:

$$-\frac{d[M]}{dt} = k_{O.B}^{1/2} \frac{k_p}{k_0^{1/2}} \frac{[O]_0 [M]_0}{(1 + k_{O.B} [O]_0 t)^{(k_p/k_{O.B}^{1/2} k_0^{1/2}) + 1}}. \quad (2)$$

Уравнение (2) дает зависимость скорости полимеризации в любой момент реакции от исходных концентраций компонентов полимеризационной системы.

Для начальной скорости полимеризации ( $t = 0$ ) имеем

$$-\frac{d[M]}{dt} = k_{O.B}^{1/2} \frac{k_p}{k_0^{1/2}} [O]_0 [M]_0, \quad (3)$$

т. е. начальная скорость полимеризации тем больше, чем больше скорость окислительно-восстановительной реакции. При  $t \neq 0$  в случае очень медленной окислительно-восстановительной реакции  $k_{O.B} [O]_0 t \ll 1$ , и мы приходим к тому же выражению (3). Если же выбрана очень быстрая окислительно-восстановительная реакция, то по прошествии некоторого незначительного промежутка времени с начала полимеризации  $k_{O.B} [O]_0 t \gg 1$ ,

и уравнение (2) обращается в следующее:

$$-\frac{d[M]}{dt} = \frac{k_p [M]_0}{k_{o.v}^{(k_p/k_{o.v})^{1/2} + 1/2} k_o^{1/2} [O]_0^{k_p/k_{o.v})^{1/2} + 1/2} (k_p/k_{o.v})^{1/2} + 1} \quad (4)$$

Можно сделать вывод, что, начиная с некоторого времени, скорость полимеризации становится тем меньшей, чем больше исходная концентрация данной окислительно-восстановительной системы, а в ряду различных окислительно-восстановительных реакций, чем больше константа скорости этой реакции. При достаточно быстрых окислительно-восстановительных реакциях может случиться, что скорость полимеризации будет падать во времени настолько резко, что полимеризация практически остановится задолго до исчерпывания мономера ввиду преждевременного исчерпывания компонентов окислительно-восстановительной системы. Такой случай и имеет место в данной работе при использовании в качестве восстановителя сульфата двувалентного железа. Применение ферроцианида калия дает возможность получить значительно больший выход полимера ввиду меньшей скорости окислительно-восстановительного взаимодействия в этом случае, что несколько замедляет исчерпывание иницирующей системы. При применении же железо-пирофосфатного комплекса в качестве восстановителя скорость окислительно-восстановительного взаимодействия определялась скоростью диффузии двувалентного железа в раствор из осадка, и в этих условиях существовали благоприятные возможности для полного завершения полимеризации.

Эффект уменьшения скорости во времени будет еще более значительным, если учесть, что при больших концентрациях радикалов в системе должна значительно снизиться эффективность иницирования за счет непроизводительного, с точки зрения полимеризации, расхода радикалов в реакциях между собою.

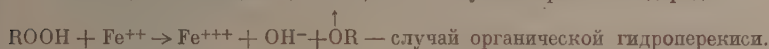
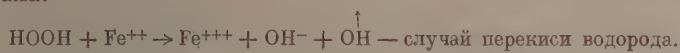
При проведении полимеризации нас может интересовать не только обеспечение максимальной скорости в какой-то момент реакции, но и обеспечение большого выхода полимера. Можно легко показать, что даже при эффективности иницирования, равной единице, при проведении полимеризации с двумя различными окислительно-восстановительными системами кинетические кривые в какой-то момент реакции пересекаются, т. е. до этого момента для получения большего выхода выгоднее применять более быструю окислительно-восстановительную реакцию, а по истечении его — более медленную. Найти этот момент для любой пары иницирующих систем можно, проинтегрировав уравнение (2), определив зависимость выхода полимера от времени и решив его относительно времени при равных выходах полимера:

$$(k'_{o.v})^{1/2} \lg(1 + k''_{o.v} [O]_0 t) = (k''_{o.v})^{1/2} \lg(1 + k'_{o.v} [O]_0 t). \quad (5)$$

Таким образом ясно, что при применении в качестве инициаторов полимеризации окислительно-восстановительных систем необходимо подбирать оптимальные скорости окислительно-восстановительной реакции или с учетом подыскания сравнительно медленных реакций, или же путем создания оптимальных концентраций реагентов в окислительно-восстановительной системе.

Кроме этих вопросов, здесь уместно еще поставить вопрос о природе реагирующих веществ в окислительно-восстановительных реакциях. Никаких сомнений, что в случае применения неорганических восстановителей типа солей двувалентного железа и других окислительно-восстановительные реакции имеют ионную природу. Здесь реакция заключается просто в переходе электрона от иона переменной валентности к перекиси. О—О связи с образованием из молекулы перекисного соединения по-

радикала:

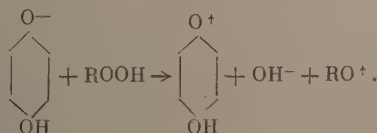


кие реакции подвергались довольно подробному изучению рядом исследователей [2]. Такой путь реакции представляется весьма выгодным, так как затраты энергии на образование радикалов в значительной степени компенсируются за счет гидратации иона гидроксила (116 ккал/г-ион [3]).

Рассматривая результаты опытов по полимеризации с иницирующей системой гидроперекись кумола — гидрохинон, можно прийти к аналогичному выводу, что восстановитель и в данном случае вступает в реакцию в ионизированной форме. Во-первых, в пользу этого свидетельствует незначительная величина суммарной энергии активации при полимеризации как метакриловой кислоты, так и нитрила акриловой кислоты (7,2 и 6,9 ккал/моль, соответственно). Во-вторых, скорость полимеризации метакриловой кислоты в присутствии системы гидроперекись кумола — гидрохинон не соответствует скорости, рассчитанной по разнице в энергиях активации процессов полимеризации с одной лишь гидроперекисью и с окислительно-восстановительной системой. Так, удельная скорость полимеризации метакриловой кислоты, рассчитанная для 20°C температурной зависимости, равна  $5,38 \cdot 10^{-4}$  л/моль·мин. Расчет по энергиям активации (принимая предэкспоненциальные члены в уравнениях Аррениуса равными) для реакции, инициированной гидроперекисью кумола и гидрохиноном, дает величину удельной скорости

$$3,33 \cdot 10^{-4} \cdot e^{\frac{19000 - 6900}{2 \cdot 293}} = 9,6 \cdot 10^5 \text{ л / моль} \cdot \text{мин.}$$

Отнесение же экспериментально найденной величины скорости к единице концентрации мономера, гидроперекиси и ионов гидрохинона (при 20°C последняя равна  $6,8 \cdot 10^{-11}$ , принимая  $K_1 = 4,5 \cdot 10^{-11}$  [4] и pH в соответствующем растворе метакриловой кислоты равным двум) дает  $2,8 \cdot 10^4$  моль·мин, что совпадает с точностью до 1—2 порядков с рассчитанной величиной. Эту разницу можно отнести за счет несовпадения величин предэкспоненциальных членов в уравнениях для реакций мономолекулярного распада гидроперекиси и взаимодействия ее с гидрохиноном. В-третьих, при полимеризации нитрила акриловой кислоты с данной системой была получена зависимость скорости реакции от pH среды, которую можно объяснить лишь в том случае, если принять, что гидрохинон реагирует в ионизированной форме, причем следует учитывать влияние концентрации родственных ионов не только на степень диссоциации гидрохинона, но и возможное ее влияние на скорость самой окислительно-восстановительной реакции, в которой образуются ионы гидроксила:



В-четвертых, отсутствие заметной полимеризации нитрила акриловой кислоты в органических растворителях в присутствии данной системы, т.е. в условиях, не благоприятных для ионизации гидрохинона.

Результаты, полученные с гидрохиноном, служат дополнительным подтверждением к выводу об окислительно-восстановительной природе инициирования полимеризации нитрила акриловой кислоты в [1].



## ВЫВОДЫ

1. Проведено сравнительное изучение некоторых окислительно-восстановительных систем, как инициаторов полимеризации метакриловой кислоты в водном растворе.

2. Изучено иницирующее действие системы гидроперекись кумола — гидрохинон на полимеризацию нитрила акриловой кислоты в водном растворе.

3. Установлены факты значительного увеличения скорости полимеризации при помощи окислительно-восстановительных систем.

4. На основании анализа экспериментальных данных и выведенного уравнения для скорости полимеризации в присутствии окислительно-восстановительных систем показано, что для обеспечения больших выходов полимера на непродолжительные промежутки времени необходимо подобрать оптимальные скорости окислительно-восстановительных реакций. Слишком малые их скорости приводят к образованию малых концентраций радикалов, в результате чего полимеризация будет протекать с малой скоростью; слишком большие скорости приводят к преждевременному истощению иницирующей системы.

5. Сделан вывод, что в случае органических восстановителей, например гидрохинона, окислительно-восстановительная реакция состоит во взаимодействии гидроперекиси с ионизированной формой восстановителя, как это имеет место и при применении неорганических восстановителей.

Все сказанное выше приводит к заключению, что влияние свойств водной среды, в которой протекают процессы эмульсионной полимеризации, состоит из наличия условий для протекания ионных реакций, требующих малых энергий активации, что ведет к значительному снижению суммарной энергии активации процесса полимеризации и, следовательно, к его интенсификации при применении окислительно-восстановительных систем в качестве инициаторов.

Физико-химический институт  
им. Л. Я. Карпова  
Москва

Поступила  
2. VII. 1955

## ЛИТЕРАТУРА

1. Т. М. Гриценко, С. С. Медведев, Журн. физ. химии, **30**, 1238, 1956.
2. F. Haber, J. Weiss, Proc. Roy. Soc., **A147**, 332, 1939; J. H. Baxendale, M. G. Evans, G. S. Park, Trans. Farad. Soc., **42**, 155, 1946; I. M. Kolthoff, A. I. Medalia, Journ. Amer. Chem. Soc., **71**, 3789, 1949; J. W. L. Fordham, H. L. Williams, Journ. Amer. Chem. Soc., **72**, 4465, 1950; **73**, 1634, 1951.
3. К. П. Мищенко, Журн. физ. химии, **26**, 1736, 1952.
4. Справочник химика, т. III. Госхимиздат, Л. — М., 1953.

## ИЗУЧЕНИЕ ПРОЦЕССОВ ВОССТАНОВЛЕНИЯ И ЭЛЕКТРОВОССТАНОВЛЕНИЯ АЛЛИЛОВОГО СПИРТА НА ПЛАТИНИРОВАННОЙ ПЛАТИНЕ

Ю. А. Подвязкин и А. И. Шлыгин

В ряде работ А. И. Шлыгина с сотрудниками была показана эффективность применения новых электрохимических методик к решению некоторых вопросов адсорбции и катализа [1—4].

В настоящем исследовании была поставлена задача изучения указанными методами механизма электровосстановления и восстановления аллилового спирта. Методика эксперимента изложена в одной из предыдущих работ [1].

Были изучены реакция восстановления в адсорбционном слое водорода, скорость электровосстановления, адсорбционная способность и скорость сорбции аллилового спирта, влияние состава электролита.

Обычно процесс электровосстановления изучался в зоне перенапряжения; в отличие от этого в данном исследовании восстановление проводилось в зоне потенциала анодное обратимого водородного значения.

### ЭКСПЕРИМЕНТАЛЬНАЯ ЧАСТЬ

При восстановлении аллилового спирта в адсорбционном слое водорода, так же как и в последующих опытах, электродом-катализатором служила платинированная платина. Предварительно снималась так называемая кривая заряжения, при помощи которой определялась величина истинной поверхности и адсорбционная способность электрода по водороду. После насыщения электрода водородом и удаления избытка последнего из раствора продуванием очищенного азота вносилось определенное количество аллилового спирта определялось изменение потенциала катализатора во времени.

Результаты эксперимента отражены на рис. 1 (кривые 1 и 2).

Как видно из рисунка, при введении в систему органического компонента реакции, имеет место резкое изменение потенциала, что естественно объяснить протеканием реакции между адсорбированным на платине водородом и молекулами аллилового спирта, так как смещение потенциала в анодную сторону указывает на уменьшение количества адсорбированного водорода на поверхности электрода. Действительно, указанное воздействие в адсорбционном слое водорода было установлено одним из нас при исследовании гидрирования диметилацетиленилкарбинола [2]. Однако при введении аллилового спирта нами было замечено явное деление пузырьков водорода с поверхности электрода, особенно резко выраженное при применении в качестве электролита серной кислоты. Аналогичное явление было установлено А. И. Шлыгиным при нанесении суммы на насыщенный водородом палладиевый электрод [5]. Необходимо отметить, что эффект вытеснения адсорбированного водорода зависит от концентрации вводимого аллилового спирта. Полное вытеснение достигается при концентрации аллилового спирта 0,0015 моль/л.

Влияние электролита сказывается не только в этом процессе. Как следует из рассмотрения соответствующих кривых, изменение потенциала при введении органического компонента в кислой среде достигает 0,25 В, во время как в щелочной — лишь 0,16 В.

Исследование адсорбционной способности и скорости адсорбции аллилового спирта осно-

вано на том, что при введении органического вещества на полностью дегазированную поверхность должно наблюдаться изменение потенциала как вследствие ориентации при адсорбции молекул, обладающих дипольным моментом, так и уменьшения емкости двойного слоя.

Дегазация поверхности производилась электрохимическим путем при помощи анодной поляризации электрода до потенциала  $+0,6$  V, после чего в электролит вводился аллиловый спирт и определялось изменение потенциала во времени.

Определение адсорбционной способности нами производилось по количеству электричества, потреблявшегося при электроокислении аллилового спирта, находящегося только на электроде в адсорбированном состоянии.

Результаты эксперимента представлены на рис. 1 кривыми 3 и 4.

Резкое изменение потенциала при введении органического компонента указывает на наличие адсорбции, протекающей со значительной скоростью.

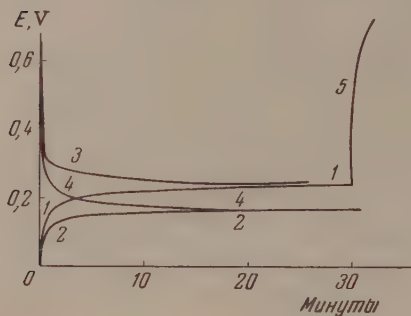


Рис. 1. Кривые 1, 3, 5 соответствуют раствору  $0,1N$   $H_2SO_4$ ; 2, 4— $0,1N$   $NaOH$

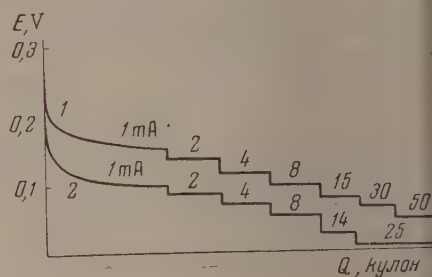


Рис. 2. Электровосстановление аллилового спирта: 1 — раствор  $0,1N$   $H_2SO_4$ ; 2 —  $0,1N$   $NaOH$

Смещение в катодную сторону, повидимому, обусловлено ориентацией молекул группой  $OH$  к поверхности.

Электровосстановление аллилового спирта изучалось при помощи снятия поляризационных кривых, причем опыты производились в области до обратимого водородного потенциала, что было возможно благодаря большой истинной поверхности электрода ( $10000\text{ см}^2$ ). Вследствие этого истинная плотность тока в опытах не превышала  $5 \cdot 10^{-6} A$ .

Результаты эксперимента отражены на рис. 2.

Интересно отметить, что еще анодное обратимое водородное потенциала наблюдается явное выделение пузырьков водорода как в кислом, так и в щелочном растворе.

## ОБСУЖДЕНИЕ РЕЗУЛЬТАТОВ

По реакции в адсорбционном слое водорода мы судим о кинетике взаимодействия аллилового спирта и адсорбированного водорода. Как видно из кривой 1 (рис. 1), скорость реакции в начальный момент времени очень велика; уже в первую минуту снимается с электрода более половины водорода. Поскольку конечное значение потенциала в кислоте равняется  $0,25$  V, естественно предположить, что не весь водород, находящийся на электроде, активен, так как из соответствующей кривой заряжения следует, что полное снятие водорода имеет место лишь по достижении потенциала  $0,35$  V. Для доказательства справедливости этого положения после прекращения реакции в адсорбционном слое от потенциала  $0,25$  V нами была снята кривая анодного заряжения (кривая 5, рис. 1). При включении анодной поляризации потенциал резко меняется до значения  $0,7$  V, причем емкость оказывается даже меньшей, чем емкость обычного двойного слоя; что полностью доказывает отсутствие адсорбированного водорода на электроде.

Это обстоятельство, очевидно, обусловлено тем, что в присутствии органического вещества снижается энергия связи адсорбированного водорода, вследствие чего кривая заряжения при наличии адсорбированных органических молекул должна идти ниже, и весь водород должен сняться при потенциале 0,25 В. Действительно, при снятии катодной кривой заряжения в кислоте в присутствии аллилового спирта, т. е. когда последний присутствует на электроде только в адсорбционном слое, но не в растворе, водородная область кривой заключается в интервале 0—0,25 В.

Доказательством правильности нашего соображения является полное совпадение кривых 1 и 3 и соответственно 2 и 4 на рис. 1. Поскольку предельные значения потенциала кривых 3 и 4 соответствуют наличию на поверхности электрода лишь ориентированных молекул аллилового спирта, то это совпадение свидетельствует об отсутствии водорода и при том же предельном значении потенциала в случае кривых 1 и 2. Потенциалы 0,25 В для кислоты и 0,16 В для щелочи, очевидно, характеризуют скачок потенциала в адсорбционном слое аллилового спирта при полном насыщении поверхности. Влияние состава электролита довольно существенно, что может быть обусловлено как изменением энергии связи адсорбированного водорода, так и поведением аллилового спирта.

Интересно построить обычные кинетические кривые, показывающие изменение количества адсорбированного водорода во времени при действии органического компонента реакции. Для этого достаточно пересчитать значения потенциала соответствующих кривых 1 и 2 рис. 1 на количество водорода при помощи кривых заряжения, снятых в условиях наличия органического вещества. Эти кривые представлены на рис. 3, из которых следует, что скорость процесса в адсорбционном слое практически одинакова.

Однако, поскольку в случае кислоты имеет место явное вытеснение адсорбированного водорода, в то время как в щелочи это явление выражено слабо, можно предполагать, что активность катализатора в отношении гидрирования в щелочной среде должна быть большей, чем в кислой.

Действительно, по нашим опытам на платиновой черни при концентрации аллилового спирта, соответствующей 1 %-ному раствору, скорость гидрирования в щелочной среде —  $14,7 \text{ см}^3 \text{H}_2/\text{мин.}$ , в кислой —  $5 \text{ см}^3 \text{H}_2/\text{мин.}$

Ход кривых 3 и 4 рис. 1 свидетельствует о большой скорости процесса адсорбции. Из данных по электроокислению в слое было определено предельное количество адсорбированных на электроде молекул, соответствующее приблизительно  $2,5 \cdot 10^{18}$  в кислоте и  $1,0 \cdot 10^{18}$  в щелочи. Считая, что при адсорбции органического вещества, молекулы которого обладают дипольным моментом, изменение потенциала пропорционально количеству адсорбированных молекул, можно приблизительно оценить скорость адсорбции. Оказывается, что в первую минуту контакта в растворе кислоты адсорбируется 80%, а в щелочи 65% от предельного количества.

Эффект смещения потенциала в щелочном растворе больше, чем в кислом. Объяснить это обстоятельство большой поверхностной плотностью окрытия электрода молекулами органического вещества не представляется возможным, поскольку показано, что адсорбция аллилового спирта в щелочном растворе меньше.

По нашему мнению, это явление обусловлено тем обстоятельством,

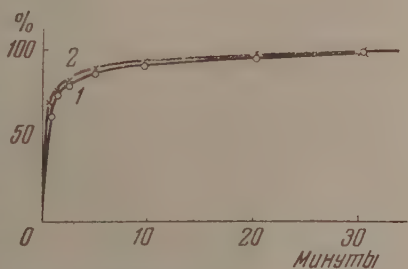


Рис. 3. Кинетика удаления водорода с электрода. 1 — раствор 0,1N  $\text{H}_2\text{SO}_4$ ; 2 — 0,1N  $\text{NaOH}$



что при потенциале 0,6 V платина в кислом растворе заряжена положительно, в то время как в щелочном заряд поверхности отрицателен. Поскольку при адсорбции органического вещества имеет место как эффект смещения потенциала за счет адсорбции молекул, обладающих дипольным моментом, так и одновременное уменьшение емкости, то очевидно, что в щелочном растворе оба эти эффекта складываются, в то время как в кислом растворе изменение потенциала, вызываемое адсорбируемыми диполями, уменьшено за счет его одновременного смещения в анодную сторону вследствие уменьшения емкости.

Ход поляризационных кривых электрогидрирования (рис. 2) показывает, что в присутствии аллилового спирта разряд ионов гидроксония имеет место при гораздо более катодных потенциалах, чем в чистых электролитах. Например, процесс электровосстановления в  $\text{H}_2\text{SO}_4$  при силе тока 1 mA начинается при 0,2 V, в то время как в отсутствие аллилового спирта соответствующее значение 0,33 V. Это явление указывает на снижение энергии связи адсорбированного водорода за счет аллилового спирта, что естественно, поскольку адсорбированный водород находится в поляризованном состоянии, а адсорбированные молекулы аллилового спирта обладают дипольным моментом.

В случае электрогидрирования аллилового спирта наблюдается интересное явление видимого выделения пузырьков водорода при потенциале 0,15 V, т. е. гораздо более анодном обратимого водородного потенциала, в данном растворе.

Очевидно, на тех участках поверхности, где происходит выделение газа истинное значение потенциала даже несколько отрицательнее обратимого водородного. Измеряемый же нами более анодный потенциал обусловлен, по видимому, тем, что на участках поверхности, где имеются адсорбированные дипольные молекулы аллилового спирта, имеет место другой потенциал, значение которого примерно равно 0,25 V в кислом растворе и 0,16 V в щелочном. Таким образом, поскольку эти участки на короткое замыканы через поверхность металла, практически измеряется какое-то суммарное среднее значение потенциала электрода.

В связи со сложностью протекания катодного процесса в присутствии аллилового спирта поляризационные кривые, снимавшиеся последовательно, несколько отличаются друг от друга. Так, в частности, потенциал начала электровосстановления аллилового спирта может меняться в интервале 0,22—0,14 V в кислом и 0,115—0,095 V в щелочном растворах, однако, это обстоятельство не затрагивает основных моментов наших рассуждений.

Сравнение поляризационных кривых 1 и 2 на рис. 2 показывает, что в щелочном растворе поляризационная кривая идет значительно ниже. Отсюда можно было бы сделать заключение, что скорость электровосстановления аллилового спирта в щелочи меньше, чем в кислоте. Однако при проведении электрогидрирования нами установлено, что выделение водорода в кислом растворе происходит более интенсивно, чем в щелочном. Так, при силе поляризующего тока в 15 mA в кислоте выход по току 65%, в то время как в щелочи он достигает 80%.

Таким образом для реакции электрогидрирования аллилового спирта увеличение энергии связи адсорбированного водорода, что имеет место в щелочном растворе, сказывается положительным образом, так как приводит к увеличению его поверхностной концентрации.

Это утверждение находится в противоречии с положением, высказанным ранее одним из нас ([1], стр. 332), что для электрогидрирования наиболее активен водород с малой энергией связи. Очевидно, надо признать, что при трактовке этого вопроса необходимо учитывать и специфику органического компонента реакции.

Также необходимо отметить факт явного соответствия между вытеснением аллиловым спиртом водорода из адсорбционного слоя (соответствующим

нее изменение потенциала 0—0,22 V) и выделением водорода в виде газа при катодной поляризации в той же зоне до обратимого водородного потенциала.

### ВЫВОДЫ

1. Исследован процесс восстановления и электровосстановления аллилового спирта на платиновом электроде.

2. Показано, что при взаимодействии аллилового спирта с адсорбированным водородом одновременно протекают как процесс гидрирования, так и процесс вытеснения адсорбированного водорода, причем в кислом растворе преобладает эффект вытеснения, а в щелочном, в основном, протекает процесс гидрирования.

3. Установлен факт видимого выделения газообразного водорода при электровосстановлении аллилового спирта при потенциале более анодном, чем обратимый водородный в данном растворе, и высказано предположение о причинах данного явления.

Московский государственный  
университет им. М. В. Ломоносова

Поступила  
5. VII. 1955

### ЛИТЕРАТУРА

1. А. И. Шлыгин, Труды Совещания по электрохимии, Изд-во АН СССР, 1953, стр. 322—334.
2. Н. Г. Пермитина и А. И. Шлыгин, Журн. физ. химии, **26**, 874, 1952.
3. Н. Г. Пермитина и А. И. Шлыгин, Журн. физ. химии, **26**, 956, 1952.
4. А. И. Шлыгин и М. Е. Менжелей, Уч. зап. Казанск. гос. ун-та, **7**, 13, 1953.
5. А. И. Шлыгин, Уч. зап. Казахск. гос. ун-та, **139**, вып. 2, 1951.

## НЕКОТОРЫЕ КРИСТАЛЛОХИМИЧЕСКИЕ ОСОБЕННОСТИ СИЛИЦИДОВ ПЕРЕХОДНЫХ МЕТАЛЛОВ

*Я. С. Уманский и Г. В. Самсонов*

Силициды переходных металлов по ряду физико-химических свойств подобны карбидам, нитридам и особенно боридам. Силициды являются металлическими соединениями, обладают довольно высокой электропроводностью [1], способностью переходить в сверхпроводящее состояние [2], имеют характер температурного изменения термо-э. д. с. в парах с металлами, свойственный парам металлов [3], не говоря уже о чисто внешних признаках — металлическом блеске, характере излома и т. п.

Металлическая природа силицидов связана с образованием между атомами переходных металлов и кремния общего электронного ансамбля, преимущественно принадлежащего атомам металла. Представления об электронном строении силицидов развиты Вальльбаумом [4]. Первый ионизационный потенциал кремния, являющегося, как известно, полупроводником, составляет всего 7,39 eV по сравнению с 8,4 eV для бора, 11,22 eV для углерода и 14,47 eV для азота. Таким образом передача электронов в общий электронный ансамбль атомами кремния при его взаимодействии с переходными металлами происходит еще легче, чем в случае бора.

Однако силициды, в отличие от карбидов и нитридов, а также некоторых боридов, не могут быть отнесены к соединениям типа фаз внедрения, под которыми подразумеваются фазы, образованные при внедрении металлоидов с малыми атомными радиусами (удовлетворяющими условию Хэгга  $r_{\text{X}} : r_{\text{Me}} < 0,59$ ) в октаэдрические или тетраэдрические поры гексагональной и кубической решеток металлов [5]. Решетки металлов при внедрении металлоидных атомов или вообще не изменяются, или перестраиваются незначительно, вновь с образованием простых структур — гране- и объемно-центрированной, — а также простой и компактной гексагональной решетки.

Отношения радиусов крупных атомов кремния (1,17 Å) к радиусам атомов переходных металлов, приведенные в таблице, значительно превышают хэгговское критическое значение 0,59 и в ряде случаев близки к единице.

Отношение радиуса атома кремния к радиусам атомов переходных металлов

Металл $r_{\text{Si}} : r_{\text{Me}}$	Sc	Ti	V	Cr	Mn	Fe	Co	Ni
	0,72	0,79	0,87	0,92	0,93	0,93	0,94	0,95
	V	Zr	Nb	Mo	Tc	Ru	Rh	Pd
	0,65	0,73	0,80	0,84	—	0,87	0,87	0,86
	La—Lu	Hf	Ta	W	Re	Os	Ir	Pt
	0,62— 0,67	0,74	0,80	0,84	0,85	0,87	0,86	0,84
	Ac	Th	Re	U	—	—	—	—
	—	0,65	—	0,77	—	—	—	—

Это обуславливает не внедрение, а замещение металлических атомов атомами кремния. В согласии с классическими правилами изоморфизма

мещение приводит к образованию металлических структур при  $r_{\text{Me}} \geq 0,84-0,85$  и содержаниях кремния порядка 25—30 ат. %.

При более высоких содержаниях кремния, а также для металлов, имеющих большие атомные радиусы (Sc, V, лантаниды, Ti, Zr, Hf, Nb, Ta, H, U, актиниды), замещение металлических атомов кремнием приводит к существенному изменению типа решетки и образованию сложных структур, в которых значительную роль играют ковалентные связи между атомами кремния. С уменьшением значения отношения  $r_{\text{Si}} : r_{\text{Me}}$  стремление к образованию сложных структур увеличивается, а для силицидов металлов с  $r_{\text{Si}} : r_{\text{Me}} > 0,84-0,85$  с увеличением этого отношения структурные элементы из атомов кремния упрощаются. Так, наиболее сложная карбоидная конфигурация атомов Si обнаружена только для силицидов лантанидов ( $r_{\text{Si}} : r_{\text{Me}} = 0,62-0,67$ ), тория (0,65), урана (0,77), а также непутия и плутония; слоистые элементы структуры из атомов Si — для дисилицидов Zr, V, Cr, Nb и Ta; цепочные — для силицидов Ti, Co, Mn и Fe; структурные элементы из изолированных пар атомов кремния — у высших силицидов железа [6].

Силицид железа  $\text{Fe}_3\text{Si}$  является сверхструктурой, образующейся при упорядоченном распределении атомов Si в решетке  $\alpha\text{-Fe}$  (растворимость в  $\alpha\text{-Fe}$  составляет около 33 ат. %).

Силициды  $\text{Ni}_3\text{Si}$  и  $\text{Co}_3\text{Si}$  обладают сверхструктурами типа  $\text{Cu}_3\text{Au}$  на основе кубической гранецентрированной решетки, у силицида меди  $\text{Cu}_5\text{Si}$  — решетка типа  $\beta\text{-марганца}$ .

Фаза  $\text{Cu}_5\text{Si}$  — типичное электронное соединение («фаза Юм—Розери») с электронной концентрацией  $3/2$ .

Силициды  $\text{V}_3\text{Si}$ ,  $\text{Cr}_3\text{Si}$ ,  $\text{Mo}_3\text{Si}$  и  $\text{Mn}_3\text{Si}$  построены по типу  $\beta\text{-W}$ , где каждый атом металла находится в центре неправильного тетраэдра из атомов кремния, а каждый атом кремния окружен 12 атомами металла, образующими икосаэдр.

Большая компактность решетки подчеркивает металлический характер связи  $\text{Me—Si}$  в силицидах со структурой  $\beta\text{-W}$ . Силицид урана, имеющий такой же атомный состав ( $\text{U}_3\text{Si}$ ), но  $r_{\text{Si}} : r_{\text{U}} = 0,77$ , имеет тетрагональную кристаллическую решетку. С достаточной уверенностью можно сказать, что по типу  $\beta\text{-W}$  кристаллизуются также еще не исследованные фазы  $\text{Os}_3\text{Si}$ ,  $\text{Re}_3\text{Si}$  и  $\text{W}_3\text{Si}$  и, возможно, некоторые фазы  $\text{Me}_3\text{Si}$  платиноидов (кроме самой платины), которые также пока не обнаружены [7].

Все подобные фазы должны иметь дополнительные зоны Бриллюэна, т. е. более сильную связь электронов и соответственно низкое электросопротивление и способность переходить в сверхпроводящее состояние при более высоких температурах, чем другие, более сложные в структурном отношении силицидные фазы. Действительно силициды со структурой  $\beta\text{-W}$  имеют довольно высокие точки перехода, например  $\text{V}_3\text{Si}$  17° K,  $\text{Cr}_3\text{Si}$  1,3° K и т. п. [2]. Другие же силицидные фазы если и становятся сверхпроводниками, то только при температуре  $< 1,2^\circ\text{K}$ .

Точки перехода в состояние сверхпроводимости фаз  $\text{Cr}_3\text{Si}$ ,  $\text{Mn}_3\text{Si}$ ,  $\text{Fe}_3\text{Si}$ ,  $\text{Co}_3\text{Si}$ ,  $\text{Ni}_3\text{Si}$  не установлены, но можно предполагать, что они низки (как это уже показано для  $\text{Cr}_3\text{Si}$ , имеющего  $T_n < 1,2^\circ\text{K}$ ), так как при прочих равных условиях эти металлы имеют более заполненные  $d$ -уровни, т. е. малые значения  $1/Nn$ , где  $n$  — число электронов на дефектном  $d$ -уровне, а  $N$  — главное квантовое число этого уровня, что должно приводить к образованию более узких  $sd$ -полос и высокому сопротивлению таких фаз.

С повышением содержания Si в силицидных фазах связь между металлическими атомами ослабляется и во многих дисилицидах (например,  $\text{U—Si}_2$ ,  $\text{CrSi}_2$  и т. п.) практически отсутствует, в отличие от изоморфных им диборидов. Например, расстояние  $\text{U—U}$  в  $\beta\text{-USi}_2$  составляет 3,85 Å, в  $\text{U—B}_2$  — 3,18 Å [8].

По данным Н. И. Курнакова [9] с увеличением содержания кремния



в силицидах хрома электросопротивление резко увеличивается со скачками между  $\text{Cr}_3\text{Si}$  и  $\text{Cr}_3\text{Si}_2$  и  $\text{CrSi}$  и  $\text{CrSi}_2$ :

Фаза	$\text{Cr}_3\text{Si}$	$\text{Cr}_3\text{Si}_2$	$\text{CrSi}$	$\text{CrSi}_2$
Удельное электросопротивление $\mu\Omega \text{ см}$	45,5	114	143	>250

Тенденция к исчезновению связи  $\text{Me} - \text{Me}$  и стремление к образованию силицидов строго определенного состава возрастают с переходом от силицидов IV и V групп к силицидам металлов VI—VIII групп. Образующие при этом структуры силицидов подобны структурам соединений переходных металлов с элементами четных подгрупп периодической системы (Sn, Pb, As, Sb, Bi, S, Se, Te), например силицид никеля  $\text{NiSi}$  имеет структуру  $\text{NiAs}$  [10, 11]. Соединения этого типа имеют электропроводность с минимумом, соответствующим стехиометрическому составу, а также они диамагнитны, отличаясь в этом отношении от парамагнитных фаз внедрения.

В связи с вышесказанным целесообразно классифицировать силициды на две группы — силициды с металлическими структурами и силициды со сложными структурами, образованными при замещении, связанном с коренной перестройкой решетки металла и образованием структурных элементов из изолированных пар, цепочек, слоев или каркасов из атомов кремния.

### ВЫВОДЫ

1. Показано, что силициды переходных металлов являются фазами замещения атомов металлических решеток атомами кремния.

2. При содержаниях до 25—30 ат. % замещение приводит к образованию металлических структур, а при более высоких содержаниях кремния и больших радиусах атомов металлов образуются фазы со сложными структурами: с уменьшением отношения радиуса атома кремния к радиусу атома переходного металла тенденция к образованию сложных структур увеличивается.

3. В соответствии с этим предложено классифицировать силициды на две группы: фазы с металлическими структурами и силициды со сложными структурами, образованными при замещении, связанном с появлением структурных элементов из атомов кремния (пар, цепочек, слоев или каркасов).

Институт стали  
Институт цветных металлов  
и золота  
Москва

Поступила  
14. VII. 1955

### ЛИТЕРАТУРА

1. R. Kieffer, P. Schwarzkopf, Hartstoffe und Hartmetalle, Berlin, 1954.
2. G. Hardy, J. Hulm, Phys. Rev., 89, 884, 1953.
3. M. Arvin, Journ. Appl. Phys., 24, 498, 1953.
4. H. Wallbaum, Zs. Metallkunde, 33, 378, 1941.
5. G. Hägg, Zs. phys. Chem., B12, 33, 1931.
6. Г. Б. Бокий, Введение в кристаллохимию, Изд-во МГУ, 1954, стр. 327.
7. J. Buddery, A. Welch, Nature, 167, 362, 1951.
8. W. Zachariasen, Acta Crystallogr., 2, 94, 1949.
9. Н. Н. Курнаков, Изв. Сект. физ.-хим. анализа, ИОНХ АН СССР, 16, 1951.
10. K. Toman, Acta Crystallogr., 4, 462, 1951.
11. R. Kiessling, Fortschr. der chem. Forschung, 3, 41, 1954.

## О ВЗАИМНОЙ РАСТВОРИМОСТИ ПОЛИМЕРОВ

### ФИЗИКО-МЕХАНИЧЕСКИЕ СВОЙСТВА РЕЗИН, ПОЛУЧЕННЫХ НА ОСНОВЕ КОМБИНАЦИИ РАЗЛИЧНЫХ КАУЧУКОВ

*Н. Ф. Комская и Г. Л. Слонимский*

За последние годы непрерывно расширяется применение смесей различных полимеров для изготовления изделий, обладающих желательной комбинацией свойств, не встречающейся у чистых полимеров. Поэтому возникла потребность в детальном изучении свойств смесей полимеров и в развитии основ теории, которая позволила бы сознательно подходить к выбору смешиваемых полимеров при решении практических задач. Целью нашей работы было изучение основных закономерностей смешения полимеров на примере смешения каучуков. Кроме того, большой практический и теоретический интерес представляло исследование зависимости механических свойств резин от типа и соотношения смешиваемых каучуков.

Каучуки, как известно, являются жидкими фазами и их растворение в низкомолекулярных растворителях можно рассматривать с термодинамической точки зрения как смешение двух жидких фаз [1]. Совершенно ясно, что смешение двух аморфных полимеров, в частности двух каучуков, также должно рассматриваться как взаимное растворение двух жидких фаз. Существенной особенностью таких систем является огромная вязкость обоих компонентов раствора (смеси полимеров), приводящая к весьма своеобразным явлениям, обусловленным цепным строением больших молекул полимеров. Проведенное нами ранее исследование [2] свойств смесей двух каучуков, а также резин, полученных на основе таких смесей, показало правильность такого подхода к явлению смешения полимеров и позволило выяснить основные закономерности взаимной растворимости аморфных полимеров. Измерения теплот смешения полимеров друг с другом, произведенные [3] для многих пар полимеров, подтвердили этот вывод и позволили понять особенности взаимной растворимости полимеров, связанные с цепным строением их молекул. В связи с все возрастающим интересом к проблеме смешения полимеров, проявляющимся в увеличении числа работ, посвященных этому вопросу [4—8], мы сочли необходимым опубликовать более подробное изложение наших результатов, так как работы [2, 3] мало доступны.

**Объекты исследования и их получение.** Для исследований были выбраны каучуки, различающиеся по химическому составу и структуре, а именно: натуральный каучук (НК), бутадиеновый каучук (СКБ), бутадиен-стирольные каучуки (СКС-30 и СКС-10) и бутадиен-нитрильный каучук (СН-18). Каждый каучук изучался как самостоятельно, так и в комбинациях со всеми другими каучуками. Рецепты резиновых смесей были выбраны типовые с содержанием капальной сажи 0 вес. частей на 100 вес. частей каучука (или смеси каучуков) и с одностипольной вулканизующей группой, содержавшей серу и каптакс.

Смеси изготовлялись на вальцах в два приема. Сначала в каждый каучук отдельно вводились все ингредиенты. Затем полученные маточные смеси развешивались в нужных соотношениях и перемешивались на вальцах в течение 15 мин. Такой метод изготовления смесей обеспечивал наи-

более полное и равномерное распределение ингредиентов в каучуках и их взаимное перемешивание.

Смеси каучуков, сырые резиновые смеси, изготовленные на основе комбинации каучуков, и полученные из них резины были подвергнуты исследованиям. В данной работе приведены результаты, полученные при исследовании таких резин при помощи обычных стандартных методов физико-механических испытаний резин и сырых резиновых смесей [9].

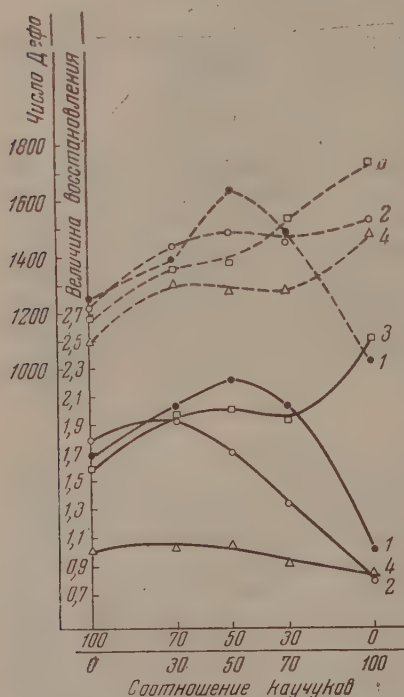


Рис. 1. Пласто-эластические свойства комбинированных сырых резиновых смесей, 1 — СКС-30 + СКБ; 2 — СКС-30 + НК; 3 — СКС-30 + СКС-10; 4 — СКБ + НК. Сплошные линии — величина восстановления; пунктир — число Дефо

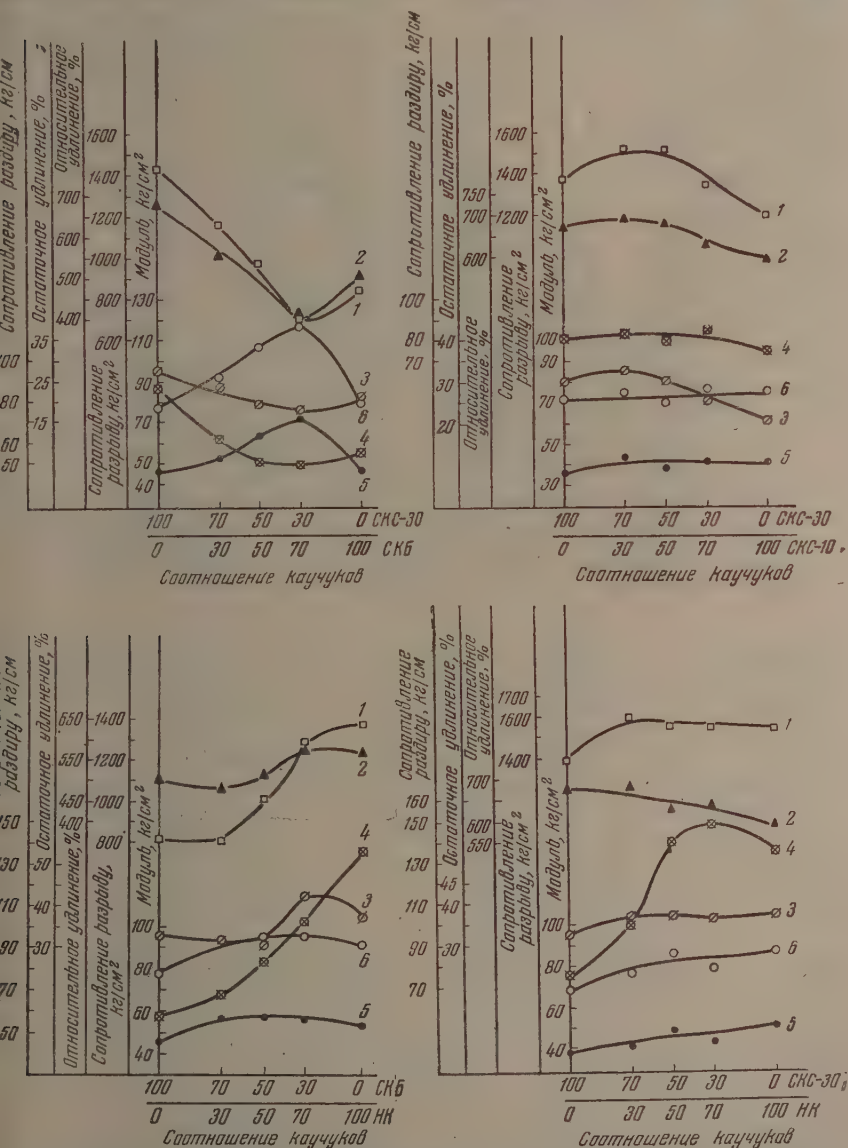
Результаты измерения и т. д. Важнейшей контрольной операцией, осуществляющейся в процессе изготовления сырых резиновых смесей, является измерение их пластичности и восстанавливаемости. Соответствующие характеристики (число Дефо и величина восстановления) приведены на рис. 1 в зависимости от соотношения каучуков в смеси. Как видно из рисунка смеси СКС-30 с СКБ при некоторых соотношениях каучуков обладают более высокими значениями числа Дефо и величины восстановления по сравнению с резиновыми смесями, содержащими только один из этих каучуков (крайние точки кривых соответствуют резиновым смесям, изготовленным из одного типа каучука и тех же ингредиентов). Это указывает на то, что смешение каучуков СКС-30 с СКБ приводит к повышению упругих свойств и снижению пластичности. Интересно отметить, что, в то время как во все остальные смеси изменяют свои свойства в зависимости от соотношения каучуков более или менее постепенно, не обнаруживая максимумов или минимумов, смесь СКС-30 с НК также дает максимум на графике зависимости величины восстановления от соотношения каучуков.

Стандартными критериями, применяемыми для оценки качества ву-

канизатов, являются величины сопротивления разрыву, относительно удлинения при разрыве, остаточного удлинения, сопротивления раздиру модуля растяжения и выносливости при многократных деформациях. Соответствующие данные для ряда систем приведены на рис. 2—4. Из рассмотрения рисунков видно, что резины, изготовленные на основе комбинации СКС-30 с СКБ, а также СКН-18 с СКБ, обладают характерной особенностью зависимости механических свойств от соотношения каучуков. Эта особенность состоит в появлении минимумов или максимумов на графиках таких зависимостей. В значительно более слабой форме эта особенность проявляется также у резин, изготовленных из смеси СКН-18 с СКС-30. Таким образом оказывается, что смешение упомянутых каучуков приводит к падению сопротивления разрыву (отнесенного к истинной площади поперечного сечения в момент разрыва), относительно удлинения при разрыве, сопротивления раздиру, остаточного удлинения и к повышению модулей растяжения при 200 и 300%. В резинах и

готовленных из комбинации НК с СКБ, НК с СКС-30, НК с СКН-18 СКС-10 с СКС-30, подобных аномалий не наблюдается.

Рассмотрение рис. 4, а и б показывает, что выносливость комбинированных резин в случае систем СКБ с СКС-30, СКН-18 с СКБ, СКН-18



с. 2. Физико-механические характеристики комбинированных резин. 1 — сопротивление раздиру; 2 — относительное удлинение; 3 — остаточное удлинение; 4 — сопротивление раздиру; 5 — модуль при 200%; 6 — модуль при 300%

СКС-30 и СКН-18 с НК при изменении соотношения каучуков проходит через минимум. Системы СКБ + НК и СКС-30 + НК подобного рода аномалии не обнаруживают. Из приведенных данных видно, что максимумы минимумы у зависимостей (свойство — соотношение каучуков) проявляются наиболее ярко у резин, изготовленных на основе комбинирования



СКБ с СКС-30 и СКБ с СКН-18. Аномалия свойств у смесей неполярного каучука СКБ с полярным каучуком СКН-18, естественно, должна быть связана с резким различием в характере межмолекулярного взаимодействия.

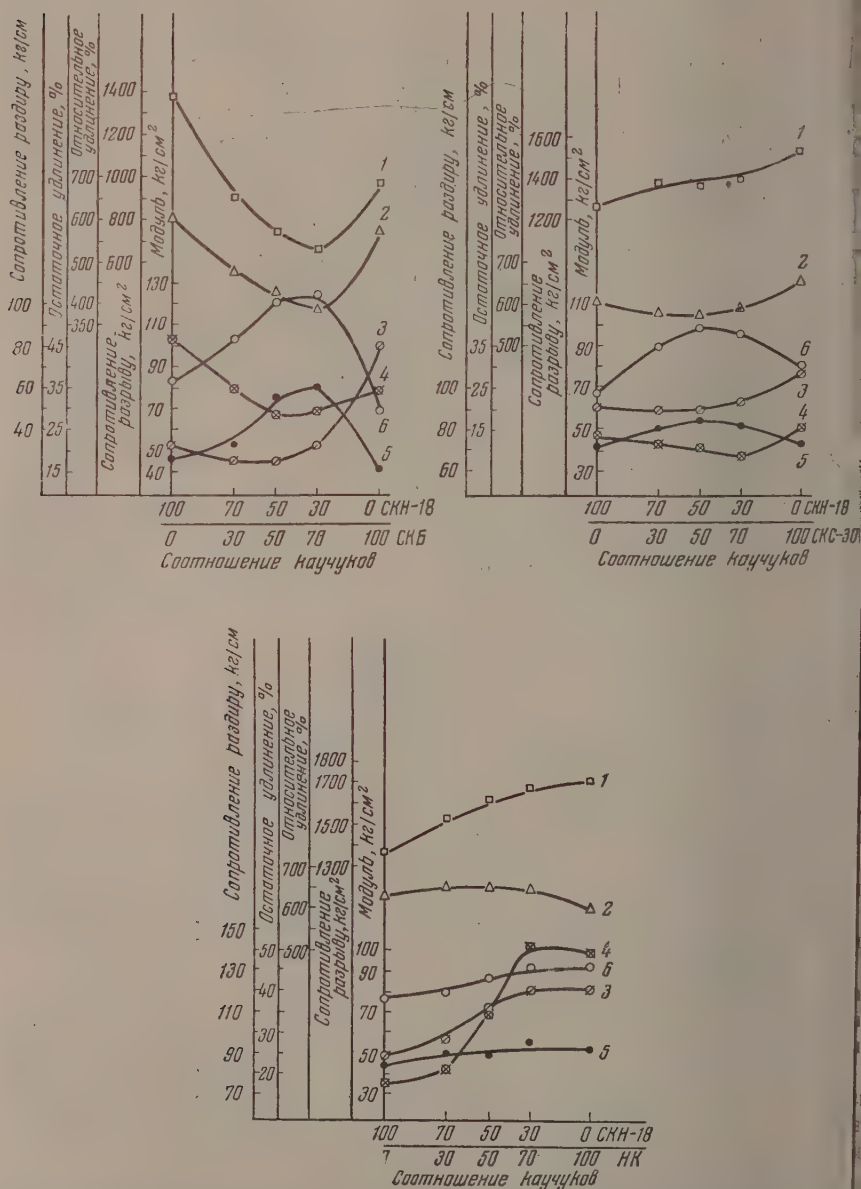


Рис. 3. Физико-механические характеристики комбинированных резин. 1 — сопротивление раздиру; 2 — относительное удлинение; 3 — остаточное удлинение; 4 — сопротивление разрыву; 5 — модуль при 200%; 6 — модуль при 300%

ствия, но появление подобного же рода аномалии у смесей двух неполярных углеводородов — СКБ и СКС-30 — представляется неожиданным, весьма интересным.

Необходимо было установить, от каких факторов зависят указанные аномалии свойств смесей каучуков. С этой целью нами было изучено влияние различных технологических и рецептурных факторов. Можно было предположить, что каучуки просто плохо смешаны, чем и вызвана аномалия. Для улучшения смешения СКС-30 и СКБ друг с другом были введены различные наполнители, ускорители и мягчители.

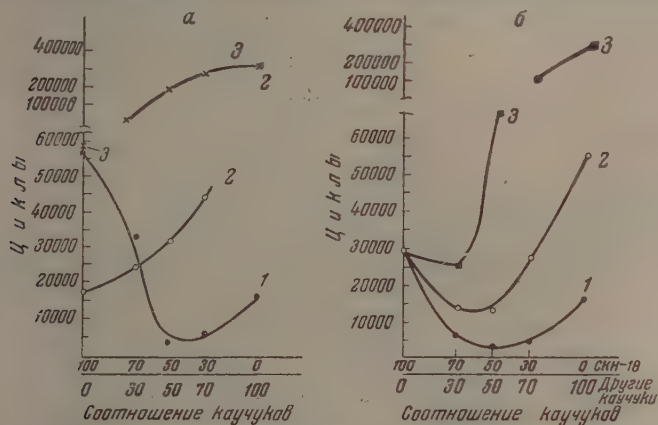


Рис. 4. Выносливость комбинированных резин при многократной деформации изгиба. а: 1 — СКС-30 + СКБ; 2 — СКБ + НК; 3 — СКС-30 + НК; б: 1 — СКН-18 + СКБ; 2 — СКН-18 + СКС-30; 3 — СКН-18 + НК

Применение наполнителей, обладающих различной усиливающей способностью (канальная, форсуночная, ламповая, печная сажи и их комбинации, а также минеральный наполнитель каолин), как показывает с. 5, а, не изменяет основной аномалии, наблюдавшейся в смесях СКС-30 и СКБ. Максимум относительного удлинения при разрыве и минимум модуля растяжения при 300% видны на графиках зависимости (свойство — отношение каучуков) для всех примененных типов наполнителей. Влияние наполнителя проявляется только в изменении абсолютных значений свойств, но не в характере зависимости. Следует также упомянуть, что изменение дозировки канальной сажи (в пределах от 50 вес. частей до нуля) также не устраняет рассматриваемой аномалии, но влияет на ее величину — аномалия усиливается при повышении дозировки сажи.

Рис. 5, б и в показывают, что изменение типа ускорителей и мягчителей приводит к исчезновению аномалии, хотя и влияет на абсолютные значения свойств. Проведенные нами также исследования влияния различных технологических факторов (условия смешения) дали аналогичные результаты.

Все эти данные позволяют сделать вывод, что аномальная зависимость свойств от соотношения каучуков, наблюдаемая нами у резин, изготовленных на основе комбинации СКС-30 с СКБ, определяется свойствами самих каучуков, а не ингредиентами или условиями изготовления резин.

Представлялось существенным проверить резины, изготовленные на основе комбинации СКС-30 с бутадиеновыми каучуками, различающимися способом их полимеризации. В качестве таких каучуков были взяты СКБ, СКВ, ДБ-2, СКВМ. На рис. 6 приведены результаты измерений, проведенных для смесей СКС-30 с этими каучуками, а также с СКС-10. Рис. 6 показывает, что аномалия системы СКС-30 + СКБ является характерной для любых комбинаций СКС-30 с бутадиеновыми каучуками, но исчезает для комбинации двух бутадиен-стирольных каучуков (СКС-30 + СКС-10). Проведенное дополнительное исследование свойств резин, изготовленных на основе комбинации различных бутадиеновых

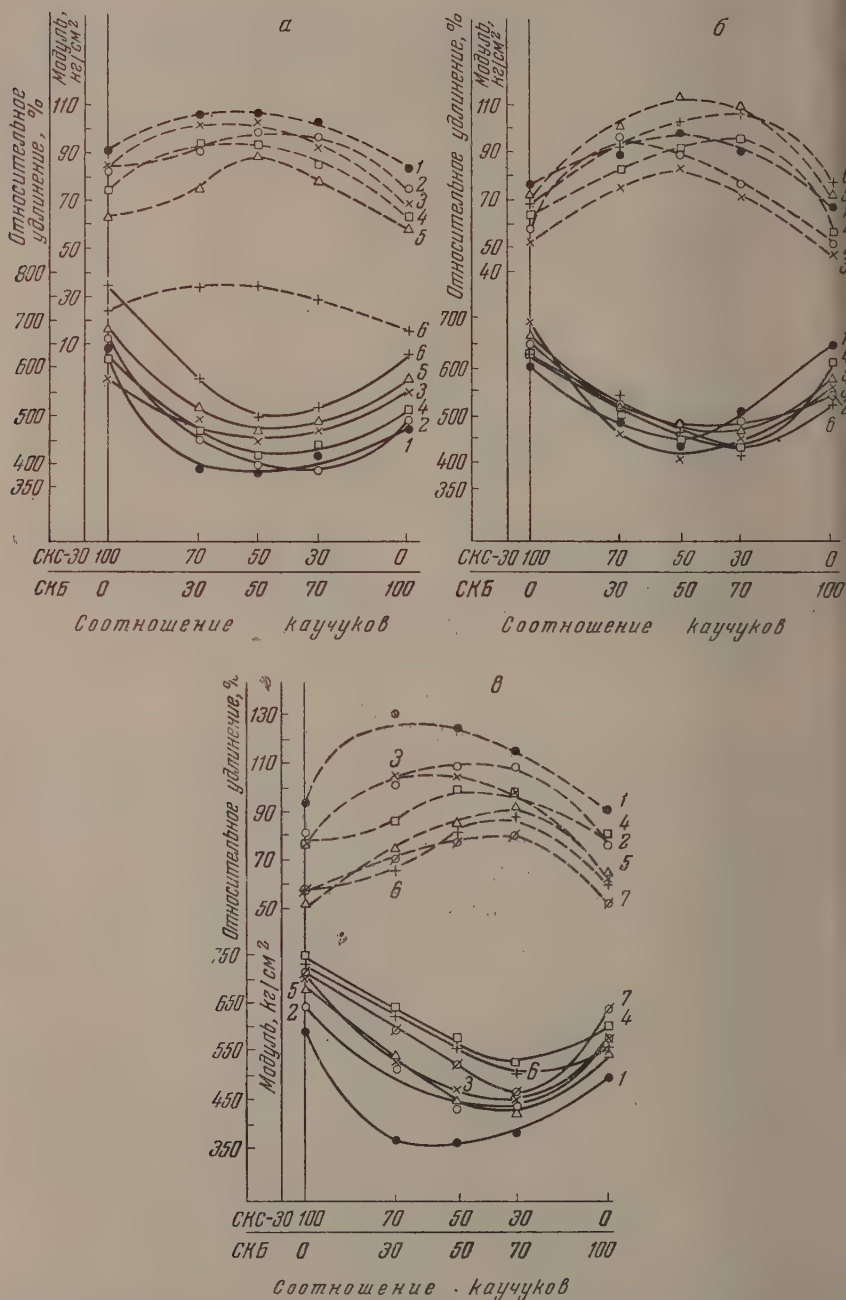


Рис. 5. Влияние: а — наполнителей, б — ускорителей, в — мягчителей на механические свойства комбинированных резин (смесь SKC-30 с SKB); а: 1 — форсуночная сажа; 2 — ламповая сажа; 3 — смесь форсуночной и канальной саж; 4 — печная сажа; 5 — канальная сажа; 6 — каолин. б: 1 — альтакс дифенилгуанидином в SKC-30 + каптакс в SKB; 2 — тиурам в SKC-30 + каптакс в SKB; 3 — тиурам в SKC-30 + альтакс в SKB; 4 — альтакс в SKC-30 и в SKB; 5 — сульфенами БТ в SKC-30 и в SKB; 6 — каптакс в SKC-30 и в SKB. в: 1 — стеариновая кислота; 2 — без мягчителя; 3 — олеиновая кислота; 4 — рубракс; 5 — вазелиновое масло; 6 — мазут; 7 — полидиен

каучуков друг с другом, также показало отсутствие каких-либо аномалий для смесей подобного рода.

Таким образом однотипные каучуки при смешении их друг с другом обнаруживают основные особенности изменения свойств резин, полученных из смесей бутадиен-стирольного каучука с бутадиеновым. Поскольку наблюдаемая аномалия не наблюдается для смесей однотипных каучуков, но ярко выражена в ряде случаев смешения полярного каучука с неполярными, то естественно предположить, что она связана

с взаимной растворимостью смешиваемых каучуков. Хорошая взаимная растворимость приводит к получению истинных растворов одного полимера в другом, что имеет своим следствием монотонное изменение свойств при изменении соотношения каучуков. В случае же ограниченной взаимной растворимости полимеров смешанные неоднородно на вальцах каучуки вследствие исключительно высокой вязкости сырых смесей могут разделиться на две фазы в макроскопических объемах и разделяются на фазы лишь в чрезвычайно малых объемах. Получающаяся микрооднородная сырая резиновая смесь фиксируется в таком состоянии при вулканизации. Особенности строения таких микрооднородных резин и проявляются, по нашему мнению, в указанных выше аномалиях свойств. С этой точки зрения можно понять (как следствие микрооднородного распределения напряжений и деформаций в подобном рода микронеоднородных резинах) понижение сопротивления разрыву, относительного удлинения при разрыве, выносливости и многократных деформациях и повышение упругих свойств.

Размеры неоднородностей должны быть очень малыми, вследствие чего неоднородности различного состава (разные фазы) оказываются связанными между собой в одно целое длинными цепными молекулами, проходящими через несколько таких областей. Такова, повидимому, особенность смешения двух ограниченно растворимых друг в друге полимеров.

На основании наших данных представляется необходимым сделать вывод, что СКБ и СКС-30 при комбинировании их в одной резине дают микронеоднородную резину. Подробное рассмотрение этого неожиданного вывода на основе других физико-химических исследований будет дано в следующих сообщениях\*.

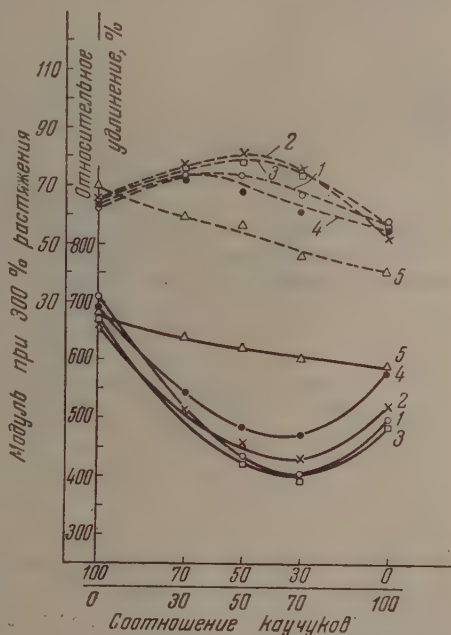


Рис. 6. Механические свойства комбинированных резин (смесь СКС-30 с различными бутадиеновыми каучуками и с СКС-10). 1 — СКБМ; 2 — ДБ-2; 3 — СКВ; 4 — СКБ; 5 — СКС-10. Сплошная линия — относительное удлинение; пунктир — модуль при 300%

\* Образование прочных связей между химическими группами различных молекул двух смешиваемых полимеров могло бы дать похожие на наблюдаемые нами аномалии механических свойств. Однако это объяснение противоречит падению прочности комбинированных резин и не согласуется с поведением смесей растворов соответствующих полимеров. Кроме того, для рассматриваемых нами систем нет никаких оснований для подобного рода предположений.



В заключение необходимо подчеркнуть, что даже хорошо взаимно растворимые полимеры могут быть приготовлены в виде неоднородной системы, если смешение проведено недостаточно тщательно, а ограниченно растворимые полимеры могут быть зафиксированы (например, вулканизацией в случае каучуков) в том или ином неравновесном состоянии сырой смеси. Поэтому можно ожидать, что при помощи специальных приемов, вероятно возможно создание или устранение наблюдаемых нами аномалий свойств комбинированных резин. Важным, с нашей точки зрения, является то, что такие комбинированные резины, изготовленные в условиях достижения термодинамического равновесия (в микрообластях), обнаруживают описанные выше особенности свойств, связанные с их взаимной растворимостью и цепным строением молекул. Это должно учитываться как при практическом использовании смесей полимеров, так и при теоретическом исследовании растворов полимера в полимере.

### ВЫВОДЫ

1. Смешение каучуков (или любых аморфных полимеров) следует рассматривать как взаимное растворение двух жидких фаз, подчиняющееся термодинамическим закономерностям.

2. Изученные резины, изготовленные на основе комбинации различных каучуков, распадаются на две группы по характеру зависимости механических свойств от соотношения смешанных каучуков. Высказано предположение, что наблюдаемые аномалии свойств комбинированных резин из смеси СКС-30 с СКБ обусловлены микрон неоднородным двухфазным строением таких резин.

3. Показано, что свойства комбинированных резин определяются в первую очередь поведением самих смешиваемых каучуков, а не вводимых в смесь ингредиентов.

4. Совместимость двух полимеров должна рассматриваться с двух точек зрения. Макроскопическая совместимость может быть достигнута практически всегда, если только полимер может быть переведен в текучее состояние. Совместимость в микрообластях, т. е. взаимная растворимость полимеров, определяется их термодинамическими свойствами и может не совпадать с макросовместимостью. Причиной расхождения макро- и микросовместимости является цепное строение молекул полимеров и связанная с этим большая вязкость полимеров при высокой подвижности малых участков гибких цепных молекул.

Институт шинной промышленности  
Москва

Поступила  
17. VII. 1955

### ЛИТЕРАТУРА

1. А. А. Тагер, Растворы высокомолекулярных соединений, Госхимиздат, М.—Л., 1951.
2. Н. Ф. Комская, Кандидатская диссертация, Физико-химический институт им. Л. Я. Карпова, М., 1952.
3. Г. В. Струминский, Кандидатская диссертация, Физико-химический институт им. Л. Я. Карпова, М., 1953.
4. Е. Е. Рылов и В. Л. Карпов, Журн. физ. химии, 27, 579, 1953.
5. Н. А. Резникова, А. Д. Зайончковский и С. С. Воюцкий, Коллоидн. журн., 15, 108, 1953.
6. С. С. Воюцкий, А. Д. Зайончковский, В. А. Каргин и Р. А. Резникова, ДАН, 94, 1093, 1954.
7. В. И. Алексеенко, И. У. Мишустин и С. С. Воюцкий, ДАН, 95, 93, 1954.
8. В. И. Алексеенко, И. У. Мишустин и С. С. Воюцкий, Коллоидн. журн., 17, 3, 1955.
9. Г. Ш. Израелит, Механические испытания резины и каучука, Госхимиздат, Л.—М., 1949.

# ВЫЧИСЛЕНИЕ ТЕРМОДИНАМИЧЕСКИХ КОНСТАНТ НЕНАСЫЩЕННЫХ ГАЛОГЕНИДОВ ПО Э. Д. С. И ТЕМПЕРАТУРНОМУ КОЭФФИЦИЕНТУ ХИМИЧЕСКИХ ЦЕПЕЙ И ЦЕПЕЙ ДАНИЕЛЯ — ЯКОБИ

Б. Ф. Марков

Определение термодинамических констант ненасыщенных галогенидов э. д. с. химической цепи невозможно, так как для солей низшей степени окисления металла химическая цепь не может быть создана. Например, для двуххлористого олова цепь  $\text{Sn}|\text{SnCl}_2|\text{Cl}_2$  не реальна, так как эта соль относительно хлорного электрода не является равновесной. Однако имеется не прямой путь вычисления термодинамических констант реакции  $\text{Sn} + \text{Cl}_2 = \text{SnCl}_2$  по электрохимическим данным.

Если измерить э. д. с. и температурный коэффициент цепей  $\text{Me}_I|\text{Me}_I\text{X}_2|\text{X}_2$ ,  $E_I$ ,  $\frac{dE_I}{dt}$  (химическая цепь),  $\text{Me}_I|\text{Me}_I\text{X}_2|\text{Me}_{II}\text{X}_2|\text{Me}_{II}$ ,  $E_{I,II}$ ,  $\frac{dE_{I,II}}{dt}$  (цепь Даниеля — Якоби), то  $E_{II}$  и  $\frac{dE_{II}}{dt}$  интересующей нас гипотетической цепи  $\text{Me}_{II}|\text{Me}_{II}\text{X}_2|\text{X}_2$  будет равна сумме или разности соответствующих величин первой и второй цепи (в зависимости от того, какой металл более электроотрицателен):

$$E_{II} = E_I \pm E_{I,II} \text{ и } \frac{dE_{II}}{dt} = \frac{dE_I}{dt} \pm \frac{dE_{I,II}}{dt}.$$

Такой прием нахождения  $E_{II}$  и  $\frac{dE_{II}}{dt}$  правомочен, если соблюдается так называемое правило разности Лоренца: равенство э. д. с. цепи Даниеля — Якоби разности э. д. с. соответствующих химических цепей [1]. Приведем несколько примеров вычисления термодинамических констант ненасыщенных галогенидов металлов этим путем.

## I

э. д. с. цепи $\text{Pb} \text{PbCl}_2 \text{Cl}_2$	600°	650°	Наши измерения [2] Голуб [3]
вольты	1,218	1,188	
э. д. с. цепи — $\text{Ti} \text{TiCl} \text{PbCl}_2 \text{Pb} + 0,391$	0,391	0,3982	
э. д. с. цепи $\text{Ti} \text{TiCl} \text{Cl}_2$	1,609	1,5862	
$\frac{d(\text{э. д. с.})}{dt} = -0,23 \cdot 10^{-3}$ вольт/град.,			

тогда для 600°:  $\Delta Z_{\text{TiCl}} = -37,1$  ккал/г-моль,  $T\Delta S_{\text{TiCl}} = -4,63$  ккал/г-моль  
и  $\Delta H_{\text{TiCl}} = -41,73$  ккал/г-моль.

## II

э. д. с. цепи $\text{Pb} \text{PbCl}_2 \text{Cl}_2$	500°	550°	600°	Наши измерения [2] Лоренц и Михаель [4]
вольты	1,278	1,248	1,218	
э. д. с. цепи — $\text{Ti} \text{TiCl} \text{PbCl}_2 \text{Pb} + 0,365$	0,365	0,383	0,404	
э. д. с. цепи $\text{Ti} \text{TiCl} \text{Cl}_2$	1,643	1,631	1,622	
$\frac{d(\text{э. д. с.})}{dt} = -0,21 \cdot 10^{-3}$ вольт/град.,				

тогда для 600°:  $\Delta Z_{\text{TiCl}} = -37,4$  ккал/г-моль.  
 $S_{\text{TiCl}} = -4,23$  ккал/г-моль и  $\Delta H_{\text{TiCl}} = -41,63$  ккал/г-моль.

## III

э. д. с. цепи $\text{Cd} \text{CdCl}_2 \text{Cl}_2$	600°	650°	
вольты	1,338	1,310	Лантратов и Алабышев [5]
э. д. с. цепи — $\text{Ti} \text{TiCl} \text{CdCl}_2 \text{Cd} + 0,304$	0,304	0,315	Голуб [3]
э. д. с. цепи $\text{Ti} \text{TiCl} \text{Cl}_2$	1,642	1,625	
$\frac{d(\text{э. д. с.})}{dt} = -0,34 \cdot 10^{-3}$ вольт/град.,			

отсюда для 600°:  $\Delta Z_{\text{TiCl}} = -37,86$  ккал/г-моль,

$T\Delta S_{\text{TiCl}} = -6,84$  ккал/г-моль,  $\Delta H_{\text{TiCl}} = -44,7$  ккал/г-моль.

Для сопоставления вычислим  $\Delta H_{\text{TiCl}}$  для 600° по термическим данным

По справочнику [6] принято:  $\Delta H_{\text{TiCl}}^0 = -48,6$  ккал/г-моль,

$\Delta H_{\text{пл TiCl}} = 4,26$  ккал/г-моль,

$\Delta H_{\text{пер Ti}} (\alpha \rightarrow \beta) = 0,082$  ккал/г-атом и г-моль,

$\Delta H_{\text{пл Ti}} = 1,03$  ккал/г-атом.

Вычислено:

Изменение теплосодержания  $\text{TiCl}$  (от 18 до 600°С) = 11,92 ккал,

теплосодержание  $\text{Ti}$  при 600° = 4,98 ккал,

»  $\frac{1}{2} \text{Cl}_2$  » 600° = 2,47 »

отсюда  $\Delta H_{\text{TiCl}} = -48,6 + 11,92 - 4,98 - 2,47 = -44,13$  ккал/г-моль.

Как видим, оба метода вычисления  $\Delta H_{\text{TiCl}}$  при 600° дают близкие совпадающие величины.

## I

$\text{SnCl}_2$				
э. д. с. цепи $\text{Pb} \text{PbCl}_2 \text{Cl}_2$	500°	550°	600°	
вольты	1,278	1,248	1,218	Наши измерения [2]
э. д. с. цепи — $\text{Pb} \text{PbCl}_2 \text{SnCl}_2 \text{Sn} + 0,0536$	0,0536	0,0452	0,0358	Голуб [3]
э. д. с. цепи $\text{Sn} \text{SnCl}_2 \text{Cl}_2$	1,2244	1,2028	1,1822	
$\frac{d(\text{э. д. с.})}{dt} = -0,42 \cdot 10^{-3}$ вольт/град.,				

отсюда вычисляем для 600°:  $\Delta Z_{\text{SnCl}_2} = -54,52$  ккал/г-моль,

$T\Delta S_{\text{SnCl}_2} = -16,91$  ккал/г-моль,  $\Delta H_{\text{SnCl}_2} = -71,43$  ккал/г-моль.

## II

э. д. с. цепи $\text{Cd} \text{CdCl}_2 \text{Cl}_2$	600°	
вольты	1,338	Лантратов и Алабышев [5]
э. д. с. цепи — $\text{Cd} \text{CdCl}_2 \text{SnCl}_2 \text{Sn} + 0,1575$	0,1575	Голуб [3]
э. д. с. цепи $\text{Sn} \text{SnCl}_2 \text{Cl}_2$	1,1805	

отсюда вычисляем для 600°:  $\Delta Z_{\text{SnCl}_2} = -54,45$  ккал/г-моль.

Вычислить  $\Delta H_{\text{SnCl}_2}$  для 600° по термическим данным не представляется возможным, так как неизвестна теплоемкость жидкого  $\text{SnCl}_2$ .

## III

$\text{CuCl}$		
э. д. с. цепи $\text{Pb} \text{PbCl}_2 \text{Cl}_2$	498°	550°
вольты	1,279	1,248
э. д. с. цепи — $\text{Pb} \text{PbCl}_2 \text{CuCl} \text{Cu} + 0,234$	0,234	0,2195
э. д. с. цепи $\text{Cu} \text{CuCl} \text{Cl}_2$	1,045	1,0285
$\frac{d(\text{э. д. с.})}{dt} = -0,32 \cdot 10^{-3}$ вольт/град.,		

отсюда вычисляем для 498°:  $\Delta Z_{\text{CuCl}} = -24,09$  ккал/г-моль,  $T\Delta S_{\text{CuCl}} = -5,69$  ккал/г-моль и  $\Delta H_{\text{CuCl}} = -29,78$  ккал/г-моль.

Вычисляем  $\Delta H_{\text{CuCl}}$  по термическим данным.

По справочнику [6] принято  $\Delta H_{\text{CuCl}}^{\circ} = -32,7$  (среднее из восьми значений),  $\Delta H_{\text{пл CuCl}} = 2,7$  ккал.

Вычислено:

Изменение теплосодержания CuCl  
(от 18 до 498°C) = 10,05 ккал.

Теплосодержание Cu при 498° = 2,98 ккал,

»  $\frac{1}{2} \text{Cl}_2$  » 498° = 2,03 »

Следовательно  $\Delta H_{\text{CuCl}}$  при 498° =  $-32,7 + 10,05 - 2,98 - 2,03 = -27,66$  ккал/г-моль.

Совпадение  $\Delta H_{\text{CuCl}}$  нужно признать удовлетворительным.

### ВЫВОДЫ

Проведено вычисление термодинамических констант образования жидких  $\text{TiCl}$ ,  $\text{SnCl}_2$  и  $\text{CuCl}$  по э. д. с. и температурному коэффициенту химических цепей и цепей Даниеля — Якоби. По термическим данным рассчитаны тепловые эффекты образования  $\text{TiCl}$  и  $\text{CuCl}$ , которые удовлетворительно совпали с тепловыми эффектами, найденными по э. д. с.

Академия наук УССР  
Институт общей и неорганической химии  
Киев

Поступила  
19. VII. 1955

### ЛИТЕРАТУРА

- Б. Ф. Марков, Укр. хим. журн., **21**, 21, 1955.  
Б. Ф. Марков, Ю. К. Делимарский, И. Д. Панченко, Журн. физ. химии, **28**, 1987, 1954.  
L. Holub, F. Neubert, F. Sauerwald, Zs. Phys. Chem., **174**, 161, 1935.  
R. Lorenz, F. Michael, Zs. phys. Chem., **137**, 1, 1928.  
М. Ф. Лантратов, А. Ф. Алабышев, Журн. прикл. химии, **26**, 263, 353, 1953.  
Термические константы неорганических веществ, Изд-во АН СССР, М., 1949.



## ИЗУЧЕНИЕ СУБЛИМАЦИИ СЕРЕБРА МЕТОДОМ РАДИОАКТИВНЫХ ИНДИКАТОРОВ И ПРИ ПОМОЩИ МАСС-СПЕКТРОМЕТРА

Ю. В. Корнев и Е. З. Винтайкин

Измерение давления пара над металлом и сплавом имеет большое теоретическое и практическое значение. Известно, что понимание некоторых свойств, а также некоторых процессов, происходящих в металлах и сплавах, невозможно без знания изменений парциальной молярной внутренней энергии и активности компонентов сплава в зависимости от состава и от температуры.

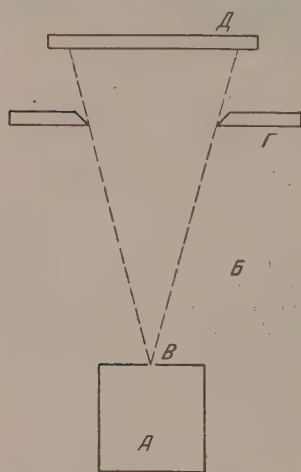


Рис. 1. Схема метода Кнудсена. А — тигель; В — вакуумное пространство; В — отверстие; Г — коллиматор; Д — мишень

Все эти термодинамические величины могут быть получены из опытов по определению давления пара над металлом и сплавом.

В настоящей работе измерялось давление пара серебра над чистым серебром и сплавом Au—Ag с 30 ат. % серебра.

Анализ существующих методов измерения давления пара привел нас к заключению, что наиболее подходящим методом для определения парциального давления паров компонентов над твердыми растворами является предложенный Кнудсенom [1] метод измерения скорости истечения насыщенного пара через малое отверстие в высокий вакуум.

На рис. 1 представлена схема метода Кнудсена, использованного в настоящей работе. В сосуде А находится исследуемый металл в равновесии со своим паром. Через малое отверстие В пар истекает в область высокого вакуума. Если истечение из отверстия является молекулярным, то по скорости истечения пара можно подсчитать его давление из соотношения

$$G = \frac{\sqrt{MSp}}{\sqrt{2\pi RT}}, \quad (1)$$

где  $G$  — вес пара, вытекшего за единицу времени,  $p$  — давление пара в сосуде,  $M$  — молекулярный вес,  $S$  — площадь отверстия,  $T$  — абсолютная температура.

Скорость истечения в настоящей работе измерялась путем конденсации на мишень атомов ограниченной коллиматором части атомарного пучка и определения веса конденсата. Для определения веса конденсата использовался радиохимический метод. Более подробно эта методика описывается в статье одного из авторов [2].

Скорость истечения может быть измерена и другим способом, который также применялся в данной работе. Способ этот заключается в следующем. Если атомарный пучок, истекающий из эффузионного отверстия

одвергнуть бомбардировке электронами, то в пучке образуются ионы. Очевидно, что скорость образования ионов связана со скоростью истечения, а, следовательно, и с давлением пара. Вытягивая при помощи электрического поля и собирая ионы на коллектор, можно измерить ионный ток, который пропорционален числу образовавшихся ионов за единицу времени:

$$I = K \sqrt{TG} = Kp, \quad (2)$$

где  $I$  — ионный ток,  $K$  — коэффициент пропорциональности, зависящий от эффективного сечения ионизации.

Очевидно, этот метод применим для измерения давления пара, много ольшого, чем давление остаточных газов, из-за того, что ионный ток, обусловленный остаточными газами, может накладываться на измеряемый ток. Однако, применяя масс-спектрометрический метод, можно избежать этого вредного влияния остаточных газов или во всяком случае вести к минимуму. Более подробно этот метод будет описан ниже.

### ИЗМЕРЕНИЕ ДАВЛЕНИЯ ПАРА СЕРЕБРА С ПРИМЕНЕНИЕМ РАДИОАКТИВНОГО ИЗОТОПА<sub>2</sub>

Схема прибора для измерения давления пара серебра в твердом состоянии представлена на рис. 2. Эффузионный тигель 24 был сделан из кобальта. Для того чтобы редотвратить взаимодействие серебра с материалом тигля в случае расплавления, серебро помещалось в стаканчик из спектрально чистого графита. С целью обеспечения внутри эффузионного тигля серебро приготавливалось в виде опилок.

Эффузионное отверстие, имеющее диаметр 0,7 мм, обеспечивало условия молекулярного истечения. Конденсация производилась на танталовых мишенях 13 диаметром 20 мм и толщиной 0,1 мм; танталовые мишени для удобства вставлялись в алюминиевые обоймы. Тантал был выбран вследствие его высокой коррозионной стойкости и аккомодационной способности. Температура измерялась платино-платинородиевой термопарой, а э. д. с. термопары при помощи потенциометра ППТВ-1 с зеркальным гальванометром высокой чувствительности. Градуировка термопары в рабочем положении осуществлялась по точке плавления серебра. Нагрев эффузионного тигля осуществлялся индукционным способом высокочастотным генератором. Для регулировки температуры была собрана схема на основе электронного регулятора типа ЦЛА. С целью увеличения чувствительности и точности регулировки датчик 26 этого регулятора помещался в поле индуктора так, чтобы изменения мощности на индукторе, в первую очередь сказывались на датчике. При помощи такого устройства была достигнута точность регулирования  $\pm 1^\circ \text{C}$ . Прибор был собран на базе высокочастотной печи ИМВ-3М. Небольшие усовершенствования вакуумной части позволили получить вакуум порядка  $5 \cdot 10^{-6}$  мм рт. ст., что вполне удовлетворяло требованиям к условиям эксперимента.

Таблица 1

Давление пара чистого серебра (99,99%) в интервале от 721 до 956 °C

Температура, °K	Давление пара мм рт. ст.
994	$3,32 \cdot 10^{-6}$
1033	$1,05 \cdot 10^{-5}$
1044	$1,53 \cdot 10^{-5}$
1102	$8,84 \cdot 10^{-5}$
1134	$2,08 \cdot 10^{-4}$
1184	$8,28 \cdot 10^{-4}$
1204	$1,21 \cdot 10^{-3}$
1229	$2,32 \cdot 10^{-3}$

Таблица 2

Парциальное давление пара серебра над сплавом Au — Ag (30 ат. % Ag) в интервале от 747 до 880 °C

Температура, °K	Давление пара мм рт. ст.	Температура, °K	Давление пара мм рт. ст.
1020	$1,16 \cdot 10^{-6}$	1097	$1,13 \cdot 10^{-5}$
1049	$3,12 \cdot 10^{-6}$	1098	$1,29 \cdot 10^{-5}$
1050	$2,62 \cdot 10^{-6}$	1122	$2,80 \cdot 10^{-5}$
1051	$2,84 \cdot 10^{-6}$	1129	$3,01 \cdot 10^{-5}$
1090	$9,27 \cdot 10^{-6}$	1153	$5,74 \cdot 10^{-5}$
1090	$9,27 \cdot 10^{-6}$		

Определение веса конденсата производилось радиохимическим методом при помощи радиоактивного серебра  $\text{Ag}^{110}$ . Для этого были приготовлены эталонные мишени известным содержанием серебра. Активность мишеней измерялась по  $\beta$ -излучению

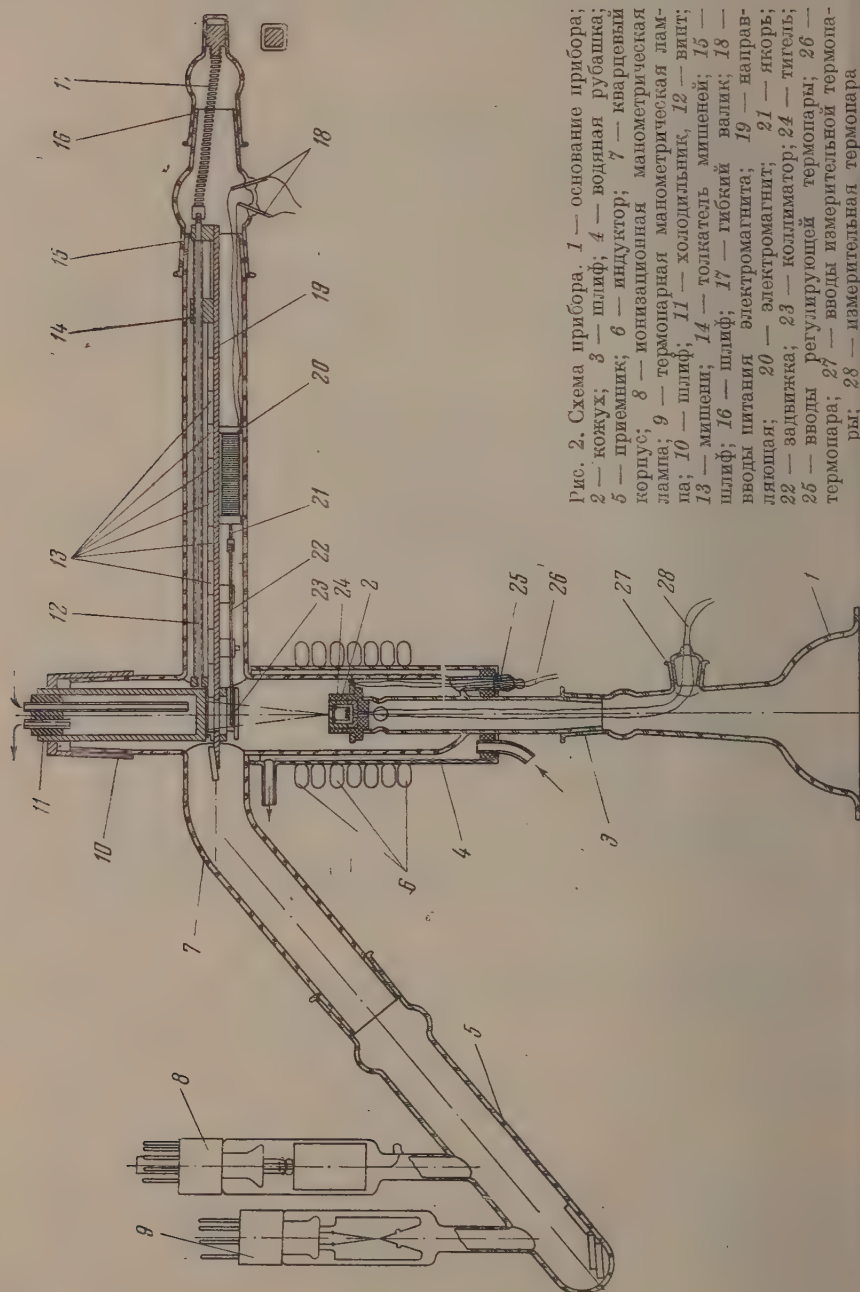


Рис. 2. Схема прибора. 1 — основание прибора; 2 — кожух; 3 — шлиф; 4 — водяная рубашка; 5 — приемник; 6 — индуктор; 7 — кварцевый корпус; 8 — ионизационная манометрическая лампа; 9 — термоманная манометрическая лампа; 10 — шлиф; 11 — холодильник; 12 — вит; 13 — мишень; 14 — толкатель мишеней; 15 — шлиф; 16 — шлиф; 17 — гибкий вал; 18 — вводы питания электромагнита; 19 — направляющая; 20 — электромагнит; 21 — якорь; 22 — задвижка; 23 — коллиматор; 24 — тигель; 25 — вводы регулирующей термонары; 26 — термонары; 27 — вводы измерительной термонары; 28 — измерительная термонары.

ковым счетчиком. Отверстие тигля фотографировалось и измерялось до и после опыта. Истинную площадь отверстия находили, учитывая термическое расширение. Давление пара подсчитывалось по формуле:

$$p = \frac{c_{\text{миш}}}{c_{\text{эт}}} \frac{g}{atw} \frac{r_K^2 + l^2}{r_K^2} \sqrt{\frac{110}{107,88}} \sqrt{\frac{2\pi RT}{107,88}} \quad (3)$$

$c_{\text{миш}}$  — активность напыленной мишени;  $c_{\text{эт}}$  — активность эталонной мишени, — количество серебра, осажденного на эталонной мишени (граммы),  $a$  — площадь отверстия ( $\text{см}^2$ );  $t$  — время экспозиции (секунды);  $w$  — фактор вероятности, учитывающий толщину отверстия;  $r_K$  — радиус эффузионного отверстия ( $\text{см}$ );  $l$  — расстояние от отверстия до коллиматора ( $\text{см}$ ). Результаты опытов сведены в табл. 1 и 2.

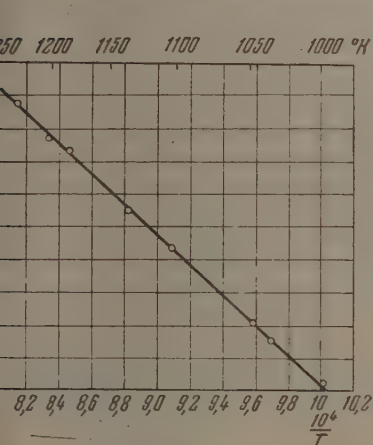


Рис. 3. Температурная зависимость давления пара над чистым серебром

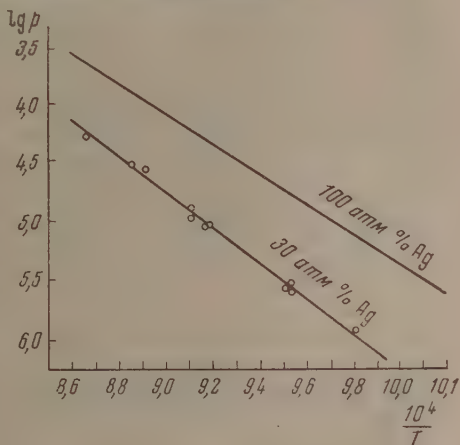


Рис. 4. Температурная зависимость давления пара над сплавом Au—Ag (30 ат. % Ag)

Из полученных данных методом наименьших квадратов были найдены уравнения температурной зависимости давления пара над чистым серебром:

$$\lg p = -\frac{68100}{2,303 RT} + 9,465, \quad (4)$$

и для сплава Au—Ag (30 ат. % Ag):

$$\lg p = -\frac{69800}{2,303 RT} + 8,993 \quad (5)$$

Графики температурной зависимости давления пара серебра над чистым серебром и сплавом представлены на рис. 3 и 4 (на оси ординат —  $\lg p$ ).

### МАСС-СПЕКТРОМЕТРИЧЕСКИЙ МЕТОД

Сущность масс-спектрометрического метода заключается в следующем. Известно, что интенсивность линий масс-спектра какого-либо вещества пропорциональна его парциальному давлению в области ионизации:

$$I = Kp, \quad (6)$$

где  $I$  — интенсивность линии (ионный ток);  $K$  — коэффициент, зависящий от эффективного сечения ионизации и от геометрии прибора.

Масс-спектрометрический метод поясняет схема опыта, приведенная на рис. 5. Исследуемый металл помещается в тигле  $I$ , который нагре-



вается вольфрамовой спиралью 2. Находящийся над металлом насыщенный пар через эффузионное отверстие 3 истекает в ионизационную коробочку 4 атомарным потоком. В ионизационной коробочке атомарный поток подвергается бомбардировке электронами, эмиттированными катодом 5. Образовавшиеся в результате электронного удара ионы формируются в ионный луч вытягивающей линзой 6 и ускоряющей линзой — коллиматором 7. Ионный луч попадает в магнитное поле, где он разлагается на составляющие в зависимости от массы ионов. Подбирая напряженность магнитного поля, можно направить на коллектор ионный луч определенной массы и измерить его ток. Следует отметить, что масс-спектрометрический способ позволяет выделить ток, соответствующий определенной массе ионов, из суммарного ионного тока, в котором доля тока от остаточных газов имеет существенную величину. Для измерения давления пара, много большего, чем давление остаточных газов, можно обойтись и без помощи масс-спектрометра [3], так как в этом случае основную долю будут составлять ионный ток образца.

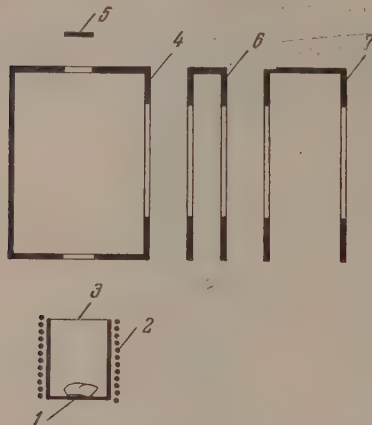


Рис. 5. Схема масс-спектрометрического метода

чину упругости пара затруднительно, так как определение коэффициента  $K$  связано со сложными и не совсем надежными расчетами. Однако для определения таких термодинамических величин, как теплота сублимации, а также термодинамических активностей компонентов в сплаве, знания величины коэффициента  $\alpha$  не требуется, необходимо лишь, чтобы его величина была постоянной во время опыта.

В настоящей работе для определения теплоты сублимации чистого серебра применялся отечественный масс-спектрометр типа МС-2.

Режим работы прибора был следующим: ионизирующее напряжение 30 В, ток эмиссии катода — 2 мА, ускоряющее напряжение — 2000 В, давление в области источника ионов  $10^{-6}$ , в области анализатора —  $10^{-7}$  мм рт. ст. Ионный источник прибора был дополнен специальным эффузионным тиглем и термопарой. Тигель, чертеж которого приведен на рис. 6, был сделан из тантала. Эффузионное отверстие имело диаметр 0,2 мм и получалось путем прокалывания двадцатимикронной танталовой фольги и шлифования образовавшегося выступа. Фольга приваривалась к крышке тигля. Температура тигля измерялась при помощи платино-платинородиевой термопары. Электродвижущая сила термопары измерялась потенциометром типа ПП. Температура тигля поддерживалась постоянной в пределах  $\pm 2^\circ \text{C}$ .

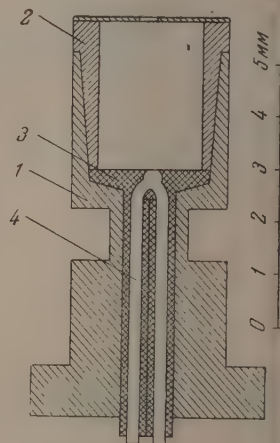


Рис. 6. Тигель. 1 — основание; 2 — крышка; 3 — керамика; 4 — термопара

В опытах снималась температурная зависимость интенсивности линии серебра, соответствующих массе как 107, так и 109. Для того чтобы убедиться, что линии вакуумного фона измерениям не мешают, во всем температурном интервале измерялся изотопный состав, который всюду совпадал с табличным.

Была сделана попытка обнаружить многоатомные комплексы в паре

серебра. В интервале до 600 массовых единиц (комплекс из шести атомов) линий, отвечающих многоатомным образованиям, не было обнаружено.

Всего было сделано шесть опытов по определению теплоты сублимации чистого серебра (99,99%). Для иллюстрации приведена табл. 3, в которой введены результаты одного из опытов и график в полулогарифмических оординатах на рис. 7, вычерченный по данным этой таблицы.

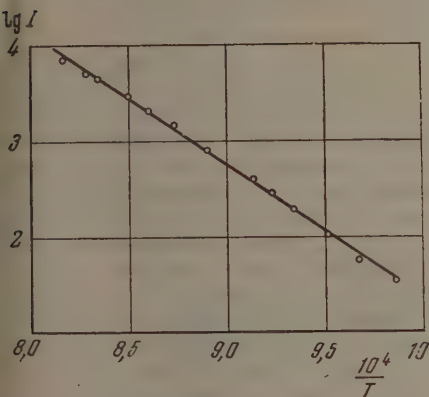


рис. 7. Температурная зависимость давления пара, полученная масс-спектрометрическим методом

Таблица 3

Температура °K	Интенсивность линии I, mV	$10^4/T$	$\lg I$
1014	35	9,86	1,54
1033	59	9,68	1,77
1051	110	9,52	2,04
1071	195	9,34	2,29
1084	290	9,23	2,46
1094	390	9,14	2,59
1122	790	8,91	2,90
1144	1400	8,74	3,15
1161	2150	8,61	3,33
1177	2900	8,50	3,46
1198	4500	8,35	3,65
1207	5100	8,29	3,71
1223	6900	8,18	3,84

Теплота сублимации вычислялась по данным каждого опыта. Средняя из шести измерений величина теплоты сублимации составляла величину 68 ккал/г-ат.

### ОБСУЖДЕНИЕ РЕЗУЛЬТАТОВ

В последнее время было выполнено несколько работ по определению давления пара чистого серебра [4, 5]. По данным работы [5], в которой применялся также метод Кнудсена с определением скорости истечения способом взвешивания, уравнение для температурной зависимости давления пара имеет вид:

$$\lg p = 9,003 - \frac{65460}{2,303 RT}, \quad 1133 < T < 1223.$$

Полученная нами температурная зависимость давления пара имеет вид:

$$\lg p = 9,465 - \frac{68100}{2,303 RT}, \quad 994 < T < 1229.$$

Отличительной особенностью наших измерений является определение теплоты сублимации серебра в более широком температурном интервале при помощи двух методов. Оба метода — эффузионный с применением радиоактивных изотопов и масс-спектрометрический — дали для теплоты сублимации совпадающее значение, равное 68 ккал/г-ат.

Примененный в работе радиохимический способ оценки веса конденсата имеет большую чувствительность по сравнению с методом взвешивания, использованного в работе [5]. Минимальное давление пара серебра, измеренное в нашей работе, было равно  $10^{-6}$  мм рт. ст., в то время как в работе [5] эта величина была выше  $10^{-4}$  мм рт. ст.

Необходимо отметить, что величина давления пара  $10^{-6}$  мм рт. ст. является пределом чувствительности метода, так как имеются возможности увеличить удельную активность образца.

Применение радиоактивных изотопов значительно расширяет возможности метода Кнудсена. Использование радиоактивных изотопов дает возможность определять теплоту сублимации в случае чистых металлов и термодинамические активности компонентов в случае сплавов, не зная абсолютной величины давления пара, а измеряя в первом случае лишь радиоактивность конденсационной мишени в зависимости от температуры и во втором — сравнивая радиоактивность мишеней для чистого металла и сплава при постоянной температуре.

Примененный в работе масс-спектрометрический метод расширил возможности изучения процесса сублимации металлов. Во всех работах предполагалось, что металлы испаряются в виде отдельных атомов. Исследованию этого вопроса посвящена работа [6], в которой при помощи масс-спектрометра изучалось испарение германия, олова и свинца. В этой работе было установлено, что все исследуемые металлы испаряются только в виде атомов, но не в виде многоатомных образований. У германия наблюдались комплексы, состоящие из нескольких, вплоть до семи, атомов, у олова — до пяти, у свинца — до двух. Такое молекулярное испарение наиболее сильно выражено у германия; авторы считают, что 20% жидкого германия испаряется в молекулярной форме.

В нашей работе не было обнаружено многоатомных комплексов серебра. В более ранних работах в опытах с цинком и кадмием были также попытки обнаружить такие многоатомные образования. Однако было установлено, что цинк и кадмий сублимируют только в виде атомов.

### ВЫВОДЫ

1. Теплота сублимации серебра в температурном интервале от  $\sim 720^\circ\text{C}$  до точки плавления практически не зависит от температуры. Наиболее вероятное значение теплоты сублимации чистого серебра (99,99%) в этом интервале температур равно  $68 \text{ ккал/г-ат.}$
2. Сублимация серебра происходит в виде одноатомного пара.
3. Эффузионный метод применим для измерения термодинамических характеристик твердых растворов.

Институт металловедения и  
физики металлов  
Москва

Поступила  
22. V. 1955

### ЛИТЕРАТУРА

1. M. Knudsen, The Kinetic Theory of Gases, London, 1934.
2. Ю. В. Корнев и В. Н. Голубкин, Металловедение и физика металлов, вып. 2, 286, 1955.
3. J. B. Taylor and I. Langmuir, Phys. Rev., 51, 753, 1937.
4. H. M. Schadel and C. E. Birchenall, Journ. of Metals, 188, 1134, 1936.
5. C. L. McCabe and C. E. Birchenall, Journ. of Metals, 5, 707, 1953.
6. R. E. Honig, Journ. Chem. Phys., 21, 371, 1953.

## О ПАРАХОРЕ КАК КРИТЕРИИ СТРОЕНИЯ И СОСТОЯНИЯ МОЛЕКУЛ

*А. Е. Луцкий*

Значения макрофизических свойств ( $y$ ), как и значения величин, характеризующих те или иные соотношения между ними ( $y'$ ), широко применяются для суждения о строении и состоянии составляющих тело микро-частиц [1]. При этом, однако, не учитывается то обстоятельство, что свойства макротел связаны с составом и строением микрочастиц лишь посредством независимых свойств последних: их массу ( $m$ ), размер ( $V_m$ ), форму ( $\phi$ ), поляризуемость ( $z$ ), дипольный момент ( $\mu$ ), заряд ( $e$ ) [2]. Именно поэтому судить о строении и состоянии микрочастиц по значениям  $y$  и  $y'$  возможно лишь при условии, если известны их зависимости от каждого из свойств микрочастиц в отдельности и последних от их состава и строения. Всякий другой путь нельзя считать физически обоснованным; он неизбежно должен приводить к ошибочным или произвольным выводам, так или иначе приспособляемым к уже известным из других данных заключениям о строении и состоянии микрочастиц. Эти соображения можно иллюстрировать на примере такой величины как паракор

$$P = \frac{M\gamma^{1/4}}{D-d} = \frac{N\gamma^{1/4}}{n_{ж}-n_{п}} \quad (1)$$

или для  $T \ll T_{кр}$ :

$$P = \frac{M\gamma^{1/4}}{D} = \frac{N\gamma^{1/4}}{n_{ж}} \quad (2)^*$$

При применении  $P$  для суждения о строении и состоянии молекул исходят из предположения о его достаточно строгой аддитивности и неизменности с температурой [3—5], а также из того, что  $P$  является мерой молярного объема жидкости ( $V = M/D$ ) и отсюда объема самих молекул и отдельных их атомов [6—8].

Однако значения любых  $y$  и  $y'$  принципиально не могут быть достаточно строго аддитивными. Это следует из того, что изменение свойств молекулы с введением в нее того или иного атома  $x$  или с наличием в ней той или иной структурной особенности не является однозначной функцией лишь природы  $x$  или данной структурной характеристики. Оно зависит от валентного состояния  $x$ , природы атомов  $z$ , с которыми связывается в молекуле атом  $x$ , от типа и порядка связи между  $x$  и  $z$  и от природы атомов, участвующих в образовании данной структурной особенности. В результате расчленение значений  $y$  или  $y'$  на отдельные атомарные и структурные константы должно привести к весьма грубой аддитивной схеме. Расчленение же на отдельные групповые константы  $A_i$  должно дать аддитивную схему с почти бесконечным числом значений  $A_i$ . Однако и такого рода расчленение  $y$  и  $y'$  не может привести

\*  $M$  — молекулярный вес,  $\gamma$  — поверхностное натяжение,  $D$  и  $n_{ж}$ ,  $d$  и  $n_{п}$  — соответственно плотность и число молекул в единице объема жидкости и пара,  $T$  — температура,  $T_{кр}$  — критическая температура,  $N$  — число Авогадро.



к достаточно строгой их аддитивности, поскольку сами  $A_i$  вследствие взаимного влияния непосредственно и посредственно связанных групп и атомов не являются не зависимыми друг от друга. Это изменение значений  $A_i$  пытаются учесть введением в аддитивные схемы тех или иных поправок на взаимодействие  $B_i$  [9—10], считая, что

$$y(y') = \sum_i a_i \bar{A}_i + \sum_i b_i \bar{B}_i \quad (1)$$

(где  $a_i$  и  $b_i$  — число соответственно  $A_i$  и  $B_i$ ). Однако при этом снова пренебрегают тем обстоятельством, что и  $B_i$ , поскольку эффект того или иного взаимодействия зависит от остальной части молекулы, по своей природе не может быть константой. В результате в любых аддитивных схемах неизбежно пользуются средними значениями  $A_i$  и  $B_i$  и значение  $y$  или  $y'$  может быть представлено лишь в виде:

$$y(y') = \sum_i a_i \bar{A}_i + \sum_i b_i \bar{B}_i \pm K, \quad (2)$$

где  $K$  — поправка, связанная с принципиальной невозможностью строгой аддитивности  $y$  или  $y'$ . При этом абсолютное значение  $K$  может быть сколь угодно малым, если ограничиться применением предложенных значений  $\bar{A}_i$  и  $\bar{B}_i$  лишь к роду и числу соединений, использованных при их выводе, и сколь угодно великим при приложении этих значений  $\bar{A}_i$  и  $\bar{B}_i$  к большему числу соединений учтенных типов или к иным типам соединений.

Этим и объясняется невозможность достижения ни в одной из предложенных схем сколько-нибудь строгой аддитивности значения  $P$ . В аддитивных схемах из атомарных и структурных констант значения последних оказались заметно изменяющимися с расширением числа [8,11] и типа [12] соединений, учитываемых при их выводе, с изменением валентного состояния соответствующих атомов [13], с природой атомов, участвующих в образовании той или иной структурной особенности молекулы [14,15]. Наблюдаемое значение  $P$  даже для соединений, учтенных при выводе атомарных и структурных констант, дает в случае 35—45% этих соединений отклонение от аддитивного значения более чем на 0,5%; при выходе же за пределы учтенного числа соединений отклонение более 1% дают 15—20% всех рассмотренных тел [8,11]. Подвержены существенному изменению групповые константы  $A_i$  [16—21]. Так, значения  $A_i$  для  $\text{CH}_2$ ,  $\text{C}=\text{O}$  или  $\text{C}=\text{C}$  групп закономерно и довольно значительно изменяются от одного гомологического ряда к другому, а также внутри того же ряда в зависимости от длины углеводородной цепи. Это же установлено и для  $A_i$  таких групп, как  $\text{N}-\text{OH}$ ,  $(\text{C})\text{CH}_2-\text{NH}_2$ ,  $(\text{C})\text{CH}_2\text{OH}$  и др.; и значения  $A_i$  для больших структурных единиц оказались далекими от постоянства.

В случае  $P$  аддитивность нарушается еще и тем, что эта величина вовсе не является неизменной с температурой. При условии неизменности  $P$  с  $T$  из зависимостей (1) и (2) следовало бы, что

$$\frac{1}{\gamma} \frac{d\gamma}{dT} = \frac{4}{\Delta n} \frac{d(\Delta n)}{dT} \text{ или } K_\gamma = 4K_{\Delta n}, \quad (3)$$

$$\frac{1}{\gamma} \frac{d\gamma}{dT} = \frac{4}{D} \frac{dD}{dT} \text{ или } K_\gamma = 4K_D, \quad (4)$$

где  $\Delta n = n_{\text{ж}} - n_{\text{п}}$ , а  $K_\gamma$ ,  $K_{\Delta n}$  и  $K_D$  — относительные термические коэффициенты соответственно  $\gamma$ ,  $\Delta n$  и  $D$ . Статистические соображения указывают на возможность применения зависимости (5) лишь вблизи  $T_{\text{кр}}$ . Применимость же зависимостей (5) и (6) и при  $T \ll T_{\text{кр}}$  объясняют случайной компенсацией противоположно действующих факторов [22—23].

Таблица 1\*

Значения  $P$  замещенных фенола и анизола

Соединения	$P$		Литературные значения		$K_\gamma/K_D$ (131—184°)
	131 °C	184 °C	131 °C	191 °C	
o-C <sub>6</sub> H <sub>4</sub> (OH) NO <sub>2</sub>	276,9	276,6	275,0	—	4,08
m-C <sub>6</sub> H <sub>4</sub> (OH) NO <sub>2</sub>	282,4	286,0	—	286,3	2,85
p-C <sub>6</sub> H <sub>4</sub> (OH) NO <sub>2</sub>	285,4	288,8	285,5	289,9	2,76
o-C <sub>6</sub> H <sub>4</sub> (OCH <sub>3</sub> ) NO <sub>2</sub>	321,6	324,5	321,1 (25°)	323,2 (57°)	3,31
m-C <sub>6</sub> H <sub>4</sub> (OCH <sub>3</sub> ) NO <sub>2</sub>	321,6	324,7	—	—	3,26
p-C <sub>6</sub> H <sub>4</sub> (OCH <sub>3</sub> ) NO <sub>2</sub>	322,0	324,9	321,7 (68°)	323 (95°)	3,31
o-C <sub>6</sub> H <sub>4</sub> (OH) COCH <sub>3</sub>	310,6	313,6	308,2	—	3,32
m-C <sub>6</sub> H <sub>4</sub> (OH) COCH <sub>3</sub>	311,6	315,7	—	—	2,76
p-C <sub>6</sub> H <sub>4</sub> (OH) COCH <sub>3</sub>	312,6	316,2	313,5	316,9	2,92
m-C <sub>6</sub> H <sub>4</sub> (OCH <sub>3</sub> ) COCH <sub>3</sub>	350,2	355,2	—	—	3,04
p-C <sub>6</sub> H <sub>4</sub> (OCH <sub>3</sub> ) COCH <sub>3</sub>	349,9	352,5	—	—	3,61
o-C <sub>6</sub> H <sub>4</sub> (OH) CH <sub>3</sub>	257,4	259,4 (172°)	258,8 (14°)	—	3,26 (131—172°)
m-C <sub>6</sub> H <sub>4</sub> (OH) CH <sub>3</sub>	259,9	261,7 (172°)	261 (14°)	—	3,32 (131—172°)
p-C <sub>6</sub> H <sub>4</sub> (OH) CH <sub>3</sub>	260,9	262,6 (172°)	260 (14°)	—	3,34 (131—172°)
o-C <sub>6</sub> H <sub>4</sub> (OCH <sub>3</sub> ) CH <sub>3</sub>	299,2	303,2 (172°)	—	—	3,08 (131—172°)
m-C <sub>6</sub> H <sub>4</sub> (OCH <sub>3</sub> ) CH <sub>3</sub>	303,3	303,8 (172°)	—	—	3,83 (131—172°)
p-C <sub>6</sub> H <sub>4</sub> (OCH <sub>3</sub> ) CH <sub>3</sub>	303,3	304,5 (172°)	—	—	3,64 (131—172°)

\* Для расчета  $P$  по уравнению (2) были использованы измеренные значения  $D_\gamma$  при 131 и 184° (172°) C [2, 28].

В действительности подчинение и притом лишь приближенное указанным зависимостям имеет место лишь у сравнительно небольшого числа соединений. Это следует и из приведенных в табл. 1 данных для  $P$  ряда замещенных бензола при  $T \ll T_{кр}$ , для которых  $K_\gamma = (3,4 \pm 0,7) K_D$ . Это соотношение находится в согласии с давно известным фактом, что истинная связь между  $\gamma$  и  $\Delta n$  выражается зависимостью:  $\gamma^{1/m} = \text{const}(\Delta n)$ , где  $m$  колеблется у различных тел от 3,1 до 4,8 [24—25]. В результате значение  $P$ , рассчитанное по (1) или (2), не может не изменяться с температурой [26—27] и зависимость (4) для  $P$  имеет следующий вид:

$$P = \sum_i a_i \bar{A}_i + \sum_i b_i \bar{B}_i \pm K(T), \quad (7)$$

где поправка  $K$  является функцией от  $T$ , причем абсолютное ее значение может расти или уменьшаться с ростом  $T$  в зависимости от выбранных в аддитивной схеме значений  $\bar{A}_i$  и  $\bar{B}_i$ .

Неоднократно подчеркивалось [29—31], что  $P$  не является мерилем  $V$ , тем более он не является мерилем размера самих молекул и образующих их атомов. Между тем все конкретные структурные выводы из  $P$  или  $\Delta P = P_{\text{набл}} - P_{\text{адд}}$  основаны на предположении, что его изменение симбатно изменению размера молекул и атомов. В действительности  $P$  представляет собой лишь одну из многочисленных возможных величин типа  $\gamma'$ . Он характеризует произведение соответствующих значений двух макрофизических свойств того же тела (2) или частное значений такого рода свойств двух фаз того же тела, находящихся в равновесии друг с другом (1) [32]. Если учесть теоретически обоснованные зависимости для

$$\gamma = \frac{\text{const}(T_{кр} - T)}{V^{2/3}} \quad [33—34],$$

$$V = \frac{NcV_M}{\left(1 - \frac{RT}{\Delta E}\right)^3} \quad [28],$$

получим при

$$T_{кр} = \frac{4}{3} \frac{|U_0|}{k} \text{ и } \Delta E = 0,678 cN |U_0| - RT \quad [35]$$

следующее выражение для  $P$ :

$$P = \frac{[NcV_m]^{\alpha} \left[ \text{const} \left( \frac{4}{3} \frac{|U_0|}{k} - T \right) \right]^{\mu}}{\left[ 1 - \frac{RT}{0,678 Nc |U_0| - RT} \right]^{\beta}}, \quad (8)$$

где  $k$  — постоянная Больцмана,  $R$  — газовая постоянная,  $c$  — число седей данной молекулы,  $|U_0|$  — потенциальная энергия взаимодействия пары молекул,  $\Delta E$  — энергия испарения жидкости.

Очевидно,  $P$  является функцией не только размера, но и  $\alpha$  и  $\mu$  (через  $|U_0|$ ), а также  $\beta$  (через  $c$ ) молекул. Зависимость  $P$  и от сил сцепления и следовательно, и от  $\alpha$ ,  $\mu$  и  $\beta$  молекул нашла свое отражение и в попытке связать  $P$  с постоянными ван-дер-Ваальса [36] или с конфигурационными интегралами для жидкостей [22, 23, 33, 34, 37]. Эта зависимость  $P$  почти от всех свойств молекул обуславливает некоторую неопределенность тех выводов, которые делаются из  $P$  или  $\Delta P$  относительно конкретных изменений в строении молекул — их изгибании, контракции, экспансии.

Подчинение  $P$  зависимостям (7) и (8) приводит к тому, что предполагаемые по его значениям структурные особенности молекул часто противоречат выводам из данных для свойств самих молекул, непосредственно отражающих их строение и состав. Так, приписываемое муравьиной кислотой по данным для  $P$  строение противоречит результатам рентгенографического анализа [38, 39]; то же имеет место в отношении радикалов  $N_3$  и  $N_2$  [40, 41]. Известная произвольность имеет место особенно при суждении по  $P$  или  $\Delta P$  о тонком строении молекул: типе и порядке связи атомов, степени сопряжения групп и др. Связано это с тем, что предполагаемые значения  $\Delta P$  для такого рода структурных изменений часто сравнимы по размеру с обычными значениями  $K$  в (7). Так, вывод из  $P$  о затрудненности сопряжения функциональных групп в молекуле ортонитрохлорбензолов не согласуется с данными для их дипольных моментов [42]. Более того, различные аддитивные схемы  $P$  приводят в ряде случаев к совершенно отличным выводам о конкретном строении молекул. Это имеет место в отношении как типа связи атомов, так и в отношении характера сопряжения групп в молекуле. Пользуясь иной аддитивной схемой для  $P$ , предполагают для указанных выше радикалов  $N_3$  и  $N_2$  уже линейное, а не циклическое строение, однако при этом вынуждены отрицать наличие в молекуле эффекта сопряжения групп и принимать существование пятивалентного азота [13, 43]. В некоторых случаях в зависимости от того, для какой температуры взято значение  $P$ , наблюдаемое для сравнения с  $P$  аддитивным, можно сделать различные выводы о тонком строении молекул [26].

Критериями ассоциации молекул по данным для  $P$  считают подчинение только ассоциированных тел зависимости типа (7) с лишь отрицательным знаком для  $K$  (декремент парахора) и уменьшением его абсолютного значения с ростом  $T$  (рост  $P$  с  $T$ ) вследствие разрушения ассоциированных комплексов. Поскольку все тела, а не только ассоциированные, подчиняются зависимости (7), естественно, что указанные критерии состояния молекул в жидкости не могут быть однозначными. Подчинение всех тел зависимости (8) также предполагает, что  $P$  должно у всех тел расти с температурой.

В результате указанные критерии ассоциации молекул по данным для  $P$  должны во многих случаях приводить к выводам, противоречащим таковым из действительных критериев состояния молекул, а именно выво-

из закономерностей изменения макрофизических свойств  $y$  с изменением свойств микрочастиц. Действительно, по паракорным критериям следовало бы признать отсутствие ассоциации у некоторых низших жирных кислот, некоторых гликолей,  $m$ - и  $p$ -замещенных фенола и даже у воды при  $0^\circ\text{C}$  [16, 44—46]; наоборот, по этим же критериям следовало бы считать ассоциированными такие нормальные жидкости, как жирные амины и имины [47], крезилметилловые эфиры.

Таблица 2 [48—51]

 $\Delta P/\Delta T$  ассоциированных и нормальных жидкостей

Ассоциированные соединения	$t_1-t_2$	$\frac{\Delta P}{\Delta T}$	Нормальные соединения	$t_1-t_2$	$\frac{\Delta P}{\Delta T}$
$\text{H}_3\text{COOH}$	0—280	+0,021	$\text{CH}_3\text{COC}_2\text{H}_5$	24—50	+0,015
$\text{C}_3\text{H}_7\text{OH}$	5—145	+0,033	$(\text{C}_5\text{H}_{11})_2\text{CO}$	24—50	+0,043
$\text{C}_2\text{H}_5\text{OH}$	50—150	+0,025	$\text{C}_2\text{H}_5\text{ONO}_2$	30—60	+0,053
		+0,011			
$\text{F}$	—80—+195	+0,016	$\text{C}_6\text{H}_5\text{SH}$	17—76	+0,046
$\text{C}_6\text{H}_4(\text{CHO})\text{OH}$	130—191	+0,006	$(\text{CH}_3\text{CO})_2\text{O}$	15—50	+0,034
$\text{C}_6\text{H}_5\text{NH}_2$	50—150	+0,014	$(\text{C}_2\text{H}_5)_2\text{SO}_4$	40—130	+0,061
			$p\text{-C}_6\text{H}_4(\text{OCH}_3)_2$	131—172	+0,029

Как следует из табл. 2, у многих нормальных тел имеет место значительный рост  $P$  с температурой, превосходящий в ряде случаев таковой у ассоциированных тел; по некоторым данным, наоборот, у явно ассоциированных тел значение  $P$  лишь весьма незначительно изменяется в широком интервале температуры [52, 53].

## ВЫВОДЫ

1. Значения макрофизических свойств могут быть использованы для суждения о строении микрочастиц лишь при условии, если известны, с одной стороны, их зависимости от свойств последних, с другой, — зависимости свойств микрочастиц от их состава и строения.

2. Аддитивные схемы значений макрофизических свойств или величин, характеризующих те или иные соотношения между значениями макрофизических свойств (в том числе и паракора), не могут дать физически обоснованных и однозначных критериев строения и состояния молекул.

3. Приведены значения паракора для ряда замещенных фенола и аниола.

Политехнический институт  
им. В. И. Ленина  
Харьков

Поступила  
22. VII. 1955

## ЛИТЕРАТУРА

1. Р. Креман, М. Пестемер, Зависимость между физическими свойствами и химическим строением, ГОНТИ, М., 1939, главы III, XV и XVI.
2. А. Е. Луцкий, Журн. физ. химии, 29, 983, 1162, 1955; 30, 396, 1956.
3. T. Gibling, Journ. Chem. Soc., 299, 1941.
4. В. Н. Кондратьев, Структура атомов и молекул, Изд-во АН СССР, 1946, стр. 293.
5. М. Воронков, Журн. физ. химии, 23, 1311, 1949.
6. S. Sugden, The Parachor and Valency, L., 1930, стр. 30—32; Nature, 125, 778, 1930.
7. Н. Адам, Физика и химия поверхностей, Гостехиздат, 1947, стр. 220—222.
8. T. Gibling, Journ. Chem. Soc., 236, 1946.
9. J. Platt, Journ. Chem. Phys., 15, 419, 1947.
10. H. Bernstein, Journ. Chem. Phys., 20, 263, 1952.
11. S. Mumford a. J. Phillips, Journ. Chem. Soc., 75, 1950.
12. A. Vogel, Journ. Chem. Soc., 1825, 1833, 1948.



13. R. Samuel, Journ. Chem. Phys., **12**, 167, 1944.
14. L. Bhagwat, Journ. Indian Chem. Soc., **22**, 52, 1945.
15. G. Jeffery a. A. Vogel, Journ. Chem. Soc., 658, 1948.
16. C. Buehler, T. Gardner a. M. Clements, Journ. Org. Chem., **2**, 1, 1933.
17. D. Cowan, G. Jeffery, A. Vogel, Journ. Chem. Soc., 171, 1940.
18. K. Owen, O. Quayle, W. Clegg, Journ. Amer. Chem. Soc., **64**, 1294, 1942.
19. L. Bhagwat a. G. Bakore, Journ. Indian Chem. Soc., **25**, 175, 1948.
20. T. Johnston a. O. Quayle, Journ. Amer. Chem. Soc., **70**, 479, 1948.
21. A. Vogel, W. Creswell, G. Jeffery a. J. Leicester, Journ. Chem. Soc., 514, 1952.
22. R. Fowler, Proc. Roy. Soc., A **159**, 229, 1937.
23. J. Hirschfelder, Ch. Curtiss, R. Bird, Molecular Theory of Gases and Liquids, N. Y., 1954, стр. 356.
24. A. Ferguson, S. Kennedy, Trans. Farad. Soc., **32**, 1474, 1936.
25. M. Telang, Journ. Amer. Chem. Soc., **71**, 1898, 1949.
26. T. Gardner, Journ. Chem. Phys., **13**, 25, 1945.
27. П. П. Пугачевич, ЖЭТФ, **17**, 648, 1947.
28. А. Е. Лудкий, Журн. физ. химии, **28**, 264, 1954; Диссертация, Харьковский химико-технологический институт, М., 1949, стр. 79, 255.
29. A. Ferguson, Nature, **125**, 597, 1930.
30. V. Desreux, Bull. Belg., **44**, 249, 1935.
31. M. Telang, Journ. Amer. Chem. Soc., **71**, 1883, 1949.
32. В. К. Марков, ДАН, **85**, 1321, 1952.
33. Я. И. Френкель, Кинетическая теория жидкостей, Изд-во АН СССР, М., 1945, стр. 294.
34. J. Lennard-Jones, J. Corner, Trans. Farad. Soc., **36**, 1156, 1940.
35. С. Глестон, Теоретическая химия, ИИЛ, М., 1950, стр. 567, 572.
36. A. Aten, Rec., **54**, 666, 1935.
37. Р. Фаулер, Э. Гуггенгейм, Статистическая термодинамика, ИИЛ, М., 1949, стр. 381.
38. S. Ray, Journ. Indian Chem. Soc., **13**, 484, 1936.
39. F. Holtzberg, В. Post a. J. Fankuchen, Acta Cryst., **6**, 127, 1950.
40. С. Глестон, Усп. физ. химии, **88**, 1936.
41. P. Allen a. L. Sutton, Acta Cryst., **3**, 46, 1950.
42. G. Thomson, Journ. Chem. Soc., 404, 1944.
43. L. Bhagwat, Journ. Indian Chem. Soc., **27**, 283, 1950.
44. N. Sidgwick a. N. Bayliss, Journ. Chem. Soc., 2027, 1930.
45. I. Hallacher, H. Hibbert, Journ. Amer. Chem. Soc., **59**, 2514, 1937.
46. A. Burawoy a. J. Markowitsch-Burawoy, Journ. Chem. Soc., 1936.
47. T. Gibling, Journ. Chem. Soc., 149, 1943.
48. F. Hovorka, H. Lankelsma a. W. Smith, Journ. Amer. Chem. Soc., **62**, 2372, 1942.
49. D. Lewis, Journ. Chem. Soc., 32, 1940.
50. J. Speakman, Nature, **129**, 244, 1932.
51. A. Laubengayer, A. Ferguson, Journ. Amer. Chem. Soc., **63**, 477, 1941.
52. C. Buehler, J. Wood, D. Hulla, E. Erwin, Journ. Amer. Chem. Soc., **54**, 2398, 1932.
53. A. Vogel, Journ. Chem. Soc., 1814, 1948.

## ЭЛЕКТРОХИМИЧЕСКОЕ ИССЛЕДОВАНИЕ МЕДНО-ЦИНКОВЫХ АМАЛЬГАМ

*А. И. Зебрева и М. Т. Козловский*

Развитие электрохимических методов анализа, использующих ртутные и амальгамные электроды, требует подробного исследования свойств амальгам. Однако систематическому исследованию до сих пор, как правило, подвергались лишь простые амальгамы, т. е. амальгамы, содержащие один металл кроме ртути. Тем не менее известно, что металлы в амальгамах часто не остаются индифферентными друг к другу. Так, давно известно существование соединений между ртутью и щелочными металлами. Только благодаря образованию этих соединений потенциал выделения щелочных металлов на ртути сдвигается в сторону положительных значений настолько, что становится возможным электролитическое выделение этих металлов из водных растворов. Большой интерес представляет также образование соединений между металлами, растворенными в ртути. В литературе описаны случаи, когда вследствие образования интерметаллических соединений поведение металлов в амальгамах сильно изменялось. Так, например, Рассель [1] указывает, что восстановительная способность железо-цинковых, медно-оловянных и медно-цинковых амальгам, при определенных соотношениях металлов, близка к восстановительной способности простых медных амальгам. Наличие взаимодействия между медью и цинком в амальгамах было обнаружено также Е. Ф. Сперанской [2] при анодном разложении медно-цинковых амальгам с контролем потенциала амальгамного электрода.

Нами была поставлена работа, целью которой являлось более подробное изучение свойств амальгам, содержащих одновременно цинк и медь, и сравнение их со свойствами соответствующих простых амальгам. В качестве методов исследования были использованы электрохимические методы: электролиз с ртутным и амальгамными электродами (причем последние применялись как в качестве анода, так и в качестве катода), методы цементации и амальгамной полярографии.

Опыты по электролизу проводились в электролизере с разделенными анодным и катодным пространствами при постоянном контроле потенциала ртутного или соответственно амальгамного электрода (схема установки приведена на рис. 1). Измерение потенциала проводилось с точностью до 0,01 V. В нижеприведенных таблицах все значения потенциалов даны по отношению к нормальному водородному электроду. Для контроля выхода металла по току последовательно с электролизером в цепь был включен газовый кулонометр. Для исключения побочных процессов, обусловленных наличием кислорода в электролите, через раствор перед каждым опытом в течение получаса пропусклся водород. Исследования проводились при постоянной в течение опыта плотности тока. В различных опытах плотность тока изменялась от  $10^{-3}$  до  $10^{-2}$  А/см<sup>2</sup>. В качестве электролита применялись 0,1 N растворы хлорида натрия и соляной кислоты. Объем электролита в катодном пространстве (а в опыте по анодному окислению амальгам — в анодном) составлял 100 мл.

Первые опыты были проведены по электролизу солей цинка и меди. Электролиз проводился до полного выделения металлов из раствора, что устанавливалось по величине катодного потенциала и проверялось соот-

ветствующей качественной реакцией. Результаты этих опытов приведены в табл. 1—4.

Таким образом из растворов, содержащих в качестве фона 0,1 *N* соляную кислоту, цинк выделяется одновременно с выделением небольшого количества водорода. С увеличением плотности тока выход цинка по току

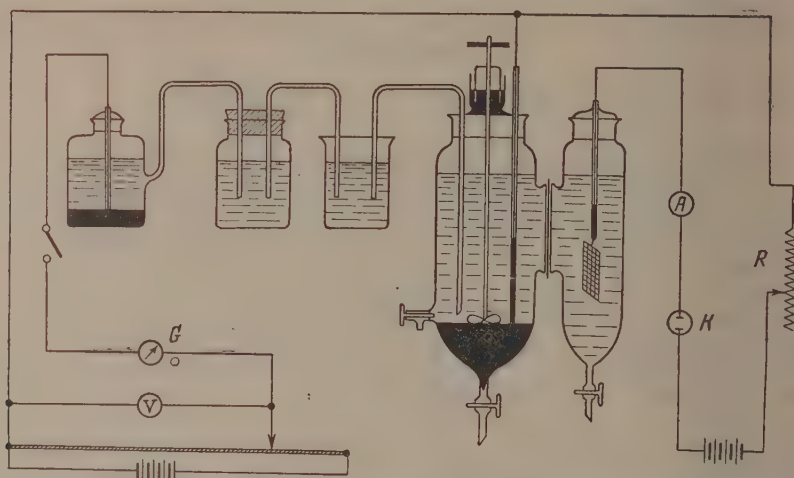


Рис. 1. Схема установки для электролиза с ртутным и амальгамными электродами. *K* — газовый кулонометр

увеличивается. При электролизе солей цинка из растворов хлорида натрия, слабо подкисленных соляной кислотой ( $\text{pH}=4$ ), выделение цинка на ртутном катоде проходит почти со стопроцентным выходом по току (табл. 2).

Таблица 1

Изменение катодного потенциала и выхода цинка по току при электролизе солянокислых растворов при различной плотности тока

Плотность тока, $\text{mA/cm}^2$	Количество цинка в растворе, г	Потенциал выделения цинка на ртутном катоде (V)		Выход цинка по току, %
		начальный	конечный	
0,9	0,1932	-0,60	-0,79	78,2
1	0,0541	-0,62	-0,80	76,5
2	0,1932	-0,70	-0,86	87,1
4	0,1932	-0,78	-0,90	91,3
4	0,0541	-0,80	-0,90	90,2
7,8	0,1932	-0,80	-0,94	98,1
9	0,1932	-0,81	-0,96	99,2

Таблица 2

Изменение катодного потенциала и выхода цинка по току при электролизе слабокислых растворов при различной плотности тока

Плотность тока, $\text{mA/cm}^2$	Количество цинка в растворе, г	Потенциал выделения цинка на ртутном катоде (V)		Выход цинка по току, %
		начальный	конечный	
1	0,0362	-0,70	-0,96	98,2
1	0,0541	-0,68	-0,96	98,3
3	0,0362	-0,74	-1,06	98,5
3	0,0541	-0,72	-1,05	98,8
5	0,0541	-0,86	-1,12	99,7
7	0,0362	-0,89	-1,16	99,1
7	0,0541	-0,88	-1,15	99,4
10	0,0541	-0,92	-0,116	99,6

При электролизе совершенно неподкисленных растворов наблюдается описанное Куссом [3] явление «шлакообразования», заключающееся в выпадении осадка гидроокиси цинка, захватывающей мелкие капельки ртути.

Результаты анодного окисления цинковых амальгам приведены в табл. 3.

При анодном окислении цинковых амальгам в слабоподкисленных или даже нейтральных растворах, как правило, часть цинка выделяется из амальгамы, не контролируясь кулонометром, в результате чего выход по току иногда приближается к 200%. Выделение это происходит за счет непосредственного взаимодействия атомов цинка с раствором, вероятно, с ионами водорода. В нейтральных растворах это приводит к образованию осадка гидроокиси цинка.

При электролизе солей меди (в присутствии хлорида натрия) с ртутным катодом нами наблюдалось следующее явление. В самом начале электролиза медь выделяется при потенциалах от  $+0,06$  до  $+0,12$  В в зависимости от плотности тока. В процессе электролиза, по мере уменьшения концентрации ионов меди, происходит постепенный сдвиг потенциала катода в сторону электроотрицательных значений (табл. 4, рис. 2). Этот сдвиг оказывается необычайно большим и при малых количествах меди достигает значений потенциала выделения натрия на ртути. К моменту достижения на-

риевгового потенциала медь еще остается в растворе в количествах  $0,15$  г/л при плотности тока  $5 \cdot 10^{-3}$  А/см<sup>2</sup>). Такой сдвиг потенциала не наблюдался нами лишь при плотностях тока, меньших  $1 \cdot 10^{-3}$  А/см<sup>2</sup>. В этих условиях выход меди по току приближался к 100%.

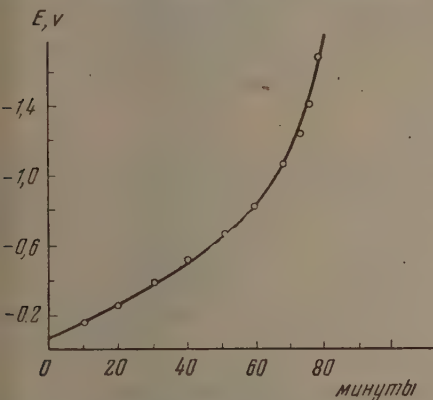


рис. 2. Изменение потенциала катода в процессе электролиза хлорида меди. Плотность тока  $5 \cdot 10^{-3}$  А/см<sup>2</sup>.

раствора хлорида цинка на катоде из предвзвешенной амальгамы меди часть цинка, приблизительно эквивалентная количеству меди в амальгаме (т. е.  $\text{Zn} : \text{Cu} = 1 : 1$ ), выделяется при более положительном потенциале, нежели потенциал выделения цинка на чистой ртути (табл. 5, рис. 3). Смещение потенциала выделения цинка в сторону положительных значений уменьшается с увеличением плотности тока и становится трудновымым уже при плотностях тока, равных  $10^{-2}$  А/см<sup>2</sup>. После достижения равновесного соотношения цинка и меди в амальгаме наступает сдвиг потенциала выделения цинка в сторону электроотрицательных значений.

При анодном окислении медно-цинковых амальгам часть цинка

Таблица 3

Изменение потенциала и выхода цинка по току при анодном окислении цинковых амальгам в слабоподкисленных хлоридных растворах

Плотность тока, мА/см <sup>2</sup>	Количество цинка в амальгаме, г	Потенциал анодного окисления цинка (В)		Выход цинка по току, %
		начальный	конечный	
2	0,0362	-0,66	-0,60	142,0
2	0,0541	-0,68	-0,60	172,0
2	0,1082	-0,69	-0,61	198,5
3	0,0541	-0,66	-0,56	165,9
3	0,1062	-0,67	-0,56	185,2
7	0,0541	-0,64	-0,54	157,0
7	0,1082	-0,65	-0,54	160,0
9	0,0541	-0,65	-0,53	137,0

При анодном окислении медных амальгам (при комнатной температуре в слабоподкисленном  $0,1$  N растворе хлорида натрия) одновременно с окислением меди происходит и окисление ртути с образованием каломели.

При электролизе растворов, содержащих одновременно соли цинка и меди, в результате отмеченного выше постепенного сдвига потенциала выделения меди на ртутном катоде, часть меди выделяется вместе с цинком — при потенциале восстановления цинка. При этом потенциале происходит полное выделение как меди, так и цинка. При электролизе же



Таблица 4

Изменение катодного потенциала и выхода меди по току при электролизе солей меди из хлоридных растворов

Плотность тока, $\text{mA}/\text{cm}^2$	Количество меди в растворе к началу электролиза, г	Потенциал выделения меди на ртутном катоде (V)		Средний выход меди по току, %
		начальный	конечный	
7	0,0906	+0,06	Потенциал катода постепенно сдвигается в область электроотрицательных значений вплоть до	53,5
7	0,0604	+0,05		55,3
5	0,0906	+0,08		58,7
4	0,0906	+0,09		57,3
3	0,0604	+0,10		58,1
1	0,0906	+0,11		98,5
0,84	0,0906	+0,12		99,2
0,84	0,0604	+0,12		100,1
0,7	0,0604	+0,12		100,1

Таблица 5

Зависимость потенциала выделения цинка на амальгаме меди от плотности тока

Электролит 0,1N NaCl (pH=4).

Количество цинка в 100 мл раствора (6,03 г)

Плотность тока, $\text{mA}/\text{cm}^2$	Количество меди в амальгаме, г	Потенциал выделения цинка на амальгаме меди (V)	
		до достижения эквивалентного соотношения	после достижения эквивалентного соотношения
4	0,00		-0,79*
4	0,0302	-0,23	-0,73
4	0,0453	-0,25	-0,74
4	0,0604	-0,24	-0,74
5	0,0604	-0,26	-0,75
6	0,0604	-0,28	-0,76
8	0,0604	-0,29	-0,78
10	0,0302	-0,67	-0,79
10	0,0453	-0,65	-0,79
20	0,0604	-0,69	-0,80

Таблица 6

Анодное окисление медно-цинковых амальгам

Электролит 0,1N NaCl (pH=4)

Плотность тока, $\text{mA}/\text{cm}^2$	Количество меди в амальгаме, г	Количество цинка в амальгаме, г	Потенциал окисления цинка, V	Количество цинка, выделившегося из амальгамы, г	Соотношение Zn : Cu, оставшихся в амальгаме
2,0	0,0302	1,1206	-0,79	0,0862	1,10 : 1
3	0,0604	0,1809	-0,78	0,1101	1,14 : 1
4	0,0302	0,1206	-0,77	0,0890	1,0 : 1
4	0,0604	0,2412	-0,78	0,1679	1,2 : 1
4	0,0905	0,1447	-0,72	0,0543	0,9 : 1
6	0,0604	0,2412	-0,77	0,1686	1,17 : 1
6	0,0906	0,2412	-0,75	0,1472	1,1 : 1
9	0,0906	0,2412	-0,73	0,1496	1,0 : 1

неизменно остается с медью, не выделяясь до начала окисления ртути (табл. 6).

Как видно из табл. 6, отношение цинка, оставшегося в амальгаме, к находящейся там же меди очень близко к единице.

Аналогичные результаты были получены при обработке медно-цинковых амальгам слабокислым раствором хлорида кадмия. При взаимодействии цинковой амальгамы с хлоридом кадмия происходит вытеснение кадмия цинком из раствора в амальгаму. Применение соли кадмия очень удобно тем, что кадмий способен цементироваться цинком, не взаимодействуя с медью. После цементации хлорида кадмия медно-цинковой амальгамой в полученном растворе проводилось определение цинка и кадмия

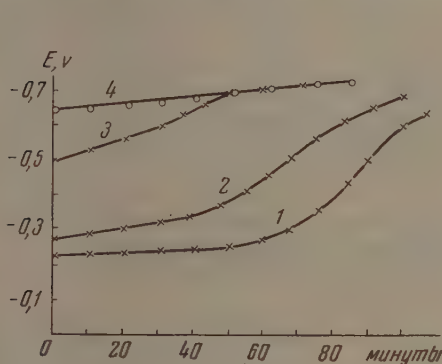


Рис. 3

Рис. 3. Изменение потенциала выделения цинка на амальгаме меди в процессе электролиза при различной плотности тока: 1— $4 \cdot 10^{-3} \text{ A/cm}^2$ , 2— $6 \cdot 10^{-3} \text{ A/cm}^2$ , 3— $1 \cdot 10^{-2} \text{ A/cm}^2$ , 4 — выделение цинка на ртути при плотности тока  $4 \cdot 10^{-3} \text{ A/cm}^2$

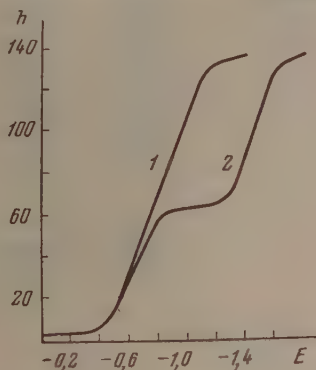


Рис. 4

Рис. 4. Полярограмма раствора соли кадмия: 1 — до цементации раствора медно-цинковой амальгамой; 2 — после цементации

полярографическим методом. Пробы для анализа отбирались нами как после 25-минутного встряхивания раствора хлорида кадмия с медно-цинковой амальгамой, так и после суточного стояния амальгам под раствором хлорида кадмия. Взаимодействие амальгамы с хлоридом кадмия осуществлялось в отсутствие воздуха (в атмосфере водорода). Как правило, после стояния результаты не изменялись. Цинк выделялся из амальгамы со стопроцентным выходом по кадмию. Это видно уже из того, что суммарная высота волн цинка и кадмия в полученном после цементации растворе равна высоте волны кадмия в первоначально взятом растворе (коэффициенты диффузии кадмия и цинка при бесконечном разбавлении одинаковы —  $0,72 \cdot 10^{-5} \text{ cm}^2/\text{сек.}$ ) (рис. 4). Однако, как видно из табл. 7, часть цинка неизменно остается с медью в амальгаме. Соотношение между медью и цинком, оставшимся в амальгаме, отличается большим постоянством и, наряду с результатами исследования медно-цинковых амальгам методом электролиза, приводит к выводу об образовании в медно-цинковых амальгамах интерметаллического соединения состава  $\text{ZnCu}$ .

Образование интерметаллического соединения между цинком и медью сказывается также и на результатах исследования медно-цинковых амальгам методом амальгамной полярографии.

Полярографические исследования проводились нами при помощи полярографа системы Н. Г. Гринмана, изготавливаемого Институтом энергетике АН КазССР. Сила тока измерялась при помощи зеркального гальванометра типа М-21 с чувствительностью, равной  $1,7 \cdot 10^{-9} \text{ A/мм.}$  Все операции с амальгамами проводились в атмосфере водорода.

Таблица 7

Результаты обработки медно-цинковых амальгам раствором хлорида кадмия

Количество меди в амальгаме, г	Количество цинка в амальгаме, г	Количество хлорида кадмия, взятого для обработки амальгамы в расчете на кадмий, г	Количество кадмия, оставшегося в растворе после обработки амальгамы, г	Количество цинка, выделившегося из амальгамы, г	Продолжительность обработки амальгамы раствором хлорида кадмия	Соотношение Zn : Cu, оставшихся в амальгаме
0,0604	0,2228	0,3087	0,0390	0,1569	25 мин.	1,03 : 1
0,0604	0,1830	0,4630	0,2531	0,1206	25 »	1,01 : 1
0,0604	0,2047	0,4116	0,1679	0,1416	22 часа	1,02 : 1
0,0604	0,1608	0,4116	0,2601	0,0875	18 »	1,15 : 1
0,0453	0,1386	0,4630	0,3077	0,0888	25 мин.	1,06 : 1
0,0453	0,1386	0,4630	0,3060	0,0889	20 час.	1,05 : 1
0,0302	0,1184	0,4116	0,2719	0,0815	15 мин.	1,19 : 1
0,0302	0,1184	0,4116	0,2695	0,0817	20 час.	1,17 : 1
0	0,1206	0,4116	0,2019	0,1202	20 мин.	

Таблица 8

Результаты полярографирования медно-цинковых амальгам.

Характеристика капилляра  $m^2/s^1/2 = 2,8$ 

Концентрация металлов в амальгаме, м-моль/л		$E_{1/2}$ с поправкой iR	$\Delta E / \lg \frac{i_d - i}{i}$	$i_d / m^2/s^1/2$	Электролит	Соотношение между пиком и медью не поддающимся полярографированию
цинка	меди					
3,01	1,55	—0,45	0,209	71,4	0,1 N NaCl	0,97 : 1
1,55	0,78	—0,49	0,268	35,7	0,1 N NaCl	0,92 : 1
3,01	1,55	—0,46	0,232	70,3	0,1 N NaCl	1,04 : 1
1,1	1,1	Никакой волны нет				
2,1	1,55	—0,54	0,181	28,6	0,1 N NaCl	0,98 : 1
1,55	0,78	—0,55	0,197	35,0	0,1 N Na <sub>2</sub> SO <sub>4</sub>	0,94 : 1
1,55	0,63	—0,53	0,152	39,5	0,1 N Na <sub>2</sub> SO <sub>4</sub>	1,03 : 1
0,95	2,3	—0,30	0,314	39,8	0,1 N KNO <sub>3</sub>	1 : 1,13
0,95	1,55	+0,30	0,218	24,3	0,1 N Na <sub>2</sub> SO <sub>4</sub>	1 : 1,14
0,38	0,76	+0,30	0,134	17,5	0,1 N KNO <sub>3</sub>	1 : 1,08

Как видно из табл. 8, высота анодной волны цинка зависит от количества присутствующей в амальгаме меди. С увеличением содержания меди в амальгаме высота волны цинка уменьшается. Когда атомное соотношение цинка и меди в амальгаме равнялось единице, волна цинка исчезала, причем не удавалось обнаружить также и волну анодного окисления меди. Если же количество меди превышало количество цинка в амальгаме, то появлялась анодная волна меди. Высота этой волны не соответствовала однако, содержанию меди в амальгаме и, в свою очередь, уменьшалась с увеличением содержания цинка в амальгаме.

На основании полученных результатов можно прийти к выводу, что медь с цинком в амальгаме дает при комнатной температуре интерметаллическое соединение состава ZnCu. Соединение ZnCu обладает более положительным потенциалом, нежели медь, и не окисляется до начала окисления ртути ни в одном из применявшихся нами электролитов: 0,1 N NaCl, 0,1 N Na<sub>2</sub>SO<sub>4</sub>, 0,1 N KNO<sub>3</sub>. Следует отметить, что анодные волны меди при полярографировании простой амальгамы меди удавалось наблюдать в растворах нитратов и сульфатов, в хлоридных же растворах волна меди очень плохо выражена, так как сливается с волной окисления ртути.

## ВЫВОДЫ

1. При получении простых амальгам меди путем электролиза раствора хлорида меди на фоне хлорида натрия с ртутным катодом наблюдается ненормально сильная поляризация катода. При электролизе хлорида цинка с ртутным катодом подобного явления не наблюдается.

2. При катодном выделении цинка на амальгаме меди наблюдается сдвиг потенциала выделения цинка в сторону положительных значений (по сравнению с потенциалом выделения цинка на чистой ртути).

3. При анодном окислении смешанных медно-цинковых амальгам лишь часть цинка, находящегося в амальгаме, окисляется при потенциале окисления простой цинковой амальгамы.

4. При обработке смешанных медно-цинковых амальгам раствором хлорида кадмия часть цинка, эквивалентная количеству меди в амальгаме, не участвует в процессе вытеснения (цементации) кадмия.

5. При использовании смешанной медно-цинковой амальгамы в качестве капельного анода наблюдается либо только волна окисления цинка (если количество цинка в амальгаме превышает количество меди в ней), либо только волна меди (если содержание меди в амальгаме превышает содержание цинка). Высоты этих волн соответствуют избыточному против эквивалентного соотношения количеству цинка или меди в амальгаме.

6. Обнаруженные явления могут быть объяснены образованием в амальгамах интерметаллического соединения состава  $ZnCu$ .

Казахский государственный  
университет им. С. М. Кирова  
Алма-Ата

Поступила  
25. VII. 1955

## ЛИТЕРАТУРА

1. A. S. Russel, P. V. F. Cazalet a. N. M. Irvin, Journ. Chem. Soc., 54, 837, 841, 852 1932.
  2. Е. Ф. Сперанская, Кандидатская диссертация, Алма-Ата, 1952.
  3. E. Kuss, Angew. Chem., 62, 519, 1950.
-



## АНАЛИТИЧЕСКИЙ МЕТОД РАСЧЕТА РАСПРЕДЕЛЕНИЯ ТОКА НА ЭЛЕКТРОДАХ

Л. И. Каданер

Распределение тока на электродах является важным для гальванотехники, катодной защиты металлов, а также ряда других электрохимических процессов, протекание которых зависит от плотности тока. В частности, для гальваностегии представляется важным умение рассчитать распределение тока на катоде с заданной конфигурацией в зависимости от параметров электролиза с целью определения их оптимального соотношения.

Первое сообщение об экспериментальном исследовании распределения тока на электродах, опубликованное в 1934 г., принадлежало Нобили [1]. Он исследовал систему плоский анод — точечный катод. Строгое аналитическое решение задачи о распределении тока в указанной системе было дано Риманом [2]. Однако Риман не принимал в расчет поляризации электродов. Впоследствии Вебер [3] выполнил аналитический расчет распределения тока для указанной системы с учетом поляризации анода. При этом он допускал, что поляризация прямо пропорциональна плотности тока.

В электротехнических расчетах используют известную аналогию между электрическим полем постоянных токов и электростатическим полем. Потенциал последнего удовлетворяет уравнению Лапласа:

$$\frac{\partial^2 \Phi}{\partial x^2} + \frac{\partial^2 \Phi}{\partial y^2} + \frac{\partial^2 \Phi}{\partial z^2} = 0, \quad (1)$$

являющемуся частным случаем уравнения Пуассона.

Во многих практических случаях формы электродов настолько сложны, что точный аналитический расчет поля оказывается невозможным. Задача упрощается, если ее можно свести к плоскопараллельному полю, т. е. полю системы бесконечно длинных, параллельных друг другу цилиндрических электродов и изоляторов (стенок электролизеров). Величины, характеризующие такое поле, зависят только от двух координат, в соответствии с чем уравнение Лапласа примет вид:

$$\frac{\partial^2 \Phi}{\partial x^2} + \frac{\partial^2 \Phi}{\partial y^2} = 0. \quad (2)$$

Расчет плоскопараллельного поля, даже без осложняющего влияния поляризации, удается выполнить далеко не всегда. Поэтому на практике для построения поля часто используют графический метод [4]. Этот метод был развит Г. В. Форсбломом [5] применительно к полю электролизера с учетом электродной поляризации. Однако графический метод, даже для лиц, имеющих достаточный навык, весьма кропотлив и трудоемок. Он еще более трудоемок, когда поле строится с учетом поляризации.

Для приближенного решения уравнения Лапласа в электротехнических расчетах применяется метод электрических (потенциальных) сеток [6], который также отличается большой трудоемкостью.

Надо отметить, что расчетом поля не исчерпывается решение задачи. Задача сводится к расчету поля при различных значениях параметров электролиза и выбору их оптимальных значений, обеспечивающих наибольшую равномерность распределения тока.

Поэтому предпочтительнее, если только представляется возможным, аналитическое решение, которое позволило бы сравнительно несложным расчетным путем установить картину распределения тока на электроде.

Сравнительно нелихожен расчет полей параллельных, некоаксиальных цилиндров с круговыми сечениями (без учета поляризации). Используя метод зеркальных изображений, можно без затруднений рассчитать поле цилиндра и плоскости.

Для расчета электростатических полей, так же как для решения многочисленных задач теории упругости, гидро- и аэродинамики, расчетов тепловых полей с успехом применяется метод конформных отображений [7].

Используя функции комплексных переменных, Каснер [8] рассчитал плоскопараллельные поля точечного катода и различных комбинаций плоских электродов, расположенных параллельно либо под прямым углом друг к другу. Данные, полученные Каснером, могут найти сравнительное применение в гальваностегии, в основном, для случая покрытия проволоки.

Попытка аналитического расчета плоскопараллельного поля в электролизере была сделана В. П. Машовцем и Г. В. Форблом [9]. Они вывели уравнение

$$\frac{\partial}{\partial \gamma} \left( \frac{a}{\gamma} \right) F + \frac{\partial}{\partial \gamma} \left( \frac{aF}{\gamma} \right) - \frac{a}{\gamma} \left( x \frac{\partial S}{\partial x} - \beta \frac{\partial S}{\partial \beta} - \gamma a \Gamma \right) = 0. \quad (3)$$

Положив  $di = 0$ , В. П. Машовец и Г. В. Форблом получили выражение

$$\frac{\partial}{\partial \gamma} \left( \frac{a}{\gamma} \right) = \frac{1}{F} \left( x \frac{\partial S}{\partial x} - \beta \frac{\partial S}{\partial \beta} - \gamma a \Gamma \right). \quad (4)$$

Действительно, если при некотором значении параметра  $\gamma$  токи в рассматриваемых трубках одинаковы, то  $di = 0$ . Далее авторы исследуют уравнение (4) при изменении параметра  $\gamma$ , упуская из виду, что  $di = 0$  только при совершенно определенном фиксированном значении  $\gamma$ . При всех других значениях  $\gamma$ ,  $di \neq 0$ , и, следовательно, изменяя параметр  $\gamma$  при исследовании уравнения (3), нельзя пренебрегать членом  $\frac{a}{\gamma} \frac{\partial F}{\partial \gamma}$ .

Для количественного расчета полей с заданной конфигурацией эти уравнения, независимо от их корректности, оказались непригодными.

Вагнер [10], применив метод конформных отображений, решил задачу о распределении тока (без учета поляризации): а) для катода-пластинки конечной величины, расположенной на бесконечном расстоянии от анода; б) для полубесконечных параллельных плоских анода и катода, помещенных в электролизер бесконечной ширины; в) для волнистой треугольной поверхности катода, расположенной на бесконечно большом расстоянии от анода.

Решение этих задач представляет интерес для гальваностегической практики, особенно, решение последней задачи, которое может быть применено для расчета распределения металла на поверхности резбонарезных деталей. Следует отметить, что решение, данное Вагнером, нельзя считать законченным, так как для практического его использования необходимо установить погрешность при переходе к конечным размерам для различных соотношений геометрических параметров.

Вагнер попытался дать аналитическое решение расчета поля для вышеуказанных геометрических случаев с учетом катодной поляризации. При этом он сделал упрощающее допущение о линейной зависимости изменения потенциала катода от плотности тока.

Задавись граничными условиями и используя одно из частных решений уравнения Лапласа, Вагнер получил интегральное уравнение

Фредгольма второго рода\*, которое решил с достаточной точностью при помощи метода итерации. Однако граничные условия были заданы Вагнером ошибочно. Приняв, что проекция плоского катода расположена по оси  $x$ , он положил, что градиент потенциала вблизи катода  $\partial\varphi/\partial n = \partial\varphi/\partial y$ , т. е., что силовые линии нормальны к поверхности катода, что возможно только в случае независимости поляризации от плотности тока. Естественно, что ошибочно заданные исходные граничные условия привели к ошибочным результатам. При этом Вагнер нигде не оговаривает допущенную ошибку при выборе граничных условий и не приводит метода оценки погрешности полученных формул.

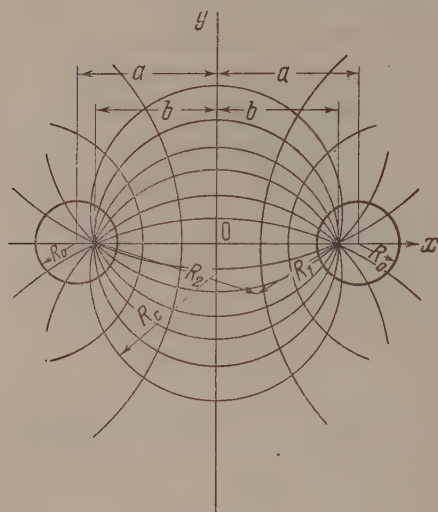


Рис. 1

Настоящее исследование посвящено изложению метода аналитического расчета распределения тока на катоде с учетом электродной поляризации. В качестве примера рассмотрено поле системы: круговой цилиндр — бесконечная пластина. В следующем сообщении будут рассмотрены способы аналитического расчета поля при помощи конформных отображений.

Порядок решения поставленной задачи сводится к следующим операциям: 1) находят распределение тока на поверхности катода, допустив независимость

потенциала электродов от плотности тока; 2) из найденного распределения плотностей и картины поля определяют распределение плотностей тока с учетом поляризации, допустив, что направление силовых линий определяется только геометрическими факторами; 3) вычерчивают кривые распределения плотностей тока без учета поляризации и с учетом поляризации между ними, на равном расстоянии от каждой кривой, проводят линию, которая и оказывается искомой кривой действительного распределения плотностей тока.

Катод — круговой цилиндр; анод — бесконечная пластина. В качестве примера рассмотрим задачу о распределении тока на поверхности кругового цилиндра с потенциалом  $\varphi_0$ , ось которого параллельна плоскому аноду с потенциалом нуль (рис. 1). Уравнение поверхности цилиндра и анода соответственно

$$(x-a)^2 + y^2 = R_0^2 \text{ и } x = 0. \quad (5)$$

Для решения задачи, допустив независимость потенциала от плотности тока  $d\varphi_k/dD = 0$ , воспользуемся методом зеркальных изображений. Построим фиктивное поле таким образом, чтобы оно было зеркальным изображением действительного поля по другую сторону анода. Тогда поверхность анода будет поверхностью равного потенциала, что и отве-

\* Интегральным уравнением Фредгольма второго рода называется уравнение

$$\varphi(x) - \lambda \int_a^b k(x, y) \varphi(y) dy = f(x),$$

где  $\varphi(x)$  — неизвестная функция,  $k(x, y)$  — ядро уравнения,  $f(x)$  — свободный член,  $\lambda$  — численный параметр.

мет действительным условиям. Расчет искомого поля сводится к расчету поля между двумя круговыми цилиндрами одинакового радиуса, имеющими противоположные электрические заряды.

Известно, что в этом случае эквипотенциальные линии описываются уравнением [4]

$$\left(x - \frac{1+k^2}{1-k^2}b\right)^2 + y^2 = \left(\frac{2kb}{1-k^2}\right)^2; \quad k = \frac{r_2}{r_1}, \quad (6)$$

, следовательно, представляют собою окружности с координатами центров  $y_0 = 0$ ,  $x_0 = \frac{1+k^2}{1-k^2}b$  и радиусом  $\frac{2kb}{1-k^2}$ . Координаты электрической

оси цилиндра  $x_{0.0} = b = \sqrt{a^2 - R_0^2}$ ;  $y = 0$ , где  $a$  — координата геометрической оси цилиндра,  $R_0$  — радиус окружности поверхности цилиндра).

Силовые линии, выходящие из любой точки окружности, проходят через электрическую ось и также представляют собой окружности, центры которых расположены на оси  $x = 0$ . Уравнение силовых линий

$$x^2 + (y - y_c)^2 = R_c^2. \quad (7)$$

Найдем связь между координатой центра окружности и радиусом

любой окружности  $R_c$ . Поскольку силовая линия проходит через электрическую ось  $x = b$ ,  $y = 0$ , ее уравнение может быть записано в виде

$$a^2 - R_0^2 + y_c^2 = R_c^2. \quad (8)$$

Уравнение силовой линии, проходящей через заданную точку  $(x_i, y_i)$ , будет иметь вид:

$$x_i^2 + (y_i - y_c)^2 = y_c^2 - R_0^2 + a^2. \quad (9)$$

Потенциал любой точки исследуемого поля можно вычислить по формуле

$$\varphi = \frac{I\rho}{2\pi h} (\ln R_2 - \ln R_1) = A \ln \frac{R_2}{R_1}, \quad (10)$$

где  $I$  — сила тока,  $h$  — высота цилиндра,  $\rho$  — удельное сопротивление электролита.

Напряженность поля

$$E = \sqrt{E_x^2 + E_y^2}. \quad (11)$$

В рассматриваемом случае удобнее перейти к цилиндрическим координатам, совмещая ось  $z$  с осью цилиндра. Напряженность поля на поверхности цилиндра будет иметь только одну радиальную составляющую

$$|E| = |E_R| = A \frac{2b}{R_1 R_2} = A \frac{2b}{\sqrt{(b-x)^2 + y^2} \sqrt{(b+x)^2 + y^2}} = A \frac{b}{x_i R_0}. \quad (12)$$

Плотность тока  $D$  связана с напряженностью  $E$  уравнением  $D = E/\rho$ . Следовательно,

$$D = \frac{A}{\rho} \frac{b}{x_i R_0} = \frac{A}{\rho} \frac{\sqrt{a^2 - R_0^2}}{x_i R_0}. \quad (13)$$

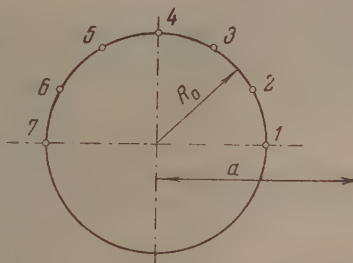


Рис. 2



Плотность тока на ближайшей к аноду точке окружности 1 ( $x = a - R_0, y = 0$ ) (рис. 2):

$$D_1 = \frac{A}{\rho} \frac{b}{(a - R_0) R_0} = \frac{I}{2\pi h} \frac{b}{(a - R_0) R_0}. \quad (14)$$

Плотность тока в наиболее отдаленной точке 7 ( $x = a + R_0, y = 0$ ) (рис. 2)

$$D_{\min} = D_7 = \frac{A}{\rho} \frac{b}{(a + R_0) R_0} = \frac{I}{2\pi h} \frac{b}{(a + R_0) R_0}. \quad (15)$$

При расчете длительности гальваностегического процесса исходят из минимальной плотности (на наиболее удаленном или экранированном участке). Контролируют же процесс по средней плотности тока, в соответствии с которой рассчитывают силу тока. Поэтому важно установить связь между минимальной плотностью тока  $D_{\min}$  и средней плотностью тока  $D_{\text{ср}}$

$$D_{\text{ср}} = \frac{I}{2\pi R_0 h}. \quad (16)$$

Сопоставляя (15) и (16), находим

$$D_{\text{ср}} = D_{\min} \sqrt{\frac{a + R_0}{a - R_0}}. \quad (17)$$

Определим, при какой минимальной конечной ширине анода останется практически неизменным найденное нами распределение плотностей тока. Для этого найдем из выведенных соотношений, через какой участок анода будет проходить 0,97 (или 0,99), силу тока  $I$ .

Силу тока на участке анода  $dy$  находим, используя (31) (см. ниже)

$$di_a = D_{a_i} h dy = \frac{2Ah}{\rho} \frac{\sqrt{a^2 - R_0^2}}{a^2 - R_0^2 + y^2}. \quad (18)$$

Сила тока на искомом участке анода

$$0,97 I = \frac{2Ah}{\rho} \sqrt{a^2 - R_0^2} \int_{-y_{\min}}^{y_{\min}} \frac{dy}{a^2 - R_0^2 + y^2} = \frac{\pi I}{2} \operatorname{arctg} \sqrt{\frac{y_{\min}^2}{a^2 - R_0^2}}. \quad (19)$$

Из (19) находим искомую ширину анода

$$l_a = 2y = 2 \sqrt{a^2 - R_0^2} \operatorname{tg} \frac{1,94}{\pi}. \quad (20)$$

Далее, для учета влияния поляризации на распределение тока допущаем, что направление силовых линий определяется только геометрическими факторами. Это допущение вносит в расчет известное искажение, вопрос об оценке которого будет рассмотрен ниже.

Найдем сопротивление электролита между катодом и анодом, воспользовавшись существующей аналогией между емкостью  $C$  и проводимостью  $G$  ( $\frac{C}{\varepsilon} = \frac{G}{\gamma}$ , где  $\varepsilon$  — диэлектрическая проницаемость и  $\gamma$  — удельная проводимость). Емкость кругового цилиндра относительно плоскости

$$C = \frac{2\pi\epsilon h}{\ln \left[ \frac{a}{R_0} + \sqrt{\left( \frac{a}{R_0} \right)^2 - 1} \right]}, \quad (21)$$

$$r = \frac{1}{G} = \frac{\epsilon \rho}{C} = \frac{\rho}{2\pi h} \ln \frac{a + \sqrt{a^2 - R_0^2}}{R_0}. \quad (22)$$

Определив плотность тока  $D_i$  на участке катода  $dS$  с координатами  $x_i, y_i$  из (13), рассчитаем силу тока на указанном участке

$$di_i = D_i h dS = \frac{A}{\rho} \frac{\sqrt{a^2 - R_0^2}}{x_i R_0} h dS. \quad (23)$$

Проводимость трубки  $dG_i$ , через которую проходит ток, определим из соотношения:

$$\varphi_0 = Ir = I \frac{\rho}{2\pi h} \ln \frac{a + \sqrt{a^2 - R_0^2}}{R_0} = \frac{di_i}{dG_i} = \frac{Ah}{\rho} \frac{\sqrt{a^2 - R_0^2}}{x_i R_0} \frac{dS}{dG_i}. \quad (24)$$

Определяем из (24)  $dG_i$

$$dG_i = \frac{h \sqrt{a^2 - R_0^2}}{\rho x_i R_0 \ln \frac{a + \sqrt{a^2 - R_0^2}}{R_0}} dS. \quad (25)$$

Для расчета плотностей тока с учетом поляризации составляем эквивалентную схему, в которой силовые трубки электролизера представлены виде системы параллельно соединенных проводников (рис. 3).

Если пренебречь величиной анодной поляризации, то можно написать

$$\varphi_0 = \frac{di_0}{dG_0} = |\Delta\varphi_{k_i}| + \frac{di_i}{dG_i};$$

$$D_{\min} h \frac{dS}{dG_0} = D_i h \frac{dS}{dG_i} + f(D_i), \quad (26)$$

где  $|\Delta\varphi_{k_i}| = f(D_i)$  — приращение потенциала катода на участке  $x_i, y_i$  относительно потенциала  $\varphi_{k_0}$  участка 7 (рис. 2) ( $x = a + R_0, y = 0$ );

$D_i$  — истинная плотность тока на участке  $x_i, y_i$ ;  $D_{\min}$  — минимальная плотность тока;  $G_0$  и  $G_i$  — проводимость трубок тока, опирающихся на участки 7 и  $i$ .

Зная зависимость изменения катодного потенциала от плотности тока, можно определить  $D_i$  на каждом участке аналитически, либо воспользоваться графическим методом Суходского, видоизмененным нами для более общего случая, когда отсутствует линейная связь между расстоянием от участка катода до анода и омическим сопротивлением.

В последнем случае для определения  $D_i$  вычерчиваем кривую зависимости потенциала катода от плотности тока и затем восстанавливаем перпендикуляр к оси потенциалов в точках  $A(\varphi_{k_0})$  и  $O(\varphi_{k_0} + \varphi_0)$  (рис. 4);  $\varphi_0$  предварительно рассчитываем из равенства (26).

Для определения  $D_i$  проводим прямую  $\varphi = D_i \cdot h r_i dS = D_i h \frac{dS}{dG_i}$ , считая началом координат точку  $O(\varphi = 0; D = 0)$ . Очевидно, искомое значение  $D_i$ , удовлетворяющее уравнению (26), получим в точке пересечения кривых  $\varphi_k = f(D)$  и  $\varphi = r_i h D_i dS$ .

Если по тем или иным соображениям нельзя пренебречь влиянием анодной поляризации, то уравнение (26) примет вид:

$$\varphi_0 = f(D_i) + \psi(D_{a_i}) + D_i h \frac{dS}{dG_i}. \quad (27)$$

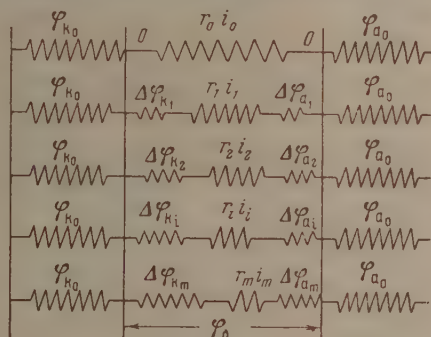


Рис. 3

Для определения  $D_{a_i}$  необходимо вычислить плотность тока в точке анода, в которую входит силовая линия, выходящая из точки катод  $x_i, y_i$ . Для этого, используя уравнение (9), находим координату центра окружности силовой линии  $y_c$ , проходящей через точки  $x_i, y_i$  и координату этой силовой линии в точке пересечения с анодом  $I_{a_i}$

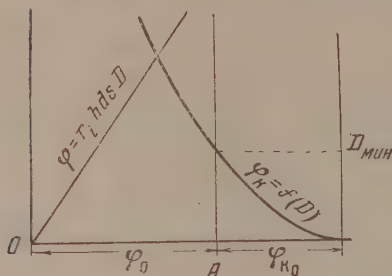


Рис. 4

$$y_0 = \frac{x_i^2 + y_i^2 + R_0^2 - a^2}{2y_i}, \quad (28)$$

$$y_{a_i} = y_c + R_c. \quad (29)$$

Очевидно, на аноде составляющая напряженности  $E_y = 0$ . Поэтому анодная плотность тока определяется из соотношений  $D_{a_i} = \frac{2E_x}{\rho}$  (где  $2E_x$  — напряженность, обусловленная катодом и его изображением) и  $E = A \frac{1}{l}$

где  $l$  — расстояние от электрического центра окружности до точки  $y = y_{a_i}$   $x = 0$ .

Очевидно,

$$E = A \frac{1}{\sqrt{b^2 + y_{a_i}^2}} = \sqrt{E_x^2 + E_y^2}. \quad (30)$$

Откуда найдем

$$D_{a_i} = \frac{2E_x}{\rho} = \frac{2A}{\rho} \frac{b}{b^2 + y_{a_i}^2}. \quad (31)$$

Находим отношение

$$\frac{D_{a_i}}{D_i} = t = \frac{\frac{2A}{\rho} \frac{b}{b^2 + y_{a_i}^2}}{\frac{A}{\rho} \frac{b}{x_i R_0}} = \frac{2x_i R_0}{b^2 + y_{a_i}^2}. \quad (32)$$

Уравнение (27) соответственно можно записать

$$\varphi_0 = f(D_i) + \psi(tD_i) + D_i h \frac{dS}{dG_i}. \quad (33)$$

Уравнение (33) может быть решено графически. Для этого, преобразуя (33), запишем

$$F(D_i) = 0 = f(D_i) + \psi(tD_i) + D_i h \frac{dS}{dG_i} - D_{мин} h \frac{dS}{dG_0}. \quad (34)$$

Задаваясь значениями  $D_i$ , находя соответствующие значения  $f(D_i)$  и  $\psi(tD_i)$ , из поляризационных кривых и графическим путем находим искомого значения  $D_i$ , при котором  $F(D_i)$  обращается в нуль.

В результате для каждого участка катода определяем соответствующую плотность тока.

\* \* \*

Как мы уже отмечали, допущение о зависимости формы линий тока от геометрических факторов вносит известное искажение в расчет. Естественно, что при этом возникает вопрос о количественной оценке указанного искажения.

Допустим, мы получили кривую  $I$  распределения плотностей тока на катоде без учета поляризации и кривую  $II$  — с учетом поляризации, допустив неизменность в обоих случаях направлений силовых линий. Решим следующую задачу. Расположится ли кривая распределения действительных плотностей тока между кривыми  $I$  и  $II$ , или вне рассматриваемых кривых?

Рассмотрим две силовые трубки, опирающиеся на равновеликие участки катода. Поверхность катода эквипотенциальна, и соответственно падение напряжения в электролите в обеих трубках равно  $V$  (рис. 5, а). Сопротивление электролита в первой трубке  $R_1$  и во второй  $R_2$ , соответственно

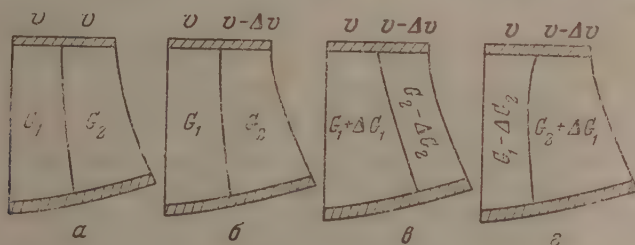


Рис. 5

проводимость  $1/R_1 = G_1$  и  $1/R_2 = G_2$ . Сила тока в первой трубке  $i_1 = VG_1$  и во второй трубке  $i_2 = VG_2$ .

Пусть  $R_2 < R_1$ , тогда  $G_2 > G_1$  и  $i_2 > i_1$ .

Если катод поляризован и потенциал катода изменяется с плотностью тока, то при падении напряжения в первой трубке  $V$ , падение напряжения во второй трубке электролита будет  $V - \Delta V$  (рис. 5, б). Если принять, что трубки тока сохранили свою первоначальную форму, то сила тока в первой трубке  $i_1' = VG_1 = i_1$ . Сила тока во второй трубке  $i_2' = (V - \Delta V)G_2 < i_2$ .

Однако в действительности под влиянием катодной поляризации силовые трубки изменят свою форму. Поэтому проводимость одной трубки увеличится на некоторую величину  $\Delta G_1$ , а проводимость другой трубки при этом уменьшится на  $\Delta G_2$ .

Здесь принципиально возможны два случая перераспределения проводимости: 1) в первой трубке проводимость возрастет, а во второй — уменьшится; 2) в первой трубке проводимость уменьшится, а во второй — возрастет.

Для рассмотрения возможности того или иного распределения вычислим величину работы (мощности), выполняемой электрическим током в каждом из двух рассматриваемых случаев. Очевидно, термодинамически выгодным (возможным) будет такой случай перераспределения проводимостей, при котором будет выполнена меньшая работа.

Вычислим мощность  $W_1$  для случая, когда проводимость в первой трубке возрастет на  $\Delta G_1$ , а во второй — уменьшится на  $\Delta G_2$  (рис. 5, в):

$$W_1 = V^2(G_1 + \Delta G_1) + (V - \Delta V)(G_2 - \Delta G_2). \quad (35)$$

Вычисляя мощность  $W_2$  для случая, когда проводимость во второй трубке увеличится на  $\Delta G_1$ , а в первой — уменьшится на  $\Delta G_2$  (рис. 5, г).

$$W_2 = V^2(G_1 - \Delta G_2) + (V - \Delta V)^2(G_2 + \Delta G_1). \quad (36)$$

Преобразуя (35) и (36), получим

$$W_1 = V^2 G_1 + G_2(V - \Delta V)^2 + V^2(\Delta G_1 - \Delta G_2) + \Delta G_2 \Delta V(2V - \Delta V), \quad (37)$$

$$W_2 = V^2 G_1 + G_2(V - \Delta V)^2 + V^2(\Delta G_1 - \Delta G_2) + \Delta G_1 \Delta V(\Delta V - 2V). \quad (38)$$



Из сопоставления правых частей равенств (37) и (38) видно, что они отличаются только величиной последних членов. Так как всегда  $V \geq \Delta V$ , то  $2V - \Delta V > 0$ , а  $\Delta V - 2V < 0$  и

$$\Delta G_2 \Delta V (2V - \Delta V) > 0 > \Delta G_1 \Delta V (\Delta V - 2V). \quad (39)$$

Соответственно  $W_1 > W_2$  при любых значениях  $\Delta G_2$  и  $\Delta G_1$ . Следовательно единственно возможный случай перераспределения — это случай, когда во второй трубке проводимость увеличится, а в первой уменьшится. При этом действительная сила тока во второй трубке  $i''_2 = (V - \Delta V)(G_2 + \Delta G_1) > i'_2$ , т.е. участок с большей силой тока станет более нагруженным и, следовательно, действительное распределение тока с учетом перераспределения силовых линий будет менее равномерным, чем расчетное распределение тока с учетом поляризации и допущением неизменности направления силовых линий. Соответственно кривая распределения действительных плотностей тока расположится между кривыми  $I$  и  $II$ .

К этому следует добавить, что вследствие уменьшения плотностей тока, вызванного катодной поляризацией, сама величина поляризации несколько изменится, что вызовет некоторое увеличение плотностей тока и т. д. Из этих соображений также кривая распределения действительных плотностей тока должна расположиться между кривыми  $I$  и  $II$ .

Так как кривая распределения действительных плотностей тока может пройти как в непосредственной близости от кривой  $I$ , так и вблизи кривой  $II$ , то мы уменьшим возможную ошибку, если будем считать искомой кривой распределения действительных плотностей тока кривую, равноудаленную от кривой  $I$  (распределения тока без учета поляризации) и кривой  $II$  (распределения тока с учетом поляризации и допущения неизменности форм трубок тока) и расположенную между ними.

Сопоставление указанной искомой кривой с кривой  $I$  дает возможность легко подсчитать максимально возможный процент ошибки в каждом конкретном случае. При расчете относительной ошибки мы считаем кривую  $I$  кривой распределения действительных плотностей тока и величины плотностей тока на найденной кривой сопоставляем с соответствующими величинами плотностей тока на кривой  $I$ .

\* \* \*

Изменение плотностей тока под влиянием катодной и анодной поляризации приведет к изменению суммарной силы тока (при заданной минимальной плотности тока). Действительное значение силы тока  $I_d$  найдем, разбивая полуокружность на  $n$  равных частей (где  $n$  — четное число) и находя в каждой значение плотности тока. Затем по формуле Симпсона рассчитываем силу тока как удвоенную\* сумму произведений средней плотности тока на каждом участке на поверхность участка:

$$I_d = \frac{2\pi R_0 h}{3n} (D_0 + 4D_1 + 2D_2 + 4D_3 + \dots + 2D_{n-2} + 4D_{n-1} + D_n), \quad (40)$$

где  $D_0 \equiv D_{\min}$ .

Зная  $I_d$ , рассчитываем среднюю плотность тока

$$D_{\text{ср}} = \frac{I_d}{2\pi R_0 h} \text{ и } K_p = \frac{D_{\min} 2\pi R_0 h}{I_d}. \quad (41)$$

\* \* \*

В таблице приведены данные расчета распределения тока на поверхности кругового цилиндра при различных значениях радиуса  $R_0$  и различных соотношениях  $a/R_0$  без учета поляризации, при незначительной

\* Считая силу тока, относящуюся ко всей поверхности цилиндра.

поляризации (в никелевом электролите состава:  $\text{NiSO}_4 \cdot 7\text{H}_2\text{O}$ —140 г/л,  $\text{NH}_4\text{Cl}$ —13 г/л,  $\text{H}_3\text{BO}_3$ —15,5 г/л, при 18°) [11, 12] и при большой величине поляризации (в цинковом цианистом электролите состава:  $\text{K}_2\text{Zn}(\text{CN})_4$ —5 г/л,  $\text{KCN}$ —15 г/л,  $\text{NaCl}$ —20 г/л,  $\text{NaOH}$ —20 г/л при 18°) [13]. При расчете минимальная плотность тока в никелевом электролите была принята 1 А/дм<sup>2</sup>, в цинковом цианистом — 0,25 А/дм<sup>2</sup>. Для большей наглядности распределение тока для двух геометрически подобных конфигураций ( $a/R_0 = 2$ ) представлено графиком (рис. 6).

Распределение тока на поверхности кругового цилиндра (в процентах)

№ участка (см. рис. 2)	Значение $x_i$	$R_0 = 2 \text{ см}; a = 4 \text{ см}; \frac{a}{R_0} = 2$			$R_0 = 2 \text{ см}; a = 10 \text{ см}; \frac{a}{R_0} = 5$			$R_0 = 10 \text{ см}; a = 20 \text{ см}, \frac{a}{R_0} = 2$		
		D в %			D в ‰			D в ‰		
		Без учета поляризации	В никелевом электролите	В цинковом цианистом электролите	Без учета поляризации	В никелевом электролите	В цинковом цианистом электролите	Без учета поляризации	В никелевом электролите	В цинковом цианистом электролите
1	$a - R_0$	300	270 285	152 228	122	120 121	112,8 117,4	300	292 296	236 268
2	$a - R_0 \frac{\sqrt{3}}{2}$	264	243 253,5	145,6 204,8	120	119 119,5	110,4 115,2	264	258 261	213,6 238,8
3	$a - \frac{R_0}{2}$	200	189 194,5	132 166	116	115,4 115,7	108,4 112,2	200	197 198,5	173,6 186,8
4	$a$	150	146 148	118,4 134,2	110	110 110	105 107,5	150	148 149	138,4 144,2
5	$a + \frac{R_0}{2}$	120	119 119,5	108 114	105	105 105	102,8 103,9	130	119 119,5	114 117
6	$a + R_0 \frac{\sqrt{3}}{2}$	105	104,5 104,7	103 104	101	101 101	100,8 100,9	105	105	104 104,5
7	$a + R_0$	100	100	100	100	100	100	100	100	100
Словные обозначения кривых на рис. 6		a	в	д				а	б	в

Примечание. В столбцах: «В никелевом электролите» и «В цинковом цианистом электролите» верхние цифры (каждой пары цифр) показывают плотность тока с учетом катодной поляризации при допущении зависимости формы линии тока только от геометрических факторов. Нижние цифры показывают вычисленную действительную плотность тока.

Кривые на рис. 6 построены по верхним цифрам.

Из данных, приведенных в таблице, следует, что при увеличении расстояния между электродами ( $R_0 = 2 \text{ см}; a = 4 \text{ см}$  и  $R_0 = 2 \text{ см}; a = 10 \text{ см}$ ) значительно возрастает равномерность распределения тока на катоде. При геометрически подобных конфигурациях ( $R_0 = 2 \text{ см}; a = 4 \text{ см}$  и  $R_0 = 10 \text{ см}; a = 20 \text{ см}$ ) распределение тока в отсутствие поляризации, естественно, совершенно идентично. Влияние катодной поляризации значительно больше при меньших линейных размерах ( $R_0 = 2 \text{ см}; a = 4 \text{ см}$ ) и меньших расстояниях между электродами.

Как видно из таблицы, максимальная ошибка при расчете плотностей тока в цинковом цианистом электролите только для случая  $R_0 = 2 \text{ см}$ ;

$a = 4$  см, т. е. когда катод практически почти касается анода, — может составить 29%. Для всех остальных рассмотренных случаев, когда катод находится от анода на расстоянии 8—10 см, максимальная ошибка не превысит 4—10%, что находится в пределах чувствительности метода капельного определения толщины покрытий.

В никелевом электролите даже при малом размере катода ( $R_0 = 2$  см) и малом расстоянии ( $a = 4$  см) между электродами предложенный метод расчета плотностей тока не дает сколько-нибудь заметных искажений.

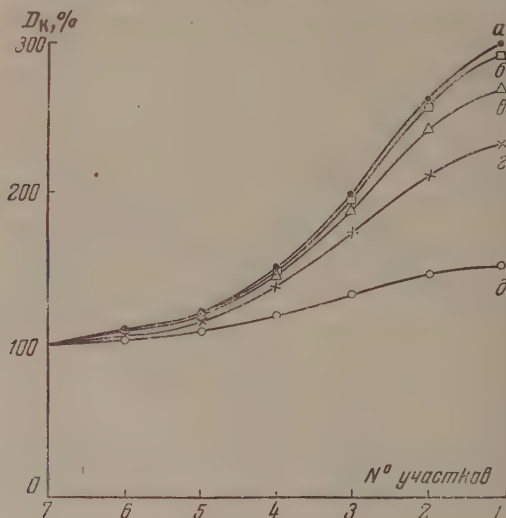


Рис. 6

При больших значениях поляризации и достаточно больших расстояниях между электродами (порядка 10 см) максимально возможные относительные искажения при расчете действительных плотностей тока также не превышают значений, допускаемых обычно в технике. Только в случае больших значений поляризации и малых линейных размеров электродов и расстояний между электродами (например,  $R_0 = 2$  см,  $a = 4$  см) предложенный метод может принести заметные искажения, хотя и в этом случае он может применяться для ориентировочной оценки распределения тока на катоде. По крайней мере, для каждого конкретного случая можно точно вычислить максимально возможный процент ошибки.

### ВЫВОДЫ

1. Предложен аналитический метод расчета плотностей тока на катоде.
2. Рассмотрен случай распределения тока на поверхности кругового цилиндра.

Институт советской торговли  
Харьков

Поступила  
1. VIII. 1955

### ЛИТЕРАТУРА

1. L. Nobili, *Memoire ed osservazioni*, edite, 1, 56, 1934.
2. Б. Р и м а н, *Сочинения*, Гостехиздат, М.—Л., 1948.
3. Н. W e b e r, *Crelle's Journal reine u. angew. Math.*, 75, 95, 1873; 76, 7, 1873.

4. Л. Р. Нейман и П. Л. Калантаров, Теоретические основы электротехники, т. III, Госэнергоиздат, Л.—М., 1948.
  5. Г. В. Форсблом, Журн. прикл. химии, **27**, 321, 1953.
  6. С. А. Гершгорин, Журн. прикл. физики, **4**, 3, 1929.
  7. М. А. Лаврентьев и Б. В. Шабат, Методы теории функций комплексного переменного, Гостехиздат, М.—Л., 1951.
  8. C. K a s p e r, Trans. Electrochem. Soc. **77**, 353, 365; **78**, 131, 147, 1940; **82**, 153, 1942.
  9. В. П. Машовец и Г. В. Форсблом, Журн. физ. химии, **26**, 1389, 1952.
  10. C. W a g n e r, Journ. Electrochem. Soc., **98**, 116, 1951.
  11. W. B l u m a. J. H o g a b o o m, Principles of Electroplating and Electroforming, N. Y., 1930.
  12. L. C. F l o w e r s a. J. C. W a r n e r, Trans. Electrochem. Soc., **62**, 77, 1932.
  13. E. M a n t z e l, Z. f. Elektrochem., **42**, 6, 303, 1936.
-



## ВЛИЯНИЕ КИСЛОТНОСТИ РАСТВОРА НА КАТОДНУЮ ПОЛЯРИЗАЦИЮ ПРИ ЭЛЕКТРООСАЖДЕНИИ КОБАЛЬТА И НИКЕЛЯ

*З. А. Соловьева и О. А. Абрамов*

Изучение механизма разряда ионов Co, Ni и Fe неоднократно привлекало внимание многих исследователей, поскольку выделение их на катоде из водных растворов простых солей (сульфатов и хлоридов) сопровождается, в отличие от электроосаждения других металлов, довольно высокой катодной поляризацией [1]. Это явление, выделяющее металлы Co, Ni и Fe в особую группу среди других металлов, имеет принципиальное значение для выяснения механизма электродных процессов и заслуживает детального изучения.

В литературе имеются самые разнообразные мнения относительно причин высокого перенапряжения при выделении металлов группы железа. Одни исследователи [2] считают, что причина заключается в высокой прочности гидратных комплексов этих ионов в водных растворах, разрушение которых требует значительной энергии активации. Другие связывают затруднение разряда ионов этих металлов с совместным выделением водорода, который действует или как отрицательный катализатор на разряд ионов Co, Ni и Fe [3], или образует адсорбционную пленку, препятствующую разряду ионов и кристаллизации металла [4], или вызывает деформацию кристаллической решетки [5], или, наконец, дает гидриды с металлами группы железа [6]. Третьи полагают [7], что высокая катодная поляризация при электроосаждении металлов группы железа связана с особой электронной конфигурацией их ионов, а именно, с образованием при разряде неустойчивой электронной конфигурации атомов, которая стремится перейти в устойчивую путем перемещения электронов с четвертой орбиты на третью. Четвертые [8] придерживаются точки зрения, согласно которой высокое перенапряжение при разряде Co, Ni и Fe связано с высокой прочностью кристаллической решетки этих металлов. Высказывалось также мнение [9], что значительная часть катодной поляризации при электроосаждении металлов группы железа вызвана пассивированием катодной поверхности вследствие адсорбции на ней гидроокисей этих металлов, всегда присутствующих в прикатодном слое.

Для выяснения механизма катодного процесса и природы химической поляризации при электроосаждении Co, Ni и Fe весьма важно знать, как влияет состав раствора на величину катодной поляризации. В литературе до настоящего времени отсутствует ясное представление о влиянии отдельных компонентов электролита на скорость разряда ионов металлов группы железа. Таким неясным вопросом, в частности, является влияние кислотности электролита, по поводу которого существуют противоречивые данные.

Исследования Швайцера [10], Шильдбаха [11] и Фёрстера [3] показали, что увеличение концентрации ионов  $H^+$  в растворе повышает катодную поляризацию при электроосаждении Co, Ni и Fe из сернокислых и хлористых электролитов, хотя четкого представления о влиянии pH раствора в широком интервале изменения эти работы не дают. Однако Глестон [7], изучая электроосаждение Co, Ni и Fe, пришел к выводу, что pH не влияет на потенциал выделения этих металлов.

В настоящей статье приводятся некоторые экспериментальные результаты о влиянии pH раствора на катодную поляризацию при электроосаждении кобальта и никеля из водных растворов некоторых простых солей.

Исследование поляризации производилось осциллографическим методом измерения потенциалов с записью кривых  $\eta - t$  на фотопленку [12]. Катодом служило поперечное сечение 0,5 мм медной проволоки, поверхность которого перед каждым опытом покрывалась слоем свежеосажденного одноименного металла в отдельной

ячейке. Потенциалы измерялись против нормального водородного электрода. На основании кривых  $\eta - t$  строились кривые зависимости поляризации от pH раствора.

Поскольку в литературе имеется тенденция связывать влияние pH раствора на катодную поляризацию металлов группы железа с совместным выделением водорода, было исследовано изменение выходов по току металла и водорода в зависимости от pH. Выходы по току определялись в ячейке с разделенным при помощи диафрагмы из стеклянного фильтра анодным и катодным пространством во избежание попадания анодных продуктов электролиза к поверхности катода. Катодом служила платиновая пластинка площадью  $2 \text{ см}^2$ . Выход металла определялся по привесу катода, выход водорода — по количеству собранного в микробюретке газа.

Была исследована катодная поляризация кобальта в 1N растворах хлористого, сероводородного и уксуснокислого кобальта и никеля в 1N растворе сероводородного никеля при  $25^\circ\text{C}$  и плотности тока  $10 \text{ mA/cm}^2$ . pH растворов измерялось стеклянным электродом. Изменение pH от 1 до 6 производилось добавлением растворов соответствующих кислот ( $\text{HCl}$ ,  $\text{H}_2\text{SO}_4$  или  $\text{C}_2\text{H}_4\text{O}_2$  и в некоторых случаях соды). Буферные добавки в растворы не вводились, так как осадки из указанных выше растворов получались достаточно хорошего качества (плотные, равномерные и более или менее светлые) в широком интервале pH, за исключением области  $\text{pH} = 3-6$  при осаждении никеля, когда осадки вскоре после начала электролиза темнели. Кроме того, исследование показало, что борная кислота, вводимая обычно в электролит в качестве буферной добавки, сильно повышает величину катодной поляризации при электроосаждении Co и Ni и, следовательно, не только буферизирует электролит, но и является дополнительным фактором, влияющим на протекание самого электродного процесса\*.

На рис. 1 представлена фотокопия с пленки, показывающей изменение катодной поляризации со временем электролиза в растворе 1N  $\text{CoCl}_2$  при  $\text{pH} = 2,5$ , при температуре  $25^\circ\text{C}$  и плотности тока  $10 \text{ mA/cm}^2$ . Участок 1 соответствует нулевой линии отсчета значения потенциалов против водородного электрода, участок 2 — стационарному потенциалу Co-электрода в данном растворе до начала электролиза, участок 3 — изменению катодного потенциала при включении поляризующего тока, участок 4 — изменению стационарного потенциала Co-электрода после выключения тока и участок 5 — изменению катодного потенциала при повторном включении тока после 15 сек. перерыва.

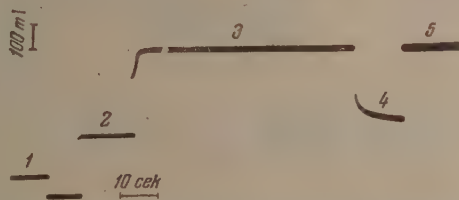


Рис. 1. Изменение катодного потенциала во времени при электроосаждении кобальта из 1N  $\text{CoCl}_2$  при  $\text{pH} = 2,5$  при  $25^\circ\text{C}$ ;  $i_k = 10 \text{ mA/cm}^2$

Как видно из рис. 1, катодная поляризация кобальта в растворе  $\text{CoCl}_2$  при  $\text{pH} = 2,5$  довольно быстро достигает высокого значения и мало меняется при дальнейшем продолжении электролиза. При повторном включении тока после непродолжительного перерыва электролиза катодный потенциал очень быстро достигает того же значения. Это указывает на то, что начальная замедленность подъема катодного потенциала связана, вероятно, с исходным состоянием поверхности Co-электрода, а также свидетельствует об отсутствии явления пассивирования в данном растворе.

Для более кислых растворов  $\text{CoCl}_2$  наблюдается более медленное достижение стабильного значения потенциала в начале электролиза, чем для раствора  $\text{pH} = 2,5$ , а для менее кислых — более быстрое.

На рис. 2 представлена зависимость катодной поляризации кобальта от величины pH раствора 1N  $\text{CoCl}_2$ , причем для построения кривой взяты значения потенциалов, устанавливающихся после 1 мин. электролиза. Из рис. 2 можно видеть, что в области  $\text{pH} = 1,0-2,5$  катодная поляризация значительно больше ( $\sim 350 \text{ mV}$ ), чем в области  $\text{pH} = 3,5-5,5$  (меньше  $200 \text{ mV}$ ), причем переход от высоких значений поляризации к

\* Влиянию борной кислоты на электроосаждение кобальта и никеля будет посвящена отдельная статья.

более низким происходит не плавно, а довольно резким скачком в узкой области рН от 2,7 до 3,3.

Аналогичная зависимость поляризации от рН получается и в растворах сернокислого кобальта: спад поляризации происходит также резко и примерно в той же области рН, что и в  $\text{CoCl}_2$  (рис. 3). В уксуснокислом растворе уменьшение поляризации происходит менее резко, причем интервал изменения смещается в область гораздо больших значений рН раствора.

На рис. 4 представлена кривая для электроосаждения никеля из растворов 1 N  $\text{NiSO}_4$  различной кислотности. Для построения этой кривой

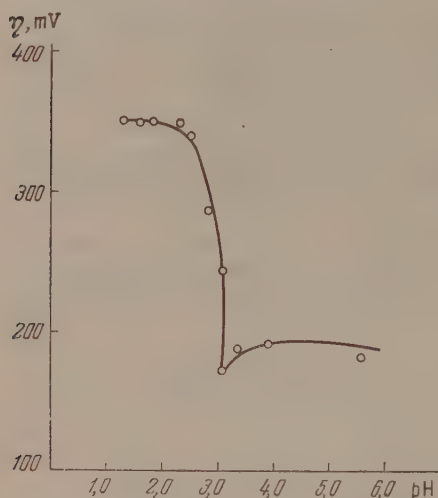


Рис. 2. Зависимость катодной поляризации от рН раствора при электроосаждении кобальта из 1 N  $\text{CoCl}_2$  при  $25^\circ\text{C}$ ,  $i_k = 10 \text{ mA/cm}^2$

от рН раствора  $\text{CoCl}_2$ , снятые при температурах 10, 25, 50 и  $75^\circ\text{C}$ . Из рис. 3 видно, что с повышением температуры электролита происходит снижение катодной поляризации во всей области рН и уменьшение влияния рН. Одновременно с этим наблюдается смещение области резкого возрастания катодной поляризации при подкислении раствора в область более низких значений рН. Кроме того, обращает на себя внимание тот факт, что при повышении температуры выше  $25^\circ$  переход от области высокой поляризации к более низкой совершается менее резко, а при уменьшении температуры до  $10^\circ$  переход происходит резко в такой узкой области рН (0,15—0,2 единицы), что не удается обнаружить промежуточных точек.

Изучение влияния плотности тока на зависимость катодной поляризации кобальта от рН раствора  $\text{CoCl}_2$  показало, что с уменьшением плотности от 20 до  $2 \text{ mA/cm}^2$  кривые смещаются параллельно одна относительно другой к более низким значениям поляризации, но область резкого изменения поляризации не меняется.

На рис. 6 представлено изменение выходов по току для металла и водорода при электроосаждении кобальта из 1 N  $\text{CoCl}_2$ ,  $\text{CoSO}_4$  и  $\text{Co}(\text{C}_2\text{H}_3\text{O}_2)_2$ . Из рис. 6 можно видеть, что из раствора  $\text{CoCl}_2$  кобальт осаждается со 100% ным выходом в интервале рН=2,8—6,0, а в более кислых растворах выход по току начинает падать и при рН=1,0 он составляет 80—82%. Водород при этом выделяется в значительном количестве лишь в очень кислых рас-

использовались значения поляризации, устанавливающейся в первые секунды электролиза, так как через минуту в растворах, имеющих рН = 3 и выше, катодный осадок темнеет и поляризация соответственно резко возрастает. Как видно из рис. 4, в области кислых растворов (рН = 1,5—2,5) катодная поляризация составляет 510 мВ, а затем величина поляризации резко уменьшается в интервале рН = 2,5—3,0 до 360 мВ. Таким образом эффект уменьшения величины катодной поляризации в определенной узкой области рН является общим для кобальта и никеля и наблюдается примерно в одном и том же интервале рН.

Эффект резкого влияния рН раствора на величину катодной поляризации был более подробно изучен для случая электроосаждения кобальта из раствора  $\text{CoCl}_2$ .

На рис. 5 приведены кривые зависимости катодной поляризации



растворах (при  $pH = 1,0 \sim 13\%$ ), затем количество его резко уменьшается, при  $pH = 2,5$  и выше водород не выделяется на катоде. В случае раствора  $CoSO_4$  100%-ное осаждение кобальта начинается с  $pH = 3,2$ , а в более кислых растворах выход по току резко уменьшается и одновременно увеличивается выделение водорода. При осаждении кобальта из уксуснокислых растворов водород выделяется  $\sim$  до  $pH = 5$ , а в менее кислых растворах кобальт осаждается со 100%-ным выходом. Из рис. 6 видно, что при электроосаждении кобальта имеется область  $pH$ , в которой водород не выделяется на катоде. Выход по току никеля (рис. 7) в растворах  $1\text{ N NiSO}_4$  составляет 80% в интервале  $pH = 2,5 \sim 5$ , а затем быстро уменьшается, начиная с  $pH = 2,5$  и выше. Как видно из рис. 7, при электроосаждении никеля водород выделяется в значительном количестве во всем интервале  $pH$ .

### ОБСУЖДЕНИЕ РЕЗУЛЬТАТОВ

Из приведенного экспериментального материала видно, что  $pH$  растворов простых солей  $Co$  и  $Ni$  без буферных добавок оказывает очень сильное влияние на катодную поляризацию кобальтового и никелевого электрода. Интересно то обстоятельство, что это влияние проявляется в довольно узком интервале  $pH$ , который для кобальтового электрода смещается в кислую область при повышении температуры и суживается с понижением ее.

Характер изменения катодной поляризации в зависимости от  $pH$  электролита не подтверждает высказанную в свое время точку зрения Фёрера [3], согласно которой повышение поляризации при подкислении электролита происходит вследствие включения в электролитический осадок водорода, действующего как отрицательный катализатор на разряд ионов металлов железной группы или каким-либо другим образом. Действительно, при сопоставлении рис. 2, 3 и 6 можно видеть, что для раствора  $CoCl_2$ ,  $pH = 2,5$ , водород на кобальтовом катоде не выделяется, однако катодная поляризация имеет такое же высокое значение, как при  $pH = 1,0$ , когда на катоде выделяется значительное количество водорода. Для раствора уксуснокислого кобальта поляризация значительно уменьшается при повышении  $pH$  от 5 до 7, а водород перестает выделяться на катоде при  $pH \sim 5$ . Иначе говоря, сильное изменение катодной поляризации происходит в той области  $pH$ , где водород не выделяется и осаждение металла происходит со 100%-ным выходом по току. Для сернокислого раствора можно сказать, что водород выделяется в незначительном количестве во всей области резкого изменения поляризации, а обильное выделение водорода начинается тогда, когда поляризация уже мало меняется с  $pH$  раствора. В случае же никеля водород выделяется в значительном количестве в той области  $pH$ , где катодная поляризация очень высокая, и в той области, где она уже резко снизилась. Таким образом при электроосаждении

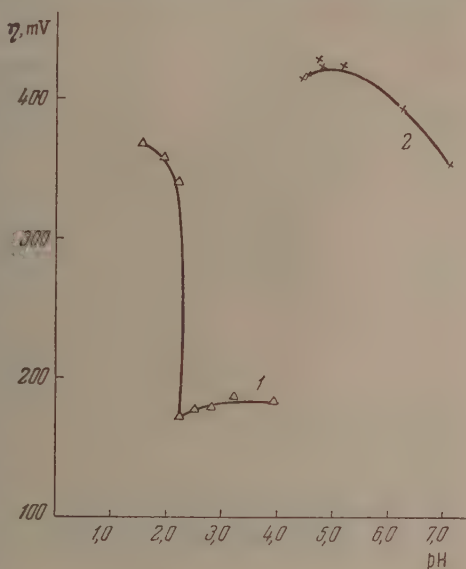


Рис. 3. Зависимость катодной поляризации от  $pH$  раствора при электроосаждении кобальта из: 1— $1\text{ N CoSO}_4$ , 2— $1\text{ N Co}(\text{C}_2\text{H}_3\text{O}_2)_2$  при  $25^\circ\text{C}$ ,  $i_k = 10\text{ mA/cm}^2$



дении никеля, так же как и в случае кобальта, нет очевидного соответствия между резким изменением катодной поляризации и выделением водорода.

Казалось, что наблюдаемое уменьшение катодной поляризации при увеличении pH раствора можно связать с адсорбцией ионов  $\text{OH}^-$ , облегчающих разряд ионов кобальта и никеля или, напротив, с адсорбцией  $\text{H}^+$ -ионов, затрудняющих разряд  $\text{Co}^{++}$  и  $\text{Ni}^{++}$ , тем более что известное сродство водорода к металлам группы железа согласуется с высокой адсорбционной способностью ионов  $\text{H}^+$  на этих металлах. Но, с одной стороны, трудно себе представить, почему адсорбция

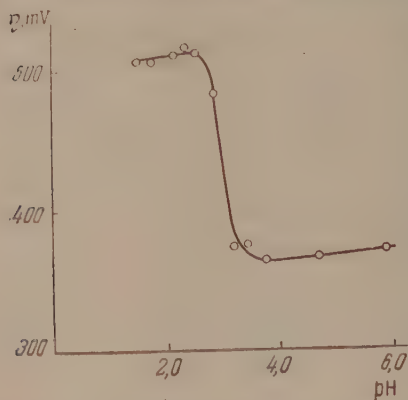


Рис. 4. Зависимость катодной поляризации от pH раствора при электроосаждении никеля из 1*N*  $\text{NiSO}_4$  при 25° С,  $i_k = 10 \text{ mA / cm}^2$

ионов  $\text{H}^+$  или  $\text{OH}^-$  оказывает резкое влияние в определенной узкой области изменения их концентрации, почему эта область смещается с изменением температуры электролита.

С другой стороны, если даже предположить, что в области резкого изменения величины катодной поляризации образуется адсорбционный слой заряженных частиц на поверхности электрода, то совершенно нельзя объяснить, почему эта область смещается при изменении природы кобальтовой соли. Наконец, совершенно непонятно, как может адсорбция заряженных частиц происходить в одной и той же области pH для никеля и кобальта, которые по потенциалам нулевого заряда, согласно расчетным данным Р. М. Васенина [13], резко отличаются друг от друга.

Кажется более вероятным, что в наблюдаемое резкое изменение поляри-

зации в определенной области pH связано с изменением структуры разряжающихся ионов металла в растворе. Можно предположить, что при переходе от очень кислых растворов к менее кислым в определенном интервале pH в растворе происходит изменение структуры гидратированных ионов кобальта и никеля в сторону ослабления связей между ионами металла и другими частицами раствора или образования такой структуры, которая облегчает разряд ионов металла. Поскольку известно, что при увеличении pH в растворе появляются молекулы  $\text{Co}(\text{OH})_2$  и  $\text{Ni}(\text{OH})_2$  и при некотором pH из раствора в виде твердой фазы начинает выпадать гидроксид металла, то можно предположить, что изменение структуры  $\text{Co}$ - и  $\text{Ni}$ -комплексов происходит именно в направлении замены молекул воды, прочно связанных с ионом  $\text{Co}^{++}$  или  $\text{Ni}^{++}$ , на ионы  $\text{OH}^-$  (или путем замещения или путем отщепления  $\text{H}^+$ -иона). Таким образом уменьшение катодной поляризации происходит вследствие изменения связей между разряжающимися ионами металла и окружающими его частицами раствора. С этой точки зрения понятно, что изменение поляризации при изменении pH раствора будет происходить именно скачкообразным путем, так как перестройка сложных ионов в растворе может происходить лишь в определенном интервале pH, вне которого структура уже не меняется. Смещение переходной области pH в сторону меньших значений при повышении температуры находит объяснение в том, что при высокой температуре перестройка ионов в растворе наступает при меньшей концентрации ионов  $\text{OH}^-$ , т. е. ослабление связей между ионами металла и частицами раствора наступает раньше.

Это подтверждается тем, что из раствора  $\text{CoCl}_2$  при повышенной температуре гидроксид кобальта выпадает гораздо быстрее, чем при по-

енной. Исследуя гидратообразование никеля, А. Л. Ротинян и В. Я. Зельес [14] также показали, что гидратообразование ускоряется при повышении температуры.

Кроме того, с этой точки зрения можно объяснить смещение области резкого изменения катодной поляризации при электроосаждении кобальта с изменением природы кобальтовой соли. Хотя в литературе указывается [15], что природа анионов не влияет на рН гидратообразования, но эти данные относятся к разбавленным растворам (0,01—0,001 моль/л). В 1 N растворах, как показали наши опыты, рН гидратообразования  $\text{Co}(\text{OH})_2$  в растворе уксусно-лимонного кобальта значительно больше, чем в хлористом или сернолимонном растворе. Это подтверждает связь явления резкого изменения величины катодной поляризации с перестройкой структуры ионов металла в растворе.

И наконец, на основании предполагаемого механизма влияния рН на величину катодной поляризации становится понятным и то, что область резкого изменения поляризации с рН раствора одинакова для никеля и кобальта, так как рН образования  $\text{Co}(\text{OH})_2$  и  $\text{Ni}(\text{OH})_2$  почти не отличаются друг от друга [15, 16].

Следует сказать, что при электроосаждении цинка из раствора 1 N  $\text{ZnSO}_4$  подобная зависимость поляризации от рН отсутствует: поляризация не меняется при изменении рН от 5,5 до 2,5 (48 мВ при 10 мА/см<sup>2</sup>),

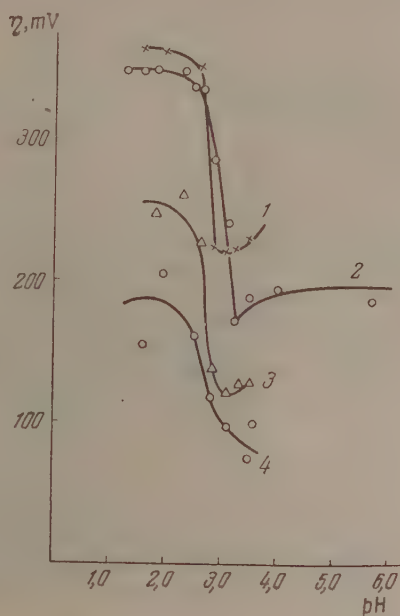


Рис. 5. Влияние температуры на зависимость катодной поляризации от рН раствора при электроосаждении кобальта из 1N  $\text{CoCl}_2$ ,  $i_k = 10$  мА/см<sup>2</sup>. 1 — 10°; 2 — 25°; 3 — 50°; 4 — 75°

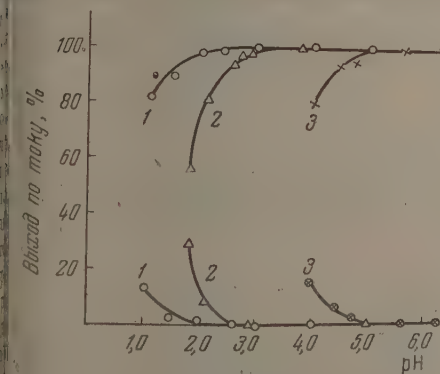


Рис. 6

Рис. 6. Зависимость выхода по току металла (верхние кривые) и водорода (нижние кривые) от рН раствора при электроосаждении кобальта из: 1 — 1N  $\text{CoCl}_2$ ; 2 — 1N  $\text{CoSO}_4$  и 3 — 1N  $\text{Co}(\text{C}_2\text{H}_3\text{O}_2)_2$ ; при 25° C,  $i_k = 10$  мА/см<sup>2</sup>

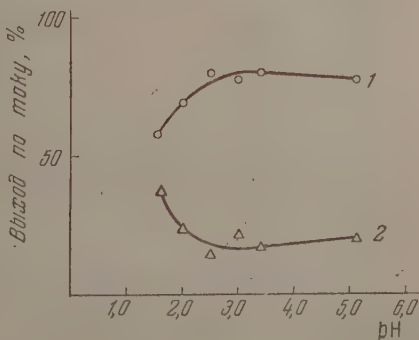


Рис. 7

Рис. 7. Зависимость выхода по току: 1 — металла и 2 — водорода от рН раствора при электроосаждении никеля из 1N  $\text{NiSO}_4$  при 25° C,  $i_k = 10$  мА/см<sup>2</sup>

а при дальнейшем подкислении раствора начинается небольшое понижение величины поляризации (до 40 mV при  $pH = 1,5$ ), связанное, очевидно, с облегчением выделения водорода. Следовательно, обнаруженное явление резкого уменьшения величины катодной поляризации с увеличением  $pH$  раствора характерно для металлов группы железа, выделяющихся на катоде с высоким перенапряжением, и указывает на химическую природу поляризации при электроосаждении кобальта и никеля. Это согласуется с результатами полярографического исследования процесса электроосаждения кобальта [17], согласно которым поляризация при разряде ионов кобальта сильно изменяется при изменении структуры их ионов в растворе.

Из заключение следует отметить, что изучение влияния состава раствора на величину катодной поляризации при электроосаждении металлов группы железа продолжается, в связи с чем возможно дальнейшее выяснение и уточнение механизма влияния  $pH$  раствора на величину катодной поляризации. Тем не менее высказанная точка зрения об изменении структуры ионов кобальта и никеля в растворе при изменении  $pH$  кажется в настоящее время наиболее вероятной.

Выражаем благодарность А. Т. Ваграмяну за ценные советы при обсуждении результатов данной работы.

### ВЫВОДЫ

1. Обнаружено новое явление резкого изменения величины катодной поляризации при электроосаждении металлов группы железа в определенном узком интервале  $pH$  раствора.

2. Показано, что с повышением температуры область резкого изменения катодной поляризации с  $pH$  смещается в сторону более кислых растворов.

3. Указано на наличие связи между явлением резкого изменения поляризации с  $pH$  раствора и гидратообразованием в растворах различных кобальтовых солей.

4. Высказано предположение о химической природе катодной поляризации при электроосаждении металлов группы железа.

Академия наук СССР  
Институт физической химии  
Москва

Поступила  
4. VIII. 1955

### ЛИТЕРАТУРА

1. А. Т. Ваграмян, Электроосаждение металлов, Изд-во АН СССР, М., 1955; В. И. Лайнери Н. Т. Кудрявцев, Основы гальваностегии, Металлургиздат, М. 1953.
2. N. Le Blanc, Trans. Farad. Soc., 9, 51, 1914; Journ. Chem. Soc., 51, 1429, 1924.
3. F. Foerster, Zs. Elektrochem., 22, 85, 1916; Elektrochemie wässriger Lösungen, Leipzig, 1920.
4. Л. И. Антропов, Журн. физ. химии, 28, 1336, 1954; V. Kohlschütter, Trans. Amer. Electrochem. Soc., 45, 229, 1924.
5. П. С. Воздвиженский, Журн. прикл. химии, 20, 9, 818, 1947.
6. R. C. Frölich u. G. L. Clark, Zs. Elektrochem., 31, 649, 1925.
7. S. Glasston, Journ. Chem. Soc., 2, 2887, 1926; Т. В. Ивановская, Журн. физ. химии, 28, 567, 1954.
8. В. С. Иоффе, Усп. химии, 12, 438, 1943.
9. А. Т. Ваграмян и З. А. Соловьева, ДАН, 72, 629, 1951.
10. A. Schweitzer, Zs. Elektrochem., 15, 602, 1909.
11. R. Schildbach, Zs. Elektrochem., 16, 967, 1910.
12. А. Т. Ваграмян и З. А. Соловьева, Методы исследования процессов электроосаждения металлов, Изд-во АН СССР, М., 1955.
13. Р. М. Васенин, Журн. физ. химии, 27, 878, 1953.
14. А. Л. Ротинян и В. Я. Зельдес, Журн. прикл. химии, 23, 717, 1950.
15. Х. Т. С. Бриттон, Водородные ионы, ОИТИ, 1936.
16. Н. В. Аксельруд и Л. Я. Филалов, Украин. хим. журн., 6, 283, 1950.
17. П. Н. Коваленко и П. С. Надеждина, Журн. общ. химии, 22, 740, 1952.

## ПОВЕРХНОСТНОЕ НАТЯЖЕНИЕ СТЕКЛА ПРИ ТЕМПЕРАТУРЕ РАЗМЯГЧЕНИЯ

М. А. Долов

Основными свойствами при варке стеклообразных веществ считаются вязкость, плотность и свободная поверхностная энергия. Поверхностное натяжение стекла имеет существенное значение при работе со стеклом.

Методов измерения поверхностного натяжения  $\sigma$  существует очень много [1], но все они мало пригодны для вязких жидкостей, подобных стеклу. Поэтому данные, полученные различными методами, сильно отличаются друг от друга. В табл. 1 представлено стекло по данным разных авторов, пользовавшихся различными методами.

К методам определения поверхностного натяжения  $\sigma$  стекла относятся:

- 1) метод вытягивания цилиндра в расплавленном стекле;
- 2) различные варианты метода максимального вытеснения пузыря;
- 3) метод падающей капли;
- 4) метод стягивания.

Наиболее простым методом считается метод вытягивания нити [2]. Как известно, заключается он в том, что на стеклянной нити делают на равных расстояниях отметки, и нить после этого прогревают в вертикальной трубчатой печи до размягчения. В результате истощения веса и силы поверхностного натяжения в одних местах расстояние между метками на нити уменьшается, в других увеличивается, а в средней части ее, где  $\sigma$  равно весу нити, не происходит ни растяжения, ни стягивания. Тогда по весу нижней части стеклянной нити можно вычислить  $\sigma$ . Метод стягивания нити в таком варианте является грубым, так как место средней части, где расстояние между метками остается неизменным, является до некоторой степени неопределенным.

Большинство исследователей отмечает, что поверхностное натяжение стекла мало зависит от температуры и его состава. Поэтому можно предполагать, что большие различия между значениями  $\sigma$  стекла, приведенными в табл. 1, объясняются не тем, что исследованию подвергались различные сорта стекла, а тем, что измерения производились различными методами.

Наиболее надежным методом — вытягивания цилиндра в расплавленное стекло — пользовался Уотсон [2]. Его результат колеблется в пределах от 130 до 170  $\text{дин/см}$ . В работе [2] отмечается, что другие исследователи дают числа, значительно отличающиеся между собой по абсолютной величине, поэтому ручаться за эти величины трудно.

В монографии [4] приводится график зависимости  $\sigma$  стекла от температуры  $t$  (рис. 1). Этот результат находится в противоречии со всеми результатами других авторов. Автор не указывает, каким методом было определено  $\sigma$  стекла при температурах от 600—500°C, когда вязкость стекла настолько велика, что трудно измерить  $\sigma$  существующими методами. Поэтому ручаться за достоверность почти вертикальной части графика трудно. Если не считать эти участки, то почти горизонтальные части графика согласуются с результатами других исследователей. В этой области  $\sigma$  стекла практически остается неизменным при изменении температуры.

Таблица 1

$\sigma$ , $\frac{\text{дин}}{\text{см}}$	Источниковые данные
400—500	[2]
260—286	[3]
130—170	[2]
57—67	[4]



С другой стороны, по данным В. П. Берденникова [5]  $\sigma$  стекла в твердом состоянии на границе с вакуумом 1260 *дин/см*. Следовательно, график  $\sigma(T)$ , который приводится в [4], является, повидимому, правдоподобным. Можно думать, что в узком температурном интервале вблизи температуры размягчения  $\sigma$  стекла претерпевает резкое изменение. Поэтому изучение температурного хода  $\sigma$  стекла в области ниже температуры размягчения представляет интерес для выяснения существа вопроса.

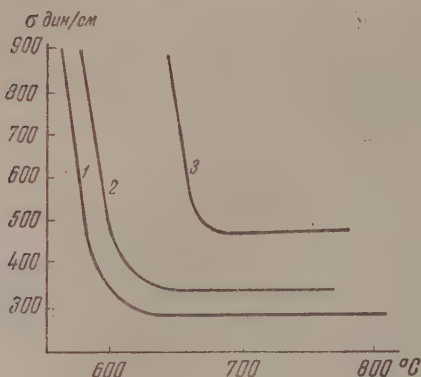


Рис. 1. 1 — Na, K, Pb; 2 — K, Pb; 3 — Na, Ca, Zn — силикатные стекла

Таким образом литературные данные по измерению  $\sigma$  стекла являются противоречивыми. Твердо не установлено, зависит ли  $\sigma$  от температуры и состава стекла.

## МЕТОДИКА ИЗМЕРЕНИЯ

В данной работе предлагается новый метод определения поверхностного натяжения стекла стеклообразных веществ при температуре размягчения, являющийся одним из вариантов метода стягивания.

Идея метода заключается в том, что при нагревании узкого участка стеклянной нити наблюдается стягивание ее в месте нагревания. Зная максимальную силу стягивания, легко подсчитать  $\sigma$  стекла по формуле

$$\sigma = \frac{F_{\text{макс}}}{2\pi r},$$

где  $r$  — радиус стеклянной нити.

Для измерения силы стягивания нити были использованы крутильные весы со стеклянной нитью. Схема представлена на рис. 2, где 1 — деревянный футляр со стеклянными стенками для избежания воздушных токов; 2 — закручиваемая стеклянная нить; 3 — стеклянное коромысло; 4 — зеркальце для отсчета; 5 — электрическая печь; 6 — исследуемый образец (стеклянная нить); 7 — слюдяная коробка.

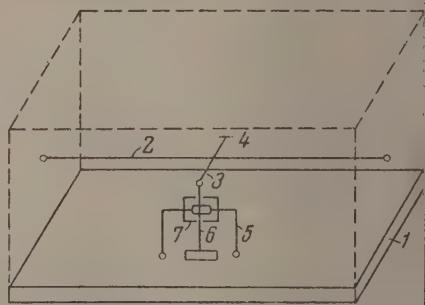


Рис. 2

Крутильными весами, в зависимости от диаметра натянутой нити, можно было измерить силы до  $10^{-7}$ — $10^{-9}$  *г/мм*. В наших измерениях силы поверхностного натяжения стекла вполне достаточно было чувствительности  $10^{-4}$  *г/мм*.

Первоначально коромысло весов было уравновешено. Весы были градуированы разновесами из медной проволоки с известным диаметром. Положение нуля контролировалось при каждом измерении. Нулевое положение весов сохранялось достаточно устойчиво.

В работе использовался зеркальный отсчет для измерения угла поворота коромысла, при этом возможно было обнаружить смещение конца коромысла на 0,01 *мм*.

Образцы в виде тонких стеклянных нитей, диаметром 0,2—0,05 *мм*, подвешивались при помощи крючка на одно плечо коромысла. Ниж-

онец образца закреплялся неподвижно. При помощи вертикальной печи нагревался узкий участок в середине стеклянной нити до размягчения. По мере размягчения стекла подвижность частиц увеличивается и силы поверхностного натяжения вызывают стягивание стеклянной нити в месте нагревания.

Под действием силы поверхностного натяжения коромысло поворачивается. Возникает противодействующая упругая сила, которая все время возрастает, и когда сила поверхностного натяжения становится равной упругой силе кручения, стягивание прекращается. Измеряя максимальную силу кручения и диаметр нити в узкой ее части, легко подсчитать поверхностное натяжение стекла по формуле (1). Наступившее равновесие является малоустойчивым, и со временем наблюдается его нарушение, которое заключается в обрыве стеклянной нити в верхней части в месте стягивания.

Диаметр стеклянной нити измерялся инструментальным микроскопом системы НМ с точностью до 0,01 мм. Максимальная действующая сила определялась с точностью до 0,1 мГ.

Температура в центре печи измерялась термопарой. При включении пачки температура внутри нее устанавливалась в течение 15—20 сек. Максимальная температура в печи достигала 900°С. При этой температуре все стекла, которые были использованы, достигали размягчения.

### РЕЗУЛЬТАТЫ ИЗМЕРЕНИЯ

Измерения проводились с различными техническими стеклами (составы неизвестны) при различных температурах. Были использованы следующие стекла:

1) оконное; 2) № 23; 3) зеркальное; 4) химическое посудное; 5) оптическое; 6) покровное; 7) натриевое (стекло с большим содержанием окиси щелочных металлов).

Были произведены измерения со 150 образцами из различных стекол. Воспроизводимость результатов можно считать удовлетворительной. Об этом свидетельствует то, что из 30 исследованных образцов одного сорта стекла с различными диаметрами, при одной температуре получены результаты, отличающиеся друг от друга не больше чем на 5%.

Результаты, полученные с различными техническими стеклами при температуре 800°С, приводятся в табл. 2.

Из таблицы видно, что  $\sigma$  стекла зависит от его состава. Повидимому, чем больше процент содержания окиси щелочных металлов, тем меньше  $\sigma$ .

Данные, полученные нами, совпадают с результатами, которые в литературе приняты, как наиболее достоверные.

Вычисление  $\sigma$  производилось и другим способом. При стягивании нити поверхность ее уменьшается. При этом силы поверхностного натяжения совершают работу. Зная эту работу и изменение поверхности нити, можно вычислить  $\sigma$  по формуле:

$$\bar{F}\Delta l = \sigma\Delta S,$$

$$\sigma = \frac{\bar{F}\Delta l}{\Delta S}, \quad (2)$$

где  $\Delta l$  — уменьшение длины нити;  $\Delta S$  — уменьшение поверхности нити;  $\bar{F}$  — среднее значение силы, так как противодействующая сила кручения меняется при изменении угла закручивания.

Таблица 2

Сорт стекла	$\sigma, \frac{\text{дин}}{\text{см}}$
Оптическое	190
Оконное	170
Покровное	160
Натриевое	150
Зеркальное	130

Измерение площади поверхности нити после стягивания производилось приближенным методом суммирования поверхности вращения выходящих и входящих прямоугольников. При этом отрезок длиной  $l = 2$  мм разбивался на 20 равных частей.

На основании рис. 3 легко получить формулу для измерения площади поверхности нити  $\Delta S$

$$\Delta S = 2\pi r(l + \Delta l) - S_0, \quad (3)$$

где  $S_0$  — площадь поверхности вращения утолщенной части нити, равная

$$S_0 = \frac{S_1 + S_2}{2},$$

где  $S_1$  и  $S_2$  — площади поверхности вращения выходящих и входящих прямоугольников.

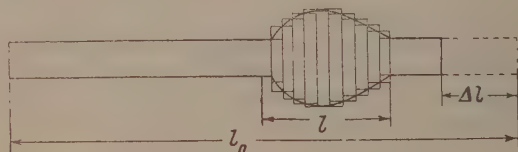


Рис. 3

Вычисление  $\sigma$  стекла этим методом дает результаты, удовлетворительно совпадающие с данными, приведенными в табл. 2.

На рис. 4, 5 представлены фотографии исследуемого образца в различных состояниях: на рис. 4 — форма образца после опыта; на рис. 5 — форма образца в момент обрыва.

Измерения, произведенные при различных значениях температуры в пределах 700—900° С, показали, что  $\sigma$  стекла в области температур размягчения мало зависит от температуры. Наблюдаемые изменения стекла при изменении температуры не превышают предела точности измерения, т. е. 5%.

Можно было предполагать, что стягивание стеклянной нити в нагреваемой области происходит не под действием силы поверхностного натяжения, а под действием веса лежащей выше части нити. Однако вес лежащей выше части составляет всего 0,5—0,8 мг, тогда как  $F_{\text{макс}} = 9\text{—}10$  м при диаметре нити, равном 0,15 мм. Незначительное влияние веса выше лежащей части учитывалось при вычислениях.

Если нижнюю часть стеклянной нити оставить не закрепленной, то при нагревании небольшого среднего участка происходит стягивание всей нижней части нити почти в шарообразную каплю. Это также подтверждает тот факт, что стягивание нити в опыте вызывается силами поверхностного натяжения.

На основании действия силы поверхностного натяжения можно объяснить ряд явлений, наблюдавшихся экспериментально.

В [6] отмечено, что при температурах 400—500° С наблюдается самопроизвольное уменьшение длины стеклянной нити. В течение трех часов при нагревании нити при температуре 500° С величина сжатия составляла около 0,7 мм или 0,7% от длины волокна. При уменьшении температур величина сжатия резко уменьшалась. Авторы объясняют это явление тем, что при формировании волокна в нем остается неустойчивое состояние соответствующее более высокой температуре. При нагревании волокна происходит уплотнение стекла.

В работе [7] указано, что при нагревании стеклянного капилляра в области температуры размягчения стекла наблюдается самопроизвольное умень-

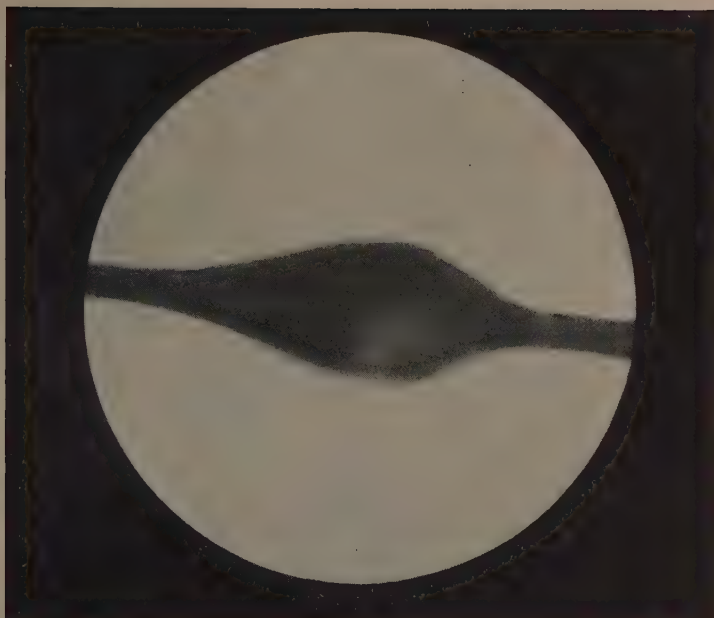


Рис. 4



Рис. 5





нение внутреннего диаметра. Уменьшение диаметра капилляра автор объясняет спеканием аморфного стекла.

Повидимому, в этих явлениях важную роль играют силы поверхностного натяжения, стремящиеся сократить поверхность стекла.

### ВЫВОДЫ

1. В работе предлагается один из возможных методов определения поверхностного натяжения стекла и стеклообразных веществ при температуре размягчения. Этот метод является вариантом метода стягивания, и при его помощи можно измерить  $\sigma$  стекла в течение нескольких минут.

2. Получены экспериментальные результаты для ряда технических стекол, которые совпадают с наиболее достоверными литературными данными.

3. Поверхностное натяжение стекла зависит от его состава и в области температуры размягчения мало зависит от температуры.

Кабардинский государственный  
педагогический институт  
Нальчик

Поступила  
9. VIII. 1955

### ЛИТЕРАТУРА

1. Н. К. Адам, Физика и химия поверхностей, Гостехиздат, М., 1947.
  2. В. Г. Воано, Физико-химические свойства стекла и их зависимость от его состава, Гизлегпром, М.—Л., 1937.
  3. Сборник 1, «Химия стекла», ИЛЛ, 1950.
  4. Г. В. Куколев, Химия кремния и физическая химия силикатов, Промстройиздат, М., 1951.
  5. В. П. Берденников, Журн. физ. химии, 5, 358, 1934.
  6. А. Ф. Зак и Ю. П. Манько, Журн. техн. физики, 24, 1983, 1954.
  7. Я. Е. Гегузин, Уч. зап. Харьковск. ун-та, 49, 4, 119, 1953.
-

## ДИФфуЗИЯ ЭЛЕКТРОЛИТОВ И ПОЛЯРОГРАФИЧЕСКИЙ МЕТОД

КОЭФФИЦИЕНТЫ ДИФфуЗИИ ПОНОВ СВИНЦА И КАДМИЯ В ВОДНЫХ РАСТВОРАХ KCl И KNO<sub>3</sub> РАЗЛИЧНОЙ КОНЦЕНТРАЦИИ,  $D_{Cd^{2+}}$  В 0,1 М H<sub>2</sub>SO<sub>4</sub>. ПРОВЕРКА УРАВНЕНИЯ ШЕВЧИКА ДЛЯ МАКСИМАЛЬНОГО ТОКА ОСЦИЛЛОГРАФИЧЕСКОЙ ВОЛНЫ

Я. И. Гожштейн

Настоящая работа посвящена изучению диффузии электролитов в условиях, близких к тем, при которых проводят полярографический анализ. Дифракционным микрометодом определялись коэффициенты диффузии свинца и кадмия в KCl и KNO<sub>3</sub> различной концентрации, а также  $D_{Cd^{2+}}$  в 0,1 М H<sub>2</sub>SO<sub>4</sub>. Полученные значения  $D$  сопоставлялись с данными других методов, а также с данными полярографического метода, полученными по уравнению Ганса [1].

Уравнение Ганса, включающее формулы Кутецкого, Мацуда, Камбара и Тахи [2], имеет следующий вид для максимального предельного тока:

$$I_{\text{макс}} = 708nD_{\text{ион}}^{1/2} \bar{c} m^{2/3} t^{1/3} [1 + 39D_{\text{ион}}^{1/2} m^{-1/3} t^{1/3} + 3000D_{\text{ион}}^{-2/3} m^{-2/3} t^{1/3}], \quad (1)$$

где  $I_{\text{макс}}$  — максимальный предельный диффузионный ток,  $n$  — число электронов, принимающих участие в электродной реакции;  $D_{\text{ион}}$  — коэффициент диффузии иона, диффундирующего к поверхности электрода в см<sup>2</sup>/сек,  $\bar{c}$  — концентрация в ммоль/л,  $m$  — количество ртути, вытекающее из капилляра в мг/сек,  $t$  — период капания ртути.

Средний ток  $\bar{I}_{\text{пред}}$  получается усреднением на интервале  $t$ :

$$\bar{I}_{\text{пред}} = \frac{1}{t} \int_0^t (708nD_{\text{ион}}^{1/2} \bar{c} m^{2/3} t^{1/3} + 708 \cdot 39n\bar{c} m^{1/3} D_{\text{ион}}^{1/2} t^{1/3} + 3000 \cdot 708n\bar{c} t^{1/3} D_{\text{ион}}^{1/2}) dt$$

Интегрирование дает:

$$1,415 \cdot 10^6 n \bar{c} t^{1/3} D_{\text{ион}}^{3/2} + 2,071 \cdot 10^4 n \bar{c} m^{1/3} t^{1/3} D_{\text{ион}}^{1/2} + 607 n \bar{c} m^{2/3} t^{1/3} D_{\text{ион}}^{1/2} - \bar{I}_{\text{пред}} t = 0. \quad (2)$$

Это выражение, представляющее уравнение третьей степени относительно  $D_{\text{ион}}^{1/2}$ , можно записать следующим образом:

$$D_{\text{ион}}^{3/2} + aD_{\text{ион}}^{1/2} + bD_{\text{ион}}^{1/2} + c = 0, \quad (3)$$

где

$$a = \frac{2,071 \cdot 10^4}{1,415 \cdot 10^6} m^{1/3} t^{-1/3} = 1,464 \cdot 10^{-2} m^{1/3} t^{-1/3};$$

$$b = \frac{607}{1,415 \cdot 10^6} m^{2/3} t^{-1/3} = 4,289 \cdot 10^{-4} m^{2/3} t^{-1/3};$$

$$c = -\frac{\bar{I}_{\text{пред}}}{1,415 \cdot 10^6 n \bar{c} t^{1/3}} = -7,069 \cdot 10^{-7} (n\bar{c})^{-1} t^{-1/3} \bar{I}_{\text{пред}}.$$

Исследуя уравнение, примем во внимание, что  $m$  и  $t$  колеблются приблизительно в пределах 0,7–4,5 мг/сек и 2–8 сек. Тогда, составив выражения:

$$\alpha = \frac{(b - \frac{a^2}{3})}{3} = 1,191 \cdot 10^{-4} m^{2/3} t^{-1/3}; \quad (4)$$

$$\beta = \frac{(ab - 3) - (2a^3/27) - c}{2} = 9,3 \cdot 10^{-7} m t^{-1} + 3,534 \cdot 10^{-7} (nc)^{-1} t^{-1} \bar{I}_{\text{пред}}, \quad (5)$$

получим  $\alpha^3 + \beta^2 > 0$ , чему соответствует один действительный корень

$$D = \left( \sqrt[3]{\beta + \sqrt{\beta^2 + \alpha^3}} + \sqrt[3]{\beta - \sqrt{\beta^2 + \alpha^3}} - \frac{a}{3} \right)^2. \quad (6)$$

### ДИФФУЗИЯ $Pb^{2+}$ И $Cd^{2+}$ В ПОСТОРОННИХ ЭЛЕКТРОЛИТАХ РАЗЛИЧНОЙ КОНЦЕНТРАЦИИ

Для вычисления  $D$  по уравнению Ганса был поставлен ряд опытов по электролизу растворов свинца в KCl и  $KNO_3$ , кадмия в KCl и  $H_2SO_4$ . Полярограммы снимались на полярографе Гейровского. Электролиз растворов проводили в отсутствие кислорода воздуха при 25°C. Концентрация желатины в растворе не превышала 0,01%. Результаты определения предельных токов  $Pb^{2+}$  и  $Cd^{2+}$  приведены в табл. 1 и 2.

Таблица 1

Влияние различных концентраций KCl и  $KNO_3$  на предельный ток свинца

$\bar{c}_{Pb} = 0,2732$ ммоль/л; $m = 3,76$ мг/сек; $t = 3,0$ сек.			$\bar{c}_{Pb} = 0,1365$ ммоль/л; $m = 3,47$ мг/сек; $t = 2,5$ сек.		
Концентрация KCl в ммоль/л	$\bar{I}_{\text{пред}}$ $\mu A$	$K = \frac{\bar{I}_{\text{пред}}}{cm^2/s_t^{1/3}}$	Концентрация $KNO_3$ в ммоль/л	$\bar{I}_{\text{пред}}$ $\mu A$	$K = \frac{\bar{I}_{\text{пред}}}{cm^2/s_t^{1/3}}$
0,01	2,783	3,508	0,01	1,348	3,699
0,05	2,846	3,587	0,05	1,309	3,591
0,1	3,036	3,827	0,1	1,303	3,575
0,5	3,036	3,827	0,5	1,290	~3,54
1	3,036	3,827	1,0	1,280	3,512
2	2,808	3,540	2,0	1,268	3,479
3	2,783	3,508			

Таблица 2

Влияние различных концентраций KCl и 0,1 M  $H_2SO_4$  на предельный ток кадмия

$\bar{c}_{Cd} = 1,039$ ммоль/л; $m = 3,72$ мг/сек; $t = 2,52$ сек.			$\bar{c}_{H_2SO_4} = 0,1$ M; $m = 3,13$ мг/сек; $t = 3,3$ сек.		
Концентрация KCl в ммоль/л	$\bar{I}_{\text{пред}}$ $\mu A$	$K = \frac{\bar{I}_{\text{пред}}}{cm^2/s_t^{1/3}}$	Концентрация $Cd^{2+}$ в ммоль/л	$\bar{I}_{\text{пред}}$ $\mu A$	$K = \frac{\bar{I}_{\text{пред}}}{cm^2/s_t^{1/3}}$
0,01	9,690	3,330	1,0	8,286	3,175
0,05	9,639	3,313	0,7	5,576	3,054
0,1	10,04	3,450	0,4	3,289	3,155
0,5	10,30	3,540			
1,0	10,49	3,610			
2,0	11,40	3,920			



Данные табл. 1 и 2 показывают, что природа и концентрация постороннего электролита оказывают значительное влияние на значение предельных токов свинца и кадмия. Влияние KCl различно на  $\bar{I}_{\text{пред}}$   $\text{Pb}^{2+}$  и  $\text{Cd}^{2+}$ . Начиная с 0,01 до 0,1 M KCl, наблюдается постепенное возрастание предельного тока, в то время как для  $\text{Cd}^{2+}$  отмечается уменьшение  $\bar{I}_{\text{пред}}$ .

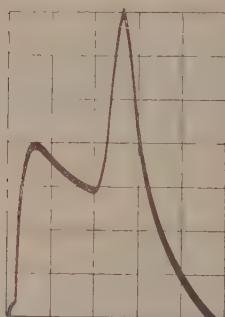


Рис. 1. Осциллограмм свинца в 0,1 M KCl

В пределах от 0,1 до 1 M KCl предельный ток свинца остается практически постоянным, а  $\bar{I}_{\text{пред}}$  кадмия постепенно увеличивается. Начиная с 2 M KCl, наблюдается понижение предельного тока свинца, в то время как для  $\text{Cd}^{2+}$   $\bar{I}_{\text{пред}}$  возрастает. Увеличение концентрации  $\text{KNO}_3$  в испытуемом растворе приводит к постепенному понижению предельного тока свинца.

Ввиду значительного влияния концентрации KCl и  $\text{KNO}_3$  на значение предельных токов свинца и кадмия, 0,1 M  $\text{H}_2\text{SO}_4$  на  $\bar{I}_{\text{пред}}$   $\text{Cd}^{2+}$ , был поставлен ряд опытов по определению коэффициентов диффузии  $\text{Cd}^{2+}$  и  $\text{Pb}^{2+}$  дифракционным микрометодом [3] в условиях, близких к тем, в которых проходил электролиз свинца и кадмия.

Для изучения диффузии  $\text{Pb}^{2+}$  и  $\text{Cd}^{2+}$  в посторонних электролитах нижнюю оптическую кювету вносили посторонний электролит, содержащий  $\text{Pb}^{2+}$  или  $\text{Cd}^{2+}$ . Концентрация свинца составляла от 0,5 до 2,4 ммоль/л, а кадмия от 0,5 до 4,8 ммоль/л. В верхнюю кювету помещали раствор индифферентного электролита такой концентрации, которая обеспечивала одинаковую концентрацию одного из ионов, составляющих посторонний электролит как в нижней, так и в верхней кюветах. Наличие значительный избыток в верхней части канала другого иона, составляющего индифферентный электролит, не может значительно повлиять на диффузию интересующего иона, так как избыточная концентрация одного из ионов постороннего электролита при данном сечении канала не дает дифракционной картины, даже после длительного промежутка времени вследствие малого изменения показателя преломления (сечение канала  $25 \times 2$  мм по ходу светового луча). Оценка влияния избыточной концентрации одного из ионов, составляющих посторонний электролит, выражается величиной от 0,03 до 0,06 % от значения реального  $D$ .

Расчет коэффициентов диффузии проводился по формуле (12), приведенной на стр. 229 предыдущей статьи [3].

Таблица 3

Коэффициенты диффузии  $\text{Pb}^{2+}$  в водных растворах KCl при 25° C

Концентрация KCl в моль/л	$D_{\text{Pb}^{2+}} \cdot 10^4 \text{ см}^2/\text{сек}$					
	Диффракц. микрометод [3]	Метод пористой перегородки [4]	Полярграфический метод		Капиллярный метод [6]	Нернст
			[1]	[5]		
0,01	7,11	—	7,13	8,99	—	9,80
0,05	7,20	—	7,40	8,79	—	9,80
0,1	8,12	7,5	8,24	8,65	9,70	9,80
0,5	8,03	—	8,24	9,13	—	9,80
1,0	8,06	—	8,24	9,23	10,01	9,80
2,0	7,16	—	7,24	8,80	9,37	9,80
3,0	7,06	—	7,13	8,14	8,59	9,80

В табл. 3, 4 и 5 приведены значения коэффициентов диффузии  $Pb^{2+}$  и  $Cd^{2+}$  в посторонних электролитах, полученных различными методами. Как видно, данные дифракционного микрометода очень близки к полярографическим данным, вычисленным при помощи уравнения Ганса. Отклонение между значениями  $D$  составляет около 2,6%. Коэффициент диффузии свинца в 0,1 М КСl, найденный Ралфсом [4], расходится с значением дифракционного микрометода и  $D$  полярографического метода

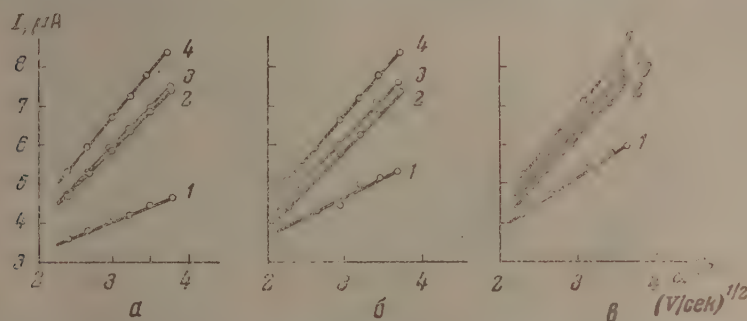


Рис. 2. Влияние скорости изменения потенциала на величину максимального тока свинца в КСl различной концентрации: а — 0,01 М КСl ( $m = 0,208$  мг/сек.,  $t = 21,3$  сек.); б — 0,05 М КСl ( $m = 0,208$  мг/сек.,  $t = 21,5$  сек.); в — 0,1 М КСl ( $m = 0,208$  мг/сек.,  $t = 20,7$  сек.);  $c_{Pb} = 0,0546$  ммоль/л; 1 — экспериментальная кривая; 2 и 3 — теоретические кривые по  $D_{Pb}$  Гохштейна и Ганса, 4 — по  $D_{Pb}$  Штакельберга; 5 — по  $D_{Pb}$  Ванга

Ганса [1] почти на 8,3—9,7%. Данные Гохштейна [3] и Ганса [1] расходятся с  $D$ , полученными полярографическим методом по уравнению Стрелова и Штакельберга [8] до 22% и с капиллярным методом до 30%.

Таблица 4

Коэффициенты диффузии  $Pb^{2+}$  в водных растворах  $KNO_3$  при 25° С

Концентрация $KNO_3$ в моль/л	$D_{Pb^{2+}} \cdot 10^6$ см <sup>2</sup> /сек				
	Дифракционный микрометод [3]	Метод пористой перегородки [4]	Полярографический метод		Нернст
			[1]	[5]	
0,01	7,48	—	7,73	8,76	9,8
0,05	7,24	—	7,30	8,41	9,8
0,1	7,10	7,5	7,26	8,28	9,8
0,5	6,90	—	7,19	—	9,8
1,0	6,82	6,70	7,13	8,02	9,8
2,0	6,60	—	6,92	7,80	9,8

Табл. 4 показывает, что данные дифракционного микрометода совпадают (с точностью до 4—5%) с данными полярографического метода по уравнению Ганса и расходятся с данными Штакельберга (до 18%). Коэффициенты диффузии  $Pb$ , найденные Ралфсом, очень близки к значениям  $D$ , полученным путем расчета по уравнению Ганса и дифракционным микрометодом; отклонения между ними не превышают 6%.

Коэффициенты диффузии  $\text{Cd}^{2+}$  в водных растворах  $\text{KCl}$  и  $0,1 \text{ M H}_2\text{SO}_4$  при  $25^\circ$   
 $D_{\text{Cd}^{2+}}$  (по Нернсту =  $7,2 \cdot 10^{-6} \text{ см}^2/\text{сек}$  в  $\text{H}_2\text{SO}_4$ )

Концентрация $\text{KCl}$ в $\text{моль/л}$	$D_{\text{Cd}^{2+}} \cdot 10^6 \text{ см}^2/\text{сек.}$								
	Диффракц.- микрометод [3]	Метод пори- стой перегородки [4]	Потенциометрический метод		Твердые электроды [7]	Концентра- ция, $\text{моль/л}$	Диффракцион- ный метод [3]	[1]	[9]
			[1]	[5]					
0,01	6,58	—	6,45	7,15	—	0,1	5,53	5,66	7,28
0,05	6,20	—	6,39	7,15	—	0,1	5,38	5,43	7,28
0,1	6,58	7,00	6,71	7,16	7,6	0,1	5,42	5,71	7,28
0,5	6,75	—	6,86	7,56	—				
1,0	7,16	—	7,13	7,89					
2,0	8,52	—	8,58	8,03					

Данные табл. 5 иллюстрируют удовлетворительное согласие между  $I$  вычисленными по уравнению Ганса и найденными диффракционным микрометодом. Коэффициенты диффузии  $\text{Cd}^{2+}$ , вычисленные по уравнению

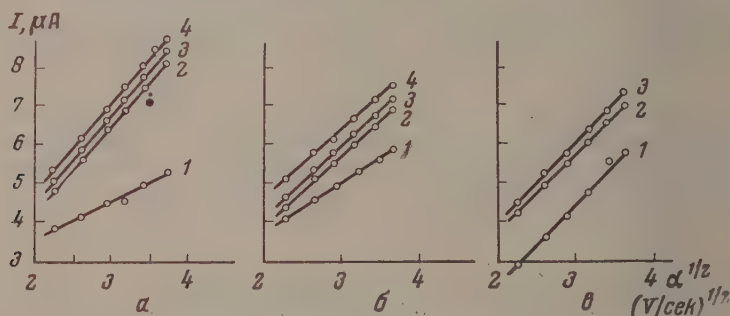


Рис. 3. Влияние скорости изменения потенциала на величину максимального тока свинца в  $\text{KNO}_3$ , различной концентрации: а —  $0,01 \text{ M KNO}_3$  ( $m = 0,218 \text{ мг/сек}$ ,  $t = 21,4 \text{ сек.}$ ); б —  $0,1 \text{ M KNO}_3$  ( $m = 0,218 \text{ мг/сек}$ ,  $t = 19,4 \text{ сек.}$ ); в —  $0,5 \text{ M KNO}_3$  ( $m = 0,246 \text{ мг/сек}$ ,  $t = 16,6 \text{ сек.}$ );  $c_{\text{Pb}} = 0,0546 \text{ ммоль/л}$ . Обозначения кривых те же, что и на рис. 2.

Стрелова и Штакельберга [8], отличаются от  $D$ , полученных при помощи уравнения Ганса. Реальный коэффициент диффузии  $\text{Cd}^{2+}$  в  $0,1 \text{ M H}_2\text{SO}_4$  намного ниже значения  $D_{\text{Cd}^{2+}}$ , приведенного в работе Влчека [9] при сопоставлении теоретической и экспериментальной кривой  $I-y$  ( $I$  — константа диффузионного тока, а  $y = m^{1/2}t^{1/2}$ ).

#### ПРОВЕРКА УРАВНЕНИЯ ШЕВЧИКА ДЛЯ МАКСИМАЛЬНОГО ТОКА ОСЦИЛЛОГРАФИЧЕСКОЙ ВОЛНЫ $\text{Pb}^{2+}$ И $\text{Cd}^{2+}$ В $\text{KCl}$ И $\text{KNO}_3$ РАЗЛИЧНОЙ КОНЦЕНТРАЦИИ

Уравнение Шевчика [10], выведенное для обратимых процессов, может быть проверено при помощи коэффициентов диффузии, найденных различными методами. Такое сопоставление даст возможность выяснить, какие значения  $D$  являются достоверными и насколько правильно это уравнение описывает процесс, происходящий у капельного ртутного электрода, на который подается пилообразное напряжение.

Уравнение Шевчика имеет следующий вид:

$$I_{\text{макс}} = 1843 n^2 / m^2 \cdot t^{1/2} D^{1/2} \alpha^{1/2} c \quad (\text{микроампер}), \quad (7)$$

где  $I_{\text{макс}}$  — максимальный ток, протекающий через полярографическую ячейку,  $\alpha$  — скорость изменения потенциала в В/сек. Остальные символы в выражении (7) имеют те же обозначения, что и в уравнении (1). Коэффициент 1843 соответствует температуре 25°С. Скорость изменения накладываемого потенциала  $\alpha$  на ячейку определяется как произведение амплитуды пилообразного напряжения ( $E_{\text{м}}/t$ ) на частоту генератора развертки  $\nu$ .

С целью проверки уравнения Шевчика был поставлен ряд опытов по изучению влияния скорости изменения потенциала на величину максимального тока свинца и кадмия в растворах KCl и KNO<sub>3</sub> различной концентрации. Работа производится на осциллографическом полярографе, сконструированном в Институте геохимии и аналитической химии АН СССР им. З. И. Вернадского [11]. Электролиз исследуемых растворов проводился в кварцевых электролизерах в отсутствие кислорода воздуха при 25°С. Электролитическая ячейка имела катод из медленно каплюющей ртути с периодом капания 16–22 сек. и насыщенный каломельный электрод. Осциллографические кривые регистрировались для одной ртутной капли максимальной поверхности за несколько долей секунды до ее отрыва, когда величина максимального тока оставалась практически постоянной. Типичная осциллограмма свинца в 0,1 М KCl представлена на рис. 1. Слева виден резкий подъем кривой, вызванный током зарядки поверхности ртути и формой подаваемого на электролитическую ячейку импульса. Отчетливая волна свинца возникает при — 0,43 В, относительно н. к. э. Экспериментальные значения  $I_{\text{макс}}$  для Pb<sup>2+</sup> и Cd<sup>2+</sup> отвечают тому случаю, когда очередное возрастание напряжения начиналось сразу же после резкого спада предыдущего импульса. Такой способ подачи напряжения на электроды ячейки мы называем пилообразным методом в отличие от импульсного метода, при котором импульс накладывается на электролизер с некоторой задержкой после начала образования ртутной капли. Результаты вычисления и экспериментальные данные представлены графически на рис. 2, 3 и 4.

Постановка в уравнение Шевчика коэффициентов диффузии по Гауссу, Штапельбергу, а также  $D$ , определенного микрометодом, может служить для сравнения уравнений Гауса и Штапельберга. Уравнение Гауса дает коэффициенты диффузии, более близкие к достоверным; кроме того, оно обнаруживает закономерное отклонение уравнения Шевчика от экспериментальных данных, что указывает на его неполноту. Отклонения экспериментальных данных от вычисленных значений по уравнению Шевчика вызваны тем, что не учитывалось изменение импеданса ячейки и при выводе формулы для максимального тока использовалось дифференциальное уравнение линейной диффузии вместо уравнения сферической диффузии, не учитывались экранировка капилляром и скорость отвода продуктов реакции от поверхности ртутной капли при пилообразном методе. При импульсном методе наблюдается лучшее согласие между экспериментальными данными и вычисленными по уравнению Шевчика.

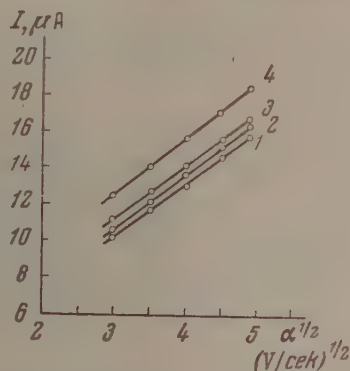


Рис. 4. Влияние скорости изменения потенциала  $I_{\text{макс}} \text{ Cd}^{2+}$  в 1 М KCl ( $m = 0,204 \text{ мг/сек}$ ,  $t = 23,4 \text{ сек}$ );  $c_{\text{Cd}} = 0,1 \text{ ммоль/л}$ . Обозначения кривых те же, что и на рис 2



## ВЫВОДЫ

1. Получен ряд значений коэффициентов диффузии  $Pb^{2+}$  и  $Cd^{2+}$  в  $KNO_3$  и  $KNO_3$  различной концентрации и сопоставлены с  $D$  по формуле Ганса Стрелова и Штакельберга, а также с  $D$ , полученными капиллярным методом.

2. Вычисленные значения  $D_{Pb^{2+}}$  и  $D_{Cd^{2+}}$  при помощи уравнения Ганса хорошо согласуются с данными дифракционного микрометода и значительно расходятся с коэффициентами диффузии по формуле Стрелова Штакельберга и с данными капиллярного метода.

Академия наук СССР  
Институт геохимии и аналитической химии  
им. В. И. Вернадского

Поступила  
13. VIII. 1955

## ЛИТЕРАТУРА

1. W. Hans, W. Henne u. E. Meurer, Z. f. Elektrochem., 58, 836, 1954.
2. J. Koutecky, Geskoslovensky Gas. fys., 2, 117, 1952; T. Kambara a. I. Tachi, Bull. Chem. Soc. Japan. 25., 284, 1952; H. Matsuda, Bull. Chem. Soc. Japan., 26, 342, 1953.
3. Я. П. Гохштейн, Журн. физ. химии, 26, 224, 1952; 28, 1417, 1954.
4. Z. Charles Rulfs, Journ. Amer. Chem. Soc., 76, 2071, 1954.
5. M. V. Stackelberg, M. Pilgram u. V. Toome, Z. f. Elektrochem., 57, 342, 1953.
6. Jul H. Wang, Journ. Amer. Chem. Soc., 76, 1528, 1584, 1954.
7. Е. М. Скобел, И. С. Кавецкий, Журн. физ. химии, 24, 1486, 1950.
8. H. Strehlow u. M. V. Stackelberg, Z. f. Electrochem., 54, 51, 1950.
9. A. A. Vlcek, Chem. Listy, 47, 1440, 1953.
10. A. Sevcik, Collection Czechoslov. Chem. Communs., 13, 349, 1948.
11. Я. П. Гохштейн и Ю. А. Сурков, Журн. анал. химии, 8, 323, 1953.

## ИЗУЧЕНИЕ СТРОЕНИЯ ПОЛИПЕПТИДНОЙ ЦЕПИ МЕТОДОМ ИНФРАКРАСНЫХ СПЕКТРОВ ПОГЛОЩЕНИЯ

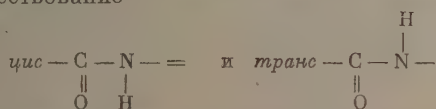
Д. Н. Шигорин, Н. В. Михайлов и О. А. Клюева

Рентгеноструктурные исследования соединений, содержащих полипептидные цепи, показали, что эти цепи могут быть вытянутыми ( $\beta$ -форма) или изогнутыми ( $\alpha$ -форма) [1—4].

Конфигурация изогнутых цепей не одинакова для различных веществ (газообразная, спиральная) [2]. Образование изогнутых цепей, очевидно, осуществляется за счет водородных связей  $C=O \cdots H-N <$  в самой полипептидной цепи. Однако рентгеноструктурный метод не дает непосредственного указания на существование водородной связи внутри цепей и между ними. В связи с этим следует отметить замечание Дж. Д. Бернала: «Существенно новым представляется установление того факта, что наряду с пептидной связью витки спирали в молекуле соединены внутренними водородными связями между группами  $N-H$  и  $C=O$  в самой пептидной связи» [2].

Инфракрасные спектры поглощения, как известно, позволяют однозначно решить вопрос о наличии водородных связей в полипептидных цепях.

Окончательное решение вопроса о типах водородных связей в молекуле возможно лишь на основе сопоставления данных о колебательных спектрах и данных рентгеноструктурного анализа и других методов. Особенно важно это сопоставление для решения вопроса о типах водородных связей в высокомолекулярных соединениях. В этом случае ориентация пептидных групп определяется не только их природой, но и характером упаковки цепей как целого. В рассматриваемом случае при анализе спектров высокомолекулярных веществ нельзя механически использовать данные инфракрасных спектров поглощения, полученные при изучении низкомолекулярных соединений. Однако это не значит, что нельзя использовать характерные частоты для пептидных группировок, полученные для низкомолекулярных соединений, при анализе спектров высокомолекулярных соединений. В настоящее время на большом числе соединений твердо установлено существование



конфигурации пептидной группы. Частоты валентных колебаний групп  $-N\cdots$ , участвующих в образовании водородных связей ассоциатов, соответствующих *цис*- и *транс*-расположению пептидных групп, имеют для разных соединений значения: 3060—3100  $см^{-1}$  и 3275—3330  $см^{-1}$ . Литература по этим вопросам указана частично в работах [5—7], а также в статье [8]. Наряду с этими основными частотами в спектрах низкомолекулярных соединений, например дикетопиперазина и  $\epsilon$ -капролактама, имеются еще другие частоты, отвечающие иным формам ассоциации молекул.

В спектре твердого дикетопиперазина в области частот валентных колебаний групп  $N-H\cdots$  наблюдаются полосы 3065, 3140, 3173, 3210, 3300  $см^{-1}$ . Последние четыре полосы обнаруживаются с малой интенсивностью.

В спектре паров дикетопиперазина при  $140\text{--}150^\circ\text{C}$  и давлении  $10^{-3}$  мм рт. ст. наблюдаются полосы  $3075$  и  $3415\text{ см}^{-1}$ . При повышении температуры полоса  $3075\text{ см}^{-1}$  почти исчезает. На основании фактов, приведенных в наших работах [6, 7], а также рентгеноструктурных [9] и электронографических [10] данных, можно считать, что полоса  $3065\text{ см}^{-1}$  отвечает валентному колебанию группы  $\text{N—H}$ ... в пептидном двойнике. Полоса  $3415\text{ см}^{-1}$  соответствует валентным колебаниям свободной группы  $\text{N—H}$ . В спектре твердого  $\epsilon$ -капролактама в указанной области спектра также наблюдаются несколько полос  $3086$ ,  $3220$  и  $3304\text{ см}^{-1}$ . Все три полосы наблюдаются с большой интенсивностью. В спектрах разбавленных растворов  $\epsilon$ -капролактама в четыреххлористом углероде полосы с частотами  $3080$  и  $3220\text{ см}^{-1}$  обнаруживаются с большой интенсивностью, а полоса  $3310\text{ см}^{-1}$  наблюдается с малой интенсивностью. В спектрах паров  $\epsilon$ -капролактама при  $200^\circ\text{C}$  наблюдается с большой интенсивностью полоса  $3415\text{ см}^{-1}$  и с малой интенсивностью полосы  $3100$  и  $3225\text{ см}^{-1}$ . При повышении температуры две последние полосы почти исчезают. Полоса с частотой  $3415\text{ см}^{-1}$  несомненно принадлежит валентному колебанию свободной группы пептидной группировки  $\text{—CO—NH—}$ . Следует отметить, что в некоторых работах совершенно необоснованно валентному колебанию свободных групп приписывалась полоса  $3330\text{ см}^{-1}$ . Как же следует истолковать появление полосы  $3220\text{ см}^{-1}$  в спектре  $\epsilon$ -капролактама? Наши криоскопические измерения растворов  $\epsilon$ -капролактама в безлозе указывают на возможность существования циклических ассоциатов, образованных не только из двух ( $\nu_{\text{NH}} = 3080\text{ см}^{-1}$ ), но и из трех молекул ( $\nu_{\text{NH}} = 3220\text{ см}^{-1}$ ).

Поэтому мы считаем, что полоса  $3220\text{ см}^{-1}$  в спектре  $\epsilon$ -капролактама соответствует валентным колебаниям группы  $\text{N—H}$ ..., участвующих в образовании циклического ассоциата, образованного из трех молекул. Вопрос об отнесении полос в спектрах низкомолекулярных соединений более подробно будет рассмотрен в другой работе.

Полоса с частотой  $3210\text{ см}^{-1}$  также наблюдается в спектре высокомолекулярного соединения  $\epsilon$ -кератина [7, 8]. Однако такое совпадение частот, наблюдаемых в низко- и высокомолекулярных соединениях, не является доказательством существования тождественных или даже сходных структур в этих соединениях. Только на основании определенного соответствия между данными колебательных спектров высокомолекулярных полипептидных соединений и данными рентгеноструктурного и других методов относительно строения и общей ориентации их цепей можно сделать правильное отнесение полос в инфракрасном спектре поглощения. В наших работах [6, 7] на основании именно этого принципа и решается вопрос об отнесении частот валентных колебаний групп  $\text{N—H}$ ... Как известно, рентгеноструктурными исследованиями Астбюри [3] было установлено, что полипептидная цепь  $\alpha$ -кератина является изогнутой ( $\alpha$ -форма). Поэтому совершенно естественно считать, что основная полоса с частотой  $3210\text{ см}^{-1}$  в инфракрасном спектре поглощения  $\alpha$ -кератина принадлежит валентным колебаниям групп  $\text{N—H}$ , участвующих в образовании водородной связи в самой полипептидной цепи [7]. В инфракрасных спектрах волокон шерсти (рис. 2), которые измерены в этой работе впервые, полоса  $3210\text{ см}^{-1}$  также является основной. Известно, что волокна шерсти состоят в основном из  $\alpha$ -кератина, и поэтому полоса  $3210\text{ см}^{-1}$  обнаруживается с большой интенсивностью.

В натуральном шелке и чистом фиброине, как известно по рентгеноструктурным работам [1, 3, 4], полипептидные цепи являются вытянутыми ( $\beta$ -форма). Поэтому в инфракрасных спектрах поглощения шелка и фиброина мы обнаруживаем отсутствие полосы  $3210\text{ см}^{-1}$  и наличие полос  $3080$  и  $3300\text{ см}^{-1}$ , характеризующих валентные колебания групп  $\text{N—H}$  вытянутых полипептидных цепей, участвующих в образовании водородных связей между ними при *цис*- и *транс*-расположении пептидных групп (см. рис. 2).

Таким образом имеется полное соответствие между данными рентгеноструктурного анализа и метода инфракрасных спектров поглощения, который непосредственно фиксирует водородную связь в самой полипептидной цепи. Необходимо отметить, что перераспределение водородных связей при изменении структуры цепи сопровождается изменением общей интенсивности поглощения в области валентных колебаний групп N—H. Это объясняется тем, что интенсивность полос групп N—H, участвующих в различных типах связей, не одинакова. Полоса группы N—H внутримолекулярной водородной связи (в цепи) имеет меньшую интенсивность,

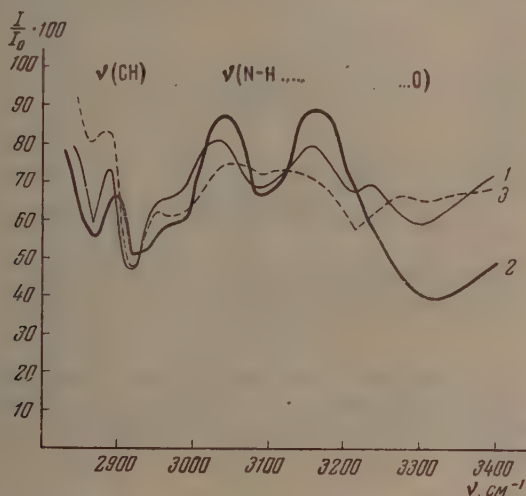
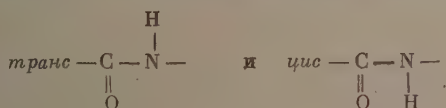


Рис. 1. Инфракрасные спектры поглощения полиамидов: 1 — невытянутого капронового волокна; 2 — вытянутого капронового волокна; 3 —  $\alpha$ -кератина

поэтому с ее ростом падает общая интенсивность поглощения в этой области спектра.

В работе [11] было сделано предположение, что синтетические полиамиды также могут иметь различную форму цепи ( $\alpha$ ,  $\beta$ ). Методом инфракрасных спектров поглощения в работах [6, 7] было показано наличие трех типов водородных связей, существование которых определенным образом связано с формой полипептидной цепи. Для вытянутых волокон установлено наличие двух возможных расположений пептидных групп:



Определены характеристические частоты валентных колебаний групп N—H, участвующих в образовании водородных связей, отвечающих тем конфигурациям, соответственно 3300 и 3080  $\text{см}^{-1}$  (рис. 1). В спектрах вытянутых волокон, в которых часть групп N—H и C=O образует водородную связь в самой пептидной цепи, найдена еще одна полоса, отвечающая валентному колебанию групп N—H с частотой, равной 210  $\text{см}^{-1}$ . Таким образом инфракрасные спектры поглощения позволяют судить о характере полипептидной цепи: вытянутой ( $\beta$ ) или изогнутой ( $\alpha$ ). Это имеет также важное значение для решения вопроса о структуре



белков и ее изменениях под влиянием различных факторов. Спектры белков коллагена и проколлагена, полученные одним из нас, также находятся в согласии с приведенными данными. Следует особо отметить, что

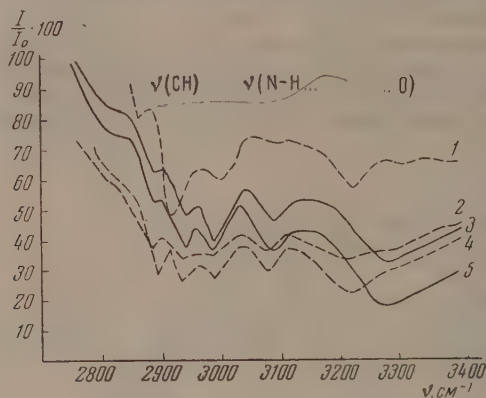


Рис. 2. Инфракрасные спектры поглощения полиамидов: 1 —  $\alpha$ -кератина; 2 — 4 — волокон шерсти; 3 — чистого фибрина; 5 — натурального шелка

«волокнистое» состояние как синтетических, так и природных полиамидов существенно отличается по своей физической структуре от их «шевелюностного» состояния. Все наши измерения относятся к волокнистому состоянию полиамидов.

### ВЫВОДЫ

На основании сопоставления инфракрасных спектров поглощения синтетических и природных полиамидов  $\alpha$ -кератина, шерсти, фибрина, натурального шелка установлены полосы валентных колебаний полипептидных групп, участвующих в образовании водородных связей в вытянутых ( $\beta$ ) и изогнутых ( $\alpha$ ) полипептидных цепях. Полоса  $3210\text{ см}^{-1}$  принадлежит валентным колебаниям групп  $\text{N}-\text{H}\dots$  изогнутых ( $\alpha$ ) цепей, внутри которых с их участием образуются водородные связи. Полосы  $3330$  и  $3080\text{ см}^{-1}$  относятся к валентным колебаниям групп  $\text{N}-\text{H}\dots$  полипептидных цепей, в которых они образуют два типа водородных связей при *транс*- и *цис*-расположении  $\text{N}-\text{H}$ - и  $\text{C}=\text{O}$ -групп.

В вытянутых ( $\beta$ ) полипептидных цепях последние частоты являются основными, а в изогнутых ( $\alpha$ ) цепях кроме этих полос обязательно наличие полосы с частотой  $\sim 3210\text{ см}^{-1}$ . Указанное отнесение полос валентных колебаний групп находится в полном соответствии с рентгеноструктурными данными для исследованных веществ, а также с данными одного из нас [12] по исследованию дифференциальных теплот растворения соответствующих объектов. Таким образом метод инфракрасных спектров поглощения с учетом данных рентгеноструктурного анализа позволяет определить особенности строения полипептидной цепи.

Физико-химический институт  
им. Л. Я. Карпова  
Институт искусственного волокна  
Москва

Поступила  
16. VIII. 1955

### ЛИТЕРАТУРА

1. R. Marsh, R. Corey, L. Pauling, Biochim. et biophys. Acta, 16, 1, 1955.
2. Дж. Д. Бернал, Успехи химии, 19, 401, 1950.
3. В. Т. Астбюри, Основы учения о структуре текстильных волокон, Гизтекпром, 1936.

4. Н. С. Андреева и В. И. Иверонова, ДАН, 101, 111, 1955.
  5. Н. В. Михайлов, Д. Н. Шигорин и С. П. Макарьева, ДАН, 87, 1009, 1952.
  6. Д. Н. Шигорин, Н. В. Михайлов, С. П. Макарьева, ДАН, 94, 717, 1954.
  7. Д. Н. Шигорин, Н. В. Михайлов и С. П. Макарьева, ДАН, 97, 711, 1954.
  8. E. Katchalski, *Advances in Protein Chemistry*, 6, 123, 1951.
  9. R. B. Corey, *Journ. Amer. Chem. Soc.*, 62, 2759, 1940.
  0. Б. И. Вайнштейн, *Журн. физ. химии*, 29, 372, 1955.
  1. Н. В. Михайлов, Н. В. Нечаева и В. О. Клесман, Доклады на 7-й конференции по высокомолекулярным соединениям, Изд-во АН СССР, 1952.
  2. Н. В. Михайлов, З. З. Файнберг, *Коллоидн. журн.*, 18, 2, 1956.
-

## РАВНОВЕСИЕ ЖИДКОСТЬ — ПАР В БИНАРНЫХ СИСТЕМАХ МЕТАНА С УГЛЕВОДОРОДАМИ РАЗЛИЧНЫХ ГРУПП

*Я. Д. Саввина и А. С. Великовский*

Равновесие жидкость — пар в бинарных и тем более тройных системах углеводородов изучено весьма ограничено, что связано со значительной трудоемкостью проведения этих определений.

Наиболее изучены системы, в которые входит метан и парафиновые углеводороды. Лучшими в этой области являются работы Сэджа и Леси с сотрудниками, которые исследовали эту зависимость в широком интервале температур и давлений для систем: метан—пропан [1], метан—н-бутан [2], метан—н-пентан [3], метан—н-декан [4] и тройные системы метан—н-бутан—н-декан [5], метан—пропан—н-пентан [6]. Системы метан—н-гексан, метан—н-гептан изучены Буммером и Джонсоном [7,8] лишь для трех температур. Система метан — этан исследована Руэманом [9]. Из систем метана с парафиновыми углеводородами изомерного строения подверглась изучению в указанном направлении лишь система метан — изобутан [10]. Изучалось и некоторое число бинарных и тройных систем метана с непредельными углеводородами [11, 12].

Фактически совершенно не были изучены системы метана с нафтеновыми и ароматическими углеводородами, если не считать работу Элбислери и Спенсера [13] для двух бинарных систем метана с ароматическим углеводородом при одной лишь температуре (65°C), но и эти данные неверны при высоких давлениях и в расчет приниматься не могут.

По указанной причине нами была изучена зависимость давление — состав для нескольких бинарных систем, в которые наряду с метаном входят не только парафиновые, но и ароматические и нафтеновые углеводороды. Это дало возможность произвести их сопоставление.

Критерием для выбора углеводородов были приняты: 1) одинаковая температура кипения, 2) одинаковые критические температуры, 3) одинаковое число атомов углерода в молекуле.

Из углеводородов, обладающих почти одинаковой температурой кипения, были выбраны: 2, 2, 3-триметилбутан (т. кип. 80,9°C), циклогексан (т. кип. 80,0°C), бензол (т. кип. 80,1°C). Из углеводородов, обладающих почти одинаковыми критическими температурами, были выбраны н-нонан ( $t_{кр}$  322,8°C) и толуол ( $t_{кр}$  320,6°C). Третьему условию отвечают н-гексан, циклогексан и бензол.

Описанные в литературе исследования фазовых равновесий проводились на аппаратуре, требующей использования ртути, работа с которой нежелательна по ряду причин. Поэтому нами была разработана схема аппаратуры без применения ртути [14], приведенная на рис. 1.

Равновесие в этой системе достигается в сосуде 1, имеющем объем 600 мл. Сосуд 1 снабжен термостатирующей рубашкой. Качательное движение сосуду сообщается электромотором. Для сжатия газа выше 120 атм применяется механическая глицириновая поджимка 2. Для освобождения метана от влаги и глицерина, растворенного в газе, а также механически занесенного вместе с газом, сжатый газ пропускается через осушитель высокого давления 3, наполненный силикагелем. Осушитель 3 является одновременно промежуточной емкостью, в которой хранится газ при давлении до 450 атм.

Газ из баллона 4 поступает в поджимку 2. Из напорного бачка 5 подается глицерин на прием масляного насоса 6. Насос 6 перекачивает глицерин в поджимку 2 и сжимает находящийся в ней газ. Давление в поджимке показывает манометр 13. При открытии вентилей сжатый газ посту-

плет в осушитель 3, а глицерин переводится из поджимки 2 в напорный бачок 5.

До начала опыта сосуд равновесия 1 и всю коммуникацию откачивали масляным вакуумным насосом до остаточного давления 2 мм рт. ст. Затем

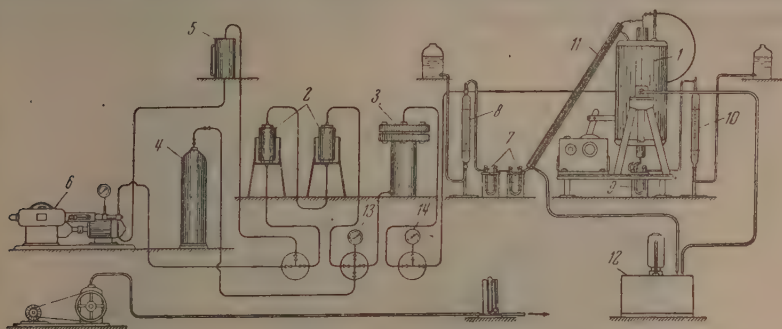


Рис. 1. Схема установки для исследования фазовых равновесий углеводородов

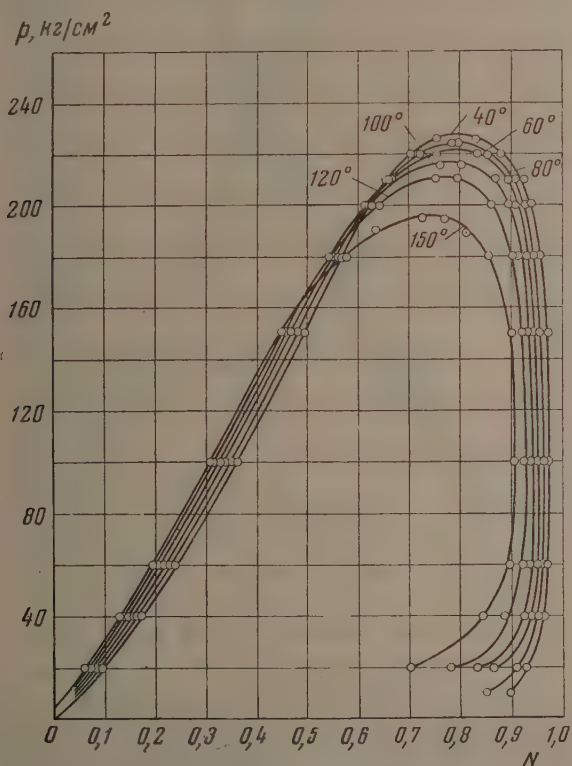


Рис. 2. Фазовые равновесия системы метан—2,2,3-триметилбутан

сосуд 1 наполовину заполняли жидким углеводородом. Необходимую температуру в сосуде равновесия поддерживали при помощи ультратермомостата 12. После достижения необходимой температуры в сосуде 1 создавали требуемое давление газа посредством вывода его из осушителя 3. Дав-



ление в сосуде 1 определялось манометром 14. В зависимости от давления пользовались образцовыми манометрами на 100, 300 и 500  $\text{кг/см}^2$ , которые периодически проверялись грузовым прессом. Были проведены опыты с целью выяснения влияния времени перемешивания на установление равновесия. О достижении равновесия судили по постоянству давления в сосуде 1. Опыты показали, что для установления равновесия доста-

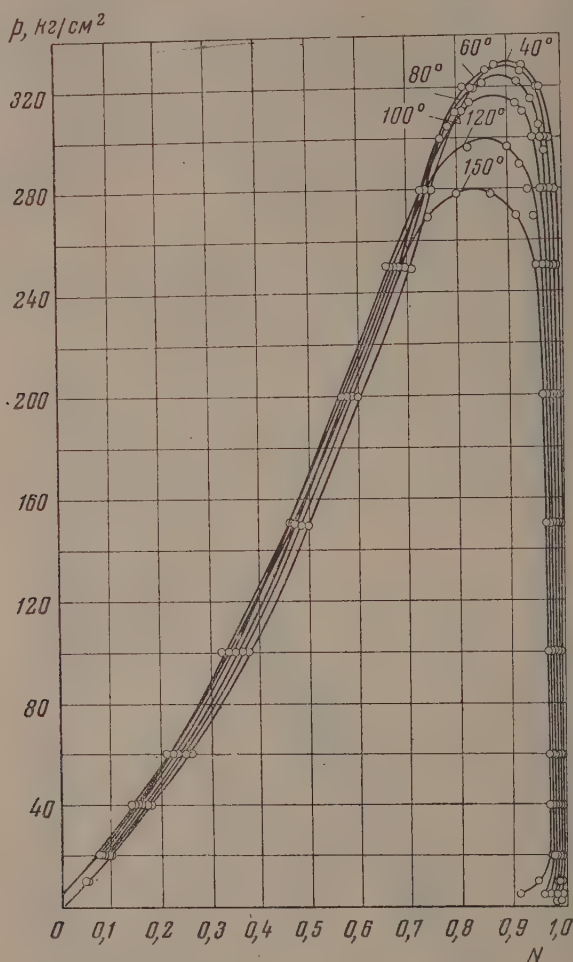


Рис. 3. Фазовые равновесия системы метан—н-нонан

точно 20 мин. для жидкой и 30 мин. для газовой фазы. Для полной уверенности в достижении равновесия содержимое сосуда 1 перемешивали в течение 50—60 мин. После этого сосуд устанавливался в вертикальном положении и из него отбирали пробы газовой и жидкой фаз для анализа. При определении состава газовой фазы отбор и анализ пробы производили следующим образом: при незначительном открытии вентиля газ, насыщенный жидким углеводородом, медленно выпускался из сосуда. В двух U-образных стеклянных трубках 7, находящихся в охлаждающей смеси углекислоты с ацетоном, растворенный в метане жидкий углеводород полностью задерживался. Свободный от паров жидкости метан собирался в газовой бюретке 8, где его количество определяли по объему.

Объем газа и вес сконденсированного жидкого углеводорода определяли состав газовой фазы. Во избежание конденсации паров жидкого углеводорода при отборе газовой фазы верхняя головка сосуда 1 была покрыта асбестом, а соединительная трубка 11 по всей своей длине, заключенная в латунный кожух, обогревалась непрерывно циркулирующей водой (или глицерином) из термостата 12.

При определении состава жидкой фазы в сосуде 1 создавали первоначальное давление путем подачи в него газа из осушителя. По достижении

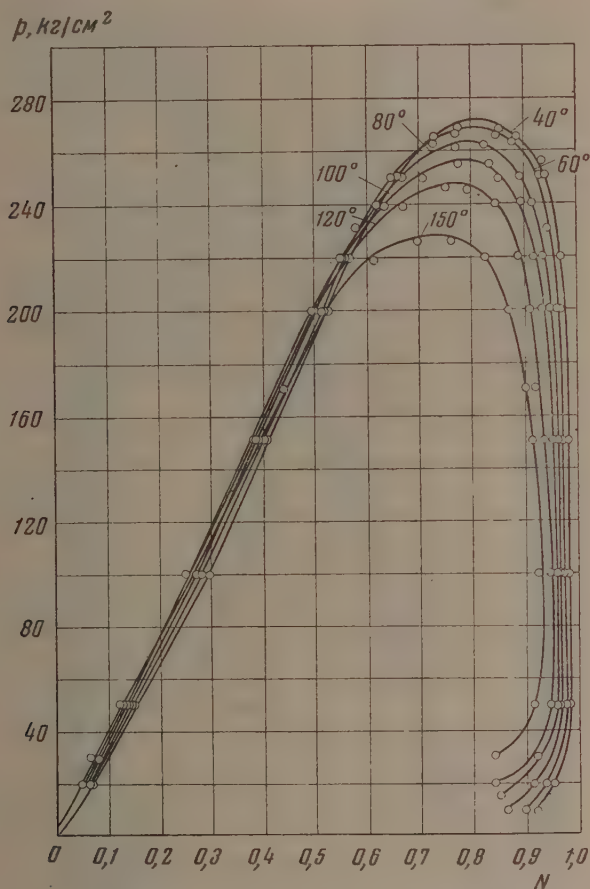


Рис. 4. Фазовые равновесия системы метан—циклогексан

равновесия производили отбор и анализ следующим образом: дросселировали некоторое количество жидкости из сосуда в стеклянный приемник 9, находящийся в охлаждающей смеси, и ее количество определяли взвешиванием. Выделившийся из жидкости растворенный в ней газ собирали в газовой бюретке 10, где его количество определяли по объему. Весом жидкого углеводорода и количеством выделившегося газа определяли состав жидкой фазы.

Этот метод исследования фазовых равновесий является статическим. Его основным недостатком является снижение давления при отборе пробы для анализа. Поэтому методика была разработана таким образом, что для анализа требовалась относительно небольшая проба. Изъятие ее из системы не сказывалось заметно на падении давления в сосуде равновесия и,

следовательно, на получаемых результатах. При отборе малых проб газа в них содержалось во многих случаях менее 0,02 г жидкого углеводорода, конденсировавшегося в U-образных трубках. При взвешивании столь малого количества продукта обычным образом ошибка в определении состава газовой фазы составляла до 60% за счет разности в весе метана и воздуха в объеме трубки. Поэтому взвешивание во всех случаях производилось в среде метана.

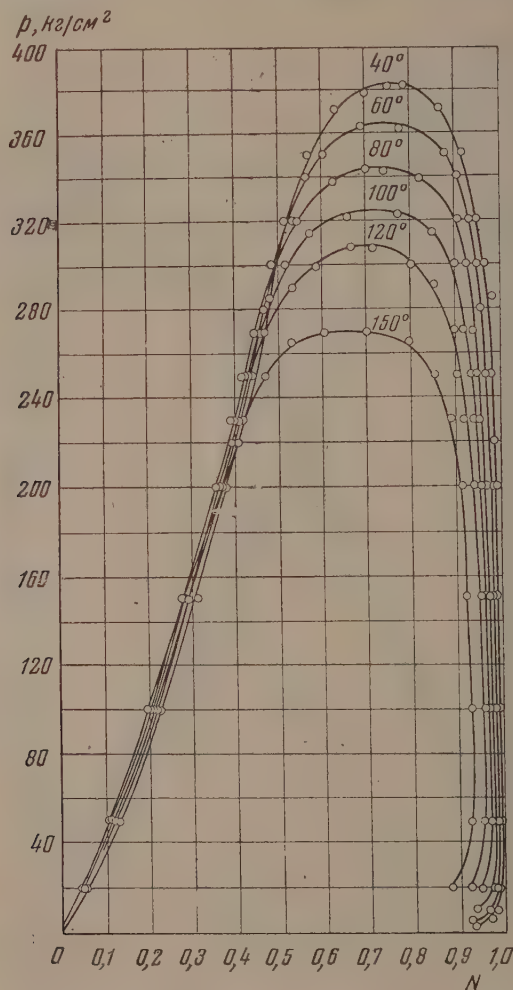


Рис. 5. Фазовые равновесия системы метан — бензол

Результаты, получаемые по разработанному нами методу, близко совпадают с данными Саджа и Леси [3], полученными ими на аппаратуре с применением ртути. На рис. 2 и следующих на оси абсцисс откладывается мольная доля метана ( $N$ ), а на оси ординат давление ( $p$ ) в  $\text{кг/см}^2$ .

Подлежащие исследованию образцы углеводородов были проанализированы и тщательно очищены (сушились, подвергались ректификационной перегонке; бензол многократно вымораживался). Константы очищенных образцов углеводородов сопоставлены с литературными данными в таблице (см. стр. 1603)

Метан был взят из Мелитопольского газового месторождения. Содержание углекислоты в нем составляло 0,39%, в нем присутствовали следы азота и кислорода, попавшие, видимо, при заполнении баллонов.

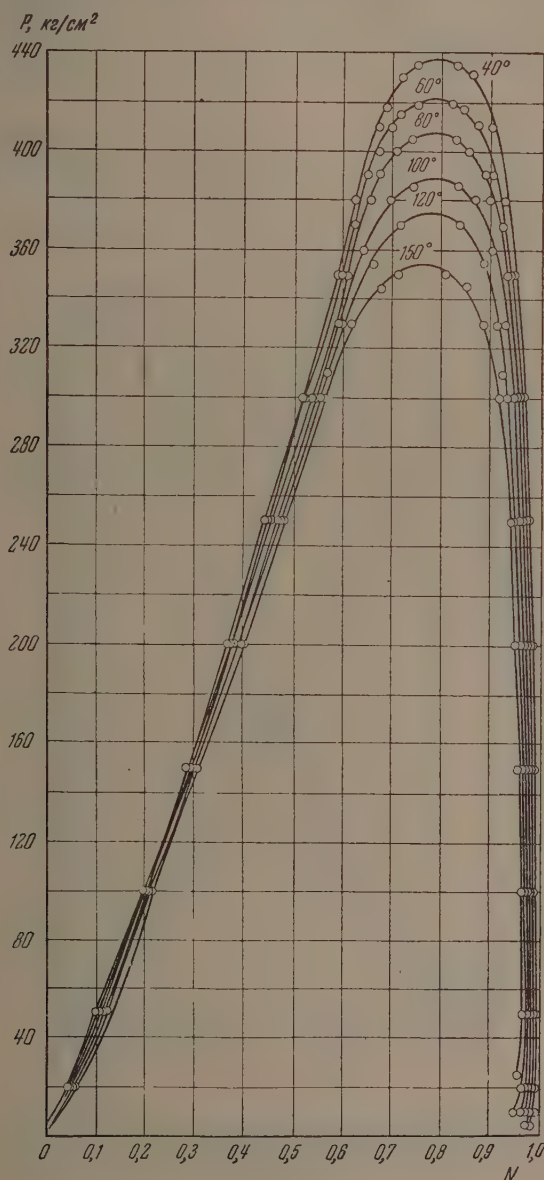


Рис. 6. Фазовые равновесия системы метан — толуол

Исследованию были подвергнуты системы: метан — 2, 2, 3-триметилбутан, метан — н-нонан, метан — циклогексан, метан — бензол, метан — толуол. Для этих систем получены по шести изотерм, представленных на рис. 2—6 в координатах давления, состав в пределах температур 40—150°С и давлений, включающих критические.



Совместно с изотермами, полученными нами, в настоящее время имеются данные для всего гомологического ряда этих углеводородов до системы метан—н-декан, за исключением лишь системы метан—н-октан.

На рис. 7 сопоставлены изотермы метана с парафиновыми углеводородами нормального строения при температуре  $40^{\circ}\text{C}$ . На этом рисунке не могут быть приведены изотермы системы метан—этан, поскольку критическая температура этана  $32,2^{\circ}\text{C}$ .

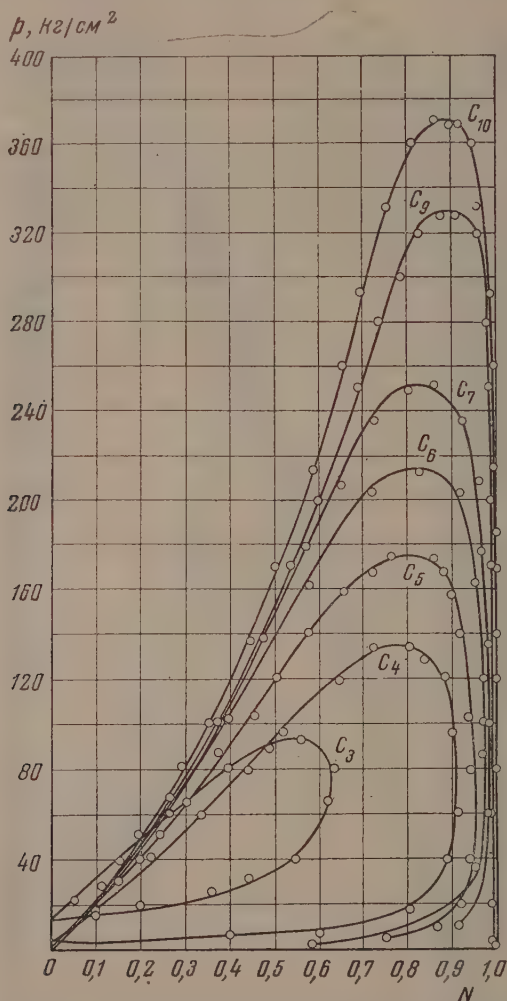


Рис. 7. Фазовые равновесия метана с парафиновыми углеводородами нормального строения при  $40^{\circ}\text{C}$

Как известно, парафиновые углеводороды изомерного строения при одинаковом молекулярном весе обладают более низкими температурами кипения, чем нормальные, и растворяются поэтому в сжатом метане лучше. Это иллюстрируется данными рис. 8, на котором представлены изотермы двух систем: метан—н-гептан и метан—2, 2, 3-триметилбутан. Большое отличие в строении углеводородов изомерного строения (наличие третичного и четвертичного углерода) от метана, по сравнению с нормальным,

Наименование углеводородов	Наши данные		Литературные данные [15]	
	т. кип. °С	показатель преломления $n_D^{20}$	т. кип. °С	показатель преломления $n_D^{20}$
2,2,3-Триметилбутан	79,8—80,0	1,3899	80,87	1,3895
н-Нонан	151,0	1,4057	150,7	1,4056
Бензол	79,5—79,7	1,5009	80,09	1,5012
Толуол	110,0—110,3	1,4964	100,65	1,4968
Циклогексан	80,0	1,4260	80,80	1,4262

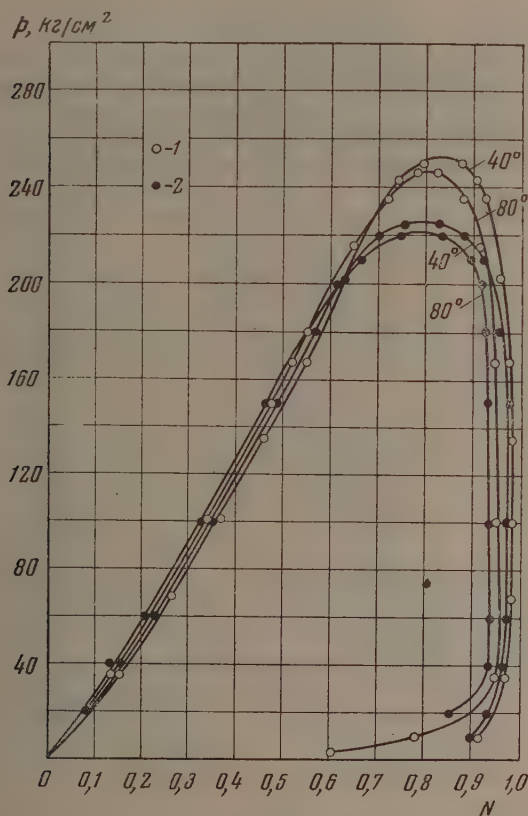


Рис. 8. Фазовые равновесия метана с парафиновыми углеводородами (углеводороды нормального и изоэстроения): 1—метан—н-гептан, 2—метан—2, 2, 3-триметилбутан (изогептан)

влияет на уменьшение его растворимости в первом по сравнению со вторым.

По сравнению с растворимостью метана в парафиновых углеводородах изомерного строения, его растворимость в нафтенных и ароматических углеводородах много меньше, так как строение этих углеводородов еще более резко отличается от строения метана. На рис. 9 сопоставлены,

в основном, на основании наших данных изотермы систем, в которых наряду с метаном присутствует либо н-гексан, либо циклогексан, либо бензол. Все эти углеводороды имеют одинаковое число атомов углерода в молекуле. Вместо изотермы для системы метан — н-гексан можно поместить изотерму для системы метан—2, 2, 3-триметилбутан; во всех трех системах менее летучий компонент будет иметь почти одинаковую температуру кипения. Из

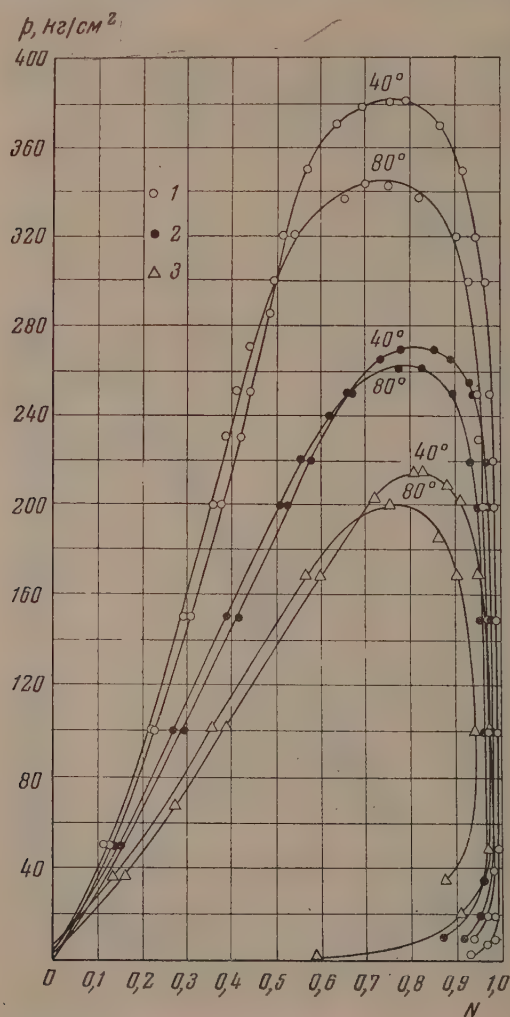


Рис. 9. Фазовые равновесия метана с углеводородами разных групп (углеводороды с одинаковым числом атомов углерода в молекуле): 1 — метан — бензол; 2 — метан — циклогексан; 3 — метан — н-гексан

рис. 9 следует, что при одинаковом содержании атомов углерода в молекуле или при одинаковой температуре их кипения растворимость парафиновых углеводородов в сжатом метане наибольшая, а ароматических — наименьшая. То же имеет место и для растворимости метана в этих углеводородах. Критическое давление соответственно наиболее высокое в системе с метаном у ароматических углеводородов, затем у нафтиновых и, наконец, у парафиновых.

На рис. 3 и 6 приведены изотермы систем метан—толуол и метан—н-нонан при 40—150° С. Толуол и н-нонан имеют почти одинаковую критическую температуру, температура кипения н-нонана значительно превосходит температуру кипения толуола, критическое давление системы метан—толуол значительно выше, чем системы метан—н-нонан.

Из сопоставления изотерм систем метан—бензол (рис. 5) и метан — толуол (рис. 6) следует, что для ароматических углеводородов и, во всяком случае, для бензола и толуола переход к следующему гомологу резко повышает критическое давление их смесей с метаном.

В настоящей работе экспериментально определены также константы равновесия углеводородов в исследованных нами системах, найдены области прямого и обратного испарения и произведено термодинамическое рассмотрение полученных результатов.

### ВЫВОДЫ

1. Исследована зависимость давление — состав бинарных систем метана с углеводородами различных групп в пределе температур от 40 до 150° С и при давлениях до критического.
2. Сопоставлена растворимость углеводородов различных групп в метане и метана в этих углеводородах вплоть до критического давления.

Нефтегазовый институт  
Москва

Поступила  
17. VIII. 1955

### ЛИТЕРАТУРА

1. B. Sage, W. Lacey, a. J. Schaafsma, Ind. Eng. Chem., **26**, 214, 1934.
2. B. Sage, B. Hicks a. W. Lacey, Ind. Eng. Chem., **32**, 1085, 1940.
3. B. Sage, H. Reamer, R. Olds a. W. Lacey, Ind. Eng. Chem., **34**, 1108, 1942.
4. H. Reamer, B. Olds, B. Sage a. W. Lacey, Ind. Eng. Chem., **34**, 1526, 1942.
5. H. Reamer, B. Sage a. W. Lacey, Ind. Eng. Chem., **44**, 1671, 1952.
6. R. Carter, B. Sage, W. Lacey, Petrol. Techn., **11**, 1, 1940.
7. E. Boomer a. C. Johnson, Canad. Journ. Res., **16**, 328, 1938.
8. E. Boomer, C. Johnson a. H. Piercey, Canad. Journ. Res., **16**, 396, 1938.
9. M. Ruhemann, Proc. Roy. Soc., A **171**, 121, 1939.
10. R. Olds, B. Sage, W. Lacey, Ind. Eng. Chem., **34**, 1008, 1942.
11. H. Guter, B. Newitta. M. Ruhemann, Proc. Roy. Soc., A **176**, 140, 1940.
12. M. Benedict, E. Solomon, L. Rubin, Ind. Eng. Chem., **37**, 55, 1945.
13. M. Elbishlawi a. J. Spencer, Ind. Eng. Chem., **43**, 1811, 1951.
14. Я. Д. Саввина, Диссертация, Нефтегазовый ин-т, М., 1955.
15. M. Doss, Physical Constants of the Principal Hydrocarbons, Technical and Research Division of the Texas Company, N. Y., 1943.



## ВЛИЯНИЕ СТЕПЕНИ ОКИСЛЕННОСТИ ПЛАТИНОВОГО АНОДА НА КИНЕТИКУ ЭЛЕКТРОХИМИЧЕСКОГО ВЫДЕЛЕНИЯ КИСЛОРОДА В РАСТВОРАХ СЕРНОЙ КИСЛОТЫ

Е. А. Ефимов и Н. А. Изгарышев

Реакция электрохимического выделения кислорода на гладкой платине в растворах серной кислоты изучалась многими исследователями. Однако ввиду сложности протекания анодного процесса результаты этих работ не смогли дать полной и окончательной картины изучаемого процесса, и в литературе все еще отсутствует единая точка зрения на механизм электрохимического выделения кислорода.

Приводимые разными исследователями экспериментальные данные сильно отличаются друг от друга. Расходятся не только численные значения величин перенапряжения, но и значения коэффициента  $b = \Delta\eta / \Delta \lg I$  уравнения Тафеля:  $\eta = a + b \lg I$ , несмотря на то, что многие измерения выполнены примерно в одних и тех же условиях (близкие концентрации, температуры, интервалы плотностей тока и т. п.).

Основными причинами такого расхождения экспериментальных данных являются длительный рост потенциала анода во времени при неизменной плотности тока и зависимость коэффициента  $b$  уравнения Тафеля от степени окисленности анода.

В 1940 г. Н. А. Федотовым [1] было обнаружено, что поляризационные кривые  $\eta - \lg I$  реакции электрохимического выделения кислорода, снятые в слабокислых растворах, имеют два разных наклона в зависимости от величины предварительной анодной поляризации электрода ( $b = 0,055 \div 0,065$  при предварительной анодной поляризации платины током  $10^{-1}$  А/см<sup>2</sup> и  $b = 0,09 \div 0,13$  в отсутствие таковой).

Уменьшение наклона прямой  $\eta - \lg I$  при применении предварительной поляризации анода в слабокислых растворах также наблюдали И. Я. Ривлин [2], В. И. Гинзбург и В. И. Веселовский [3]. Однако все эти авторы, за исключением Н. А. Федотова, не проводили специального исследования данного вопроса. Экспериментальный материал, собранный Н. А. Федотовым, в основном, относится к разбавленным растворам. Поэтому представлялось интересным провести специальное исследование зависимости коэффициента  $b$  уравнения Тафеля от характера предварительной поляризации анода, тем более что многие авторы используют величину  $b$  при определении лимитирующей стадии электродного процесса.

### МЕТОДИКА РАБОТЫ

Электрохимическое выделение кислорода на гладкой платине в растворах серной кислоты в зависимости от степени окисленности анода изучалось методом поляризационных кривых.

Опыты проводились в И-образном стеклянном сосуде, в котором анодное отделение отделялось от катодного закрытым краном. Все поляризационные кривые снимались в атмосфере кислорода. Последний получался в специальном электролизере и тщательно очищался от следов водорода дожиганием в особой печи с платинированным асбестом в качестве катализатора. Объем анолита — 125 см<sup>3</sup>, католита — 50 см<sup>3</sup>. В качестве катода и анода использовались две отшлифованные до блеска пла-

иновые пластинки, впаянные в стеклянные трубочки и частично заполненные гуттой для электроконтакта.

Конструкция анода изображена на рис. 1. Рабочей поверхностью  $0,47 \text{ см}^2$  служила только одна сторона платиновой пластины 1, вторая сторона ее и края были оплавлены стеклом 2. В середине пластины было просверлено отверстие 3 диаметром 1 мм, в которое входил оттянутый кончик электролитического ключа 4.

Такая конструкция анода позволяла:

а) получить равномерную плотность тока по всей поверхности электрода;

б) свести к минимуму омическое падение напряжения между кончиком электролитического ключа и поверхностью анода;

в) полностью уничтожить деформацию электрического поля электролитическим ключом;

г) повысить воспроизводимость полученных результатов.

Электролитический ключ 4 соединялся с сульфатным электродом сравнения  $\text{Hg}/\text{Hg}_2\text{SO}_4$ , насыщенной  $\text{Na}_2\text{SO}_4$  при помощи двух промежуточных мостиков и стаканчиков, один из которых заполнялся насыщенным раствором сернокислого натрия, другой — исследуемым раствором. Концы электролитических мостиков и электрода сравнения закрывались пробками из стеклянной ваты.

Сосуд для снятия поляризационных кривых, электрод сравнения и промежуточные стаканчики термостатировались. Температура всех опытов:  $25 \pm 0,5^\circ\text{C}$ .

Исследуемый интервал плотностей тока  $2,57 \cdot 10^{-6}$  —  $3,19 \cdot 10^{-2} \text{ А/см}^2$ . Все растворы готовились на бидистиллате и дважды перегнанной серной кислоте марки «х. ч.» (ГОСТ 4204-48). Потенциал анода измерялся при помощи потенциометра П-4.

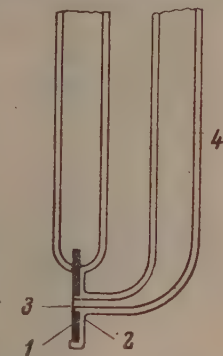


Рис. 1. Платиновый анод

## ЭКСПЕРИМЕНТАЛЬНЫЕ РЕЗУЛЬТАТЫ И ИХ ОБСУЖДЕНИЕ

На рис. 2 в полулогарифмических координатах построены поляризационные кривые, полученные в 1 *N* растворе серной кислоты, в зависимости от времени предварительного электрохимического окисления анода.

Прямые 2—7 снимались следующим образом. Перед началом опыта гладкий платиновый анод некоторое время анодно поляризовался (окислялся) при плотности тока  $2,13 \cdot 10^{-3} \text{ А/см}^2$ , после чего поляризующий ток снижался до исходной величины ( $2,57 \cdot 10^{-6} \text{ А/см}^2$ ), и потенциал анода измерялся от низших плотностей тока к высшим через 3 мин. после установления соответствующей плотности тока. Кривая 1 отражает зависимость потенциала от логарифма плотности тока в отсутствие предварительного окисления анода. Таким образом единственным переменным фактором, характеризующим прямые рис. 2, было время предварительной поляризации анода. Коэффициенты наклона полученных прямых  $\varphi - \lg I$ , т. е. величины коэффициента  $b$  уравнения Тафеля, приведены в табл. 1 (см. стр. 1609).

Как видно из рис. 2 и табл. 1, коэффициент  $b$  уравнения Тафеля в значительной степени определяется продолжительностью предварительной поляризации анода перед снятием поляризационных кривых.

Так, проведение минутной поляризации анода при плотности тока  $2,13 \cdot 10^{-3} \text{ А/см}^2$  скачкообразно уменьшает коэффициент  $b$  с 0,156 до 0,115. Увеличение поляризации до 5—15 мин. вызывает дальнейшее, правда очень незначительное, уменьшение наклона прямых  $\varphi - \lg I$ . Последующее увеличение продолжительности предварительной анодной поляризации до 7 час. (влияние более длительной поляризации нами не изучалось) уже не сказывается на значении  $b$ , а только приводит к параллельному смещению прямых  $\varphi - \lg I$  в сторону более высоких значений потенциала, т. е. к увеличению коэффициента  $a$  уравнения Тафеля.

На ход поляризационной кривой оказывает некоторое влияние и величина плотности тока, при которой проводится предварительная поляризация анода. На рис. 3 изображены поляризационные кривые  $\varphi - \lg I$ , снятые после тридцатиминутного окисления анода током разной плотности. Прямые 3, 4, 5 получены при применении предварительной по-

ляризации током  $2,13 \cdot 10^{-3}$ ;  $2,13 \cdot 10^{-2}$  и  $10^{-1}$  А/см<sup>2</sup>, кривая 1— $6,4 \cdot 10^{-4}$  А/см<sup>2</sup>; кривая 2— $1,3 \cdot 10^{-3}$  А/см<sup>2</sup>.

Таким образом, повышение поляризующей плотности тока от  $2,13 \cdot 10^{-3}$  до  $10^{-1}$  А/см<sup>2</sup>, при которой по А. Д. Обручевой [4] образуются «особо

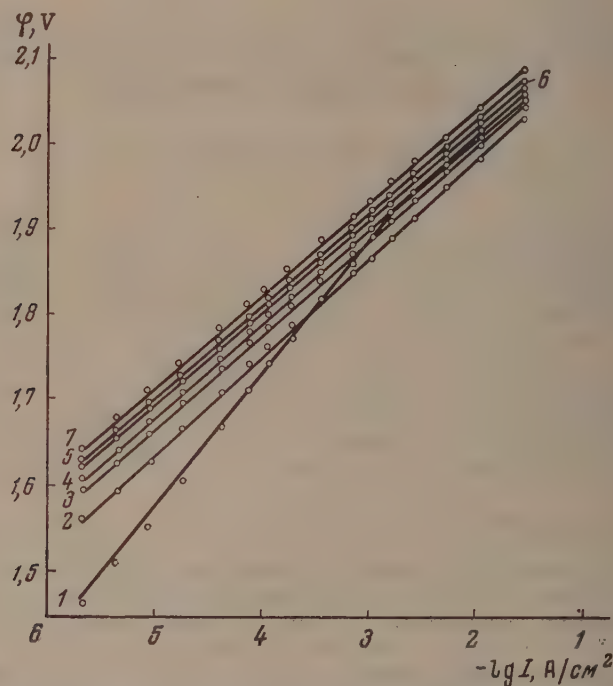


Рис. 2. Влияние продолжительности предварительной поляризации анода на характер зависимости  $\varphi - \lg I$  для 1 N H<sub>2</sub>SO<sub>4</sub>

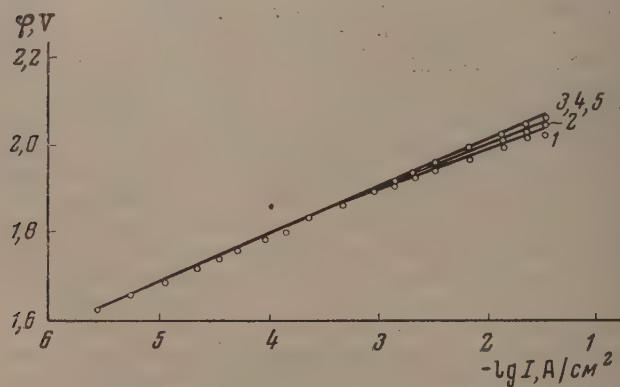


Рис. 3. Поляризационные кривые для 1 N H<sub>2</sub>SO<sub>4</sub> в зависимости от величины плотности тока, при которой проводилась предварительная поляризация анода

прочные» окислы, не сказывается на характере зависимости  $\varphi - \lg I$ . При поляризации плотностями тока, меньшими  $2,13 \cdot 10^{-3}$  А/см<sup>2</sup>, наблюдается излом прямых с незначительным уменьшением коэффициента  $b$  уравнения Тафеля.

При изучении состояния поверхности платинового электрода методом вриых заряжения было установлено [4, 5], что адсорбция кислорода на латине — медленный процесс, а количество посаженного на электрод кислорода увеличивается как с ростом плотности тока, при которой проводится поляризация, так и с выдерживанием электрода при постоянном потенциале. Одновременно с этим возрастает прочность связи атомов кислорода с поверхностью металла электрода и образуются фазовые кислоты.

Для процесса электрохимического выделения кислорода величина коэффициента  $b$  уравнения Тафеля может быть связана [6] с характером изменения потенциальной энергии от асостояния при переходе кислорода в гидратированного аниона или молекулы воды на электрод.

Тогда различный вид прямых  $-\lg I$  (рис. 2) на предварительно окисленном и неокисленном электродах, вероятно, обусловлен изменением наклона ветви потенциальной кривой адсорбции кислорода на аноде, следствие окисления платины во время предварительной поляризации.

При соблюдении линейной зависимости между потенциалом анода и логарифмом плотности тока коэффициент  $b$  уравнения Тафеля является важной величиной, характеризующей кинетику электрохимической реакции. Существование зависимости этой величины от степени предварительного окисления анода говорит о том, что образующаяся на электроде окисная пленка играет значительную роль в протекании реакции электрохимического выделения кислорода, игнорировать которую было бы серьезной ошибкой. В связи с этим можно полагать, что стадия образования и распада кислородных соединений платины должна быть обязательной стадией процесса выделения кислорода.

С увеличением продолжительности предварительной поляризации анода происходит более глубокое окисление платины, возрастает прочность связи  $\text{Me}-\text{O}$  и, следовательно, уменьшается электрохимическая активность окисных соединений. Это, в свою очередь, приводит к возрастанию энергии активации реакции распада кислородных соединений на поверхности платины и к увеличению перенапряжения при выделении кислорода.

Платиновый электрод окисляется не только за счет предварительной анодной поляризации, но и в процессе снятия поляризационной кривой. Это отчетливо видно при сравнении кривых 1 и 4 (рис. 2). Кривая 1 получена в отсутствие предварительной поляризации анода. Прямая 4 имеет «устойчивое» значение коэффициента  $b$ , т. е. такое значение, которое не изменяется при дальнейшем увеличении времени предварительной поляризации.

По мере снятия кривой 1 неокисленный электрод постепенно окисляется, увеличивается прочность связи  $\text{Me}-\text{O}$  и при достижении плотности тока, равной  $1,9 \cdot 10^{-3} \text{ А/см}^2$ , характер окисной пленки на поверхности того электрода, повидимому, не отличается от той пленки, которая образуется на аноде, подвергнутом пятнадцатиминутной поляризации при плотности тока  $2,13 \cdot 10^{-3} \text{ А/см}^2$ .

Таблица 1

Значения коэффициента  $b$  уравнения Тафеля для 1*N*  $\text{H}_2\text{SO}_4$  в зависимости от продолжительности предварительной поляризации анода при плотности тока  $2,13 \cdot 10^{-3} \text{ А/см}^2$

Кривые	Продолжительность предварительной поляризации анода	$b = \frac{\Delta \varphi}{\Delta \lg I}$
1	—	0,156*
2	1 мин.	0,115
3	5 »	0,110
4	15 »	0,108
5	30 »	0,108
6	60 »	0,108
7	7 час.	0,108

\* В интервале плотности тока  $2,57 \cdot 10^{-3} - 1,9 \cdot 10^{-3}$ .



Приведенные экспериментальные результаты находятся в хорошем согласии с данными, полученными Н. А. Федотовым [1] в слабых растворах. Наблюдаемое им среднее уменьшение коэффициента  $b$  за счет предварительной анодной поляризации (0,050) очень близко к найденным нами значениям (0,048).

При снятии кривых заряжения в 8 N  $\text{H}_2\text{SO}_4$  А. Д. Обручева [4] пришел к заключению, что в концентрированных растворах кислот количество адсорбированного на поверхности платины кислорода резко уменьшается

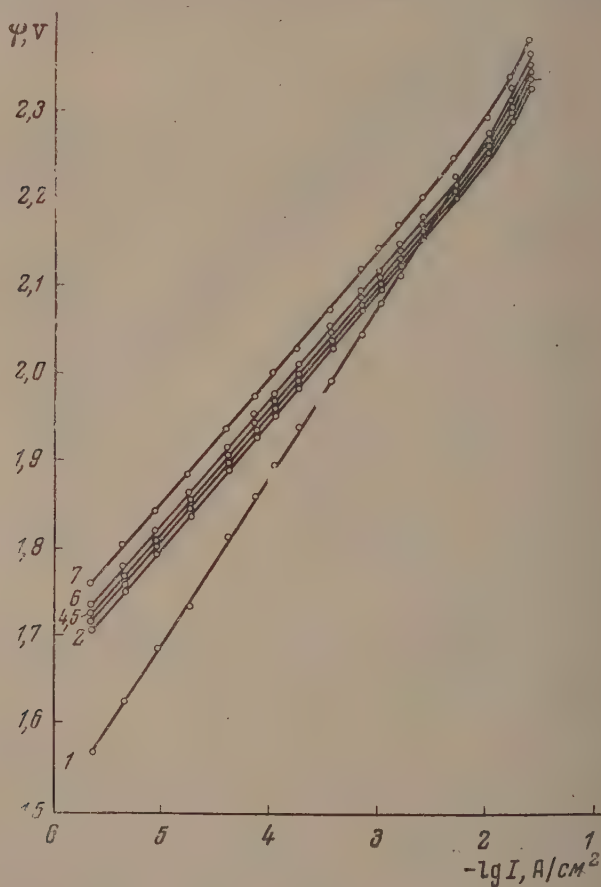


Рис. 4. Влияние продолжительности предварительной поляризации анода на характер зависимости  $\phi - \lg I$  для 17,36 N  $\text{H}_2\text{SO}_4$

В связи с этим Н. А. Федотовым было высказано предположение, что крепкие кислоты разрушают образующуюся на аноде окисную пленку. Поэтому представлялось интересным проследить, как будет изменяться найденная выше зависимость коэффициента  $b$  уравнения Тафеля от предварительной поляризации при повышении концентрации серной кислоты.

Для этой цели нами получены поляризационные кривые в 8,88; 17,36; 24,61; 30,69 и 35,87 N растворах серной кислоты. В 17,36 и 35,87 N  $\text{H}_2\text{SO}_4$  (рис. 4 и 5) условия снятия кривых были те же, как и в 1 N  $\text{H}_2\text{SO}_4$ , а при концентрации  $\text{H}_2\text{SO}_4$ , равной 8,88, 24,61 и 30,69 N (рис. 6) мы ограничились получением зависимости  $\phi - \lg I$  только двумя методами

при проведении пятнадцатиминутной анодной поляризации (кривые 2, 6) и в ее отсутствие (кривые 1, 3, 5). Из рис. 4—6 и табл. 2 видно, что описанный выше характер зависимости коэффициента  $b$  от продолжительности предварительного окисления анода существует не только в разбавленных растворах, но и во всем интервале концентраций серной кислоты.

Таблица 2

Значения коэффициента  $b$  уравнения Тафеля в 17,36 и 35,87  $N$  растворах серной кислоты в зависимости от времени предварительной поляризации при плотности тока  $2,13 \cdot 10^{-3} \text{ А/см}^2$

Кривые рис. 4 и 5	Время пред- варительной поляризации	Величина коэффициента $b$	
		17,36 $N \text{ H}_2\text{SO}_4$	35,87 $N \text{ H}_2\text{SO}_4$
1	—	0,188	0,175
2	1 мин.	0,150	0,143
3	5 »	0,148	0,142
4	15 »	0,145	0,142
5	30 »	0,145	0,142
6	60 »	0,145	0,142
7	7 час.	0,145	0,142

Как и для 1  $N \text{ H}_2\text{SO}_4$ , проведение минутной поляризации анода при плотности тока  $2,13 \cdot 10^{-3} \text{ А/см}^2$  скачкообразно уменьшает коэффициент наклона прямых  $\varphi - \lg I$ . Увеличение продолжительности анодного окис-

Таблица 3

Значения относительных уменьшений коэффициента  $b$  при проведении пятнадцатиминутной поляризации при плотности тока  $2,13 \cdot 10^{-3} \text{ А/см}^2$

Концент- рация $\text{H}_2\text{SO}_4$ $N$	$b$ в отсут- ствие предва- рительной поляризации ( $b_2$ )	$b$ при прове- дении пред- варительной поляризации ( $b_1$ )	Относитель- ное уменьше- ние $b$ ( $\Delta b = b_2 - b_1$ )
1,00	0,156*	0,108	0,048
8,88	0,170*	0,124	0,046
17,36	0,188	0,145	0,043
24,61	0,209*	0,167*	0,042
30,69	0,222	0,182	0,040
35,87	0,175	0,142	0,033

\* Значения  $b$  измерены в интервале плотности тока  $\sim 2,57 \cdot 10^{-6} + 10^{-3} \text{ А/см}^2$ .

нения от 15(5) мин. до 7 час. не изменяет величины  $b$ , а только смещает коэффициент  $a$  уравнения Тафеля в сторону более высоких значений потенциала.

Таким образом, в растворах всего диапазона концентраций  $\text{H}_2\text{SO}_4$  можно получить поляризационные кривые  $\varphi - \lg I$  с некоторым «устойчивым» значением коэффициента  $b$ . Во всех случаях такое значение  $b$  получается при применении пятнадцатиминутной (и выше) анодной поляризации

при плотности тока  $2,13 \cdot 10^{-3}$  А/см<sup>2</sup>. Следует также отметить, что воспроизводимость значений потенциала в этом случае значительно выше (0,005 В), чем в отсутствие предварительной анодной поляризации (0,025 В).

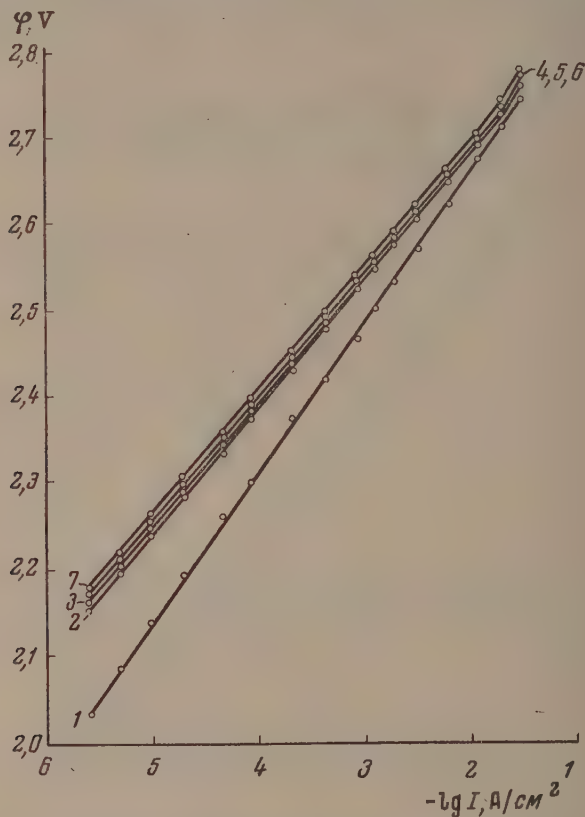


Рис. 5. Влияние продолжительности предварительной поляризации анода на характер зависимости  $\phi - \lg I$  для 35,87 N H<sub>2</sub>SO<sub>4</sub>

«Устойчивые» значения коэффициента  $b$  ( $b_1$ ), а также его значения, найденные в отсутствие предварительной поляризации ( $b_2$ ), приведены в табл. 3. Относительное уменьшение  $b$  за счет предварительного окисле-

Таблица 4

Прирост потенциала анода во времени при поляризации током  $2,13 \cdot 10^{-4}$  А/см<sup>2</sup> в растворах с различной концентрацией H<sub>2</sub>SO<sub>4</sub>

Время прироста потенциала в мнутах	Прирост потенциала анода во времени в милливольтгах											
	0,74 N H <sub>2</sub> SO <sub>4</sub>	4,69 N H <sub>2</sub> SO <sub>4</sub>	8,88 N H <sub>2</sub> SO <sub>4</sub>	13,35 N H <sub>2</sub> SO <sub>4</sub>	15,37 N H <sub>2</sub> SO <sub>4</sub>	17,36 N H <sub>2</sub> SO <sub>4</sub>	20,82 N H <sub>2</sub> SO <sub>4</sub>	24,61 N H <sub>2</sub> SO <sub>4</sub>	27,82 N H <sub>2</sub> SO <sub>4</sub>	30,69 N H <sub>2</sub> SO <sub>4</sub>	32,52 N H <sub>2</sub> SO <sub>4</sub>	35,87 N H <sub>2</sub> SO <sub>4</sub>
1—6	61	60	70	67	70	64	72	67	68	66	66	32
1—15	93	93	101	97	100	98	103	99	101	100	103	44
1—30	118	116	126	118	123	121	127	126	124	129	122	52
1—60	142	137	147	136	144	141	147	144	141	149	140	53
1—120	160	158	164	156	163	161	167	168	154	163	153	53

ния анода ( $\Delta b = b_2 - b_1$ ) крайне незначительно падает с ростом концентрации серной кислоты. Во всех растворах, за исключением 35,87 N, его можно признать практически постоянным.

Такое постоянство  $\Delta b$  вызвано примерно одинаковым ростом потенциала анода во времени (при поляризации постоянной плотности тока) во всем

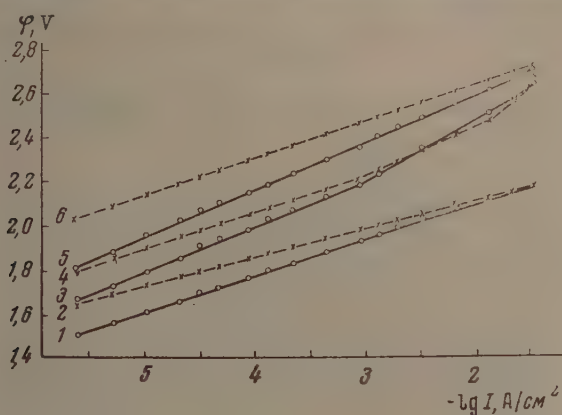


Рис. 6. Поляризационные кривые 1, 2 — в 8,88 N, 3 — 4 — в 24,61 N и 5, 6 — в 30,69 N растворах  $\text{H}_2\text{SO}_4$

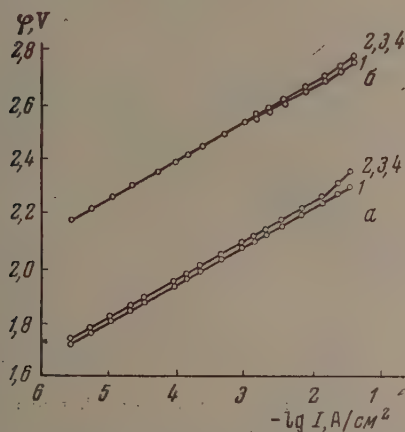


Рис. 7. Поляризационные кривые: а — в 17,26 N и б — в 35,87 N  $\text{H}_2\text{SO}_4$  в зависимости от величины плотности тока, при которой проводилась тридцатиминутная предварительная поляризация анода. 1 —  $I_{\text{пол}} = 8,5 \cdot 10^{-4}$  А/см<sup>2</sup>; 2 —  $I_{\text{пол}} = 1,5 \cdot 10^{-3}$  А/см<sup>2</sup>; 3 —  $I_{\text{пол}} = 2,1 \cdot 10^{-3}$  А/см<sup>2</sup>; 4 —  $I_{\text{пол}} = 2,13 \cdot 10^{-2}$  А/см<sup>2</sup>

интервале концентрации серной кислоты, кроме очень концентрированных растворов. Об этом свидетельствуют данные табл. 4, полученные в результате снятия кривых потенциал—время при плотности тока  $2,13 \cdot 10^{-4}$  А/см<sup>2</sup>.

Зависимость коэффициента  $b$  уравнения Тафеля от величины плотности тока, при которой проводится предварительная поляризация анода, для 17,36 и 35,87 N растворов серной кислоты (рис. 7), мало отличается от аналогичной зависимости, найденной для 1 N  $\text{H}_2\text{SO}_4$  (рис. 3).

Таким образом, существование зависимости коэффициента  $b$  от степени окисленности платинового анода во всем интервале концентраций серной



кислоты опровергает ранее выдвинутое предположение [1] о том, что окисная пленка, покрывающая анод, разрушается в концентрированных растворах. Это также подтверждает высказанное выше соображение, что процесс электрохимического выделения кислорода на платиновом аноде проходит через стадию образования и распада кислородных соединений на поверхности электрода.

### ВЫВОДЫ

1. Исследовалась зависимость кинетики электрохимического выделения кислорода на платине в растворах серной кислоты от характера предварительного окисления анода.

2. Установлено, что коэффициент  $b$  уравнения Тафеля не является константой, а зависит от условий предварительного электрохимического окисления анода.

3. Найдено, что минутная анодная поляризация электрода при плотности тока  $2,13 \cdot 10^{-3} \div 10^{-2}$  А/см<sup>2</sup> перед снятием поляризационной кривой  $\eta - \lg I$  скачкообразно уменьшает коэффициент ее наклона (на 0,04 V). Увеличение продолжительности предварительной поляризации от 15 мин до 7 час. уже не изменяет величины  $b$ , а только смещает коэффициент уравнения Тафеля в сторону более высоких значений потенциала. Такая зависимость коэффициента  $b$  от условий предварительного окисления анода наблюдается во всем исследуемом интервале концентраций серной кислоты (1—35,87 N).

4. Высказано предположение, что стадия образования и распада окисных соединений платины на поверхности электрода является обязательной стадией процесса электрохимического выделения кислорода. Образование и распад этих соединений происходят более легко на менее окисленной поверхности электрода. Увеличение продолжительности предварительной поляризации анода приводит к более глубокому окислению платины, возрастанию прочности связи Me—O и, следовательно, уменьшению электрохимической активности окисных соединений и увеличению перенапряжения при выделении кислорода.

Химико-технологический институт  
им. Д. И. Менделеева  
Москва

Поступила  
20. VIII. 1955

### ЛИТЕРАТУРА

1. Н. А. Федотов, Кандидатская диссертация, Физико-химический институт им. Л. Я. Карпова, 1940.
2. И. Я. Ривлин, Кандидатская диссертация, Ленинградский государственный университет им. А. А. Жданова, 1951.
3. В. И. Гинзбург и В. И. Веселовский, Журн. физ. химии, 24, 366, 1950.
4. А. Д. Обручева, Журн. физ. химии, 26, 1448, 1952.
5. В. И. Нестерова и А. Н. Фрумкин, Журн. физ. химии, 26, 1178, 1952.
6. J. Horiuti, M. Polanyi, Acta physicochim. URSS, 2, 505, 1935.

## О СТАЦИОНАРНЫХ КОНЦЕНТРАЦИЯХ ОКСИ АЗОТА В РАЗРЯДЕ

### 1. ОПЫТЫ В ШИРОКОМ СОСУДЕ С ВОЗДУХОМ

*Е. Н. Еремин и А. Н. Мальцев*

При изучении кинетики реакций в электрических разрядах было установлено [1], что концентрация продукта при обратимых реакциях\* в разрядах в большинстве случаев выражается в зависимости от условного времени реакции следующим соотношением:

$$\% x = \frac{k_0}{k_1} (1 - e^{-k_1 t}) = (\% x)_{\infty} (1 - e^{-k_1 t}), \quad (1)$$

где  $\% x$  — объемный процент продукта,  $k_0$  и  $k_1$  — кинетические константы образования и разложения продукта,  $t$  — условное время реакции, равное обратной скорости протока газа ( $1/v$ ). Стационарная концентрация продукта  $(\% x)_{\infty}$ , получаемая при  $t = \infty$  и равная отношению констант образования и разложения, не является для данной реакции постоянной величиной и зависит от многих условий — диаметра разрядной трубки, давления, силы тока, состава исходной смеси.

Однако эта зависимость еще не может считаться установленной. Габер и Кениг [2] получали высокие концентрации NO (9,8% — для воздуха и 14,4% — для стехиометрической смеси) при давлениях 100—130 мм рт. ст. в узкой разрядной трубке. Гольвех [3], работая с очень короткой дугой постоянного тока, получил из воздуха 9,2% NO при давлении около 600 мм рт. ст. Зависимость стационарной концентрации окиси азота от силы тока и давления впервые изучалась Колиным и Тартаром [4]. По их данным, относящимся к короткому (8 мм) разряду в широком сосуде, концентрация NO проходит через максимум с изменением силы тока при постоянном давлении или с изменением давления при постоянной силе тока. В случае воздуха при атмосферном давлении, максимум (5,08% NO по объему) соответствовал силе тока 10—12 мА. На кривых «стационарный % NO — давление» положение и высота максимума зависели от силы тока. Е. Н. Еремин и Б. Г. Людковская [5] показали, что стационарные концентрации окиси азота при низких давлениях ( $p$ ) и малых силах тока сначала линейно увеличиваются с ростом произведения  $ip$ , но затем проходят через максимум. К. Н. Почалов [6] получил наивысшую из опубликованных концентрацию окиси азота (5,1%), вытягивая газ через узкий (менее 0,4 мм) канал электрода, на котором располагалось электродное пятно высокочастотного факела, горевшего при обычном давлении в смеси азота с кислородом состава 1 : 1. Однако при тех же условиях стационарная концентрация NO в газе, окружавшем факел, не превышала 4%.

Полученные в ряде работ с электрическим разрядом высокие концентрации окиси азота никак нельзя объяснить термодинамическим равновесием. Это было показано С. С. Васильевым [7], измерившим температуру газа в разряде, а также Е. Н. Ереминым и А. Н. Мальцевым [8], рассчитавшим равновесие образования окиси азота с учетом диссоциации молекул на атомы.

Боденштейн [9] объяснял высокие концентрации NO в опытах Габера и Кенига развитием реакций с учетом свободных атомов азота и кислорода. Однако расчет предложенного им механизма по методу стационарных концентраций неубедителен, вследствие ряда недопустимых, на наше мнение, пренебрежений.

\* Например, окисление азота, синтез озона, образование атомарного водорода и т. д.

На основании приведенных данных, повидимому, нельзя судить о том, как влияют условия горения разряда, например, давление, на стационарную концентрацию NO. Высокие значения последней получены и при низких давлениях [2, 5] и при давлениях, близких или равных атмосферному [3, 6]. Вследствие близости данных Гольвеха, с одной стороны, К. Н. Мочалова — с другой, результат последнего, повидимому, нельзя связать и со спецификой факельного разряда. Повидимому, вообще высокая концентрация окиси азота может быть получена в тех случаях, когда газ извлекается непосредственно из центральной части разряда или путем срезания его периферических частей заключением в узкую трубку [2, 5], или вытягиванием через капилляр в электроде [6], или применением очень короткого разряда [3], в котором периферические части не имеют возможности развиваться. При этом, как нам представляется, давление газа не играет принципиальной роли и сказывается лишь на большей или меньшей трудности извлечения газа из центральной части разряда.

### АППАРАТУРА И МЕТОДИКА РАБОТЫ

Определение стационарных концентраций окиси азота при синтезе ее из азота и кислорода в разряде производилось при помощи циркуляционной установки, показанной на рис. 1. Через реактор 1 — стеклянный

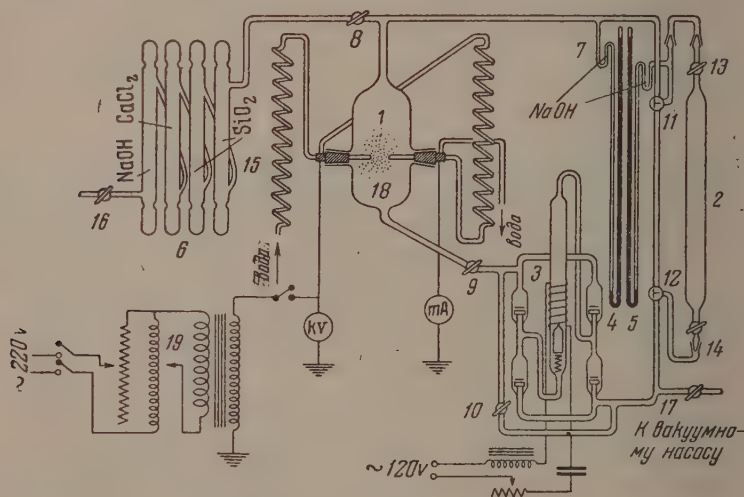


Рис. 1. Схема установки

сосуд объемом около 2 л, снабженный электродами из нержавеющей стали и газовую пипетку 2 (объем около 1,8 л) циркулирует воздух при помощи насоса 3. Стационарная концентрация окиси азота определялась в съемной пипетке 2. Установка включала также ртутные вакуумметры 4 и 5, соединенные с установкой U-образной трубки 7, наполненной едким натром, колонки 6 для очистки и осушки воздуха, и стеклянные спираль 15 для подвода воды, охлаждающей электроды, и несколько кранов. Расстояние между электродами было 13,5 мм.

Был принят следующий порядок проведения опыта. После возможной более полной откачки установки масляным форвакуумным насосом при закрытом кране 8, систему заполнили воздухом через кран 16 и очистительные колонки 6 до заданного давления, отсчитываемого по вакуумметру 4. После этого включали разряд и устанавливали заданную силу тока. Так как при горящем разряде давление в системе несколько повышается, через

кран 17 производили дополнительную откачку. Включали циркуляционный насос, и кранами 9 и 10 устанавливали минимальную скорость циркуляции газа, заметную по слабым колебаниям пламени разряда в такт работающему насосу\*. По истечении 45 мин. пипетку 2 отключали трехходовыми кранами 11 и 12 от остальной части системы, а краны 13 и 14 закрывали. Выключали разряд и насос. После уравнивания температур пипетки и окружающей среды вакуумметром 5 измеряли давление в пипетке, которую затем после впуска воздуха в установку снимали со шлифов. Для определения количества окиси азота в пипетке в нее вливали 30 мл 5%-ного раствора перекиси водорода и встряхивали 30 мин. Затем раствор вместе с промывной водой кипятили в присутствии металлической платины в течение 20 мин. для разложения избытка перекиси и титровали с фенолфталеином децинормальной щелочью.

Электрическая часть установки, показанная на том же рисунке, состоит из разрядной трубки 18, высоковольтного трансформатора\*\*, вариатора 19, реостата, рубильника, астатических миллиамперметров и вольтметра ВКС-76 с делителем напряжения ДНЕ-2, коэффициент деления которого был установлен для 50  $\mu$  путем сравнения со статическим вольтметром С-95. Примененная схема позволила получать устойчивый разряд в широком диапазоне силы тока.

### РЕЗУЛЬТАТЫ ОПЫТОВ

В качестве исходной азото-кислородной смеси в этой работе был использован только воздух\*\*\*. При четырех значениях давления: 50, 100, 200 и 300 мм рт. ст. были получены зависимости стационарной концентрации

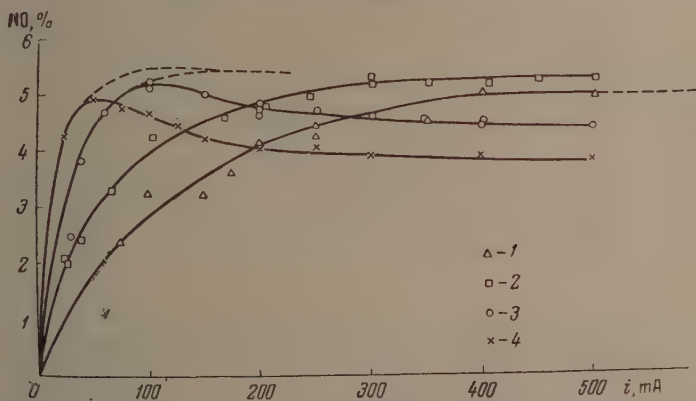


Рис. 2. Зависимость стационарной концентрации окиси азота от силы тока. 1—50 мм рт. ст., 2—100 мм рт. ст., 3—200 мм рт. ст., 4—300 мм рт. ст.

(объемного процента) от силы тока, разряда, показанные на рис. 2. Как видно, обнаруживаются два типа зависимости:

При более низких давлениях (50 и 100 мм) стационарная концентрация окиси азота сначала растет с увеличением силы тока, а затем доходит до

\* Как показали специальные опыты, изменение скорости циркуляции не в слишком больших пределах не влияет заметно на стационарную концентрацию окиси азота.

\*\* Использовали либо один трансформатор мощностью 15,5 kW и напряжением 220/10000 В, либо два последовательно соединенных трансформатора НОМ-10.

\*\*\* В проведении опытов принимала участие Е. И. Макарова.



предельного значения, достигаемого для большего давления при меньшей силе тока.

При более высоких давлениях (200 и 300 мм) концентрация окиси азота после первоначального роста проходит через максимум, смещенный при большем давлении в сторону меньших сил тока.

Исходная смесь — воздух

Давление газа (мм рт. ст.)	Предельный или максимальный стационарный % NO
50	5,20
100	5,50
200	5,24
300	4,92
760	5,08*

\* По данным Колина и Таргара [4].

Обращает на себя внимание близость предельных или максимальных значений стационарных концентраций NO для разных давлений (см. таблицу).

Таким образом очевидно, что предельные или максимальные стационарные концентрации окиси азота весьма мало зависят от давления. При этом, если учесть медленность подъема кривой 1 для 50 мм, можно полагать, что в этом случае предел еще не достигнут и что предельная концентрация вообще не зависит от давления. Даже для атмосферного давления максимальная стационарная концентрация окиси азота (5,08%), взятая из работы Колина и Таргара, близка к полученной нами\*.

Было установлено ранее [5], что стационарная концентрация NO является функцией произведения  $i\rho$ . Рис. 3 показывает, что и в данном случае при малых  $i\rho$  все стационарные концентрации удовлетворительно укладываются на одну кривую, но при дальнейшем увеличении  $i\rho$  кривые 2 и 3 для давлений 200 и 300 мм проходят через максимум и не совпадают ни между собой, ни с кривой 1, стремящейся к пределу.

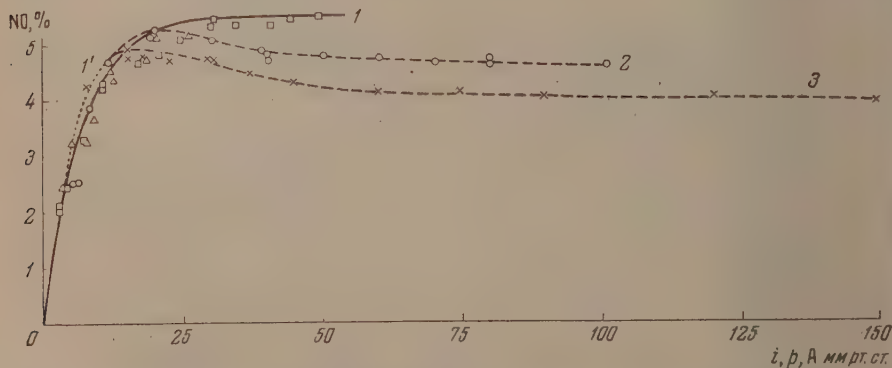


Рис. 3. Зависимость стационарной концентрации окиси азота от переменной  $i\rho$ . Кривая 1 вычислена по формуле (2), кривая 1' — по формуле (3). Кривые 2 и 3 относятся соответственно к давлениям 200 и 300 мм рт. ст. Обозначения те же, что и на рис. 2

Начальный ход кривой 1 рис. 3 лучше всего описывается экспоненциальной функцией вида:

$$(\% \text{ NO})_{\infty} = a' (1 - e^{-b'(i\rho)}), \quad (2)$$

где  $a' = 5,47$  и  $b' = 0,154$  (А·мм рт. ст.)<sup>-1</sup>.

\* Более высокие концентрации NO, полученные этими авторами при пониженных давлениях, будут подробнее обсуждены в другом месте. Мы полагаем, что здесь, как и в опытах Гольвеха, сказывалось относительно малое расстояние между электродами. Повидимому, уменьшение расстояния проявляется тем эффективнее, чем ниже давление.

Однако, с другой стороны, зависимость почти столь же удовлетворительно передается и другой формулой, а именно:

$$(\% \text{NO})_{\infty} = \frac{a(ip)}{[1 + b(ip)^2]^{1/2}} \quad (3)$$

По этой формуле со значениями  $a = 0,794$  и  $b = 0,021$  построена пунктирная кривая  $I'$  на рис. 3. Как видно, кривые  $I$  и  $I'$  практически полностью совпадают на начальном и конечном участках и лишь слегка расходятся в области средних значений ( $ip$ ) — от 5 до 15 А·мм рт. ст. Очевидно, что ни формула (2), ни формула (3) не противоречат наблюдаемой в прежней работе линейной зависимости стационарной концентрации NO от  $ip$  при малых значениях этой переменной.

Приведенные выше данные интересно сопоставить с электрической характеристикой разряда. На рис. 4 дана зависимость напряжения горения разряда в вольтах на единицу длины разрядного промежутка (миллиметры) и дав-

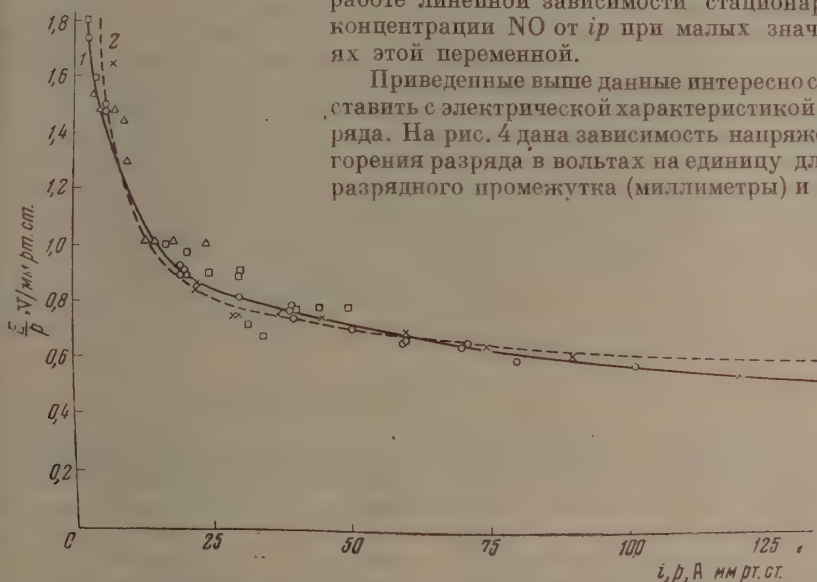


Рис. 4. Зависимость относительного градиента потенциала  $E/p$  от переменной  $ip$ . 1 — опытная кривая, 2 — вычисленная кривая по формуле (4). Обозначения те же, что и на рис. 2

ления (мм рт. ст.) от  $ip$ . При относительно больших давлениях, с которыми мы работали, эту величину можно в первом приближении отождествить со средним относительным предельным градиентом потенциала в столбе разряда ( $E/p$ ). Если принять во внимание, что напряжение горения разряда, особенно при малых силах тока и больших давлениях, все время колеблется от всякого рода случайных причин и что его нельзя измерить вполне точно, то можно считать зависимость  $E/p$  от  $ip$ , выражающуюся одной кривой 1 для всех изученных условий опыта. Эта кривая сначала резко падает с увеличением  $ip$ , а затем переходит почти в горизонтальную. Опытная кривая довольно близко передается формулой

$$\left(\frac{E}{p}\right) = C + \frac{d}{(ip)} \quad (4)$$

со значениями констант  $C = 0,575 \text{ В мм рт. ст.}^{-1}$  и  $d = 6,25 \text{ (В·А мм}^{-1}\text{)}$ .

При сопоставлении рис. 3 и 4 видно, что резкий подъем кривой стационарной концентрации окиси азота и падение кривой  $E/p$  прекращаются в одной и той же области значений  $ip$  (15—20 мм рт. ст.).

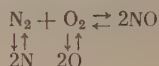
## ОБСУЖДЕНИЕ РЕЗУЛЬТАТОВ

Сравнивая кривые 1 и 2, стремящиеся к одному и тому же пределу (5,5% NO), с 3 и 4 (рис. 2), проходящими через максимум, близкий к указанному пределу (см. также таблицу), мы допускаем, что зависимость стационарной концентрации окиси азота от силы тока имеет один и тот же характер при всех изученных давлениях, причем концентрация, повидимому, стремится к одному и тому же пределу. Однако при более высоких давлениях (200 и 300 мм) на процессы, обеспечивающие первоначальный рост концентрации и стремление ее к пределу, налагаются какие-то дополнительные процессы, снижающие концентрацию и ведущие к прохождению кривой через максимум. Мы полагаем, иными словами, что в отсутствие этих дополнительных процессов кривые 3 и 4 рис. 2 проходили бы так, как это показано штриховыми линиями. С этой точки зрения, переходя к рис. 3, можно говорить об одинаковой зависимости объемного процента NO от произведения  $ip$  для всех изученных давлений, т. е. о том, что эмпирические формулы (2) и (3) выражают общую закономерность, справедливую для всех давлений, но не учитывающую при более высоких давлениях влияние упомянутых дополнительных процессов. На основании сказанного мы полагаем возможным временно отвлечься от прохождения кривых через максимум и считать, что при всех изученных давлениях в разряде устанавливается при достаточно большом  $ip$  стационарное состояние, характеризующееся одной и той же объемной долей окиси азота.

На первый взгляд такой результат может показаться тривиальным и свидетельствующим об установлении в разряде термодинамического равновесия согласно условию:

$$(\%NO)_{\text{равн}} = K_p (\%N_2)_{\text{равн}}^{1/2} (\%O_2)_{\text{равн}}^{1/2}, \quad (5)$$

также ведущему к независимости объемного процента окиси азота от давления. Однако это не так. Условие (5) не учитывает диссоциации молекул на атомы, вполне реальной при температурах, для которых равновесная концентрация окиси азота становится заметной. Учет же диссоциации ведет, во-первых, к прохождению равновесной концентрации через максимум с повышением температуры и, во-вторых, к зависимости % NO от давления. Заполю выполненным нами [8] расчет равновесия реакции



показал, что при атмосферном давлении в воздухе (как исходной смеси) максимально возможный равновесный % NO равен 4,98 (3500° K), а для 50 мм рт. ст. составляет всего 3,18% (3000° K). Таким образом стационарные концентрации окиси азота, полученные в наших опытах при пониженных давлениях, заметно выше максимально возможной равновесной для атмосферного давления и значительно выше максимальных равновесных при равных давлениях. Следовательно, мы встречаемся в данном случае с новым фактом соответствия в смысле независимости от давления предельных стационарных концентраций окиси азота в разряде простому равновесному соотношению (5) при безусловном отсутствии равновесия\*.

Мы не предполагаем дать в настоящей работе полное объяснение полученным данным, считая, что оно должно быть результатом дальнейшей работы, и хотим здесь ограничиться некоторыми сугубо предварительными соображениями. Во-первых, о физическом смысле произведения  $ip$ ,

\* Даже если не соглашаться с приведенной выше интерпретацией результатов, факт близости предельных и максимальных концентраций NO для разных давлений несомненен.

функцией которого является стационарная концентрация окиси азота. Так как в положительном столбе, составляющем подавляющую часть разряда при изучавшихся нами давлениях, основными переносчиками тока являются электроны, то силу тока можно записать в виде:

$$i = \int [e] v_e ds = [\bar{e}] \bar{v}_e s, \quad (6)$$

где  $[e]$  и  $v_e$  — концентрация и направленная скорость электронов в месте выбора элемента поперечного сечения разряда  $ds$ , а  $[\bar{e}]$  и  $\bar{v}_e$  — те же величины, усредненные по поперечному сечению. Направленная скорость электронов  $v_e$ , как установлено опытом, является функцией  $(E/p)^{n*}$ , причем для больших  $E/p$  ( $>0,1$  В/мм·мм рт. ст.)  $n$  приближается к единице [10]. Так как в нашем случае  $E/p$  значительно больше 0,1, можем положить  $n = 1$ . Далее, в условиях наших опытов  $E/p$  выражается как функция  $ip$  формулой (4). Согласно этой формуле и наблюдаемому на опыте резкому падению  $E/p$ , при малых  $ip$  с увеличением последнего можем в нулевом приближении считать в этой области  $E/p$  обратно пропорциональным  $ip$ . Тогда из (6) получим

$$i^2 p \sim [\bar{e}] s. \quad (7)$$

Поперечное сечение столба разряда безусловно уменьшается с повышением давления. Принимая опять в нулевом приближении обратно пропорциональную связь этих величин, получим

$$(ip)^2 \sim [\bar{e}] \text{ или } [e]^{1/2} \sim (ip), \quad (8)$$

т. е. при сделанных допущениях произведение  $ip$  пропорционально квадратному корню из концентрации электронов.

Таким образом, найденную нами эмпирическую зависимость (3) стационарной концентрации окиси азота можно записать в виде

$$[\% \text{NO}]_{\infty} = \frac{a[\bar{e}]^{1/2}}{[1 + b[\bar{e}]]^{1/2}}. \quad (9)$$

Переходя теперь к наблюдаемым закономерностям изменения стационарной концентрации окиси азота, укажем, что нами были испытаны многочисленные схемы механизма процессов образования и разложения NO, в том числе схемы с участием ионов, включающие активацию ударом второго рода, цепной механизм и т. д. Однако все они не дали пужной зависимости. К той же, что и (9), функциональной зависимости  $[\text{NO}]_{\infty}$  от  $[e]$  пока привела лишь схема, включающая ступенчатую диссоциацию азота на атомы и образование окиси азота путем взаимодействия атома N с молекулой кислорода и при рекомбинации атомов азота и кислорода. Не считая, однако, эту схему окончательной, мы предполагаем вернуться к обсуждению механизма в последующих публикациях.

В предыдущем обсуждении [8] мы откликлись от факта прохождения стационарной концентрации NO через максимум с увеличением  $ip$  при более высоких давлениях, считая его обусловленным причинами, появляющимися дополнительно в условиях относительно больших давлений и сил тока. Пока мы можем только сказать, что эти причины связаны, возможно, с повышенной температурой газа в указанных условиях, ускоряющей, например, разложение окиси азота. Сказанное не следует понимать, впрочем, в том смысле, что при больших давлениях и силах тока устанавливается термодинамическое равновесие. Что это не так, видно из уменьшения концентраций с повышением давления (кривые 2, 3 и 4 рис. 2), так как равновесие ведет, как уже упоминалось, к обратной зависимости.

\* О величине  $(E/p)$  см. выше.



## ВЫВОДЫ

1. Изучена зависимость стационарных концентраций окиси азота при синтезе ее из воздуха ( $\% \text{NO}_\infty$ ) в электрическом разряде от силы тока при давлениях 50, 100, 200 и 300 мм рт. ст.

2. Установлено, что при более низких давлениях ( $\% \text{NO}_\infty$ ) увеличивается с возрастанием силы тока и стремится к пределу, приблизительно не зависящему от давления; при более высоких давлениях концентрация NO проходит через максимум, близкий к упомянутому пределу.

3. Показано, что ( $\% \text{NO}_\infty$ ) может быть представлена как функция произведения силы тока на давление  $ip$ ; на соответствующую кривую с пределом удовлетворительно укладываются все точки для более низких давлений (50 и 100 мм), а при более высоких (200 и 300 мм) наблюдается расхождение кривых после достижения максимума.

4. Высказано предположение об общем характере зависимости ( $\% \text{NO}_\infty$ ) от  $ip$ , связанной с общим механизмом реакции, на который при более высоких давлениях при значительных  $ip$  налагаются дополнительные процессы, ведущие к снижению ( $\% \text{NO}_\infty$ ), обусловленные, возможно, более высокой температурой газа в этих условиях.

5. Показано, что относительный градиент потенциала  $E/p$  также является функцией переменной  $ip$ .

Московский государственный  
университет им. М. В. Ломоносова  
Москва

Поступила  
8. IX. 1955

## ЛИТЕРАТУРА

1. С. С. Васильев, Н. И. Кобозев и Е. Н. Еремин, Журн. физ. химии, **7**, 619, 1936.
2. F. Haber, A. König, Zs. Elektrochem., **13**, 725, 1907; **14**, 689, 1908.
3. W. Holwech, Zs. Elektrochem., **16**, 369, 1910.
4. Ph. G. Colin, H. W. Tartar, Journ. Phys. Chem., **31**, 1539, 1927.
5. Е. Н. Еремин, Б. Г. Людковская, Труды ГИАП, **2**, 98, 1953.
6. К. Н. Мочалов, Докторская диссертация, Хим.-технол. ин-т им. С. М. Кирова, Казань, 1953.
7. С. С. Васильев, Вестн. МГУ, № 12, 63, 1947.
8. Е. Н. Еремин, А. Н. Мальцев, Журн. физ. химии, **30**, 1179, 1956.
9. M. Bodenstern, Roszniki chemie, **18**, 374, 1938.
10. В. Л. Грановский, Электрический ток в газе, т. I, ГИТТЛ, Москва, 1952, стр. 285, 292.

## ИССЛЕДОВАНИЕ ПАРАМЕТРА КРИСТАЛЛИЧЕСКОЙ РЕШЕТКИ СПЛАВОВ АЛЮМИНИЙ — МАРГАНЕЦ ПОСЛЕ РАЗЛИЧНЫХ ВИДОВ ТЕРМИЧЕСКОЙ ОБРАБОТКИ

*И. Н. Фридляндер, В. А. Константинов и Н. И. Зайцева*

По вопросу о возможности закалки металлических сплавов из жидкого состояния существуют различные точки зрения. А. А. Бочвар [1] отмечает, что большие скорости охлаждения не позволяют пройти мимо первичной диффузии, которая и создает разницу состава между твердым и жидким раствором.

Он указывает также, что в сплавах с сурьмой (кристаллизующихся по перитектической реакции) путем закалки прямо из жидкого состояния удастся получить вместо смеси двух видов кристаллов  $\alpha$  и  $\beta$  только пересыщенные сурьмой кристаллы  $\alpha$ . Фалькенхаген и Гофман [2] на основании изучения параметра решетки предполагают, что возможно значительное пересыщение против максимальной равновесной растворимости у сплавов алюминий — марганец, алюминий — хром, алюминий — титан и других. По мнению Д. А. Петрова [3], вычерчивание на диаграммах состояния «неравновесных солидусов», придавая им тот же смысл, что и истинной линии солидуса, не является правильным. И. Н. Фридляндер, исследуя формы роста кристаллов, пришел к выводу [4], что при больших скоростях охлаждения возможно образование пересыщенных из жидкого состояния твердых растворов, причем солидус будет сдвинут вправо (в сторону больших концентраций второго компонента).

Богатый материал для исследования возможности закалки из жидкого состояния дает система алюминий — марганец. Сплавы алюминий — марганец, кристаллизовавшиеся с большими скоростями охлаждения, обладают повышенным электросопротивлением и пониженным температурным коэффициентом электросопротивления, что может быть связано с образованием пересыщенного из жидкого состояния твердого раствора [5, 6].

Закалка этих сплавов в твердой фазе [5] от температуры, вплотную подходящей к точке солидуса, привела к существенному понижению электросопротивления и увеличению температурного коэффициента электросопротивления, причем чем выше температура закалки, тем меньше электросопротивление и больше его коэффициент. Этот результат истолковывается в [5], так как подтверждение образования пересыщенного (из жидкого состояния) твердого раствора марганца в алюминии, превышающего максимальную равновесную растворимость, и последующего распада его при дальнейших операциях нагрева под закалку. Разница в электросопротивлении литого сплава и сплава, закаленного в твердой фазе, должна соответствовать эффекту закалки из жидкого состояния.

Для проверки этих предположений было проведено исследование параметра кристаллической решетки быстро кристаллизовавшихся сплавов системы алюминий — марганец после различных видов термической обработки. Результаты исследования приводятся ниже. Определение параметра проводилось В. А. Константиновым. Отливка сплавов производилась на медную сетку, охлаждаемую быстрым током воды (рис. 1). Перед разливкой расплав выдерживался в течение 40 мин. при  $760^\circ$ ; температура разливки составляла  $750\text{--}760^\circ$ . Сплавы готовились из чистейшего алюминия и лигатуры алюминий — марганец, содержавшей некоторое количество железа. Состав исследованных сплавов по данным химического анализа приведен в табл. 1.

Присутствие железа могло вызвать уменьшение предельной равновесной растворимости марганца в алюминии [5].

Съемка рентгенограмм производилась с нижней стороны слитков, прилегающей к сетке, т. е. там, где осуществлялось максимально быстрое

Таблица 1

Элементы в вес. %	
Mn	Fe
1,03	0,02
2,28	0,05
3,13	0,076
3,60	0,042
4,06	0,09
4,70	0,003
9,45	0,085

охлаждение. В отдельных случаях нижняя сторона слитков шлифовалась, чтобы устранить шероховатости, создаваемые сеткой; как правило, шлифовка не требовалась, так как отпечаток сетки существенно не сказывался на четкости линий на рентгенограммах. В случае шлифовки исследуемая поверхность образца подготавливалась на всех номерах бумаги и травилась в концентрированной соляной кислоте до выявления макроструктуры.

Слитки исследовались в следующих состояниях (см табл. 2):

1. Литом, со скоростью охлаждения расплава 60°/сек.

2. После закалки в воде от температуры 645°.

Выдержка при 645°—1 час.

3. После закалки в воде от температуры 650°.

Выдержка при 650°—1 час (температура плавления эвтектики 658°).

4. После отжига при температуре 460° в течение 5 суток с последующим охлаждением до 160° со скоростью 15°/час, далее с печью.

5. После закалки образцов, отожженных по режиму 4, закалка в воде от температуры 650°; выдержка 6 час.

В том случае, если выдержка в течение 1 часа при температуре закалки могла быть признана недостаточной, закалка была повторена после длительного отжига и выдержки при температуре закалки в течение 6 час.

Результаты измерения параметра решетки сплавов алюминий—марганец после различных видов термической обработки приведены в табл. 2 и на рис. 2.

Точки, соответствующие параметру решетки литых сплавов, содержащих до 3% марганца, лежат на одной прямой.

Таблица 2

Результаты измерения параметра кристаллической решетки сплавов системы Al—Mn в кХ. Точность измерения  $\pm 0,0004$  кХ

Режим термической обработки	Содержание Mn вес. %							
	0	1,03	2,28	3,13	3,60	4,06	4,70	9,45
Литье на медную сетку, охлаждаемое водой	4,0419	4,0390	4,0350	4,0330	4,0330	4,0330	4,0330	4,0330
Закалка с 645° в воде. Выдержка 1 час	—	4,0390	4,0380	4,0380	—	4,0380	—	4,0380
Закалка с 650° в воде. Выдержка 1 час	—	4,0390	4,0380	4,0380	—	4,0380	—	4,0380
Отжиг при 460° в течение 5 суток, охлаждение со скоростью 15°/час до 160°, далее с печью	—	4,0395	4,0395	4,0395	—	4,0395	—	4,0395
Закалка отожженных по режиму 4 образцов при 650° в воде. Выдержка при 650° 6 час.	—	4,0390	4,0380	4,0380	—	4,0380	—	4,0380

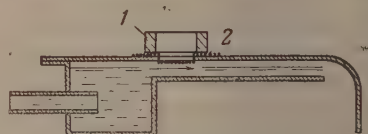


Рис. 1 Схема отливки сплавов на медную сетку, охлаждаемую быстрым током воды. 1 — палочка; 2 — медная сетка

При дальнейшем увеличении концентрации марганца в сплаве до 9% параметр решетки не меняется. Необходимо отметить, что результаты замеров параметра решетки сплавов, содержащих до 3% марганца, близко совпадают с данными Фалькенхагена и Гофмана [2] и расходятся с ними при дальнейшем увеличении содержания марганца до 9%, очевидно, за счет большей скорости охлаждения, осуществленной в опытах Фалькенхагена и Гофмана.

Для сплавов, закаленных в твердой фазе, по всем трем вариантам и для всех составов сохраняется один и тот же параметр, равный 4,0380 кХ, что примерно соответствует 1,4% марганца в твердом растворе.

При концентрации марганца, равной 1%, нет различия в параметрах решетки литого и закаленного сплава.

При большем содержании марганца совершенно отчетливо устанавливается разница в параметре решетки. Полученные результаты согласуются путем замера электрических свойств сплавов алюминий — марганец в пределах содержания 1—3% марганца [5].

При испытании электрических свойств также не обнаруживается различия между литым и закаленным состоянием до 1% марганца, т. е. в пределах растворимости, даваемых диаграммой состояния, при дальнейшем увеличении содержания марганца в сплаве кривые электрических свойств, соответствующих литому и закаленному состоянию, не совпадают.

Параметр решетки отожженных сплавов несколько увеличен (до 4,0395 кХ), что примерно соответствует 0,8% марганца в растворе.

### ВЫВОДЫ

Измерение параметра кристаллической решетки сплавов алюминий — марганец в различных состояниях термической обработки подтвердило, что эти сплавы, быстроохлажденные из жидкого состояния, могут содержать в твердом растворе большие количества марганца, чем это указывается диаграммой состояния. При последующей закалке в твердой фазе эффект закалки из жидкого состояния снижается, пересыщенный из жидкого состояния твердый раствор распадается и принимает концентрацию, соответствующую диаграмме состояния.

Поступила  
9. VII. 1955

### ЛИТЕРАТУРА

1. А. А. Бочвар, Исследование механизма и кинетики кристаллизации сплавов эвтектического типа, ОНТИ, 1955.
2. G. Falkenhagen u. W. Hofmann, Zs. f. Metallknd., 43, 69, 1952.
3. Д. А. Петров, Журн. физ. химии, 21, 12, 1947.
4. И. Н. Фридляндер, Исследование форм роста кристаллов в зависимости от скорости охлаждения, Оборонгиз, 1948.
5. И. Н. Фридляндер, Н. С. Суворова, Исследование влияния повышенной скорости охлаждения в процессе кристаллизации на электрические свойства сплавов Al—Mn, 1948, Библиотека Московского авиационного технологического института.
6. И. Л. Рогельберг, Е. С. Шпичинский и В. В. Чутко, Сб. «Металловедение цветных металлов и сплавов, вып. 12, М., 1950.

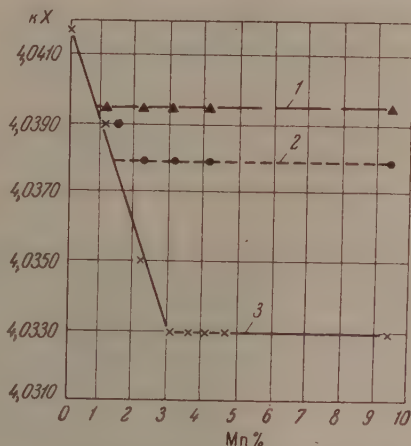


Рис. 2. Изменение параметров решетки быстрокристаллизовавшихся сплавов Al—Mn после различных видов термической обработки. 1 — отожженное состояние; 2 — закалка в воде от 650°; 3 — литое состояние



## СОРБЦИЯ БИНАРНЫХ РАСТВОРОВ ВУЛКАНИЗАТАМИ НАТУРАЛЬНОГО И СИНТЕТИЧЕСКОГО КАУЧУКА

### 1. ИЗОТЕРМЫ ЭФФЕКТИВНОЙ СОРБЦИИ

*Г. Л. Старобинец*

Распространение термодинамической теории набухания на системы типа: каучук — нерастворитель или каучук — полярный растворитель, сопряжено со значительными трудностями. Во-первых, расчеты энтропии таких систем сильно усложняются, так как узлы квазикристаллической решетки раствора занимают в данном случае не только одиночные молекулы жидкости, но и молекулярные группы. Во-вторых, энергетическое слагаемое свободной энергии играет в таких системах гораздо большую роль, чем в системах каучук — неполярный растворитель.

Еще более сложной задачей является термодинамический расчет систем высокополимер — бинарная смесь, с которыми очень часто приходится иметь дело на практике. В настоящее время еще неизвестны соотношения, описывающие термодинамические функции любой бинарной системы в зависимости от состава. До тех пор пока эта задача не будет решена, невозможен строгий термодинамический расчет тройных систем полимер — жидкость 1 — жидкость 2. Главным образом поэтому оказались мало удачными попытки распространить термодинамическую теорию набухания каучука в одной жидкости на бинарные смеси [1]\*.

Однако, по крайней мере, при изучении набухания сетчатых высокополимеров возможен другой подход к проблеме. Количество и состав поглощенного полимером раствора могут быть предсказаны при помощи теории адсорбции из бинарного раствора. При таком подходе тройная система полимер — жидкость 1 — жидкость 2 рассматривается как бинарная система, находящаяся в силовом поле адсорбента. Попытки применения теории адсорбции при изучении набухания каучукоподобных высокополимеров в однокомпонентных системах описаны в литературе [3]. Данные о набухании в двухкомпонентных системах не интерпретировались до сих пор под таким углом зрения. В настоящей статье изложены результаты изучения эффективной сорбции бинарных растворов различной природы вулканизатами НК и СК.

Поскольку избирательная сорбция проявляется сильнее всего в некоторых бинарных системах типа растворитель — нерастворитель, особое внимание было уделено изучению систем такого рода. Из бездипольных растворителей каучука были взяты бензол, циклогексан, четыреххлористый углерод и п-дихлорбензол; из растворителей с небольшим дипольным моментом — толуол и из полярных растворителей были изучены хлороформ, иодистый этил и бромистый пропилен. В качестве нерастворителей были взяты спирты (метилловый, этиловый, н-пропиловый, н-бутиловый, изобутиловый, изоамиловый, бензиловый), кислоты (уксусная, изовалериановая, бензойная, салициловая), ацетон, метилэтилкетон, этилацетат, фенол, нитробензол, гексан, диоксан. Из систем растворитель 1 — раство-

\* Замечание С. М. Липатова [2] о том, что в области термодинамического изучения растворов высокополимеров экспериментальная работа значительно отстает от теоретической, в особенности справедливо применительно к системам высокополимер — бинарный раствор.

ель 2 были изучены следующие: бензол — циклогексан, бензол — бромистый пропилен, бензол — иодистый этил и бензол — хлорбензол. Была также изучена одна система типа нерастворитель 1 — нерастворитель 2, именно: система гексан — диоксан.

В настоящей статье автор ставит перед собой задачу выяснить зависимость между видом изотерм эффективной сорбции растворителя и термодинамическими свойствами бинарных растворов.

### ТЕОРЕТИЧЕСКИЕ СООБРАЖЕНИЯ

Рассмотрим равновесие между полимером и бинарным раствором.

Из условия равенства химических потенциалов компонента в обеих фазах, находящихся в равновесии, следует

$$\frac{a_1^n}{a_1} = \exp \left\{ \frac{(\mu_1)_0 - (\mu_1^n)_0}{RT} \right\}, \quad (1)$$

— термодинамическая активность,  $(\mu_1)_0$  — химический потенциал в стандартном состоянии, индекс  $n$  обозначает фазу полимера.

Аналогично для второго компонента

$$\frac{a_2^n}{a_2} = \exp \left\{ \frac{(\mu_2)_0 - (\mu_2^n)_0}{RT} \right\}. \quad (2)$$

Выражения  $[(\mu_1)_0 - (\mu_1^n)_0]$  и  $[(\mu_2)_0 - (\mu_2^n)_0]$  называют сорбционными потенциалами компонентов 1 и 2\*.

Значения сорбционных потенциалов могут быть рассчитаны из экспериментальных данных о распределении компонентов бинарного раствора между обеими фазами в разбавленных растворах. В самом деле, для стандартных состояний имеем

$$\left( \frac{a_1^n}{a_1} \right)_{N_1 \rightarrow 0} = \left( \frac{N_1^n}{N_1} \right)_{N_1 \rightarrow 0} = K_1, \quad (3)$$

$$\left( \frac{a_2^n}{a_2} \right)_{N_2 \rightarrow 0} = \left( \frac{N_2^n}{N_2} \right)_{N_2 \rightarrow 0} = K_2. \quad (4)$$

В этих равенствах  $N_1$  и  $N_2$  — мольные доли,  $K_1$  и  $K_2$  — значения коэффициентов распределения компонентов между полимером и раствором. Отсюда очевидна целесообразность изучения кривой равновесия\*\* между полимером и бинарным раствором в области разбавленных растворов. Это тем более важно, что знаки и величины сорбционных потенциалов обоих компонентов позволяют предсказать форму изотермы эффективной сорбции. Так как величину сорбции принято относить к одному грамму сорбента, уравнение для расчета эффективной сорбции первого компонента принимает вид [5, 6]:

$$a_1^{\text{эфф}} = (n_1 + n_2)(N_1^n - N_1), \quad (5)$$

где  $a_1^{\text{эфф}}$  — величина эффективной сорбции первого компонента в  $g$ -молях на грамм сорбента,  $n_1$  и  $n_2$  — числа молей первого и второго компонентов соответственно, сорбированных одним граммом сорбента.

Из соотношений (1), (2) следует, что если значения сорбционных потенциалов обоих компонентов положительны или отрицательны, изотермы эффективной сорбции S-образны и зеркально симметричны друг другу. Если значения сорбционных потенциалов обоих компонентов имеют про-

\* Четкое разграничение понятий работа адсорбции и адсорбционный потенциал компонента дано в работах А. В. Киселева [4].

\*\* Т. е. кривой: мольная доля компонента в полимере — мольная доля этого же компонента в равновесном растворе.

тивоположные знаки, изотерма сорбции изображается колоколообразной кривой, расположенной полностью или выше, или ниже оси абсцисс.

Таким образом можно предвидеть существование четырех типов изотерм эффективной сорбции. В работах, посвященных изучению сорбции бинарных растворов на пористых сорбентах [7—11], встречаются по-все предсказанные термодинамически типы изотерм.

В настоящей работе будет показано, что величина эффективной сорбции растворителя из системы растворитель — нерастворитель тесно связана со знаком и величиной отклонения бинарных систем от законов идеальных растворов. В качестве меры отклонения от этих законов выбраны в согласии со Скоттхардом [12, 13] величина избыточной свободной энергии образования 1 г-моля раствора. В бинарных системах, составленных из одного и того же растворителя и членов гомологического ряда нерастворителей (например, спиртов и т. д.), избыточная свободная энергия убывает в том же направлении, в котором убывает величина  $(\mu_1)_0$  уравнения (1). В то же время величина  $(\mu_1^n)_0$  уравнения (1) мало меняется при переходе от одного нерастворителя к другому (при одном и том же растворителе). Таким образом в ряду бинарных систем растворитель — члены гомологического ряда нерастворителей значения сорбционного потенциала растворителя и избыточной свободной энергии образования 1 г-моля раствора меняются симбатно [14].

Должна наблюдаться существенная разница между величинами изотерм сорбции из бинарных систем с положительными и из систем с отрицательными отклонениями от идеального поведения. Поскольку из систем с положительными отклонениями наиболее вероятна сорбция компонента, содержащегося в растворе в меньшей концентрации (в противном случае избыточная свободная энергия раствора возрастет), коэффициент распределения этого компонента может достигать величин, значительно превышающих единицу. Кривая равновесия между полимером и раствором станет при этом резко асимметричной, а величина избирательной сорбции — большой.

Из систем с отрицательными отклонениями наиболее вероятна преимущественная сорбция полимером компонента, присутствующего в растворе в избытке. Теоретически возможный диапазон изменения коэффициента распределения компонента, присутствующего в растворе в меньшем количестве, лежит в данном случае между нулем и единицей, а в действительности этот диапазон гораздо уже. Следовательно, величина избирательной сорбции из таких систем должна быть меньше, чем из бинарных систем с положительными отклонениями от идеального поведения.

### МЕТОДИКА ЭКСПЕРИМЕНТА

Опыты, описанные, в настоящей статье, проведены со следующими вулканизатами:

1. Вулканизат натурального каучука состава: НК — 100 вес. ч., стеарин 1 вес. ч., каптакс — 1,5 вес. ч., окись цинка — 5 вес. ч. и сера — 2 вес. ч. Вулканизация производилась при температуре 132°C в течение 50 мин.

2. Вулканизат натрийбутидиенового каучука состава: СК (пластичность 35) — 100 вес. ч., каптакс — 0,25 вес. ч., ДФГ — 2 вес. ч., линолевые белила — 2 вес. ч., стеарин — 1 вес. ч., канифоль — 0,5 вес. ч., сажа ламповая — 120 вес. ч., сера — 2 вес. ч., машинное масло — 23 в. ч., олеиновая кислота — 0,5 вес. ч. Вулканизация производилась при температуре 140°C в течение 15 мин.

Методика экстрагирования образцов, изготовленных из этих вулканизатов, а также методики изучения сорбции и интерферометрического анализа состава сорбатов описаны в предыдущих сообщениях [15, 16]. В системах бензол — нитробензол, бензол — фенол и бензол — хлорбензол, диоксан — бензойная кислота и диоксан — салициловая кислота анализ равновесного раствора производился при помощи рефрактометра Пульфриха. В системах бензол — пропилбромид и бензол — этилиодид компоненты которых сильно различаются значениями удельных весов, был применен пикнометрический метод анализа состава равновесных растворов. Вещества тщательно очищались. Методика очистки большинства применявшихся веществ описана в опубликованных сообщениях [17, 18].



В настоящей работе сорбция вулканизатами изучалась в большинстве случаев в фазе насыщенных паров, находящихся в равновесии с бинарным раствором. Сопоставление результатов изучения сорбции из смесей насыщенных паров и из бинарных растворов в ряде бинарных систем убедило в том, что изотермы эффективной сорбции в обоих случаях совпадают. В то же время изучение сорбции из парообразной фазы имеет ряд экспериментальных преимуществ, одним из которых является возможность более точного определения количества и состава поглощенного примером раствора.

Для нахождения равновесных значений сорбции данные кинетических опытов обрабатывались при помощи широко распространенного метода Скотта и Мага [19]. Основе этого метода лежат те же формальные идеи, на которых основывается математический анализ кривой диффузии.

Равновесные значения сорбции достигаются независимо от пути проведения процесса. Например, равновесные значения сорбции смесей паров бензола и н-бутилового

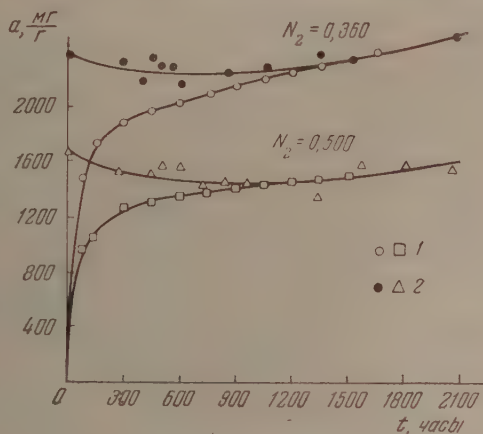


Рис. 1. 1 — сорбция насыщенного пара; 2 — сорбция раствора

спирта вулканизатом НК фиксировались двумя независимыми путями:

1. Сорбция протекала в фазе насыщенного пара.
2. Образцы набухали трое суток в жидкой фазе, а затем переносились в парообразную фазу. Для растворов, у которых молярные доли спирта были 0,360 и 0,500, результаты опытов изображены на рис. 1.

Точки, соответствующие нулевому времени, показывают, какие количества жидкости поглощаются за трое суток (в расчете на грамм каучука). При перенесении из жидкости в фазу пара образцы сперва медленно отбывают, а затем кривые для обоих путей сливаются\*.

Рассчитанные нами изотермы эффективной сорбции растворителя из бинарных смесей изображены на рис. 2—9.

В тех случаях, когда изучалась сорбция из смеси двух растворителей (например, система бензол — пропилбромид) или из смеси двух нерастворителей (например, система гексан — диоксан), изотерма изображает сорбцию компонента менее полярного или обладающего меньшей величиной свободной энергии кохезии.

## ОБСУЖДЕНИЕ ЭКСПЕРИМЕНТАЛЬНЫХ ДАННЫХ

Рассмотрение рис. 2—9 подтверждает соображения, изложенные в теоретическом введении. Чем больше положительное значение избыточной свободной энергии образования бинарного раствора, тем больше величина обратимого поглощения растворителя из данной системы. В системах

\* Каждой точке рис. 1 соответствует отдельно поставленный эксперимент. Набухание образцов, перенесенных из жидкости в парообразную фазу, связано с переносом микрокапелек жидкости различных радиусов кривизны. Набор размеров микрокапелек, естественно, колеблется в довольно широких пределах при переходе от одного образца к другому. В этом заключается причина разброса точек на кривой пути 2. Напротив, кривая сорбции пара проходит, как это видно из рис. 1, совершенно гладко. Опыты, результаты которых изображены на рис. 1, выполнены совместно с Х. М. Александровичем.



растворитель — гомологический ряд нерастворителей (например, спирт максимальное значение избыточной свободной энергии образования 1 г-ля раствора убывает с увеличением молекулярного веса нерастворителя. Величина максимальной эффективной сорбции растворителя убывает

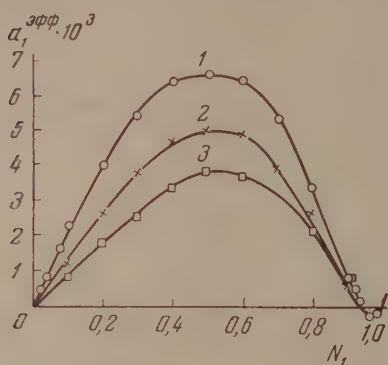


Рис. 2. 1 — бензол — метиловый спирт; 2 — бензол — этиловый спирт; 3 — бензол — н-бутиловый спирт. Сорбент — вулканизат НК при 20°С

преимущественно сорбируется в небольшой степени хлорированный растворитель (сорбция бензола отрицательна).

Значения коэффициентов распределения и сорбционных потенциалов при температуре 20 °С

Бинарная система	$K_1$	$K_2$	$\frac{\psi_1}{\text{г-моль}}$	$\frac{\psi_2}{\text{г-моль}}$
------------------	-------	-------	--------------------------------	--------------------------------

Сорбент — вулканизат натурального каучука

Бензол — метиловый спирт	12,5	1,25	1471	130
Бензол — этиловый спирт	10,50	1,15	1369	81
Бензол — н-пропиловый спирт	9,00	1,11	1279	61
Бензол — н-бутиловый спирт	7,30	1,00	1157	0
Бензол — ацетон	1,65	0,90	292	-61
Бензол — этилацетат	1,20	1,55	255	106
Бензол — диоксан	1,00	1,00	0	0
Толуол — метиловый спирт	12,50	0,90	1457	-61
Толуол — этиловый спирт	9,00	0,83	1270	-108
Толуол — н-бутиловый спирт	6,00	0,84	1043	-101
Толуол — н-пропиловый спирт	8,50	0,87	1246	-61
Толуол — диоксан	1,43	0,95	208	-30
Четыреххлористый углерод — метиловый спирт	14,00	1,20	1537	106
Четыреххлористый углерод — этиловый спирт	13,00	1,00	1493	0
Четыреххлористый углерод — ацетон	4,00	0,77	804	-152
Гексан — диоксан	1,40	1,25	196	130
Хлороформ — ацетон	0,55	0,95	-348	-30

Сорбент — вулканизат синтетического каучука

Бензол — метиловый спирт	17,50	1,15	1667	81
Бензол — этиловый спирт	14,30	1,00	1549	0
Бензол — н-бутиловый спирт	8,70	0,90	1260	-61

в этом же направлении, как это наглядно видно из рассмотрения изотер сорбции, изображенных на рис. 8, 9.

Рис. 7, на котором изображена изотерма эффективной сорбции системы хлороформ — ацетон вулканизатом НК, иллюстрирует влияние отрицательных отклонений от закона Рауля на сорбционный процесс. В противоположность, например, системе бензол — ацетон, из разбавленных растворов хлороформа в ацетоне сорбируется избирательно не хлороформ, в котором каучук набухает несравненно сильнее, чем в бензоле, а ацетон.

Из смеси двух растворителей — бензол — хлорированный растворитель, как это видно на рис.

Асимметричность S-образных кривых эффективной сорбции легко объясняется при рассмотрении величин сорбционных потенциалов, приведенных в таблице и рассчитанных при помощи уравнений:

$$\psi_1 = RT \ln K_1, \quad (6)$$

$$\psi_2 = RT \ln K_2, \quad (7)$$

где  $K_1$  и  $K_2$  — коэффициенты распределения компонентов.

Из таблицы видно, что для большинства систем растворитель — нерастворитель величины сорбционных потенциалов нерастворителя значи-

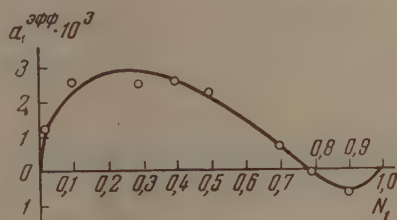


Рис. 3. Система бензол — уксусная кислота. Сорбент — вулканизат НК при 20°С

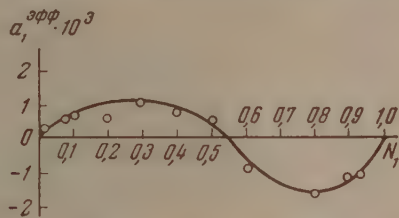


Рис. 4. Система бензол — этилацетат. Сорбент — вулканизат НК при 20°С

тельно меньше величины сорбционных потенциалов растворителя. Выигрыш энергии при сорбции растворителя носит преимущественно энтропийный характер, в то время как при сорбции нерастворителя имеет место более или менее прочная фиксация его молекул на сорбционных центрах полимера. По мере того как прочность фиксации молекул нерастворителя уменьшается или благодаря экранированию дипольного момента (см. систему бензол — этилацетат), или димерной ассоциации (бензол — жирные кислоты), значения сорбционных потенциалов обоих компонентов перестают сильно различаться и S-образная кривая эффективной сорбции становится более симметричной (рис. 3, 4).

Сравнение изотерм эффективной сорбции бензола из систем бензол — спирты при температурах 20 и 50° (рис. 10) показывает, что эффективная

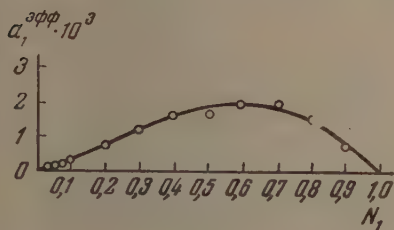


Рис. 5. Система бензол — ацетон при 20°С. Сорбент — вулканизат НК

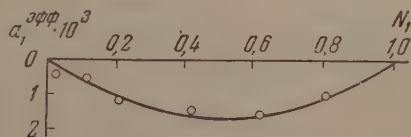


Рис. 6. Система бензол — пропилбромид. Сорбент — вулканизат НК

сорбция бензола практически не меняется с температурой. Это объясняется тем, что уменьшение избирательного поглощения бензола с повышением температуры компенсируется возрастанием общего числа поглощенных молекул, вследствие чего произведение этих величин почти не меняется с температурой.

Из таблицы видно, что сорбционные потенциалы растворителя имеют несколько большие значения для вулканизата СК' по сравнению с вулканизатом НК. Для сорбционных потенциалов нерастворителя наблюдаются обратные отношения. Таким образом избирательный характер сорбции растворителя выражен несколько сильнее у вулканизата СК. Это объяс-

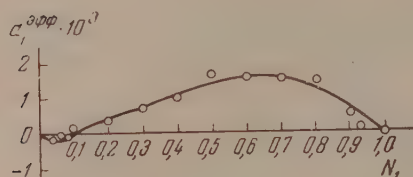


Рис. 7

Рис. 7. Система хлороформ — ацетон. Сорбент — вулканизат НК при 20° С

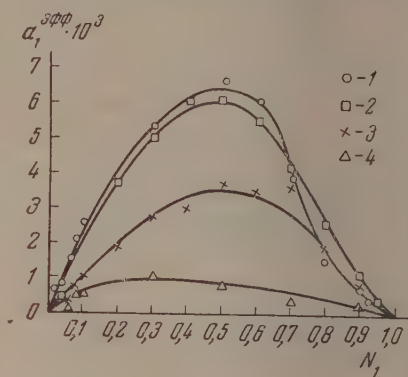


Рис. 8

Рис. 8. 1 — толуол — метиловый спирт; 2 — толуол — этиловый спирт; 3 — толуол — н-бутиловый спирт; 4 — толуол — диоксан. Сорбент — вулканизат НК при 20° С

няется, вероятно, тем, что двойные связи структуры 1—2 являются более слабыми сорбционными центрами молекул нерастворителя, чем двойные связи структуры 1—4. Такое допущение подтверждается тем, что находящиеся в боковых цепях двойные связи структуры 1—2 менее активны к окислителям, чем двойные связи структуры 1—4 [20, 21].

На рис. 11, 12 изображены изотермы эффективной сорбции систем:

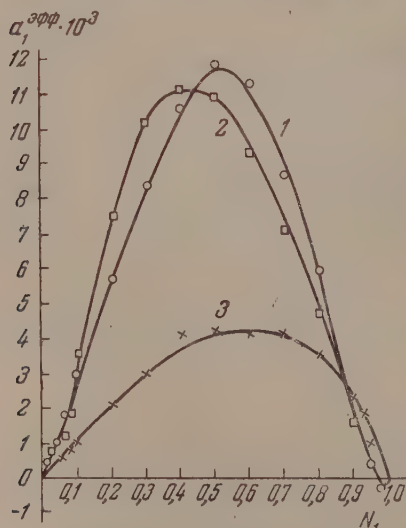


Рис. 9. 1 —  $\text{CCl}_4$  — метиловый спирт; 2 —  $\text{CCl}_4$  — этиловый спирт; 3 —  $\text{CCl}_4$  — ацетон. Сорбент — вулканизат НК при 20° С

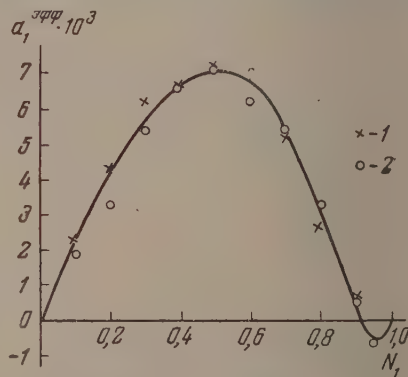


Рис. 10. Система бензол — метиловый спирт; 1 — при 20°С; 2 — при 50°С. Сорбент — вулканизат НК. Сорбция из раствора

бензол — этиловый спирт и бензол — ацетон вулканизатом НК и активированным углем. На этих же рисунках изображены кривые равновесия между обоими сорбентами и растворами\*.

Из рисунков видно, что S-образные изотермы эффективной сорбции растворителей более или менее симметричные для угля, превращаются

\* Изотермы эффективной сорбции и кривые равновесия для угля рассчитаны при помощи экспериментальных данных работы [22].

при переходе к вулканизату НК в крайне асимметричные S-образные кривые. В системе бензол — ацетон отрицательная ветвь S-образной изотермы полностью исчезает. Далее обращает на себя внимание тот факт, что максимумы на изотермах вулканизата НК лежат гораздо выше, чем на изотермах активированного угля. Так, величина сорбции бензола из системы

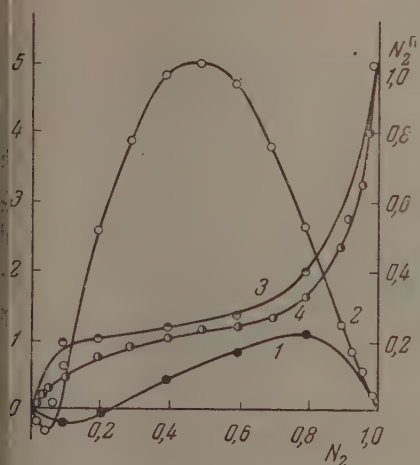


Рис. 11. Бензол — этиловый спирт. 1 — эффективная сорбция бензола углем; 2 — эффективная сорбция бензола вулканизатом НК; 3 —  $N_2^N$  —  $N_2$ ; 4 —  $N_2^N$  —  $N_2$

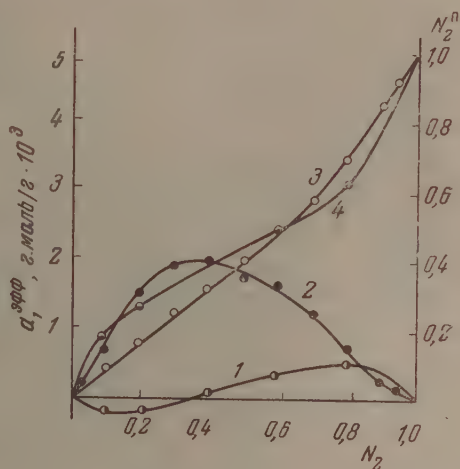


Рис. 12. Бензол — ацетон. 1 — эффективная сорбция бензола углем; 2 — эффективная сорбция бензола вулканизатом НК; 3 —  $N_2^N$  —  $N_2$ ; 4 —  $N_2^N$  —  $N_2$

бензол — ацетон составляет  $1,1 \cdot 10^{-3}$  г-моль для угля и  $5 \cdot 10^{-3}$  г-моль для вулканизата НК. Максимальное значение сорбции четыреххлористого углерода из систем четыреххлористый углерод — метиловый спирт углем и вулканизатом равны  $1,5 \cdot 10^{-3}$  г-моль/г и  $12 \cdot 10^{-3}$  г-моль/г соответственно. Сорбционные потенциалы четыреххлористого углерода и метилового спирта при сорбции углем равны, согласно Элтону [23], 1,0 и 1,1 ккал соответственно. При сорбции вулканизатом НК сорбционные потенциалы этих же веществ равны согласно нашим расчетам 1,54 и 0,11 ккал (см. таблицу). Таким образом сорбция четыреххлористого углерода каучуком энергетически несравненно выгоднее, чем сорбция метилового спирта. Аналогичные отношения имеют место и в других системах типа растворитель — растворитель. Выигрыш энергии при сорбции таких систем углем обусловлен, главным образом, дисперсионным взаимодействием [24], величина которого не столь различна для обоих компонентов раствора. Поэтому S-образная изотерма эффективной сорбции углем более симметрична, чем изотерма аффективной сорбции каучуком, и максимальные значения сорбции обоих компонентов не столь сильно различаются.

Из сказанного следует, что многие бинарные смеси, в особенности смеси типа растворитель — нерастворитель каучука, обладающие положительной избыточной свободной энергией, могут быть разделены при помощи каучука и его вулканизатов гораздо эффективнее, чем при помощи активированного угля. Отмеченные особенности каучука как сорбента следует, нам кажется, иметь в виду при использовании каучука и его вулканизатов в хроматографии.

Нами изучены сорбционные свойства вулканизатов НК и СК, содержащих переменные количества серы [14] и сажи. При этом оказалось, что кривая равновесия между полимером и бинарным раствором не зависит



ни от степени вулканизации, ни от степени наполнения каучука. Таким образом фактор интенсивности сорбционного процесса определяется только природой каучука. С изменением состава и степени сетчатости вулканизата меняется лишь фактор емкости сорбционного процесса.

## ВЫВОДЫ

1. Изучена сорбция бинарных растворов экстрагированными вулканизатами натурального и натрийбутадиенового каучука во всем диапазоне изменения составов бинарных систем: бензол — низшие спирты, бензол — низшие кислоты, бензол — полярные дериваты бензола, толуол — низшие спирты, четыреххлористый углерод — низшие спирты, п-дихлорбензол — низшие спирты, бензол — ацетон, бензол — этилацетат, хлороформ — ацетон, хлороформ — метилэтилкетон, бензол — иодистый этилбензол — пропилбромид, гексан — диоксан. Во всех перечисленных системах изучено распределение низкомолекулярных компонентов между полимером и бинарным раствором. При помощи этих данных определены коэффициенты распределения компонентов между обеими фазами и рассчитаны значения сорбционных потенциалов компонентов. Для всех систем построены изотермы эффективной сорбции растворителя.

2. Имеется тесная связь между величиной эффективной сорбции растворителя из систем типа растворитель — нерастворитель и природой бинарного раствора. Эффективная сорбция растворителя тем больше, чем больше положительная величина избыточной свободной энергии образования бинарного раствора. Из систем, характеризующихся отрицательными значениями избыточной свободной энергии, растворитель сорбируется избирательно в гораздо меньшей степени, чем из систем с положительными отклонениями от законов идеальных растворов. При сорбции бинарных растворов каучуком реализуются все четыре типа изотерм эффективной сорбции, существование которых может быть предсказано на основании термодинамических соображений.

3. Сопоставлены изотермы эффективной сорбции одних и тех же бинарных систем типа растворитель — нерастворитель вулканизатами каучука и активированным углем. Максимальная величина эффективной сорбции растворителя гораздо больше у каучука, чем у угля. Избирательный характер сорбции также выражен сильнее у каучука: отрицательная величина  $S$ -образной изотермы сорбции бинарного раствора углем почти полностью исчезает при сорбции того же раствора вулканизатами каучука. Отсюда следует, что многие бинарные жидкие системы, а также смеси насыщенных паров, могут быть разделены при помощи каучука и его вулканизатов гораздо эффективнее, чем при помощи активированного угля. Этот вывод может иметь практическое значение, тем более что эффективная сорбция каучуком мало меняется с температурой и процесс десорбции протекает у каучука гораздо легче, чем у угля.

4. Установлено, что вид кривой равновесия между полимером и бинарным раствором не зависит ни от степени вулканизации каучука, ни от содержания в нем активных наполнителей. Отсюда следует, что фактор интенсивности сорбционного процесса определяется только природой каучука и не зависит от состава вулканизата.

5. Из анализа экспериментального материала следует, что сорбция растворителя представляет собой, главным образом, неупорядоченное смешение его молекул и отрезков цепей полимера. При сорбции нерастворителя имеет место более или менее прочная фиксация его молекул на сорбционных центрах полимера.

## ЛИТЕРАТУРА

1. G. Gee, *Trans. Farad. Soc.*, **40**, 463, 468, 1944.
  2. С. М. Липатов, *Высокомолекулярные соединения*, вып. 11; 25, 1951.
  3. M. Dole, *Ann. N. Y. Acad. Sci.*, **51**, 705, 1949.
  4. А. В. Киселев, *Усп. химии*, **15**, 456, 1946; *Журн. физ. химии*, **20**, 239, 1946.
  5. F. Bartella, C. Sloan, *Journ. Amer. Chem. Soc.*, **51**, 1637, 1929.
  6. А. А. Жуховицкий, *Журн. физ. химии*, **12**, 11, 1938.
  7. H. Rowley, R. Olney a. W. Innes, *Journ. Amer. Chem. Soc.*, **72**, 5180, 1950.
  8. W. Innes a. H. Rowley, *Journ. Phys. Chem.*, **49**, 411, 1945.
  9. W. Innes a. H. Rowley, *Journ. Phys. a. Coll. Chem.*, **51**, 1154, 1172, 1947.
  10. Г. Ф. Лесохина, К. Л. Гольберти А. А. Жуховицкий, *Журн. физ. химии*, **22**, 363, 968, 1948.
  11. Г. Ф. Лесохина, О. М. Подуровская и К. А. Гольберт, *Журн. физ. химии*, **22**, 961, 1948.
  12. G. Scatchard a. C. Raymond., *Journ. Amer. Chem. Soc.*, **60**, 1278, 1938.
  13. G. Scatchard, S. Wood a. J. Mochel, *Journ. Amer. Chem. Soc.*, **68**.
  14. Г. Л. Старобинец, Диссертация, Белорусский государственный ун-т им. В. И. Ленина, Минск, 1955.
  15. Г. Л. Старобинец и В. С. Комаров, *ДАН*, **86**, 771, 1952; *Колл. журн.* **15**, 60, 1953.
  16. Г. Л. Старобинец и Х. М. Александрович, *Колл. журн.*, **16**, 287, 1954.
  17. Г. Л. Старобинец и К. С. Старобинец, *Журн. физ. химии*, **25**, 753, 759, 1951.
  18. Г. Л. Старобинец, К. С. Старобинец и Л. А. Рыжикова, *Журн. физ. химии*, **25**, 1186, 1951.
  19. R. Scott a. M. Magat, *Journ. Polymer Sci.*, **4**, 555, 1949.
  20. Б. А. Догадкин, Труды 1-й и 2-й конференции по высокомолекулярным соединениям, Изд-во АН СССР, М., 1945, стр. 40.
  21. А. С. Кузминский и И. Н. Лешнев, *ДАН*, **70**, 1021, 1950.
  22. F. Tryborn a. W. Whyatt *Trans. Farad. Soc.*, **21**, 399, 1925; **22**, 134, 1926.
  23. E. Elton, *Journ. Chem. Soc.*, 2458, 1951; 1955, 1952.
  24. М. М. Дубинин, *Усп. химии*, **21**, 513, 1952.
-

## КИНЕТИЧЕСКОЕ ОПРЕДЕЛЕНИЕ ЭНЕРГИЙ СВЯЗИ КАК ПОДХОД К ТЕОРИИ ПОДБОРА КАТАЛИЗАТОРОВ

### II. СРАВНЕНИЕ РЕЗУЛЬТАТОВ ДЛЯ ОКИСИ ХРОМА

*И. А. Баландин и А. А. Толстомятова*

В предыдущем сообщении [1] был рассмотрен предложенный одним из авторов кинетический метод определения энергии связи реагирующих атомов с катализатором, основанный на мультишлетной теории. Этим методом были экспериментально определены энергии связи  $Q$  атомов H, C и O с хромом в окиси хрома,  $Q_{\text{HCr}}$ ,  $Q_{\text{CCr}}$  и  $Q_{\text{OCr}}$ . Окись хрома осаждалась содой из раствора нитрата при 60°.

Для определения энергий связи с хромом оказалось возможным воспользоваться также данными нескольких кинетических работ, выполненных в нашей лаборатории, сочетая их с описанными в [1] результатами. Эти работы касались катализа разных веществ на окиси хрома, приготовленной разными способами. Таким образом удалось получить данные о влиянии способа приготовления катализатора и строения молекул на  $Q_{\text{HCr}}$ ,  $Q_{\text{CCr}}$  и  $Q_{\text{OCr}}$ . Найдено, что такое влияние может быть значительным.

### ФАКТИЧЕСКИЙ МАТЕРИАЛ

Ниже кроме [1] использованы результаты следующих работ.

В работе одного из авторов и А. И. Кукиной [2] описан катализатор  $\text{Cr}_2\text{O}_3$  № 7, приготовленный тем же способом, как и в работе [1]. Для него была определена энергия активации реакций дегидрогенизации и дегидратации изопропилового спирта  $\epsilon_{2,\text{H}_2} = 10,5$  и  $\epsilon_{3,\text{H}_2\text{O}} = 14,8$  ккал/моль, что близко к результатам настоящей работы. Таким образом воспроизводится катализатор. Путем сочетания данных работы [2] с результатами, полученными в [1] для метилциклогексана на окиси хрома, были рассчитаны энергии связи и адсорбционные потенциалы.

В работе авторов и К. А. Дулицкой [3] определены энергии связи C, H и O с поверхностью окиси хрома, полученной из нитрата хрома осаждением аммиаком, и с поверхностью окиси хрома, нанесенной на асбест, полученной из нитрата хрома, осажденного содой.

В работе авторов и П. Тетени [4] были определены энергии связи для окиси хрома на асбест, полученной прокаливанием бихромата аммония.

В работах одного из авторов и Г. В. Исагульянца [5, 6] были определены истинные энергии активации реакций дегидрогенизации циклогексана, метилциклогексана, 1,3-диметилциклогексана, тетралина и  $\beta$ -метилтетралина на окиси хрома на асбесте, полученной из бихромата аммония восстановлением последнего в растворе и осаждением аммиаком. Поскольку  $\epsilon_1$  для дегидрогенизации метилциклогексана в работе [1] оказалась близкой к таковой в работах с Г. В. Исагульянцем [5, 6], то было сочтено возможным из данных по изопропиловому спирту работы [1] и данных для шестичленных углеводов из работ [5, 6] рассчитать энергии связи последних с окисью хрома.

Результаты, полученные с использованием указанных работ, собраны в табл. 1.



Таблица 1



Энергии активации  $\epsilon$ , энергии связи атомов реагирующих молекул с катализатором  $Q_{AK}$ , адсорбционные потенциалы  $q$  и потенциальные барьеры  $E$  в *ккал/моль* на окиси хрома различного способа приготовления

Катализаторы	Дегидрогенизация углеводородов $\epsilon_1$	Дегидрогенизация спиртов и кислот $\epsilon_2$	Дегидратация спирта $\epsilon_3$	$Q_{HK}$	$Q_{CK}$	$Q_{OK}$	$q_1$	$q_2$	$q_3$	$-E_1$	$-E_2$	$-E_3$
$Cr_2O_3$ , приготовленный из нитрата хрома осаждением содой [1]	$C_6H_{12}$ 34,5	изо- $C_3H_7OH$ 40,5	Среднее изо- $C_3H_7OH$ 14,8	54,7	11,0	71,8						
$Cr_2O_3$ , приготовленный из нитрата хрома осаждением содой				53,4	14,1	66,2	135,0	187,1	143,8	46,0	14,0	19,7
Катализатор № 7 [2]	$C_6H_{12}$ 38,0	изо- $C_3H_7OH$ 40,5	изо- $C_3H_7OH$ 14,8	52,2	12,9	69,6	130,2	186,9	147,6	50,6	14,0	19,7
	$C_6H_{12}$ 38,6	40,5	14,8	52,1	12,6	70,2	129,4	187,0	147,5	51,5	14,0	19,7
$Cr_2O_3$ , приготовленный из нитрата хрома осаждением аммиаком*	$C_6H_{12}$ 22,0	изо- $C_3H_7OH$ 42,35	изо- $C_3H_7OH$ 13,95	55,8	20,0	52,9	152	184	149	29,3	16,5	18,6
	$C_6H_{12}$ 22,0	13,2	15,2	56,1	19,8	51,5	152	183	147	29,3	17,6	20,3
	$C_6H_{12}$ 22,0	9,8	15,3	58,4	17,5	53,7	152	188	147	29,3	13,1	20,4
	$C_6H_{12}$ 22,0		Среднее изо- $C_3H_7OH$ 15,3	56,7	19,1	52,7						
	$C_6H_{12}$ 22,0	НСООН 32,0	изо- $C_3H_7OH$ 15,3	43,6	32,2	39,0	152	158	147	29,3	42,6	20,4



Таблица 1 (продолжение)

Катализаторы	Дегидрогенизация углеводородов $\varepsilon_1$	Дегидрогенизация спиртов и кислот $\varepsilon_2$	Десатурация спирта $\varepsilon_3$	$Q_{HK}$	$Q_{CK}$	$Q_{OK}$	$q_1$	$q_2$	$q_3$	$-E_1$	$-E_2$	$-E_3$
$Cr_2O_3$ , на асбесте из нитрата хрома, осаж- денного содой*	$CH_3C_6H_{11}$ 26, 26	17, 10	изо- $C_3H_7OH$ 28, 6	60, 7	11, 9	44, 9	145	178	129	35, 8	22, 8	38, 1
	$CH_3C_6H_{11}$ 26, 96	35, 0	$HCOOH$   изо- $C_3H_7OH$ 28, 6	48, 8	23, 8	33, 2	145	155	129, 6	35, 9	46, 0	38, 1
	$C_6H_{12}$ 25, 9	9, 8	изо- $C_3H_7OH$ 15, 3	56, 9	16, 3	57, 9	146, 5	188, 0	147, 4	34, 5	13, 0	20, 0
	$CH_3C_6H_{11}$ 23, 7	9, 8	изо- $C_3H_7OH$ 15, 3	57, 8	17, 0	55, 7	149, 6	188, 3	147, 5	31, 6	13, 0	20, 0
$Cr_2O_3$ на асбесте из би- хромата аммония, вос- становленного метило- вым спиртом в присутст- вии $H_2SO_4$ , осажде- нного аммиаком [3] и $Cr_2O_3$ из нитрата хрома, осаж- денного аммиаком*	$CH_3$ $CH_3$ $C_6H_{10}(1,3)$		изо- $C_3H_7OH$									
	22, 2	9, 8	15, 3	52, 2	17, 6	54, 0	151, 4	188, 0	147	29, 6	13, 0	20, 0
			изо- $C_3H_7OH$									
	29, 7	9, 8	15, 3	55, 8	15, 0	61, 5	144, 6	188, 1	147, 3	39, 6	13, 0	20, 0
	(9)		изо- $C_3H_7OH$									
	30, 4	9, 8	15, 3	55, 4	14, 8	62, 1	140, 4	188	147	40, 6	13, 0	20, 0

Катализаторы	Дегидрогенизация углеводородов $\epsilon_1$	Дегидрогенизация углеводородов $\epsilon_2$	Дегидратация спирта $\epsilon_3$	$Q_{HK}$	$Q_{CK}$	$Q_{OK}$	$q_1$	$q_2$	$q_3$	$-E_1$	$-E_2$	$-E_3$
Cr <sub>2</sub> O <sub>3</sub> на асбесте из бихромата аммония, восстановленного метиловым спиртом в присутствии H <sub>2</sub> SO <sub>4</sub> , осажден. аммиаком [3]*** и Cr <sub>2</sub> O <sub>3</sub> на асбесте из нитрата хрома, осажденного содой**	C <sub>6</sub> H <sub>12</sub> 28,5	17,1	изо-C <sub>3</sub> H <sub>7</sub> OH 28,6	60,2	11,3	46,6	143	178	129	34,5	22,8	38,1
	CH <sub>3</sub> C <sub>6</sub> H <sub>11</sub> 26,6	17,1	изо-C <sub>3</sub> H <sub>7</sub> OH 28,6	60,9	11,9	44,6	145	178	129	34,5	22,8	38,1
	$\begin{array}{c} \text{CH}_3 \\ \diagup \\ \text{C}_6\text{H}_{10} \text{ (1,3)} \\ \diagdown \\ \text{CH}_3 \end{array}$	17,1	28,6	61,4	12,5	42,8	148	177	129	33,0	22,8	38,1
	24,8											
Cr <sub>2</sub> O <sub>3</sub> на асбесте**, полученного и [3] прокаливанием бихромата аммония***		17,1	28,6	58,4	9,5	51,8	136	178	45,0	22,8		38,1
	33,7											
		17,1	28,6	57,8	8,9	53,8	133	178	129	47,6	22,8	38,1
	35,7											
	CH <sub>3</sub> C <sub>6</sub> H <sub>11</sub> 27,1	26,9	изо-C <sub>3</sub> H <sub>7</sub> OH 33,9	57,7	14,8	35,1	145	165	122	36,1	35,9	45,2

\* Из работы с К. А. Дулицкой [3].

\*\*\* Из работы с П. Тетени [4].

\*\*\*\* Истинная энергия активации.

## ОБСУЖДЕНИЕ РЕЗУЛЬТАТОВ

При рассмотрении табл. 1 снова подтверждается одинаковая ориентация молекул реагирующих углеводов относительно поверхности, значения  $E_1$  на этом катализаторе для циклогексана (34,5) и метилциклгексана (38,0 и 38,6) близки между собой (табл. 1) (как и в работах [5,6]). Различия в  $E$  для изопропилового и *n*-бутилового спирта (табл. 8 в [1]), имеющие место на окиси хрома, в отличие от окиси алюминия [7], следует объяснить осложнениями реакции с бутиловым спиртом; указанными в [1], возможно также образование из бутилгексидов бутадиена (ср. [8]), который полимеризуется и с повышением температуры отравляет катализатор. Далее подтверждается, что способ приготовления катализатора влияет на  $\epsilon$  (см. табл. 1).

Что касается энергий связи, то полученные значения  $Q_{\text{HCr}}$ ,  $Q_{\text{CCr}}$ ,  $Q_{\text{OCr}}$  во всех случаях имеют вероятный порядок величины. Не получается никаких несообразностей, вроде отрицательных, слишком больших или, наоборот, близких к нулю величин.

Значения  $Q_{\text{HCr}}$ ,  $Q_{\text{CCr}}$  и  $Q_{\text{OCr}}$  на катализаторе одного и того же способа приготовления держатся достаточно постоянными для разных реакций в соответствии с тем, что требует теория. Это видно из табл. 8 в [1] (кроме строк для бутилового спирта, см. в [1]) и из каждого раздела табл. 1.

Очень существенно, что в среднем значения  $Q_{\text{HCr}}$ ,  $Q_{\text{CCr}}$  и  $Q_{\text{OCr}}$ , в частности, и средние значения из табл. 8 в [1], равные  $Q_{\text{HCr}} = 54,7$ ;  $Q_{\text{CCr}} = 11,0$ ;  $Q_{\text{OCr}} = 71,8$ , оказываются близкими к значениям энергии связи для никеля  $Q_{\text{HNi}} = 55$ ;  $Q_{\text{CNi}} = 19$ ;  $Q_{\text{ONi}} = 48,5$ , определенными совсем другими способами\*.

Все эти результаты служат доказательством правильности примененного метода нахождения энергий связи, основанного на мультиплетной теории.

В табл. 1 можно проследить влияние химического строения упомянутых в ней соединений на энергии связей. Введение в качестве заместителей одной или двух метильных групп в циклогексановое кольцо практически не сказывается на энергиях связи. Энергии связи для тетралина и метилтетралина тоже близки между собой, но отличны от энергий связи для углеводов циклогексанового ряда. Особенно велики отступления для муравьиной кислоты. Все эти различия совершенно закономерны, потому что при расчете величин  $Q_{\text{AB}}$  и т. д. принимается аддитивность связей, тогда как для бензольного кольца (в тетралине) и для карбоксильной группы в муравьиной кислоте следует учитывать еще энергию стабилизации, неполностью компенсирующуюся в  $Q_{\text{AB}}$  и в  $Q_{\text{A}}$  входящих в уравнение (3) в [1].

Не менее интересно проследить влияние генезиса катализаторов на энергию их связей с реагирующими молекулами. Табл. 1 с совершенной ясностью доказывает существование такого влияния. Так окись хрома, осажденная содой, имеет средние  $Q_{\text{HCr}} = 54,7$ ;  $Q_{\text{CCr}} = 11,0$ ;  $Q_{\text{OCr}} = 71,8$ , а осажденная аммиаком  $Q_{\text{HCr}} = 56,7$ ;  $Q_{\text{CCr}} = 19,1$ ;  $Q_{\text{OCr}} = 52,7$ . Вообще из табл. 1 можно видеть, что  $Q_{\text{HCr}}$  остаются довольно постоянными (от

\* Следует заметить, что эти энергии связи с никелем отличаются от прежних [9,10], так как они пересчитаны [11] по новым данным об энергиях связи из монографий Коттрелла [12].

Точно так же отличаются приведенные здесь энергии  $Q_{\text{ACr}}$  от прежних [11,13]. Как показывает уравнение (9) в [1], если в него подставить значения  $Q_{\text{AB}}$  из [13] для перехода от старых [13] энергий связей к новым нужно от прежних  $Q_{\text{HCr}}$  отнять 1,5, к прежним  $Q_{\text{CCr}}$  прибавить 5,0 и к прежним  $Q_{\text{OCr}}$  прибавить 2,1 ккал. Различия между старыми и новыми данными невелики и не влияют на выводы. Найденные здесь и в [1] значения  $Q_{\text{CNi}}$  по своему смыслу соответствуют  $Q_{\text{=CNi}}$  в [11], где С — атом углерода, связанный двойной связью.

1,4 до 52,1, не считая опытов с  $\text{HCOOH}$ ), а  $Q_{\text{OCr}}$  и  $Q_{\text{OCr}}$  заметно меняются зависимости от генезиса. Так  $Q_{\text{OCr}}$  меняется иногда почти вдвое, однако виду малости этой величины ее колебания могут происходить отчасти из-за неточностей опыта. Всего сильнее меняется  $Q_{\text{OCr}}$  — от 72 до 35 ккал (табл. 1).

В отличие от  $Q_{\text{HCr}}$  и  $Q_{\text{OCr}}$ , кинетически определенное  $Q_{\text{OCr}}$  меньше термохимического значения  $Q_{\text{OCr}} \approx 79$ , вычисленного из стандартных теплот образования  $\text{Cr}_2\text{O}_3 = 269,7$  и  $\text{Cr}(\text{OH})_3 = 247,1$  [14], и энергии диссоциации  $\text{O}_2 = 118,3$ .

Для сравнения можно указать на термохимические значения  $Q_{\text{OFe}} = 62$  и  $Q_{\text{OCo}} = 47$  [15]. Вероятно, понижение кинетического значения  $Q_{\text{OCr}}$  обусловлено взаимным отталкиванием атомов кислорода в окиси хрома и в адсорбируемой молекуле. Накопление атомов кислорода около атома Cr снижает энергию связи  $\text{Cr}—\text{O}$ , как показывают термохимические данные ( $Q_{\text{OCr}} = 79$  в  $\text{Cr}_2\text{O}_3$ ,  $Q_{\text{OCr}} = 53$  в  $\text{CrO}_3$ ), что отчасти связано с подобным эффектом. Таким образом катализаторы, полученные прокаливанием  $(\text{NH}_4)_2\text{Cr}_2\text{O}_7$ , имеют активные центры, располагаясь на которых атомы кислорода в молекуле спирта притягиваются слабее, т. е. дают менее устойчивые конфигурации ( $Q_{\text{OCr}} = 35$ ), чем в случае катализаторов, осажденных содой ( $Q_{\text{OCr}} = 71$ ). Осаждение

Таблица 2

Влияние способа приготовления окиси хрома на энергию связи с катализатором  $\text{O}—\text{Cr}$

№ катализатора	$-E_3(\text{H}_2\text{O})$	$Q_{\text{O}—\text{Cr}}$
1	14,2	76,6
9	17,1	73,7
4	20,3	70,5
2	25,1	65,7
3	28,0	62,8
7	39,5	51,3
6	43,5	47,0

окиси хрома на асбесте тоже снижает энергию связи  $\text{O}—\text{Cr}$ :  $Q_{\text{OCr}} = 71,8$  при осаждении содой без носителя и  $Q_{\text{OCr}} = 44,9$  при осаждении содой на асбесте. Если уменьшение  $Q_{\text{OCr}}$  зависит от взаимодействия с атомами кислорода в  $\text{Cr}_2\text{O}_3$ , то, поскольку сила взаимодействия уменьшается с расстоянием, в окиси хрома на асбесте атомы кислорода должны быть расположены ближе к активному центру, чем в катализаторе без носителя.

Поскольку  $Q_{\text{HCr}}$  и  $Q_{\text{OCr}}$  остаются довольно постоянными, то можно взять одно из характерных для них значений и рассчитать  $Q_{\text{OCr}}$  для катализаторов различного способа приготовления из экспериментальных значений  $E_3$  по формуле

$$Q_{\text{OK}} = E_3 + Q_{\text{CH}} + Q_{\text{CO}} - Q_{\text{HK}} - 2Q_{\text{CK}} = E_3 + 90,9, \quad (1)$$

вытекающей из уравнений (8) в [1]. Здесь значения  $Q_{\text{CH}}$  и  $Q_{\text{CO}}$  взяты из [12], а  $Q_{\text{HK}}$  и  $Q_{\text{CK}}$  для окиси хрома из [1] (табл. 1). Величины  $E_3$  (полученные из  $e_3$ ) можно взять из работы с А. И. Кукиной [2] по катализу изопропилового спирта. При подстановке последних в уравнение (1) получаются данные табл. 2, показывающие систематическое изменение  $Q_{\text{OCr}}$  в зависимости от способа приготовления окиси хрома. Из табл. 2 в то же время видно, что вычисленные значения  $Q_{\text{OCr}}$  лежат в пределах значений табл. 1.

В основе настоящей работы лежат следующие положения, которые должны быть специально рассмотрены, что и делается ниже.

Необходимо, чтобы исследованные реакции имели один и тот же механизм той стадии, которая определяет скорость реакции.

1. Шестичленные углеводородные циклы в данном случае дегидрируются по атомному дублетному механизму. Окись хрома известна как классический катализатор такого рода, причем кольцо молекулы располагается ребром к поверхности катализатора [16—18].

Дегидрогенизация спиртов тоже имеет атомный дублетный характер, ее механизм. [19].



Дегидратация спиртов на окиси хрома представляет собой атомную, а не ионную реакцию. В том, что реакция атомная, убеждает сравнение кинетических закономерностей для изотопного обмена галоидалкилов с радиоактивным бромом или йодом [20], с одной стороны, и закономерностей для дегидратации спиртов над  $Al_2O_3$  [21], с другой стороны. С накоплением замещающих метильных групп у ионных реакций типа:



падает константа скорости  $k$  и растет энергия активации  $\epsilon$ , а у атомных реакций типа



наоборот, растет  $k$  и падает  $\epsilon$ . При дегидратации спиртов  $k$  и  $\epsilon$  меняются именно в последнем направлении, что и доказывает атомный механизм этой реакции (табл. 3). На кислотных катализаторах ( $H_2SO_4$ ,  $H_3PO_4$ , алюмосиликаты) дегидратация спиртов имеет ионный характер.

2. Дегидратация спиртов в олефиновый углеводород на окиси хрома, вероятно, идет через промежуточный поверхностный алкогольат, подобно тому, как это происходит на окиси алюминия [22]; однако это обстоятельство не мешает применимости уравнения (3) и [1]. Действительно, при образовании поверхностного алкогольата теплота процесса  $u = 0$ , так как разрываются связи  $O-H$  и  $Cr-O$  и образуются такие же связи по дублетной схеме:

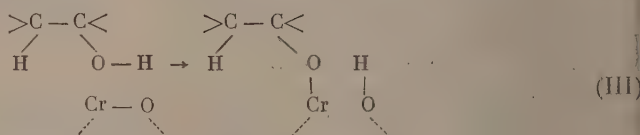


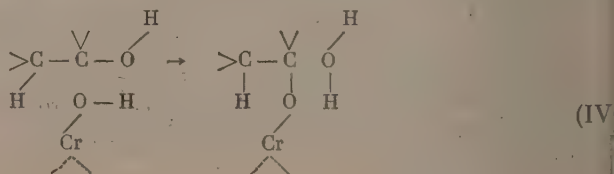
Таблица 3

Сравнение атомных и ионных механизмов реакций

Реагирующее вещество	Атомный обмен % час. <sup>-1</sup>		Ионный обмен		Литература
	$k$	$\epsilon$	$k$	$\epsilon$	
$CH_3J$	0,03		1200	15,4	[20]
$CH_3CH_2J$	0,05		65	19,0	
$(CH_3)_2CHJ$	1,4		10	20,0	
	$k_{350^\circ}$	$\epsilon$			
$CH_3CH_2OH$	28,4	20,2			[21]
$CH_3CH_2CH_2OH$	55,4	18,3			
$(CH_3)_2CHCH_2OH$	52,7	16,4			

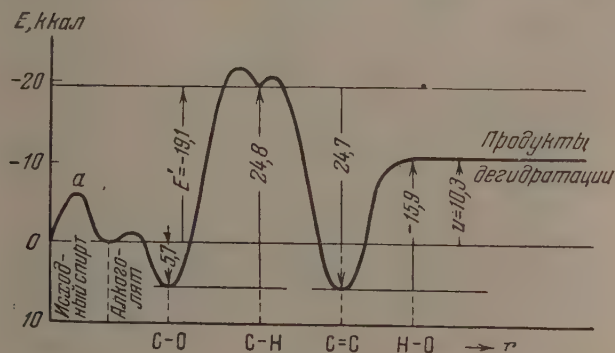
Оставшиеся три атома  $H-C-C$  затем притягиваются к атомам хрома образуя (неполные) металлоорганические и гидридные связи, причем происходит дублетная реакция по схеме (III), к которой и применимо уравнение (3) в [1].

Как всегда, при образовании эфиров имеется другая возможность образования алкогольата по другой дублетной схеме, тоже без изменения характера связей внутри индекса после реакции:



Отличить эту вторую возможность можно было бы при помощи меченых атомов [23], но она ничего не изменяет в приведенных далее рассуждениях.

На профиле кривой потенциальной энергии каталитической дегидратации (см. рисунок) образование алкоголята изобразится небольшим максимумом *a* (собственная энергия активации образования алкоголята), после чего кривая возвращается к оси абсцисс; второй относительный минимум соответствует разрыву связи C—O, а третий на гребне максимума — разрыву C—H. Следующие стадии уже роли не играют,



так как они экзотермические. Энергия каждой стадии  $E_n - E_m$  на рисунке, естественно, откладывается от соответствующего уровня  $E_m$ . Согласно теории абсолютных скоростей реакций, энергии активации соответствует расстояние наивысшей точки кривой от оси абсцисс. Поскольку высота максимума *a* меньше следующих за ним максимумов, энергия активации образования алкоголята не играет роли в общей скорости процесса.

3. Предположено, что сравниваемые реакции, протекают на одних и тех же активных центрах. Однако, если различия в активности таких центров не очень велики, то эти различия мало скажутся на энергиях связи, что вытекает из формы уравнения (9) в [1].

4. Принято [15], что в уравнении (5) в [1]  $\gamma = 3/4$ :

$$\epsilon = -3/4 E.$$

Если бы происходил полный разрыв связей, то, очевидно, было бы  $\gamma = 1$ . При деформации связей, а не при полном их разрыве, должно быть  $\gamma < 1$ .

В последнее время Н. Н. Семенов [24] из рассмотрения фактического материала для взаимодействия молекул с атомами пришел к близкому уравнению для эндотермических реакций

$$\epsilon = 11,5 - 3/4 E \quad (2)$$

(в наших обозначениях). Уравнение (2) является аналогичным нашему уравнению (5) в [1] и имеет то же значение  $\gamma = 3/4$ , отличаясь только постоянным слагаемым, равным 11,5. Если в наши уравнения (9) в [1] подставить  $E$  из уравнения (2) настоящей работы, а не из уравнения (5) работы [1], то каждая энергия связи  $Q_{нк}$ ,  $Q_{ск}$  и  $Q_{ок}$  уменьшится на  $11,5 + 3 = 3,8$  ккал по сравнению с данными табл. 1, т. е. очень не много.

Для расчета энергий связи благоприятно то, что последние не очень чувствительны к величине коэффициента  $\gamma$ . Так, расчет из  $\epsilon$  табл. 1 при  $\gamma = 1$  (а не  $\gamma = 3/4$ ) дает, что средние  $Q_{нсг} = 56,5$ ;  $Q_{сгг} = 15,4$ ;  $Q_{огг} = 65,8$  ккал при осаждении содой (табл. 4). Это не сильно от-

личается от средних значений из табл. 1; во всяком случае различие здесь меньше, чем различие в  $Q_{AK}$  при других способах приготовления, например  $Q_{Ocr} = 71,8$  при осаждении содой без носителя и  $Q_{Ocr} = 44,9$  при осаждении содой на асбесте.

Таблица 4

Энергия связи с катализатором  $Q_{AK}$  и адсорбционные потенциалы  $q$  на окиси хрома, полученной осаждением азотнокислого хрома содой, в  $\text{ккал/моль}$  при  $\gamma = 1$ ,  $\varepsilon = E$

Дегидрогенизация углеводородов, $\varepsilon_1$	Дегидрогенизация спирта $\varepsilon_2$	Дегидратация спирта $\varepsilon_3$	$Q_{HK}$	$Q_{CK}$	$Q_{OK}$	$q_1$	$q_2$	$q_3$
$C_3H_{12}$	изо- $C_3H_7OH$							
34,5	6,4	13,1	56,7	16,6	64,6	146,6	194,6	157,5
34,5	6,7	15,0	57,6	15,8	63,5	147,2	194,5	152,7
$CH_3C_6H_{11}$	изо- $C_3H_7OH$							
38,0	6,4	13,1	55,6	14,7	67,2	140,6	193,5	152,2
38,0	6,7	15,0	56,7	14,9	65,1	143,2	193,4	151,6
38,6	6,4	13,1	55,7	15,5	67,7	142,4	194,6	154,4
38,6	6,7	15,0	56,6	14,7	66,6	142,4	194,3	152,5
Среднее . . .			56,5	15,4	65,8			

Из настоящего исследования видно, что не прав В. А. Ройтер [25], когда он без всяких к тому оснований в своей статье утверждает, что «неточность в приближенном соотношении между  $\varepsilon$  и  $E$ , конечно, с избытком перекрывает всю величину искомого различия между катализаторами».

5. Взятые средние, а не индивидуальные энергии связей в молекулах. Это оправдано приближительной компенсацией влияния заместителей на  $Q_{AB}$  и  $Q_{AK}$  (см. выше). Однако сильные структурные влияния сказываются (см. выше влияние  $HSOON$  и бензольного кольца) и это — закономерно.

6. Реакцию тормозит стадия образования дублетного комплекса, т. е. реакция является первостадийной [15]. С этим согласуется то, что на рис. 2\* в [1] все высоты энергетических барьеров располагаются по одну, левую, сторону от соответствующих вершин вулканообразных кривых (в табл. 1  $q_1 < 165,9$ ;  $q_2 < 194,3$ ;  $q_3 < 162,3$ ). Если рассчитать  $Q$  из  $\varepsilon$  табл. 1 по формулам для  $E''$ , выведенным таким же образом, как выше были выведены формулы для  $E'$ , то получаются совершенно неподобные результаты.  $Q_{CK}$  оказывается больше, чем  $Q_{OK}$  (табл. 5). Следовательно, рассматриваемые реакции не второстадийные, а первостадийные.

7. Скорости изученных реакций лежат в кинетической, а не в диффузионной области. Это обстоятельство проверялось выборочно для аналогичных случаев, причем было показано, что величина зерна не влияет на скорость реакции [26].

8. Примененный приближенный метод определения энергий активации дает величины  $\varepsilon$ , близкие к истинным энергиям активации. Так, в работе с Г. В. Исагулянцем [5] для дегидрогенизации циклогексана, метилциклогексана, 1,3-диметилциклогексана, тетралина и метилтетралина на окиси хрома  $\varepsilon$  из  $m$  найдена равной, соответственно, 25,9; 23,7; 22,2; 29,7; 30,4  $\text{ккал/моль}$ , тогда как путем точных кинетических измерений истинная  $\varepsilon$  для того же процесса определена соответственно в 28,5; 26,6; 24,8; 33,7; 35,7  $\text{ккал/моль}$ .

В работе с Е. И. Карпейской [27] для реакции дегидрогенизации изопропилового спирта над окисью хрома, полученной прокаливанием бихро-

Таблица 5

Энергии связи  $Q_{AK}$  и адсорбционные потенциалы  $q$  по уравнениям десорбции

Дегидрогени- зация угле- водородов $\varepsilon_1$	Дегидрогени- зация спирта $\varepsilon_2$	Дегидра- тация спирта, $\varepsilon_3$	$Q_{HK}$	$Q_{CK}$	$Q_{OK}$	$-q_1$	$-q_2$	$-q_3$
$C_6H_{12}$	изо- $C_3H_7OH$							
34,5	6,4	13,1	63,4	39,6	37,3	206,0	203,7	179,9
34,5	6,7	15,0	62,4	40,6	38,8	206,0	204,2	182,4
$CH_3C_6H_{11}$	изо- $C_3H_7OH$							
38,0	6,4	13,1	64,6	40,8	33,8	211,0	203,7	179,9
38,0	6,7	15,0	53,5	42,1	35,3	211,0	204,2	182,4
38,6	6,4	13,1	64,8	41,1	33,3	211,5	204,2	180,4
38,6	6,7	15,0	53,7	42,1	35,3	211,5	205,2	184,4
Среднее . . .			60,4	41,0	35,6			

мата аммония,  $\varepsilon$  из  $m$  найдена равной 19,2, а истинная  $\varepsilon = 20,6$  ккал/моль. В том же процессе тот же катализатор после 40 час. работы дал 14,9 и 14,5 ккал/моль соответственно.

Из приведенного обсуждения видно, что дополнительные положения, лежащие в основе настоящего исследования, являются достаточно обоснованными; некоторые из них в дальнейшем подлежат уточнению.

Настоящее исследование показывает, что кинетический метод определения энергий связей с катализатором является перспективным. Накопление таких данных должно способствовать разработке теории подбора катализаторов.

### ВЫВОДЫ

Показано, что на определение кинетическим методом энергии связи атомов реагирующих молекул с активным центром катализатора окиси хрома оказывает влияние способ приготовления катализатора, носитель и строение молекул (табл. 1). Проведено рассмотрение предпосылок, лежащих в основе данного метода. Полученные результаты находятся в согласии с мультиплетной теорией катализа.

Академия наук СССР  
Институт органической химии  
им. Н. Д. Зелинского  
Московский государственный  
университет им. М. В. Ломоносова  
Москва

Поступила  
11. X. 1955

### ЛИТЕРАТУРА

1. А. А. Баландин, А. А. Толстопятова, Журн. физ. химии, **30**, 1367, 1956.
2. А. А. Баландин, А. И. Кукина, ДАН, **64**, 65, 1949.
3. А. А. Толстопятова, А. А. Баландин, К. А. Дулицкая, Изв. АН СССР ОХН, № 10, 1956.
4. П. Теренин, Дипломная работа, МГУ, 1954.
5. А. А. Баландин, Г. В. Исагулянц, ДАН, **63**, 139, 1948.
6. А. А. Баландин, Г. В. Исагулянц, ДАН, **63**, 261, 1948.
7. А. Х. Борк, А. А. Толстопятова, Журн. физ. химии, **12**, 246, 1938.
8. А. А. Баландин, О. К. Богданова, А. П. Щеглова, Изв. АН СССР, ОХН, **5**, 447, 1946.
9. А. А. Баландин, Журн. общ. химии, **12**, 337, 1942.
10. А. А. Баландин, Изв. АН СССР, ОХН, **4**, 624, 1955.
11. А. А. Баландин, ДАН, **107**, 85, 1956.
12. т. Коттрелл, Прочность химической связи, ИИЛ, М., 1956.

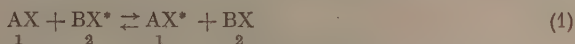


13. А. А. Баландин, А. А. Толстопятова, ДАН, **94**, 49, 1954.
  14. F. D. Rossini, D. D. Wagman, W. H. Evans, S. Levine, I. Jaffe, *Circ. Nat. Bur. Stand.*, **500**, 286, 287, Washington, 1952.
  15. А. А. Баландин, Журн. общ. химии, **16**, 793, 1946.
  16. А. А. Баландин, И. И. Брусов, Журн. общ. химии, **7**, 18, 1937.
  17. E. F. G. Herrington, E. K. Rideal, *Proc. Roy. Soc.*, **A190**, 289, 309, 1947.
  18. А. А. Баландин, Г. В. Исагулянц, ДАН, **64**, 207, 1949.
  19. А. А. Баландин, ДАН, **97**, 449, 1954.
  20. М. Б. Нейман, Б. А. Кузнецов, Ю. М. Шаповалов, ДАН, **92**, 611, 1953.
  21. А. Х. Борк, Журн. физ. химии, **14**, 1290, 1940.
  22. К. В. Топчиева, Вестн. МГУ, **8**, 107, 1954.
  23. А. А. Баландин, Усп. химии, **13**, 365, 1944.
  24. И. И. Семенов, О некоторых проблемах химической кинетики и реакционной способности, Изд-во АН СССР, М., 1954, стр. 31.
  25. В. А. Ройтер, Укр. хим. журн., **21**, 143, 1955.
  26. А. А. Баландин, А. А. Толстопятова, В. А. Ферапонтов, ДАН, **4**, 611, 1955.
  27. Е. И. Карпейская, Дипломная работа, МГУ, 1951.
-

# ОПРЕДЕЛЕНИЕ КОЭФФИЦИЕНТА РАСПРЕДЕЛЕНИЯ ДЕЙТЕРИЯ ПРИ ИЗОТОПНОМ ОБМЕНЕ ВОДОРОДА МЕЖДУ НАФТАЛИНОМ И БРОМИСТЫМ ДЕЙТЕРИЕМ

*Я. М. Варшавский, В. Р. Калиначенко, С. Э. Вайсберг  
и А. И. Шатеништейн*

Равновесное распределение данного изотопа при реакциях изотопного обмена



обычно характеризуют коэффициентом распределения  $\alpha$ :

$$\alpha = \frac{([X^*] / [X])_1}{([X^*] / [X])_2} \quad (2)$$

где  $[X^*]$  и  $[X]$  — концентрации обоих изотопов в каждом из компонентов (1) и (2) системы.

Значение  $\alpha$  для двух изотопов данного элемента зависит от химического строения реагирующих веществ и в основном определяется тем, с атомами каких элементов связаны вступающие в обмен атомы этих изотопов. Знание этой величины имеет существенное значение при исследовании скорости реакций изотопного обмена, а также при решении проблем, связанных с химическим разделением изотопов.

Известно, что при изотопном обмене водорода коэффициенты распределения могут весьма заметно отличаться от единицы, т. е. равновесное распределение дейтерия (а тем более трития) в соответствующих реакциях может существенно отклоняться от равновероятного.

В результате теоретического расчета коэффициентов распределения для разных пар водородсодержащих веществ и сопоставления расчетных данных удалось вскрыть общую закономерность, определяющую характер распределения дейтерия при равновесии реакций водородного обмена, и объяснить эту закономерность, исходя из свойств атомов, связанных с атомами водорода [1].

Настоящая работа посвящена экспериментальному определению коэффициента распределения дейтерия между ароматической связью C — H и связью H — Br. Методика получения бромистого дейтерия и проведения опытов по изотопному обмену водорода в среде жидкого бромистого дейтерия подробно описана ранее в работе [2]. Простейший ароматический углеводород — бензол в отсутствие катализатора слишком медленно вступает в реакцию водородного обмена с бромистым дейтерием [3,4]; поэтому для определения величины  $\alpha$  была выбрана система нафталин — бромистый водород.

Нафталин растворяли в жидком бромистом водороде, обогащенном дейтерием (который мы в дальнейшем будем условно называть бромистым дейтерием), раствор выдерживали в течение времени, необходимого для достижения равновесия при температуре опыта, отделяли нафталин, испаряя бромистый водород, и определяли содержание дейтерия в нафталине путем его сжигания и изотопного анализа полученной воды. О чистоте нафталина до и после опытов по обмену судили по температуре плавления (80,2°C). Для большей уверенности в достижении равновесия обменной реакции, кроме опытов по прямому обмену (реакция между нафталином, не содержащим дейтерия, и бромистым дейтерием), проводили также опыты по обратному обмену (реакция между дейтерированным нафталином и бромистым водородом), т. е. достигали равновесия с двух сторон.

Для вычисления  $\alpha$  из экспериментальных данных, пользовались формулой (2), которая может быть записана в следующем виде:

$$\alpha = \frac{c'_B (100 - c'_D)}{c'_D (100 - c'_B)}, \quad (3)$$

где  $c'_B$  и  $c'_D$  — равновесные концентрации дейтерия (ат. %) соответственно в нафталине и в бромистом водороде.

Величину  $c'_B$  находили изотопным анализом воды, полученной от сжигания нафталина в равновесных опытах. Величину  $c'_D$  в некоторых опытах определяли экспериментально, но для большинства опытов вычисляли из материального баланса по дейтерию. В пределах ошибок опыта экспериментальное и вычисленное значения  $c'_D$  совпадали. В случае прямого обмена выражение для  $c'_D$  имеет вид:

$$c'_{D(\text{пр})} = c^0_D \frac{M'_D}{M^0_D} - c'_B \frac{N p_B M'_D}{p_D M'_B}, \quad (4)$$

а в случае обратного обмена:

$$c'_{D(\text{обр})} = \left( \frac{c^0_B}{M^0_B} - \frac{c'_B}{M'_B} \right) \frac{N p_B M'_D}{p_D}, \quad (5)$$

где  $c^0_B$  и  $c^0_D$  — концентрации дейтерия (ат. %), соответственно в исходном нафталине и в исходном бромистом дейтерии.  $p_B$  и  $p_D$  — навески (граммы), нафталина и растворителя.  $M^0_B$  и  $M^0_D$  — молекулярные веса нафталина и бромистого водорода (с исходными концентрациями дейтерия).  $M'_B$  и  $M'_D$  — молекулярные веса нафталина и бромистого водорода (с равновесным содержанием дейтерия).  $N$  — число атомов водорода в молекуле нафталина (равное 8).

В случае низкой концентрации дейтерия в исходных веществах можно принять  $M'_D/M^0_D \approx 1$  и  $M'_B/M^0_B \approx 1$ .

В этих случаях расчет проводили по упрощенным формулам:

$$c'_{D(\text{пр})} = c^0_D - c'_B \frac{N p_B M^0_D}{p_D M^0_B}, \quad (4a)$$

$$c'_{D(\text{обр})} = (c^0_B - c'_B) \frac{N p_B M^0_D}{p_D M^0_B}. \quad (5a)$$

Вопрос о способах расчета при изучении реакций изотопного обмена водорода и, в частности, при определении коэффициента распределения, подробно рассмотрен в [4].

Результаты опытов по определению коэффициентов распределения дейтерия между нафталином и бромистым дейтерием при 0, 20, 25, 50 и 70° С приведены в табл. 1, из которой видно, что равновесное распределение дейтерия между ароматической С — Н связью и связью Н — Вг сильно отличается от равномерного и что коэффициент распределения заметно зависит от температуры.

Было показано [1], что величина  $\alpha$  может быть выражена в виде отношения двух величин, так называемых  $\beta$ -факторов, каждая из которых однозначно зависит от основных частот колебания в молекулах соответствующего компонента и не зависит от другого компонента:

$$\alpha = \frac{\beta_1}{\beta_2}. \quad (6)$$

Значения  $\beta$ -факторов для разных водородсодержащих веществ вычисляют по формуле

$$\beta = a e^{b/T}. \quad (7)$$

Величины  $a$  и  $b$  могут быть вычислены, исходя из основных частот колебания полностью дейтерированных молекул данного вещества и молекул, не содержащих дейтерия. Величина  $b$  не зависит от температуры, а температурной зависимостью величины  $a$  в не очень широких интервалах температуры практически можно пренебречь.

Подставляя в формулу (6) значения  $\beta$ -факторов для бензола и бромистого водорода с использованием значений констант  $a$  и  $b$ , вычисленных

Таблица 1

Условия обмена		Соотношение $\frac{P_B}{P_D}$	Концентрация дейтерия				$\alpha$	Среднее значение $\alpha$
Время, часы	$t, ^\circ\text{C}$		Изотопный анализ			Расчет		
			$c_B^0$	$c_D^0$	$c_B'$	$c_D'$		
26	0	0,0118	3,55	—	8,76	3,03	3,07	3,1 $t=0^\circ\text{C}$
26	0	0,0095	3,55	—	9,12	3,11	3,13	
26	0	0,0119	3,55	—	8,84	3,02	3,11	
25	0	0,0344	3,55	—	6,90	2,35	3,07	
25	0	0,0405	3,55	—	6,55	2,20	3,11	
25	0	0,0561	3,55	—	1,96	1,96	3,14	
46	~20	0,0053	—	5,46	0,39	0,13	2,90	3,0 $t\sim 20^\circ\text{C}$
46	~20	0,0126	—	6,55	1,05	0,35	3,01	
46	~20	0,0136	—	5,90	1,05	0,33	3,17	
46	~20	0,0115	—	5,73	0,86	0,28	3,04	
46	~20	0,0115	—	6,18	0,92	0,31	3,00	
114	~20	0,0108	—	6,89	1,05	0,32	3,30	
231	~20	0,0270	1,17	—	2,45	0,84	2,98	
234	~20	0,0140	1,76	—	4,28	1,51	2,91	
234	~20	0,0102	1,76	—	4,60	1,52	3,12	
234	~20	0,0130	1,76	—	4,42	1,47	3,10	
258	~20	0,0147	1,01	—	2,45	0,83	3,08	2,8 $t=25^\circ\text{C}$
258	~20	0,0215	1,01	—	2,30	0,76	3,07	
280	~20	0,0135	1,17	—	2,88	0,97	3,02	
327	~20	0,0261	1,17	—	2,49	0,84	3,01	
185	~20	0,0263	1,17	—	2,39	0,85	2,85	
25	25	0,0088	3,55	—	8,42	3,18	2,81	
25	25	0,0139	3,55	—	8,08	2,98	2,86	
25	25	0,0157	3,55	—	7,91	2,92	2,86	
25	25	0,0588	3,55	—	5,46	2,98	2,86	
25	25	0,0496	3,55	—	5,73	2,11	2,82	
95	50	0,0399	3,55	—	6,18	2,31	2,79	2,6 $t=50^\circ\text{C}$
95	50	0,119	3,85	—	3,84	1,54	2,55	
95	50	0,103	3,85	—	4,16	1,69	2,51	
95	50	0,124	0	3,12	1,98	2,01	2,80	
53	70	0,080	0	3,12	1,62	1,69	2,70	2,4 $t=70^\circ\text{C}$
72	70	0,122	—	4,70	2,88	1,12	2,55	
72	70	0,116	—	5,09	3,04	1,20	2,55	
53	70	0,123	5,36	—	5,09	2,20	2,36	
65	70	0,115	5,36	—	5,16	2,37	2,25	
72	70	0,176	5,36	—	4,04	1,78	2,32	
97	70	0,140	5,36	—	4,70	2,04	2,36	

[1], получаем уравнение температурной зависимости коэффициента распределения дейтерия в системе бензол — бромистый дейтерий:

$$\alpha = \frac{0,4128}{0,7192} e^{(984,7-517,3)/T} = 0,574e^{467,4/T}. \quad (8)$$

Пользуясь этим уравнением, мы вычислили значения  $\alpha$  для системы  $\text{C}_6\text{H}_6$  —  $\text{HBr}$  в интервале температур от  $+75$  до  $-70^\circ\text{C}$ . Результаты этих вычислений приведены в табл. 2. В этой же таблице, для сравнения приведены полученные нами экспериментальные данные для системы нафталин — бромистый дейтерий.



Таблица 2

Температура, °C	-75	-50	-40	-20	0	10	20	25	35	50	70
$\alpha_{C_6H_6-HBr}$ (рассчитано по уравнению (8))	6,05	4,66	4,26	3,64	3,18	2,99	2,82	2,73	2,60	2,38	2,19
$\alpha_{C_6H_6-HBr}$ (экспериментальные данные)	—	—	—	—	3,1	—	3,0	2,8	—	2,6	2,4

Для вычисления числа обменявшихся атомов водорода в молекулах ароматических соединений, при изучении изотопного обмена в среде жидкого бромистого дейтерия [14, 5], а также последующие статьи), мы использовали экспериментальные значения  $\alpha$ , полученные для системы нафталин — бромистый водород, а также значения  $\alpha$ , вычисленные в результате экстраполяции опытных данных при помощи уравнения (8) с учетом различия расчетных и опытных данных.

Нами была предпринята попытка определить коэффициент распределения дейтерия между ароматической  $C-H$  связью и связью  $H-Br$ , используя для этой цели систему бензол — бромистый водород. Однако, как указано выше, в отсутствие катализатора атомы водорода в молекулах  $C_6H_6$  слишком медленно вступают в обмен с атомами дейтерия молекул  $D_2Br$ . В качестве катализатора для обменной реакции был применен бромистый алюминий, который исключительно сильно ускоряет обмен. Оказалось, что его добавление приводит к установлению равновесия обмена даже при столь низкой температуре, как температура кипения тройной системы: бромистый дейтерий — бензол — бромистый алюминий в течение времени, необходимого для испарения бромистого дейтерия (5—7 мин.), в результате чего наблюдаются как бы завышенные значения  $\alpha$ .

В проведенных опытах \* как по прямому, так и по обратному обмену получались величины  $\alpha \approx 5$ , примерно соответствующие значению  $\alpha$  для этой системы, вычисленному по уравнению (8) для температуры, при которой проводили испарение растворителя. Эта специфическая особенность методики отделения исследуемого вещества от бромистого дейтерия приводит к тому, что в тех случаях, когда атомы водорода очень быстро обмениваются в среде жидкого бромистого дейтерия, например в некоторых полиметилбензолах, антрацене, анизоле, могут получаться завышенные значения коэффициента распределения в равновесных опытах или преувеличенные значения числа обменявшихся атомов в кинетических опытах.

Для того чтобы избежать ошибок при определении числа обменявшихся атомов, процесс отделения бромистого дейтерия в случае работы с такими веществами следует проводить при той же температуре, при которой выполняют опыт по обмену; если же необходимо определить число обменоспособных атомов водорода в молекуле, то надо использовать растворитель со столь высоким содержанием дейтерия (близким к 100%), при котором в формулу для вычисления числа обменявшихся атомов водорода не входит  $\alpha$ .

В случае нафталина скорость обмена при температуре отделения бромистого дейтерия была настолько мала, что указанный эффект не искажал экспериментального значения коэффициента распределения, что было подтверждено специальными опытами, выполненными при низкой температуре.

\* Эти опыты были проведены при участии П. П. Алиханова.

## ВЫВОДЫ

1. Определен коэффициент распределения  $\alpha$  дейтерия при изотопном обмене водорода между нафталином и бромистым дейтерием в интервале температур от 0 до 70° С.
2. Полученные значения  $\alpha$  (3,1 при 0°; 3,0 при 20°; 2,8 при 25°; 2,6 при 50° и 2,4 при 70°С) близки к вычисленным по уравнению (8).

Физико-химический институт  
им. Л. Я. Карпова  
Москва

Поступила  
4. XI. 1955

## ЛИТЕРАТУРА

1. Я. М. Варшавский, С. Э. Вайсберг, ДАН, 100, 97, 1955; Журн. физ. химии, 29, 523, 1955.
  2. В. Р. Калиначенко, Я. М. Варшавский, А. И. Шатенштейн, Журн. физ. химии, 30, 1140, 1956.
  3. А. И. Шатенштейн, Я. М. Варшавский, ДАН, 85, 157, 1952.
  4. В. Р. Калиначенко, Я. И. Варшавский, А. И. Шатенштейн, ДАН, 91, 577, 1953.
  5. Я. М. Варшавский, В. Р. Калиначенко, Журн. физ. химии, 30, 1376, 1956.
-

## ИССЛЕДОВАНИЕ ПОРИСТОЙ СТРУКТУРЫ ТВЕРДЫХ ТЕЛ СОРБЦИОННЫМИ МЕТОДАМИ

### 1. АНАЛИЗ РАЗЛИЧНЫХ МЕТОДОВ ВЫЧИСЛЕНИЯ РАСПРЕДЕЛЕНИЯ ОБЪЕМА ПОР

**М. М. Дубинин**

За последние десятилетия широкое распространение приобрели методы вычисления распределения объема и поверхности пор сорбентов на основании изотерм сорбции паров. Теоретической основой являлось рассмотрение сорбционного процесса как сочетания адсорбции и капиллярной конденсации. Непосредственную возможность для такого вычисления предоставлял процесс капиллярной конденсации. Учет адсорбции необходим для введения поправок, так как капиллярная конденсация происходит в свободном объеме пор, ограниченном адсорбционными слоями.

В наших исследованиях анализ пористой структуры сорбентов, исходя из представлений о капиллярной конденсации, получил развитие с 1932 г.; в 1935 г. был опубликован количественный метод учета адсорбции и капиллярной конденсации при сорбции различных паров на обезвоженных гелях [1]. Была показана возможность вычисления толщин адсорбционных пленок и удельной поверхности гелей. Позднее был опубликован метод вычисления распределения объема пор по размерам применительно к переходной пористости активных углей, в котором поправки на объемы и толщины адсорбционных слоев вводились на основании экспериментальной изотермы адсорбции пара на непористом углеродном адсорбенте с известной величиной поверхности [2]. Таким образом для всей области капиллярной конденсации толщины адсорбционных слоев принимались переменными величинами, изменяющимися в зависимости от относительного давления.

В американской научной литературе распространено мнение о том, что вычисление распределения объема пор на основе теории капиллярной конденсации с учетом адсорбции исходит из теории Уилера, относящейся к 1945 г. [3]. В развитие этих представлений появились работы Шулла в 1948 г. [4], Барретта в 1951 г. [5] и Фойгта в 1955 г. [6]. Параллельно аналогичные идеи в менее явной форме развивались в исследованиях Гарвея [7] и Кистлера [8] применительно к вычислению удельных поверхностей по данным капиллярной конденсации паров. Олтон учитывал адсорбцию и капиллярную конденсацию паров при вычислении распределения поверхности пор по размерам для алюмосиликатного катализатора [9].

Перечисленные исследования связаны с использованием для вычисления результатов сорбционных измерений преимущественно паров азота и ряда паров органических веществ. Методы вычислений, основанные на изотермах сорбции паров воды для активных углей, являются дискуссионными и их целесообразно впоследствии рассмотреть отдельно.

### ТЕОРЕТИЧЕСКИЕ ОСНОВЫ МЕТОДА ВЫЧИСЛЕНИЯ РАСПРЕДЕЛЕНИЯ ПОР

В общем случае мы имеем пористый сорбент, в котором представлены поры всевозможных размеров, начиная от наиболее мелких микропор, которые по порядку размеров сравнимы с молекулами, вплоть до наиболее крупных макропор, доступных для наблюдения при помощи оптического

микроскопа. Такой общий случай распределения объема пор встречается ряда активных углей, когда функция распределения имеет полимодальный характер [10]. Напротив, стеклообразные силикагели и некоторые полиосиликатные катализаторы имеют однороднопористую структуру.

В области малых относительных давлений происходит только десорбция пара. Эффект повышения адсорбционных потенциалов приводит к неравномерным толщинам адсорбционных слоев. Наиболее мелкие поры постепенно объемно заполняются оживленным паром в результате смыкания адсорбционных слоев. К началу капиллярной конденсации эта энергетическая неоднородность поверхности, специфическая для физической десорбции на адсорбентах, имеющих мелкие поры, практически устраняется, и толщины адсорбционных слоев для всей поверхности объемно незаполненных пор сорбента становятся постоянными.

В области капиллярной конденсации при повышении давления происходит последовательное заполнение сконденсированным паром все более крупных пор при одновременном возрастании толщины адсорбционных слоев на поверхности стенок еще незаполненных пор. При относительно малом давлении, равном единице, в принципе заполняются все поры, имеющие значение для капиллярной конденсации.

В процессе десорбции происходит последовательное опорожнение все более мелких пор с одновременным уменьшением толщины адсорбционных слоев на поверхности стенок ранее опорожненных пор. Поэтому каждому уменьшению давления в ступенчатом процессе десорбции отвечает испарение не только капиллярно-сконденсированного пара, но и десорбция некоторого количества пара в результате уменьшения толщины адсорбционной пленки в порах, которые были опорожнены на предыдущих этапах десорбции. С другой стороны, от капиллярно-сконденсированного вещества опорожняется не весь объем соответствующих пор, а только пространство между адсорбционными слоями.

Очевидно, что после испарения последних порций капиллярно-сконденсированного вещества при дальнейшем уменьшении давления будет происходить десорбция, обязанная только процессу физической десорбции. Начало такого процесса десорбции является естественной границей допустимого применения представлений, основанных на учете явления капиллярной конденсации.

Реализация этой схемы для вычисления распределения объема пор требует ряда допущений:

1. Свойства вещества в капиллярно-сконденсированном состоянии (поверхностное натяжение, молярный объем) принимаются теми же, что и для объемной фазы при температуре опыта.

2. Должны быть сделаны предположения о геометрической форме пор. Обычно поры адсорбентов принимаются цилиндрическими или коническими.

3. Допускается применимость уравнения Кельвина при естественном условии полного смачивания жидкостью полимолекулярных адсорбционных слоев.

4. Из-за невозможности в настоящее время простого учета подразумевается отсутствие переходной области от сферического мениска к адсорбционной пленке, в которой под действием адсорбционных сил стенок пор имеет место постепенное, а не скачкообразное изменение кривизны поверхности жидкости с соответствующим изменением толщины переходного слоя на стенках пор [11]. Это допущение, тесно связанное с третьим, исключает необходимость введения дополнительной поправки на толщину адсорбционного слоя и дополнительной энергии (в виде слагаемого) к свободной поверхностной энергии (поверхностному натяжению), зависящей от толщины адсорбционной пленки.

5. Предполагается, что в порах, имеющих значение для капиллярной конденсации, не происходит в ощутимой степени повышения адсорбцион-



ных потенциалов. Это допущение эквивалентно представлению об энергетической однородности для физической адсорбции поверхности тех пор сорбента, в которых происходит капиллярная конденсация. Следствием является вывод о постоянной толщине адсорбционного слоя во всех опорожненных порах сорбента.

Роль фактора формы пор будет обсуждена в дальнейшем. Допущение о простейшей форме пор, например цилиндрической или монотонно конической, по существу, дает возможность найти функцию распределения объема пор для принятой модели сорбента. В таком случае реальный сорбент со сложной пористой структурой и эквивалентный модельный сорбент, например, с цилиндрическими порами, по условию задачи будут характеризоваться одной и той же изотермой капиллярной конденсации, начиная с относительного давления, отвечающего началу процесса капиллярной конденсации. Таким образом результаты вычисления распределения объема пор имеют условный характер, и речь может идти об эффективных размерах пор и об эффективной пористой структуре. Очевидно, что по мере приближения принятой для эквивалентного модельного сорбента формы пор к действительной, отвечающей реальному сорбенту, вычисленная функция распределения пор для модельного сорбента будет все более и более приближаться к соответствующей реальному сорбенту.

#### РАЗВИТИЕ В НАШИХ ИССЛЕДОВАНИЯХ МЕТОДЫ ВЫЧИСЛЕНИЯ РАСПРЕДЕЛЕНИЯ ОБЪЕМА ПОР СОРБЕНТОВ

Первоначально был разработан метод вычисления распределения объема пор для относительно крупнопористых сорбентов, применительно к переходной пористости активных углей. Нижняя граница применимости этого первого варианта расчета в смысле размеров пор примерно соответствует эффективным радиусам в 20—25 Å.

В основе метода лежат сформулированные выше допущения. Для введения поправок на объемы и толщины адсорбционных слоев служит экспериментальная изотерма адсорбции избранного пара на непористом сорбенте, состоящем из того же вещества с идентичной химической природой поверхности (например, непористая сажа в случае активных углей, термически обработанная в одинаковых с активным углем условиях).

Средняя статистическая толщина адсорбционного слоя  $l$  выражается

$$l = \frac{a_c V}{S} \text{ см}, \quad (1)$$

где  $a_c$  — величина адсорбции в ммоль/г для сажи при данном относительном давлении  $h = p/p_s$ ,  $V$  см<sup>3</sup>/ммоль — объем одного миллимоля ожиженного пара при температуре опыта и  $S$  см<sup>2</sup>/г удельная поверхность сажи, определенная по методу Брунауэра, Эмметта и Теллера [12]. График в крупном масштабе

$$l = f(h) \quad (2)$$

служит для интерполяции величин  $l$ .

Вычисляемое распределение отвечает модели сорбента с цилиндрическими или монотонно-коническими порами. Для расчета применяется десорбционная ветвь изотермы, так как в таком случае для модели можно принять сферические мениски жидкости. Радиус кривизны мениска или цилиндрической поверхности между адсорбционными пленками  $r_k$  выражается уравнением Кельвина:

$$r_k = - \frac{2\sigma V}{RT \ln h}, \quad (3)$$

где  $\sigma$  — поверхностное натяжение жидкости,  $V$  — ее молярный объем и  $T$  — абсолютная температура. Для радиуса пор  $r$  эквивалентного модель-

ого сорбента мы получим

$$r = r_k + l. \quad (4)$$

аметим, что применение выражения (4) основано на четвертом допущении.

Будем рассматривать ступенчатую десорбцию, начиная с  $h = 1$ . В результате  $n$ -ой ступени, отвечающей уменьшению относительного давления на  $\Delta h$ , является десорбция количества пара  $\Delta a$  ммоль/г за счет испарения капиллярно-сконденсированного вещества и уменьшения толщины адсорбционной пленки на поверхности стенок ранее опорожненных пор. Эта величина десорбции, выраженная в объеме ожиженного пара  $V$  см<sup>3</sup>/г, составляет:

$$\Delta V = \Delta a v, \quad (5)$$

где  $V$  см<sup>3</sup>/ммоль — объем одного миллимоля вещества в жидком состоянии, графически изображается заштрихованной площадью на схеме рисунка.

Изменение объема пор  $\Delta V^*$  см<sup>3</sup>/г, соответствующее испарению капиллярно-сконденсированного вещества, выразится

$$\Delta V^* = \Delta V - \Delta A - \Delta V_a, \quad (6)$$

где  $\Delta A$  — выраженное в объемах ожиженного пара изменение адсорбции в результате уменьшения толщины адсорбционного слоя и поверхности ранее опорожненных пор в результате  $n$ -ой ступени десорбции при понижении относительного давления на  $\Delta h$  и  $\Delta V_a$  — объем адсорбционного слоя на поверхности стенок пор, отвечающих их объему  $\Delta V^*$ .

Обозначим через  $\Delta l$  изменение и через  $\bar{l}$  — среднее значение толщины адсорбционного слоя на рассматриваемом этапе десорбции. Приращение поверхности адсорбционной пленки  $\Delta S'_i$  в результате испарения капиллярно-сконденсированного количества вещества на  $i$ -ом этапе десорбции приближенно выразится

$$\Delta S'_i = \frac{2\Delta V_i}{\bar{r}_{ki}}, \quad (7)$$

где  $\bar{r}_{ki}$  — среднее значение для этапа десорбции  $i$  радиуса пространства между адсорбционными пленками. На том же основании общая поверхность адсорбционной пленки, соответствующая моментам опорожнения каждой разновидности пор на  $n-1$  предшествующих этапах десорбции, может быть представлена в виде:

$$S'_a = \sum_{i=1}^{n-1} \frac{2\Delta V_i}{\bar{r}_{ki}}; \quad (8)$$

тогда

$$\Delta A = S'_a \Delta l \quad (9)$$

$$\Delta V_a = \bar{l} \Delta S'. \quad (10)$$

В итоге выражение (6) для изменения объема опорожненных на  $n$ -м этапе десорбции пор  $\Delta V_n^*$  принимает окончательный вид:

$$\Delta V_n^* = \Delta V + \bar{l}_n \frac{2\Delta V_n}{\bar{r}_{kn}} - \Delta l_n \sum_{i=1}^{n-1} \frac{2\Delta V_i}{\bar{r}_{ki}}. \quad (11)$$

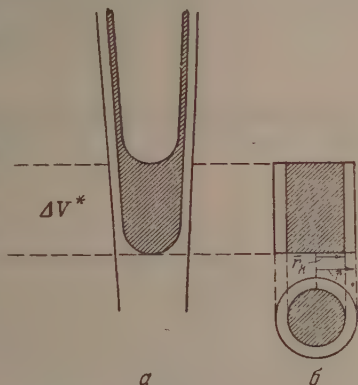


Схема опорожнения поры эквивалентного модельного сорбента на одном из этапов ступенчатой десорбции

Если

$$\Delta r = \Delta r_k + \Delta l \quad (12)$$

изменение радиуса пор для эквивалентного модельного сорбента, отвечающее любому этапу десорбции, и  $\Delta V^*$  — соответствующее изменение объема пор, то дифференциальный объем пор выразится частным  $\Delta V^*/\Delta r$ . Он отвечает среднему радиусу пор  $\bar{r}$ , опорожняющихся в рассматриваемом этапе десорбции.

Уравнение

$$\frac{\Delta V^*}{\Delta r} = \varphi(\bar{r}) \quad (13)$$

выражает распределение объема пор по их размерам для эквивалентного модельного сорбента, обладающего той же десорбционной ветвью изотермы, что и изучаемый реальный сорбент. Очевидно, что вычисления по уравнениям (11) и (13) являются физически обоснованными только для области капиллярной конденсации. В наших расчетах нижней границей применения метода вычисления распределения объема пор является точка начала гистерезиса. Ряд соображений по этому поводу будет приведен при рассмотрении конкретных примеров.

Для эквивалентного модельного сорбента легко перейти от распределения объема пор по размерам к распределению поверхности пор. Переход основан на элементарном соотношении для пор круглого сечения

$$\Delta S = \frac{2\Delta V^*}{\bar{r}}; \quad (14)$$

отсюда выражение для дифференциальной поверхности пор будет иметь вид:

$$\frac{\Delta S}{\Delta r} = \frac{2}{\bar{r}} \frac{\Delta V^*}{\Delta r} \quad (15)$$

Как уже отмечалось, изложенный первый вариант вычисления распределения объема пор применим преимущественно к относительно крупнопористым сорбентам. В таких случаях в достаточно удовлетворительном приближении возможно рассматривать поверхность адсорбционной пленки постоянной при изменении ее толщины. Это допущение учитывается в формуле (10) при вычислении объема адсорбционной пленки.

Во втором варианте, распространяющемся на поры значительно меньших размеров, адсорбционный слой в порах эквивалентного модельного сорбента рассматривается в виде цилиндрического кольца. Согласно схеме рисунка, разность  $\Delta V - \Delta A$  выражает объем испарившегося при десорбции капиллярно-сконденсированного вещества. Если его рассматривать в виде цилиндра с радиусом  $\bar{r}_k$ , то коаксиальный цилиндр такой же высоты, но с радиусом  $\bar{r} = \bar{r}_k + l$ , будет представлять собой объем опорожняющихся пор на рассматриваемом этапе десорбции (рисунок, схема б). Так как объемы таких цилиндров пропорциональны квадратам их радиусов, то

$$\Delta V^* = [\Delta V - \Delta A] \left( \frac{\bar{r}}{\bar{r}_k} \right)^2 \quad (16)$$

При вычислении  $\Delta A$  мы сохраняем в качестве первого приближения допущение о постоянстве поверхности адсорбционной пленки, находимой по (7) для момента опорожнения каждой совокупности пор на соответствующем этапе десорбции. На основании формул (16), (8) и (9) получим для  $n$ -го этапа десорбции

$$\Delta V_n^* = \left[ \Delta V_n - \Delta l_n \sum_{i=1}^{n-1} \frac{2\Delta V_i}{\bar{r}_{ki}} \right] \left( \frac{\bar{r}_n}{\bar{r}_{kn}} \right)^2 \quad (17)$$

Особенностью изложенных вариантов вычисления распределения объема пор является введение поправок на объемы и толщины адсорбционных слоев на основании экспериментальной изотермы адсорбции пара на непористом адсорбенте из того же вещества с известной величиной удельной поверхности. Способ учета поверхности адсорбционной пленки ранее опорожненных пор является хотя и приближенным, но простым. Степень приближения, как это будет показано ниже, является достаточной. При применении метода обращается внимание на установление физически оправданной нижней границы размеров пор.

#### РАЗВИТЫЕ ЗАРУБЕЖНЫМИ ИССЛЕДОВАТЕЛЯМИ МЕТОДЫ ВЫЧИСЛЕНИЯ РАСПРЕДЕЛЕНИЯ ОБЪЕМА ПОР СОРБЕНТОВ

Предложенные американскими исследователями Уилером [3], Шул-лом [4], Барреттом, Джойнером и Халенда [5], методы вычисления распределения объема пор сорбентов в общем основаны на аналогичной схеме учета поправок на адсорбцию пара. Поэтому они отличаются от нашего метода лишь в деталях учета поправок, главным образом, обязанных допущениям, принимаемым для упрощения вычислений. Следует заметить, что упомянутые методы позволяют находить либо распределение объема непосредственно по опытным данным, как, например, при помощи метода Барретта [5], либо определять функции распределения гауссовского или логнормального типов, включая и случаи суперпозиции обоих распределений [3, 4]. Типичным для анализа является метод Барретта, в котором находится распределение объема пор на основании непосредственных опытных данных [5].

Авторы принимают цилиндрические поры в сорбенте, открытые с обоих концов, и рассматривают процесс ступенчатой десорбции. Для  $n$ -го шага десорбции они получают аналогичное (16) выражение:

$$\Delta V_n^* = \left[ \Delta V - \Delta l_n \sum_{i=1}^{n-1} \Delta S_i' \right] \left( \frac{\bar{r}_n}{\bar{r}_{kn} + \Delta l_n} \right)^2, \quad (18)$$

$$\Delta A = \Delta l_n \sum_{i=1}^{n-1} \Delta S_i' \quad (19)$$

$\sum_{i=1}^{n-1} \Delta S_i'$  — действительная поверхность адсорбционной пленки для  $n$ -го шага десорбции на поверхности стенок пор, опорожненных на предыдущих  $n-1$  этапах десорбции. Отношение

$$R_n = \left( \frac{\bar{r}_n}{\bar{r}_{kn} + \Delta l_n} \right)^2 \quad (20)$$

более строго учитывает переход от изменения объема испарившегося цилиндрично-сконденсированного вещества к изменению соответствующего объема собственно опорожненных пор за счет дополнительной поправки на изменение толщины адсорбционной пленки  $\Delta l_n$  в самом  $n$ -ом этапе десорбции. Согласно (18) и (20)

$$\Delta V_n^* = \Delta V_n R_n - \Delta l_n R_n \sum_{i=1}^{n-1} \Delta S_i'. \quad (21)$$

Это выражение, с точки зрения геометрического расчета, является точным для сорбента с цилиндрическими порами.



Приращение поверхности пленки  $\Delta S'_i$  для каждой совокупности цилиндрических пор, опорожняющихся на  $i$ -ом этапе десорбции, ступенчато образно изменяется в результате каждого этапа десорбции. Исходя из элементарных геометрических соображений, авторы выражают поверхность пленки  $\Delta S'_i$  через соответствующую ей поверхность  $\Delta S_i$  скелета пор, остающуюся постоянной на протяжении всего процесса ступенчатой десорбции

$$\Delta S'_i = \Delta S_i \frac{r_{ki} - \bar{r}_i}{\bar{r}_i} = \Delta S_i \frac{\bar{r}_i - \bar{l}_i}{\bar{r}_i}. \quad (22)$$

Введя обозначение

$$c_i = \frac{\bar{r}_i - \bar{l}_i}{\bar{r}_i}, \quad (23)$$

получим (21) в виде:

$$\Delta V^* = \Delta V_n R_n - \Delta l_n R_n \sum_{i=1}^{n-1} c_i \Delta S'_i. \quad (24)$$

После оценки допустимых ошибок авторы считают возможным применить в выражении (24) постоянное значение  $c = c_i$  в зависимости от положения максимума для неисправленной на адсорбцию кривой распределения. Границы изменения величин  $c$  составляют от 0,75 до 0,90 при изменении  $r_{\text{макс}}$  от 7 до 200 Å. При  $r_{\text{макс}} > 200$  Å,  $c = 1$ . Если  $c$  постоянно то в связи с (14) выражение (24) принимает окончательный и пригодный для вычисления вид:

$$\Delta V_n^* = \Delta V_n R_n - c \Delta l_n R_n \sum_{i=1}^{n-1} \frac{2 \Delta V'_i}{\bar{r}_i}. \quad (25)$$

Изложенный метод вычисления распределения объема пор по [5] а также методы других упомянутых выше исследователей [3, 4], характеризуются рядом особенностей, некоторые из которых нельзя считать физически оправданными. В данном сообщении целесообразно изложить общие соображения, не требующие для своего обоснования количественной оценки на конкретном экспериментальном материале.

Толщины адсорбционных слоев вычисляются либо по простейшему уравнению изотермы адсорбции Брунауэра, Эмметта и Теллера [12], [3]), либо из усредненной для всех адсорбентов единой экспериментальной изотермы адсорбции, в которой величины адсорбции паров азота для непористых адсорбентов отнесены к единице поверхности [4, 5]. В результате толщины адсорбционных слоев паров азота при 77,3° К для интервала относительных давлений от 0,046 до 0,967 принимаются одинаковыми для сорбентов любой химической природы. Само собой разумеется, что такое усреднение изотермы носит приближенный характер и в вычисления этим вносится некоторая неопределяемая ошибка.

Барретт полностью игнорирует эффект повышения адсорбционных потенциалов в мелких порах сорбентов при введении поправки на толщины адсорбционных слоев. Если судить по прилагаемым к работе Барретта расчетным таблицам, то вплоть до пор с радиусами в 7 Å, на поперечнике которых не укладываются и три молекулы азота, принимается средняя статистическая толщина адсорбционного слоя по опытам с непористыми адсорбентами при равных относительных давлениях (таблица 1С [5]). Даже в таком случае в пространстве между адсорбционными слоями на противоположных стенках пор поместилась бы только одна молекула азота. Несмотря на это, вплоть до столь мелких пор проводится расчет по теории капилляр-

ой конденсации. Очевидно, что в таких порах, сравнимых по величинам размерами молекул, представление о мениске жидкости теряет физический смысл, не говоря уже о необоснованных вычислениях по уравнению Гельмгольца радиусов кривизны менисков жидкости, например, в 3,5 Å.ряд ли может возникнуть сомнение в том, что в результате эффекта повышения адсорбционных потенциалов адсорбционные слои в таких порах значительно толще, чем для непористых адсорбентов, и эти поры объемно заполняются ожиженным паром в результате смыкания адсорбционных слоев на противоположных стенках пор в первичном адсорбционном процессе, а не в процессе капиллярной конденсации.

Далее в методе Барретта адсорбционная ветвь изотермы паров азота для рассматриваемого пористого сорбента, обычно для интервала относительных давлений 0,05—0,35, используется для вычисления удельной поверхности сорбента по методу Брунауэра, Эмметта и Теллера [12]. Таким образом в этом случае применяется теория полимолекулярной адсорбции, не учитывающая процесса капиллярной конденсации. С другой стороны, вслед за этим вплоть до относительного давления 0,046 для сравнительно мелкопористых сорбентов, т. е. в том же интервале относительных давлений 0,05—0,35, приводятся вычисления по изложенному выше методу на основе теории капиллярной конденсации (расчетная таблица 1С[5]). В результате в качестве критерия правильности выбора эмпирической константы  $c$  в уравнении (25) ставится условие совпадения удельной поверхности стенок пор, вычисленной по теории капиллярной конденсации по формуле вида:

$$S = \sum \frac{2\Delta V^*}{r} \quad (26)$$

удельной поверхностью, оцененной по уравнению изотермы адсорбции Брунауэра, Эмметта и Теллера обычно для интервала относительных давлений 0,05—0,35. Такое двойственное допущение о природе сорбционного процесса в одном и том же методе расчета не является физически оправданным и вычисления по методу Барретта в адсорбционной области изотермы носят формальный характер.

Мы считаем, что применение метода вычисления распределения объема пор по Барретту имеет физический смысл только для области капиллярной конденсации изотермы сорбции паров азота. В этой области метод Барретта принципиально не отличается от изложенных вариантов наших методов. Вводимые же приближения и, в частности, допущения при выборе эмпирической константы  $c$  уравнения (25) могут быть оценены по результатам вычисления распределения объема и поверхности пор для конкретных типичных образцов пористых сорбентов на основании одних и тех же экспериментальных данных.

Известный интерес представляет рассмотрение методов вычисления распределения объема пор при допущении постоянной толщины адсорбционного слоя  $l = l_1 = \text{const}$  в области капиллярной конденсации. При таком предположении на каждом этапе десорбции будет происходить испарение только капиллярно-скоонденсированного вещества. Так как десорбированное количество пара считается постоянным, то оно не входит в изменение сорбционного объема  $\Delta V$ . В этом случае уравнение (17) значительно упрощается, так как  $\Delta l_n = 0$ . Опуская индексы  $n$ , будем иметь для любого этапа десорбции:

$$\Delta V^* = \Delta V \left( \frac{\bar{r}}{r_k} \right)^2, \quad (27)$$

$$\bar{r} = \bar{r}_k + l_1. \quad (28)$$

Выбор постоянной толщины адсорбционного слоя может быть сделан, исходя из различных соображений. В наших первоначальных вычислениях

распределения объема пор принималась толщина адсорбционной пленки, отвечающая точке начала гистерезиса или предположительно для начала процесса капиллярной конденсации (см., например, [1]). Если  $a_0$  мм.оль/г — величина адсорбции для точки начала гистерезиса,  $V$  см<sup>3</sup> мм.оль — объем одного миллимоля охлажденного пара и  $S$  см<sup>2</sup>/г — удельная поверхность адсорбента, то толщина адсорбционного слоя  $l_0$  для начала процесса капиллярной конденсации выразится

$$l_0 = \frac{a_0 V}{S} \quad (29)$$

и

$$\bar{r} = \bar{r}_k + l_0. \quad (30)$$

Олтон развил метод вычисления распределения поверхности пор по размерам для относительно крупнопористых сорбентов при допущении средней и постоянной для области капиллярной конденсации толщины адсорбционного слоя  $l_1$  [9]. Способ определения  $l_1$  заключался в составлении выражения для удельной поверхности адсорбента на основе такой упрощенной теории капиллярной конденсации и приравнивании его удельной поверхности, определенной из адсорбционной ветви изотермы по методу Брунауэра, Эмметта и Теллера. Из полученного уравнения определяется принимаемая постоянной средняя толщина адсорбционного слоя. В последующем она и применяется для вычисления распределения поверхности пор по размерам. Вычислением распределения объема пор Олтон не занимался.

При условии  $l_1 = \text{const}$  получим в случае цилиндрических пор для поверхности адсорбционной пленки  $\Delta S'$ , образующейся в результате каждой ступени десорбции, следующее выражение:

$$\Delta S' = \frac{2\Delta V}{r_k} \quad (31)$$

и для поверхности стенок пор по схеме составления выражения (17) во втором варианте вычисления, заимствованной нами у Олтона:

$$\Delta S = \frac{2\Delta V}{r_k} \left( \frac{r_k + l_1}{r_k} \right). \quad (32)$$

В соответствии с принятым способом нахождения средней толщины адсорбционного слоя  $l_1$  получим

$$\sum \Delta S = \sum \frac{2\Delta V}{r_k} + l_1 \sum \frac{2\Delta V}{r_k^2} = S_{\text{БЭТ}}. \quad (33)$$

В уравнении (33) суммирование распространяется на все этапы десорбции вплоть до точки начала гистерезиса. Очевидно, что это уравнение справедливо для сорбентов, не обладающих мелкими порами, объемно заполняющимися до относительного давления, соответствующего точке начала гистерезиса. Только в таком случае можно принять сумму удельных поверхностей стенок пор, найденных для каждого этапа десорбции равной удельной поверхности  $S_{\text{БЭТ}}$ , вычисляемой по изотерме адсорбции.

При сопоставлении двух рассмотренных вариантов метода вычисления дифференциального объема пор на основе одних и тех же опытных данных (одинаковые  $\Delta V$  и  $r_k$  для каждой ступени десорбции;  $\Delta r = \Delta r_k$  так как  $l = \text{const}$ ) будем иметь согласно (27) отношение дифференциальных объемов пор

$$\frac{(\Delta V^*/\Delta r)_1}{(\Delta V^*/\Delta r)_0} = \left( \frac{r_k + l_1}{r_k + l_0} \right)^2, \quad (34)$$

де индексы у дифференциальных объемов указывают на вариант метода. Так как  $l_1 > l_0$ , то  $(\Delta V^*/\Delta r)_1 > (\Delta V^*/\Delta r)_0$ , в частности, и для максимума кривой распределения. По той же причине  $(\bar{r})_1 > (\bar{r})_0$  при одинаковых значениях  $\bar{r}_k$ . Следовательно, максимум кривой распределения в расчете по варианту Олтона будет соответствовать более высокому дифференциальному объему пор и будет смещен в сторону больших значений радиусов пор. Количественная оценка этих изменений будет дана при рассмотрении конкретных примеров расчетов по различным методам для типичных образцов пористых сорбентов.

### ВЫВОДЫ

1. Проведен сравнительный анализ различных методов вычисления распределения объема и поверхности пор по их размерам для пористых сорбентов на основании сорбционных измерений.
2. Обсуждены в общем виде особенности каждого метода и в отдельных случаях физически обоснованы границы применения методов.

Академия наук СССР  
Институт физической химии  
Москва

Поступила  
18. XI. 1955

### ЛИТЕРАТУРА

1. М. М. Дубинин, Физико-химические основы сорбционной техники, ОНТИ, 1935, стр. 113.
2. В. А. Александров, М. М. Дубинин, Е. Д. Заверина, Т. Г. Плаченов и С. Г. Чепурной, ДАН, 84, 301, 1952.
3. A. Wheeler, Presentation at Catalysis Symposia, Gibson Island A. A. S. Conferences, June, 1945 and June, 1946.
4. C. G. Shull, Journ. Amer. Chem. Soc., 70, 1405, 1948.
5. E. P. Barrett, L. G. Joyner and P. Halenda, Journ. Amer. Chem. Soc., 37, 373, 1951.
6. E. M. Voigt and R. H. Tomlinson, Canad. Journ. Chem., 33, 215, 1955.
7. E. N. Harvey, Journ. Amer. Chem. Soc., 65, 2343, 1943.
8. S. S. Kiszler, E. A. Fischer and J. P. Freeman, Journ. Amer. Chem. Soc., 65, 1909, 1943.
9. T. D. Oulton, Journ., Phys. and Coll. Chem., 52, 1296, 1948.
10. М. М. Дубинин, Усп. химии, 24, 3, 1955.
11. Б. В. Дерягин, Журн. физ. химии, 14, 137, 1940.
12. S. Brunauer, P. H. Emmett and E. Teller, Journ. Amer. Chem. Soc., 60, 309, 1938.



## КОНЦЕНТРИРОВАНИЕ ИЗОТОПОВ $C^{13}O^{18}$ В ОКСИ УГЛЕРОДА МЕТОДОМ ТЕРМОДИФфуЗИИ

*Г. М. Панченков и В. Д. Моисеев*

Как показывают теоретические расчеты, однократный коэффициент разделения изотопов углерода путем термодиффузии для окиси углерода выше, чем для углекислоты. Поэтому, несмотря на некоторые неудобства работы с окисью углерода из-за ее токсичности, концентрирование изотопа  $C^{13}$  выгодно производить, используя в качестве разделяемого газа окись углерода. Кроме того, окись углерода, в отличие от метана, для которого коэффициент однократного разделения выше, термически более устойчива и легко может быть получена в чистом виде, что исключает отрицательное влияние примесей на процесс термодиффузии. В литературе имеется только одна работа по разделению изотопов углерода термодиффузией окиси углерода [1], проведенная в условиях отличных от тех, которые будут рассмотрены ниже.

### ЭКСПЕРИМЕНТАЛЬНАЯ ЧАСТЬ

Термодиффузионная колонна, использованная нами и сделанная целиком из молибденового стекла, изображена на рис. 1. Она представляет собою вертикальную трубку 1 с внутренним радиусом 0,40 см. Снаружи трубка охлаждается водопроводной водой с температурой 291° К. В верхнюю часть трубки впаян молибденовый электрод 2, к которому подвешена платиновая проволока 3 длиной 287 см и радиусом 0,015 см. Проволока центрирована по оси колонны папаянными стеклянными звездочками. К нижнему концу проволоки прикреплен груз 4 из запаянной с концом стеклянной трубки, наполненной ртутью. По оси этой трубки проходит толстая молибденовая проволока, нижний конец которой опущен в ртуть 5; в нее же введен снаружи молибденовый электрод 6. Платиновая проволока 3 нагревается стабилизированным переменным током, напряжение которого регулируется автотрансформатором. Температура проволоки определяется по изменению ее сопротивления.

Верхний конец термодиффузионной колонны при помощи кольцевой конвекционной трубки, нагреваемой спиралью 7 до 150° С, присоединен к «бесконечному» резервуару 8, емкостью около 2,5 л; нижний конец колонны присоединен аналогичным способом к сменяемому резервуару 9 емкостью около 60 мл, его можно отъединить от колонны и заключенный в нем газ подвергнуть анализу или использовать для других целей.

К верхней конвекционной трубке присоединен ртутный манометр 10; от нижней конвекционной трубки вблизи обмотки электрической печи 11 сделан отвод к форвакуумному масляному насосу, к системе получения и очистки газа (не показанной на рисунке) и к ампулам 12 для отбора образцов газа. Отбор производится простым откачиванием ампулы. Ампула имеет объем около 5 см<sup>3</sup>. Верхний ее конец закрыт запаянным капилляром, защищенным стеклянной трубкой. Эта трубка может быть припаяна к нужному прибору, а капилляр разбит при помощи куска железа и магнита; при этом заключенный в ампуле газ поступает в прибор.

Окись углерода для наполнения колонны получалась в откачанной форвакуумным насосом стеклянной системе в результате прибавления (по каплям) муравьиной кислоты к нагретой до 100—110° С концентрирован-

ой серной кислоте. Окись углерода очищалась последовательным пропусканием через растворы перманганата калия, едкого кали и концентрированную серную кислоту, после чего поступала в откачанную до  $10^{-2}$ — $10^{-3}$  мм рт. ст. колонну. Колонна и все коммуникации предварительно многократно промывались током окиси углерода. По данным масс-спектрометрического анализа образцы окиси углерода из нашей колонны практически не содержали воздуха.

Каждый опыт начинался с наполнения колонны до желаемого давления; затем включался нагрев платиновой проволоки, и через определенное время производился отбор образцов газа из нижней части колонны ампулы. К концу опыта отбирался образец газа в резервуар 9 и колонна откачивалась. После этого к ней присоединялся запасный резервуар 9 и опыт повторялся.

Образцы окиси углерода, отобранные из колонны, анализировались на масс-спектрометре. Вследствие того что остаточные пики с массами 12 и 3 были слишком высоки и нестабильны, в образцах измерялось отношение высоты пика  $C^{12}O^{16+}$  (с массой 28) к сумме высот пиков  $C^{12}O^{17+}$  и  $C^{13}O^{16+}$  (с массой 29); высоты соответствующих остаточных пиков измерялись до и после подачи образца окиси углерода в масс-спектрометр и средние высоты остаточных пиков, оставлявшие обычно 2—3% от высот пиков образца, вычитались из последних. Отношение  $C^{12}/C^{13}$  вычислялось с учетом поправки на  $O^{17}$ \* в предположении, что вследствие равенства масс молекул  $C^{12}O^{17}$  и  $C^{13}O^{16}$  отношение концентраций этих молекул в образце газа из нижней части колонны такое же, как и в исходном газе. Ошибка измерения содержания изотопа  $C^{13}$  составляла 0,3—0,4% от содержания его в образце газа.

Нами было проведено шесть опытов с термодиффузионной колонной. В опытах 1—5 варьировалось давление окиси углерода в колонне при неизменной температуре платиновой проволоки, равной  $730^\circ C$ . Опыт 6 был проведен практически при том же давлении (750 мм рт. ст.), что и опыт 1, но при температуре проволоки  $860^\circ C$ . В опыте 4 изменялось также отношение высот пиков с массами 28 и 30, которое, с соответствующими поправками, дает отношение  $O^{16}/O^{18}$  в образце газа.

Результаты опытов представлены в таблице (см. стр. 1664).

В этой таблице

$$q = \frac{C^{13}/C^{12} \text{ (низ)}}{C^{13}/C^{12} \text{ (верх)}}$$

— коэффициент разделения изотопов углерода в нашей колонне;

$$q' = \frac{O^{18}/O^{16} \text{ (низ)}}{O^{18}/O^{16} \text{ (верх)}}$$

(в опыте 4) — коэффициент разделения изотопов  $O^{16}$  и  $O^{18}$ .

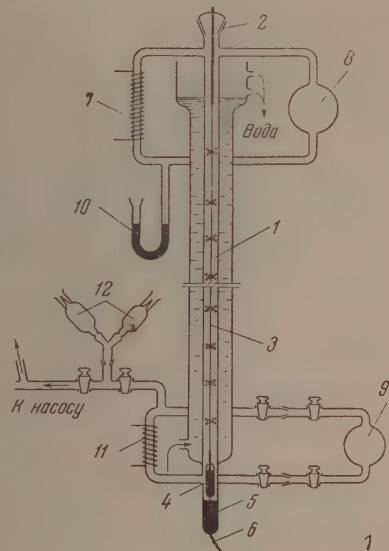


Рис. 1. Термодиффузионная колонна

\* Принималось, что отношение  $O^{16}/O^{17}$  в окиси углерода равно 9978 [2].

№ опыта	р, мм рт. ст.	t часы	q	q'
1	751	5; 25 111; 137	1,20; 1,52 2,11; 2,13	—
2	675	48; 72 90; 120	1,94; 2,17 2,26; 2,28	—
3	600	40; 48 89; 110	1,76; 1,89 2,20; 2,23	—
4	400	12,5; 39,5 96; 154	1,25; 1,44 1,64; 1,70	1,70; 1,99 2,34; 2,44
5	200	10; 112	1,33; 1,69	—
6	750	24; 130	1,74; 2,16	—

На рис. 2 изображены кривые, построенные по данным таблицы. Равновесие практически достигается примерно за 120 час. при всех давлениях. Кривая 5 как будто бы показывает, что скорость достижения равновесия растет с уменьшением давления, но на кривой мало точек, и такое заклю-

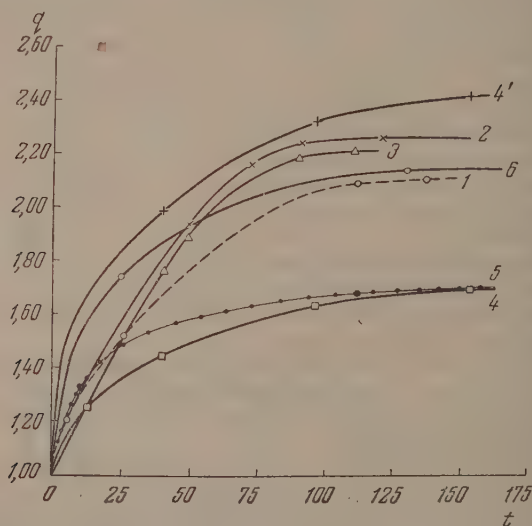


Рис. 2. Зависимость коэффициента разделения от времени. Номера кривых, соответствуют номерам опытов

чение пуждается в проверке. При 750 мм рт. ст. повышение температуры на 130° С несколько увеличило разделение и скорость достижения равновесия (кривые 1 и 6). Максимум коэффициента разделения в зависимости от давления находится около 675 мм рт. ст. и выражен довольно резко (рис. 3). При давлении 400 мм рт. ст. коэффициент разделения изотопов кислорода  $q'$  примерно в 1,6 раза больше коэффициента разделения изотопов углерода  $q$  это значит, что изотоп кислорода  $O^{18}$  можно эффективно концентрировать термодиффузией в окиси углерода.

Так как физические константы для окиси углерода известны, то, пользуясь общепринятой теорией термодиффузионной колонны Джонса и Ферри [3], можно легко рассчитать коэффициенты в уравнении переноса и, тем самым, общий коэффициент разделения при достижении равновесия.

Такой расчет с использованием данных для опыта 2 показывает, что  $q_c = 3,78$ . Опыт же даст значение  $q_c = 2,28$ . Расхождение можно объяснить паразитным конвекционным перемешиванием, возникающим вследствие асимметрии термодиффузионной колонны и уменьшающим разделение.

Время релаксации  $t_r$  для колонны с закрытым положительным концом и с бесконечным резервуаром на отрицательном конце, согласно той же теории [3], определяется следующим выражением:

$$t_r = \frac{m}{H} \left( \frac{e^{2AL} - 1}{2AL} - 1 \right), \quad (1)$$

где  $m$  — масса газа в колонне. Объем колонны (без резервуаров) равен  $145 \text{ см}^3$ ; следовательно,  $m = 15,12 \cdot 10^{-2} \text{ г}$ ;  $e^{2AL} = q_c = 2,28$ ,  $H$  для нашего случая, как показывает расчет, равно  $9,9372 \cdot 10^{-7}$ . Подставляя эти значения в выражение (1), находим, что  $t_r = 23,35$  час.

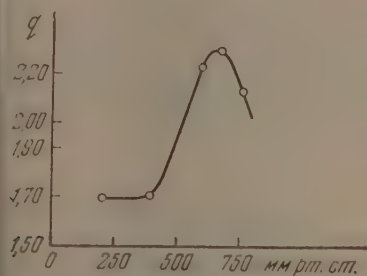


Рис. 3

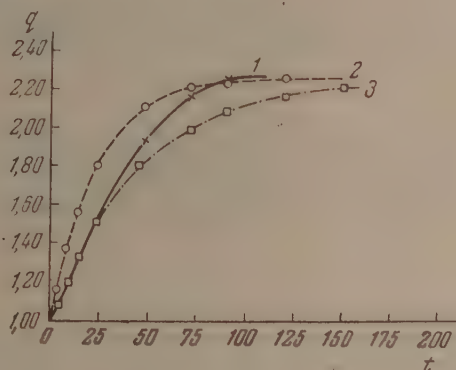


Рис. 4

Рис. 3. Зависимость коэффициента разделения от давления газа в колонне при  $730^\circ$

Рис. 4. Теоретические и опытные кривые зависимости коэффициента разделения от времени: 1 — опытная кривая; 2 — кривая при  $t_r = 23,35$  часа; 3 — кривая при  $t_r = 45,43$  часа

Для колонны с бесконечным резервуаром у отрицательного конца и большим резервуаром (т. е. таким, объем которого много больше объема колонны) у положительного конца, время релаксации определяется согласно теории [3] при концентрации обогащаемого изотопа  $c \ll 1$  выражением:

$$t_{r \text{ рез}} = \frac{m}{H} (e^{2AL} - 1). \quad (2)$$

Объем положительного резервуара равен  $60 \text{ см}^3$ ; следовательно,  $m = 6,17 \cdot 10^{-2} \text{ г}$ ;  $e^{2AL} = q_c = 2,28$ ;  $t_{r \text{ рез}} = 22,08$  часа.

При выводе выражения (2) предполагалось, что время релаксации определяется почти исключительно переносом изотопа в положительный резервуар. Объем положительного резервуара нашей колонны сравним с объемом колонны. Такой случай в теории [3] не рассматривался. Очевидно, время релаксации нашей колонны с резервуарами должно быть больше чем  $23,35$  часа, но меньше чем  $23,35 + 22,08 = 45,43$  часа. Опыт подтверждает правильность приведенных рассуждений. На рис. 4 кривая 1 построена по экспериментальным точкам опыта 2, кривая 2 согласно теории [3] по формуле:

$$q - 1 = (q_c - 1)(1 - e^{-t/t_r}), \quad (3)$$



при условии, что равновесные значения коэффициента разделения  $q_e = 2,28$  и  $t_r = 23,35$ ; кривая 3 построена по той же формуле (3) для  $q_e = 2,28$  и  $t_r = 45,43$ . Видно, что  $23,35 < t_r < 45,43$ . Точнее  $t_r$  можно было бы найти по точкам опыта 2 при помощи метода наименьших квадратов.

Из сказанного следует, что термодиффузионная колонна, подобная нашей, может производить достаточное для лабораторных целей количество концентрата изотопа  $C^{13}$ . Рис. 4 показывает, что за 48 час. можно получить 60–70 см<sup>3</sup> газа при давлении 675 мм рт. ст., т. е. 62–73 мг окиси углерода с концентрацией изотопа  $C^{13}$  (соответствующей коэффициенту

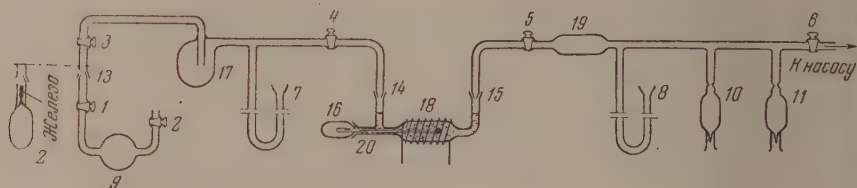


Рис. 5. Прибор для окисления окиси углерода в углекислоту: 1–6 — вакуумные краны; 7–8 — ртутные манометры, 9 — резервуар с окисью углерода; 10–11 — ампулы; 12 — ампулы с окисью углерода; 13–16 — шлифы; 17 — ловушка; 18 — печь с пятиокисью иода; 19 — трубка со свежеевостановленными медными спиралями для поглощения паров иода; 20 — термометр

разделения 1,94), равной 2,123%, т. е. с отношением  $C^{12}/C^{13} = 46,1$ . Ошибка масс-спектрометрических определений содержания изотопов углерода обычно меньше, чем 0,5% от измеряемой концентрации изотопа  $C^{13}$  (в наших измерениях ошибка составляла 0,3–0,4%); это значит, что если исходить из ошибки в 0,5%, то при использовании в качестве меченого атома образца с содержанием  $C^{13} = 2,123\%$ , предельное допустимое разбавление его равно примерно  $1/200$ . Очевидно, такой концентрат пригоден для ряда целей.

Полученный, обогащенный изотопом  $C^{13}$  образец окиси углерода можно легко перевести в углекислоту. Мы окисляли окись углерода при помощи пятиокиси иода в стеклянном приборе, изображенном на рис. 5.

Спирали из тонкой медной проволоки восстанавливались накаливанием в пламени газовой горелки и охлаждались в метиловом спирте; после этого спирали быстро просушивались.

Пятиокись иода готовилась из продажной иодноватой кислоты нагреванием ее в течение 12 час. при 200–230°C и последующим нагреванием полученного продукта в вакууме при 180° С.

Окисление образца окиси углерода в нашем приборе производилось следующим образом: все краны открывались, и прибор откачивался до  $10^{-2}$ – $10^{-3}$  мм рт. ст.; затем закрывались краны 4 и 6, открывался кран 1, и газ поступал в левую часть прибора. После этого под ампулы 10 и 11 подводились сосуды Дьюара с жидким азотом, а печь 18 нагревалась до 120° С. Осторожным поворотом крана 4 через печь 18 пропусклся ток окиси углерода с такой скоростью, чтобы манометр 7 показывал уменьшение давления примерно на 1 см в минуту. Через некоторое время манометры 7 и 8 начинали показывать отсутствие газа в системе (давление менее 1 мм рт. ст.), после чего ампулы 10 и 11 с твердой двуокисью углерода откачивались и отгаивались. Масс-спектрометр показал весьма высокую чистоту полученной двуокиси углерода.

Описанный способ окисления небольших образцов окиси углерода до двуокиси прост и удобен.

## ВЫВОДЫ

1. Исследовано концентрирование изотопа углерода  $C^{13}$  и кислорода  $O^{18}$  в окиси углерода методом термодиффузии.
2. Подтверждена пригодность теории термодиффузионной колонны для полукolicественного предсказания результатов работы аппаратуры заданными параметрами.
3. Разработан удобный способ окисления малых образцов окиси углерода до двуокиси.

Московский государственный  
университет им. М. В. Ломоносова

Поступила  
31.XII. 1955

## ЛИТЕРАТУРА

1. Sakata Hajime, Matsuda Kazuhisa, Takeda Eudi, Journ. Phys. Soc., Japan, 8, 313, 1953.
  2. А. О. Н и р, Сб. Получение и определение меченых ато-мов, ИЛ, М., 1948, стр. 22.
  3. К. Д ж о н с и В. Ф е р р и, Разделение изотопов методом термодиффузии, ИЛ, М., 1947.
-

## МЕТОДЫ И ТЕХНИКА ФИЗИКО-ХИМИЧЕСКОГО ИССЛЕДОВАНИЯ

### СЕРИЙНОЕ ВЫРАЩИВАНИЕ МОНОКРИСТАЛЛОВ МЕТАЛЛОВ ИЗ РАСПЛАВА

**Б. Н. Бушманов**

Одним из наиболее простых и распространенных способов выращивания монокристаллов металлов из расплава является метод Бриджмена ([1], стр. 338, [2], стр. 62 [3]). По литературным данным выращивание монокристаллов легкоплавких металлов по этому способу осуществляется в трубчатой вертикальной электрической печи посредством медленного опускания стеклянной пробирки с оттянутым в капилляр концом, заполненной расплавленным металлом. Выращивание монокристаллов металлов этим методом требует очень большой затраты времени и дает довольно низкий процент выхода действительно монокристаллов. Для иллюстрации последнего попытаю привести данные о результатах работы Циннамона (1940 г.), приводимые в книге Бакли «Рост кристаллов». Циннамон выращивал по видоизмененному методу

Скорость опускания подвески в см/час	Число образцов*	Из них моно- кристаллов
4	16	10
27	18	3
10	18	8
1—1,3	16	12
6—7	19	14
2	19	12
Итого . . .	106	59

\* При первых четырех плавках общее число образцов меньше 19 по техническим причинам.

Была собрана установка по типу установки Сибирского физико-технического института ([1], стр. 39), отличающаяся от последней только тем, что она имела вертикальную печь с большим внутренним диаметром (100 мм). В такую широкую печь помещалось сразу 19 кристаллизационных трубок диаметром 12—14 мм на одной подвеске. Сам процесс выращивания монокристаллов велся обычным способом.

Результаты шести плавков цинка приводятся в таблице.

Из таблицы видно, что за шесть плавок средний выход монокристаллов составлял 56%, а если не учитывать плавку, проведенную при скорости опускания подвески 27 см/час, являющейся явно мало подходящей для образцов данного диаметра при данной конструкции печи, то получится еще более высокий выход: из 88 образцов пяти плавок было получено 56 совершенных монокристаллов, что составляет 64%.

Этот результат следует признать достаточно хорошим, сравнивая его с данными Циннамона и с результатами более ранней работы автора, когда при выращивании монокристаллов цинка поодиночке в печи малого диаметра из 143 образцов было получено всего 34 монокристалла, что составляет 24%.

Такой высокий выход монокристаллов можно объяснить тем, что большая масса нагретого (расплавленного) металла, опускаясь в трубчатой печи, сама несет с собой большой запас тепла и стабилизирующее действует на температурное поле печи. С

Бриджмена монокристаллы цинка площадью поперечного сечения 1 см<sup>2</sup> и получил следующие результаты ([2], стр. 70).

«...из 81 выращенного им кристалла цинка 42 были мозаичными, а 39 в узкой части трубки (капилляре) — «идеальными» монокристаллами. 31 из указанных 39 в широкой цилиндрической части кристаллизационной трубки были в различной степени мозаичными; 4 кристалла были идеальными на всем своем протяжении и 4 кристалла хотя и были идеальными, но в некоторых местах вдоль кристаллизационной формы имели изменения в ориентировке (двойникование)».

Короче говоря, из 81 образца Циннамон получил только 4 настоящих монокристалла, что составляет около 5%.

Автором настоящей статьи в метод Бриджмена внесено небольшое изменение, позволяющее значительно сократить затраты труда и времени на выращивание монокристаллов и обеспечивающее довольно высокий выход последних.

момента начала кристаллизации это стабилизирующее действие усиливается за счет выделения тепла кристаллизации. Последнее обстоятельство уменьшает вероятность местного переохлаждения металла выше общей плоскости кристаллизации, что и обуславливает высокий выход монокристаллов, так как указанные выше местные переохлаждения являются новыми центрами кристаллизации.

Для того чтобы убедиться, не обусловлен ли высокий выход монокристаллов удачной конструкцией печи, был поставлен контрольный эксперимент: в той же печи производилось выращивание 20 кристаллов поодиночке со скоростью опускания подвески 3—5 см/час, которая соответствует более высокому выходу монокристаллов (см. таблицу результатов шести серийных плавов). Из этих 20 образцов выросло 5 монокристаллов или 25%, что совпадает с вышеуказанными результатами одиночного выращивания монокристаллов в печи малого диаметра.

В работе не ставилась задача исследования ориентации монокристаллов в зависимости от скорости опускания образцов в печи, однако метод серийного выращивания может быть полезен для этих целей. Замечено, что для образцов диаметром 11—12 мм оптимальная скорость в смысле наибольшего выхода монокристаллов не превосходит 10 см/час, что значительно отличается от результатов исследования В. Д. Кузнецова и Д. Д. Саратовкина [4] — 20—50 см/час, работавших с образцами диаметром 3—5 мм.

При скоростях менее 4 см/час вырастают преимущественно монокристаллы с плоскостью базиса, направленной к оси образца под углом от 90 до 45°. При повышении скорости большая часть монокристаллов ориентирована плоскостью базиса под малыми углами к оси образца: при скорости 6—7 см/час таких образцов оказалось 10 из 14, при скорости 10 см/час — 6 из 8, при скорости 27 см/час — 3 из 3. Это согласуется с выводами И. В. Обреимова и Н. А. Бриллиантова [5].

Суждение о монокристалльности образцов производилось по картине травления их разбавленной соляной кислотой, а ориентация плоскости базиса — по слому.

В работе применялось также упрощение метода заполнения пробирок расплавленным металлом, пригодное для кристаллизационных трубок с довольно большой площадью поперечного сечения. Оно заключается в том, что после покрытия внутренней поверхности кристаллизационной трубки слоем сажи капилляр ее запаивался, и трубка заливалась расплавленным пинком.

Замечено, что монокристаллы вырастали одинаково хорошо, независимо от того, оставался ли в капилляре пузырек воздуха, или его не было.

Серийное выращивание монокристаллов дает возможность за короткое время получить достаточно большое число монокристаллов, причем образцы каждой серии выращены при совершенно одинаковых условиях, что довольно трудно осуществить при выращивании монокристаллов поодиночке.

Авиационный институт  
Казань

Поступила  
20.X.1955

#### ЛИТЕРАТУРА

1. В. Д. Кузнецов, Кристаллы и кристаллизация, ГИТТЛ, М., 1954, стр. 338, 339.
2. Г. Бакли, Рост кристаллов, ИИЛ, М., 1954, стр. 62, 70.
3. А. В. Шубников, Как растут кристаллы, Изд-во АН СССР, 1935, стр. 48
4. В. Д. Кузнецов и Д. Д. Саратовкин, ДАН, 1, 248, 1934.
5. И. В. Обреимов и Н. А. Бриллиантов, Влияние скорости роста кристаллов на ориентацию, VI съезд русских физиков, Госиздат, 1928, стр. 8.



# МЕТОДИКА ИССЛЕДОВАНИЯ РЕАКЦИЙ С ГАЗООБРАЗНЫМ КИСЛОРОДОМ ПРИ ДАВЛЕНИЯХ ДО 5000 АТМ

Д. С. Циклис

Исследования реакций с применением сжатого кислорода представляют большой интерес. Между тем техника подобных исследований разработана еще недостаточно. Применяемая для этих целей аппаратура громоздка, главным образом, вследствие того, что кислород сжимают жидким поршнем, в качестве которого обычно служит смесь глицерина с водой [1].

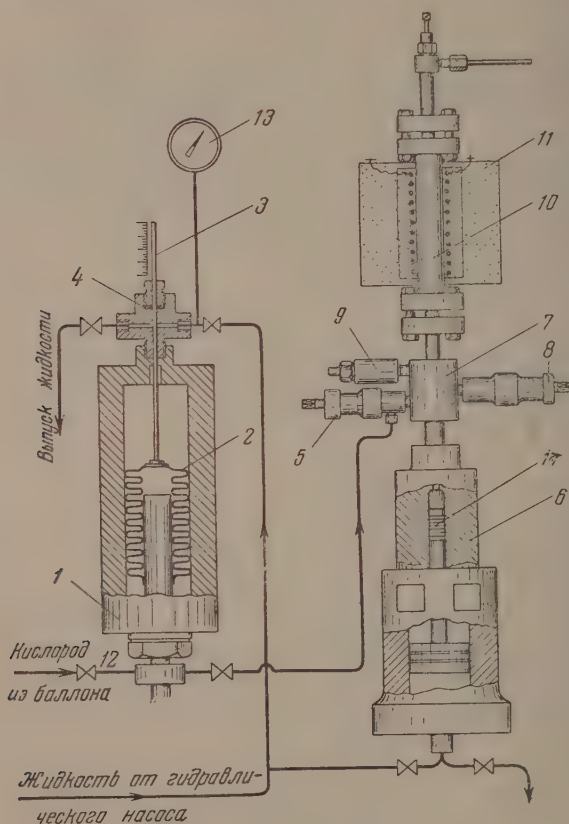


Схема установки. 1 — сосуд высокого давления; 2 — металлический мех; 3 — стержень; 4 — сальник; 5 — пресс-вентиль; 6 — мультипликатор; 7 — вентильная коробка; 8 — пресс-вентиль; 9 — манганиновый манометр; 10 — реакционная колонка; 11 — печь; 12 — вентиль; 13 — манометр; 14 — уплотнение

Свойства кислорода делают невозможным применение для его сжатия мультипликатора с кожаным уплотнением на поршне высокого давления, как это с успехом было применено для сжатия азота [2].

Появление такого химически инертного материала, как фторопласт, побудило нас испытать его в качестве уплотнения на поршне высокого давления при сжатии кис

орода. Для этой цели мы использовали имеющуюся в лаборатории установку, на которой было проведено изучение условий образования нитридов железа при высоких давлениях и температурах [2].

Так как для питания мультипликатора требуется газ высокого давления, то было предусмотрено сжатие кислорода в две ступени. Первоначальное сжатие кислорода производили металлическим мехом (см. рисунок). Здесь в отличие от подобной же конструкции, описанной в литературе [3], о сжатии металлического меха 2 судили о положении стального стержня 3, движущегося в сальнике из фторопласта 4.

Работа металлического меха, а также принцип действия установки высокого давления, состоявшей из мультипликатора 6, вентильной коробки 7 с двумя вентилями 5 и 8, заменяющими клапаны в подобных установках, манганинового манометра 9 и реакционной колонки 10, описаны в литературе [2, 3] и понятны из рисунка.

При помощи металлического меха, сжимаемого жидкостью, состоявшей из воды 20—30% глицерина, удавалось поднять давление кислорода с 150 атм (давление в колонке) до 600—700 атм, а затем, сжимая кислород мультипликатором, доводить давление до 3000—3500 атм. Нагревая колонку до 400—500°C, достигали давления в 5000 атм.

Металлический мех служил и для опускания поршня мультипликатора. Несмотря на очень малый коэффициент трения фторопласта, в уплотнении 14 развивалось большое трение и для опускания поршня требовалось давление 600—700 атм.

Как показали опыты, фторопластовое уплотнение на поршне, а также фторопластовые сальники пресс-вентилей 5 и 8 прекрасно выдержали давление кислорода.

Манганиновый манометр 9, которым измеряли давление кислорода в колонке, отлично работал в атмосфере кислорода, сжатого до 5000 атм.

Мы были ограничены давлением в 5000 атм, так как опасались, что сталь, из которой была изготовлена колонка 10, не выдержит одновременного действия большого давления и температуры в 500°C. Принципиально же нет никаких причин, не позволяющих достичь таким образом давления 10 000 атм.

Вся установка и металлические мехи помещены в бронированную кабину. Наблюдение за перемещением стержня 3 ведут через окно из метилметакрилата толщиной до 50 мм.

Все детали установки должны быть самым тщательным образом промыты. Следы органических веществ ведут к воспламенению, во время которого начинается горение массивных стальных деталей.

При соблюдении чистоты в работе сжатие кислорода осуществляется спокойно и безопасно.

Институт азотной промышленности  
Москва

Поступила  
28.XII.1955

#### ЛИТЕРАТУРА

1. Л. Ф. Верещагин и В. А. Преображенский, Изв. АН СССР, сер. хим., № 4, 359, 1945.
2. И. Р. Кричевский и Н. Е. Хазанова, Журн. физ. химии, 21, 719, 1947.
3. Д. С. Циклис, Техника физико-химических исследований при высоких давлениях, М., Госхимиздат, 1951.

## ПРИМЕНЕНИЕ ПОЛЯРОГРАФА ДЛЯ АВТОМАТИЧЕСКОЙ ЗАПИСИ ПОЛЯРИЗАЦИОННЫХ КРИВЫХ В РАСПЛАВЛЕННЫХ СОЛЯХ

*Л. Н. Антипин, Ю. Б. Холманских и С. Ф. Важенин*

Изучение электродных процессов в расплавленных солях в большинстве случаев основано на анализе электродных кривых. Для получения закономерностей ток — потенциал или ток — напряжение обычно применяют визуальное фиксирование показаний потенциометра или вольтметра при задаваемой по амперметру силе тока. По полученной совокупности точек строится кривая. Такой метод является в некоторой степени субъективным. Для устранения этого недостатка была сделана попытка автоматизировать процесс записи поляризационных кривых при помощи полярографа чехословацкой фирмы «Неедлий и сын»\*.

Снятие кривых производилось двумя методами: 1) прямым компенсационным с последующим вычитанием омического падения напряжения и 2) коммутаторным. Первый метод был применен в двух вариантах. В одном случае изменение длины реохорда полярографа соответствовало изменению напряжения, а ток регистрировался гальванометром (токовая схема); в другом случае, наоборот, величина тока определялась рабочей длиной реохорда, а гальванометр служил вольтметром (схема напряжения). Коммутаторный метод был применен только в схеме напряжения, так как в токовом варианте возможность его использования была исключена.

На рис. 1 дана общая схема установки, позволяющая осуществлять все описанные варианты при помощи переключателя рубильников  $P_1$  и  $P_2$  и ключей  $k_3, k_4, k_5, k_6$ . В полярограф 2, являющийся основной частью измерительного устройства, были внесены изменения. В связи с тем, что для исследования расплавленных солей необходимы высокие плотности тока, питание было подведено непосредственно к трущимся контактам потенциометрического барабана, а катод соединялся с плечом подвижного контакта. Входящие в схему полярографа приспособления для компенсации емкостных токов, регулирования э.д.с. и переключения с катодной на анодно-катодную поляризацию при этом не использовались. Таким способом удалось повысить силу тока, проходящего через электролитическую ячейку, до 1 А. Питание установки (рис. 1) осуществлялось от селенового выпрямителя 1 с включенной параллельно ему буферной 12-вольтовой батареей аккумуляторов. Для устранения колебаний нагрузки в сети в цепь был включен автотрансформатор ЛАТР-9 и аstaticкий вольтметр для контроля за этим напряжением (на схеме не указаны). Так как в некоторых испытанных вариантах измерения для получения кривых ток — потенциал необходимо было знать омическое падение напряжения, в схему установки был включен измерительный мостик Кольрауша 6 с пьезоэлектрическим телефоном в качестве нульприбора. Питание мостика осуществлялось генератором звуковой частоты 5.

Все эксперименты проводились в шахтной силитовой печи. Ячейкой служил корундовый тигель с внутренней футеровкой из графита, которая одновременно являлась анодом\*\*. Ток к аноду подводился при помощи нихромового стержня диаметром 3 мм. Катод изготовлялся из молибденовой проволоки диаметром 0,5 мм. Погружение электрода на необходимую глубину производилось при помощи переоборудованного подъемного механизма от микроскопа 9. Момент касания электрода с электролитом определялся по замыканию электрической цепи (контакт  $k_3$  замкнут; рубильник  $P_1$  находится в верхнем положении; переключатель в позиции 13). Момент замыкания отмечался по отклонению стрелки прибора. При глубине погружения электрода, равной 3 мм, отношение между площадями катода и анода составляло 1 : 600. Это позволяло считать, что потенциальная кривая отражала, главным образом, изменение катодного потенциала.

Запись поляризационных кривых для целей полярографии в водных растворах осуществляется по токовой схеме. При этом гальванометр 3 включается параллельно ячейке через соответствующим образом подобранное сопротивление, задаваемое резистором 4. Метод был опробован и для снятия поляризационных кривых в расплавленных солях (переключатель в позиции 12; рубильник  $P_1$  в верхнем положении; кон-

\* Насколько нам известно, подобных попыток сделано не было. Полярографические исследования на фоне какой-либо расплавленной соли [1] имеют существенное отличие в методике, так как основаны на измерении малых токов.

\*\* При измерении анодного потенциала футеровка служила катодом.

кты  $k_1$ ,  $k_2$ ,  $k_3$ ,  $k_4$  замкнуты). На рис. 2 приведена кривая 1, полученная на платином аноде при электролизе криолит-гайноземного расплава ( $\text{Na}_3\text{AlF}_6 + 3\% \text{Al}_2\text{O}_3$ ). Из рисунка видно, что эта кривая сильно искажена входящей в ее состав составляющей  $IR$ . Вследствие отсутствия пропорциональности между напряжением, снимаемым с реохорда, и его длиной омическое падение напряжения в этом случае представляет довольно сложную кривую. По этой причине при проведении экспериментов можно было ограничиваться только измерением сопротивления ячейки, определяя

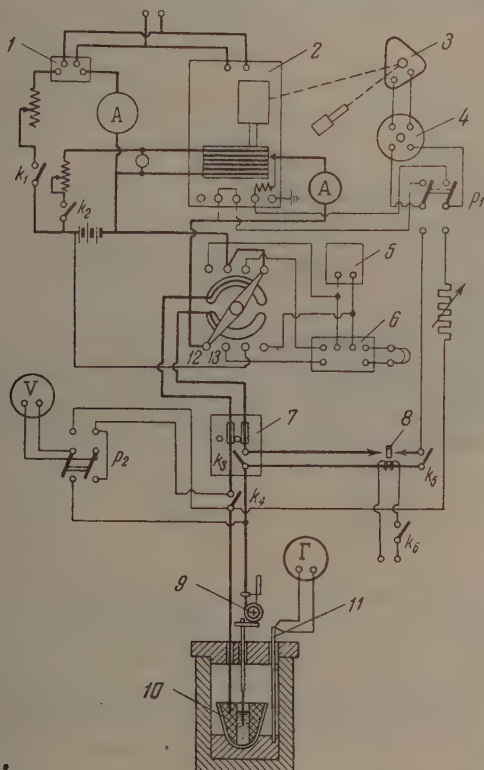


Рис. 1. Схема установки для автоматической записи поляризационных кривых. 1 — селеновый выпрямитель; 2 — полярограф; 3 — зеркальный гальванометр; 4 — редуктор для регулирования чувствительности гальванометра; 5 — генератор звуковой частоты; 6 — мостик Кольрауша; 7 — магазин сопротивлений; 8 — коммутатор; 9 — механизм для подъема электрода; 10 — электролитическая ячейка; 11 — хромель-алюмелевая термопара; 12, 13 — контакты

величину  $IR$  простым умножением сопротивления на силу тока. В каждом отдельном случае необходимо было снимать эту зависимость непосредственно на приборе. Это осуществлялось при помощи магазина сопротивлений с бифилярной обмоткой. После определения сопротивления ячейки величина его устанавливалась на магазине, и полярограф включался на измерение  $IR$  при разомкнутой ячейке. Для описанной одной кривой 1 изменение величины  $IR$  изображено линией 2. Потенциальная кривая, полученная вычитанием 2 из 1, представлена на том же рисунке линией 3.

Из сказанного следует, что токовая схема сводит к минимуму преимущество автоматической записи, так как требует дополнительной, довольно громоздкой обработки полученных данных. Запись поляризационных кривых компенсационным методом по схеме напряжения\* показала, что она не имеет определенных преимуществ перед токовой схемой, хотя искажения в этом случае несколько меньше (рис. 3). Наличие

\* Переключатель в позиции 12; рубильник  $p_1$  в нижнем положении; контакты  $k_1$ ,  $k_3$ ,  $k_4$  замкнуты (рис. 1).



ее, однако, позволило провести сравнение компенсационного метода с коммутаторным. Очевидным преимуществом последнего является отсутствие необходимости в обработке кривых, так как исключение омического падения напряжения при этом осуществляется автоматически. С другой стороны, оставалась неясной его точность вследствие

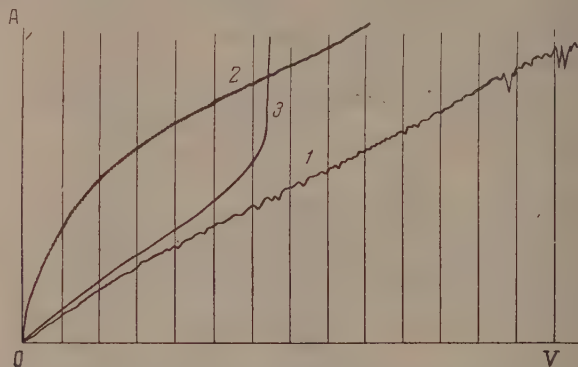


Рис. 2. Анодные поляризационные кривые, записанные по токовой схеме на платиновом электроде (электролит 58% NaF + 40%  $\text{AlF}_3$  + 2%  $\text{Al}_2\text{O}_3$ , при 1050°). 1 — изменение напряжения на зажимах ячейки (V); 2 — изменение омического падения напряжения (IR); 3 — анодная поляризационная кривая ( $E = V - IR$ )

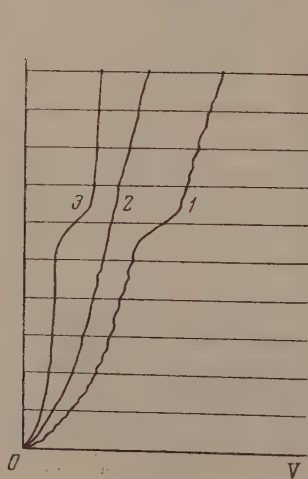


Рис. 3

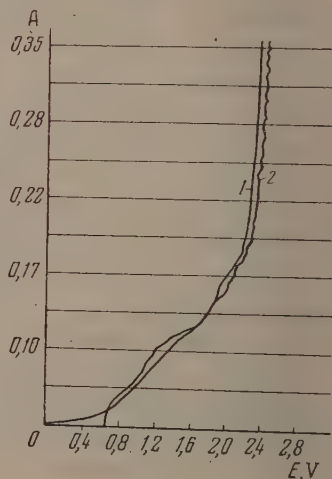


Рис. 4

Рис. 3. Катодная поляризационная кривая, записанная по схеме напряжения (католи молибденовый, электролит 58% NaF + 40%  $\text{AlF}_3$  + 2%  $\text{Al}_2\text{O}_3$  в присутствии металлического алюминия, при 1050°. 1 — изменение напряжения на зажимах ячейки (V); 2 — изменение омического падения напряжения (IR); 3 — катодная поляризационная кривая ( $E = V - IR$ )

Рис. 4. Катодные поляризационные кривые, снятые по схеме напряжения компенсационным и коммутаторным методом в криолит-глиноземном расплаве (62% NaF + 36%  $\text{AlF}_3$  + 2%  $\text{Al}_2\text{O}_3$ ; при 1050°). 1 — кривая, полученная компенсационным методом ( $E = V - IR$ ); 2 — кривая, полученная коммутаторным методом

возможного занижения результатов. В литературе нет единого мнения о возможности применения коммутаторного метода для изучения расплавленных солей. Некоторые исследователи считают его вполне приемлемым [2, 3], другие находят в нем недостатки и отдают предпочтение прямому компенсационному методу с последующим вычитанием

нем IR [4]. Однако непосредственного сравнения обоих методов в одних и тех же условиях для расплавленных солей сделано не было. Для перехода на коммутаторный метод (рис. 1) включался контакт  $k_6$  и выключался контакт  $k_3$  и  $k_5$ . Коммутатором служило двухстороннее телефонное реле 8, питаемое от сети переменного тока (50 периодов в секунду). Обратная э. д. с. ячейки при коммутаторном методе и напряжение на ее зажимах при компенсационном методе регистрировалось гальванометром 3. При помощи редуктора 4 и переменного сопротивления величина отклонения луча гальванометра на длину щели фотографического барабана подбиралась равной 0,25; 0,5; 1,0; 2,0; 4,0 и 8,0V.

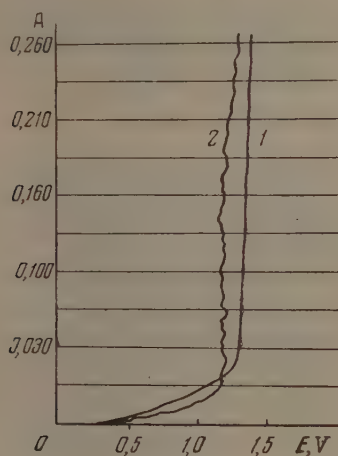


Рис. 5

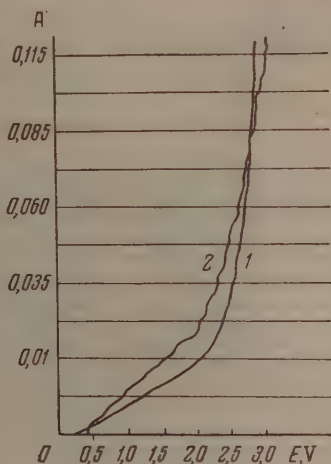


Рис. 6

Рис. 5. Катодная поляризационная кривая, снятая по схеме напряжения компенсационным и коммутаторным методами в расплавленном хлористом свинце при  $500^\circ$ . 1 — кривая, полученная компенсационным методом ( $E = V - IR$ ); 2 — кривая, полученная коммутаторным методом

Рис. 6. Катодные поляризационные кривые, снятые по схеме напряжения компенсационным и коммутаторным методами в расплавленном хлористом натрии при  $850^\circ$ . 1 — кривая, полученная компенсационным методом ( $E = V - IR$ ); 2 — кривая, полученная коммутаторным методом

На рис. 4, 5 и 6 представлены катодные кривые, полученные в криолит-глиноземе, расплаве, хлористом свинце и хлористом натрии при помощи компенсационного и коммутаторного методов. Удовлетворительное совпадение потенциальных кривых, полученных обоими способами, дает право считать коммутаторный метод достаточно точным и наиболее удобным для снятия катодных поляризационных кривых в расплавленных солях.

Таким образом, применение полярографа для автоматической записи поляризационных кривых вполне оправдывает себя только при употреблении коммутатора. Этот метод для расплавленных солей является достаточно точным и позволяет анализировать кривые без их дополнительной обработки. В этом случае прямой компенсационный метод особых преимуществ перед визуальным снятием кривых не имеет.

Уральский политехнический институт  
им. С. М. Кирова  
Свердловск

Поступила  
9.I.1955

#### ЛИТЕРАТУРА

1. Ю. К. Делимарский, Усп. хим., 23, 766, 1954.
2. Г. А. Абрамов, М. М. Ветюков, Н. П. Гунадо, А. А. Костюков, Л. Н. Ложкин, Теоретические основы электрометаллургии алюминия, Металлургия, 1953.
3. P. Drossbach, Zs. Elektrochem., 42, 65, 1936.
4. С. И. Ремпель, Л. П. Ходак, Журн. прикл. химии, 26, 931, 1950.

## ДИСКУССИЯ

## МЕХАНИЗМ ВЛИЯНИЯ ИОНОВ ЩЕЛОЧНЫХ МЕТАЛЛОВ НА ПРОЦЕСС ЭЛЕКТРООСАЖДЕНИЯ МЕДИ

Н. В. Николаева и Б. Б. Дамаскин

В работе Р. М. Васенина и С. В. Горбачева [1] разбирается механизм влияния катионов металлов на процесс электроосаждения меди. Влияние радиуса катионов фона на процессы электровосстановления было изучено Герасименко и Слендином [2] на примере восстановления иона водорода на ртутном электроде и Н. А. Изгарышевым и Х. М. Равиковичем [3] при электровосстановлении никеля. И. Жежуля [4], исследовавший влияние катионов щелочных и щелочно-земельных металлов на электровосстановление ионов  $S_4O_6^{2-}$  и  $S_2O_8^{2-}$ , нашел, что при переходе от  $0,2N$  LiCl к  $0,2N$  CsCl при постоянной плотности тока наблюдается сдвиг потенциала, равный примерно  $0,5V$ . В нашей лаборатории проведено исследование влияния радиуса катионов щелочных и щелочно-земельных металлов на восстановление аниона персульфата. При добавке к  $0,001N$  раствору  $K_2S_2O_8$   $0,01N$  растворов хлоридов щелочных металлов мы получили при  $i = \text{const}$  сдвиг потенциала, при переходе от  $Cs^+$  к  $Li^+$  доходящий до  $1V$ . Такое влияние радиуса катионов на процессы электровосстановления можно объяснить различием в распределении потенциала в электрическом поле двойного слоя в присутствии катионов различного радиуса.

Рассматриваемые процессы протекают на границе раздела между раствором и металлом, который несет отрицательный заряд. В присутствии слабее гидратированных и сильнее адсорбирующихся катионов, как, например,  $Cs^+$ , двойной слой должен иметь менее диффузное строение, чем в присутствии ионов  $Li^+$  той же концентрации. Из теории замедленного разряда в согласии с опытом следует, что уменьшение диффузности должно привести к замедлению скорости разряда положительного иона водорода [5] и увеличению скорости разряда отрицательно заряженных ионов [6], например,  $S_2O_8^{2-}$  и  $S_4O_6^{2-}$  [6]. В основе этих расчетов лежит предположение, что заполнение поверхности электрода ионами, знак заряда которых обратен знаку заряда поверхности электрода, невелико [5]. Это предположение широко используется в современной теории двойного слоя [7].

В работе Р. М. Васенина и С. В. Горбачева [1] для объяснения основной части данных по влиянию катионов фона на процессы электровосстановления, полученных ими, а также известных из литературы, выдвинуто иное предположение о полном заполнении поверхности электрода нереагирующими посторонними катионами, которые, по мнению авторов, затрудняют подачу реагирующего вещества к поверхности электрода. Это положение они обосновывают приведенным в статье расчетом числа ионов, притянутых к поверхности электрода. Согласно этому расчету число ионов, притянутых к поверхности электрода, превышает число ионов, необходимое для заполнения поверхности. Расчет, приведенный в статье [1], оказался ошибочным, на что в дальнейшем указали сами авторы [8]. Ошибка в расчете Р. М. Васенина и С. В. Горбачева вызвана тем, что, выразив величину емкости в абсолютных электростатических единицах, они при вычислении заряда не перевели в абсолютные электростатические единицы потенциал электрода, выраженный в вольтах. Это привело к тому, что число ионов, адсорбирующихся на поверхности электрода, было завышено в 300 раз. Как указывают авторы, при правильном расчете число ионов получается равным  $2,25 \cdot 10^{11}$  вместо  $6,75 \cdot 10^{13}$ . При числе ионов, равном  $2,25 \cdot 10^{11}$  на  $10^{-2} \text{ см}^2$  поверхности электрода, площадь, приходящаяся на каждый катион, составляет  $4 \cdot 10^{-14} \text{ см}^2$ , что более чем на порядок превышает площадь, которая действительно может быть занята катионами. Иными словами, при правильном расчете числа ионов на электроде мы не получаем ни полного, ни даже значительного заполнения поверхности электрода посторонними катионами, в противоположность тому, что утверждается в статье Р. М. Васенина и С. В. Горбачева. Однако авторы, исправив ошибку в расчете, не указали, что их основной вывод о полном заполнении поверхности электрода нереагирующими посторонними катионами, отличный от получавшегося в других работах, основан на неправильном расчете и, следовательно, неверен.

ЛИТЕРАТУРА

1. Р. М. Васенин, С. В. Горбачев, Журн. физ. химии, 28, 2156, 1954.
2. Р. Негасуменко, J. Slendyk, Zs. phys. Chem., A 149, 123, 1930.
3. Н. А. Изгарышев, Х. М. Равикович, ЖРФ-ХО, часть хим., 62, 255, 1930.
4. J. Žežula, Chem. listy, 47, 492, 1303, 1953.
5. A. Frumkin, Zs. phys. Chem., A 164, 121, 1933.
6. А. Н. Фрумкин, Г. М. Флорианович, ДАН, 80, 907, 1951;  
А. Н. Фрумкин, Вестн. Моск. ун-та, 9, 37, 1952.
7. А. Н. Фрумкин, Б. С. Багоцкий, З. А. Иофа, Б. Н. Кабанов,  
Кинетика электродных процессов, Изд-во МГУ, 1952.
8. Исправления к статье Р. М. Васенина и С. В. Горбачева, Журн. физ. химии, 29,  
951, 1955.



## ОТВЕТ П. И. БЕЛЬКЕВИЧУ НА ЕГО «КРИТИЧЕСКИЕ ЗАМЕЧАНИЯ»

М. М. Павлюченко

«Критические замечания» П. И. Белькевича появились по причине того, что их автор стал на путь искажения некоторых основных положений, изложенных в статье [1].

Сущность этих положений в том, что атомы или радикалы, возникающие во время реакции, вступают в химическое взаимодействие с молекулами исходного вещества, которое может осуществляться как на границе раздела исходное вещество—продукт реакции, так и вдали от нее, на поверхности твердого реагирующего вещества. В последнем случае взаимодействие будет приводить к образованию новых активных центров, от которых реакция будет распространяться во всех направлениях до тех пор, пока зоны от отдельных центров не сожмутся. Эти представления при детальном рассмотрении механизма приводят нас к уравнению

$$r = kc^{pt},$$

которое получено Семеновым [2] для цепных гомогенных реакций и затем применено Гарнером для реакций разложения азидов и других взрывчатых веществ.

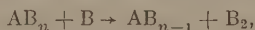
П. И. Белькевич в своих «Критических замечаниях» совершенно извратил излагаемый нами механизм возникновения активных центров. Он пишет: «М. М. Павлюченко в основу вывода уравнения (I) кладет взаимоисключающие представления. С одной стороны, он рассматривает ход реакции, как идущий через рост объемных ядер твердого продукта...»

С другой стороны, М. М. Павлюченко рассматривает процесс образования новых центров, от которых происходит рост ядер твердого продукта, как цепной процесс, идущий через образование свободных атомов и радикалов, причем по М. М. Павлюченко, образование таких центров происходит на поверхности кристаллов в пределах круга с радиусом  $(t - \tau)v$ , описанного вокруг центра, возникшего в момент времени  $t$ . Таким образом получается, что новые центры реакции возникают в пределах уже растущего ядра твердого продукта. И дальше на основании изложенного он продолжает:

«Выводы дальнейших формул, содержащихся в статье М. М. Павлюченко, являются по этой причине чисто математическими упражнениями, не имеющими под собой физической основы», а в действительности П. И. Белькевич настолько искажил весь ход рассуждения, что в его реакции рассматриваемые положения лишены физического смысла.

Подчеркнутые нами места являются основным содержанием «Критических замечаний» П. И. Белькевича. Я нигде в своей работе не указываю, что центры возникают в пределах круга с радиусом  $(t - \tau)v$ , а тем более в пределах уже растущего ядра твердого продукта, так как это является абсурдом. Прежде чем приписывать мне то, о чем я не писал, следовало бы из моей работы привести цитату, подтверждающую правильность изложенного. Этого Белькевич сделать не мог и не может, так как его замечания являются вымыслом.

Атомы или радикалы, принимающие участие в образовании активных центров на поверхности, возникают на границе раздела, представляющей собой окружность. Путем диффузии в двухмерном или трехмерном пространстве они распределяются по всей поверхности и, следовательно, центры, возникающие при их взаимодействии с молекулами непрореагировавшего вещества, также распределяются по всей поверхности, а не в пределах круга растущего ядра, как это пытается представить П. И. Белькевич. В нашей статье указывается, что центры могут возникать только по реакции



а там, где образовалось ядро продукта реакции, нет молекул исходного вещества —  $AB_n$  и, следовательно, не могут возникать активные центры.

Таким образом, «Критические замечания» П. И. Белькевича основаны либо на непонимании предложенного нами механизма возникновения активных центров и их роста, либо на сознательном извращении развиваемых мною положений с целью ввести читателя в заблуждение и снизить уровень опубликованной работы.

Поступила  
1.VI.1956

### ЛИТЕРАТУРА

1. М. М. Павлюченко, Журн. физ. химии, **29**, 996, 1955.
2. Н. Н. Семенов. Цепные реакции, Госхимтехиздат, 1934, стр. 88.

## ПИСЬМА В РЕДАКЦИЮ

## НЕКОТОРЫЕ НОВЫЕ ДАННЫЕ О СПЕКТРАХ КОМБИНАЦИОННОГО РАССЕЯНИЯ ДВУХКОМПОНЕНТНЫХ СТЕКОЛ

Я. С. Бобович и Т. П. Тулуб

Поляризационными измерениями комбинационного рассеяния некоторых двухкомпонентных стекол с небольшим содержанием щелочи (около 20 мол. %) нами совместно с О. П. Гириным [1] было показано, что три слабые полосы спектра 696, 790 и 965  $\text{см}^{-1}$  деполаризованы, а три интенсивные полосы 525, 1080 и 1170  $\text{см}^{-1}$  поляризованы. В спектре двухкомпонентных стекол мы обнаружили сильно поляризованное, сплошное комбинационное рассеяние, подобное рассеянию

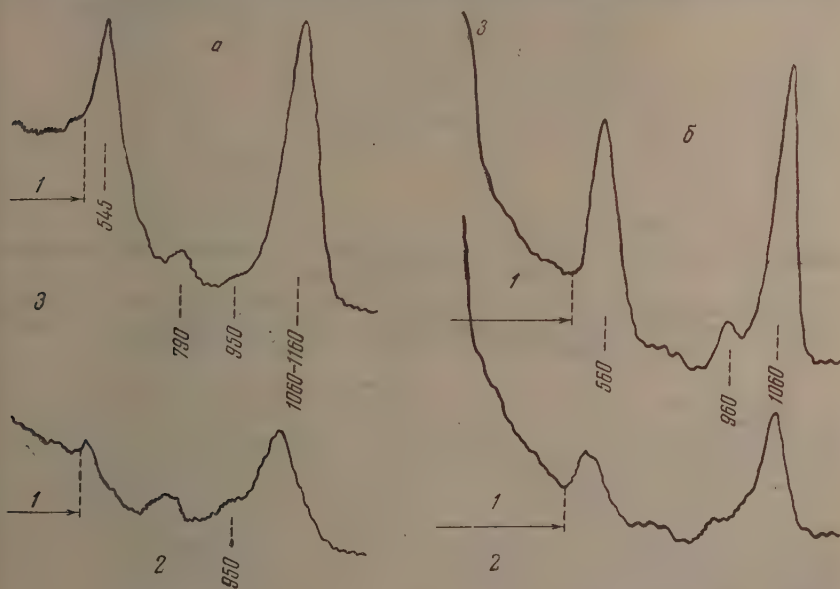


Рис. 1, а — поляризационный спектр стекла Na-30, б — поляризационный спектр стекла Na-33,3. 1 — сплошное комбинационное рассеяние; 2 — слабый компонент; 3 — интенсивный компонент

плавленом кварце, однако уступающее ему по интенсивности. На основании сопоставления полученных данных с поляризационным спектром плавленого кварца [2], с одной стороны, и с инфракрасными спектрами и спектрами комбинационного рассеяния стекол различного состава [3,4], с другой, нами был сделан вывод, что исследованные стекла состоят из силикатных цепей и кварцеподобных островков. Предлагалось также возможным выделить из спектра полосы, приписанные колебаниям цепей, и применить для проверки выводов метод расчета частот.

В настоящей заметке излагаются результаты поляризационных измерений, распространенных на ряд натриевосиликатных стекол состава (в мол. %) Na-23 Na-26, а-30, Na-33,3 (бисиликат натрия), Na-50 (метасиликат натрия), а также свинцовосиликатное стекло Pb-50 (метасиликат свинца). При этом нами обнаружено следующее.

Поляризационные спектры стекол Na-23, Na-26 и Na-30 практически не отличаются от ранее полученных нами спектров. Существенные изменения наступают в области бисиликата. Для иллюстрации этих изменений на рис. 1, а и б приведены спектры стекол Na-30 и Na-33,3 соответственно\*. Видно, что вместо слабой, деполаризованной полосы  $950\text{ см}^{-1}$ , характерной для стекол с небольшим содержанием щелочи в спектре бисиликата появляется заметно более интенсивная поляризованная полоса  $960\text{ см}^{-1}$ . Считать эти полосы аналогами, как это делается авторами в [3], очевидно нельзя. Они относятся к различным типам колебаний. Вряд ли небольшой (3,3%) избыток катионов при постепенном изменении структуры стекла способен был бы вызвать подобные изменения. Здесь может идти речь, скорее, о качественном скачке — о появлении новой структуры. Именно в этой области М. Ф. Вуксом и В. А. Иоффе [6] наблюдались отступления от регулярности в ходе частот для всех линий комбинационного спектра. Правда, позже в работе Е. Ф. Гросса и В. А. Колесовой [3] этот результат не подтвердился. Однако наличие структурных скачков в области бисиликата по инфракрасным спектрам неоднократно наблюдала В. А. Флоринская [7].

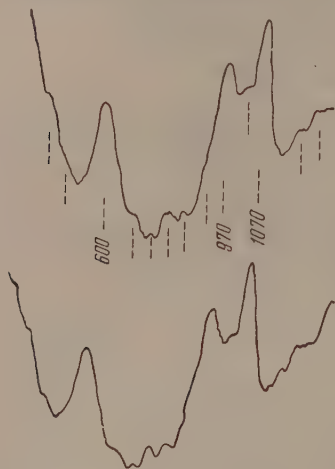


Рис. 2



Рис. 3

Рис. 2. Спектр стекла Na-50 в естественном свете, записанный дважды для иллюстрации воспроизводимости

Рис. 3. Поляризационный спектр стекла Na-50. Вследствие больших натяжений в образце степень деполаризации сильно поляризованных полос несколько завышена. 1 — интенсивный компонент; 2 — слабый компонент

Характерная особенность спектра метасиликата состоит, прежде всего, в том, что он богаче полосами по сравнению со спектрами стекол предшествующих составов. Это хорошо видно на рис. 2, на котором для иллюстрации воспроизводимости приведены две последовательно произведенные записи. Если бы стекло данного состава в структурном отношении представляло собой только бесконечную, пространственно изогнутую цепочку, то его спектр безусловно был бы проще, например, спектра стекла Na-30 (рис. 1, а). Другая особенность метасиликата натрия отчетливо выявляется в спектре, полученном в поляризованном свете (рис. 3). Мы видим, что ранее поляризованная интенсивная полоса  $\nu \sim 1070\text{ см}^{-1}$  становится деполаризованной, или, в крайнем мере, частично поляризованной; напротив, интенсивная полоса  $970\text{ см}^{-1}$  сильно поляризована. Создается впечатление, что те изменения, которые в виде качественного скачка только намечались в спектре бисиликата, накапливаясь в стеклах промежуточных составов, здесь усилились и, возможно, дополнились новыми изменениями.

Спектр метасиликата свинца (запись которого мы не приводим) значительно проще спектра метасиликата натрия. В области больших частот он характеризуется широкой и интенсивной полосой с максимумом у  $958\text{ см}^{-1}$ , имеющей тонкую структуру. Полоса вся целиком одинаково поляризована. В этом отношении она существенно отличается от полос  $970\text{—}1070\text{ см}^{-1}$  метасиликата натрия, чьими аналогами ее, естественно, можно было бы считать. Интерпретировать эти факты мы пока затрудняемся.

Отметим, что по виду наш спектр метасиликата напоминает полученный ранее в работе [6] и отличается от спектра, приведенного в работе [3]. Повидимому, это объясняется различным строением исследованных образцов, связанным с условиями варки стекол и их тепловой историей, а не с ошибками эксперимента. Возможны также небольшие вариации состава стекла.

\* Здесь, как и в дальнейшем, приводятся поляризационные спектры, полученные при широкой апертуре возбуждающего пучка. В действительности слабая компонент должна быть еще несколько слабее [5].

В результате нашего исследования также показано, что по мере обогащения стекла щелочью ослабляется сплошное комбинационное рассеяние. Это отчетливо видно, например, из сравнения спектров стекол Na-30 и Na-33,3 (рис. 1, а и б). Данный факт находится в хорошем согласии со сделанным нами ранее предположением, что в двухкомпонентном стекле сплошное комбинационное рассеяние возникает за счет кварцеподобных островков.

Таким образом, из данных нашего исследования можно сделать вывод, что стекло представляет собой сложную систему, состоящую из разных структурных элементов. К аналогичному выводу ранее пришла В. А. Флоринская [7] в результате изучения стекол в инфракрасной области спектра. Выяснение природы этих структурных элементов стекла требует дальнейших исследований.

Авторы благодарят А. Н. Теренина за внимание к настоящей работе.

Поступило  
6.XII.1955

#### ЛИТЕРАТУРА

1. Я. С. Бобович, О. П. Гирин, Т. П. Тулуб, ДАН, 105, 1, 1955.
2. M. Naggard, S. R., 238, 784, 1954.
3. Е. Ф. Гросс, В. А. Колесова, Журн. физ. химии, 26, 1673, 1952.
4. F. Matossi, H. Bluschke, Zs. f. Phys., 108, 295, 1938.
5. Я. С. Бобович, Д. Б. Гуревич, ДАН, 85, 521, 1952.
6. М. В. Вукс, В. А. Иоффе, Изв. АН СССР, сер. техн., № 3, 61, 1938.
7. В. А. Флоринская, Доклад на Совещании по строению стекла, Изд-во АН СССР, Л. 1952.



## РЕЦЕНЗИИ

Справочник экспериментальных данных по растворимости многокомпонентных водно-солевых систем. Том II. Четырехкомпонентные и более сложные системы. Составители: А. Б. Здановский, Е. И. Ляховская, Р. Э. Шлеймович. Редакционная коллегия: Б. М. Букштейн, М. Г. Валяшко, А. Д. Пельш. Госхимиздат, Ленинград, 1954, тираж 5000, ц. 23 р. 20 к. Ответственные редакторы И. М. Хентов и В. А. Кош

Рецензируемый второй том Справочника завершает большую работу, которую проводили составители по подбору и систематизации данных по растворимости различных многокомпонентных водно-солевых систем.

Как и в первом томе Справочника, во втором томе представлен богатейший экспериментальный материал, полученный в результате исследований многочисленного коллектива отечественных и зарубежных ученых. Этот чрезвычайно ценный фактический материал приведен в Справочнике в виде удобных для пользования таблиц.

В дополнение к первому тому Справочника, в котором содержатся данные по растворимости трехкомпонентных солевых систем, во втором томе рассматриваются четырехкомпонентные и более сложные системы, образованные нижеследующими катионами:  $H^+$ ,  $Li^+$ ,  $Na^+$ ,  $K^+$ ,  $Rb^+$ ,  $Cs^+$ ,  $NH_4^+$ ,  $Mg^{++}$ ,  $Ca^{++}$ ,  $Sr^{++}$ ,  $Ba^{++}$  и анионами  $F^-$ ,  $Cl^-$ ,  $Br^-$ ,  $J^-$ ,  $SO_4^{--}$ ,  $HCO_3^-$ ,  $CO_3^{--}$ ,  $OH^-$ ,  $BO_2^-$ ,  $BO_3^{--}$ ,  $B_4O_7^{--}$ ,  $B_5O_8^{--}$ .

Помещенные во втором томе Справочника данные по растворимости рассматриваемых солевых систем сгруппированы в пять разделов:

1. Четырехкомпонентные водные системы с общим ионом.
2. Четырехкомпонентные системы в смешанном растворителе  $NH_3-H_2O$ .
3. Взаимные водные системы с высшей компонентностью, равной четырем.
4. Водные системы с общим ионом с высшей компонентностью более четырех.
5. Взаимные водные системы с высшей компонентностью более четырех.

Более половины второго тома Справочника (400 страниц из 600) по праву занимают 1-й и 3-й разделы.

Данные по растворимости, приведенные для водно-солевых систем, помещенных во всех разделах Справочника, являются не только ценными, но и необходимыми научным работникам-исследователям, инженерам и техникам при разработке и усовершенствовании технологических процессов в производстве разнообразных минеральных солей, реактивов, удобрений. Они также нужны геохимикам и геологам при изучении многих процессов, связанных с накоплением и кристаллизацией солей в природных условиях — в соляных озерах, мелководных морских заливах, в искусственных бассейнах на галургических предприятиях.

Эти данные помогают также геологам яснее понять закономерности формирования солевых месторождений, а почвоведом — постигнуть причины засоления и раскисления почв.

При размещении таблиц в Справочнике составители руководствовались положением элементов в периодической системе Д. И. Менделеева, располагая в соответствии с ней в той же последовательности водно-солевые системы, причем учитывалось положение того или другого иона в ряду катионов. Например, каждый раздел открывается системой, в состав которой входят электролиты с ионами:  $H^+$ ,  $Li^+$ ,  $Na^+$  и т. д.

В 3-м и 5-м разделах Справочника, посвященных взаимным водным системам (например,  $2 NaCl + CaSO_4 = Na_2SO_4 + CaCl_2$ ), этот принцип размещения материала также сохраняется.

В конце книги в нескольких небольших разделах приведены данные по растворимости электролитов в морской воде, составу морской воды, физико-химической характеристике минералов и некоторых химических соединений, что значительно обогащает Справочник.

Две страницы отведены испарению и охлаждению природных рассолов. Вызывает недоумение, почему в этом разделе вместо табличных данных помещен только список литературы, к тому же далеко не полный.

Второй том Справочника, в отличие от первого, снабжен авторским указателем (к обоим томам), а также указателями солевых систем (также к обоим томам) как в ионном выражении, так и в виде химических соединений.

Следует также отметить большое внимание, проявленное Ленинградским отделением Госхимиздата к выпуску Справочника. И. М. Хентов и В. А. Кош (отв. редакторы Справочника) приложили много усилий к тому, чтобы Справочник был издан в более короткие сроки и полиграфически лучше оформлен.

Несмотря на исправление составителями ряда недостатков, отмеченных нами в

цензии для первого тома Справочника (Журнал химической промышленности, № 3, 1954), все же и второй том Справочника не лишен некоторых недочетов.

В рецензируемом томе Справочника весь материал по растворимости размещен: для четырехкомпонентных систем — в трех разделах, для более сложных систем — двух, что вряд ли может быть оправдано, точно так же, как нельзя согласиться и с размещением в первом томе Справочника данных по растворимости в трехкомпонентных системах в трех разделах. Как указывалось нами в рецензии по первому тому Справочника, такая система расположения данных по растворимости является не совсем удачной и несколько затрудняет пользование Справочником.

Можно выразить сожаление, что составители Справочника, отказавшись от оправдавшей себя классификации систем, принятой в Справочнике физических, химических и технологических величин Технической энциклопедии, заменили ее менее совершенной.

При последующих переизданиях Справочника составители его непременно должны учесть это замечание и обратить особое внимание на разработку строгой и единой классификации солевых систем как по разделам (двух, трех, четырех- и т. д. компонентные системы), так и внутри их. Повидимому, использование в Справочнике расположения ионов в ряду нормальных электродных потенциалов как для катионов, так и для анионов было бы наиболее строгим, а поэтому и правильным.

Далее несколько замечаний следует сделать и по методике выражения солевого состава четырехкомпонентной взаимной водной системы:  $2\text{NaCl} + \text{MgSO}_4 = \text{Na}_2\text{SO}_4 + \text{MgCl}_2$ . Обычно в научно-технической литературе принято давать индексы для  $\text{Mg}^{++}$  и  $\text{SO}_4^{--}$ . Однако составители Справочника почему-то заменили индекс  $\text{Mg}^{++}$  индексом  $2\text{Na}$ , индекс  $\text{SO}_4^{--}$  оставили без изменения, хотя логично было бы его в этом случае заменить индексом  $2\text{Cl}$ . Следует сказать, что такая замена не вызывается необходимостью.

К числу других недостатков относится совершенно недостаточное число рисунков в Справочнике (во втором томе всего 21 рисунок).

Необходимо особо подчеркнуть, что диаграммы, иллюстрирующие как изотермы, так и политермы растворимости в солевых системах, являются необходимым дополнением к табличным данным, без наличия которых Справочник по растворимости в этом отношении проигрывает. Конечно, можно было бы выпустить отдельным изданием атлас диаграмм, но и это все же не устраняет указанного существенного недостатка.

При переиздании Справочника, который несомненно является весьма ценным и полезным изданием, необходимо устранить этот недостаток — увеличить количество физического материала и поместить его совместно с таблицами. Для этого потребуются увеличение формата Справочника до размера справочника Технической энциклопедии, увеличение формата Справочника по растворимости сделать его более удобным в пользовании и облегчит работу типографии при верстке.

Мы полагаем, что высказанные нами замечания будут учтены составителями и издательством при переиздании этого весьма нужного и несомненно полезного труда.

Е. И. Агунов и Б. Я. Розен

## ХРОНИКА

ОТ КОМИССИИ ПО НОМЕНКЛАТУРЕ ХИМИЧЕСКИХ  
СОЕДИНЕНИЙ ПРИ ОХН АН СССР

Отделение химических наук АН СССР образовало Комиссию по номенклатуре химических соединений.

Комиссия собирает и изучает материалы по номенклатуре органических и неорганических соединений на различных языках, имея целью разработку и введение практики на языках народов СССР научной номенклатуры химических соединений.

В настоящее время Комиссия работает над проектами номенклатуры, которые должны быть опубликованы в печати и обсуждены на широком совещании, созываемом Отделением химических наук в первом квартале 1957 г. Этому должно предшествовать широкое общественное обсуждение указанных проектов.

К числу основных документов, поступивших в Комиссию, относятся:

## А. ПО НОМЕНКЛАТУРЕ ОРГАНИЧЕСКИХ СОЕДИНЕНИЙ:

1) Женевские правила 1892 г. и их модификация в 4-м издании справочника Бейльштейна; 2) Правила Международного Союза чистой и прикладной химии, принятые в 1930—1953 гг.; 3) Проект систематической номенклатуры органических соединений на русском языке; 4) Проект номенклатуры углеводородов и основных гетероциклических ядер Международного союза чистой и прикладной химии (1955 г.); 5) Новые предложения Дайсона, Тейлора и Паттерсона по номенклатуре спращенных циклических структур (1955).

## Б. ПО НОМЕНКЛАТУРЕ НЕОРГАНИЧЕСКИХ СОЕДИНЕНИЙ:

1) Материалы номенклатурных комиссий Менделеевских съездов, представленные А. Х. Берком; 2) Правила Международного союза чистой и прикладной химии.

Материалы А 1—3 опубликованы в книге А. П. Терентьева и др. «Номенклатура органических соединений». Изд-во АН СССР, М., 1955 г.

Материал Б пп. 1 см. Усп. химии, 6, 605—621 — там же подробная библиография 924, 1251, 1723 (1937). Прочие материалы будут опубликованы Комиссией.

Комиссия обращается к предприятиям химической промышленности, научным исследовательским институтам, высшим учебным заведениям, книжным издательствам, редакциям журналов и отдельным лицам с просьбой сообщать свои предложения, замечания или пожелания по вопросам номенклатуры органических и неорганических соединений.

Корреспонденцию направлять по адресу: Москва, Б. Калужская 14, ОХН, Комиссия по номенклатуре, или непосредственно председателю Комиссии — чл. корр. АН СССР А. П. Терентьеву (Москва В—234, МГУ, химический факультет).

\* \* \*

Комиссия по номенклатуре химических соединений ОХН АН СССР рекомендует в печати и педагогической практике на русском языке пользоваться официальными названиями и символами химических элементов, приведенными в прилагаемой таблице (см. стр. 663).

В таблице приводятся также атомные веса элементов, утвержденные Международной комиссией по атомным весам в 1953 г. и действительные на 1956 г. Union internationale de Chimie pure et appliquée. Comptes Rendus de la XVII Conférence 1953, Journ. Amer. Chem. Soc., 76, 2033, 1954.

Для некоторых радиоактивных элементов приведены не атомные веса, а массовые числа наиболее долго живущих изотопов, поставленные в квадратных скобках.

Эти величины приведены по литературным данным на 1 января 1956 г. По сравнению с величинами, утвержденными Международной комиссией, внесены следующие изменения.

Берклий. Прежняя величина 245, период полураспада 4,95 дня. Рекомендована величина 249, период полураспада 290 дней. Приняты на основании данных Даймонда и Магнуссона и др. [Phys. Rev., 94, 1953, 96, 1576, (1954)].

Символы и названия химических элементов и атомные веса на 1956 г.

Название	Символ	Атом- ный номер	Атомный вес	Название	Символ	Атом- ный номер	Атомный вес
Водород	H	1	1,0080	Неодим	Nd	60	144,27
Литий	Li	3	6,940	Неон	Ne	10	20,183
Бериллий	Be	4	9,013	Нептуний	Np	93	[237]
Бор	B	5	10,82	Никель	Ni	28	58,69
Углерод	C	6	12,011	Ниобий	Nb	41	92,91
Азот	N	7	14,008	Олово	Sn	50	118,70
Кислород	O	8	16	Осмий	Os	76	190,2
Фтор	F	9	19,00	Палладий	Pd	46	106,7
Неон	Ne	10	20,183	Платина	Pt	78	195,33
Содий	Na	11	22,991	Плутоний	Pu	94	[242]
Магний	Mg	12	24,32	Полоний	Po	84	210
Алюминий	Al	13	26,98	Празеодим	Pr	59	140,92
Силиций	Si	14	28,09	Прометий	Pm	61	[145]
Фосфор	P	15	30,975	Протактиний	Pa	91	231
Сера	S	16	32,066	Радий	Ra	88	226,05
Хлор	Cl	17	35,457	Радон	Rn	86	222
Аргон	Ar	18	39,944	Рений	Re	75	186,31
Кальций	Ca	20	40,08	Родий	Rh	45	102,91
Ванadium	V	23	50,95	Ртуть	Hg	80	200,61
Хром	Cr	24	52,01	Рубидий	Rb	37	85,48
Марганец	Mn	25	54,94	Рутений	Ru	44	101,1
Железо	Fe	26	55,85	Самарий	Sm	62	150,43
Кобальт	Co	27	58,94	Свинец	Pb	82	207,21
Никель	Ni	28	58,69	Селен	Se	34	78,96
Медь	Cu	29	63,54	Сера	S	16	32,066
Цинк	Zn	30	65,38	Серебро	Ag	47	107,880
Олово	Sn	50	118,70	Скандий	Sc	21	44,96
Свинец	Pb	82	207,21	Стронций	Sr	38	87,63
Уран	U	92	238,07	Сурьма	Sb	51	121,76
Платина	Pt	78	195,33	Таллий	Tl	81	204,39
Золото	Au	79	197,0	Тантал	Ta	73	180,95
Серебро	Ag	47	107,880	Теллур	Te	52	127,61
Медь	Cu	29	63,54	Тербий	Tb	65	158,93
Железо	Fe	26	55,85	Технеций	Tc	43	[99]
Кобальт	Co	27	58,94	Титан	Ti	22	47,90
Никель	Ni	28	58,69	Торий	Th	90	232,05
Медь	Cu	29	63,54	Тулий	Tu	69	168,94
Цинк	Zn	30	65,38	Углерод	C	6	12,011
Олово	Sn	50	118,70	Уран	U	92	238,07
Свинец	Pb	82	207,21	Фермий	Fm	100	[255]
Уран	U	92	238,07	Фосфор	P	15	30,975
Платина	Pt	78	195,33	Франций	Fr	87	[223]
Золото	Au	79	197,0	Фтор	F	9	19,00
Серебро	Ag	47	107,880	Хлор	Cl	17	35,457
Медь	Cu	29	63,54	Хром	Cr	24	52,01
Железо	Fe	26	55,85	Цезий	Cs	55	132,91
Кобальт	Co	27	58,94	Церий	Ce	58	140,13
Никель	Ni	28	58,69	Цинк	Zn	30	65,38
Медь	Cu	29	63,54	Цирконий	Zr	40	91,22
Цинк	Zn	30	65,38	Эйнштейний	En	99	[253]
Олово	Sn	50	118,70	Эрбий	Er	68	167,2
Свинец	Pb	82	207,21				
Уран	U	92	238,07				
Платина	Pt	78	195,33				
Золото	Au	79	197,0				
Серебро	Ag	47	107,880				
Медь	Cu	29	63,54				
Железо	Fe	26	55,85				
Кобальт	Co	27	58,94				
Никель	Ni	28	58,69				
Медь	Cu	29	63,54				
Цинк	Zn	30	65,38				
Олово	Sn	50	118,70				
Свинец	Pb	82	207,21				
Уран	U	92	238,07				
Платина	Pt	78	195,33				
Золото	Au	79	197,0				
Серебро	Ag	47	107,880				
Медь	Cu	29	63,54				
Железо	Fe	26	55,85				
Кобальт	Co	27	58,94				
Никель	Ni	28	58,69				
Медь	Cu	29	63,54				
Цинк	Zn	30	65,38				
Олово	Sn	50	118,70				
Свинец	Pb	82	207,21				
Уран	U	92	238,07				
Платина	Pt	78	195,33				
Золото	Au	79	197,0				
Серебро	Ag	47	107,880				
Медь	Cu	29	63,54				
Железо	Fe	26	55,85				
Кобальт	Co	27	58,94				
Никель	Ni	28	58,69				
Медь	Cu	29	63,54				
Цинк	Zn	30	65,38				
Олово	Sn	50	118,70				
Свинец	Pb	82	207,21				
Уран	U	92	238,07				
Платина	Pt	78	195,33				
Золото	Au	79	197,0				
Серебро	Ag	47	107,880				
Медь	Cu	29	63,54				
Железо	Fe	26	55,85				
Кобальт	Co	27	58,94				
Никель	Ni	28	58,69				
Медь	Cu	29	63,54				
Цинк	Zn	30	65,38				
Олово	Sn	50	118,70				
Свинец	Pb	82	207,21				
Уран	U	92	238,07				
Платина	Pt	78	195,33				
Золото	Au	79	197,0				
Серебро	Ag	47	107,880				
Медь	Cu	29	63,54				
Железо	Fe	26	55,85				
Кобальт	Co	27	58,94				
Никель	Ni	28	58,69				
Медь	Cu	29	63,54				
Цинк	Zn	30	65,38				
Олово	Sn	50	118,70				
Свинец	Pb	82	207,21				
Уран	U	92	238,07				
Платина	Pt	78	195,33				
Золото	Au	79	197,0				
Серебро	Ag	47	107,880				
Медь	Cu	29	63,54				
Железо	Fe	26	55,85				
Кобальт	Co	27	58,94				
Никель	Ni	28	58,69				
Медь	Cu	29	63,54				
Цинк	Zn	30	65,38				
Олово	Sn	50	118,70				
Свинец	Pb	82	207,21				
Уран	U	92	238,07				
Платина	Pt	78	195,33				
Золото	Au	79	197,0				
Серебро	Ag	47	107,880				
Медь	Cu	29	63,54				
Железо	Fe	26	55,85				
Кобальт	Co	27	58,94				
Никель	Ni	28	58,69				
Медь	Cu	29	63,54				
Цинк	Zn	30	65,38				
Олово	Sn	50	118,70				
Свинец	Pb	82	207,21				
Уран	U	92	238,07				
Платина	Pt	78	195,33				
Золото	Au	79	197,0				
Серебро	Ag	47	107,880				
Медь	Cu	29	63,54				
Железо	Fe	26	55,85				
Кобальт	Co	27	58,94				
Никель	Ni	28	58,69				
Медь	Cu	29	63,54				
Цинк	Zn	30	65,38				
Олово	Sn	50	118,70				
Свинец	Pb	82	207,21				
Уран	U	92	238,07				
Платина	Pt	78	195,33				
Золото	Au	79	197,0				
Серебро	Ag	47	107,880				
Медь	Cu	29	63,54				
Железо	Fe	26	55,85				
Кобальт	Co	27	58,94				
Никель	Ni	28	58,69				
Медь	Cu	29	63,54				
Цинк	Zn	30	65,38				
Олово	Sn	50	118,70				
Свинец	Pb	82	207,21				
Уран	U	92	238,07				
Платина	Pt	78	195,33				
Золото	Au	79	197,0				
Серебро	Ag	47	107,880				
Медь	Cu	29	63,54				
Железо	Fe	26	55,85				
Кобальт	Co	27	58,94				
Никель	Ni	28	58,69				
Медь	Cu	29	63,54				
Цинк	Zn	30	65,38				
Олово	Sn	50	118,70				
Свинец	Pb	82	207,21				
Уран	U	92	238,07				
Платина	Pt	78	195,33				
Золото	Au	79	197,0				
Серебро	Ag	47	107,880				
Медь	Cu	29	63,54				
Железо	Fe	26	55,85				
Кобальт	Co	27	58,94				
Никель	Ni	28	58,69				
Медь	Cu	29	63,54				
Цинк	Zn	30	65,38				
Олово	Sn	50	118,70				
Свинец	Pb	82	207,21				
Уран	U	92	238,07				
Платина	Pt	78	195,33				
Золото	Au	79	197,0				
Серебро	Ag	47	107,880				
Медь	Cu	29	63,54				
Железо	Fe	26	55,85				
Кобальт	Co	27	58,94				
Никель	Ni	28	58,69				
Медь	Cu	29	63,54				
Цинк	Zn	30	65,38				
Олово	Sn	50	118,70				
Свинец	Pb	82	207,21				
Уран	U	92	238,07				
Платина	Pt	78	195,33				
Золото	Au	79	197,0				
Серебро	Ag	47	107,880				
Медь	Cu	29	63,54				
Железо	Fe	26	55,85				
Кобальт	Co	27	58,94				
Никель	Ni	28	58,69				
Медь	Cu	29	63,54				
Цинк	Zn	30	65,38				
Олово	Sn	50	118,70				
Свинец	Pb	82	207,21				
Уран	U	92	238,07				
Платина	Pt	78	195,33				
Золото	Au	79	197,0				
Серебро	Ag	47	107,880				
Медь	Cu	29	63,54				



**Калифорний.** Прежняя величина 248, период полураспада 250 дней. Рекомендуемая величина 249, период полураспада  $470 \pm 100$  лет. Приняты на основании данных Даймонда, Магнуссона и др. [Phys. Rev., 94, 1083, (1953); 96, 1576 (1954)].

В таблицу внесены также полученные в 1951—1955 гг. Сиборгом и др. элементы № 99, № 100 и № 101, для которых указанные исследователи предложили названия № 100 — фермий (Fermium, Fm), № 99 — эйнштейний (Einsteinium, E), № 101 — менделеевий (Mendelevium, Mv) [Phys. Rev., 98, 1518 (1955). Усп. химии, 25, 135 (1956). Усп. химии, 25, 135, 1956)].

Принимая эти названия, Комиссия рекомендует пользоваться для эйнштейния символом Eп, а для менделеевия — символом Md, в соответствии с традиционной практикой образования символов элементов.

Для изотопов, входящих в естественные радиоактивные ряды, как и для изотопов других элементов, рекомендуется не применять ныне устаревших исторических названий, а пользоваться символами элементов, внесенных в официальный список, указывая индексом массовое число изотопа.

Для изотопов водорода и радона (№ 86) разрешается, наряду с рекомендуемым способом обозначения, в необходимых случаях пользоваться следующими названиями и символами: дейтерий D, тритий T, актион Ap, торон Tп.

---

## СОДЕРЖАНИЕ

Н. Поспелова, А. А. Раков и С. Я. Пшежецкий. Электрохимическое исследование свойств поверхностных соединений кислорода на серебре	1433
С. Палатник. Применение обобщенного правила центра тяжести к исследованию многокомпонентных эвтектических сплавов	1438
И. Розловский. Горение смесей окиси азота с водородом. II. Механизм реакции в пламени	1444
И. Кричмар, Л. А. Шапунов и В. П. Галушко. О дифференциальной емкости медных анодов в $H_3PO_4$	1452
Н. Фрумкин, З. А. Иофа и М. А. Герович. К вопросу о разности потенциалов на границе вода — газ	1455
П. Находнова. Электропроводность окислов металлов II группы периодической системы Д. И. Менделеева	1469
А. Богданов и Б. Е. Рубинштейн. К теории совместного действия катализаторов в растворе. III. Кинетика каталитического разложения перекиси водорода при совместном действии сульфата меди и хромата калия	1473
В. Горбачев. Расчет концентрационной поляризации при нестационарном режиме электролиза	1484
А. Измайллов и А. Г. Васильев. Исследование стеклянного электрода методом радиоактивных индикаторов. II. Поведение стеклянного электрода в щелочной области	1500
М. Гриценко и С. С. Медведев. Кинетика и механизм процессов полимеризации, инициированных окислительно-восстановительными системами. II. Полимеризация метакриловой кислоты и нитрила акриловой кислоты в водных растворах в присутствии некоторых окислительно-восстановительных систем	1513
А. Подвязкин и А. И. Шлыгин. Изучение процессов восстановления и электровосстановления аллилового спирта на платинированной платине	1521
С. Уманский и Г. В. Самсонов. Некоторые кристаллохимические особенности силицидов переходных металлов	1526
Ф. Комская и Г. Л. Слонимский. О взаимной растворимости полимеров. I. Физико-механические свойства резин, полученных на основе комбинации различных каучуков	1529
Ф. Марков. Вычисление термодинамических констант ненасыщенных галогенидов по э. д. с. и температурному коэффициенту химических цепей и цепей Даниеля — Якоби	1537
В. Корнев и Е. З. Винтайкин. Изучение сублимации серебра методом радиоактивных индикаторов и при помощи масс-спектрометра	1540
Е. Лудкин. О парах как критерии строения и состояния молекул	1547
И. Зебрева и М. Т. Козловский. Электрохимическое исследование медно-цинковых амальгам	1553
И. Каданер. Аналитический метод расчета распределения тока на электродах	1560
А. Соловьева и О. А. Абраров. Влияние кислотности раствора на катодную поляризацию при электроосаждении кобальта и никеля	1572
А. Долов. Поверхностное натяжение стекла при температуре размягчения	1579
П. Гохштейн. Диффузия электролитов и полирографический метод. Коэффициенты диффузии ионов свинца и кадмия в водных растворах $KCl$ и $KNO_3$ различной концентрации $D_{Cd^{2+}}$ в $0,1 M H_2SO_4$ . Проверка уравнения Шевича для максимального тока осциллографической волны	1584
Н. Шигорин, Н. В. Михайлови О. А. Ключева. Изучение строения полипептидной цепи методом инфракрасных спектров поглощения	1591
Д. Саввина и А. С. Великовский. Равновесие жидкость — пар в бинарных системах метана с углеводородами различных групп	1596
А. Ефимов и <u>Н. А. Изгарышев</u> . Влияние степени окисленности платинового анода на кинетику электрохимического выделения кислорода в растворах серной кислоты	1606
Н. Еремин и А. Н. Мальцев. О стационарных концентрациях окиси азота в разряде. I. Опыты в пироксеном сосуде с воздухом	1615
Н. Фридляндер, В. А. Константинов и Н. И. Зайцева. Исследование параметра кристаллической решетки сплавов алюминий — марганец после различных видов термической обработки	1623

Г. Л. Старобинец. Сорбция бинарных растворов вулканизатами натурального и синтетического каучука. I. Изотермы эффективной сорбции . . . . .	1626
А. А. Баландин и А. А. Толстойтова. Кинетическое определение энергий связи, как подход к теории подбора катализаторов. III. Сравнение результатов для окиси хрома . . . . .	1636
Я. М. Варшавский, В. Р. Калиначенко, С. Э. Вайсберг и А. И. Шатенштейн. Определение коэффициента распределения дейтерия при изотопном обмене водорода между нафталином и бромистым дейтерием . . . . .	1647
М. М. Дубинин. Исследование пористой структуры твердых тел сорбционными методами. I. Анализ различных методов вычисления распределения объема пор . . . . .	1652
Г. М. Панченков и В. Д. Моисеев. Концентрирование изотопов $C^{13}$ и $O^{18}$ в окиси углерода методом термодиффузии . . . . .	1662

#### Методы и техника физико-химического исследования

Б. Н. Бушманов. Серийное выращивание монокристаллов металлов из расплава . . . . .	1668
Д. С. Циклис. Методика исследования реакций с газообразным кислородом при давлениях до 5000 атм. . . . .	1670
Л. Н. Антипис, Ю. Б. Холманских и С. Ф. Важенин. Применение полярографа для автоматической записи поляризационных кривых в расплавленных солях . . . . .	1672

#### Дискуссия

Н. В. Николаева и Б. Б. Дамаскин. Механизм влияния ионов щелочных металлов на процесс электроосаждения меди. . . . .	1676
М. М. Павлюченко. Ответ П. И. Белькевичу на его «Критические замечания» . . . . .	1678

#### Письма в редакцию

Я. С. Бобович и Т. П. Тулуб. Некоторые новые данные о спектрах комбинационного рассеяния двухкомпонентных стекол. . . . .	1679
---	------

#### Рецензии

Е. И. Ахумов и Б. Я. Розен. Рецензия на «Справочник экспериментальных данных по растворимости многокомпонентных водносолевых систем» . . . . .	1682
--	------

#### Хроника

От комиссии по номенклатуре химических соединений при ОХН АН СССР . . . . .	1684
---	------



Т-07819 Подписано к печати 14/VIII 1956 г. Печ. л. 21,92 + 1 вклейка Уч.-изд. л. 22,5  
Формат бумаги  $70 \times 108^{1/16}$ . Бум. л. 8 Зак. 517. Тираж 4300 экз.

2-я типография Издательства Академии наук СССР. Москва, Шубинский пер., 10



Цена 22 руб. 50 коп.